

МІНІСТЕРСТВО ОСВІТИ УКРАЇНИ
НАВЧАЛЬНО-МЕТОДИЧНИЙ КАБІНЕТ ВИЩОУ ОСВІТИ
ХАРКІВСЬКИЙ ІНЖЕНЕРНО-ПЕДАГОГІЧНИЙ ІНСТИТУТ

А. П. Голуб, Б. І. Кузнецов,
І. О. Опришко, В. П. Соляник

СИСТЕМИ КЕРУВАННЯ ЕЛЕКТРОПРИВОДАМИ

Київ НМК ВО 1992

МІНІСТЕРСТВО ОСВІТИ УКРАЇНИ
НАВЧАЛЬНО-МЕТОДИЧНИЙ КАБІНЕТ ВИЩОЇ ОСВІТИ
ХАРКІВСЬКИЙ ІНЖЕНЕРНО-ПЕДАГОГІЧНИЙ ІНСТИТУТ

А.П.Голуб, Б.І.Кузнецов,
І.О.Опришко, В.П.Соляник

СИСТЕМИ КЕРУВАННЯ ЕЛЕКТРОПРИВОДАМИ

За ред. В.П.Соляника

Затверджено Радою Навчально-методичного кабінету
вищої освіти Міністерства освіти України
як навчальний посібник
для студентів спеціальності 21.05
"Електропривод та автоматизація промислових
установок і технологічних комплексів"

НТБ ВНТУ



376430

62-83(075) С 40 1992

Системи керування електроприводами

Київ НМК ВО 1992

Системи керування електроприводами: Навч. посібник / А.П.Голуб, В.І.Кузнецов, І.О.Опришко, В.П.Соляник. - К.: НМК ВО, 1992. - 352 с.

Розглянуто принципи побудови систем автоматичного керування електроприводами. Наведено математичний опис електрических цвигунів, тиристорних перетворювачів та інших типових вузлів, які утворюють замкнені системи керування. Описано статичні й динамічні властивості типових систем керування швидкості /регулятори швидкості/ і положення /слідкувальний привод/, а також систем підпорядкованого керування електроприводами. Велику увагу приділено цифровим та мікропроцесорним системам керування, модальному керуванню й оптимальним системам керування електроприводами у випадку детермінованих та випадкових дій. Матеріал викладено на підставі як методу передавних і частотних характеристик, так і методу простору станів.

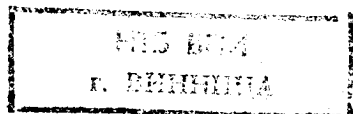
Іл. I49. Бібліогр.: 47 наез.

Рецензенты: Е.Е.Александров, д-р техн. наук /ХПИ/
I.I.Ештейн, д-р техн. наук /НДІ НВО ХЕМЗ/

ISBN 5-7763-0794-5



Навчально-методичний кабінет вищої освіти, 1992



ПЕРЕДМОВА

Одним з основних курсів, які формують знання інженерів зі спеціальності "Електропривод та автоматизація промислових установок і технологічних комплексів", є курс "Системи керування електроприводами". З цього курсу зараз розроблено типову програму, а також написано навчальні посібники [6, 18 та ін.] /підручника немає/.

Проте і в типовій програмі, і в навчальних посібниках мало уваги приділено сучасним системам керування електроприводами /цифровим і мікропроцесорним системам, модальному керуванню електроприводами, системам, які ґрунтуються на використанні оптимальної лінійної фільтрації/, а також сучасним методам їх дослідження. Цей посібник є спробою хоча б частково виправити такий стан і відповідає програмі курсу "Системи керування електроприводами", розробленій на кафедрі систем керування й автоматизації промислових установок Харківського інженерно-педагогічного інституту ім. І.З.Соколова /ХІПІ/. Книжку написано на підставі досвіду викладання одноіменного курсу протягом кількох останніх років у ХІПІ, а тому нові розділи курсу та їх методику було досить добре відпрацьовано й перевірено на практиці.

Навчальний посібник написали: А.П.Голуб - розд. 2, 3, 5 /крім підрозд. 5.1/, 7, 8; Б.І.Кузнецов - розд. 9; А.І.Опритко - підрозд. 7.6 і 7.7; В.П.Соляник - розд. 1, 4, 6 і підрозд. 5.1.

Розділ I. ОСНОВИ ПОБУДОВИ СИСТЕМ КЕРУВАННЯ ЕЛЕКТРОПРИВОДАМИ

I.I. Основні поняття й означення

Сукупність машин і технічних засобів можна зобразити як певну технічну систему, що взаємодіє із зовнішнім середовищем, котре чинить на неї довільні, і організовані дії. Коли довільні дії не пактять технічній системі правильно функціонувати, то тоді потрібно використати керування, спрямлюючи на неї такі спеціальні дії із зовнішніх, які забезпечують бажаний процес у ній. Типовий зразок технічної системи - система керування електроприводом.

Системою керування електроприводом /СКЕП/ називають сукупність об'єктів керування й автоматичного керувального пристроя, які взаємодіють одно з одним, а також із зовнішнім середовищем /рис. I.I./.

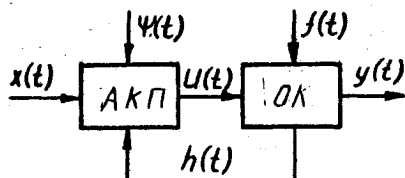


Рис. I.I. Узагальнена функціональна схема системи керування електроприводом

Об'єкт керування /ОК/ - пристрій /чи сукупність пристріїв/, який виконує технічний процес, що потребує спеціально організованих дій із зовнішніми для виконання заданої мети керування. ОК у СКЕП є електричний двигун постійного чи змінного струму разом з цяким робочим механізмом, швидкість обертання которого

у випадку зміни, наприклад, моменту статичного опору на його валі, необхідно підтримувати сталою або змінювати за заданим законом.

Автоматичний керувальний пристрій /АКП/ - пристрій, що виробляє таку керувальну дію, безпосередньо прикладену до ОК, яка забезпечує досягнення заданої мети керування. АКП часто називають регулятором.

У системах керування електроприводом є два види дій - зовнішні й внутрішні. Дії, що їх спрямлює на систему зовнішнє середовище, називають зовнішніми.

Задавальна дія /корисний сигнал/ $x(t)$ - ця на вході СКЕП, перепрачена метою керування. Ця дія системи перетворюється і передається на вихід. Задавальна дія може мати різну фізичну природу - напруга, кут повороту, кутова швидкість обертання тощо.

Збурювальна дія /завади/ $f(t)$ - ця, прикладена до якогось пристроя, котра порушує нормальну функціонування системи. Прикладом можуть бути шуми $\psi(t)$ в електронних елементах АКП, а також змінне в часі навантаження $f(t)$ в ОК /приміром, зміна моменту статичного опору на валі електричного двигуна/.

Дії, що їх окремі елементи системи передають один одному, називають внутрішніми; до них належать:

керувальна дія $u(t)$ - дія, що її виробляє АКП і передає ОК;

керована дія /регульовна змінна/ $y(t)$ - змінна на виході ОК, бажану зміну якої перебачає мета керування /наприклад, підтримування сталої швидкості обертання двигуна/;

контрольна дія $\kappa(t)$ - дія АКП на ОК; як одну з конкретних дій використовують регульовну змінну $\kappa(t) = y(t)$.

СКЕП призначена звичайно для того, аби забезпечити відповідність між регульовою вихідною змінною $y(t)$ і задавальною дією $x(t)$. Більшість СКЕП керувальну дію виробляють, порівнюючи $y(t)$ і $x(t)$, тобто керують за відхиленням $\varepsilon(t) = x(t) - y(t)$.

Зовнішні дії можна зобразити у вигляді певних, типових для заданої системи функцій часу; наприклад, для слідкувального привода задавальну дію $x(t)$ - поліномом 7-го степеня або гармонійною функцією. Такі функції є детерміновані /регулярні/. Для детермінованих функцій $x(t)$ кожному моментові часу t^* відповідає певне число $x(t^*)$. Його значення можна перебачити.

Проте для багатьох реальних систем зовнішня дія має не детермінований, а випадковий характер, коли її значення в фіксований момент часу t^* є випадкове число, яке точно передбачити не можна. Випадковими звичайно є збурення $\psi(t)$ на окремі елементи АКП, зокрема шумові складові напруги на виході різних діавачів, електронних підсилювачів і перетворювачів. Навантаження $f(t)$ /наприклад, на електроприводи прокатних станів/ залежить від випадкових технологічних факторів.

Детерміновані дії задають типовими функціями часу, а випадкові - випадковими. Кожна серія вимірюваних функцій має свою специфічну, не повторювану реалізацію. Коли виконати досить велику кількість таких вимірювань, то за їх сукупністю можна визначити усереднені характеристики, які дають змогу зробити імовірнісну оцінку випадкової функції /імовірнісними характеристиками/, зокрема, є математичне сподівання, дисперсія й кореляційна функція/.

Якщо зовнішня дія має випадковий характер, то вона спричинить і випадкові зміни внутрішніх змінних, зокрема керована змінна $y(t)$ буде випадковою функцією часу, і щоб оцінити її поведінку, треба знайти відповідні імовірнісні характеристики.

I.2. Алгоритми функціонування, класифікація СКЕП за призначенням

Згідно з алгоритмом функціонування, яким вважають сукупність настанов щодо правильного виконання технічного процесу, всі СКЕП за призначенням поділяють на такі основні класи: стабілізувальні, програмові й слідкувальні системи.

Стабілізувальною СКЕП називають автоматичну систему, алгоритм функціонування якої містить настанову підтримувати регульовну змінну $y(t)$ на сталому рівні:

$$y(t) = x_o, \quad x_o = \text{const}. \quad /I.1/$$

Прикладом стабілізувальних СКЕП є регулятори швидкості, що їх ми докладно розглянемо в цьому навчальному посібнику.

Програмовою СКЕП називають автоматичну систему, алгоритм функціонування якої містить настанову змінювати регульовну змінну $y(t)$ згідно з наперед заданим законом:

$$y(t) = x_n(t), \quad /I.2/$$

де $x_n(t)$ - відома функція часу.

Система програмового керування має спеціальний програмовий пристрій, який формує заданий закон зміни програми $x_n(t)$.

Слідкувальною СКЕП /слідкувальним приводом/ називають автоматичну систему, алгоритм функціонування якої містить настанову змінювати регульовну змінну відповідно до наперед відомого характеру зміни задавальної дії, тобто

$$y(t) = x(t), \quad /I.3/$$

де $x(t)$ - довільна, наперед невідома функція часу.

Слідкувальними є приводи керування положенням різних робочих механізмів.

I.3. Алгоритм керування й принципи побудови СКЕП

Алгоритм керування визначає сукупність вихідних дій АКП і спосіб, яким він утворює відповідну керувальну дію $U(t)$. За алгоритмом керування СКЕП можна поділити на такі основні групи: розімкнені, замкнені й комбіновані.

Розімкнена СКЕП /або система без зворотного зв'язку/ - це така система, яка керування $U(t)$ формує залежно тільки від зовнішніх дій /рис. I.2/:

$$U(t) = \varphi[x(t), f(t)], \quad /I.4/$$

У стабілізувальних СКЕП задавальна дія - стала величина:

$x(t) = x_0 = \text{const}$. Припустімо, що регульовна величина $y(t)$ від заданого значення x_0 відхиляється головним чином внаслідок збурення $f(t)$, наприклад, зміни моменту опору на валі виконавчого двигуна. У цьому разі в режимі керування за розімкненням

циклом вимірюють збурювальну дію $f(t)$ і так її перетворюють в АКП, щоб скомпенсувати її вплив на регульовну змінну $y(t)$.

Прикладом СКЕП з принципом керування за збуренням може бути система стабілізації кутової швидкості двигуна M постійного струму з незалежним збудженням, навантаженням для якого є зв'язаний з валом двигуна робочий механізм РМ /рис. I.3/. Потенціометр U_3 тут відіграє роль задавального пристрою. Напругу U_3 , яка пропорційна базовому заданому значенню швидкості робочого механізму $\omega_3/U_3 = K_3 \omega_3$, де K_3 - коефіцієнт пропорційності, знімають з повзуна цього потенціометра і вона є задавальною дією /установленням/. Зв'язок за основною збурювальною дією - моментом статичного опору /моментом навантаження/ M_{op} - реалізовано за допомогою моментової муфти ММ і підсилювача постійного струму ПС /операцийного підсилювача ОП/. Моментова муфта виконує функцію вимірювального елемента збурювальної дії; вихідна напруга муфти U_M , знята з повзуна потенціометра P_M , пропорційна моментовій навантаженню M_0 : $U_M = K_M M_0$, де K_M - коефіцієнт підсилення муфти. Напруги U_M та U_3 під'ємують за допомогою опорів R_{ex} та R_M на вході ОП і підсилювача. Отже, ОП виконує функції суматора й підсилювача напруги. Тиристорний перетворо-

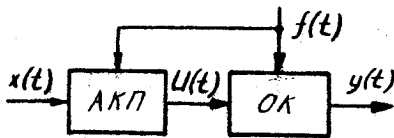


Рис. I.2. Функціональна схема розімкненої системи керування електроприводом

важч ТП складається з керованого випрямляча, який перетворює змінну напругу в постійну, і системи імпульсно-фазового керування /СІФК/, що формує послідовність імпульсів, котрі надходять на керувальні електроди випрямляча; він виконує функцію підсилювача потужності. Вхідна напруга ТП $U_{T,p}$ є керувальною дією, її залежність від заданої швидкості ω_d й основної збурювальної дії M_o визначає алгоритм керування /I.4/ розімкненої системи:

$$U_{T,p} = k_3 \omega_d + k_4 M_{op} \quad /I.5/$$

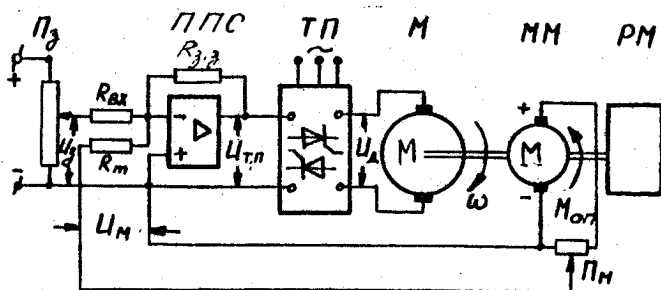


Рис. 1.3. Спрощена принципова схема регулятора швидкості з розімкненим циклом керування

До ОК звичайно зараховують незмінну з погляду реалізації різних алгоритмів керування частину СКЕП. У розглянутому прикладі ОК – це ТП і двигун разом з РМ, а АКП утворюють елементи, які реалізують алгоритм керування /I.5/ – Π_3 , ММ і ППС /рис. 1.4/.

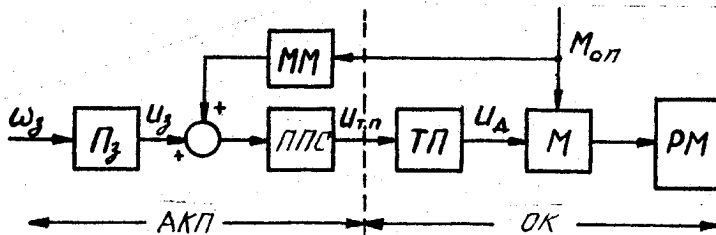


Рис. 1.4. Функціональна схема регулятора швидкості з розімкненим циклом керування

У системі без зв"язку за збуренням $1 K_N = 0$ непруга U_2 на вході двигуна залежить лише від задавальної напруги U_3 , знятої з потенціометра P_3 . Із збільшенням $M_{оп}$ вона не змінюється, тому швидкість обертання двигуна із збільшенням M_o зменшується. Якщо зв"язок за збуренням $1 K_N \neq 0$, то із збільшенням $M_{оп}$ збільшується U_2 і сумарна напруга III $U_{т,п}$ зростає, а це, коли муфту наладити відповідним чином, може скомпенсувати вплив $M_{оп}$ і, отже, незалежність швидкості обертання двигуна від основної збурюальної дії на ОК - зміни моменту навантаження.

На рис. I.5 зображене залежність швидкості обертання двигуна ω від моменту опору за різних значень коефіцієнта підсилення K_N розміненого зв"язку за моментом опору $M_{оп}$. Коли немає АКП, то із зростанням моменту навантаження $M_{оп}$ швидкість обертання двигуна ω спадає /крива 1/. Із збільшенням зв"язку за навантаженням K_N /наприклад, за рахунок пересування повзунка потенціометра P_3 / зменшується спад швидкості ω /крива 2/; відповідно вибравши цей зв"язок, можна досягти повної компенсації впливу навантаження /крива 3/ чи навіть перекомпенсації /крива 4/.

Ступінь компенсації впливу збурюальної дії залежить від точності вимірювання останньої й задавання характеристик об"єкта. Тому принцип керування за збуренням можна застосувати в тих випадках, коли відомі характеристики об"єкта й можна виміряти основні збурюальні дії. Проте на процеси в більшості технічних пристройів впливає дуже багато зовнішніх дій, мало з яких можна виміряти. Крім того, під час експлуатації характеристики об"єкта змінюються, що за незмінного наладження параметрів компенсаційного каналу призводить до відхилення керованої змінної від її заданого значення. Тому можливості систем з компенсацією, які не містять зворотних зв"язків, дуже обмежені, і вони не можуть для багатьох технічних пристройів забезпечити потрібну точність керування чи й узагалі нероботоздатні. Необхідний перебіг процесів керування в загальному випадку можливий лише в системах із зворотним зв"язком.

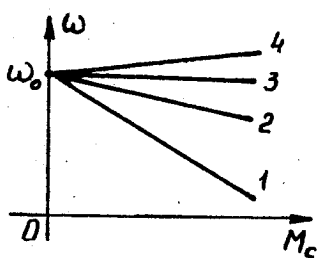
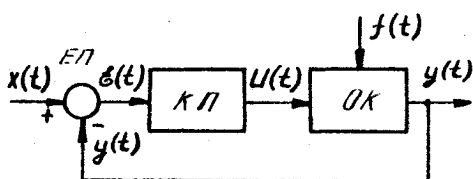


Рис. I.5. Графік залежності $\omega = f(M_{оп})$ за різної величини зв"язку за навантаженням

Замкненою СКЕП, або системою із зворотним зв'язком /рис. I.6/, називають таку систему, в якій керування $U(t)$ формується залежно від відхилення керованої змінної $y(t)$ від заданої дії $x(t)$:



$$\begin{aligned} U(t) &= \varphi[x(t) - y(t)] = \\ &= \varphi[\varepsilon(t)], \quad /I.6/ \end{aligned}$$

де відхилення

$$\varepsilon(t) = x(t) - y(t). /I.7/$$

Рис. I.6. Функціональна схема замкненої СКЕП

мом керування /I.6/, /I.7/ АКП /див. рис. I.6/ має містити: елемент порівняння ЕП, що визначає відхилення $\varepsilon(t)$; кола керування /на вході керувального пристроя КП/, які реалізують закон керування за відхиленням /I.6/.

Як приклад розглянемо замкнену систему стабілізації швидкості обертання двигуна постійного струму /рис. I.7/, котра має той самий ОК, що й схема на рис. I.3. Сигнал розузгодження $U_e(t)$, пропорційний відхиленню $\varepsilon(t) = \omega_0 - \omega(t)$, формують задавальний потенціометр P_3 і тахогенератор TG , увімкнені так, що їх вихідні напруги

U_d , U_{TG} напрямлені зустрічно:

$$U_e = U_d - U_{TG}. \quad /I.8/$$

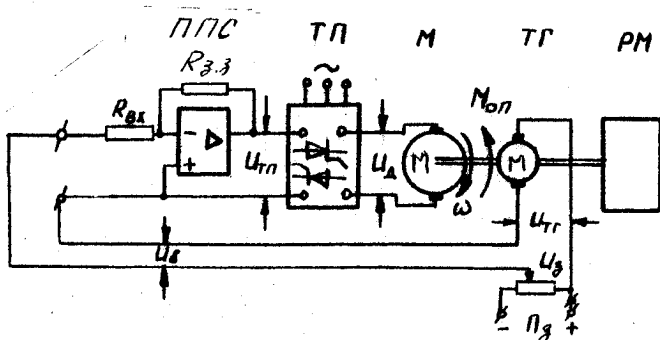


Рис. I.7. Спрощена принципова схема регулятора швидкості з замкненим циклом керування

Підсилене за величином й потужністю в ППС / $U_{T,r}$ - вихідна напруга ППС/ і ТІ /див. рис. I.7/ вихідна напруга U_g , прикладена до кола якоря двигуна, відповідно змінюватиме швидкість обертання останнього, зменшуючи виникле відхилення $E(t)$.

Припускаючи, що

$$U_g = K_3 \omega_3, \quad U_{T,r} = K_{T,r} \omega, \quad U_{T,p} = K_{p,p,c} (U_g - U_{T,r}), \quad /I.9/$$

для випадку $K_3 = K_{T,r}$ дістамо такий вираз для керувальної напруги на вході ТІ:

$$U_{T,p}(t) = K_p [\omega_3 - \omega(t)] = K_p E(t), \quad /I.10/$$

$$K_p = K_{T,r} K_{p,p,c}, \quad /I.11/$$

де K_p , $K_{T,r}$ і $K_{p,p,c}$ - коефіцієнти підсилення відповідно АКП, ТІ і ППС.

АКП, що реалізує алгоритм керування /I.10/, як бачимо з рис. I.7, тут цоволі простий і складається із задавального потенціометра U_g , ТІ і ППС.

Розглянемо, як працює система. Нехай $M_{0,p}(t) = M_{0,p0} = \text{const}$ і $U_g = \text{const}$, тоді $\omega(t) = \omega_0$, $U_g(t) = U_{g0}$, $U_{T,r} = U_{T,r0}$, $U_g = U_g - U_{T,r0} = U_{\epsilon 0}$. Із збільшенням моменту навантаження, при- міром, до $M_{0,p} > M_{0,p0}$, швидкість двигуна, як це випливає із ста-тичних регулювальних характеристик двигуна /рис. I.8/, зменшується на $\Delta \omega$, і становитиме $\omega_1 = \omega_0 - \Delta \omega$. Величина $\Delta \omega$, ви-

значила б спад швидкості двигуна, коли б не було кола керування. Дія зворотного зв'язку полягає в тому, що із зниженням швидкості зменшується напруга ТІ ($U_{T,r} = U_{T,r0} - \Delta U_{T,r}$). Едіцовідно зростає сигнал розузгодження $U_\epsilon = U_{\epsilon 0} + \Delta U_{T,r}$, а також напруга на

якорі двигуна U_g і його швидкість обертання ω . Через певний промі-жок часу перехідний процес закін-читься і система перейде в новий усталений режим з напругою $U_g > U_{g0}$ і швидкістю обертан-

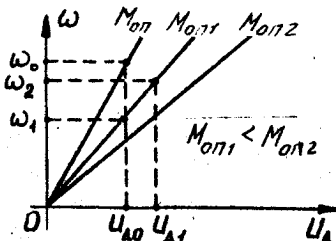


Рис. I.8. Регулювальні ха-
рактеристики $\omega = f(U_g)$ двигуна
постійного струму

ня ω_2 , яка відповідає цій напрузі /рис. I.8/. Однак нове усталене значення швидкості буде менше того значення, яке було до початку процесу регулювання, тобто $\omega_2 < \omega_0$. Справді, із збільшенням моменту навантаження спадає швидкість обертання, а для того, щоб її збільшити, треба збільшити напругу U_g /див. рис. I.8/, а це можливо тільки за зменшення напруги U_{reg} , вітже, її швидкості обертання двигуна.

Таким чином, розглянута система в усталеному режимі дає похибку $\Delta\omega_2 = \omega_0 - \omega_2$ /див. рис. I.8/, яка залежно від коефіцієнта підсилення керувального пристроя може мати величину, значно меншу за відхилення $\Delta\omega_2$ у разі його відсутності / $K_p = 0$ /.

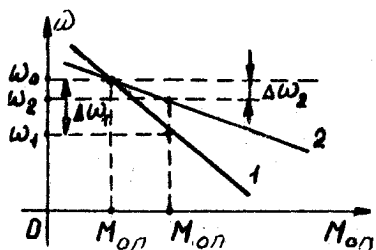


Рис. I.9. Графік залежності $\omega = f(M_{op})$ у разі відсутності /крива 1/ і наявності /крива 2/ регулятора

вхідний сигнал $U_g(t) = k \cdot t$ /де k – коефіцієнт підсилення задавача інтенсивності/, а потім, після закінчення розгону, видає стабільний сигнал $U_g(t) = U_{g0} = const$. Отже, на ділянці розгону швидкість двигуна змінюється в часі за лінійним законом /система розганяється із сталим прискоренням/, а тоді система працює в режимі стабілізації швидкості.

Щоб реалізувати принцип керування за відхиленням, коли керована змінна має будь-яку фізичну природу /кут повороту, швидкість, напруга тощо/, потрібно насамперед безперервно /або дискретно/ вимірювати її відхилення від бажаного значення. Здебільшого вихідною змінною вимірювального пристроя є напруга U_e , пропорційна в зоні лінійності

багатьох змінних.

Аби зображені на рис. I.7 замкнена СКЕП могла змінювати швидкість обертання двигуна за залежністю $\omega(t)$, її треба доповнити програмовим пристроєм. Наприклад, система програмового керування швидкості обертання потужного електродвигуна, застосованого в електроприводі прокатного стана, має спеціальний програмовий пристрій – задавач інтенсивності, який на ділянці розгону двигуна /від $\omega = 0$ до $\omega = \omega_{nom}$ / формує лінійно-zmінний

вимірювача відхилення ε : $U_\varepsilon = k_\varepsilon \varepsilon$. Щоб підкреслити функціонування замкненої СКЕП, побудованої за принципом відхилення у вимірювальному пристрої, звичайно умовно вирізняють ЕП, який визначає різницю $\varepsilon = x - y$, і вимірювач розузгодження $U_{\text{р}} P$, котрий перетворює ε в напругу U_ε /рис. I.10/. Напругу U_ε потім підсилюють за рівнем - підсилювач напруги ПН і за потужністю - підсилювач потужності ПП. Коефіцієнт підсилення за потужністю - це відношення потужностей на виході і вході пристроя.

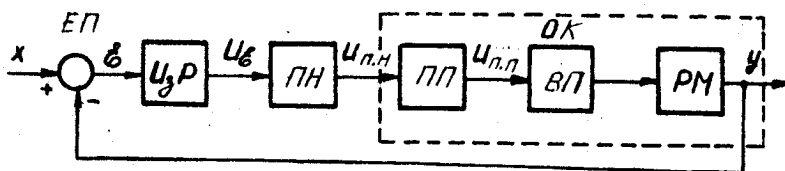


Рис. I.10. Функціональна схема замкненої СКЕП з елементом порівняння ЕП

З погляду перетворення сигналів у СКЕП підсилювачі напруги й потужності мають на лінійній ділянці своєї статичної характеристики коефіцієнти підсилення за напругом й потужністю $k_{\text{пл.н}}$ і $k_{\text{пл.п}}$:

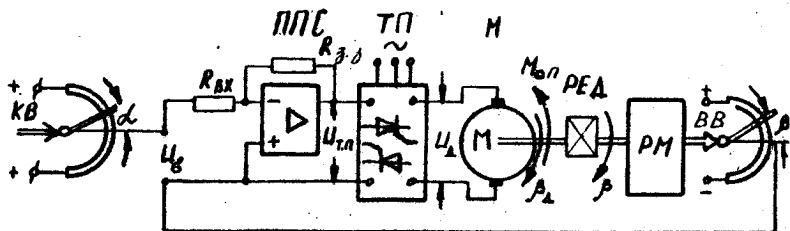
$U_{\text{пл.н}} = k_{\text{пл.н}} U_\varepsilon$, $U_{\text{пл.п}} = k_{\text{пл.п}} U_{\text{пл.н}}$. Напруга з виходу ПП надходить на вход виконавчого пристроя ЕП, в електромеханічних СКЕП - звичайно двигуна постійного чи змінного струму, за допомогою якого керують швидкістю або положенням РМ.

Зауважимо, що часто ПП, ВП і РМ являють собою єдину незмінну частину системи, а тому їх можна розглядати разом як ОК. Тоді стосовно до схеми рис. I.10 до КП треба зарахувати ВП і ПП.

Замкнені СКЕП мають ту характерну особливість, що в них є зворотний зв'язок з виходу системи на її вхід. Цей зворотний зв'язок називають головним, або основним, на відміну від допоміжних зворотних зв'язків, запрограмованих у системі для поліпшення її динамічних властивостей.

Як другий приклад замкненої системи розглянемо слідкувальний привод /рис. I.11/. У ньому ОК є: двигун постійного струму з незалежним збудженням M , редуктор РЕД і РМ. Регулятор /АКІ/ складається з потенціометричного вимірювального пристроя $P_{\text{вх}}$ і $P_{\text{вих}}$, ПІС і реверсивного ПП /що його, як і в регуляторі швидкості, можна було б

зарахувати до ОК/. Вихідним сигналом /керованою величиною/ є кут повороту вала РМ β , або кут повороту повзунка потенціометра $P_{\beta_{\text{вх}}}$, оскільки останній розташовано на одному валі з РМ /на виконавчій осі ЕЕ/, а вхідним - кут повороту α повзунка потенціометра $P_{\alpha_{\text{вх}}}$, який розташовано на командиній осі КЕ.



цього виникнуть кут розузголоження $\varepsilon = \alpha - \beta$ і пропорційні йому напруги. Під дією напруги U_0 двигун заобертався й через редуктор поверталиме ЕБ і повзун $P_{\text{вих}}$ у бік зменшення кута розузголоження, аж поки останній не буде дорівнювати нулю. Коли ЕБ повернеться в інший бік, полярність напруги, прикладеної до двигуна, зміниться, а отже, зміниться й напрям його обертання. Якщо кутове положення $\alpha(t)$ ЕБ змінюється в часі за довільним законом, то й кутове положення $\beta(t)$ ЕБ також змінюватиметься за тим самим законом.

Треба зауважити, що напрям обертання двигуна збігатиметься із знаком кута розузголоження тільки тоді, коли зворотний зв"язок від двигуна до ЕБ /повзуна $P_{\text{вих}}$ / буде від'ємний. Коли ж під час обертання двигуна кут розузголоження зростає, то це означає, що зворотний зв"язок додатній. Сробити його від'ємним можна, змінивши полярність напруги, прикладеної до двигуна.

Істотна особливість замкненої СКЕП, на відміну від розімкненої, полягає в тому, що керувальна дія $U(t)$ змінюється незалежно від фізичної природи причин, які зумовили появу відхилення $\varepsilon(t)$: зміни як зовнішніх дій /задаальної й збурювальних/, так і параметрів ОК. Бодночас у системах керування за відхиленням у зв"язку з наявністю основного зворотного зв"язку можуть виникати тривалі перехідні процеси з неприпустимо великими відхиленнями керованої змінної від заданого значення чи навіть незагасальних коливань. Тому насамперед необхідно забезпечити стійкість замкненої системи і потрібну якість перебігу перехідних процесів.

Принцип керування за відхиленням – основи побудови СКЕП різного призначення. Першою промисловою системою з цим принципом був поплавцевий регулятор у котлі парової машини, що його побудував 1765 р. видатний російський механік І.І.Ползунов, і відцентровий регулятор швидкості парової машини, патент на який 1784 р. одержав англійський механік Дж.Уатт.

Комбіновані СКЕП. Комбінованою /чи розімкнено-замкненою/ називають таку СКЕП, в якій керування $U(t)$ формується залежно і від відхилення $\varepsilon(t)$, і від зовнішніх дій $x(t)$ і $f(t)$:

$$U(t) = \psi [\varepsilon(t), x(t), f(t)]. \quad /I.12/$$

Комбіновані СКЕП за видом використовуваних зовнішніх дій поділяють на системи з розімкненим колом керування за збурювальною і за задавальною діями. У комбінованій системі за збуренням /рис. I.12,a/

$$U(t) = U_e(t) + U_f(t)$$

I.I.13/

залежить не тільки від відхилення $U_e(t)$, а й від збурення $f(t)$. Якщо $K\pi_e$ вибрать відповідним чином, то безпосередній вплив основного збурення $f(t)$ на ОК нейтралізує канал компенсації / $K\pi_f$, ОК/. Виконання умов компенсації фізично означає пригамовування цієї збурення $f(t)$ на об'єкт за допомогою розімкненого компенсаційного каналу, який створює рівний і супротивно напрямлений відносно вихідної координати $y(t)$ сигнал. Дію решти не таких важливих і безпосередньо не вимірюваних завад до певної міри пригамовує замкнений контур, що в ньому $K\pi_e$ формує складову $U_e(t)$, пропорційну відхиленню $\delta(t)$.

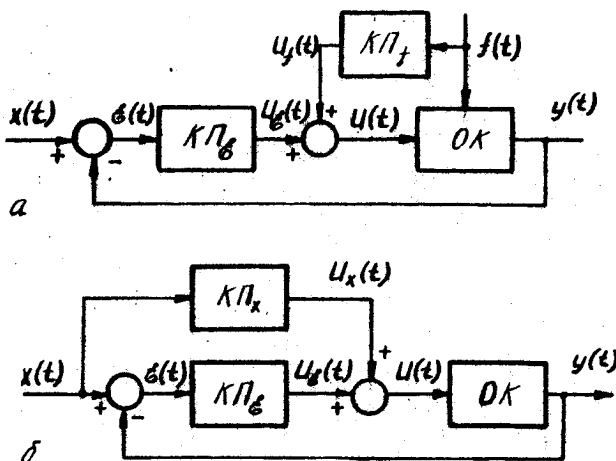


Рис. I.12. Функціональні схеми комбінованих СКЕП: а - за збуренням $f(t)$; б - за запавальною дією $x(t)$

Прикладом комбінованої СКЕП може бути система стабілізації швидкості обертання двигуна, котра являє собою поєднання схем на рис. I.3 і I.7. Компенсаційний зв'язок у повній системі за основним збуренням $M_{an}(t)$ виконує моментова муфта ММ /розімкнене коло/, а основний зворотний зв'язок - тахогенератор ТГ /замкнене коло/. Ураху-

вавши /I.5/, /I.10/ і /I.13/, дістанемо такий найпростіший алгоритм керування для комбінованої за збуренням $M_{op}(t)$ системи стабілізації швидкості $\omega(t)$:

$$U_{r,p}(t) = K_p [\omega_d - \omega(t)] + K_H M_{op}(t). \quad /I.14/$$

У комбінованій системі за задавальною цією /рис. I.12,б/ керування

$$U(t) = U_e(t) + U_x(t) \quad /I.15/$$

містить додаткову складову $U_x(t)$, що її виробляє $K\pi_x$ розімкнено-го кола, який вимірює задавальну дію і безпосередньо, поза колом зворотного зв'язку, керує об'єктом, грубо узгоджуючи вихідну величину $y(t)$ із вхідною $x(t)$. Похиби, котрі виникають під час керування за розімкненим циклом, вимірюються й перетворюються в керувальну напругу $U_e(t)$ для керування об'єктом за замкненим циклом. Більшої точності відтворення швидкозмінної задавальної дії $x(t)$ тут досягнуто завдяки спільній роботі грубої розімкненої й порівняно точнішої замкненої систем керування.

Коли в розглянутій системі /див. рис. I.12,б/ на об'єкт діє інтенсивна завада, яка зумовлює наявність значної складової похибки за завадою, то постає потреба створення додаткового розімкненого кола керування за збуренням, подібного до кола на рис. I.12,а. У цьому разі дія вихідної напруги $U_f(t)$ $K\pi_f$ може істотно компенсувати вплив основного збурення $f(t)$ на вихідну змінну $y(t)$. У комбінованій системі в даному випадку керувальна дія

$$U(t) = U_e(t) + U_x(t) + U_f(t) \quad /I.16/$$

реалізує алгоритм керування /I.12/.

Комбіновані системи поєднують переваги систем з керуванням за відхиленням і за збуренням, але технічно реалізувати їх важче, ніж замкнені системи, бо вони потребують створення додаткових розімкнених кіл керування /зокрема, вимірювачів зовнішніх збурювальних та задавальної дій/.

Ітераційні СКЕП. У комбінованій системі обидва канали керування - і розімкнений, і замкнений /керувальні пристрої $K\pi_x$ і $K\pi_e$ на рис. I.12/ - впливають на оцинку та самий ВП /в електромеханічних системах, наприклад, на двигун постійного струму з обмеженою потужністю/, що за форсованої зміни керування $U(t)$ не дозволяє розвинути

вати відповідні швидкості й прискорення електропривода, а інерційність останнього призводить до запізнювання передавання керувальних дій. Ці обставини не завжди дають змогу реалізувати бажану зміну керованої змінної $y(t)$, особливо у випадку швидкозмінної задавальної дії $x(t)$ та інтенсивних некомпенсованих завад як на ОК, так і на КП розімкненого й замкненого каналів. Подальшого підвищення точності можна досягти за допомогою багатоканальних ітераційних СКЕП, в яких процес відтворення задавальної дії $x(t)$ складається з послідовних наближень $y_k(t)$, $k = 1, 2, \dots, n$, що їх реалізують відповідні канали. Алгоритм керування багатоканальної ітераційної системи описується такі рекурентні співвідношення:

$$\left. \begin{aligned} U_k(t) &= \varphi [E_{k-1}(t) - y_k^*(t)]; \\ E_{k-1}(t) &= x(t) - y_{k-1}(t); \\ y_k(t) &= y_{k-1}(t) + y_k^*(t) \\ (k &= 1, 2, \dots, n); \\ \text{при } k=1 \quad y_0(t) &= 0, \quad E_0(t) = x(t), \end{aligned} \right\} /I.17/$$

де $U_k(t)$ і $y_k^*(t)$ – керувальна дія й вихідна змінна k -го каналу; $x(t)$ – задавальна дія; $y_k(t)$ – вихідна змінна ітераційної системи, яка містить перші k каналів.

Звичайно загальна кількість каналів n не перевищує трьох. На рис. I.13 зображене один з можливих варіантів побудови триканальної ітераційної системи, що відповідає алгоритмові послідовних наближень /I.17/. Тут $x_k^*(t)$ і $y_k^*(t)$ – відповідно вхідні й вихідні змінні кожного з каналів; $f_k(t)$ – завади, зведені до входу незмінної частини каналу /ОК/, $k = 1, 2, 3$. Перше наближення $y_1(t) = y_1^*(t)$ реалізує перший канал, на вхід якого надходить задавальна дія: $x_1^*(t) = x(t)$. Друге наближення $y_2(t)$ – другий канал, запавальною дією для якого є похибка першого каналу $x_2^*(t) = x(t) - y_1(t)$, а вихідна змінна $y_2(t)$ двоканальної системи дорівнює сумі вихідних змінних першого й другого каналів: $y_2(t) = y_1(t) + y_2^*(t)$. Третє наближення $y_3(t) = y_2(t) + y_3^*(t)$ реалізує третій канал, входом якого є похибка двоканальної системи $x_3^*(t) = x(t) - y_2(t)$. Звідси бачимо, що кожен k -ий канал в ітераційній системі певном мірою компенсує похибки всіх попередніх каналів незалежно від фізичної природи їх виникнення /запізнювання передавання керувальних дій, .../

нелінійності, завади/. У двоканальному слідкувальному приводі перший /грубий/ канал розв'язує головним чином завдання необхідного підсилення за потужністю керувальної ції $U_1(t)$ і відтворення на виході $y_1(t)$ низькочастотних складових спектра задавальної дії $x(t)$. Другий /точний/ канал призначений для відтворення високочастотних складових спектра, що їх унаслідок обмежень не міг відтворити перший канал. Номінальна потужність силової частини цього каналу може становити близько 10% потужності грубого каналу, бо більша частина потужності передається звичайно на низьких частотах.

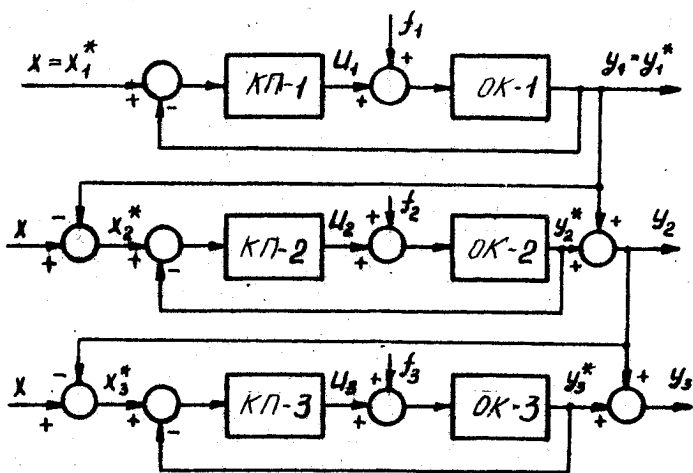


Рис. I.13. Функціональна схема триканальної ітераційної СКП

Завдяки тому, що кожен наступний канал компенсує похибки попередніх, застосування ітераційних слідкувальних приводів дає змогу досягти високої точності відтворення швидкозмінної задавальної дії в разі наявності завад /наприклад, двоканальна система може мати похибку, на порядок меншу, ніж одноканальна/. Проте технічно реалізувати її набагато важче, бо треба мати кілька виконавчих та керувальний пристройів.

I.4. Якість процесу керування

I.4.1. Якість процесу керування в перехідному режимі

Основною вимогою до процесу керування є збереження бажаної функціональної залежності між задавальною дією $x(t)$ і керованою змінною $y(t)$, тобто її алгоритму функціонування. АКП має забезпечити прийнятні значення похибки $E(t) = x(t) - y(t)$ на різних інтервалах часу t .

Якщо в СКЕП використано контрольну дію $\lambda(t)$ /див. рис. I.I/, то внаслідок наявності зворотного зв'язку в ній можуть виникнути незагасальні коливання. Така система нестійка. Фізично стійкість – це властивість динамічної системи повернутися в початковий стан після усунення причин, які зумовили зміну цього стану. В стійкій системі коливання /вільні рухи внутрішніх змінних/, спричинені короткочасною збурювальною дією обмеженої величини, затагасають. Стійкість є необхідною вимогою до якості процесу керування; нестійка система нероботоздатна. Необхідні й достатні умови стійкості, а також алгебричні й частотні критерії стійкості докладно вивчає курс "Теорія автоматичного керування".

Рівноважний стан, в який повертається стійка система з різних початкових станів, визначає її усталений режим. Процес зміни в часі внутрішніх змінних динамічної системи, що виникає, коли вона переходить з одного усталеного режиму в інший, називається перехідним.

У СКЕП узвичаєно розглядати перехідні процеси, зумовлені одиничною східчастою дією. Якщо початкові значення внутрішніх змінних нульові, то криву перехідного процесу називають перехідною функцією /характеристикою/ і звичайно позначають $\lambda(t)$. Подробиці форм перехідного процесу не мають істотного значення, а його якість залежить від важливіших показників – тривалості й максимального динамічного відхилення. На рис. I.I4,а зображені графік коливної перехідної характеристики, коли задавальна дія змінюється стрибкоподібно:

$$x(t) = \lambda(t) = \begin{cases} 0, & t \leq 0, \\ 1, & t > 0. \end{cases} \quad /I.I8/$$

Тривалість перехідного процесу оцінюють за часом регулювання t_p , який дорівнює найменшому значенню часу, після якого регульована змінна $h(t)$ наближається до усталеного значення

$h_{уст}$ [або $h(\infty)$] із заданим ступенем точності α :

$$|h(t) - h_{уст}| \leq \alpha,$$

$$t > t_p, \quad /I.19/$$

де Δ - мала величина /котра становить 2-5% $h_{уст}$.

Максимальне динамічне відхилення дорівнює різниці $h_{max} - h_{уст}$ між найбільшим та усталеним значеннями перехідної характеристики; Його відносне значення, подане у відсотках, називають перерегулюванням:

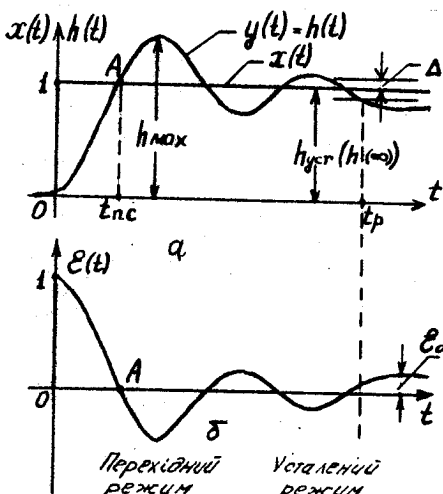


Рис. I.14. Графіки перехідного та усталеного режимів СКЕП у випадку стрибкованої зміни задавальної дії:
а - зміна в часі задавальної $x(t)$ й вихідної $y(t)$ дій; б - зміна в часі похибки $\varepsilon(t)$

$$\tilde{G\%} = \frac{h_{max} - h_{уст}}{h_{уст}} \cdot 100. \quad /I.20/$$

Щоб детальніше оцінити форму перехідної характеристики, запро- ваджують початкові показники якості, наприклад кількість коливань перехідної характеристики N /кількість максимумів/ за час регулювання t_p , а також час першого узгодження $t_{п.у.}$ /рис. I.14/.

Коли до системи поставлено вимогу великої швидкодії, то під час її проектування час регулювання t_p прагнуть зменшити до мінімуму. Для цього треба на початковому інтервалі часу підвищити швидкість $d h(t)/dt$. Але що вища ця швидкість, то далі за час $t_{п.у.}$ /точка A/ пройде за інерцією система і дуже збільшиться h_{max} , а це може привести до зростання t_p . Крім того, у випадку великих перерегулювань

іноді виникають неприпустимо великі навантаження, наприклад, на електродвигун.

Зазвичай рекомендують значення $\sigma = 10\text{-}30\%$; $N = 1\text{-}2$. Інколи бажано мати процес без перерегулювання / $\sigma = 0$; $N = 0$ /, зокрема монотонний.

Неусталений режим роботи може спричинити також і збурювальна дія $f(t)$, у цьому разі його якість залежить від характеру перехідного процесу під час стрибкуваної зміни цієї дії /навантаження на ОК/.

I.4.2. Якість процесу керування в усталеному режимі

В усталеному режимі якість процесу керування оцінюють за усталеною похибкою, яку у випадку довільних детермінованих зовнішніх дій називають динамічною похибкою $\epsilon_g(t)$. Практично можна вважати, що $\epsilon_g(t)$ дорівнює $\epsilon(t)$, коли $t > t_p$. Для заданої системи величина динамічної похибки залежить від вибраних законів зміни зовнішніх дій.

На рис. I.14,б зображене зміну похибки $\epsilon(t)$ під час стрибкуватої зміни задавальної дії та її значення ϵ_0 в усталеному режимі.

Статичним називають усталений режим у випадку сталих зовнішніх дій - задавальної й збурювальної: $x(t) = x_0 = \text{const}$; $f(t) = f_0 = \text{const}$, а відповідну похибку ϵ_0 - статичною. Статична похибка $\epsilon_0 = x_0 - y_0$ - окрім випадку динамічної, коли зовнішні дії стали.

Для заданої системи статична похибка залежить, напевно, від величини зовнішніх дій x_0 і f_0 : $\epsilon_0 = \phi(x_0, y_0)$. Коли ця залежність лінійна, то

$$\epsilon = S_x x_0 + S_f f_0, \quad /I.21/$$

де S_x і S_f - коефіцієнти пропорційності.

Статична похибка ϵ_0 складається з двох частин: ϵ_{ox} і ϵ_{of} , зумовлених відповідно задавальною x_0 і заважальною f діями:

$$\epsilon_0 = \epsilon_{ox} + \epsilon_{of}, \quad /I.22/$$

де $\epsilon_{ox} = S_x x_0$; $\epsilon_{of} = S_f f_0$.

Коефіцієнти S_x і S_f , які визначають точність роботи системи в статичному режимі, називають статизмом системи відповідно за задавальною і за збурювальною діями.

СКЕП називають статичною за задавальною дією, коли в статичному режимі наявна похибка, що залежить від величини x_0 цієї дії / $S_x \neq 0$. Так само система є статичною за збурювальною дією, коли статична похибка залежить від величини f_0 цієї дії / $S_f \neq 0$.

Далі буде доведено, що розглянутий регулятор швидкості /див. рис. I.7/ є статичний як за керувальною дією x_g , так і за збуренням M_{op} .

СКЕП, в якій статична похибка за задавальною x_0 чи за збурювальною f_0 цією не залежить від величини останньої, називають астатичною за відповідною дією. В астатичній системі за задавальною дією статизм $S_x = 0$, а за збурювальною $S_f = 0$.

Для програмових та слідкувальних СКЕП як типову задавальну дію використовують стрибок не тільки за положенням /I.18/, а й за швидкістю, коли

$$x(t) = \begin{cases} 0, & t \leq 0, \\ S_2 t, & t > 0. \end{cases} \quad /I.23/$$

На рис. I.15 зображені графіки відпрацювання $y(t)$ системою стрибка за швидкістю /I.23/ і похибки $\epsilon(t) = S_2 t - y(t)$ у перехідному та усталеному режимах. Похибку в усталеному режимі у випадку лінійної змінної задавальної дії $x(t) = S_2 t$ й відсутності завад називають похибкою за швидкістю ϵ_{Qx} .

Якщо функція $x(t)$ змінюється із сталим прискоренням $d^2x(t)/dt^2 = a_0 = const$ і $d^3x(t)/dt^3 = 0$, то її можна зобразити у вигляді полінома другого порядку:

$$x(t) = x_0 + S_2 t + \frac{a_0 t^2}{2}. \quad /I.24/$$

Крім поліномних для аналізу динамічних похибок широко використовують апроксимацію вхідної дії гармонійним законом:

$$x(t) = X_0 \sin \omega t. \quad /I.25/$$

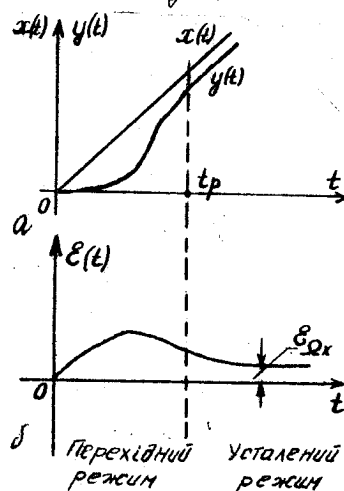


Рис. I.15. Графіки перехідного та усталеного режимів СКЕП у випадку слідкувальної зміни швидкості задавальної зміни: а - зміна в часі задавальної $x(t)$ і вихідної $y(t)$ дій; б - зміна в часі похибки $\epsilon(t)$

У слідкувальному приводі в процесі обробки заздавальної ції /I.25/ динамічна похибка $E_{gx}(t)$ змінюватиметься також за періодичним законом, але максимальне її значення $E_{gx\max}$ має бути набагато менше, ніж максимальне значення x_{\max} заздавальної ції, приміром не перевищувати 1%.

Якщо для основного збурення - навантаження $f(t)$ на ОК можна визначити типовий закон зміни, наприклад поліномний /I.24/ чи гармонійний /I.25/, то так само, як і попереду, вплив збурення $f(t)$ на якість процесу керування в усталеному режимі оцінюють за відповідною динамічною похибкою $E_{gf}(t)$.

Зовнішні дії $x(t)$, $f(t)$, $\psi(t)$, як зазначалося попереду, не завжди можна описати детермінованими функціями часу, вони можуть мати загалом непередбачуваний, випадковий характер. Зумовлені цими діями похибки $E_x(t)$, $E_f(t)$, $E_\psi(t)$ також будуть випадковими функціями часу.

Динамічні похибки $E_{gx}(t)$, $E_{gf}(t)$, $E_{g\psi}(t)$ являють собою середні значення /дії усереднення націлі позначатимемо рискою вгорі/ випадкових похибок:

$$\left. \begin{array}{l} E_{ax}(t) = \overline{E_x(t)}, \\ E_{af}(t) = \overline{E_f(t)}, \\ E_{a\psi}(t) = \overline{E_\psi(t)}. \end{array} \right\} \quad /I.26/$$

Тоді різниці

$$\left. \begin{array}{l} \dot{E}_x(t) = E_x(t) - E_{ax}(t), \\ \dot{E}_f(t) = E_f(t) - E_{af}(t), \\ \dot{E}_\psi(t) = E_\psi(t) - E_{a\psi}(t). \end{array} \right\} \quad /I.27/$$

є "сухо" випадкові процеси з нульовим середнім значенням. Звичайно $E_{g\psi}(t) = 0$. Середні значення квадратів цих випадкових функцій

$$\left. \begin{array}{l} D_{ex}(t) = \dot{E}_x^2(t), \\ D_{ef}(t) = \dot{E}_f^2(t), \\ D_{e\psi}(t) = \dot{E}_\psi^2(t) \end{array} \right\} \quad /I.28/$$

не дорівнюють нулю й характеризують у фіксований момент часу t міру розкиду випадкових складових похибок /I.27/ відносно динамічних похибок /I.26/:

$\sigma_{ex}(t)$, $\sigma_{ef}(t)$, $\sigma_{e\psi}(t)$ - дисперсії похибок за корисним сигналом $x(t)$ і збуреннями $f(t)$, $\psi(t)$, а корінь з дисперсії

$$\sigma_{ex} = \sqrt{\sigma_{ex}^2}, \quad \sigma_{ef} = \sqrt{\sigma_{ef}^2}, \quad \sigma_{e\psi} = \sqrt{\sigma_{e\psi}^2} \quad /1.29/$$

визначає середньоквадратичне значення похибок.

Дисперсії похибок /1.28/ визначають точність, з якою працює СКЕП, коли зовнішні дії не містять детермінованих складових. Якщо є і детерміновані, і випадкові складові, то мірою точності може бути величина сумарної похибки

$$\sigma_{\Sigma}(t) = \sqrt{\sigma_A^2(t) + \sigma_E^2(t)}, \quad /1.30/$$

де $\sigma_A(t)$ - динамічна похибка, зумовлена детермінованими складовими;

$\sigma_E(t)$ - дисперсія похибки, зумовлена випадковими складовими зовнішніх дій $x(t)$, $f(t)$, $\psi(t)$.

Сумарна похибка $\sigma_{\Sigma}(t)$ характеризує якість процесу керування в усталеному режимі, і в цьому розумінні що менша сумарна похибка, то краща якість системи.

Сукупність показників якості процесу керування в перехідному і усталеному режимах значною мірою визначає якість функціонування СКЕП.

Розрахунок динамічних похибок, поданих через коефіцієнти похибок та коефіцієнти передавної функції розімкненої системи, як і розрахунок середньоквадратичних похибок через задану спектральну щільність завади й коефіцієнти квадратів амплітудно-частотної характеристики замкненої системи аналітичним та графоаналітичним методом, було вивчено в курсі ТАК [17].

Розділ 2. МАТЕМАТИЧНИЙ ОПИС СИСТЕМ КЕРУВАННЯ ЕЛЕКТРОПРИВОДАМИ

2.1. Вступні зауваження

Сучасні методи математичного опису СКЕП ґрунтуються на двох способах зображення процесів у системах і самих систем - у змінних вхід-вихід і в змінних стану.

Зображення в змінних вхід-вихід ґрунтуються на описі як елементів, так і систем загалом диференціальними рівняннями й передавними та частотними характеристиками, що відповідають цим рівнянням. Методи дослідження СКЕП, які ґрунтуються на використанні передавних та час-

тотних характеристик, зараз добре розроблено в інженерній практиці і, крім того, добре пов"язано з фізичною інтерпретацією явищ, котрі відбуваються в системах під час керування. Але математичний опис СКЕП у змінних вхід-вихід має й істотні обмеження, здебільшого пов"язані з поняттями керованості й спостережуваності, котрих не враховує цей спосіб.

Опис систем у змінних стану роблять системою диференціальних рівнянь першого порядку, розв"язаних відносно перших похідних, тобто рівнянь у нормальній формі Коші. Таку систему диференціальних рівнянь, записану у векторно-матрицевій формі, звичайно називають рівняннями стану. Цей спосіб не має попереднього обмеження, притаманного описові систем у змінних вхід-вихід. Бажливом перевагою способу змінних стану є те, що його добре пристосовано до дослідження СКЕП за допомогою ЕОМ, і зокрема персональних комп'ютерів, а також те, що з його допомогою можна одержати одноманітні методи математичного аналізу й синтезу систем керування.

2.2. Математичний опис систем керування електроприводами в змінних вхід-вихід

2.2.1. Основні означення й поняття

Є два види рівнянь систем автоматичного керування: рівняння статики й рівняння динаміки.

Рівняння статики описують фізичні процеси в системах в усталеному режимі за сталих зовнішніх дій. Звичайно ці рівняння є алгебричні. Вони визначають зв"язок як між вихідними та вхідними величинами окремих елементів, що утворюють систему, так і між вихідними та вхідними величинами всієї системи. З рівнянь статики замкненої системи можна знайти, зокрема, статичну похибку системи.

Рівняння динаміки описують фізичні процеси в системах як в усталеному, так і в перехідному режимах за будь-яких зовнішніх дій. Ці рівняння звичайно є диференціальні, інтегрально-диференціальні чи рівняннями. Вони пов"язують між собою вихідні та вхідні величини, їх похідні /різници/ та інтеграли /суми/ як для окремих елементів, так і для системи загалом. З рівнянь динаміки можна визначити всі оцінки, які характеризують систему в перехідному й усталеному режимах, зокрема стійкість, точність і якісні показники перехідного процесу системи.

Коли припустити, що всі похідні в рівняннях динаміки дорівнюють нулю, то вони перетворються на рівняння статики. Це саме можна сказати й про рівняння динаміки, котре зв'язує вихід зі входом системи і містить, крім похідних вихідної величини, і саму її. Коли ж вихідної лінії рівняння динаміки безпосередньо не містить, а лише її похідні різного порядку, то для одержання з нього рівняння статики треба припустити, що всі похідні дорівнюють нульові, крім похідної вихідної цієї найнижчого порядку. В цьому разі рівняння статики визначає зв'язок між цією похідною та вихідною лінією.

2.2.2. Лінеаризація диференціальних рівнянь

Звичайно диференціальні рівняння елементів і СКЕП є нелінійні, розв'язати які дуже важко, а іноді й зовсім неможливо. Тому за рахунок одержання диференціальне рівняння зводять до лінійного.

Лінеаризація диференціальних рівнянь – це заміна нелінійних рівнянь лінійними. С кілька методів лінеаризації.

Розглянемо метод, який ґрунтуються на розкладанні нелінійних рівнянь у ряд Тейлора. Припустімо, що в досліджуваному динамічному процесі змінні, наприклад $x(t)$ і $y(t)$, які його характеризують, змінюються так, що їх відхилення $\Delta x(t)$ і $\Delta y(t)$ від робочої точки, описаної сталими, наприклад номінальними, значеннями x_0 і y_0 , залишаються весь час досить малими /рис. 2.1/. Достатня мализна відхилень змінних від усталених значень СКЕП звичайно притаманна, бо цього потребує сам принцип побудови замкненої системи /принцип керування за відхиленням/.

Нехай властивості досліджуваної системи описує нелінійне рівняння виду

$$\mathcal{F}[x(t), y(t), \dot{x}(t)] = 0 \quad /2.1/$$

Якщо нелінійна функція \mathcal{F} в цьому рівнянні є аналітична /тобто неперервна й нескінченно диференційовна/ в околі робочої точки з координатами $x(t)$, $y(t)$, $\dot{x}(t)$, котрі відповідають усталеному режимові, то /2.1/ лінеаризують в такій послідовності:

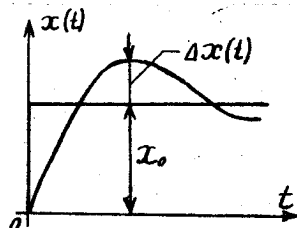


Рис. 2.1. Характер зміни змінної $x(t)$ відносно усталеного значення x_0

а/ змінні $x(t)$, $y(t)$, $\bar{z}(t)$ замінюють їхніми відхиленнями $\Delta x(t)$, $\Delta y(t)$, $\Delta \bar{z}(t)$ і усталеними /сталими/ значеннями x_0 , y_0 , \bar{z}_0 , тобто

$$\left. \begin{array}{l} x(t) = x_0 + \Delta x(t), \\ y(t) = y_0 + \Delta y(t), \\ \bar{z}(t) = \bar{z}_0 + \Delta \bar{z}(t); \end{array} \right\} \quad 12.2/$$

б/ нелінійну функцію F розвивають у ряд Тейлора за степенями відхилень $\Delta x(t)$, $\Delta y(t)$, $\Delta \bar{z}(t)$ в околі їхніх значень, які відповідають усталеному режимові;

в/ відрімають від одержаного рівняння почленно рівняння усталеного режиму:

$$F(x_0, y_0, \bar{z}_0) = 0; \quad 12.3/$$

г/ відкидають члени вищого порядку мализни, які складаються з добутків і степенів з відповідними коефіцієнтами.

Таким чином, замість нелінійного рівняння 12.1/ дістали лінійне

$$\left(\frac{\partial F}{\partial x} \right)_0 \Delta x(t) + \left(\frac{\partial F}{\partial y} \right)_0 \Delta y(t) + \left(\frac{\partial F}{\partial \bar{z}} \right)_0 \Delta \bar{z}(t), \quad 12.4/$$

де $\left(\frac{\partial F}{\partial x} \right)_0$, $\left(\frac{\partial F}{\partial y} \right)_0$, $\left(\frac{\partial F}{\partial \bar{z}} \right)_0$ позначено частинні похідні функції F , взяті для $x(t) = x_0$, $y(t) = y_0$, $\bar{z}(t) = \bar{z}_0$.

Практично для того, щоб узяти кожну з частинних похідних, які містить рівняння 12.1/, треба здиференціювати функцію F по відповідній змінній і потім підставити сталі значення всіх інших змінних, окрім тієї, по якій виконували диференціювання.

Рівняння 12.4/ називають рівнянням у відхиленнях або у варіаціях. Від початкового воно відрізняється за такими ознаками:

воно є наближене, бо під час його виведення було відкинуто члени вищого порядку мализни;

у ньому невідомими функціями є відхилення $\Delta x(t)$, $\Delta y(t)$, $\Delta \bar{z}(t)$ замість повних змінних $x(t)$, $y(t)$, $\bar{z}(t)$;

воно є лінійне рівняння із стальними коефіцієнтами або рівняння із змінними коефіцієнтами, коли початкове рівняння 12.1/ містить явно час t або коли усталений процес характеризують змінні в часі значення $x_0(t)$, $y_0(t)$, $\bar{z}_0(t)$ /програмова трасекторія/.

Дамо геометричну інтерпретацію викладеного попереду способу лінеаризації. На рис. 2.2 зображене залежність F від $x(t)$, коли $y(t) = y_0$, $z(t) = z_0$, у вигляді кривої DC . Тоді тангенс кута нахилу дотичної AB у точці A з координатами $x(t) = x_0$

$$F = F_0 = F(x_0, y_0, z_0)$$

дорівнюватиме частинній похідній функції F по змінній $x(t)$:

$$\operatorname{tg} \alpha = \left(\frac{\partial F}{\partial x} \right)_0. \quad 12.5/$$

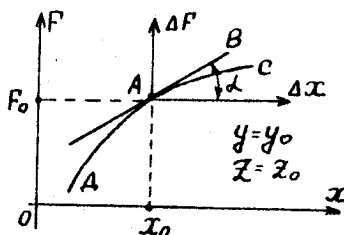


Рис. 2.2. До питання про геометричну інтерпретацію лінеаризації рівнянь

Порівнявши перший член лінеаризованого рівняння /2.4/ з рівнянням /2.5/, бачимо, що лінеаризація нелінійного рівняння /2.1/ геометрично можна інтерпретувати як перехід від кривої DC до прямої AB , а заміна $x(t) = x_0 + \Delta x(t)$ на $\Delta x(t)$ й вилучення з розгляду рівняння усталеного режиму /2.3/ вілловідає перенесення початку координат у робочу точку A усталеного режиму /рис. 2.2/. З цього самого рисунка також випливає, що чим менші величини відхилень $\Delta x(t)$, з якими мають справу в досліджуваному циклічному процесі, тим точніше лінеаризоване рівняння описує процеси, що їх відбуває початкове рівняння. Лінеаризацію робити непримістимо тощі, коли елемент має істотно нелінійну статичну характеристику, наприклад релеїну, бо вона в цьому випадку означатиме спотворення принципу роботи цього елемента.

Лінеаризуючи, наприклад, нелінійне диференціальне рівняння

$$F[x(t), \dot{x}(t), y(t), \dot{y}(t)] = 0, \quad 12.6/$$

похідні $\dot{x}(t)$ та $\dot{y}(t)$ треба розглядати як самостійні змінні. Тоді лінеаризація відносно робочої точки з координатами $x_0, \dot{x}_0, y_0, \dot{y}_0$ лінійного диференціального рівняння матиме вигляд

$$\left(\frac{\partial F}{\partial y} \right)_0 \frac{d\Delta y(t)}{dt} + \left(\frac{\partial F}{\partial \dot{y}} \right)_0 \Delta \dot{y}(t) = - \left(\frac{\partial F}{\partial x} \right)_0 \frac{d\Delta x(t)}{dt} - \left(\frac{\partial F}{\partial \dot{x}} \right)_0 \Delta \dot{x}(t). \quad 12.7/$$

З викладеного випливає, що лінеаризацію можна виконувати аналітичним способом, коли нелінійне рівняння задано аналітично, і графічним – коли нелінійну функцію задано графічно.

Приклад 2.1. Лінеаризувати рівняння, що визначає обертальний момент двигуна постійного струму.

Відомо, що цей момент

$$M_A(t) = C I_A(t) \Phi(t), \quad 12.8/$$

де C - конструктивна стала; $I_A(t)$ - струм якірного кола; $\Phi(t)$ - магнітний потік полюсів.

Рівняння 12.8/ не лінійне, бо містить добуток змінних $I_A(t) \Phi(t)$. Так само, як і 12.1/, його можна записати так:

$$\mathcal{F}[M_A(t), I_A(t), \Phi(t)] = M_A(t) - C I_A(t) \Phi(t) = 0. \quad 12.9/$$

Відповідно до формулі 12.4/

$$\left(\frac{\partial \mathcal{F}}{\partial M_A} \right)_0 \Delta M_A(t) + \left(\frac{\partial \mathcal{F}}{\partial I_A} \right)_0 \Delta I_A(t) + \left(\frac{\partial \mathcal{F}}{\partial \Phi} \right)_0 \Delta \Phi(t). \quad 12.10/$$

Згідно з 12.8/

$$\left(\frac{\partial \mathcal{F}}{\partial M_A} \right)_0 = 1, \quad \left(\frac{\partial \mathcal{F}}{\partial I_A} \right)_0 = -C \Phi_0, \quad \left(\frac{\partial \mathcal{F}}{\partial \Phi} \right)_0 = -C I_{A0}, \quad 12.11/$$

де I_{A0} і Φ_0 - усталені, наприклад номінальні, значення відповідно струму й магнітного потоку двигуна.

Підставивши вирази 12.11/ у 12.10/, дістанемо лінійне рівняння у варіаціях

$$\Delta M_A(t) - C \Phi_0 \Delta I_A(t) - C I_{A0} \Delta \Phi(t) = 0. \quad 12.12/$$

2.2.3. Запис диференціальних рівнянь в операторній формі

У загальному вигляді рівняння лінійної /або лінеаризованої; знай A біля змінних $x(t)$ і $y(t)$ пропускаємо/ СКЕП із сталими параметрами, яке визначає реакцію системи $y(t)$ на вхідну дію $x(t)$, можна записати так:

$$a_n \frac{d^n y(t)}{dt^n} + a_{n-1} \frac{d^{n-1} y(t)}{dt^{n-1}} + \dots +$$

$$+ a_0 y(t) = b_m \frac{d^m x(t)}{dt^m} + b_{m-1} \frac{d^{m-1} x(t)}{dt^{m-1}} + \dots + b_0 x(t), \quad /2.13/$$

де a_i та b_j - сталі коефіцієнти, що залежать від параметрів системи.

Рівняння динаміки зручно записувати в операторній /символічній/ формі, запровадивши оператор диференціювання:

$$\mathcal{D} = \frac{d}{dt}, \quad \mathcal{D}^2 = \frac{d^2}{dt^2}, \dots, \quad \mathcal{D}^n = \frac{d^n}{dt^n}. \quad /2.14/$$

Такий запис означає виконання над функціями $y(t), x(t), \dots$, на які діє оператор \mathcal{D} , відповідних операцій диференціювання:

$$\mathcal{D}y(t) = \frac{dy(t)}{dt}, \quad \mathcal{D}^2 y(t) = \frac{d^2 y(t)}{dt^2}, \dots, \quad \mathcal{D}x(t) = \frac{dx(t)}{dt}, \dots.$$

Тоді

$$\mathcal{D}^{-1} = \frac{1}{\mathcal{D}} \quad /2.15/$$

являється собою оператор інтегрування

$$\mathcal{D}^{-1} y(t) = \frac{1}{\mathcal{D}} y(t) = \int y(t) dt, \dots; \quad \mathcal{D}^{-1} x(t) = \int x(t) dt.$$

Треба мати на увазі, що властивість комутативності у випадку ції операторів на функції часу не має сенсу. Тому потрібно писати, наприклад, $\mathcal{D}x(t)$, бо вираз $x(t)\mathcal{D}$ беззмістовний.

Використовуючи символ \mathcal{D} , запишемо /2.13/ у символічній формі:

$$(a_n \mathcal{D}^n + a_{n-1} \mathcal{D}^{n-1} + \dots + a_0 \mathcal{D} + a_0) y(t) =$$

$$= (b_m \mathcal{D}^m + b_{m-1} \mathcal{D}^{m-1} + \dots + b_0) x(t). \quad /2.16/$$

або

$$A(\mathcal{D}) y(t) = B(\mathcal{D}) x(t), \quad /2.17/$$

де

$$\left. \begin{aligned} A(\mathcal{D}) &= a_n \mathcal{D}^n + a_{n-1} \mathcal{D}^{n-1} + \dots + a_0, \\ B(\mathcal{D}) &= b_m \mathcal{D}^m + b_{m-1} \mathcal{D}^{m-1} + \dots + b_0. \end{aligned} \right\} \quad 12.18/$$

Оператори 12.18/, які застосовують до функцій $y(t)$ і $x(t)$, є лінійні диференційні оператори. Формально розв'язуючи рівняння 12.17/ відносно $y(t)$, цістасмо

$$y(t) = \frac{B(\mathcal{D})}{A(\mathcal{D})} x(t) \quad 12.19/$$

або

$$y(t) = K(\mathcal{D}) x(t), \quad 12.20/$$

де $K(\mathcal{D})$ – оператор лінійної динамічної СКЕП із сталими параметрами, що являє собою дробово-раціональну функцію символу \mathcal{D} і параметрів системи:

$$K(\mathcal{D}) = \frac{B(\mathcal{D})}{A(\mathcal{D})} = \frac{b_m \mathcal{D}^m + b_{m-1} \mathcal{D}^{m-1} + \dots + b_0}{a_n \mathcal{D}^n + a_{n-1} \mathcal{D}^{n-1} + \dots + a_0}. \quad 12.21/$$

Операторний запис диференціальних рівнянь часто використовують, зокрема у випадку згортання системи диференціальних рівнянь до одного рівняння, дослідження динамічних властивостей СКЕП із змінними параметрами і систем, котрі зазнають впливу випадкових дій.

2.2.4. Запис диференціальних рівнянь у зображеннях за Лапласом.

Передавна функція системи керування електроприводом

Зрівноважи перетворення Лапласа з кожним членом правої та лівої частин диференціального рівняння 12.18/ і вважаючи початкові умови нульовими [до моменту прикладення цієї системи перебуває в спокої, а отже, $y(-0) = 0$, $\dot{y}(-0) = 0$, ..., $y^{(n-1)}(-0) = 0$], одержуємо таке алгебричне рівняння в зображеннях за Лапласом:

$$\begin{aligned} (a_n p^n + a_{n-1} p^{n-1} + \dots + a_1 p + a_0) y(p) &= \\ = (b_m p^m + b_{m-1} p^{m-1} + \dots + b_1 p + b_0) x(p) \end{aligned} \quad 12.22/$$

або

$$A(\rho)Y(\rho) = B(\rho)x(\rho), \quad /2.23/$$

де $\rho = \sigma + j\omega$ - комплексна змінна,

$$A(\rho) = \sum_{i=0}^n a_i \rho^i;$$

$$B(\rho) = \sum_{i=0}^m b_i \rho^i.$$

Передавною функцією лінійної системи із сталими параметрами, як відомо, називають відношення зображення $Y(\rho)$ вихідної величини $y(t)$ до зображення $x(\rho)$ вхідної $x(t)$ за нульових початкових умов, тобто

$$K(\rho) = \frac{Y(\rho)}{x(\rho)} = \frac{\sum_{j=0}^m b_j \rho^j}{\sum_{i=0}^n a_i \rho^i}. \quad /2.24/$$

Отже, передавна функція лінійної стаціонарної системи /елемента/ являє собою дробово-раціональну функцію комплексної змінної ρ . Вона повністю відображає тільки внутрішні динамічні властивості системи, що їх характеризують коефіцієнти підсилення, сталі часу та інші параметри /через коефіцієнти циференціального рівняння a_i, b_j / за нульових початкових умов, і не залежить від виду вхідної цілі $x(t)$.

Коли відомі /визначені/ ρ_i -поліси і g_j -нулі передавної функції $K(\rho)$, які відповідають кореням рівняння $A(\rho) = 0$ та $B(\rho) = 0$, то тоді вираз /2.24/ можна записати у вигляді

$$K(\rho) = \frac{B(\rho)}{A(\rho)} = \frac{b_m \sum_{j=0}^m (\rho - g_j)}{a_n \sum_{i=0}^n (\rho - \rho_i)}. \quad /2.25/$$

Припускають, що поліноми $A(\rho)$ та $B(\rho)$ не мають спільних коренів і дріб /2.25/ скоротити не можна.

Знайдучи передавну функцію системи, можна знайти реакцію останньої $y(t)$ на дію $x(t)$ у загальному випадку довільного виду. Для цього треба спочатку знайти зображення $Y(\rho) = K(\rho)x(\rho)$, а потім будь-яким відомим способом перейти до оригіналу $y(t)$.

Порівнявши вирази /2.17/ та /2.23/, бачимо, що записи рівнянь в операторній формі і в зображеннях за Лапласом збігаються за видом, коли перетворення Лапласа визначене пля нульових початкових умов. Можна легко перейти від одного запису до іншого, замінивши символи $\rho = \omega$ і $\rho^k = \omega^k$. Проте ці рівняння так само, як оператор /2.21/ і передавна функція /2.24/, дуже відрізняються одноне від одного, оскільки поняття оператора має ширший зміст, бо слухне і для нульових, і для ненульових початкових умов досліджуваної системи.

2.2.5. Структурні схеми систем керування електроприводами

Структурну схему СКЕП одержують з функціональної, коли в ній за-мість функціонального призначення окремих елементів, які утворюють систему, записати оператори чи передавні функції цих елементів. Кожна структурна схема складається з таких чотирьох груп елементів: суматорів /елементів порівняння/, в яких додаються чи віднімаються два або кілька сигналів; динамічних блоків напрямленої дії, що їх характери-зують оператори чи передавні функції; точок розгалуження, в яких сиг-нал розгалужується на кілька /до різних точок системи; зв"язків, або ліній, що вказують на напрям проходження сигналів /рис. 2.3/.

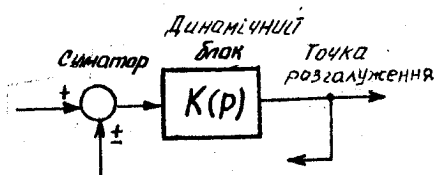


Рис. 2.3. Елементи структурної схеми

Структурна схема відби-
ве тільки динамічні власни-
вості системи. Одній і тій
самій структурній схемі може
відповісти велика кількість
функціональних схем з різними
різним фізичним принципом їх
роботи і різною конструкцією.
Протилежне твердження невір-

не – конкретному фізичному пристроєві чи схемі
одна передавна функція і одна структурна схема, хоча останню графічно
можна зобразити по-різному.

Побудовою структурної схеми закінчується найбільш трудомісткий
процес формалізації /математичного опису/ СКЕП.

Приклад 2.2. На рис. 2.4 зображені структурну схему привода з
одиничним зворотним зв"язком. На цій схемі використано такі позначення:
 $x(\rho)$, $y(\rho)$ і $f(\rho)$ – зображення відповідно вхідної, вихідної й збу-

рівальної дії; $R(p) = Z(p)/\mathcal{E}(p) = B_1(p)/A_1(p)$ і $G(p) =$
 $= Y(p)/Z_1(p) = B_2(p)/A_2(p)$ - передавні функції динамічних блоків. Треба визначити, користуючись цією схемою, передавні функції за керувальною $x(p)$ і збурювальною $f(p)$ діями й накреслити відповідні структурні схеми, якщо

$$B_1(p) = K_1; \quad B_2(p) = K_2; \quad A_1(p) = (T_1 p + 1); \quad A_2(p) = T_2 p.$$

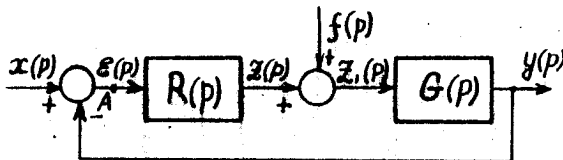


Рис. 2.4. Структурна схема привода з однічним зворотним зв'язком.

Розв'язання. Передавні функції за керувальною дією /визначають за умови, що $f(p) = 0/$:

розімкненої системи

$$\begin{aligned} W(p) &= \frac{Y(p)}{\mathcal{E}(p)} = R(p)G(p) = \frac{B_1(p)B_2(p)}{A_1(p)A_2(p)} = \\ &= \frac{K_1 K_2}{T_2 p (1+T_1 p)} = \frac{K_V}{p} \cdot \frac{1}{T_1 p + 1}, \end{aligned} \quad /2.26/$$

замкненої системи

$$\begin{aligned} \phi(p) &= \frac{Y(p)}{x(p)} = \frac{R(p)G(p)}{1+R(p)G(p)} = \frac{W(p)}{1+W(p)} = \\ &= \frac{B_1(p)B_2(p)}{A_1(p)A_2(p) + B_1(p)B_2(p)} = \frac{K_1 K_2}{T_1 T_2 p^2 + T_2 p + K_1 K_2} \\ &= \frac{K_V}{T_1 p^2 + p + K_V}; \end{aligned} \quad /2.27/$$

замкненої системи за похибкою

$$E(p) = \frac{E(p)}{x(p)} = \frac{1}{1+R(p)G(p)} = \frac{1}{1+W(p)} = \frac{A_1(p)A_2(p)}{A_1(p)A_2(p)+B_1(p)B_2(p)} =$$

$$= \frac{T_2 p(1+T_1 p)}{T_1 T_2 p^2 + T_2 p + K_1 K_2} = \frac{p(1+T_1 p)}{T_1 p^2 + p + K_V}, \quad 12.28/$$

де $K_V = K_1 K_2 / T_2$, с⁻¹.

Передавні функції за збурювальною дією /визначають за умови, що $x(p) = 0/$:

розмікненої системи /розмикання зроблено в точці A ; див. рис. 2.4/

$$W_f(p) = \frac{Y(p)}{f(p)} = G(p) = \frac{B_2(p)}{A_2(p)} = \frac{T_2}{T_2 p}; \quad 12.29/$$

замкненої системи

$$\phi_f(p) = \frac{Y(p)}{f(p)} = G(p) \frac{1}{1+R(p)G(p)} = G(p) \frac{1}{1+W(p)} =$$

$$= \frac{B_2(p) A_1(p)}{A_1(p) A_2(p) + B_1(p) B_2(p)} = \frac{K_2(1+T_1 p)}{T_1 T_2 p^2 + T_2 p + K_1 K_2}. \quad 12.30/$$

Структурні схеми СКЕП, які відповідають передавним функціям за керувальною дією /2.26/, /2.27/ і /2.28/, зображені на рис. 2.5, а схеми, що відповідають передавним функціям за збурювальною дією /2.29/ і /2.30/, - на рис. 2.6.

2.2.6. Частотні методи дослідження систем керування електроприводами

Досліджуючи СКЕП частотними методами, на Y вхід подають гармонічний сигнал, наприклад синусоїдний $x(t) = X \sin \omega t$, частота якого ω змінюється від 0 до ∞ . Оскільки розглядають лінійну систему /ланку/, то в усталеному режимі вихідний сигнал також матиме синусоїду форму і відрізнятиметься від вхідного амплітудою та фазою, тобто $y(t) = Y \sin(\omega t + \varphi)$. За видом законів зміни амплітуди Y і фази φ вихідного сигналу порівняно з амплітудою X та фазою /звичайно цорів-

ніє нулеві/ вхідного сигналу під час зміни частоти ω і роблять висновок про динамічні властивості системи. Щоб одержати аналітичний вираз частотних характеристик, треба в передавній функції /або в операторі/ замінити комплексну змінну $p = \sigma + j\omega$ значенням $p = j\omega$, тобто

$$K(p) \Big|_{p=j\omega} = K(j\omega). \quad 12.31/$$

Вираз 12.31/, як відомо, звичайно називають амплітудно-фазовою характеристикою /рідше комплексною передавною функцією/. Для кожного значення частоти ω $K(j\omega)$ є комплексне число, а коли ω змінюється - комплексна функція, яку можна записати в декартовій чи в показниковій формі:

$$K(j\omega) = P(\omega) + jQ(\omega) =$$

$$= \sqrt{P^2(\omega) + Q^2(\omega)} e^{j \operatorname{arctg} \frac{Q(\omega)}{P(\omega)}} =$$

$$= K(\omega) e^{j\varphi(\omega)}, \quad 12.32/$$

де $P(\omega) = \operatorname{Re} K(j\omega)$ - дійсна частотна характеристика; $Q(\omega) = \operatorname{Im} K(j\omega)$ - уявна частотна характеристика; $K(\omega) = \sqrt{P^2(\omega) + Q^2(\omega)} = |K(j\omega)|$ - амплітудно-частотна характеристика; $\varphi(\omega) = \operatorname{arg} K(j\omega) = \operatorname{arctg} \frac{Q(\omega)}{P(\omega)}$ - фазочастотна характеристика.

Зазначимо, що заміна $p = \sigma + j\omega$ значенням $p = j\omega$ з погляду математики означає перехід від перетворення Лапласа до перетворення Фур'є, а годограф $K(j\omega)$ являє собою відображення уявної осі комплексної площини на комплексну площину

$$K(j\omega) = P(\omega) + jQ(\omega).$$

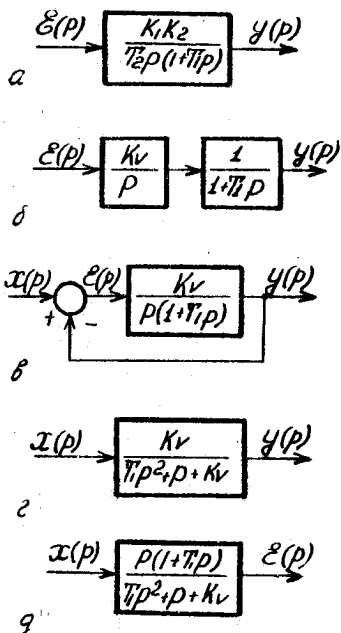


Рис. 2.5. Структурні схеми СКЕП за керувальною лінією /до прикладу 2.2/: а, б - розімкненої системи; в, г - замкненої системи; д - замкненої системи за похибкою

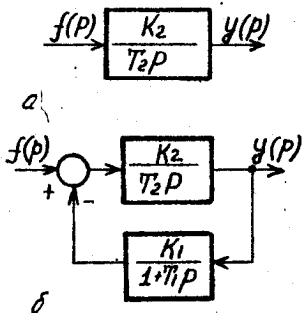


Рис. 2.6. Структурні схеми СКЕП за збурювальним дією /по прикладу 2.2/: а - розімкнена система; б - замкнена

2.3. Математичний опис систем керування електроприводами в змінних стану

2.3.1. Основні означення й поняття

Метод змінної стану ґрунтуються на понятті стану. Розглянемо лінійну стаціонарну систему з одним входом $U(t)$ і одним виходом $Y(t)$. Її динамічні властивості описують лінійним диференціальним рівнянням \mathcal{L} -го порядку із сталими коефіцієнтами виду /2.13/. щоб його розв'язати, треба задати n початкових значень /умов/:

$$y(t_0) = y(0); \dot{y}(t_0) = \dot{y}(0), \dots, y^{(n-1)}(t_0) = y^{(n-1)}(0).$$

Початкові умови визначають подальший рух системи. Тому їх можна розглядати як характеристику стану системи в початковий момент часу $t = t_0$.

Стан системи в момент часу t_0 - такий мінімальний набір відомостей про поведінку системи, інформації якого разом з певною вхідною функцією $U(t)$, заданою для інтервалу часу $t_0 \leq t \leq t_k$, досить для однозначного знаходження одної вихідної функції $y(t)$ для $t_0 \leq t \leq t_k$ за будь-якого $t_k > t_0$.

Крім звичайних частотних характеристик $K(j\omega)$, $K(\omega)$, $U(\omega)$ для дослідження СКЕП широко використовують логарифмічні: амплітудно-частотну /ЛАЧХ/, дБ:

$$L(\omega) = 20 \log K(\omega)$$

і фазочастотну $\varphi(\omega)$, яку будують за відповідним енелітичним виразом у логарифмічному масштабі.

Частотні методи дослідження якості систем керування на підставі використання звичайних і логарифмічних характеристик вивчає курс "Теорія автоматичного керування", і ми їх не розглядаємо.

Для характеристики стану системи запроваджують сукупність змінних $x_1(t), x_2(t), x_3(t), \dots, x_n(t)$, початкові значення яких $x_1(0), x_2(0), \dots, x_n(0)$ і вхідна дія $u(t)$ дають змогу однозначно знайти майбутній рух динамічної системи. Ці змінні й називають змінними стану.

У кожен момент часу t стан системи, що має m входів і ℓ вихідів /багатовимірна система/, який характеризують змінні стану $x_1(t), x_2(t), \dots, x_n(t)$ /рис. 2.7/, є функцією початкового стану $x_1(0), x_2(0), \dots, x_n(0)$ і вхідних дій $U_1(t), U_2(t), \dots, U_m(t)$:

$$x_i(t) = \psi_i [x_1(0), x_2(0), \dots, x_n(0); U_1(t), U_2(t), \dots, U_m(t)],$$



Рис. 2.7. Зображення багатовимірної системи в змінних стану

де ψ_i - однозначні функції своїх аргументів, $i = 1, 2, \dots, n$.

Стан системи в момент часу t звичайно характеризують за допомогою вектора стану $x(t)$ із залежними від часу змінними стану $x_i(t)$, $i = 1, 2, \dots, n$:

$$x(t) = [x_1(t) \ x_2(t) \ \dots \ x_n(t)]^T, \quad /2.33/$$

де T - транспоновані матриці.

Множину всіх значень, що їх може набути вектор $x(t)$ у момент часу t , називають простором стану /фазовим простором/, котрий можна розглядати як певний абстрактний n -вимірний векторний простір. Точку, що визначає положення кінця вектора стану $x(t)$ у просторі стану, називають зображенням. Рух кінця вектора стану $x(t)$ у просторі станів називають траекторією вектора стану /фазовою траекторією/.

Емірність вектора стану збігається з порядком диференціального рівняння, яке описує динамічні властивості системи.

Стан системи, що її описує диференціальне рівняння першого порядку, характеризує вектор стану з опісю змінною стану. Фазовий простір у цьому разі називають одновимірним, і він являє собою лінію на площині, а фазова траекторія - відрізок цієї прямої /рис. 2.8, a/, що його описує кінець вектора стану від значення $x(t_0)$ в початковий момент часу $t = t_0$ до значення $x(t_k)$ у кінцевий момент часу $t = t_k$. Стан системи другого порядку характеризує вектор стану з двома змінними $x_1(t)$ і $x_2(t)$. Фазовий простір у цьому випадку нази-

вають дновимірним, і він являє собою площину з прямокутними координатами x_1 і x_2 , а фазова траекторія - крива на площині, що її описує кінець вектора стану $\bar{x}(t)$ у процесі зміни часу від $t = t_0$ до $t = t_K$ /рис. 2.8,б/. На рис. 2.8,в зображене фазову траекторію в три-вимірному фазовому просторі із системою координат x_1 , x_2 , x_3 і положення вектора стану $\bar{x}(t_K)$ для певного моменту часу $t = t_K$. Тривимірний фазовий простір використовують для характеристики рухів системи третього порядку. Для систем n -го порядку змінні стану $x_1(t)$, $x_2(t)$, ..., $x_n(t)$ розглядають як координати вектора стану $\bar{x}(t)$ у n -вимірному фазовому просторі, в який введено систему координат x_1 , x_2 , ..., x_n .

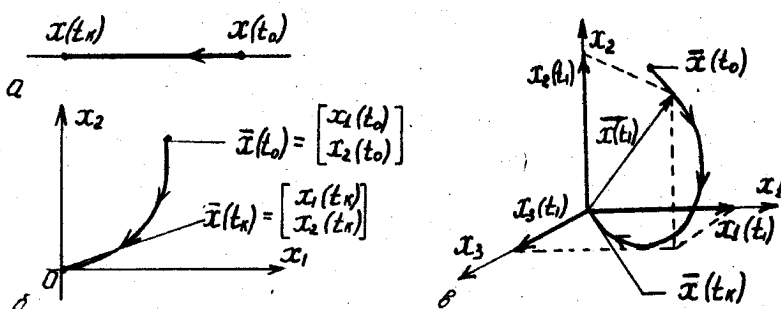


Рис. 2.8. Фазовий простір і фазові траекторії системи, яку описують ціференціальне рівняння першого /а/, другого /б/ і третього /в/ порядків

За аналогієм з простором станів для багатовимірної системи керування запроваджують простір керувань /входів/ і простір виходів, розглядаючи керувальні дії $U_1(t)$, $U_2(t)$, ..., $U_m(t)$ і вихільні /керовані/ координати $Y_1(t)$, $Y_2(t)$, ..., $Y_z(t)$ відповідно як координати вектора керування $U(t) = [U_1(t), U_2(t), \dots, U_m(t)]^T$ у m -вимірному просторі і координати вектора виходу $Y(t) = [Y_1(t), Y_2(t), \dots, Y_z(t)]^T$ у z -вимірному просторі.

Треба сказати про принципову відмінність у змістах таких понять, як вектори керування /входу/ $U(t)$, виходу $Y(t)$ і вектор стану $\bar{x}(t)$. Усі складові двох перших - це конкретні фізичні величини, а третій - це деяка в загальному випадку абстрактна характеристика системи.

Не відіграє ролі, яку фізичну природу мають змінні стану /фазові координати/. Вони залежать від вибору базису, що являє собою сукупність лінійно незалежних векторів, наприклад векторів одиничної довжини, направлених уздовж взаємно перпендикулярних осей n -вимірного векторного простору R_n , тобто сукупність ортів. Замінивши базис, можна запровадити нові змінні стану. Тому є доволі велика кількість способів вибору змінних стану. Згічайно користуються лише цякими з них: або тими, котрі надають перевагу в дослідженнях математичної моделі системи, або ті, які мають зрозумілий фізичний зміст.

Коли на систему діють завади, що їх характеризує вектор завад $f(t) = [f_1(t), f_2(t), \dots, f_p(t)]^T$, то в цьому разі запроваджується ℓ -вимірний простір завад.

2.3.2. Рівняння стану

Аби зв'язати послідовні стани системи в часі, припустимо, що похідна $d\dot{x}_i(t) / dt = \ddot{x}_i(t)$ для всіх $i = 1, 2, \dots, n$ залежить тільки від поточного стану системи і не залежить від передісторій станів. Це просте припущення дає змогу описати динамічну систему диференціальними рівняннями:

$$\left. \begin{aligned} \dot{x}_1(t) &= \varphi_1[x_1(t), x_2(t), \dots, x_n(t); U_1(t), U_2(t), \dots, U_m(t); t], \\ \dot{x}_2(t) &= \varphi_2[x_1(t), x_2(t), \dots, x_n(t); U_1(t), U_2(t), \dots, U_m(t); t], \\ &\dots \\ \dot{x}_n(t) &= \varphi_n[x_1(t), x_2(t), \dots, x_n(t); U_1(t), U_2(t), \dots, U_m(t); t]. \end{aligned} \right\} 12.341$$

Праві частини цих рівнянь залежать від шуканих функцій $x_i(t)$ і не залежать від їхніх похідних. Систему рівнянь першого порядку виду /2.34/ називають системою n диференціальних рівнянь, записаною в нормальній формі Коши.

У загальному випадку кількість виходів /див. рис. 2.71 $y_1(t)$, $y_2(t)$, ..., $y_r(t)$ не залежить від кількості n змінних стану, зде- більшого останніх набагато більше, а націо від кількості керованих ви- хідних змінних. Знайти змінні стану, можна знайти кожен з вихідних сигналів $y_i(t)$ як цеяку функцію g_i від змінних стану й виходів:

$$\left. \begin{aligned} y_1(t) &= g_1[x_1(t), x_2(t), \dots, x_n(t); u_1(t), u_2(t), \dots, u_m(t); t], \\ y_2(t) &= g_2[x_1(t), x_2(t), \dots, x_n(t); u_1(t), u_2(t), \dots, u_m(t); t], \\ &\vdots \\ y_N(t) &= g_N[x_1(t), x_2(t), \dots, x_n(t); u_1(t), u_2(t), \dots, u_m(t); t]. \end{aligned} \right\} 12.351$$

Праві частини рівнянь /2.34/ і /2.35/ - функції y_1, y_2, \dots, y_n
і g_1, g_2, \dots, g_r - є однозначні.

Сукупність рівнянь /2.34/ і /2.35/ визначає стан динамічної системи, і її називають рівняннями стану.

У загальному випадку і диференціальні /2.34/, і алгебричні /2.35/ рівняння є нелінійні. Надалі припустимо, що їх лінеаризовано і що вони, крім того, описують динамічні процеси в детермінованих стаціонарних системах. Нагадаємо, що в такій системі кожному зашарованому векторові входу $u(t)$ відповідає єдиний вектор виходу $u(t)$, а в стаціонарній системі її змінні стану $x_i(t)$, а також вихідні змінні $y_i(t)$ не залежать від моменту t_0 прикладення вхідних під $u_k(t)$. З такими припущеннями рівняння /2.34/ і /2.35/ можна перетворити так:

$$\left. \begin{array}{l} \dot{x}_1(t) = a_{11}x_1(t) + a_{12}x_2(t) + \dots + a_{1n}x_n(t); \\ \qquad b_{11}u_1(t) + \dots + b_{1m}u_m(t), \\ \dot{x}_2(t) = a_{21}x_1(t) + a_{22}x_2(t) + \dots + a_{2n}x_n(t); \\ \qquad b_{21}u_1(t) + \dots + b_{2m}u_m(t), \\ \vdots \\ \dot{x}_n(t) = a_{n1}x_1(t) + a_{n2}x_2(t) + \dots + a_{nn}x_n(t); \\ \qquad b_{n1}u_1(t) + \dots + b_{nm}u_m(t); \end{array} \right\} \quad /2.36/$$

$$\left. \begin{array}{l} y_1(t) = c_{11}x_1(t) + c_{12}x_2(t) + \dots + c_{1n}x_n(t); \quad d_{11}u_1(t) + \dots + d_{1m}u_m(t), \\ y_2(t) = c_{21}x_1(t) + c_{22}x_2(t) + \dots + c_{2n}x_n(t); \quad d_{21}u_1(t) + \dots + d_{2m}u_m(t), \\ \vdots \\ y_r(t) = c_{r1}x_1(t) + c_{r2}x_2(t) + \dots + c_{rn}x_n(t); \quad d_{r1}u_1(t) + \dots + d_{rm}u_m(t). \end{array} \right\} \quad /2.37/$$

У рівняннях /2.36/, /2.37/ a_{ij} , $i = 1, 2, \dots, n$; $j = 1, 2, \dots, n$; b_{ij} , $i = 1, 2, \dots, r$; $j = 1, 2, \dots, m$; c_{ij} , $i = 1, 2, \dots, r$; $j = 1, 2, \dots, n$; d_{ij} , $i = 1, 2, \dots, r$; $j = 1, 2, \dots, m$ - сталі коефіцієнти, які одержують внаслідок розв'язання нелінійних функцій y_i та g_i в ряд Тейлора під час лінеаризації рівнянь.

У векторно-матрицевій формі рівняння /2.36/ і /2.37/ мають такий вигляд:

$$\bar{x}(t) = A \bar{x}(t) + B \bar{U}(t); \quad 12.381$$

$$\bar{y}(t) = C \bar{x}(t) + D \bar{U}(t), \quad 12.391$$

де

$$A = \begin{bmatrix} a_{11} & a_{12} & \dots & a_{1n} \\ a_{21} & a_{22} & \dots & a_{2n} \\ \dots & \dots & \dots & \dots \\ a_{n1} & a_{n2} & \dots & a_{nn} \end{bmatrix}; \quad B = \begin{bmatrix} b_{11} & b_{12} & \dots & b_{1m} \\ b_{21} & b_{22} & \dots & b_{2m} \\ \dots & \dots & \dots & \dots \\ b_{n1} & b_{n2} & \dots & b_{nm} \end{bmatrix};$$

$$C = \begin{bmatrix} c_{11} & c_{12} & \dots & c_{1n} \\ c_{21} & c_{22} & \dots & c_{2n} \\ \dots & \dots & \dots & \dots \\ c_{r1} & c_{r2} & \dots & c_{rn} \end{bmatrix}; \quad D = \begin{bmatrix} d_{11} & d_{12} & \dots & d_{1m} \\ d_{21} & d_{22} & \dots & d_{2m} \\ \dots & \dots & \dots & \dots \\ d_{r1} & d_{r2} & \dots & d_{rm} \end{bmatrix}.$$

Оскільки елементи матриць A, B, C і D - сталі числа, то й самі ці матриці сталі. Квадратну матрицю A вимірністю $n \times n$, називають матрицею стану /динамічною/; її структура визначає характер як вільних, так і вимушених рухів системи. Матрицю B вимірністю $n \times m$ називають матрицею керувальних дій /матрицею входу/; її структура визначає характер зв"язку входу системи з різними змінними стану. Матрицю C вимірністю $r \times n$ називають матрицею вихідних координат /матрицею виходу/; її структура визначає характер зв"язку вихідних координат системи з окремими змінними стану. Матриця D вимірністю $r \times m$ характеризує прямий /не динамічний/ зв"язок вихідних координат з керувальними координатами; її структура визначає, яким чином спонукальні функції на вході безпосередньо впливають на різні складові виходу. Для багатьох фізичних систем матриця D нульова.

У випадку векторно-матрицевого запису диференціальних рівнянь основними ланками структурної схеми, як бачимо з рис. 2.9, є багатовимірні суматори, інтегратори й матрицеві динамічні блоки A, B, C і D . Оскільки визначені елементами схеми операції лінійні, а коефіцієнти матрицевих блоків сталі, то схема лінеаризованої моделі /рис. 2.9/ відповідає лінійній стаціонарній системі. Ця сама структурна схема, коли замінити матрицеві блоки із сталими матрицями матрицевими блоками із змінними матрицями $A(t), B(t), C(t)$ і $D(t)$, відповідатиме лінійній нестаціонарній системі.

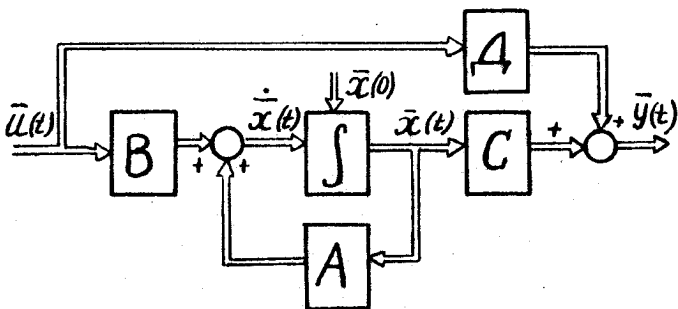


Рис. 2.9. Структурна схема багатовимірної лінійної стаціонарної системи, яка відповідає рівнянням стану /2.38/ і /2.39/

2.3.3. Рівняння стану в стандартизованій формі

Нехай відоме нормоване / $a_n = 1$ / диференціальне рівняння вхід-виходів, яке визначає зв'язок між виходом $y(t)$ і входом $u(t)$ одновимірної системи n -го порядку:

$$\frac{d^n y(t)}{dt^n} + a_{n-1} \frac{d^{n-1} y(t)}{dt^{n-1}} + \dots + a_1 \frac{dy(t)}{dt} + a_0 y(t) = b_0 u(t). \quad 12.40/$$

Знайдемо рівняння стану, що відповідає диференціальному рівнянню /2.40/. Оскільки, знаючи початкові значення для виходу та його похідні $y(0), \dot{y}(0), \dots, y^{(n-1)}(0)$, можна зробити висновок про майбутній рух системи, то змінні $y(t), \dot{y}(t), \dots, y^{n-1}(t)$, як уже вказувалося, можна вважати змінними стану:

$$\left. \begin{aligned} x_1(t) &= y(t), \\ x_2(t) &= \dot{y}(t) = \dot{x}_1(t), \\ x_3(t) &= \ddot{y}(t) = \dot{x}_2(t), \\ &\vdots \quad \vdots \\ x_n(t) &= y^{(n-1)}(t) = \dot{x}_{n-1}(t). \end{aligned} \right\} \quad 12.41/$$

Розв'язавши рівняння 12.40/ відносно старшої похідної, дістанемо

$$\frac{d^n y(t)}{dt^n} = -\alpha_0 y(t) - \alpha_1 \frac{dy(t)}{dt} - \dots - \alpha_{n-1} \frac{d^{n-1}y(t)}{dt^{n-1}} + \beta_0 u(t). \quad 12.42/$$

Тоді з 12.41/ та 12.42/ дістаємо таку систему диференціальних рівнянь першого порядку відносно змінних стану $x_1(t), x_2(t), \dots, x_n(t)$ і алгебричне рівняння, яке зв'язує вихід системи $y(t)$ з відповідним змінним стану:

$$\left. \begin{aligned} \dot{x}_1(t) &= x_2(t), \\ \dot{x}_2(t) &= x_3(t), \\ \dot{x}_3(t) &= x_4(t), \\ &\vdots \\ \dot{x}_{n-1}(t) &= x_n(t), \\ \dot{x}_n(t) &= -\alpha_0 x_1(t) - \alpha_1 x_2(t) - \dots - \alpha_{n-1} x_n(t) + \beta_0 u(t), \\ y(t) &= x_1(t), \end{aligned} \right\} \quad 12.43/$$

Систему рівнянь 12.43/ вручно записати в векторно-матрицевій формі:

$$\left[\begin{array}{c} \dot{x}_1(t) \\ \dot{x}_2(t) \\ \vdots \\ \dot{x}_{n-1}(t) \\ \dot{x}_n(t) \end{array} \right] = \left[\begin{array}{ccccc} 0 & 1 & 0 & 0 & \dots & 0 \\ 0 & 0 & 1 & 0 & \dots & 0 \\ \dots & \dots & \dots & \dots & \dots & \dots \\ 0 & 0 & 0 & 0 & \dots & 1 \\ -\alpha_0 & -\alpha_1 & -\alpha_2 & -\alpha_3 & \dots & -\alpha_{n-1} \end{array} \right] \left[\begin{array}{c} x_1(t) \\ x_2(t) \\ \vdots \\ x_{n-1}(t) \\ x_n(t) \end{array} \right] + \left[\begin{array}{c} 0 \\ 0 \\ \vdots \\ 0 \\ \beta_0 \end{array} \right] u(t) \quad 12.44/$$

$$y(t) = [1 \ 0 \ 0 \ \dots \ 0] [x_1(t) \ x_2(t) \ \dots \ x_n(t)]^T$$

або

$$\left. \begin{aligned} \dot{\bar{x}}(t) &= A \bar{x}(t) + \beta u(t), \\ y(t) &= C \bar{x}(t), \end{aligned} \right\} \quad 12.45/$$

де згідно з 12.44/ динамічна матриця A вимірністю $(n \times n)$, матриця входу β вимірністю $(n \times 1)$, матриця виходу C вимірністю $(1 \times n)$ і вектор стану $\bar{x}(t)$ вимірністю $(n \times 1)$.

$$A = \begin{bmatrix} 0 & I & 0 & 0 & \dots & 0 \\ 0 & 0 & I & 0 & \dots & 0 \\ \dots & \dots & \dots & \dots & \dots & \dots \\ 0 & 0 & 0 & 0 & \dots & I \\ -a_0 & -a_1 & -a_2 & -a_3 & \dots & -a_{n-1} \end{bmatrix}, \quad \mathbf{B} = \begin{bmatrix} 0 \\ 0 \\ \vdots \\ 0 \end{bmatrix}; \quad /2.46/$$

$$\mathbf{C} = [1 \ 0 \ 0 \dots 0]; \quad \mathbf{x}(t) = [x_1(t) \ x_2(t) \ \dots \ x_n(t)]^T.$$

Рівняння /2.45/ з матрицями /2.46/ називають рівняннями стану в стандартній формі.

На рис. 2.10 зображено схему аналогового моделювання системи з одним входом і одним виходом, побудовану за рівняннями в змінників стану /2.45/. Вона відповідає схемі аналогів моделювання диференціально-го рівняння /2.40/ методом зниження порядку похідних. На рис. 2.10 зображені змінні $x_i(0)$, які характеризують початкові умови.

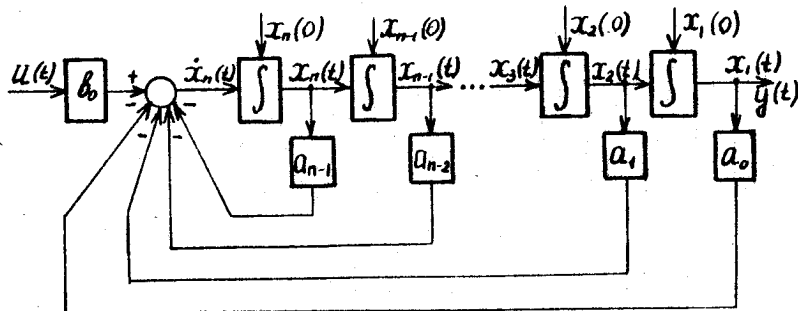


Рис. 2.10. Схема аналогового моделювання одновимірної лінійної стаціонарної системи, яка відповідає рівнянням стану /2.45/ і /2.46/, записаним у стандартній формі

Приклад 2.3. Для розімкненого слідкувального привода /рис. I.II/ треба скласти рівняння стану в стандартній формі, якщо відомий його оператор

$$K(\omega) = \frac{\alpha_0}{\omega(T_e T_h \omega^2 + T_m \omega + 1)} = \frac{\beta(\omega)}{U_e(\omega)}, \quad /2.47/$$

де T_e і T_M - відповідно електромагнітна й електромеханічна сталі часу дії двигуна постійного струму.

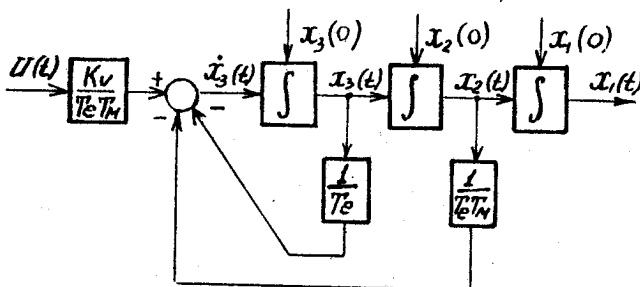


Рис. 2.II. Схема аналогового моделювання слідкувального привода, яка відповідає рівнянням стану /2.49/, записаним у стандартній формі

Розв'язення. Оператору /2.47/ відповідає диференціальне рівняння розімкненого привода

$$T_e T_M \frac{d^3 \beta(t)}{dt^3} + T_M \frac{d^2 \beta(t)}{dt^2} + \frac{d \beta(t)}{dt} = K_d U_e(t)$$

або

$$\frac{d^3 \beta(t)}{dt^3} + \frac{1}{T_e} \frac{d^2 \beta(t)}{dt^2} + \frac{1}{T_e T_M} \frac{d \beta(t)}{dt} = \frac{K_d}{T_e T_M} U_e(t). \quad /2.48/$$

Як змінні стану виберемо $\beta(t)$, $\dot{\beta}(t)$ і $\ddot{\beta}(t)$:

$$x_1(t) = \beta(t),$$

$$x_2(t) = \dot{\beta}(t) = \dot{x}_1(t),$$

$$x_3(t) = \ddot{\beta}(t) = \dot{x}_2(t).$$

Крім того, безпосередньо з рівняння /2.48/ знайдемо

$$\dot{x}_3(t) = \ddot{\beta}(t) = -\frac{1}{T_e} \dot{\beta}(t) - \frac{1}{T_e T_M} \beta(t) + K_d U_e(t).$$

Перепишемо ці рівняння в такому вигляді:

$$\left. \begin{aligned} \dot{x}_1(t) &= 0 \cdot x_1(t) + 1 \cdot x_2(t) + 0 \cdot x_3(t) + 0 \cdot U_e(t), \\ \dot{x}_2(t) &= 0 \cdot x_1(t) + 0 \cdot x_2(t) + 1 \cdot x_3(t) + 0 \cdot U_e(t), \\ \dot{x}_3(t) &= 0 \cdot x_1(t) - \frac{1}{T_e T_M} x_2(t) - \frac{1}{T_e} x_3(t) + \frac{K_a}{T_e T_M} U_e(t). \end{aligned} \right\} \quad |2.49/$$

У рівняннях |2.49/ на місці коефіцієнтів $a_{11}, a_{12}, a_{21}, a_{22}, a_{31}, b_{11}, b_{21}$ з метою наочнішого визначення матриць A, B і C записано нуль.

Отже, стандартна форма рівнянь стану слідкувального привода має вигляд

$$\begin{aligned} \dot{\underline{x}}(t) &= A \underline{x}(t) + B U(t), \\ y(t) &= C \underline{x}(t), \end{aligned}$$

де

$$A = \begin{bmatrix} 0 & 1 & 0 \\ 0 & 0 & 1 \\ 0 & -\frac{1}{T_e T_M} & \frac{1}{T_e} \end{bmatrix}, \quad B = \begin{bmatrix} 0 \\ 0 \\ \frac{K_a}{T_e T_M} \end{bmatrix}, \quad C = [1 \ 0 \ 0].$$

На рис. 2.II зображено схему аналогового моделювання електромеханічного слідкувального привода, побудовану за рівнянням |2.49/.

Оскільки розглядувана система має один вхід і один вихід, то $y(t) = \varphi(t)$ і $U(t) = U_e(t)$ є скаляри, а матриця α вимірністю ($I \times I$) в одержаних рівняннях нульова.

Розглянемо тепер питання визначення рівнянь стану для лінійної стаціонарної системи з одним входом $U(t)$ і одним виходом $y(t)$, що її описує диференціальне рівняння із сталими коефіцієнтами виду

$$\begin{aligned} \frac{d^n y(t)}{dt^n} + a_{n-1} \frac{d^{(n-1)}y(t)}{dt^{(n-1)}} + \dots + a_1 \frac{dy(t)}{dt} + a_0 y(t) &= \\ = b_n \frac{d^n U(t)}{dt^n} + b_{n-1} \frac{d^{(n-1)}U(t)}{dt^{(n-1)}} + \dots + b_1 \frac{dU(t)}{dt} + b_0 U(t). & \quad |2.50/ \end{aligned}$$

Оскільки $U(t)$ - відома функція часу, то можна визначити і функцію

$$Z(t) = \frac{1}{\delta_0} \sum_{j=1}^n \delta_j \frac{d^j U(t)}{dt^j}, \quad 12.51/$$

що дає змогу звести /2.50/ до вже розглянутого рівняння. Тоді структурну схему, що Y описує диференціальне рівняння вхід-вихід /2.50/, можна подати в змінних стану, як зображене на рис. 2.10, де вхідною змінною є функція $U(t) = u(t) + Z(t)$ замість $U(t)$. Але щоб перетворити еквівалентну вхідну функцію $Y(t)$, треба виконати операцію багаторазового диференціювання дії $U(t)$, а це вкрай небажано, бо неможливо точно побудувати відповідні диференціатори, а також через вплив шумів та інших факторів. Операції введення похідних можна уникнути, коли праві частини системи диференціальних рівнянь першого порядку /2.43/ доповнити членами, пропорційними вхідній змінній $U(t)$:

$$\left. \begin{aligned} \frac{dx_1(t)}{dt} &= x_2(t) + h_1 U(t), \\ \frac{dx_2(t)}{dt} &= x_3(t) + h_2 U(t), \\ \dots &\dots \\ \frac{dx_{n-1}(t)}{dt} &= x_n(t) + h_{n-1} U(t), \\ \frac{dx_n(t)}{dt} &= -a_0 x_1(t) - a_1 x_2(t) - \dots - a_{n-1} x_{n-1}(t) + h_n U(t) \end{aligned} \right\} \quad 12.52/$$

або в векторно-матрицевій формі

$$\left. \begin{aligned} \dot{x}(t) &= A \overline{x(t)} + \delta U(t), \\ y(t) &= C \overline{x(t)} + d U(t). \end{aligned} \right\} \quad 12.53/$$

У рівняннях стану /2.53/ матриці A, C і вектор стану $\overline{x(t)}$ збігаються з одержаними попереду виразами /2.46/, матриця δ - вектор-стовпець, а матриця d - скаляр:

$$\delta = \begin{bmatrix} h_1 \\ h_2 \\ \vdots \\ h_n \end{bmatrix}, \quad d = h_0. \quad 12.54/$$

Звівши систему /2.52/ до одного рівняння n -го порядку відносно вихідної змінної $Y(t)$ й зрівнявши коефіцієнти біля змінної $U(t)$ та

ІІ похідних з відповідними коефіцієнтами $\beta_0, \beta_1, \dots, \beta_n$ початкового рівняння /2.50/, дістанемо систему n лінійних алгебричних рівнянь відносно шуканих коефіцієнтів h_0, h_1, \dots, h_n , розв'язавши яку, знайдемо:

$$\left. \begin{aligned} h_0 &= \beta_n; \\ h_1 &= \beta_{n-1} - \alpha_{n-1} h_0; \\ h_2 &= \beta_{n-2} - \alpha_{n-1} h_1 - \alpha_{n-2} h_0; \\ &\dots \\ h_n &= \beta_0 - \alpha_{n-1} h_{n-1} - \alpha_{n-2} h_{n-2} - \dots - \alpha_0 h_0. \end{aligned} \right\} \quad |2.55|$$

Схему аналогового моделювання, яка відповідає рівнянням стану /2.52/, зображене на рис. 2.12. На відміну від рис. 2.10, тут до сигналу на виході кожного з n інтеграторів подано сигнал, пропорційний вхідній змінні $U(t)$ з коефіцієнтами пропорційності h_0, h_1, \dots, h_n , визначеними за формулами /2.55/. Це дає змогу вилучити операцію диференціювання сигналу $U(t)$, необхідну для утворення еквівалентного вхідного сигналу $Y(t)$.

Коли найвища похідна в правій частині циференціального рівняння /2.51/ має порядок $m < n$, то в цьому разі коефіцієнти h_i визначають з виразів

$$h_{n-k} = \beta_k - \sum_{j=n-m}^{n-k-1} \alpha_{j+k} h_j; \quad k=0, 1, 2, \dots, m. \quad |2.56|$$

Матриці A і C , як і раніше, визначають вирази /2.46/; матриця D є нульова, а елементи матриці B $h_0, h_1, \dots, h_{n-m-1}$ дорівнюють нулеві, тобто вона має вигляд

$$B = [0 \ 0 \ \dots \ h_{n-m} \ h_{n-m-1} \ h_n]^T.$$

Приклад 2.4. Треба визначити рівняння стану системи, що ІІ зазено таким оператором:

$$A(\mathcal{D}) = \frac{2\mathcal{D}^3 + 3\mathcal{D}^2 + \mathcal{D} + 2}{\mathcal{D}^3 + 3\mathcal{D}^2 + 4\mathcal{D} + 1}.$$

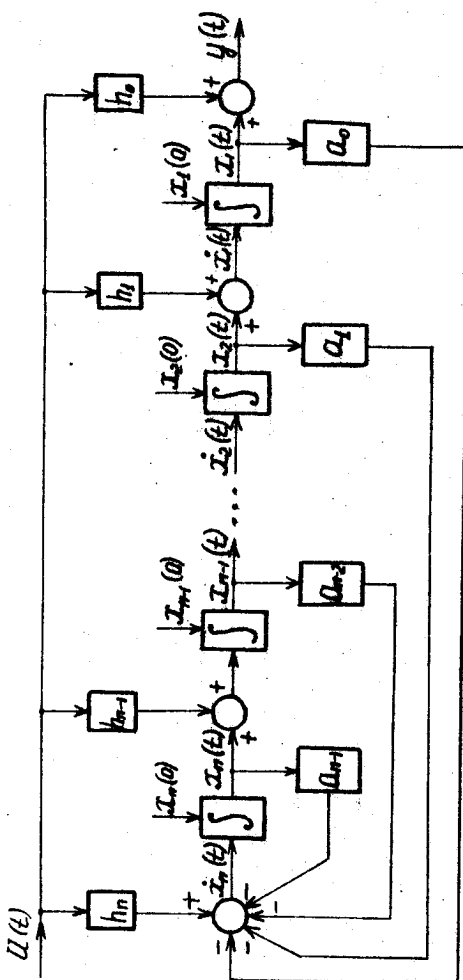


Рис. 2.12. Схема аналогового моделювання одновимірної лінійної стаціонарної системи, яка відрівдає рівнянням стани [2, 52]

Розв'язання. Цьому операторові відповідає диференціальне рівняння

$$\frac{d^3y(t)}{dt^3} + 3 \frac{d^2y(t)}{dt^2} + 4 \frac{dy(t)}{dt} + y(t) =$$

$$= 2 \frac{d^3u(t)}{dt^3} + 3 \frac{d^2u(t)}{dt^2} + \frac{du(t)}{dt} + 2u(t), \quad 12.57/$$

Тут $n = m = 3$. Для розрахунку коефіцієнтів h_i скористаємося формулами 12.55/. Ураховуючи, що $\alpha_0 = I$; $\alpha_1 = 4$; $\alpha_{n-1} = \alpha_2 = 3$; $\beta_0 = 2$; $\beta_1 = I$; $\beta_2 = 3$; $\beta_n = \beta_3 = 2$, знаходимо:

$$h_0 = \beta_3 = 2;$$

$$h_1 = \beta_2 - \alpha_2 h_0 = -3;$$

$$h_2 = \beta_1 - \alpha_2 h_1 - \alpha_1 h_0 = 2,$$

$$h_3 = \beta_0 - \alpha_2 h_2 - \alpha_1 h_1 - \alpha_0 h_0 = 6.$$

Рівняння 12.57/ зводять до рівнянь стану 12.53/, ще

$$A = \begin{bmatrix} 0 & I & 0 \\ 0 & 0 & I \\ -I & -4 & -3 \end{bmatrix}, \quad B = \begin{bmatrix} -3 \\ 2 \\ 0 \end{bmatrix}, \quad C = [I \ 0 \ 0] \cdot D = [2].$$

2.3.4. Розв'язання рівнянь стану

Розв'язання однорідних рівнянь стану

Вільні рухи лінійної стаціонарної системи /ОК/, зумовлені нульовими початковими умовами, описують рівняннями стану виду

$$\dot{\underline{x}}(t) = A \underline{x}(t). \quad 12.58/$$

Щоб розв'язати векторно-матрицеве рівняння 12.58/, треба знати початкові умови – значення змінних стану $x_i(t)$, $i = 1, 2, \dots, n$, коли $t = 0$ /початкові значення/. Позначимо їх $x_1(0)$, $x_2(0), \dots, x_n(0)$, як вектор

$$\underline{x}(0) = [x_1(0) \ x_2(0) \ \dots \ x_n(0)]^T. \quad 12.59/$$

Спочатку розглянемо скалярне диференціальне рівняння

$$\frac{dx(t)}{dt} = \alpha x(t), \quad /2.60/$$

де $\alpha = \text{const}$ з початковими значеннями $x(0)$. Відокремлюючи змінні в /2.60/, дістаємо

$$\int_{x(0)}^{x(t)} \frac{dx(t)}{dt} = \alpha \int_0^t dt. \quad /2.61/$$

Інтегруючи /2.61/, маємо

$$\ln \frac{x(t)}{x(0)} = \alpha t. \quad /2.62/$$

Із /2.62/ випливає, що

$$x(t) = e^{\alpha t} x(0),$$

або, розвиваючи експоненціальну функцію $e^{\alpha t}$ в збіжний /рівномірно й абсолютно/ ряд за степенями αt , одержуємо

$$x(t) = e^{\alpha t} x(0) = \sum_{k=0}^{\infty} \frac{1}{k!} (\alpha t)^k x(0). \quad /2.63/$$

Використавши відому з матрицевого числення формулу для розвивання матрицевої функції e^{At} в збіжний ряд виду

$$e^{At} = I + At + \frac{(At)^2}{2!} + \frac{(At)^3}{3!} + \dots = \sum_{k=0}^{\infty} \frac{1}{k!} (At)^k, \quad /2.64/$$

де A і I - відповідно динамічна й одинична матриці вимірності $n \times n$, розв"язок векторно-матрицевого рівняння /2.58/ можна записати у вигляді такому самому, як і розв"язок скалярного рівняння /2.63/:

$$x(t) = e^{At} \overline{x(0)} = \sum_{k=0}^{\infty} \frac{1}{k!} (At)^k \overline{x(0)}. \quad /2.65/$$

Доведемо, що вираз /2.65/ задовільняє векторно-матрицеве рівняння /2.58/. Диференціюючи /2.65/ по часові, знаходимо

$$\dot{x}(t) = \sum_{k=1}^{\infty} \frac{1}{(k-1)!} A^k t^{k-1} \overline{x(0)} = A \sum_{k=0}^{\infty} \frac{1}{k!} (At)^k \overline{x(0)}, \quad /2.66/$$

де $\lambda_1 = \lambda - 1$. Підставивши $/2.66/$ в ліву частину $/2.58/$, а $/2.65/$ - у праву, отримо totожність. Отже, вираз $/2.65/$ справді визначає формулу загального розв'язку векторно-матрицевого рівняння.

Матрицеву функцію e^{At} звичайно називають перехідною матрицею стану /інколи - фундаментальною матрицею/ і позначають $\Phi(t)$. Таким чином, розв'язком однорідного векторно-матрицевого рівняння $/2.58/$ є векторна функція /вектор-стовпець чи матриця-стовпець вимірністю $(n \times 1)$

$$\underline{x(t)} = e^{At} \underline{x(0)}, \quad /2.67/$$

де для лінійних стаціонарних систем $\Phi(t) = e^{At}$. Надалі через те, що розглядаємо тільки лінійні стаціонарні СКЕП, користуватимемося найчастіше позначенням перехідної матриці стану e^{At} і розв'язок $/2.58/$ записуватимемо у вигляді

$$\underline{x(t)} = e^{At} \underline{x(0)}, \quad /2.68/$$

Розглянемо деякі властивості перехідної матриці стану.

Властивість 1. Вимірність перехідної матриці стану залежить від вимірності цинамічної матриці A і дорівнює $n \times n$, бо остання завжди квадратна. Із $/2.64/$ випливає, що елементами матриці e^{At} є функції часу.

Властивість 2. Якщо $t = 0$, то

$$e^{A \cdot 0} = 1. \quad /2.69/$$

Рівність $/2.69/$ випливає безпосередньо з $/2.64/$.

Властивість 3. Перехідна матриця стану e^{At} є неособливим /не-вираженою/ матрицею, що може бути тільки тоді, коли

$$\det e^{At} \neq 0. \quad /2.70/$$

Цю властивість можна строго довести, врахувавши, що визначник будь-якої фундаментальної матриці, названий визначником Бронського, за жодних значень t не перетворюється на нуль.

Зауважимо, що властивості $/2.69/$ і $/2.70/$ звичайно використовують для перевірки правильності одержаного виразу для e^{At} .

Властивість 4.

$$e^{At} \cdot e^{Bt} = e^{(A+B)t}, \quad /2.71/$$

коли тільки $AB = BA$. Цю властивість можна довести, розвивавчи матрицеві експоненти e^{At} і e^{Bt} в нескінчені ряди.

Еластивість 5.

$$[e^{At}]^{-1} = e^{-At}. \quad /2.72/$$

Цю властивість довоцяте, застосовуючи відоме правило множення матриці /неособливої/ на її обернену матрицю. Такий добуток має дірівнювати однічній матриці, тобто в даному разі

$$e^{At} \cdot e^{-At} = e^{-At} \cdot e^{At} = e^{A(t-t)} = e^{A \cdot 0} = I.$$

Еластивість 6. За аналогією із скалярною функцією похідна по часові

$$\frac{d}{dt} e^{At} = A e^{At} = e^{At} \cdot A. \quad /2.73/$$

Еластивість 7.

$$\int_0^t e^{At} dt = A^{-1} (e^{At} - I) = (e^{At} - I) A^{-1}. \quad /2.74/$$

Рівність /2.74/ - це безпосередній наслідок рівності /2.73/.

Розв'язання неоднорідних рівнянь стану

Розглянемо стаціонарне неоднорідне векторно-матрицеве рівняння стану

$$\vec{x}(t) = A \vec{x}(t) + B \vec{U}(t) \quad /2.75/$$

з початковими умовами, визначеними вектором початкових умов /2.59/, і рівнянням виходу

$$\vec{y}(t) = C \vec{x}(t) + D \vec{U}(t). \quad /2.76/$$

Помноживши ліворуч обидві частини /2.75/ на e^{-At} , отримо

$$e^{-At} \vec{x}(t) = e^{-At} A \vec{x}(t) + e^{-At} B \vec{U}(t)$$

або

$$e^{-At} \vec{x}(t) - A e^{-At} \vec{x}(t) = e^{-At} B \vec{U}(t). \quad /2.77/$$

$$\frac{d}{dt} e^{-At} = -e^{-At} A = -A e^{-At}, \quad 12.78/$$

то, зрівнявши формули 12.78/ і 12.77/, матимемо

$$\frac{d}{dt} [e^{-At} \vec{x}(t)] = e^{-At} \vec{B}\vec{U}(t). \quad 12.79/$$

Інтегруючи обидві частини в межах від 0 до t , дістанемо рівність

$$e^{-At} \vec{x}(t) - \vec{x}(0) = \int_0^t e^{-A\tau} \vec{B}\vec{U}(\tau) d\tau. \quad 12.80/$$

Із 12.80/ з урахуванням 12.72/ остаточно одержимо

$$\vec{x}(t) = e^{At} \vec{x}(0) + e^{At} \int_0^t e^{-A\tau} \vec{B}\vec{U}(\tau) d\tau \quad 12.81/$$

або відповідно по властивості 12.71/

$$\vec{x}(t) = e^{At} \vec{x}(0) + \int_0^t e^{A(t-\tau)} \vec{B}\vec{U}(\tau) d\tau. \quad 12.82/$$

Перший член правої частини 12.82/ описує вільні рухи системи, спричинені нульовими початковими умовами, або, як кажуть, реакцію системи з нульовим входом, а другий – вільні й вимушенні рухи системи, зумовлені вектором керування $\vec{U}(t)$ /реакцію системи з нульовим станом/.

Підставивши 12.82/ в 12.76/, дістанемо таке рівняння, яке описує рух вихідних координат системи:

$$\vec{y}(t) = C e^{At} \vec{x}(0) + \int_0^t C e^{A(t-\tau)} \vec{B}\vec{U}(\tau) d\tau. \quad 12.83/$$

Оскільки реакція стаціонарної системи не залежить від моменту прикладення до неї дії t_0 , то рівняння 12.82/ і 12.83/ можна переписати в такому вигляді:

$$\vec{x}(t) = e^{A(t-t_0)} \vec{x}(t_0) + \int_{t_0}^t e^{A(t-\tau)} \vec{B}\vec{U}(\tau) d\tau; \quad 12.84/$$

$$\vec{y}(t) = C e^{A(t-t_0)} \vec{x}(t_0) + \int_{t_0}^t C e^{A(t-\tau)} \vec{B}\vec{U}(\tau) d\tau. \quad 12.85/$$

Зауважимо, що одержаний розв'язок неоднорідного рівняння стану за формою повністю збігається з розв'язком скалярного рівняння першого порядку

$$\dot{x}(t) = \alpha x(t) + \delta u(t), \quad 12.86/$$

що, як відомо, має вигляд

$$x(t) = e^{\alpha(t-t_0)} x(t_0) + \int_{t_0}^t e^{\alpha(t-\tau)} \delta u(\tau) d\tau. \quad 12.87/$$

Функція ваги і перехідна функція лінійної стаціонарної системи

Звичайно динамічні властивості досліджуваної СКЕП /чи об'єкта/ оцінюють за функцією ваги та перехідною функцією. У зв'язку з цим цікаво визначити ці функції з одержаних розв'язків рівнянь стану.

Функція ваги. У цьому разі до m входів системи в момент часу $t = 0$ прикладено одиничні δ -функції, тобто вектор входу

$$\bar{u}(t) = \delta(t) \bar{W}, \quad 12.88/$$

де \bar{W} - вектор вимірності $m \times 1$ з компонентами, що дорівнюють одиниці. Тоді

$$\bar{x}(t) = e^{At} \bar{x}(0) + \int_0^t e^{A(t-\tau)} B \delta(\tau) \bar{W} d\tau = e^{At} \bar{x}(0) + e^{At} B. \quad 12.89/$$

Вираз 12.89/ одержано на підставі використання так званої "фільтрувальної" властивості δ -функції, яка полягає в тому, що інтеграл від добутку певної функції $f(t-\tau)$ на одиничну імпульсну функцію $\delta(\tau)$ дорівнює значенню функції $f(t-\tau)$ для моменту τ , котрий переворює на нуль аргумент δ -функції, тобто цорівнює $f(t)$. Ураховано також і те, що матриця B стала.

Оскільки за означенням функція ваги, яку позначатимемо $x(t)$, є реакція системи $y(t)$ на δ -функцію за нульових початкових умов [вектор $x(0)$ у 12.89/ є нульовий], то, отже,

$$\bar{x}(t) = \bar{y}(t) = C \bar{x}(t) = C e^{At} B. \quad 12.90/$$

Визначимо тепер функцію ваги $x(t)$ одновимірної системи через елементи перехідної матриці стану $\Phi(t)$. Припустимо, що рівняння

стану досліджуваної системи записано в стандартній формі /2.45/, /2.46/. Тоді одержимо

$$K(t) = C \Phi(t) B = [1 \ 0 \dots 0] \begin{bmatrix} \phi_{11}(t) \phi_{12}(t) \dots \phi_{1n}(t) \\ \phi_{21}(t) \phi_{22}(t) \dots \phi_{2n}(t) \\ \vdots \\ \phi_{n_1}(t) \phi_{n_2}(t) \dots \phi_{nn}(t) \end{bmatrix} \begin{bmatrix} 0 \\ 0 \\ \vdots \\ b_0 \end{bmatrix} = \quad /2.91/$$

$$= b_0 \phi_{nn}(t).$$

Отже, функція ваги стаціонарної лінійної системи з одним входом дорівнює добуткові сталого коефіцієнта b_0 на елемент перехідної матриці стану, розташований у верхньому правому кутку, тобто

$$K(t) = b_0 \phi_{nn}(t). \quad /2.92/$$

У схемі аналогового моделювання функція ваги, що її визначає вираз /2.92/, являє собою вихід останнього інтегратора.

Перехідна функція. У цьому разі на m входів у момент часу $t = 0$ подають однічні східчасті функції i , отже, вектор входу можна записати у вигляді

$$\bar{x}(t) = \bar{s}, \quad /2.93/$$

де складові вектора \bar{s} вимірюються m_x і порівнюють одиниці. Тоді реакція системи на сигнал виду /2.93/

$$\begin{aligned} \bar{x}(t) &= e^{At} \bar{x}(0) + \int_0^t e^{A(t-\tau)} B \bar{s} d\tau = \\ &= e^{At} \bar{x}(0) + A^{-1} (e^{At} - I) B \bar{s}. \end{aligned} \quad /2.94/$$

Рівняння /2.94/ одержано на підставі властивості /2.74/. Оскільки перехідну функцію визначають за нульових початкових умов, то перший член правої частини /2.94/ дорівнює нулю. Тоді остаточно одержуємо формулу для визначення перехідної функції багатовимірної стаціонарної системи

$$\bar{y}(t) \equiv \bar{g}(t) = CA^{-1} (e^{At} - I) B \bar{s}, \quad /2.95/$$

Зауважимо, що у випадку одновимірної системи $h(t)$ можна обчислювати так:

$$h(t) = \theta_0 \int_0^t \phi_{in} (t-\tau) d\tau. \quad 12.96/$$

Визначення перехідної матриці стану стаціонарної лінійної системи

Динамічні властивості систем керування, як було зроблено попереду, описують рівняннями /2.82/, /2.83/ або /2.84/, /2.85/, що є розв'язками рівнянь стану /2.75/ та /2.76/. Тому постають принаймні дві завдання, пов'язаних з вивченням динамічних властивостей систем керування за допомогою рівнянь стану. Перше завдання полягає у вивченні основних методів визначення перехідної матриці стану e^{At} , і зокрема сучасних методів, які ґрунтуються на використанні ЕОМ і є єдино можливі у випадку великих вимірювань \mathcal{A} динамічної матриці A . Знати ці методи важливо ще й тому, що елементи перехідної матриці стану містять інформацію про такі найважливіші характеристики системи, як функція ваги й перехідна функція.

Друге завдання пов'язане з вивченням основних методів розв'язання рівнянь стану /2.84/ і /2.85/, насамперед методів, які ґрунтуються на використанні ЕОМ. Дуже важливо, що основні методи розв'язання другого завдання ґрунтуються на відомих розв'язках першого.

Розглянемо цейкі методи визначення перехідної матриці стану.

Методи, які ґрунтуються на розвиванні e^{At} в нескінчений ряд

Якщо A - стала матриця, а t - скалярне змінна, то матрицеву експоненту e^{At} визначають у вигляді нескінченного ряду /2.64/:

$$e^{At} = I + At + \frac{A^2 t^2}{2!} + \frac{A^3 t^3}{3!} + \dots \quad 12.97/$$

Формулу /2.97/ іноді використовують для визначення e^{At} у замкненій формі. Для цього після підсумовування треба знайти в замкненому вигляді кожен елемент матриці e^{At} . Ця непроста задача в багатьох випадках єнерозв'язана. Покажемо це на такому прикладі.

Приклад 2.3. Бизначити e^{At} , а також $\alpha(t)$ і $\beta(t)$ для об'єкта ТЛ-Д /див. рис. I.II/, керованого за колом обмотки якоря, диференціальне рівняння якого з урахуванням тільки однієї електромеханічної сталої часу $T_H = 0,5$ с і $K_{T,H} K_g = 2$ рад/с має вигляд

$$\frac{d^2\beta(t)}{dt^2} + 2 \frac{d\beta(t)}{dt} = U_{T,H}(t).$$

Розв'язання. Рівняння стану, що відповідають зведеному диференціальному рівнянню в стандартній формі, мають вигляд

$$\dot{x}(t) = Ax(t) + Bu(t);$$

$$y(t) = Cx(t),$$

де

$$A = \begin{bmatrix} 0 & 1 \\ 0 & -2 \end{bmatrix}; \quad B = \begin{bmatrix} 0 \\ 1 \end{bmatrix}; \quad C = [1 \ 0];$$

$$\bar{x}(t) = [x_1(t) \ x_2(t)]^T = [\beta(t) \ \omega(t)]^T;$$

$$y(t) \text{ і } u(t) = U_{T,H}(t) - \text{ скаляри.}$$

Одержанім рівнянням стану відповідає схема аналогового моделювання привода постійного струму, зображенна на рис. 2.13.

Використавши /2.97/,

дістанемо

$$e^{At} = I + At + \frac{A^2 t^2}{2!} + \dots = \\ = \begin{bmatrix} 1 & 0 \\ 0 & 1 \end{bmatrix} + \begin{bmatrix} 0 & 1 \\ 0 & -2 \end{bmatrix} t +$$

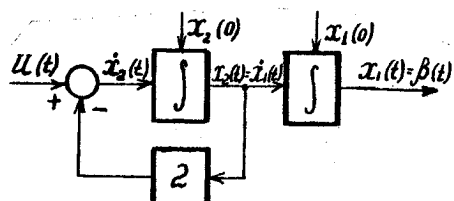


Рис. 2.13. Схема аналогового моделювання слідкувального привода постійного струму в разі керування за колом якоря й з урахуванням тільки однієї сталої часу T_H ($M_{\text{от}} = 0$)

$$= \begin{bmatrix} 1 & \frac{1}{2} - \frac{1}{2} (1 - 2t + \frac{2t^2}{2!} - \frac{2t^3}{3!} + \dots) \\ 0 & 1 - 2t \frac{2t^2}{2!} - \frac{2t^3}{3!} \frac{2t^4}{4!} + \dots \end{bmatrix} = \begin{bmatrix} 1 & 1/2 (1 - e^{-2t}) \\ 0 & e^{-2t} \end{bmatrix}.$$

Неважко перевірити, що e^{At} задовільняє основні властивості пе-рехідної матриці стану, зокрема

$$e^{At} \Big|_{t=0} = e^{A \cdot 0} = \begin{bmatrix} 1 & 0 \\ 0 & 1 \end{bmatrix}; \quad \det e^{At} = e^{-2t} \neq 0.$$

Функція ваги розглядуваної системи

$$K(t) = \frac{1}{2} (1 - e^{-2t}),$$

а перехідна функція

$$h(t) = \int_0^t K(t-\tau) d\tau = \frac{1}{4} e^{-2t} - \frac{1}{4} + \frac{1}{2} t.$$

Незважаючи на те, що ряд для e^{At} збігається абсолютно й рівно-мірно для будь-яких t , визначати цю матрицеву функцію важко, особливо коли матриця A має велику вимірність або додатні чи дуже відмінні за модулем власні значення. Тому на підставі формул /2.97/ було розроблено кілька ефективних і важливих для застосування алгоритмів та програм, що цілью зможу наблизено /чисельно/ знаходити e^{At} за до-помогою ЕОМ.

Найпростіший алгоритм можна одержати, коли e^{At} за одного пев-ного значення $t = T$ зобразити першими $k+1$ членами ряду /2.97/:

$$e^{At} \approx e^{AT} = I + AT + \frac{A^2T^2}{2!} + \frac{A^3T^3}{3!} + \dots + \frac{A^kT^k}{k!} = Q = [q_{ij}], \quad /2.98/$$

Тоді матриця похилок R дорівнюватиме рівниці між рядом /2.97/ і многочленом /2.98/:

$$R = \frac{1}{(k+1)!} (AT)^{k+1} + \frac{1}{(k+2)!} (AT)^{k+2} + \dots = \sum_{L=0}^{\infty} \frac{(AT)^L}{L!}, \quad /2.99/$$

де $L = k+1$.

Щоб обчислити e^{At} в інші послідовні моменти часу, потрібно в формулі /2.98/ вважати $t = iT$, де $i = 1, 2, 3, \dots$

Користуючись /2.99/, можна знайти верхню межу значень елемен-тів $[z_{ij}]$ матриці R :

$$(z_{ij}) \leq \frac{\|AT\|^{k+1}}{(k+1)!} \cdot \frac{1}{1 - \|AT\|} = S, \quad /2.100/$$

де $\|A\| = \max \sum_{j=1}^n [a_{ij}]$ - норма квадратної матриці A порядку n ; вона є найбільшою з n величин, кожна з яких становить суму елементів $[a_{ij}]$ одного рядка. Оцінка /2.100/ дає верхнє значення похибки зображення e^{At} матрицею Q /2.98/. Коли задано верхню межу S , точність Q визначають, порівнюючи S з усіма елементами q_{ij} . Збільшити точність можна, збільшивши кількість членів у розкладі /2.98/. Ряд /2.99/, коли $\|At\| < 1$, збігається. У цьому випадку формула /2.98/ справедлива.

Приклад 2.6. Для електропривода постійного струму /рис. 2.14/ треба визначити e^{At} , користуючись формулом /2.98/, з точністю до

$$\frac{U(p)}{\frac{1}{(p+2)(p+2)(p+2)}} \rightarrow Y(p)$$

Рис. 2.14. Структурна схема привода постійного струму /до прикладу 2.6/

перших восьми значущих цифр /числові значення сталих часу і коефіцієнт підсилення привода вибрано тільки з міркувань зручного розрахунку/.

Розв'язання. Емпірично $T = 0,1$ с, тоді норма матриці A

$$\|A\| = \max \sum_{j=1}^3 [a_{ij}] = 2 + 1 = 3.$$

Норма матриці

$$\|TA\| = 3 \cdot 0,1 = 0,3 < 1.$$

Якщо взяти II членів ряду /2.98/, тобто $\kappa = 10$, то

$$e^{At} = Q = \begin{bmatrix} 8,1873075 \cdot 10^{-1} & 8,1873075 \cdot 10^{-2} & 4,0936538 \cdot 10^{-3} \\ 0 & 8,1873075 \cdot 10^{-1} & 8,1873075 \cdot 10^{-2} \\ 0 & 0 & 8,1873075 \cdot 10^{-1} \end{bmatrix}.$$

Згідно з оцінкою /2.100/ верхня межа похибки $S = 6,33986 \cdot 10^{-14}$. Порівнюючи S з усіма значеннями q_{ij} , бачимо, що найбільша відносна похибка приблизно дорівнює

$$\frac{6,33986 \cdot 10^{-14}}{4,0936538 \cdot 10^{-3}} = 1,549 \cdot 10^{-11}.$$

Бідомо, що коли відносна похибка цякої величини X менша за $0,5 \cdot 10^{-7}$, то X обчислено з точністю до 12 значущих цифр. Отже, матриця Q в розглянутому прикладі дає зображення e^{At} з точністю до 10 значущих цифр. Правильність цього розрахунку можна порівняти з таким точним значенням:

$$e^{At} = \begin{bmatrix} e^{-2t} & te^{-2t} & \frac{t^2}{2} e^{-2t} \\ 0 & e^{-2t} & te^{-2t} \\ 0 & 0 & e^{-2t} \end{bmatrix} = e^{At} \Big|_{t=1} = \begin{bmatrix} e^{-0,2} & 0,1e^{-0,2} & 0,005e^{-0,2} \\ 0 & e^{-0,2} & 0,1e^{-0,2} \\ 0 & 0 & e^{-0,2} \end{bmatrix}.$$

Розглянемо тепер інший ефективний алгоритм, який також ґрунтуються на розвиванні матричевої експоненти e^{At} в нескінченний ряд. Цей алгоритм, що його зараз дуже широко застосовують на практиці, для $t=1$ має вигляд

$$e^{At} \approx e^{At} = [12I - 6AT + A^2T^2]^{-1} [12I + 6AT + T^2A^2]. \quad /2.101/$$

Щоб обчислити e^{At} в інші послідовні моменти часу, треба в формулі /2.101/ припустити, що $t = iT$, $i = 1, 2, 3, \dots$. Розв'язання задачі, яке відповідає алгоритмові /2.101/, легко запрограмувати на ЕОМ. Для цього можна використати стандартні підпрограми додавання, множення й перетворення матриць, що їх має пам'ять кожної сучасної ЕОМ. Докладніше алгоритм /2.101/ описано в [4], де, зокрема, доведено, що точність обчислення залежить від величини змінного кроку T у п'ятому степені [$O(T^5)$].

Розглянуті алгоритми /2.98/ і /2.101/ обчислення перехідної матриці стану використовують під час побудови алгоритмів числового розв'язання рівнянь стану.

Метод визначення перехідної матриці стану,
який ґрунтуються на застосуванні
перетворення Лапласа

Застосувавши до лівої й правої частин /2.58/ перетворення Лапласа, одержуємо

$$\rho \underline{x(p)} - \underline{x(0)} = A \underline{x(p)}, \quad /2.102/$$

або

$$[\rho I - A] \overline{x(\rho)} = \overline{x(0)}.$$

/2.103/

З останнього рівняння знаходимо

$$\overline{x(\rho)} = [\rho I - A]^{-1} \overline{x(0)}. \quad /2.104/$$

Застосувавши до обох частин /2.104/ обернене перетворення Лапла-са, дістамо

$$\overline{x(t)} = L^{-1} \left\{ [\rho I - A]^{-1} \right\} \overline{x(0)}. \quad /2.105/$$

Порівнявши /2.68/ і /2.105/, бачимо, що

$$e^{At} = L^{-1} \left\{ [\rho I - A]^{-1} \right\}. \quad /2.106/$$

Отже, щоб знайти e^{At} , потрібно, по-перше, скласти матрицю $[\rho I - A]$, по-друге, визначити обернену матрицю $[\rho I - A]^{-1}$ і, по-третє, знайти відповідний оригінал.

Приклад 2.7. Визначити e^{At} для системи, розглянутої в прикладі 2.5.

Розв'язання. Складаємо матрицю

$$[\rho I - A] = \begin{bmatrix} \rho & 0 \\ 0 & \rho \end{bmatrix} - \begin{bmatrix} 0 & 1 \\ 0 & -2 \end{bmatrix} = \begin{bmatrix} \rho & -1 \\ 0 & \rho+2 \end{bmatrix}.$$

Знаходимо обернену матрицю

$$\begin{bmatrix} \rho & -1 \\ 0 & \rho+2 \end{bmatrix}^{-1} = \frac{\text{Adj} [\rho I - A]}{\det [\rho I - A]} = \frac{\begin{bmatrix} C_{11} & C_{21} \\ C_{12} & C_{22} \end{bmatrix}}{\rho(\rho+2)},$$

де алгебричні доповнення C_{ij} матриці $[\rho I - A]$ такі:

$$C_{11} = \rho+2; \quad C_{12} = 0; \quad C_{21} = 1; \quad C_{22} = \rho.$$

Отже,

$$\begin{bmatrix} \rho & -1 \\ 0 & \rho+2 \end{bmatrix}^{-1} = \begin{bmatrix} 1/\rho & 1/\rho(\rho+2) \\ 0 & 1/(\rho+2) \end{bmatrix}.$$

Ураховуючи, що

$$L^{-1} \left\{ \frac{1}{\rho+2} \right\} = e^{-2t}; \quad L^{-1} \left\{ \frac{1}{\rho} \right\} = t; \quad L^{-1} \left\{ \frac{1}{\rho(\rho+2)} \right\} = \frac{1}{2} (1 - e^{-2t}),$$

дістамо вираз для e^{At} , подібний до зазначеного в прикладі 2.5.

Звідси випливає, що застосовувати цей метод доцільно тоді, коли матриця A має невелику вимірність n . Якщо $n > 3$, то обернену матрицю визначити дуже важко. А тому було розроблено кілька алгоритмів, які дають змогу за допомогою ЕОМ значно спростити визначення цієї матриці [14; 43].

Метод експериментального визначення
перехідної матриці стану,
який ґрунтуються на використанні АОМ

Не зважаючи загальності, розглянемо суть цього методу на прикладі ОК ТП-Д, динамічні властивості якого описує ціфрове рівняння третього порядку

$$a_3 \frac{d^3 \omega(t)}{dt^3} + a_2 \frac{d^2 \omega(t)}{dt^2} + a_1 \frac{d\omega(t)}{dt} + a_0 \omega(t) = \delta_0 U(t), \quad 12.107/$$

Вибравши як змінні стану $x_1(t) = \omega(t)$, $x_2(t) = I_A(t)$, $x_3(t) = U_A(t)$, одержимо таке рівняння стану, що відповідає наведеному попереду:

$$\dot{x}(t) = Ax(t) + \delta U(t),$$

$$y(t) = Cx(t),$$

де

$$A = \begin{bmatrix} 0 & 1 & 0 \\ 0 & 0 & 1 \\ -\frac{a_0}{a_3} & -\frac{a_1}{a_3} & -\frac{a_2}{a_3} \end{bmatrix}; \quad \delta = \begin{bmatrix} 0 \\ 0 \\ \frac{\delta_0}{a_3} \end{bmatrix}; \quad C = [1 \ 0 \ 0].$$

$$\bar{x}(t) = [x_1(t) \ x_2(t) \ x_3(t)]^T = [\omega(t) \ I_A(t) \ U_A(t)]^T.$$

Схему аналогового моделювання розглянутого об'єкта зображено на рис. 2.15.

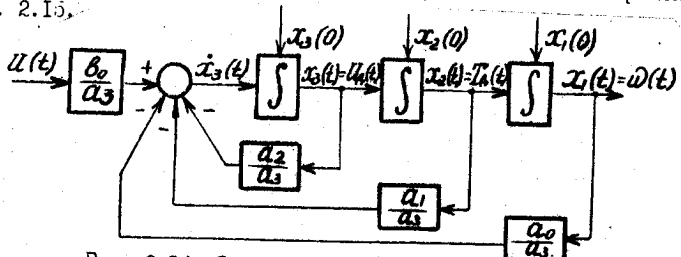


Рис. 2.15. Схема аналогового моделювання СІЕП третього порядку

Розв'язок рівнянь стану, як доведено попереду, має вигляд

$$\overline{x(t)} = \Phi(t) \overline{x(0)}, \quad /2.108/$$

де $\Phi(t)$ – перехідна матриця стану, або в розгорненому вигляді

$$\begin{bmatrix} x_1(t) \\ x_2(t) \\ x_3(t) \end{bmatrix} = \begin{bmatrix} \phi_{11}(t) & \phi_{12}(t) & \phi_{13}(t) \\ \phi_{21}(t) & \phi_{22}(t) & \phi_{23}(t) \\ \phi_{31}(t) & \phi_{32}(t) & \phi_{33}(t) \end{bmatrix} \begin{bmatrix} x_1(0) \\ x_2(0) \\ x_3(0) \end{bmatrix}. \quad /2.109/$$

Виберемо тепер початкові умови на інтеграторах: $x_1(0) = 1$, $x_2(0) = 0$, $x_3(0) = 0$. Тоді з /2.109/ одержимо

$$\begin{bmatrix} x_1(t) \\ x_2(t) \\ x_3(t) \end{bmatrix} = \begin{bmatrix} \phi_{11}(t) & x_1(0) \\ \phi_{21}(t) & x_2(0) \\ \phi_{31}(t) & x_3(0) \end{bmatrix} = \begin{bmatrix} \phi_{11}(t) \\ \phi_{21}(t) \\ \phi_{31}(t) \end{bmatrix}$$

або

$$x_1(t) = \phi_{11}(t), \quad x_2(t) = \phi_{21}(t), \quad x_3(t) = \phi_{31}(t),$$

тобто вихідні сигнали 1, 2 і 3 інтеграторів $x_1(t)$, $x_2(t)$, $x_3(t)$ являтимуть собою відповідно елементи першого стовпця $\Phi_{11}(t)$, $\Phi_{21}(t)$, $\Phi_{31}(t)$ перехідної матриці стану $\Phi(t)$. Коли початкові умови вибрати так, щоб $x_1(0) = 0$, $x_2(0) = 1$ і $x_3(0) = 0$, то в цьому разі виходи інтеграторів дорівнююватимуть елементам другого стовпця перехідної матриці стану. Якщо $x_1(0) = 0$, $x_2(0) = 0$, $x_3(0) = 1$, виходи інтеграторів із змінними стану $x_1(t)$, $x_2(t)$, $x_3(t)$ являтимуть собою елементи третього стовпця перехідної матриці стану $\Phi(t)$. Треба зauważити, що змінна стану $x_1(t)$ для розглядуваної структури являтиме собою функцію ваги системи, тобто $K(t) = (B_0 / A_n) = \Phi_{13}(t)$, коли $x_1(0) = 0$, $x_2(0) = 0$, $x_3(0) = 1$, а це цілком узгоджується з означенням функції ваги системи як реакції останньої за нульових початкових умов на δ -функцію.

Розглядуваній метод має ту перевагу, що він прийнятний у всіх тих випадках, коли жоден з інших методів застосувати не можна.

Коротка характеристика інших методів
визначення перехідної матриці стану

Матрицю e^{At} обчислюють не тільки розглянутим, а й іншими методами. До них належать методи Келлі - Гамільтона (*Saville - Hamilton*), діагоналізації і Сільвестра (*Sylvester*).

Метод Келлі - Гамільтона ґрунтується на використанні теореми матрицевого аналізу Келлі - Гамільтона, згідно з якою кожна матриця A порядку n є коренем свого характеристичного рівняння. Метод дає змогу доволі просто обчислити e^{At} в замкненій формі для невеликих вимірностей матриці A ($n \leq 3$). Він, у порівнянні з іншими методами, наприклад з методом Сільвестра, досить простий, коли треба обчислити e^{At} у випадку кратних власних значень матриці A . Саме в цьому разі його й треба застосовувати. Якщо $n > 3$, тоді це цільно користуватися числовим алгоритмом, розробленим на підставі теореми Келлі - Гамільтона [14].

Метод діагоналізації ґрунтується на перетворенні матриці A в діагональну /канонічну/ форму за допомогою матриць Еандермонда V та V^{-1} або модальних матриць M та M^{-1} [1]. У цьому разі

$$e^{At} = V e^{\Lambda t} V^{-1}$$

або

$$e^{At} = M e^{\Lambda t} M^{-1},$$

де

$$e^{\Lambda t} = \begin{bmatrix} e^{\lambda_1 t} & & & \\ & e^{\lambda_2 t} & & \\ & & \ddots & \\ & & & e^{\lambda_n t} \end{bmatrix}.$$

Метод діагоналізації можна застосовувати тільки тоді, коли матриця A має дійсні власні значення. Така його вада. Більшовідно по цього методу перехідна матриця стану e^{At} виходить у замкненій формі. Якщо $n > 4$, то дуже важко обчислювати обернену матрицю.

Метод Сільвестра дає змогу обчислити e^{At} згідно з відомою теоремою Сільвестра [13] для випадку, коли матриця A має тільки дійсні власні значення і її вимірність не перевищує 3. Якщо власні значення кратні, формули складнішають.

Рівняння стану /2.84/ і /2.85/ звичайно розв'язують числовими методами, викладеними в п. 7.3.2.

Розділ 3. МАТЕМАТИЧНІ МОДЕЛІ ОБ'ЄКТІВ КЕРУВАННЯ СИСТЕМ КЕРУВАННЯ ЕЛЕКТРОПРИВОДАМИ

У цьому розділі розглянуту математичні об'єкти ОК, які складаються з тиристорних перетворювачів, двигунів постійного струму з незалежним збудженням і трифазних асинхронних двигунів. Саме ці ОК нині найчастіше застосовують у СКЕП.

3.1. Математична модель тиристорного перетворювача

Тиристорний перетворювач /ТП/ складається із системи імпульсно-фазового керування /СІФК/ і власне ТП, основним елементом якого є силова схема перетворення енергії змінного струму в енергію постійного /керований випрямляч/ за допомогою тиристорів. Як навантаження перетворювача взято якірне коло двигуна постійного струму. СІФК - неперервний сигнал керування $U_{ker}(t)$, який надходить на її вхід, перетворює на послідовність відкривальних імпульсів $d_i(t)$, що їх формує генератор імпульсів/, засунених за фазом відносно моменту природного відкривання тиристорів. Потім за допомогою власного ТП виконують зворотне перетворення дискретних значень $d_i(t)$ в кусково-неперервний сигнал вихідної координати - ЕРС перетворювача $E_{per}(t)$.

Інтервал /фазовий зсув/ проходження імпульсів $d_i(t)$, що надходить на кожен тиристор, залежить від $U_{ker}(t)$ і є величина змінна. Таким чином, ТП - це нелінійний дискретний пристрій. Достать повний математичний опис ТП як нелінійного дискретного елемента системи керування можна зробити, використавши теорію нелінійних імпульсних систем з широтно-імпульсною модуляцією другого роду /ШІМ-П/ [15; 29]. Але такий спосіб описування ТП дуже невкладистий, і його майже не застосовують на практиці.

ТП як дискретний елемент передавання інформації підлягає теоремі Котельникова, тобто пропускає без втрати інформації лише ті сигнали, частоти яких менші за межову частоту

$$\omega_{\text{нек}} = \pi \omega_m / 2, \quad /3.1/$$

де m - кількість фаз перетворювача; ω_m - колова частота напруги мережі.

Коли частота проходження дискретних імпульсів $\omega_i = 1/T_i$, де T_i - період проходження /період квантування/ імпульсів керування, $d_i(t)$ менша за межову частоту $\omega_{\text{нек}}$, тобто $\omega_i < \omega_{\text{нек}}$, то ТП,

який являє собою нелінійну дискретну ланку, можна апроксимувати лінійною безінерційною ланкою з коефіцієнтом підсилення $K_{\text{П}}$. Але треба мати на увазі, що у випадку такої апроксимації ТП і значного збільшення коефіцієнта підсилення системи з метою одержання високої швидкості в замкненому контурі, однією з ланок якого є ТП, часто виникає режим автоколивань з частотою основної субгармоніки відповідно до формулі /3.1/. Такі коливання в системі мати небажано, бо вони, зокрема, спричиняють нерівномірне завантаження тиристорів.

Другою важкою особливістю ТП є його неповна керованість. Вона виявляється в тому, що, коли кут керування $\alpha(t)$ змінюється з швидкістю, більшою від колової частоти живильної напруги ω_M , тобто коли $(dd/dt) > \omega_M$, процеси в ТП під час збільшення й зменшення $\alpha(t)$ відбуваються по-різному. Із зменшенням $\alpha(t)$ з будь-якою швидкістю ЕРС ТП повністю залежить від зміни $\alpha(t)$. У випадку збільшення $\alpha(t)$ і $(dd/dt) > \omega_M$ комутації тиристорів немає, через що ЕРС ТП $E_{\text{пер}}(t)$ не підлягає законові зміни $\alpha(t)$ і являє собою відрізок синусоїдної віднонії напруги вентиля, який було відкрито в останній чергі /рис. 3.1, t_1 .

t_1 - момент зміни кута керування. Отже, у випадку $(dd/dt) < \omega_M$ ТП можна зобразити як неперервну безінерційну ланку, а коли $(dd/dt) > \omega_M$, то ТП уже не можна вважати безінерційною ланкою. Невідповідність між виходом $E_{\text{пер}}(t)$ і входом $d(t)$ є причиною збільшення сталої складової ЕРС $E_g(t)$ /див. рис. 3.1/ і появи фазових зсувів у випадку гармонійних ехідників дій. Максимальний фазовий зсув, переданий у ТП, відповідає засувові цеякої ланки з чистим запізнюванням на час $\bar{\tau} = \omega/4\omega_M$, де ω - діапазон зміни кута керування. Через неповну керованість,

дискретність і нелінійність ТП у замкненій системі можуть виникати автоколивання на найнижчих /одній чи кількох найближчих/ субгармоніках з великою амплітудою й порівняно невеликою частотою. Такі автоколивання мати небажано не лише через те, що система працюватиме з по-

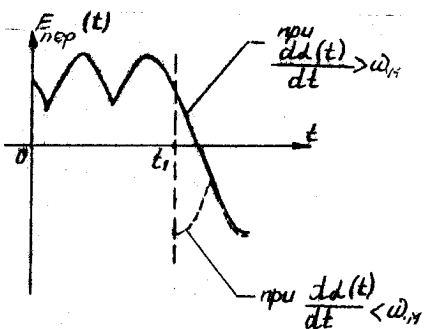


Рис. 3.1. Зміна ЕРС перетворювача за різних швидкостей зміни кута керування

рушеннями, а й тому, що внаслідок великих перевантажень можуть вийти з ладу її елементи. Швидкість зміни керувальної напруги $U_{\text{кер}}(t)$, яка визначає швидкість зміни кута керування $\alpha(t)$, обмежують, умикуючи на вході СІФК аперіодичну ланку, котра розв'язує й інше завдання. Справа в тому, що в реверсивному приводі із спільним узгодженням керуванням ТП у перехідному режимі внаслідок неповної керованості тиристорів /або різної швидкості СІФК/ рівність середніх значень ЕРС вимірюваної й інверторної вентильних груп ТП порушується і в реверсивних контурах виникає динамічний зрівняльний струм, сила якого в багато разів перевищує статичний зрівняльний струм. Коли вибрано насичувальні обмежувальні реактори, то внаслідок появи динамічного зрівняльного струму може виявится, що буде насичено обидва реактори, і зрівняльний струм, який обмежують лише малий активний опір реверсивного контуру та внутрішні опори перетворювача, досягне аварійних значень. Припускають, що стала часу аперіодичної ланки $T_{\varphi} = 0,006\dots 0,01$ с на промисловій частоті ω_n живильної мережі.

Треба зауважити, що питання про опис динамічних властивостей ТП з урахуванням дискретного характеру процесу керування й неповної керованості тиристорів зараз трактують по-різому. Найчастіше [10; 34] ТП у режимі безперервного струму описують ланкою, яка складається з послідовно з'єднаних ланок лінійної безінерційної з коефіцієнтом підсилення $K_{T,P}$ і чистого запізнювання, тобто

$$K_{T,P}(P) = \frac{E_T(P)}{U_{\text{кер}}(P)} = K_{T,P} e^{-\sigma P}, \quad /3.2/$$

де σ - випадковий час, названий середньостатистичним запізнюванням; таку назву зумовлено тим, що випадку обмеження смуги пропускання ТП [невиконання умови /3.1/] його вихідна координата $E_{\text{тер}}(t)$ при вхідному сигналі типу однічного стрибка запізнюються на випадковий час σ , який на інтервалі дискретності вважають розподіленим за законом рівномірної щільності.

Більчина σ залежить від кількості фаз перетворювача m і частоти мережі f_n і найчастіше дорівнює періоду природної комутації, тобто

$$\sigma = \frac{1}{mf_n} = \frac{2\pi}{m\omega_n}. \quad /3.3/$$

Звичайно функцію $e^{-\rho t}$ розвивають у степеневий ряд і враховують тільки два його перших члени. Тоді передавна функція /3.2/ набере вигляду

$$K_{T,P}(\rho) = \frac{K_{T,P}}{1+2\rho}. \quad /3.4/$$

Якщо активний опір $R_{хер}$ та індуктивність $L_{пер}$ ТП звести до якірного кола двигуна, тоді ЕРС ТП $E_g(t)$ дорівнюватиме напругі $U_g(t)$, прикладеній до кола обмотки якоря двигуна, і, отже, динамічні ланки ТП та двигун постійного струму стануть ланками напрямленої дії. Урахувавши це й перейшовши до приростів змінних $\Delta U_{хер}$ і ΔU_g , остаточно цією саме такий вираз передавної функції ТП /разом з СІФР/:

$$K_{T,P}(\rho) = \frac{\Delta U_g(\rho)}{\Delta U_{хер}(\rho)} = \frac{K_{T,P}}{1+2\rho}. \quad /3.5/$$

Бикористовуючи ця розрахунку параметрів регулятора передавну функцію /3.5/, одержують зацікільчі практичні результати, хоча вони обґрунтовані із суто формальних позицій як середньостатистичне запізнювання перетворювача.

3.2. Математична модель двигуна постійного струму з незалежним збудженням

3.2.1. Рівняння динаміки двигуна та їх лінеаризація

Рівняння динаміки двигуна визначимо для загального випадку керування /рис. 3.2/ як за колом якоря, виконуваного за допомогою зміни напруги $U_g(t)$, так і за колом збудження, виконуваного за допомогою зміни напруги збудження $U_3(t)$ у випадку дії на двигун збурення у вигляді моменту статичного опору $M_{оп}(t)$. Запровадимо крім згаданих такі позначення: $I_g(t)$, R_g , L_g , $\omega(t)$ - відповідно струм силового кола, активний опір та індуктивність кола якоря і кутова швидкість обертання вала якоря; $I_3(t)$, R_3 , L_3 - відповідно струм, активний опір та індуктивність кола обмотки збудження; J - момент інерції всіх обертових мас, який дорівнює сумі моментів інерції якоря двигуна J_g і зведеного до вала двигуна моменту інерції робочого механізму /навантаження/ J_0 , тобто $J = J_g + J_0$.

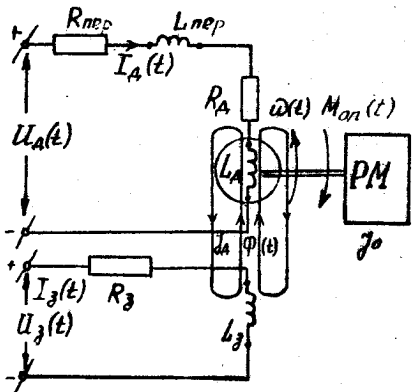


Рис. 3.2. Спрощена принципова схема двигуна постійного струму з керуванням за колами якоря й збудження

у станині та полюсах двигуна, а також в "язкого /швидкісного/ тертя нехтуватимо.

За вхідні сигнали /координати/ вважатимемо $U_g(t)$, $U_3(t)$ і $M_{op}(t)$, а за вихідні - $I_A(t)$, $\omega(t)$ і $\phi(t)$.

Рівняння рівноваги ЕРС для кола обмотки якоря має вигляд

$$U_A(t) = E(t) + R_A I_A(t) + L_A \frac{dI_A(t)}{dt}, \quad 13.6/$$

де $R_A = R_{per} + R_{op}$ і $L_A = L_{per} + L_{op}$ - відповідно активний опір та індуктивність силового кола електропривода.

Як відомо, ЕРС двигуна

$$E_A(t) = C\omega(t)\phi(t). \quad 13.7/$$

Лінеаризація нелінійного рівняння 13.7/, виконана так само, як і для рівняння 12.8/, дас

$$\Delta E_A(t) = C\omega_0 \Delta \phi(t) + C\phi_0 \Delta \omega(t), \quad 13.8/$$

де ω_0 і ϕ_0 - сталі, наприклад номінальні значення швидкості й магнітного потоку.

Визначаючи рівняння динаміки, припускаючи, що параметри R_g , L_g , R_3 , L_3 , R_{per} , L_{per} сталі, робочий механізм з валом двигуна вважаємо без повітряного проміжку /люфту/ і абсолютно жорстко; статична регулювальна характеристика $\omega = f(U_g)$ лінійна /а це означає, що реакцію якоря повністю скомпенсовано, напруга зрушування дорівнює нулю/; залежність магнітного потоку від струму збудження можна зобразити однозначною кривою намагнічування /гістерезис не ураховується/ $\phi = \phi(I_3)$; зведеній до вала двигуна момент опору J_0 залежить від швидкості. Окрім того, впливом вихрових струмів

Урахувуючи, що $\frac{d[I_{go} + \Delta I_g(t)]}{dt} = \Delta I_g(t) / dt$, і підставляючи /3.8/ у /3.6/, останнє в зображеннях за Лапласом запишемо так:

$$C\Phi_0 \Delta \omega(\rho) + R_x (1 + T_e \rho) \Delta I_g(\rho) = \Delta U_g(\rho) - C\omega_0 \Delta \Phi(\rho), \quad /3.9/$$

де $T_e = L_x / R_x$ - електромагнітна стала часу силового кола електропривода.

Рівняння рівноваги моментів має в вигляді

$$\frac{d\omega(t)}{dt} = M_d(t) - M_{on}(t). \quad /3.10/$$

Урахувуючи /2.12/, лінеаризоване рівняння /3.10/ у зображеннях можна записати так:

$$T_M \rho \Delta \omega(\rho) - \frac{R_x}{C\Phi_0} \Delta I_x(\rho) = \frac{R_x I_{go}}{C\Phi_0^2} \Delta \Phi(\rho) - \frac{R_x}{C\Phi_0^2} \Delta M_{on}(\rho), \quad /3.11/$$

де $T_M = J R_x / (C^2 - \Phi^2)$ - електромеханічна стала часу силового кола електропривода.

Рівняння рівноваги ЕРС для кола збудження

$$U_g(t) = R_g I_g(t) + L_g \frac{dI_g(t)}{dt}. \quad /3.12/$$

Залежність між потоком $\Phi(t)$ і струмом збудження $I_g(t)$ [чи пропорційною йому МРС $F(t)$], яку визначає крива намагнічування, є лінійною.

Після лінеаризації рівняння $\Phi = \Phi(I_g)$ одержимо

$$\Delta \Phi(t) = K_g \Delta I_g(t), \quad /3.13/$$

де $K_g = (\partial \Phi / \partial I_g)_0$ - коефіцієнт пропорційності між приростами потоку $\Delta \Phi(t)$ і струму $\Delta I_g(t)$. Після лінеаризації рівняння /3.12/ підставимо формулу /3.13/ в одержаний результат:

$$(1 + T_g \rho) \Delta \Phi(\rho) = (K_g / R_g) \Delta U_g(F). \quad /3.14/$$

З урахуванням рівняння /3.14/ і зв'язку між приростами моменту статичного опору та струму статичного навантаження [$\Delta M_{on}(\rho) = C\Phi_0 \Delta I_c(\rho)$] лінеаризовані рівняння динаміки двигуна постійного струму з незалежним збудженням /3.9/ і /3.11/ перепишемо так:

$$C\Phi_0 \Delta \omega(p) + R_x (1 + T_c p) \Delta I_A(p) = \Delta U_d(p) - \frac{w_0 K_2 C}{R_s(1 + T_3 p)} \Delta U_g(p), \quad 13.15/$$

$$T_H p \Delta \omega(p) - \frac{R_x}{C\Phi_0} \Delta I_A(p) = \frac{R_x I_{d0}}{C\Phi_0^2} \frac{T_2}{R_3} \frac{1}{1 + T_3 p} \Delta U_d(p) - \frac{R_x}{C\Phi_0} \Delta I_{cr}(p), \quad 13.16/$$

3.2.2. Рівняння динаміки і структурна схема двигуна у випадку керування за колом якоря

У цьому випадку напруга прикладена до обмотки збудження, стала, тобто $U_g(t) = U_{go} = \text{const}$, $\Delta U_g(t) = 0$. Тоді рівняння динаміки 13.15/ і 13.16/ набувають вигляду

$$\Delta \omega(p) + T_A R_x (1 + T_c p) \Delta I_A(p) = T_d \Delta U_d(p), \quad 13.17/$$

де $T_A = 1/(C\Phi_0)$ – коефіцієнт підсилення двигуна;

$$T_H p \Delta \omega(p) - T_d R_x \Delta I_A(p) = -T_d R_x \Delta I_{cr}(p). \quad 13.18/$$

За цими рівняннями побудовано структурну схему (рис. 3.3) в урахуванням зв'язку між швидкістю обертання $\omega(t)$ і кутом повороту $\beta(t) = \int \omega(t) dt$.

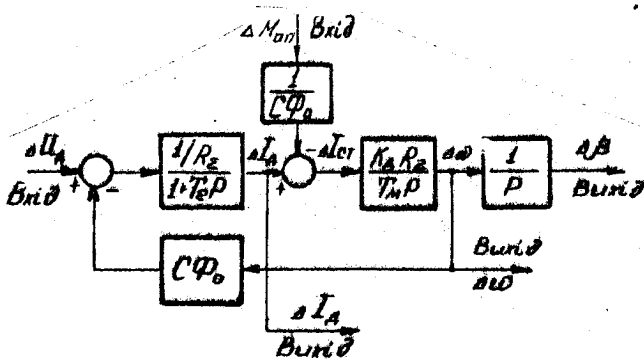


Рис. 3.3. Структурна схема двигуна постійного струму з незалежним збудженням у випадку керування за колом якоря

3.2.3. Матриця передавних функцій двигуна з керуванням за колом якоря

Двигун постійного струму /рис. 3.3/ являє собою складну багатовимірну систему, що має два входи - керувальний ΔU_3 та збурювальний ΔM_{op} чи пропорційний їй струм статичного навантаження ΔI_{cr} , дії і три виходи - струм силового кола ТП-Д ΔI_d , швидкість обертання двигуна $\Delta \omega$, кут повороту вала двигуна $\Delta \beta$. Система має від'ємний зворотний зв'язок за швидкістю. Це свідчить про те, що в самій конструкції двигуна наявний регулятор швидкості обертання, роль якого виконує протиЕРС двигуна $\Delta E_d = C_{E_d} \Delta \omega$. Із структурної схеми також випливає, що двигун - це естатична система з естатизмом першого порядку за керувальним дієм ΔU_3 та виходом $\Delta \omega$ і статичною системою за збуренням ΔI_{cr} , оскільки ідеальну інтегрувальну ланку розташовано після точки прикладення збурення ΔI_{cr} та вузла порівняння.

Динамічні властивості двигуна повністю описує квадратна матриця передавних функцій, яка має вимірність (3x3), оскільки двигун має три входи [коли враховувати вхідну керувальну дію $U_3(t)$] і три виходи:

$$\bar{B}_u(p) = \begin{bmatrix} B_{11}(p) & B_{12}(p) & B_{13}(p) \\ 0 & 0 & 0 \\ B_{21}(p) & B_{22}(p) & B_{23}(p) \end{bmatrix}, \quad /3.19/$$

Берхній рядок матриці містить передавні функції за керувальному дією, в нижній - за збурювальним. Перший індекс біля передавної функції позначає вихідний сигнал, а другий - вхідний. Оскільки в розглянутому випадку вхідна дія $\Delta U_3(t) = 0$, то на місці передавних функцій $B_{11}(p)$, $B_{12}(p)$ і $B_{13}(p)$ записано нулі. Кожну передавну функцію, що її містить матриця $\bar{B}_u(p)$, можна визначити або з рівнянь /3.17/, /3.18/ шляхом визначення зв'язку між вихідною та вхідною величинами й вилучення проміжних змінних, або із структурної схеми рис. 3.3 шляхом відповідного її перетворення. Ці передавні функції мають такий вигляд:

$$B_{11}(p) = \frac{\Delta I_d(p)}{\Delta U_3(p)} \left| \begin{array}{l} \Delta \phi = 0 \\ \Delta I_{cr} = 0 \end{array} \right. = \frac{(T_N/R_Z)p}{T_e T_M p^2 + T_M p + 1}; \quad /3.20/$$

$$G_{\omega u}(\rho) = \frac{\Delta \omega(\rho)}{\Delta U_A(\rho)} \left| \begin{array}{l} \Delta \phi = 0 \\ \Delta I_{cr} = 0 \end{array} \right. = \frac{K_d}{T_e T_H \rho^2 + T_H \rho + 1} ; \quad 13.21/$$

$$G_{\beta u}(\rho) = \frac{\Delta \beta(\rho)}{\Delta U_A(\rho)} \left| \begin{array}{l} \Delta \phi = 0 \\ \Delta I_{cr} = 0 \end{array} \right. = \frac{K_d}{\rho (T_e T_H \rho^2 + T_H \rho + 1)} ; \quad 13.22/$$

$$G_{z z}(\rho) = \frac{\Delta I_A(0)}{\Delta I_{cr}(\rho)} \left| \begin{array}{l} \Delta \phi = 0 \\ \Delta U_A = 0 \end{array} \right. = \frac{1}{T_e T_H \rho^2 + T_H \rho + 1} ; \quad 13.23/$$

$$G_{\omega z}(\rho) = \frac{\Delta \omega(\rho)}{\Delta I_{cr}(\rho)} \left| \begin{array}{l} \Delta \phi = 0 \\ \Delta U_A = 0 \end{array} \right. = - \frac{R_z K_d (1 + T_e \rho)}{T_e T_H \rho^2 + T_H \rho + 1} ; \quad 13.24/$$

$$G_{\beta z}(\rho) = \frac{\Delta \beta(\rho)}{\Delta I_{cr}(\rho)} \left| \begin{array}{l} \Delta \phi = 0 \\ \Delta U_A = 0 \end{array} \right. = - \frac{R_z K_d (1 + T_e \rho)}{T_e T_H \rho^2 + T_H \rho + 1} ; \quad 13.25/$$

Позначення означають умови, за яких їх одержано: $\Delta \phi = 0$ – що магнітний потік двигуна сталий і дорівнює, наприклад, номінальному: $\phi(t) = \phi_0 = const$; $\Delta I_{cr} = 0$ – що струм статичного навантаження двигуна сталий і дорівнює, наприклад, номінальному: $I_{cr}(t) = I_{cr0} = const$; $\Delta U_g = 0$ – що напруга, прикладена до кола обмотки якоря, стала і дорівнює, наприклад, номінальній: $U_g(t) = U_{g0} = const$. Отже, одержані передавні функції характеризують динамічні властивості працючого двигуна. Через те що процеси, котрі перебігають у двигуні, в цьому разі характеризуються не нульовими початковими умовами, то вистосовувати для їх описування передавні функції, як за нульових початкових умов, здавалося б, не можна. Але оскільки внаслідок лінеаризації зроблено переход від повних змінників до їх приростів, то це дає змогу вважати, що в момент часу $t = 0$ приrostи всіх змінних послідкуваного процесу дорівнюють нулю, тобто початкові умови для приростів змінних є нульові. Це можна побачити на прикладі зміни приростів швидкості $\Delta \omega(t)$ /рис. 3.4,a/ і струму силового кола $\Delta I_g(t)$ /рис. 3.4,b/ під час навантажування, коли дане коло характеризує момент статичного опору /або, як зображене на рисунку, приріст статичного струму ΔI_{cr} /, прикладеного до вала двигуна в момент часу

$t = t_0$. До цього моменту двигун працював в усталеному режимі із сталою швидкістю обертання $\omega = \omega_0$ і сталою значенням струму силового кола $I_g = I_{g0}$. Перехідні процеси, зображені на рис. 3.4, відповідають передавним функціям /3.24/ і /3.28/. Зауважимо, що знак "-" у виразі /3.24/ означає зменшення $\Delta\omega$ із збільшенням ΔI_{cr} , а рівність вільних членів у чисельнику та знаменнику передавної функції виразу /3.23/ - що двигун є астатична система за вхідною ΔI_{cr} та вихідною ΔI_g діями. Астатизм у розглядуваному випадку повністю узгоджується з фізикою явищ: в усталеному статичному режимі струм двигуна I_g порівнює струмові статичного навантаження I_{cr} .

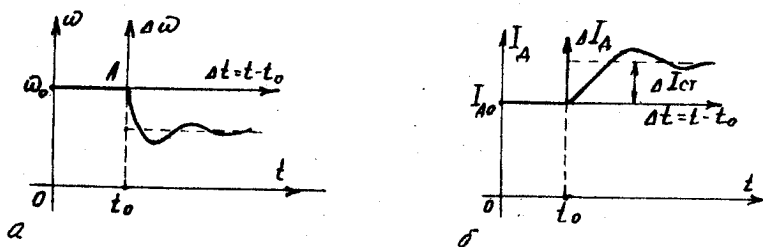


Рис. 3.4. Характер зміни приростів швидкості $\Delta\omega$ та струму силового кола ΔI_g /6/ під час навантажування

Потрібно також зауважити, що передавні функції /3.20/, /3.21/, /3.22/ за керувальню дієм, які характеризують відхилення приростів ΔI_g , $\Delta\omega$, $\Delta\beta$ від їхніх усталених значень, справджаються і для повних відповідних змінних, оскільки вказаний передавні функції одержано з рівнянь /3.17/, /3.18/ для $\Phi(t) = \Phi_0 = \text{const}$, тобто з лінійних рівнянь.

Характер вільних рухів двигуна залежить, як відомо, від розташування полюсів наведених попереду передавніх функцій на комплексні площині коренів. Для передавніх функцій /3.20/, /3.21/, /3.23/, /3.24/ полюси визначають з розв'язку харacterистичного рівняння $T_M P^2 + T_{HP} + 1 = 0$:

$$P_{1,2} = -\zeta \omega_0 \pm \omega_0 \sqrt{\zeta^2 - 1}, \quad /3.26/$$

де $\zeta = T_M / (2 \sqrt{T_e T_M})$ - відносний коефіцієнт демпфування; $\omega_0 = 1 / \sqrt{T_e T_M}$ - власна частота недемпфованих /коли $\zeta = 0$ / коливань.

Величина ζ залежить від співвідношення між сталими часу T_e і T_H і описує характер перехідного процесу в двигуні. Коли $\zeta > 1$, тобто коли $T_H/T_e > 4$, то $\rho_{1,2}$ - цілісні, від'ємні і різні /перехідний процес - аперіодичний/. Коли $\zeta < 1$, тобто коли $T_H/T_e < 4$, то $\rho_{1,2}$ - комплексні, спряжені з від'ємною дійсною частиною /перехідний процес - коливний загасальний - саме цей випадок зображенено на рис. 3.4,а/. Коли $\zeta = 1$, тобто коли $T_e = T_H$, то $\rho_{1,2}$ - цілісні, від'ємні й однакові /перехідний процес - критичний аперіодичний/.

У передавних функціях /3.22/, /3.25/, окрім полюсів $\rho_{1,2}$, що визначає вираз /3.26/, є ще один, нульовий пояс, який відповідає ідеальній інтегрувальній ланці. Цей полюс, розташований у початку координат комплексної площини коренів, дуже змінює характер перехідного процесу: на усталений рух $A\beta$, визначений тільки ідеальною інтегрувальною ланкою, накладаються вільні рухи, визначені полюсами $\rho_{1,2}$ згідно з /3.26/, які з часом загасають.

3.2.4. Рівняння динаміки і структурна схема двигуна з керуванням за колом збудження

У цьому випадку керування провадять, змінюючи напругу $U_3(t)$, прикладену до кола збудження, а $U_{90} = \text{const}$ і $\Delta U_9 = 0$. З урахуванням цього рівняння динаміки /3.15/ запишемо у вигляді

$$C\phi_0 \Delta \omega(\rho) + R_z (1+T_e\rho) \Delta I_d(\rho) = - \frac{\omega_0 K_3 C}{R_3 (1+T_3\rho)} \Delta U_3(\rho), \quad 13.27/$$

а рівняння /3.16/ не зміниться.

За рівняннями /3.16/, /3.27/ з урахуванням зв'язку між кутом $\beta(t)$ і швидкістю обертання $\omega(t) = \alpha\beta(t)/dt$ побудовано структурну схему двигуна з керуванням за колом обмотки збудження /рис. 3.5/. На схемі зображені точки прикладення вхідний дії ΔU_3 та ΔM_{90} , хоча самі ці дії у випадку керування лише за колом обмотки збудження дорівнюють нулю. Окрім того, на схемах /цив. рис. 3.3 і 3.5/ аргумент ρ біля зовнішніх та внутрішніх змінних пропущено.

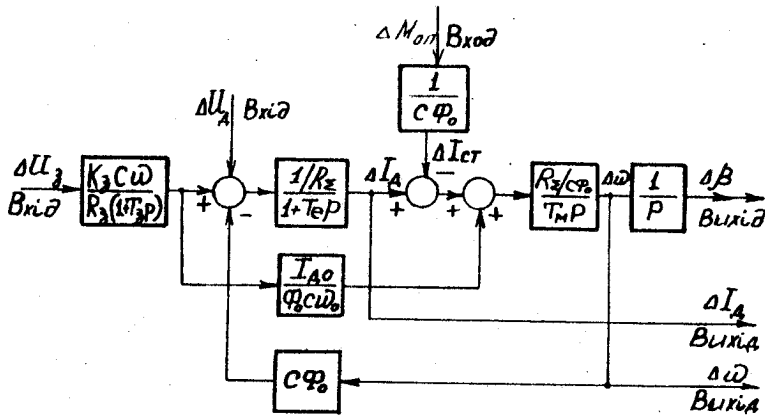


Рис. 3.5. Структурна схема двигуна постійного струму з незалежним збудженням і керуванням за колами якоря і збудження

3.2.5. Матриця передавних функцій двигуна з керуванням за колом збудження

Динамічні властивості двигуна з керуванням за колом збудження описує така матриця передавних функцій:

$$\bar{G}_{\Phi}(P) = \begin{bmatrix} 0 & 0 & 0 \\ G_{I_{Mg}}(P) & G_{\omega_{Mg}}(P) & G_{\rho_{Mg}}(P) \\ 0 & 0 & 0 \end{bmatrix}, \quad 13.28/$$

де

$$G_{I_{Mg}}(P) = \frac{\Delta I_A(P)}{\Delta U_3(P)} \left| \begin{array}{c} \Delta U_A = 0 \\ \Delta I_A = 0 \end{array} \right. = - \frac{(K_3 / R_3) \left[\frac{C\omega_0}{R_2} T_M P + \frac{T_{A0}}{\phi_0} \right]}{(1 + T_3 P)(T_0 T_M P^2 + T_M P + 1)} ; \quad 13.29/$$

$$\sigma_{\omega_{43}}(\rho) = \frac{\Delta \omega(\rho)}{\Delta U_3(\rho)} \left| \begin{array}{l} \Delta U_4 = 0 \\ \Delta I_{cr} = 0 \end{array} \right. = - \frac{\frac{K_2}{R_3} \left[\frac{\omega_0}{\phi_0} - \frac{T_{40}}{\phi_0} K_4 R_E (1 + T_E \rho) \right]}{(1 + T_3 \rho)(T_E T_M \rho^2 + T_M \rho + 1)} ; \quad /3.30/$$

$$\sigma_{\beta_{34}}(\rho) = \frac{\Delta \beta(\rho)}{\Delta U_3(\rho)} \left| \begin{array}{l} \Delta U_4 = 0 \\ \Delta I_{cr} = 0 \end{array} \right. = - \frac{\frac{K_2}{R_3} \left[\frac{\omega_0}{\phi_0} - \frac{T_{40}}{\phi_0} K_4 R_E (1 + T_E \rho) \right]}{\rho(1 + T_3 \rho)(T_E T_M \rho^2 + T_M \rho + 1)} . \quad /3.31/$$

Передавні функції /3.29/-/3.31/ можна визначити або з рівнянь /3.16/, /3.27/, або із структурної схеми /див. рис. 3.5/, відповідним чином її перетворивши.

Порядок передавних функцій, визначений матрицею $\bar{\sigma}_{\phi}(\rho)$, на одиницю більший, ніж порядок передавних функцій, визначений матрицею $\bar{\sigma}_u(\rho)$, а це у випадку великих значень сталої часу T_3 дуже позначається на швидкодії системи з керуванням за колом обмотки збудження і впливає на структуру побудови системи керування загалом.

3.2.6. Рівняння динаміки й структурна схема двигуна з керуванням за колами якоря й збудження

Рівняння динаміки, що описують процеси з керуванням як за колом якоря, так і за колом збудження, визначають вирази /3.15/ і /3.16/. Структурну схему, котра відповідає цим виразам, вображенено на рис. 3.5. У цьому разі на двигуні ціють усі три вхідні сигнали $-\Delta U_g, \Delta U_3, \Delta M_{07}$.

3.2.7. Матриця передавних функцій двигуна з керуванням за колами якоря й збудження

Матриця передавних функцій $\bar{\sigma}_g(\rho)$ для розглядуваного випадку дорівнює сумі матриць $\bar{\sigma}_u(\rho)$ і $\bar{\sigma}_{\phi}(\rho)$:

$$\bar{\sigma}_g(\rho) = \bar{\sigma}_u(\rho) + \bar{\sigma}_{\phi}(\rho) = \begin{bmatrix} \sigma_{Iu}(\rho) & \sigma_{\omega_{4u}}(\rho) & \sigma_{\beta_{3u}}(\rho) \\ \sigma_{Iu_3}(\rho) & \sigma_{\omega_{4u_3}}(\rho) & \sigma_{\beta_{3u_3}}(\rho) \\ \sigma_{IZ}(\rho) & \sigma_{\omega_I}(\rho) & \sigma_{\beta_I}(\rho) \end{bmatrix} \quad /3.32/$$

3.3. Рівняння стану двигуна постійного струму

в незалежним збудженням.

Матрицева передавна функція

3.3.1. Рівняння стану двигуна в поелементній формі

Двигун постійного струму, як уже зазначалося, – це багатовимірна взвесмозв'язана система /див., наприклад, рис. 3.5/. Для таких систем зручно використати методику визначення рівняння стану в так званій поелементній /скальярній/ формі. Биклаємо суть цієї методики стосовно до двигуна, що має три входи – $U_g(t)$, $U_d(t)$, $M_{\text{ог}}(t)$ або $I_{\text{ог}}(t)$ і два виходи – $\omega(t)$, $I_g(t)$.

Запишемо одержані рівняння динаміки двигуна /3.9/, /3.11/, /3.14/ з керуванням за колами якоря й обмотки збудження в зображеннях за Леплесом:

$$\Delta \omega(\rho) + K_d R_d (1 + T_d \rho) \Delta I_d(\rho) = K_d \Delta U_d(\rho) - \frac{\omega_0}{\phi_0} \Delta \phi(\rho); \quad /3.33/$$

$$T_d \rho \Delta \omega(\rho) - K_d R_d \Delta I_d(\rho) = K_d R_d \frac{I_{\text{ог}}}{\phi_0} \Delta \phi(\rho) - K_d \Delta I_{\text{ог}}(\rho); \quad /3.34/$$

$$(1 + T_d \rho) \Delta \phi(\rho) = (K_d / R_d) \Delta U_g(\rho). \quad /3.35/$$

Виберемо такі змінні стану:

$$x_1(t) = \Delta \omega(t); \quad x_2(t) = \Delta I_d(t); \quad x_3(t) = \Delta \phi(t). \quad /3.36/$$

Тоді вектор стану

$$\bar{x}(t) = [\Delta \omega(t) \quad \Delta I_d(t) \quad \Delta \phi(t)]^T. \quad /3.37/$$

Рівняння стану двигуна в поелементній формі одержимо, коли /3.33/-/3.35/ запишемо у вигляді диференціальних рівнянь першого порядку, до того ж так, щоб ліві іхні частини містили похідні від вибраних змінних стану, а праві – всі змінні стану і всі входи. окрім того, коли праві частини рівнянь не містять усіх змінних стану чи всіх входів, то відсутні параметри треба записати у вигляді добутків нуля на відповідну змінну стану чи відповідний вход. Останню операцію виконують з методичною метою, щоб зрозуміти суть формування мат-

риць **A** та **B** у рівняннях стану, є також щоб уникнути помилок під час визначення рівнянь стану. У розглядуваному випадку рівняння /3.33/-/3.35/ після нескладних перетворень набувають вигляду:

$$\left. \begin{aligned} \rho \Delta \omega(\rho) &= 0 \cdot \Delta \omega(\rho) + \frac{K_A R_E}{T_H} \Delta I_A(\rho) + \frac{K_A R_E I_{AO}}{T_H \phi_0} \Delta \phi(\rho) + \\ &\quad (\rho) + 0 \cdot \Delta U_g(\rho) - \frac{K_A R_E}{T_H} \Delta I_{cr}(\rho); \\ \rho \Delta I_A(\rho) &= -\frac{1}{K_A R_E T_E} \Delta \omega(\rho) - \frac{1}{T_E} \Delta I_A(\rho) - \frac{\omega_0}{\phi_0 K_A R_E T_E} \Delta \phi(\rho) + \\ &\quad + \frac{1}{R_E T_E} \Delta U_g(\rho) + 0 \cdot \Delta U_g(\rho) + 0 \cdot \Delta I_{cr}(\rho); \\ \rho \Delta \phi(\rho) &= 0 \cdot \Delta \omega(\rho) + 0 \cdot \Delta I_A(\rho) - \frac{1}{T_g} \Delta \phi(\rho) + 0 \cdot \Delta U_g(\rho) + \\ &\quad + (K_g / T_g R_g) \Delta U_g(\rho) + 0 \cdot \Delta I_{cr}(\rho). \end{aligned} \right\} /3.38/$$

Із /3.38/ знаходимо рівняння стану

$$\dot{\bar{x}(t)} = A \bar{x}(t) + B \bar{U}(t), \quad /3.39/$$

а рівняння виходу

$$\bar{y}(t) = C \bar{x}(t), \quad /3.40/$$

де

$$A = \begin{bmatrix} 0 & \frac{K_A R_E}{T_H} & \frac{K_A I_{AO} R_E}{T_H \phi_0} \\ -\frac{1}{K_A R_E T_E} & -\frac{1}{T_E} & -\frac{\omega_0}{\phi_0 K_A R_E T_E} \\ 0 & 0 & -\frac{1}{T_g R_E} \end{bmatrix}; \quad B = \begin{bmatrix} 0 & 0 & -\frac{K_A R_E}{T_H} \\ -\frac{1}{R_E T_E} & 0 & 0 \\ 0 & \frac{K_g}{T_g R_E} & 0 \end{bmatrix},$$

$$C = \begin{bmatrix} 1 & 0 & 0 \\ 0 & 1 & 0 \\ 0 & 0 & 0 \end{bmatrix}; \quad \bar{U}(t) = \begin{bmatrix} \Delta U_g(t) \\ \Delta U_g(t) \\ \Delta I_{cr}(t) \end{bmatrix};$$

$$\bar{y} = [y_1(t), y_2(t), 0]^T.$$

Регульовном координатою в слідкувальних приводах є кутове положення вала двигуна $\vartheta(t)$. У цьому разі рівняння стану, додавши до /3.38/ рівняння $\rho \Delta \beta(\rho) = \Delta \omega(\rho)$, визначають за такою самою методикою.

Приклад 3.1. Для двигуна постійного струму, динамічні властивості якого характеризує передавна функція /3.24/, треба визначити рівняння стану в стандартній формі, накреслити схему аналогового моделювання й фазові траекторії, що відповідають вільним рухам двигуна.

Розв'язання. Диференціальні рівняння, яке відповідає передавній функції /3.24/, має вигляд

$$T_e T_H \frac{d^2 \omega(t)}{dt^2} + T_H \frac{d \omega(t)}{dt} + \omega(t) = -R_2 K_A T_0 \frac{d \Delta I_{cr}(t)}{dt} R_2 K_A \Delta I_{cr}(t).$$

Для розв'язання задачі скористаємося методикою, викладеною в по-передньому розділі, і зокрема формулою /2.56/ та схемою аналогового моделювання, зображену на рис. 2.12.

У розглядуваному випадку $n = 2$; $m = 1$; $n-m = 1$. Звівши дане диференціальне рівняння до виду /2.50/, одержимо

$$\alpha_n(\alpha_2) = 1; \quad \alpha_{n-1}(\alpha_1) = 1/T_0; \quad \alpha_{n-m}(\alpha_0) = 1/T_0 T_H;$$

$$\beta_n(\beta_2) = 0; \quad \beta_{n-1}(\beta_1) = -(R_2 K_A)/T_H; \quad \beta_{n-m}(\beta_0) = -(R_2 K_A)/T_0 T_H.$$

Відповідно до формули /2.56/ знаходимо

$$h_0 = \beta_n = 0;$$

$$\text{при } h_1 = \beta_1 - \sum_{j=n-m}^{n-m-1} \alpha_{j+m} \cdot h_j = \beta_1;$$

$$\text{при } h_2 = \beta_0 - \sum_{j=1}^{n-m} \alpha_{j+m} \cdot h_j = \beta_0 - \alpha_1 h_1.$$

Тоді рівняння стану в стандартній формі матимуть такий вигляд:

$$\dot{\overline{x}}(t) = A \overline{x}(t) + \beta u(t);$$

$$y(t) = C \overline{x}(t),$$

$$\text{де } A = \begin{bmatrix} 0 & 1 \\ -\frac{1}{kT_H} & -\frac{1}{T_E} \end{bmatrix}; \quad B = \begin{bmatrix} h_1 \\ h_2 \end{bmatrix} = \begin{bmatrix} \theta_1 \\ \theta_0 - \alpha, h_1 \end{bmatrix};$$

$$C = [1 \ 0]; \quad D = [h_0] = [0];$$

$$\bar{x}(t) = [x_1(t) \ x_2(t)]^T = [\omega(t) \dot{\omega}(t)]^T;$$

$$U(t) = I_{cy}(t), \quad y(t) = \omega(t) - \text{скляри.}$$

Схему аналогового моделювання, яка відповідає наведеним рівнянням стану, зображене на рис. 3.6.

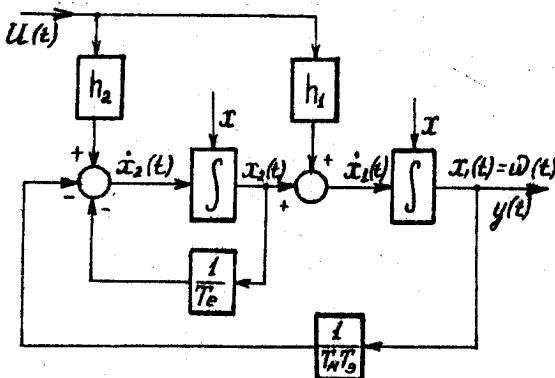


Рис. 3.6. Схема аналогового моделювання приводу постійного струму /до прикладу 3.1/

Більні рухи приводу, спричинені ненульовими початковими умовами, описують такі диференціальні рівняння:

$$\frac{d^2\omega(t)}{dt^2} + 2\varphi\zeta\omega_0 \frac{d\omega(t)}{dt} + \omega_0^2\omega(t) = 0,$$

$$\text{де } \varphi = T_H/2\sqrt{T_E T_H}; \quad \omega_0 = 1/\sqrt{T_E T_H}.$$

Коли $\zeta = 0$ /теоретично випадок можливий, якщо активний опір якірного кола двигуна дорівнює нулеві/, розв'язок рівняння $\frac{d^2\omega(t)}{dt^2} + \Omega_0^2 \omega(t) = 0$ має вигляд

$$x_1(t) = \omega(t) = K \sin(\Omega_0 t + \varphi).$$

Диференціюючи це рівняння, знаходимо

$$x_2(t) = \dot{\omega}(t) = K \Omega_0 \cos(\Omega_0 t + \varphi),$$

де K і φ - довільні сталі, визначені з початкових умов.

Видучуючи з цих рівнянь $\Omega_0 t + \varphi$, дістамо рівняння фазових траекторій, що являють собою параметричне рівняння еліпса з півосями K та $K \Omega_0$ /рис. 3.7, а/:

$$\frac{x_1^2}{K^2} + \frac{x_2^2}{K^2 \Omega_0^2} = 1.$$

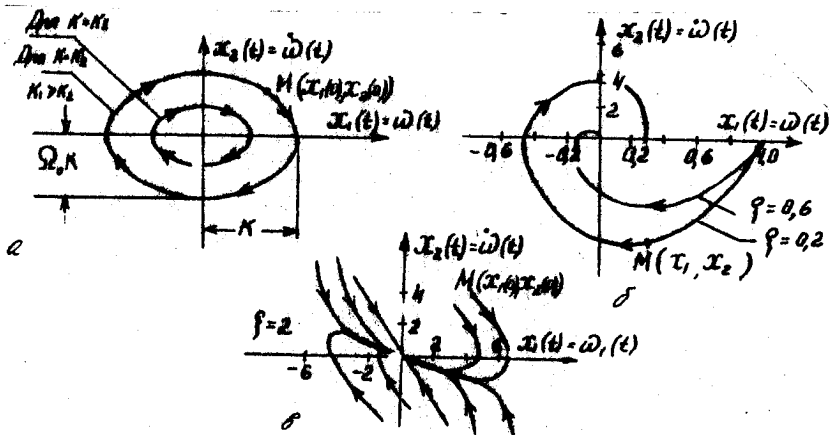


Рис. 3.7. Фазові траєкторії двигуна постійного струму при $\zeta = 0 / \text{В} /$, $\varphi < 1 / \text{б} /$ і $\zeta > 1 / \text{В} /$

З початкових умов /коли $t = 0$ $x_1(t) = \omega(t) = x_1(0) = \omega_0$,
 $x_2(t) = \dot{\omega}(t) = x_2(0) = \omega_0$ / знаходимо

$$\kappa = \sqrt{\omega_0^2 + \frac{\dot{\omega}_0^2}{\Omega_0^2}}; \quad \varphi = \arctg \frac{\dot{\omega}_0 \omega_0}{\omega_0}.$$

Різним величинам сталої κ на фазовій площині однозначно відповідають різні еліпси, а різним величинам φ - різні початкові положення зображенельної точки $M_0[x_1(0), x_2(0)]$ на даному еліпсі. Зображенельна точка M фазовою траекторією рухається за стрілкою годинника. Замкнені траекторії на фазовій площині відповідають періодичні рухи двигуна. Уесь еліпс зображенельна точка проходить за один період $T = 2\pi/\Omega_0$.

На рис. 3.7,б зображено фазові траекторії двигуна для $\xi < 1$, що являють собою логарифмічні спіралі, вкладені одна в одну і асимптотично збіжні, коли $t \rightarrow \infty$, до початку координат фазової площини, який є точкою рівноваги. Фазові траекторії двигуна для $\xi > 1$ зображені на рис. 3.7,в.

Точки рівноваги, куди збігаються всі фазові траекторії /у розглянуваному випадку це початок координат фазової площини/, називають: $\varphi = 0$ - центром, $\varphi < 1$ - стійким фокусом, $\varphi > 1$ - стійким вузлом.

3.3.2. Матрицева передавна функція

Застосовуючи до рівнянь /2.75/ і /2.83/ перетворення Лапласа і припускаючи, що перший план правої частини /2.83/, яка характеризує вільні рухи системи, спричинені ненульовими початковими умовами, дозволяє нуль, після нескладних перетворень дістаемо [1]

$$\vec{Y}(\rho) = H(\rho) \vec{U}(\rho), \quad /3.41/$$

де

$$H(\rho) = C [\rho I - A]^{-1} B. \quad /3.42/$$

Матрицю $H(\rho)$ називають матрицевою передавною функцією лінійної /лінеаризованої/ стаціонарної багатовимірної системи. Кожен елемент $H_{ij}(\rho)$ функції $H(\rho)$ - це скалярна передавна функція від i -ї компоненти виходу до j -ї компоненти входу. Якщо $H(\rho)$ і $\vec{U}(\rho)$ відомі, то реакцію системи з нульовим початковим станом можна знайти внаслідок оберненого перетворення Лапласа виразу /3.41/.

Приклад 3.2. Треба визначити матрицеву функцію двигуна постійного струму, вихідними координатами якого є $\omega(t)$ та $I_A(t)$, а вхідними - $U_g(t)$ та $I_{cr}(t)$.

Розв'язання. У розглядуваному випадку, припустивши, що в /3.38/ $\Delta\phi(t) = 0$, знаходимо такі вирази матриць, що їх містять рівняння стану /3.39/, /3.40/:

$$A = \begin{bmatrix} 0 & \frac{K_A R_E}{T_H} \\ -\frac{1}{K_A R_E T_E} & -\frac{1}{T_E} \end{bmatrix}; \quad B = \begin{bmatrix} 0 & -\frac{K_A R_E}{T_H} \\ \frac{1}{R_E T_E} & 0 \end{bmatrix};$$

$$C = \begin{bmatrix} 1 & 0 \\ 0 & 1 \end{bmatrix}; \quad x(t) = [\omega(t) \quad I_A(t)]^T;$$

$$\bar{U}(t) = \begin{bmatrix} I_{cr}(t) \\ U_A(t) \end{bmatrix}; \quad \bar{Y}(t) = \begin{bmatrix} \omega(t) \\ I_A(t) \end{bmatrix}.$$

Визначимо тепер обернену матрицю $[\rho I - A]^{-1}$, яку містить вираз матрицевої передавної функції /3.42/:

$$[\rho I - A]^{-1} = \frac{A \alpha_j [\rho I - A]}{\det[\rho I - A]},$$

де

$$[\rho I - A] = \begin{bmatrix} \rho & -\frac{K_A R_E}{T_H} \\ \frac{1}{R_E K_A T_E} & \rho + \frac{1}{T_E} \end{bmatrix}.$$

Характеристичний поліном матриці A

$$\det[\rho I - A] = \rho^2 + \frac{1}{T_E} \rho + \frac{1}{T_E T_H}.$$

Приєднана матриця

$$Adj \begin{bmatrix} p & -\frac{K_A R_E}{T_M} \\ \frac{1}{K_A R_E T_E} & p + \frac{1}{T_E} \end{bmatrix} = \begin{bmatrix} C_{11} & C_{21} \\ C_{12} & C_{22} \end{bmatrix} = \begin{bmatrix} p + \frac{1}{T_E} & \frac{K_A R_E}{T_M} \\ -\frac{1}{K_A R_E T_E} & p \end{bmatrix},$$

де C_{11} , C_{12} , C_{21} , C_{22} - алгебричні доповнення приєднаної матриці.
Отже,

$$[PI - A]^{-1} = \frac{1}{p^2 + \frac{1}{T_E} p + \frac{1}{T_E T_M}} \begin{bmatrix} p + \frac{1}{T_E} & \frac{K_A R_E}{T_M} \\ -\frac{1}{K_A R_E T_E} & p \end{bmatrix}.$$

Урахувавши отримані вирази, визначасмо матрицеву передавну функцію двигуна:

$$\underline{H(p)} = C [PI - A]^{-1} B = \begin{bmatrix} \frac{K_A}{A(p)} & \frac{K_A R_E (1+T_E p)}{A(p)} \\ \frac{(T_M/R_E)p}{A(p)} & \frac{1}{A(p)} \end{bmatrix},$$

$$\text{де } A(p) = p^2 + \frac{1}{T_E} p + \frac{1}{T_E T_M} = T_E T_M p^2 + T_M p + 1.$$

Неважко перевіратися, що елементи $H_{11}(p)$, $H_{12}(p)$, $H_{21}(p)$, $H_{22}(p)$ матрицевої передавної функції $H(p)$ повністю збігаються з відповідними передавними функціями /3.21/, /3.24/, /3.20/, /3.23/, отриманими попереду класичним способом, тобто $H_{11}(p) = G_{\omega\omega}(p)$;

$$H_{12}(p) = G_{\omega I}(p); H_{21}(p) = G_{I\omega}(p); H_{22}(p) = G_{II}(p).$$

3.4. Математична модель двигуна постійного струму з урахуванням пружних деформацій механічної передачі

Розв'яжемо задачу для випадку керування двигуном за колом обмотки якоря, припустивши, що $\Phi(t) = \Phi_0 = \text{const}$ [$d\Phi(t)/dt = 0$].

Одержані попереду рівняння динаміки двигуна постійного струму спрощуються у випадку, коли механічна передача між двигуном та робочим механізмом абсолютно жорстка і, крім того, в ній немає повітряного проміжку /люфту/. За такої умови кутове положення двигуна й робочого механізму однакові як в усталеному, так і в переходному режимі.

Але насправді всі елементи механічної передачі, які перебувають під впливом моменту, деформуються. У межах закону Гука виниклий у механічній передачі момент M_p , що його звичайно називають пружним, пропорційний кутовій деформації $\Delta \alpha$:

$$M_p = C \Delta \alpha.$$

/3.43/

Коефіцієнт пропорційності C називають коєфіцієнтом жорсткості. Для вала завдовжки ℓ /м/

$$C = J_B \sigma / \ell [Н·м / рад],$$

де J_B - момент інерції поперечного перерізу вала, $\text{кг}\cdot\text{м}^2$; σ - модуль пружності кручення, Па .

Розглянемо, як пружна механічна передача з коєфіцієнтом жорсткості C впливе на механічну частину електропривода. На рис. 3.8 зображене узагальнену двомасову механічну частину електропривода з пружним механічним передачем. До такої розрахункової схеми /моделі/ можна звести велику кількість різних приводів. На схемі позначенено: d_g , $d_p = d_g/i$, d_o - кути повороту вільновідно вала двигуна, вихідного вала редуктора й вала робочого механізму; i - коєфіцієнт редукції, який дорівнює відношенню кутових швидкостей обертання вала двигуна ω_A і вихідного вала редуктора ω_p ; $C_p = C i^2$ - зведений до вала робочого механізму еквівалентний коєфіцієнт жорсткості редуктора й вала, який зв'язує двигун та робочий механізм; $C = C_p C_p / (C_p + C_p)$; C_p - жорсткість вала; C_p - жорсткість редуктора [2]; J_A , J_p - моменти інерції вільновідно вала двигуна разом з редуктором і робочого механізму; M_A , M_{op} - моменти вільновідно електромагнітний, що його розвиває двигун, і статичного опору робочого механізму.

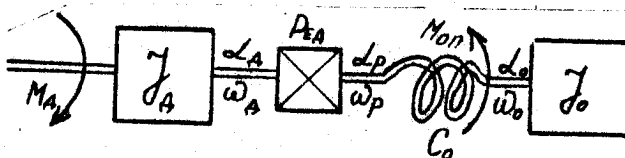


Рис. 3.8. Узагальнена двомасова система механічної частини електропривода

Складаючи рівняння динаміки розглядуваної механічної частини привода /рис. 3.8/, зробимо такі основні припущення: сили та моменти, які діють у системі, прикладено до зосереджених мас, що не зазнають деформації; пружні ланки невагомі й мають сталу жорсткість; деформації пружних ланок лінійна і підлягає законові Гука.

Рівняння динаміки в приростах, записані в зображеннях за Лапласом, з урахуванням вроблених припущень, набувають вигляду:

$$\mathcal{J}_d \rho^2 \Delta \alpha_d(\rho) = \Delta M_d(\rho) - C_0 [\Delta \alpha_p(\rho) - \Delta \alpha_o(\rho)]/i, \quad /3.44/$$

$$\mathcal{J}_o \rho^2 \Delta \alpha_o(\rho) = C_0 [\Delta \alpha_p(\rho) - \Delta \alpha_o(\rho)] - \Delta M_{op}(\rho). \quad /3.45/$$

Перше з них записано для вала двигуна, на який діють момент M_d і зведеній до вала двигуна пружний момент $M_p = C_0 (\alpha_p - \alpha_o)/i$, а друге – для вала робочого механізму, що на нього діють моменти M_{op} і M_o .

Рівнянням /3.44/, /3.45/ відповідає структурна схема двомасової механічної частини електропривода /рис. 3.9,а/, яку за допомогою структурного перетворення зведено до виду, зображеного на рис. 3.9,б. На цих схемах аргумент ρ для змінних M_d , M_o , M_{op} , ω_d , ω_o , α_d , α_o пропущено /з метою спрощення/, передавні функції механічної частини робочого механізму /OK/ $G_o(\rho)$, механічної частини двигуна $G_d(\rho)$ і відношення моментів $G_{op}(\rho)$ /рис. 3.9,б/:

$$G_o(\rho) = \frac{i \Delta \omega_o(\rho)}{\Delta \omega_d(\rho)} = \frac{\Delta \alpha_o(\rho)}{\Delta \alpha_d(\rho)} = \frac{1}{T_o^2 \rho^2 + 1}, \quad /3.46/$$

$$G_d(\rho) = \frac{\Delta \omega_d(\rho)}{\Delta M_d(\rho)} = \frac{T_o^2 \rho^2 + 1}{\mathcal{J}_d' (T_{o1}^2 \rho^2 + 1) \rho}, \quad /3.47/$$

$$G_{op}(\rho) = \frac{\Delta M_{op}(\rho)}{\Delta M_{op}(\rho)} = \frac{T_{o1}^2 \rho^2 + 1}{i}, \quad /3.48/$$

де

$$\left. \begin{aligned} T_o &= \sqrt{\mathcal{J}_o / C}; \quad T_{o1} = T_o^2 i^2 \mathcal{J}_d / \mathcal{J}_d'; \quad T_{oA} = i \sqrt{\mathcal{J}_d / C}; \\ \mathcal{J}_d' &= \mathcal{J}_d + i^2 \mathcal{J}_A; \quad \mathcal{J}_A' = \mathcal{J}_A / i^2. \end{aligned} \right\} \quad /3.49/$$

Припустивши, що у виразі /3.47/ $i = \infty$, дістанемо передавну функцію механічної частини при еді з абсолютно жорсткою механічною передачею:

$$G_A(P) = \frac{\Delta \omega(P)}{\Delta M_A(P)} = \frac{1}{J_{\Sigma} P}, \quad /3.50/$$

де сумарний момент інерції $J_{\Sigma} = J_0 + i^2 J_A$.

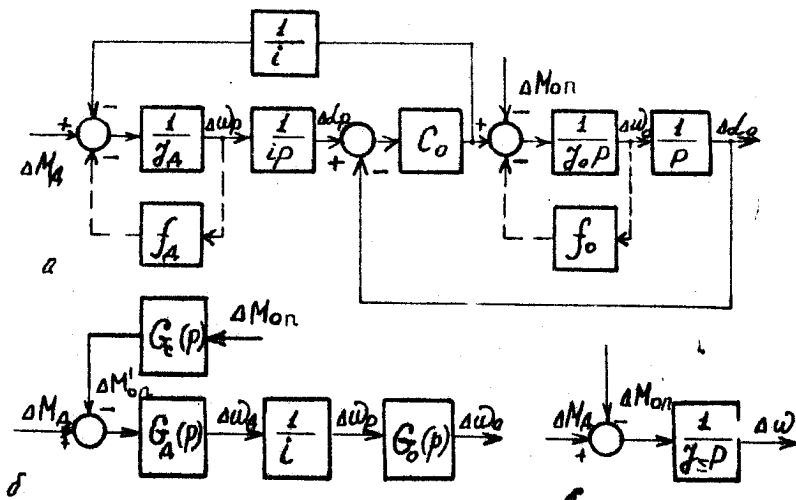


Рис. 3.9. Структурні схеми механічної частини електропривода: а - без урахування тертя; б - перетворена без урахування тертя; в - для абсолютно жорсткої механічної передачі

Структурну схему абсолютно жорсткого привода, що відповідає виразу /3.50/, зображену на рис. 3.9,в, в його логарифмічна амплітудно-частотна характеристика /ЛАЧХ/ $U(\omega) = 20 \lg B_g(\omega) = 20 \lg(1/J_{\Sigma})\omega$ являє собою, як відомо, пряму лінію з нахилом 20 дБ/дек, котра перетинає вісь частот при $\omega = \omega_{cr} = 1/J_{\Sigma}$. Використавши структурні схеми рис. 3.9, можна визначити різні передавні функції, які пов'язують вихідні величини $\Delta \omega_A$, $\Delta \omega_o$ або $\Delta \alpha_y$, $\Delta \alpha_o$ з вхідними ΔM_A і ΔM_{oP} .

Оцінимо вплив коефіцієнта жорсткості C_0 на властивості механічної частини електропривода /механізму/. Для цього скористаємося функцією $\delta_g(p)$, а також передавною функцією

$$\delta_{AO}(p) = \frac{\Delta\omega_0(p)}{\Delta M_0(p)} = i\delta_A(p)\delta_0(p) = \frac{1}{i\delta_A(\tau_0^2\rho^2+1)\rho}. \quad /3.51/$$

Оскільки передавні функції $\delta_g(p)$ і $\delta_{g0}(p)$ складаються з консервативних ланок другого порядку, то, отже, на власних частотах робочого механізму

$$\Omega_0 = 1/T_0 = \sqrt{C_0/m} \quad /3.52/$$

і всієї механічної частини електропривода

$$\Omega'_0 = 1/T_0' = \Omega_0 \sqrt{\gamma}, \quad /3.53/$$

де $\gamma = \delta_0'/(\delta_0^2 + \delta_0'^2)$, можуть виникати незагасальні гармонійні коливання. Якщо входний сигнал $\Delta M_0(\omega)$ змінюватиметься за гармонійним законом, то в разі збігу частоти цього сигналу з частотою Ω_0' в приводі виникне резонанс, коли амплітуда сигналу на виході привода необмежено зростатиме. На рис. 3.10 якісно зображені ДАЧХ $\delta_{g0}(\omega) = -20 \lg |\delta_{g0}(j\omega)|$ та $\delta_g(\omega) = 20 \lg |\delta_g(j\omega)|$, побудовані для i -го реперектора в механічній передачі немовля. Характеристика $\delta_{g0}(\omega)$ на частоті Ω_0' має розрив неперервності, а це означає, що амплітуда вихідного сигналу $\Delta\omega_0$ зростає до нескінчності і, крім того, на цій частоті виникає стрибок фази $\varphi_{g0}(\omega) = \arg \delta_{g0}(j\omega)$ від $-\pi/2$ до $-\pi/2$. А тому можуть виникнути резонансні явища, і механічна частина привода згратить стійкість. Щоб цього уникнути, привод проектувати треба так, аби резонансна частота Ω_0' розташувалася якомога далі від частоти зрізу $\Omega_{dP} = 1/\tau_0'$. З виразу /3.53/ випливає, що мінімальне значення Ω_0' матиме при $C_0 = \text{const}$, коли $\gamma = 2$. Із зростанням коефіцієнта жорсткості C_0 збільшуються значення Ω_0 та Ω_0' .

ДАЧХ $\delta_g(\omega)$, крім розриву неперервності γ від "ємного стрибка" фази на частоті Ω_0 , на резонансній частоті Ω_0' має ще γ від "ємний розрив неперервності" і податний стрибок фази $\varphi_g(\omega)$ від $-\pi/2$ до $\pi/2$, спричинений консервативном форсувальному ланку другого порядку $(\tau_0^2\rho^2+1)$. На властивості механічної частини електропривода з передавною функцією $\delta_g(p)$ особливості частотних характеристик $\delta_g(\omega)$ і $\varphi_g(\omega)$ на частоті Ω_0' впливають так само, як і в попередньому ви-

падку. Розрив ЛАЧХ $\lg(\omega)$ на частоті Ω_0 небезпеки не становить, бо коливання сигналу $\Delta\omega_0$ під час резонансу матимуть дуже малу амплітуду. Додатний стрибок фази $\varphi(\omega)$ на частоті Ω_0 сприятливо позначиться на стійкості механічної частини двигуна.

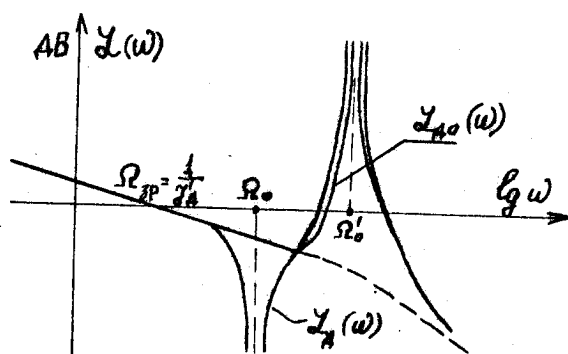


Рис. 3.10. Логарифмічні характеристики всієї механічної частини електропривода $L_{dg}(\omega)$ і механічної частини двигуна $L_g(\omega)$ без урахування тертя

Зauważmy також, що ЛАЧХ $L_{dg}(\omega)$ і $L_g(\omega)$ на ділянках низьких частот і частоті зрізу Ω_{3p} збігаються.

На відміну від ідеальної пружної механічної передачі, розглянутої попереду, в реальній передачі завжди є сили тертя, які спровалиють демпфуючу дію на коливання, зумовлені пружними деформаціями. Такі сили в механіці називають дисипативними на противагу консервативним, чи потенціальним, силам, які зберігають енергію коливної системи незмінною. Прикладом дисипативних сил може бути сухе й в"язке тертя. Сухе тертя демпфує тільки такі коливання, в яких швидкість змінює свій знак /реверс/. В"язке тертя виникає під час роботи обертових елементів у рідкому чи повітряному середовищі /підчіпки, зубчасті передачі, що працюють у масі/, крильчатки вентилятора двигуна, тертя

колектора об щітки/. Сили в"язкого тертя спричиняють момент в"язкого тертя, пропорційний швидкості. В урахуванні моментів в"язкого тертя в двигуні $\Delta M_{BQ} = f_g \Delta \omega_Q$ і робочому механізмі /опори й ущільнення/ $\Delta M_{BQ} = f_o \Delta \omega_o$, де f_g, f_o - коефіцієнти в"язкого тертя, рівняння /3.44/ і /3.45/ в зображеннях запишемо так:

$$\mathcal{J}_A \rho^2 \alpha_A (\rho) = \Delta M_A (\rho) - C_0 [\Delta \alpha_p (\rho) - \Delta \alpha_o (\rho)]/i - f_g \rho \Delta \omega_Q (\rho), /3.54/$$

$$\mathcal{J}_D \rho^2 \alpha_o (\rho) = C_0 [\Delta \alpha_n (\rho) - \Delta \alpha_o (\rho)] - \Delta M_{op} (\rho) - f_o \rho \Delta \omega_o (\rho). /3.55/$$

Динамічні блоки з коефіцієнтами f_g і f_o на структурній схемі рис. 3.9,а враховують вплив в"язкого тертя. У цьому разі передавні функції:

$$G_0 (\rho) = \frac{i \Delta \omega_o (\rho)}{\Delta \omega_A (\rho)} = \frac{\Delta \alpha_o (\rho)}{\Delta \alpha_p (\rho)} = \frac{1}{T_0^2 \rho^2 + 2 \zeta_0 T_0 \rho + 1}, /3.56/$$

$$G_A (\rho) = \frac{\Delta \omega_A (\rho)}{\Delta M_A (\rho)} = \frac{i^2 f'_0 (T_0^2 \rho^2 + 2 \zeta_0 T_0 \rho + 1)}{\alpha_3 \rho^3 + \alpha_2 \rho^2 + \alpha_1 \rho + 1}, /3.57/$$

$$G_{op} (\rho) = \frac{\Delta M_{op} (\rho)}{\Delta M_{op} (\rho)} = \frac{T_0^2 \rho^2 + 2 \zeta_0 T_0 \rho + 1}{1}, /3.58/$$

$$G_{o0} (\rho) = \frac{\Delta \omega_o (\rho)}{\Delta M_{op} (\rho)} = \frac{i/f'_0}{\alpha_3 \rho^3 + \alpha_2 \rho^2 + \alpha_1 \rho + 1}, /3.59/$$

де

$$\left. \begin{aligned} f_0 &= \frac{f_o}{2 \sqrt{f_o C_0}}; \quad f_{op} = \frac{i \cdot f_A}{2 \sqrt{f_A C_0}}; \quad f'_0 = f_0 + i^2 f_A; \\ a_1 &= \frac{f'_0 + 2 f_0 T_0 i^2 f_A}{f'_0}; \quad a_2 = \frac{i^2 T_0 (2 f_0 T_0 + f_A T_0)}{f'_0}; \quad a_3 = \frac{T_0^2 i^2 f_A}{f'_0} \end{aligned} \right\} /3.60/$$

Коефіцієнти T_0, f_0, f_A ті самі, що і в виразах /3.49/. Не змінюється й власна частота механічної частини привода $S_{o0} = 1/T_0$. Власна частота механічної частини всього привода

$$S_{o0}' = \sqrt{\alpha_1 / \alpha_3} = \sqrt{\frac{f'_0 + 2 f_0 T_0 i^2 f_A}{T_0^2 i^2 f_A}}. /3.61/$$

Оскільки $\dot{\theta}_0' \gg 2 \xi_0 \omega_0 i^2 J_A$, то, отже, як і в цопередньому випадку,

$$\Omega_0' \approx \Omega_0 \sqrt{\dot{\theta}_0 / i^2 J_A} \approx \Omega_0 \sqrt{f}.$$

Вплив в"язкого тертя виявляється в тому, що резонансні піки ЛАЧХ $\zeta_{go}(\omega)$ і $\zeta_g(\omega)$ на частоті Ω_0' мають окінченне значення. Якщо $\gamma = 2$, то резонансні піки мають максимальні амплітуди [25]:

$$\zeta_{go\max}(\omega) = i / (f_0 + i^2 f_A), \quad 13.62/$$

$$\zeta_{g\max}(\omega) = \gamma \zeta_{go\max}(\omega). \quad 13.63/$$

На резонансній частоті Ω_0 ЛАЧХ $\zeta_g(\omega)$ має провал

$$\zeta_{g\min}(\omega) = f_0 / C_0 i^2 J_A.$$

З рівняння 13.62/ випливає, що на величину резонансного піка дужче відповідає в"язке тертя в двигуні, ніж тертя в робочому механізмі.

Фазова характеристика $\zeta_{go}(\omega)$ на частоті Ω_0' має крутний спад, а це зменшує стійкість механізму. Крутне підняття фазової характеристики $\zeta_g(\omega)$ на частоті Ω_0 поліпшує стійкість.

На практиці в силових слідкувальних системах, де звичайно виникають явища резонансу, привод виготовляють з відношенням моментів інерції $\gamma = 2$.

Ізглянемо тепер, як впливають пружні деформації механічної передачі на динамічні властивості двигуна постійного струму. З цією метою з"єднаємо електричну частину структурної схеми двигуна без урахування пружних деформацій /див. рис. 3.3/ із структурною схемою механічної частини електропривода /див. рис. 3.9,б/. Унаслідок цього дістанемо структурну схему двигуна постійного струму з урахуванням впливу пружних деформацій /рис. 3.II/. Динамічний блок з коефіцієнтом підсилення СФ призначений для перетворення струму якоря двигуна ΔI_g у момент ΔM_g , який є входним сигналом механічної частини електропривода. Користуючись схемою на рис. 3.II, можна визначити сукупність передавних функцій двигуна, котрі пов"язують його вихідні координати ΔI_g , $\Delta \omega_g$, $\Delta \theta_g$, Δd_g , $\Delta \alpha_g$ з входними ΔU_g і ΔM_{op} . Визначимо такі передавні функції за керувальною U_g й збурювальною M_{op} діями, які необхідні на самперед для оцінювання впливу пружних деформацій на динамічні властивості двигуна:

$$G_{\omega_{A,U}}(P) = \frac{\Delta \omega_A(P)}{\Delta U_A(P)} \left| \begin{array}{l} \Delta \varphi_0 = 0 \\ M_{0n} = 0 \end{array} \right. = \frac{G_{\omega_H}(P) G_A(P)}{1 + G_{\omega_H}(P) G_A(P) C \varphi_0} =$$

$$= \frac{C \varphi_0 / R_E J_A' \cdot T_M' (T_0^2 P^2 + 1)}{T_H T_e T_{01}^2 P^4 + T'_H T_{01}^2 P^3 + (T_e + T_0^2) T'_H P^2 + T'_H P + 1}, \quad /3.64/$$

де $G_{\omega_H}(P) = \frac{C \varphi_0 / R_E}{1 + T_e P}$, $T'_M = (R_E J_A') / (C \varphi_0)^2$;

$$G_{\omega_{B,U}}(P) = \frac{\Delta \omega_B(P)}{\Delta U_A(P)} \left| \begin{array}{l} \Delta \varphi_0 = 0 \\ M_{0n} = 0 \end{array} \right. = G_{\omega_{A,U}}(P) \cdot G_o(P) / i; \quad /3.65/$$

$$G_{\omega_{B,H}}(P) = \frac{\Delta \omega_B(P)}{\Delta M_{0n}(P)} \left| \begin{array}{l} \Delta \varphi_0 = 0 \\ \Delta U_A = 0 \end{array} \right. = \frac{G_A(P) G_{0n}(P)}{1 + G_{\omega_H}(P) G_A(P) C \varphi_0} =$$

$$= - \frac{T_M' / (i J_A') [(T_0^2 P^2 + 1) (T_{01}^2 P^2 + 1) (T_e P + 1) (T_0^2 P^2 + 1)]}{(T_{01}^2 P^2 + 1) [T'_H T_e T_{01}^2 P^4 + T'_H T_{01}^2 P^3 + T'_H (T_e + T_0^2) P^2 + T'_H P + 1]}, \quad /3.66/$$

$$G_{\omega_{B,H}}(P) = \frac{\Delta \omega_B(P)}{\Delta M_C(P)} \left| \begin{array}{l} \Delta \varphi_0 = 0 \\ \Delta U_A = 0 \end{array} \right. = G_{\omega_{A,H}}(P) G_o(P) / i. \quad /3.67/$$

Порівнявши передавні функції /3.21/, /3.24/ з /3.64/, /3.66/, бачимо, що коли $C = 0$, то вони збігаються, бо в цьому разі $T_0 = 0$, $T_{01} = 0$, $T'_M = T_H = R_E J_A' / (C \varphi_0)^2$, $J_A = J_A' + J_0$.

У слідкувальних системах вихідною величиною є кут повороту вала двигуна α_g або робочого механізму α_o . Тому відповідні передавні функції визначають, помноживши знаменники виразів /3.64/-/3.67/ на комплексну змінну P .

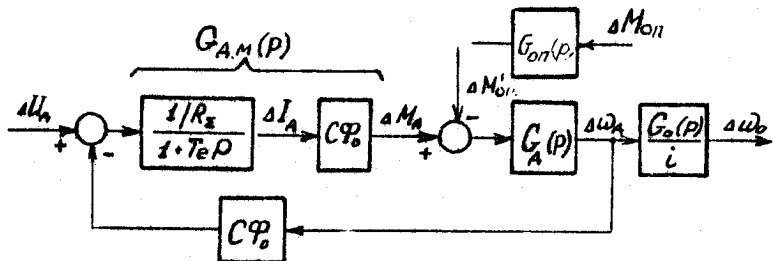


Рис. 3.II. Структурна схема двигуна постійного струму з урахуванням пружних деформацій у механічній передачі

3.5. Математична модель трифазного асинхронного двигуна

Динамічні властивості трифазних асинхронних двигунів залежать від електромагнітних і електромеханічних процесів, які характеризують електромагнітною τ_e і електромеханічною τ_M сталими часу, спричиненими відповідно індуктивностями електричних кіл двигуна і механічною інерцією всіх рухомих частин двигуна - робочий механізм. Звичайно $\tau_e \ll \tau_M$. Тому, визначаючи рівняння динаміки асинхронного двигуна та їх лінеаризуючи, впливом електромагнітних перехідних процесів нехтується. Крім того, припускається, що за "язок" двигуна в робочим механізмом абсолютно жорсткий і без люфті.

Механічна характеристика трифазного асинхронного двигуна [25]

$$M = \frac{3U_1^2 R'_{2\Sigma}}{\omega_0 S [(R_s + R'_{2\Sigma} / S)^2 + x^2]} , \quad 13.68/$$

де U_1 - діюче значення фазної напруги мережі; R_s - зведеній до обмотки статора сумарний фазний опір обмотки ротора і послідовно звімкненого в фазу додаткового опору, Ом; $\omega_0 = 2\pi f_r / \rho$ - кутова швидкість обертового магнітного поля, що звичайно називають синхронною, рад/с; f_r - частота струму, який живить обмотки статора, Гц; ρ - кількість пар полюсів двигуна; $S = \omega_0 / (\omega_0 - \omega)$ - ков-

зення ротора двигуна; ω - кутова швидкість ротора, рад/с; R_s - активний фазний опір обмотки статора, Ом; x_k - індуктивний опір короткого замикання, Ом.

Рівняння /3.68/ одержано за таких припущеній: параметри двигуна не залежать від режиму роботи; не враховували втрат у сталі статора й ротора, насичення магнітопроводу, а також впливу просторових та часових найвищих гармонійних складових намагнічувальних сил обмоток статора й ротора.

З рівняння /3.68/ бачимо, що коли $\rho = \text{const}$, то електромагнітний момент двигуна є нелінійна функція U_r, f_r, ω , яку можна записати у вигляді нелінійного рівняння

$$\mathcal{F}[M_d(t), U_r(t), f_r(t), \omega(t)] = 0. \quad /3.69/$$

Лінеаризуємо нелінійне рівняння /3.69/ у точці, яка відповідає номінальному ковзанню $S = S_H$. Замінюючи змінні $M_d(t), U_r(t), f_r(t), \omega(t)$ їхніми установленими значеннями й відхиленнями, тобто

$$M_d(t) = M_{d0} + \Delta M_d(t), \quad U_r(t) = U_{r0} + \Delta U_r(t),$$

$$f_r(t) = f_{r0} + \Delta f_r(t), \quad \omega(t) = \omega_H + \Delta \omega(t),$$

дістаемо згідно з формулou /2.4/

$$K_M \Delta M_d(t) + K_u \Delta U_r(t) + K_f \Delta f_r(t) + K_\omega \Delta \omega(t), \quad /3.70/$$

де коефіцієнти K_M, K_u, K_f, K_ω являть собою частинні похідні нелінійної функції \mathcal{F} за умови, що $M_d(t) = M_{d0}, U_r(t) = U_{r0}, f_r(t) = f_{r0}, \omega(t) = \omega_H$, тобто

$$K_M = \left(\frac{\partial \mathcal{F}}{\partial M_d} \right)_0, \quad K_u = \left(\frac{\partial \mathcal{F}}{\partial U_r} \right)_0, \quad K_f = \left(\frac{\partial \mathcal{F}}{\partial f_r} \right)_0, \quad K_\omega = \left(\frac{\partial \mathcal{F}}{\partial \omega} \right)_0.$$

Щоб знайти частинні похідні в рівнянні /3.70/, скористаймося уточненою формулou Клосса [25]:

$$M_d = \frac{2M_K(1+\alpha S_K)}{S/S_K + S_K/S + 2\alpha S_K}, \quad /3.71/$$

де $\alpha = R_s/R_{22}'$, а критичне ковзання S_K і критичний момент M_K :

$$M_K = \frac{3\omega_0^2}{2\omega_0 [R_s \pm \sqrt{R_s^2 + x_k^2}]}, \quad /3.72/$$

$$S_K = \pm R_{22}' / \sqrt{R_s^2 + x_k^2}. \quad /3.73/$$

Коли $S \ll S_x$, як це випливає з виразу /3.71/, то механічну характеристику двигуна можна апроксимувати лінійною залежністю

$$M_d = 2M_x S_x / S . \quad /3.74/$$

Тоді лініаризовані коефіцієнти нелінійного рівняння

$$\mathcal{F}[M_d(t), U_1(t), f_1(t), \omega(t)] = 2M_x S_x / S - M_d = 0 \quad /3.75/$$

з урахуванням /3.72/ і /3.73/ набудуть вигляду:

$$K_u = \left(\frac{\partial \mathcal{F}}{\partial M_d} \right)_0 = 1 ;$$

$$K_U = \left(\frac{\partial \mathcal{F}}{\partial U_1} \right)_0 = \frac{\omega_H d U_{10}}{(2\pi)^2 f_{10}^2 - 2\pi \rho f_{10} \omega_H} ;$$

$$K_f = \left(\frac{\partial \mathcal{F}}{\partial f_1} \right)_0 = \frac{\omega_H d, U_{10}^2}{2\pi f_{10}^2 [2\pi f_{10} - \rho \omega_H]^2} ;$$

$$K_\omega = \left(\frac{\partial \mathcal{F}}{\partial \omega} \right)_0 = \frac{U_{10}^2 d}{(2\pi)^2 f_{10}^2 + 4\pi \rho f_{10} \omega_H \cdot \omega_H^2 \rho^2} ,$$

де $d = 6S_x / (R, \pm \sqrt{R^2 + x_k^2})$, $d_1 = 3S_x \rho^2 / (R, \pm \sqrt{R^2 + x_k^2})$.

Коефіцієнти K_u, K_f, K_ω можна визначити експериментально за відповідними характеристиками. Як приклад розглянемо визначення коефіцієнта передавання за напругою K_u . На рис. 3.I2 зображені серії механічних характеристик асинхронного двигуна $\omega = f(M_d)$, зняті за несмінною частотою f_1 й різних фіксованих значень напруги $U_{11} >$

$> U_{12} > U_{13}$. Коли фіксовані значення швидкості й напруги відповідають номінальним $\omega = \omega_H$ і $U_{11} = U_H$, двигун розвиває номінальний момент M_{dH} , точка I на рис. 3.I2/. Якщо тепер, не змінюючи значення швидкості $\omega = \omega_H$, змінити напругу на статорі до U_{12} , то величина моменту M_{d1} переїде в точку 2 /див. рис. 3.I2/. Тоді в зоні малих відхилень від точки рівноваги I

$$K_u = \left(\frac{\partial \mathcal{F}}{\partial U_1} \right) \Bigg|_{\begin{array}{l} f_1 = f_{10} \\ \omega = \omega_H \end{array}} = \frac{M_{d1} - M_{dH}}{U_{12} - U_{11}} . \quad /3.76/$$

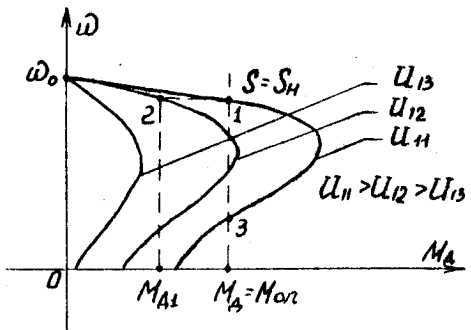


Рис. 3.12. Механічні характеристики трифазного есинхронного двигуна для різних фазних напруг

$$\Delta M_A(t) = K_u \Delta U_i(t) + K_f \Delta f_i(t) + K_\omega \Delta \omega(t). \quad /3.77/$$

Якщо тепер до рівняння /3.76/ додати лінеаризоване рівняння моментів на валі двигуна

$$\Delta M_A(t) = J_z \frac{d\Delta \omega(t)}{dt} + \Delta M_{op}(t), \quad /3.78/$$

де J_z - сумарний момент інерції ротора АД і всіх зв'язаних з ним обертових частин, то дістанемо систему з двох рівнянь, котра повністю описує динамічні властивості трифазного есинхронного двигуна.

За рівняннями /3.76/ та /3.77/ побудовано структурну схему двигуна, на якій зображене від'ємний зворотний зв'язок за швидкістю, бо коефіцієнт підсилення K_ω для лінійної ділянки механічної характеристики від'ємний /рис. 3.13, а/. Це випливає, зокрема, з геометричної інтерпретації лінеаризації рівнянь [див. /2.14/], оскільки тангенс кута нахилу дотичної, проведеної до механічної характеристики в точці $S = S_H$, від'ємний. Механічна стала часу двигуна, що \bar{Y} містить вираз $\text{вперіодичної ланки перетвореної структурної схеми}$ /рис. 3.13, б/, $T_M = J_z / K_\omega$.

Кли лінеаризацію виконати на нижній ділянці механічної характеристики двигуна $\omega = f(M_g)$, наприклад у точці З /див. рис. 3.12/, де, як і в точці I, $M_g = M_{op}$, то K_ω матиме додатне значення і

Цей коефіцієнт у режимі стабілізації швидкості практично не змінюватиметься. Але в загальному випадку, як можна бачити з рис. 3.12 і формули /3.76/, величина K_u залежить від поточного значення швидкості ω і напруги на статорі.

Отже, замість нелінійного рівняння /3.64/ трифазного есинхронного двигуна одержано таке лінійне рівняння із сталими коефіцієнтами K_u , K_f , K_ω у приростах:

аворотний зв'язок у схемі рис. 3.13,б буде також додатний і, отже, двигун описуватиме нестійка аперіодична ланка.

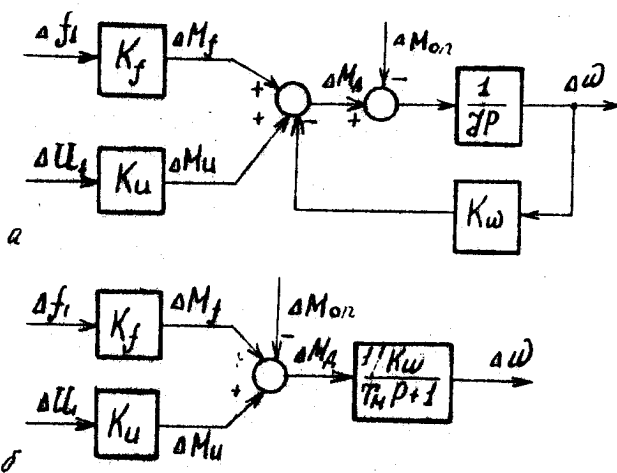


Рис. 3.13. Лінеаризована структурна схема трифазного асинхронного двигуна: а - початкова; б - перетворена

Визначимо передавні функції трифазного асинхронного двигуна за керувальними U_1 , f_1 і збурювальною M_{on} діями, скориставшись із структурної схеми рис. 3.13,б:

$$G_{u1}(\rho) = \frac{\Delta\omega(\rho)}{\Delta U_1(\rho)} = -\frac{K_u/K_\omega}{T_{MP}\rho + 1}; \quad /3.79/$$

$$G_{wf}(\rho) = \frac{\Delta\omega(\rho)}{\Delta f_1(\rho)} = \frac{K_f/K_\omega}{T_{MP} + 1}; \quad /3.80/$$

$$G_{wm}(\rho) = \frac{\Delta\omega(\rho)}{\Delta M_{on}(\rho)} = \frac{1/K_\omega}{T_{MP} + 1}. \quad /3.81/$$

Нагадаємо що раз, що передавні функції /3.78/-/3.80/ одержано без урахування впливу електромагнітної інерції кіл статора й ротора асинхронного двигуна.

Розділ 4. СИСТЕМИ РЕГУЛЮВАННЯ КУТОВОЇ ШВИДКОСТІ

4.1. Призначення і функціональна схема систем регулювання кутової швидкості

Принципи побудови розімкнених і замкнених систем автоматичної стабілізації, зокрема стабілізації кутової швидкості, та опис їх роботи наведено в розд. I.

Системи регулювання кутової швидкості електроприводів постійного і змінного струму /регулятори швидкості/ призначенні для стабілізації із заданим ступенем точності кутової швидкості електричного двигуна і зв'язаного з ним робочого механізму під час цієї на систему різного роду збурень. Однією з основних збурювальних дій, вплив якої має компенсувати /пригамувати/ система, є момент статичного опору на валі двигуна $M_{op}(t)$, що його значення залежить від типу й властистей робочого механізму.

Регулятори швидкості з високими статичними й динамічними властивостями /точність, стійкість, якість перехідного процесу/ зараз проектиують з допомогою багатоконтурних систем підпорядкованого регулювання, розглядуваних у розд. 5, а також одно- та двоконтурних систем з різними вилями зворотних зв'язків. В одноконтурних системах застосовують такі зворотні зв'язки: від "ємний за швидкістю", від "ємний чи додатний за струмом і від "ємний за напругою, а в двоконтурних - поєднання різних зворотних зв'язків одноконтурних систем /наприклад, система з від "ємним зворотним зв'язком за швидкістю й додатним за струмом/.

На рис. 4.1 зображену схему регулятора швидкості електропривода постійного струму із зворотними зв'язками за напругою, струмом і швидкістю. Вона складається з двигуна постійного струму з незалежним збудженням M , керованого тиристорного півтранзистором ТП, двох підсилювачів постійного струму PLL_1 і PLL_2 , щунта $Ш$, високоомного опору /подільника/ R_p , тахогенератора ТГ, підсилювачів напруги ПН, фільтрів ФЗЗН, ФЗЗС, ФЗЗШ та робочого механізму РМ. Ш, R_p , ТГ призначенні для вимірювання регульованих параметрів відповідно струму силового кола I_g , підведеного до якоря двигуна напруги U_g й кутової швидкості ω . ПН підсилюють сигнали U_w , RU_g , U_{Tr} , що надходять на їх входи. Для згладжування витримленої напруги й струму, а також колекторних пульсацій призначено фільтри ФЗЗН, ФЗЗС, ФЗЗШ.

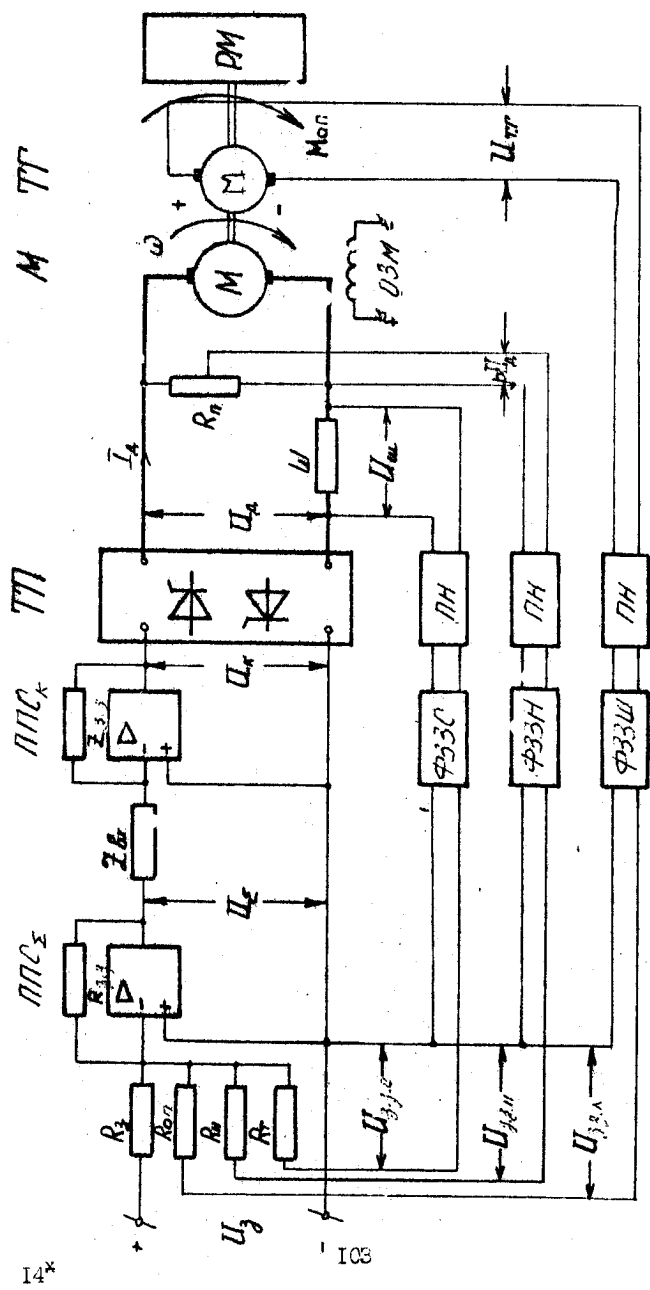


Рис. 4.1. Спрощена принципова схема системи регульовання кутової швидкості з різними видами зворотних зв'язків

Звичайно ПН і ФЗЗ об'єднують в один пристрій. Прикладом таких пристроїв є аналогові давачі струму ДС-ЗАІ і давач напруги ДН-2АІ [32], розроблені на Харківському електромеханічному заводі /ХЕМЗ/. Давач струму, який підімкнено до шунта, забезпечує гальванічне розв'язування між входними й вихідними колами. Вихідна напруга давача ± 10 В, а коефіцієнт підсилення може змінюватися в межах 35...135. Похибка давача не більш як 1%, смуга пропускання не менш як 1,5 кГц, високочастотні пульсації вихідної напруги /подвійна амплітуда/ не більш як 60 мВ. Температурний дрейф нуля не більш як 2 мВ/°C.

Звичайно фільтр ФЗЗ виготовляють у вигляді RC -ланцюжка, стала часу якого $T_\phi = RC$ не перевищує 2 мс.

На інвертувальному підсилювачі $ППС_x$ підсумовують задавальний /вхідний/ сигнал U_d і сигнали зворотних зв'язків $U_{з.з.с.}$, $U_{з.з.н.}$, $U_{з.з.ш.}$. У разі від'ємних зворотних зв'язків, як зображене на рис.4.1, коли $R_d = R_{on} = R_H = R_C = R_{з.з.}$, сигнал на виході $ППС_x$

$$U_e = -U_d + U_{on} + U_r + U_H.$$

Проміжний підсилювач постійного струму $ППС_x$, увімкнений між $ППС_x$ та системою імпульсно-фазового керування П, виконує функцію інвертора напруги U_e /якщо комплексні опори $Z_{BX} = R_{BX}$, $Z_{з.з.} = R_{з.з.}$ і $R_{BX} = R_{з.з.}$ /; підсилювача напруги з коефіцієнтом підсилення $X = R_{з.з.}/R_{BX}$ ($Z_{з.з.} = R_{з.з.}$, $Z_{BX} = R_{BX}$) і коригувального пристроя, структуру й параметри якого визначає характер комплексних опорів Z_{BX} і $Z_{з.з.}$. Якщо, наприклад, у вхідному колі ввімкнено резистор з опором R_{BX} , а в колі зворотного зв'язку послідовно з'єднано резистор з опором $R_{з.з.}$ і конденсатор ємністю $C_{з.з.}$, то в цьому разі передавна функція коригувального пристроя

$$R(p) = \frac{Z_{з.з.}(p)}{Z_{BX}(p)} = \frac{1 + Z_{op}p}{Z_{op}}, \quad 14.1/$$

де $Z_{op} = R_{BX}C_{з.з.}$; $Z_{op} = R_{з.з.}C_{з.з.}$; $p = 6 + j\omega$ - комплексна змінна.

Такий коригувальний пристрій називають інтегрально-пропорційним регулятором. Його властивості, як і властивості інших регуляторів, докладно розглянуто в підрозд. 5.3.

Розглянемо статичні й динамічні характеристики регуляторів швидкості з різними видами зворотних зв'язків, припускаючи, що всі елементи, які утворюють систему, лінійні й стаціонарні.

4.2. Регулятор швидкості з від'ємним зворотним зв'язком за швидкістю

Спрощену принципову схему системи регулювання швидкості із зворотним зв'язком за швидкістю зображенено на рис. 4.1 /зворотник зв'язків за непругом Й струмом немає/, а на рис. 4.2 - структурну схему. На цьому рисунку через $R(p)$ позначено передавну функцію коригувального пристроя, виготовленого на підсилювачі $PA C_A$, а всі інші позначення ті самі, що й під час виведення диференціальних рівнянь двигуна і тиристорного перетворювача /розд. 3/.

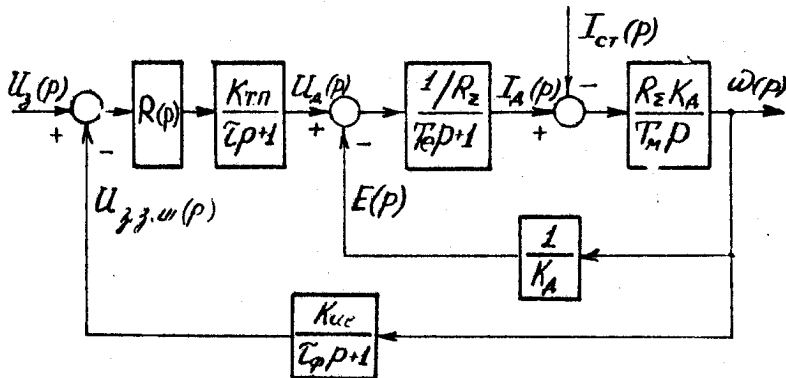


Рис. 4.2. Структурна схема регулятора швидкості з від'ємним зворотним зв'язком за швидкістю

Статичні характеристики. Знайдемо залежність швидкості ω від задавальної U_d і збурювальної I_{cr} дій. З цією метою перетворимо структурну схему системи /див. рис. 4.2/ так: винесемо збурення I_{cr} із замкненого контуру; потім перетворимо замкнений контур двигуна в динамічну ланку без зворотного зв'язку, внаслідок чого дістанемо структурну схему двигуна у вигляді, зображеному на рис. 4.3. Нехай в одержаний структурній схемі системи $p = 0$, що відповідає установленому режимові. Тоді одержимо структурну схему, зображену на рис. 4.4. З цієї схеми

$$\omega = K_A (U_d - U_{on}) = K_A [K_{Tn} K_{A,n} (U_d - K_A \omega) - R_z I_{cr}], \quad 14.21$$

або після перетворення

$$\omega = \frac{K_A K_{T,p} K_{K,p}}{1+K} U_3 - \frac{K_A R_E}{1+K} I_{cr}, \quad 14.3/$$

де $K = K_A K_{T,p} K_{K,p}$ - коефіцієнт підсилення розімкненої системи;
 $K_w = K_{T,p} K_{K,p}$ - коефіцієнт підсилення кола зворотного зв'язку за швидкістю; K_A - коефіцієнт підсилення підсилювача напруги ПН.

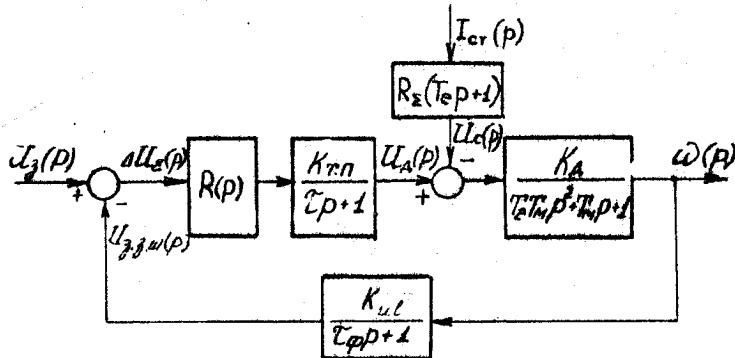


Рис. 4.3. Перетворена структурна схема регулятора швидкості з від'ємним зворотним зв'язком за швидкістю

Вираз 14.3/ можна записати в такому вигляді:

$$\omega = \omega_o - \Delta \omega_3, \quad 14.4/$$

де

$$\omega_o = \frac{K_A K_{T,p} K_{K,p}}{1+K} U_3 - \quad 14.5/$$

швидкість ідеального сліпого ходу замкненої системи із зворотним зв'язком за швидкістю /коли $I_{cr} = 0$ або $M_{on} = 0 \Rightarrow I_{cr} = 0/$

$$\Delta \omega_3 = \frac{K_A R_E}{1+K} I_{cr} - \quad 14.6/$$

абсолютне значення спаду швидкості в замкненій системі, спричинене струмом статичного навантаження I_{cr} .

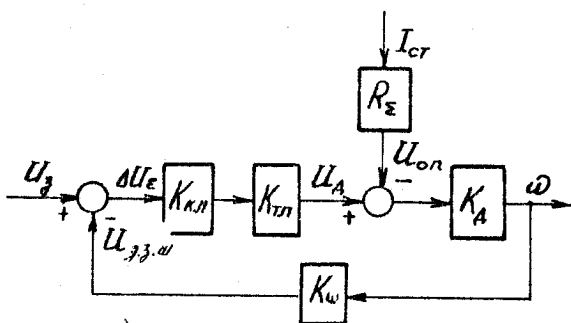


Рис. 4.4. Структурна схема, яка відповідає установленому режимовій роботі регулятора швидкості із зворотним зв'язком за швидкістю

Швидкість ідеального сліпого ходу

$$\omega_{op} = K_A K_m \dots K_r \cdot U_d; \quad 14.7/$$

спад швидкості розімкненої системи

$$\Delta \omega_p = K_A R_\Sigma I_{cr}. \quad 14.8/$$

Порівнюючи 14.5/ з 14.7/ і 14.6/ з 14.8/, діствамо

$$\omega_{33.w} = \frac{\omega_{op}}{1 + K}; \quad 14.9/$$

$$\Delta \omega_{33.w} = \frac{\Delta \omega_p}{1 + K}. \quad 14.10/$$

Оскільки в прямому колі замкненого контуру системи ідеальної інтегрувальної ланки немає /див. рис. 4.3/, то, отже, розглядувана система є статична як за збурювальною M_{op} /або I_{cr} /, так і за керу-

вальною U_3 діями і має статичні похибки за ними. Знайдемо ці похибки.

Статична похибка за збурювальною дією I_{cr}

$$\Delta \omega_I = \omega_0 - \omega, \quad /4.11/$$

або в врахуванням виразів /4.31, 14.5/

$$\Delta \omega_I = \frac{K_a R_x}{1+K} I_{cr}. \quad /4.12/$$

Отже, вираз для статичної похибки за збуренням /4.12/ збігається з попереду одержаним виразом /4.6/, який описує спад швидкості в замкненій системі, тобто $\Delta \omega_I = \Delta \omega_3$.

На рис. 4.5 зображене статичну електромеханічну характеристику $\omega = f(I_{cr})$, коли $U_3 = \text{const}$, для різних значень коефіцієнта підсилення K . З виразу /4.12/ і рис. 4.4 випливає, що статична похибка за збурювальною дією прямо пропорційна величині навантаження, яку характеризує струм I_{cr} , і обернено – коефіцієнту підсилення K [звичайно $K \gg I$, тому в знаменнику виразів /4.12/ одиницею можна знектувати]. Більшому $\Delta \omega_I$, як бачимо з рис. 4.5, визначають при $I_{cr} = I_{cr1}$ відрізки 1/у відповідному масштабі: $a\delta$ при $K = K_3$, aC при $K = K_2$, aD при $K = K_1$, aE при $K = 0$ /розвіднена система, $\Delta \omega_I = \Delta \omega_3$ /.

Залежність $\Delta \omega_I$ від I_{cr} краще можна побачити з рис. 4.6.

Статична похибка за керувальною дією /див. рис. 4.4/,

Рис. 4.5. Залежність усталеного значення кутової швидкості регулятора швидкості від навантаження за різних коефіцієнтів підсилення

зумовлена зміною задавальної дії U_3 ,

$$\Delta U_E = U_3 - U_3 \cdot \omega = \frac{1}{1+K} U_3 + \frac{K_c K_a R_x}{1+K} I_{cr}, \quad /4.13/$$

$$\Delta U_e = U_{e0} + \Delta U_{eI}, \quad /4.14/$$

де $\Delta U_{e0} = U_3 / (1 + K)$ - статична похибка замкненої системи, коли $I_{cr} = 0$;

$$\Delta U_{eI} = \frac{K_a K_c R_s}{1 + K} I_{cr} -$$

приріст статичної похибки замкненої системи, спричинений струмом навантаження I_{cr} .

На рис. 4.7 побудовано залежність $\Delta U_e = f(U_g)$, коли $I_{cr} = 0$ і коефіцієнт підсилення K має різні значення; її величину при $U_g = U_{g1}$ визначають відрізки:

ad , якщо $K = 0$ /розімкнена система, $\Delta U_e = \Delta U_p/$;

bd , якщо $K = K_1$; cd ,

якщо $K = K_2$; $\Delta U_e = 0$,

якщо $K = \infty$. На цьому самому

рисунку зображено залежність $\Delta U_e = f(U_g)$, коли $I_{cr} > 0$

і $K = K_2$; її величину при

$U_g = U_{g1}$ дорівнює відрізку ed .

Треба зазуважити, що розглянуті статичні похибки $\Delta \omega_I$ і ΔU_e , які мають розмірність відповідно реверс на секунду і вольт, спричинюючи принцип побудови системи керування. Крім них, кожна система має ще й інструментальні похибки, зумовлені технологією виготовлення окремих елементів, що з них побудовано систему. Таких похибок ми не розглядаємо.

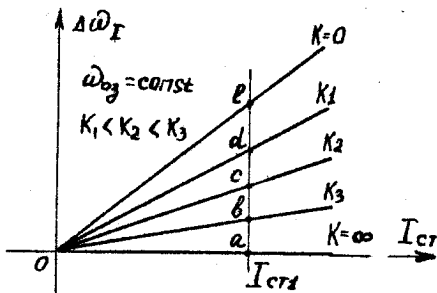


Рис. 4.6. Залежність статичної похибки за збуренням регулятора швидкості із зворотним зв'язком за швидкістю з різними коефіцієнтами підсилення

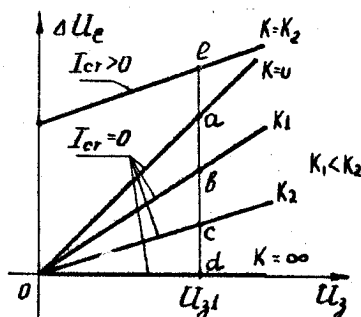


Рис. 4.7. Залежність статичної похибки за керувальним дією регулятора швидкості із зворотним зв'язком за швидкістю за різних коефіцієнтів підсилення й струму навантаження

Динамічні характеристики. Оцінимо, як впливають від'ємний зворотний зв'язок, тип і параметри коригувального пристроя на властивості регулятора швидкості. З цією метою порівняємо передавні функції розімкнених та замкнених систем регульовання кутової швидкості, припустивши, що сталі часу τ_{φ} і τ_E дорівнюють нулю, оскільки дуже малі порівняно з T_M і T_C .

Спочатку розглянемо випадок, коли коригувальний пристрій є звичайний підсилювач, тобто $R(p) = K_{K.p} ; K_{K.p} = R_{\beta, \beta} / R_{\beta X}$ /див. рис. 4.1/; $Z_{\beta, \beta} = R_{\beta, \beta}$; $Z_{\beta X} = R_{\beta X}$.

Передавна функція розімкненої системи за керувальною цією /див. рис. 4.3/

$$W(p) = \frac{\omega(p)}{U_c(p)} = \frac{K_{K.p} K_{T.p} K_A}{T_e T_M p^2 + T_M p + 1} . \quad /4.15/$$

Лінійна стаціонарна система другого порядку, як відомо, завжди стійка; граничний коефіцієнт її підсилення $K_{gr} = \infty$, в якість переходних процесів повністю визначають відносний коефіцієнт демпфування ζ і власна частота коливань /коли $\zeta = 0 / \omega_0$. Ці значення для розімкненої системи:

$$\zeta_p = \frac{T_M}{2\sqrt{T_e T_M}} ; \quad \omega_{op} = \frac{1}{\sqrt{T_e T_M}} . \quad /4.16/$$

Якщо $\zeta_p < 1$, корені $T_e T_M p^2 + T_M p + 1 = 0$ комплексно спряжені з від'ємною дійсною частиною; переходний процес - коливний загасальний, якщо $\zeta_p > 1$ - дійсні від'ємні різниці; переходний процес - аперіодичний, а якщо $\zeta_p = 0$ - сухо уявні; переходний процес - незагасальний гармонічні коливання. Ефектчастота коливань ω_{op} характеризує швидкодію системи; що більше ω_{op} , то швидше, за інших однакових умов, загасає переходний процес.

Передавна функція замкненої системи за керувальною цією

$$\begin{aligned} \Phi(p) &= \frac{\omega(p)}{U_g(p)} = \frac{W_{(p)}}{1 + W(p)} = \\ &= \frac{(K_{K.p} K_{T.p} K_A) / (1 + K)}{\frac{T_e T_M p^2 + T_M p + 1}{1 + K}} , \quad /4.17/ \end{aligned}$$

де, як і раніше, $K = K_c K_{K.p} K_{T.p} K_A$.

Для замкненої системи

$$\xi_3 = \frac{1}{1+k} \cdot \frac{T_M}{2T_e T_M} = \frac{1}{1+k} \xi_P, \quad 14.18/$$

$$\omega_{03} = \frac{\sqrt{1+k}}{\sqrt{T_e T_M}} = \sqrt{1+k} \cdot \omega_{0P}. \quad 14.19/$$

Порівнявши $W(p)$ з $\Phi(p)$, $\zeta(p)$ з ξ_3 , ω_{0P} з ω_{03} , бачимо, що твердий від'ємний зворотний зв'язок збільшує ω і зменшує ξ_3 в $\sqrt{1+k}$ разів. Отже, із зростанням k , наприклад за рахунок збільшення K_C , підвищується швидкість загасання й зменшується коливальність /перерегулювання/ перехідних процесів. Твердий зворотний зв'язок за швидкістю поліпшує стійкість, оскільки зменшуються T_M і $T_e T_M$ у $1+k$ разів. Зменшення коефіцієнтів підсилення $K_{k,p}$, $K_{r,p}$, K_g в $1+k$ разів і, отже, зростання статичних похибок легко усунуть, відповідним чином збільшивши $K_{k,p}$ або K_g .

Розглянемо випадок, коли на AFC_K складено інтегрально-пропорційний регулятор з передавальною функцією 14.1/. У цьому разі передавні функції за керувальною дією розімкненої й замкненої систем

$$W(p) = \frac{\omega(p)}{\omega_{0e}(p)} = \frac{K_p K_{k,p} K_d (1 + \xi_3 p)}{p (T_e T_M p^2 + T_M p + 1)}, \quad 14.20/$$

де $K_p = 1/\varepsilon_0 = 1/R_{\text{ex}} C_{3,3}$;

$$\Phi(p) = \frac{\omega(p)}{\omega_3(p)} = \frac{K_p K_{k,p} K_d (1 + \xi_3 p)}{T_M T_e p^3 T_M p^2 + (1 + \xi_3 K_r) p + K_r}; \quad 14.21/$$

$K_r = K_p K_{k,p} K_g$ - коефіцієнт підсилення розімкненої системи за швидкістю; $K_r = (dU_{3,3} \cdot \omega / dt) / U_{e, \text{уст}, \text{рел}} / \text{с}$.

Із структурної схеми /див. рис. 4.3/ і передавальної функції 14.20/ випливає, що регулятор швидкості є встатична система з астатизмом першого порядку як за керувальною U_3 , так і за збурювальною I_{cr} дією. Отже, статичні похибки системи $\Delta \omega_3$ і ω_e дорівнюють нулю. Проте стійкість системи погіршується, бо інтегратор робить фазовий зсув -90° у замкненому контурі на всіх частотах. Це також випливає з виразу для граничного коефіцієнта системи

$$K_{rp} = \frac{1}{T_e - \xi_3}; \quad 14.22/$$

Формулу 14.22/ одержано з розв'язку рівняння $\Delta_2 = C_1 C_2 - C_0 C_3 = 0$, де Δ_2 - передостанній визначник Гурвіце; C_i - коефіцієнти характеристичного рівняння замкненої системи:

$$C_0 = T_M T_e; \quad C_1 = T_M; \quad C_2 = (1 + \bar{\epsilon}_R K_{Vrp}); \quad C_3 = K_{Vrp}.$$

Із 14.22/ бачимо, що K_{Vrp} в астатичній системі має скінченне значення. Оптимальне значення стала часу $\bar{\epsilon}_{Ropt}$ з погляду стійкості матиме тоді, коли $\bar{\epsilon}_R = T_e$; у цьому разі $K_{Vrp} = \infty$.

Так само можна дослідити переходні процеси, зумовлені дією на регулятор швидкості навантаження, внаслідок раптового /ударного/ прикладення момента статичного тору M_{opt} /або струму $I_{ct} = k_g M_{opt}$ / до вала двигуна. З цією метою треба використати передавну функції замкненої системи за збурювальною дією $\Phi_{\omega_I}(P) = \omega(P) / I_{ct}(P)$ і $\Phi_{I_I}(P) = I_g(P) / I_{ct}(P)$. Їх можна визначити із структурної схеми /див. рис. 4.2/. щоб було легше розв'язувати задачу, структурну схему двигуна на цьому рисунку треба зобразити послідовним з'єднанням двох динамічних блоків. Тоді, припускаючи, що $\bar{\epsilon}_\phi = \bar{\epsilon} = 0$ і $R(P) = K_{K.P}$, після нескладних структурних перетворень дістаємо

$$\Phi_{\omega_I}(P) = \frac{K_A R_Z (1 + T_{eP})}{T_e T_M P^2 + T_M P + (1 + K)}, \quad 14.23/$$

$$\Phi_{I_I}(P) = \frac{I_A(P)}{I_{ct}(P)} = \frac{M_A(P)}{M_{ct}(P)} = \frac{K}{T_e T_M P^2 + T_M P + K}. \quad 14.24/$$

Із 14.23/ і 14.24/ випливає, що коли $P = 0$, тобто в усталеному режимі, то $I_g = I_{ct}$ ($M_g = M_{ct}$), а абсолютно значення статичної похибки за збуренням $\Delta \omega_I$ збігається з раніше одержаним її значенням з виразу 14.12/.

На рис. 4.8 якісно зображені залежності зміни в часі швидкості $\omega_I(t)$ і моменту $M_g(t)$, або, в іншому масштабі струму $I_g(t)$, зумовлені ударним прикладенням моменту $M_{opt}(t) = M_{opt} = \text{const}$ у момент часу $t = t_0$. Найбільше відхилення швидкості ω_I від початкового значення, наприклад ω_b , називають динамічним спадом, а статичну похибку $\Delta \omega_I$ - статичним спадом швидкості. Відношення $\Delta \omega_{dyn} / \Delta \omega_I$ характеризує перерегулювання за швидкістю, а відношення $\Delta M_g / \Delta M_{g, \text{уст}}$ - за моментом.

У регуляторах швидкості іноді замість з ортного зв'язку за швидкістю, здійснюваного за допомогою тахогенератора, використовують зворотний зв'язок за ЕРС. Принципову схему взяла вимірювання проти ЕРС

двигуна зображенено на рис. 4.9.

Давачем протиЕРС у цій схемі є зрівноважений міст ($R_1, R_3 = R_2, R_g$).

В усталеному режимі напруга зворотного зв'язку за ЕРС двигуна

$$U_{3,3,E} = \frac{R_2}{R_1 + R_2} E_A = \\ = \frac{R_2}{R_1 + R_2} \cdot \frac{1}{T_A} \omega.$$

Зворотний зв'язок за ЕРС двигуна забезпечує стабілізацію швидкості системи з меншою точністю, ніж зворотний зв'язок з тахогенератором, бо не враховує впливу перехідного опору щіткового контакту й реакції якоря двигуна. Використовують такий зворотний зв'язок, коли неможливо чи небажано ставити тахогенератор. У підрозд. 5.9 доказано розглянуто системи підпорядкованого регулювання швидкості із зворотним зв'язком за ЕРС.

4.3. Регулятор швидкості із зворотними зв'язками за струмом

Спрощену принципову схему регулятора зображенено на рис. 4.1 /зворотних зв'язків за напругою й швидкістю немає/, а структурну схему - на рис. 4.10. Останній побудовано з урахуванням зображення двигуна послідовним з'єднанням двох динамічних ланок з

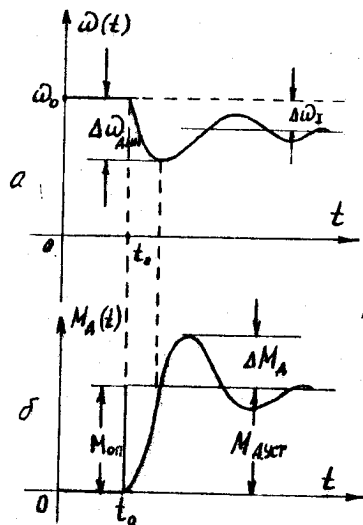


Рис. 4.8. Криві перехідних процесів $\omega = f(t)$
/a/ і $M_A = f(t)$
/b/ регулятора швидкості із зворотним зв'язком за швидкістю у випадку ударного прикладення моменту статичного опору M_{stat}

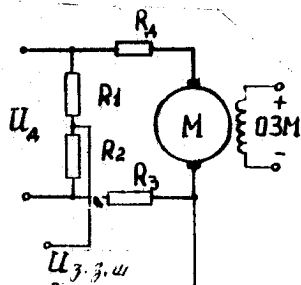


Рис. 4.9. Принципова схема вузла фірмування зворотного зв'язку за ЕРС

передавними функціями:

$$\sigma_{\text{з.з.}}(P) = \Delta I(P) / \Delta U_d(P) = (T_m/R_2) / (T_e T_m P^2 + T_m P + 1),$$

$$\sigma_{\omega_I}(P) = \Delta \omega(P) / \Delta I_d(P) = K_d R_2 / T_m P.$$

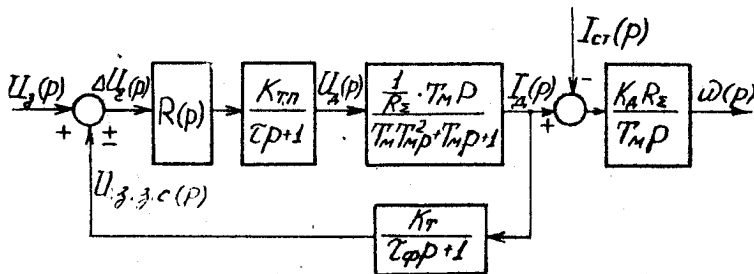


Рис. 4.10. Структурна схема регулятора швидкості з зворотним зв'язком за струмом

Статичні характеристики. Визначимо статичні характеристики $\omega = f(I_{cr})$ із структурної схеми на рис. 4.11. Її одержали із схеми на рис. 4.4, замінивши зворотний зв'язок за швидкістю зворотним зв'язком за струмом. На цій схемі коефіцієнт підсилення кола зворотного зв'язку за струмом позначене через $K_{T,p}$: $K_{T,p} = K_\omega K_T$, де $K_\omega = U_\omega / I_g$ - коефіцієнт підсилення шунта; K_T - коефіцієнт підсилювача напруги.

Ураховуючи, що в усталеному режимі роботи $I_g = I_{cr}$, з рис. 4.11 знаходимо

$$\omega = K_A K_{T,p} K_{T,p} U_d - K_A R_2 I_{cr} \left(1 \pm \frac{K_{T,p} K_{T,p} K_{T,p}}{R_2} \right), \quad 14.25/$$

У дужках 14.25/ знак "-" відповідає додатному зворотному зв'язку за струмом, а знак "+" - від'ємному. Цей вираз можна записати так:

$$\omega = \omega_{oc} - \Delta \omega_{z.c.}, \quad 14.26/$$

де $\omega_{oc} = K_A K_{T,p} K_{T,p} U_d$ - швидкість ідеального сліпого ходу / коли $I_g = I_{cr} = 0/$; $\Delta \omega$ - абсолютна величина швидкості, зумовлена дією

струмового зворотного зв'язку;

$$\Delta \omega_{3,c} = \left(I \pm \frac{K_{k,p} K_{r,p} K_{ctr}}{R_\Sigma} \right) \Delta \omega_p; \quad 14.27/$$

$\Delta \omega_p = I_g R_\Sigma I_g$ - спад швидкості в розімкненій системі ($K_{ctr} = 0$).

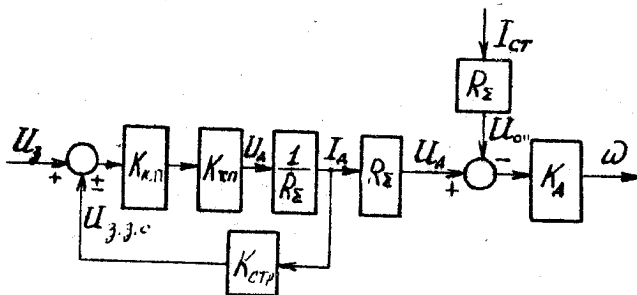


Рис. 4.11. Структурна схема, яка відповідає усталеному режимові роботи регулятора швидкості із зворотним зв'язком за струмом

Зауважимо, що швидкості ідеального сліпого ходу в замкненій системі ω_{03} і розімкненій ω_{0p} системах однакові і, до того ж, якщо $K_{ctr} = 0$, то $\Delta \omega_3 = \Delta \omega_p$.

На рис. 4.12 побудовано залежності кутової швидкості ω від струму навантаження $I_{ctr} = I_g$ д.я додатного /а/ й від'ємного /б/ зворотних зв'язків за струмом за різних коефіцієнтів підсилення K_{ctr} і $U_g = const.$

У випадку додатного зворотного зв'язку привод може працювати в трьох характерних режимах:

недокомпенсації, коли $0 < (K_{k,p} K_{r,p} K_{ctr}) / R_\Sigma < I$; $\Delta \omega_3$ від'ємне, і з підвищенням струму навантаження ω зменшується;

повної компенсації, коли $(K_{k,p} K_{r,p} K_{ctr}) / R_\Sigma = I$; $\Delta \omega_3 = 0$, і ω із зміною струму навантаження лишається сталою;

перекомпенсації, коли $(K_{k,p} K_{r,p} K_{ctr}) / R_\Sigma > I$; з урахуванням знака в 14.25/ $\Delta \omega_3$ додатне, і швидкість ω із зростанням навантаження збільшується.

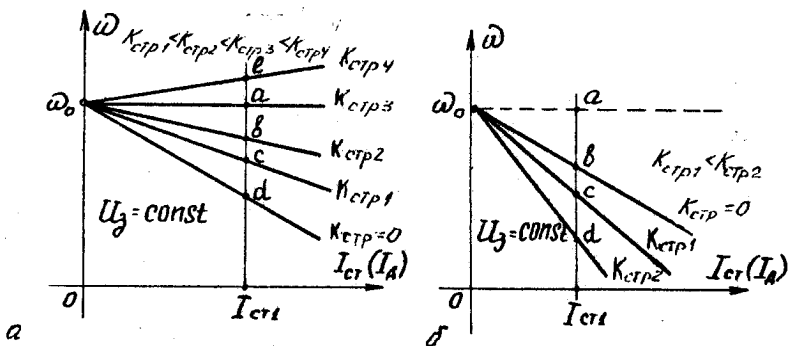


Рис. 4.12. Залежність кутової швидкості регулятора швидкості від навантаження

Зазначені режими можуть виникати внаслідок зміни коефіцієнта підсилення коригувального пристроя K_{CTR} , коли $K_{CTR} = const$.

У режимі повної компенсації, як цоведено далі, система перебуває на межі стійкості, а в перекомпенсації – нестійка. Хоча в режимі недокомпенсації система її стійка, але регулятор швидкості і в цьому режимі самосвійного практичного застосування не дістав; його широко використовують разом з від'ємним зворотним зв'язком за швидкістю.

Статична похибка за збуренням /навантаженням/ у режимі недокомпенсації

$$\Delta \omega_I = \left(1 - \frac{K_{TR} K_{LP} K_{CTR}}{R_E} \right) K_A R_z I_A. \quad 14.28/$$

На рис. 4.12, а величина похибки при $I_{CTR} = I_{CTR1}$ дорівнює відрізкам /у відповідному масштабі/ $\alpha\theta$, коли $K_{CTR} = K_{CTR1}$, а α , коли $K_{CTR} = K_{CTR4}$, і αd , коли $K_{CTR} = 0$ /зворотного зв'язку немає/. Коли $K_{CTR} = K_{CTR3}$, статична похибка дорівнює нулю, а коли $K_{CTR} = K_{CTR2}$, що відповідає режимові перекомпенсації, – відрізку $\alpha\theta$, але її знак супротивний знаку похибки в режимі недокомпенсації.

У випадку від'ємного зворотного зв'язку $\Delta \omega_I$, завжди більше за нуль. Тому з підвищенням K_{CTR} статичні характеристики розташовуються нижче від характеристики, яка відповідає розімкненої системі,

тобто при $K_{\text{стР}} = 0$. Статична похибка в замкненій системі $\Delta \omega_{\text{з.с}}$ при $K_{\text{стР}} > 0$, що її визначає вираз /4.28/, в якому замість знака "-" у дужках треба поставити знак "+", завдяки більші від $\omega_{\text{стР}}$.

На рис. 4.12,б відшукані $\omega_B, \omega_C, \omega_D$ відповідають $\Delta \omega_{\text{з.с}}$, коли $K_{\text{стР}} = 0, K_{\text{стР1}} = K_{\text{стР2}}, K_{\text{стР3}} = K_{\text{стР4}}$ ($K_{\text{стР1}} < K_{\text{стР2}}$):

Від'ємний зворотний зв'язок за струмом звичайно застосовують, поєднуючи з від'ємним зворотним зв'язком за швидкістю. Властивості такого регулятора швидкості розглянемо далі.

Звернімо увагу на те, що швидкості ідеального сліпого ходу в розімкненій і замкненій системах однакові, тобто $\omega_{\text{стР}} = \omega_0 = k_g K_{\text{т.п}} K_{\text{л.п}} U_d$. Це можна пояснити тим, що коли струм навантаження $I_{\text{ст}} = 0$, струмовий зворотний зв'язок /замкнена система/ не працює.

Динамічні характеристики. Розглянемо, як впливають зворотні зв'язки за струмом на якість переходних процесів в регулятора швидкості. Припустимо, що $\varepsilon_\varphi = \varepsilon = 0, I_{\text{ст}} = 0, R(\rho) = k_{\text{к.п}}$.

Передавні функції розімкненого й замкненого регулятора швидкості згідно з рис. 4.10 мають вигляд:

$$W(\rho) = \frac{\omega(\rho)}{\Delta U_e(\rho)} = \frac{K_{\text{к.п}} K_{\text{т.п}} K_A}{T_e T_H \rho^2 + T_H \rho + 1}, \quad /4.29/$$

$$\Phi(\rho) = \frac{\omega(\rho)}{U_d(\rho)} = \frac{K_{\text{к.п}} K_{\text{т.п}} K_A}{T_e T_H \rho^2 + T_H (1 + \frac{K_{\text{к.п}} K_{\text{т.п}} K_{\text{стР}}}{R_s}) \rho + 1}. \quad /4.30/$$

Відносний коефіцієнт демпфування і власна частота коливань розімкненої й замкненої систем:

$$\xi_p = \frac{T_H}{2\sqrt{T_e T_H}}; \quad \Omega_{\text{стР}} = \frac{1}{\sqrt{T_e T_H}}; \quad /4.31/$$

$$\xi_z = \left(1 + \frac{K_{\text{к.п}} K_{\text{т.п}} K_A}{R_s}\right) \frac{T_H}{2\sqrt{T_e T_H}}; \quad \Omega_{\text{стР}} = \frac{1}{\sqrt{T_e T_H}}. \quad /4.32/$$

Порівнюючи вирази /4.31/, /4.32/, знаходимо:

$$\xi_z = \left(1 + \frac{K_{\text{к.п}} K_{\text{т.п}} K_{\text{стР}}}{R_s}\right) \xi_p; \quad /4.33/$$

$$\Omega_{\text{стР}} = \Omega_{\text{стР}}. \quad /4.34/$$

У формулах /4.32/ і /4.33/ знак "-" відповідає додатному, а "+" - від'ємному струмовим зворотним зв'язкам.

У випадку додатного зворотного зв"язку коефіцієнт у характеристичному рівнянні замкненої системи при $\rho = 0$ в режимі недокомпенсації додатний, повної компенсації - нульовий, а перекомпенсації - від'ємний. Згідно з критерієм Гурвіца система стабілізації кутової швидкості в першому випадку стійка, в другому - перебуває на межі стійкості /корені характеристичного рівняння суть уявні, спряжені/ і в третьому - нестійка. У випадку від'ємного струмового зворотного зв"язку система завжди стійка, оскільки всі корені характеристичного рівняння додатні.

Характер перехідних процесів у системі залежить від коефіцієнтів ζ_3 та ϱ_{03} . Оскільки $\varrho_{03} = \varrho_{0p}$, то швидкості загасання перехідних процесів у замкненій і розімкненій системах однакові. Відносний коефіцієнт демпфування ζ_3 для додатного зворотного зв"язку $|k_{str}| > 0$ у режимі недокомпенсації $|\zeta_p| = 1$ менший за одиницю, повної компенсації - дорівнює нулю і перекомпенсації - від'ємний. Отже, в першому випадку коливальність перехідного процесу тим більша порівняно з розімкненою системою, чим більше k_{str} за інших однакових умов; у другому випадку в системі виникають гармонійні незагасальні коливання /перерегулювання $\sigma = 100\%$, а в третьому - перехідний процес розбіжний. У разі від'ємного зворотного зв"язку, коли, як і раніше, припустити, що $\zeta_p = 1$, ζ_3 завжди більше за одиницю; перехідний процес у системі вперіодичний.

4.4. Регулятор швидкості з від'ємним зворотним зв"язком за напругою

Спрощену принципову схему системи зображенено на рис. 4.1 /зворотних зв"язків за швидкістю й струмом немає/. За цією схемою для установленого режиму складено структурну схему системи /рис. 4.13/.

Розглядувана система, як і кожна інша, стабілізує параметр, що з його виходу беруть зворотний зв"язок, тобто в даному разі напругу, підведену до кола обмотки якоря двигуна U_g . Справді, із схеми на рис. 4.13, вважаючи за вихідний сигнал цю напругу, знаходимо

$$U_g = \frac{K_{n,p} K_{n,p}}{1 + K_{n,p} K_n K_{n,p}} U_g - \frac{R_p}{1 + K_{n,p} K_n K_{n,p}} I_g = U_{A0} - \Delta U_{dg}, \quad 14.35$$

де $U_{A0} = K_{n,p} K_{n,p} / (1 + K_{n,p} K_n K_{n,p})$ - напруга на вході двигуна при $I_g = I_{cr} = 0$; $\Delta U_{dg} = R_p I_g / (1 + K_{n,p} K_n K_{n,p}) = \Delta U_{dp} / (1 + K_{n,p} K_n K_{n,p})$ - спад напруги в перетворювачі в замкненій системі при $I_g = I_{cr} > 0$;

$\Delta U_{g,p} = R_p I_g$ - спад напруги в перетворювачі в розімкненій системі /при $K_H = 0/$; R_p - внутрішній опір перетворювача; $\rho U_g K_p = K_H$ - коефіцієнт підсилення кола зворотного зв'язку за напругою; ρ - коефіцієнт поцілу напруги.

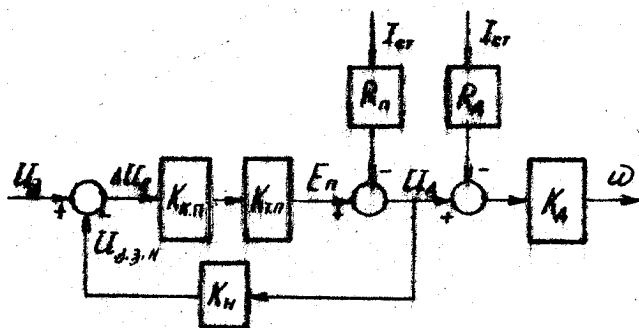


Рис. 4.13. Структурна схема для усталеного режиму регулятора швидкості із зворотним зв'язком за напругою

З виразів для $\Delta U_{g,z}$ і $\Delta U_{g,p}$ бачимо, що спад напруги в замкненій системі за однакових струмів навантаження в $1 + K_{T,p} K_H K_{K,p}$ разів менший, ніж у розімкненій. Отже, замкнена система забезпечує стабілізацію напруги двигуна U_g , компенсуючи спад напруги в силовому колі перетворювача. Величина $\Delta U_{g,z}$ - це статична похибка за навантаженням.

Визначимо тепер статичну характеристику регулятора швидкості із зворотним зв'язком за напругою. Підставимо /4.35/ у $\omega = k_g (U_g I_g R_g)$:

$$\omega = \frac{K_{T,p} K_{K,p} K_A}{1 + K_{K,p} K_{T,p} K_H} U_g - \left[\frac{R_p K_A}{1 + K_{T,p} K_{K,p} K_H} + K_A R_g \right] I_A = \omega_0 - \Delta \omega_g / 4.361$$

де $\omega_0 = [K_{K,p} K_{T,p} K_A / (1 + K_{K,p} K_{T,p} K_H)] U_g$ - швидкість ідеально-го сліпого ходу; $\Delta \omega_g$ - спад швидкості в замкненій системі, зумовлений струмом навантаження ($I_A = I_g$):

$$\Delta \omega_g = \left[\frac{R_p K_A}{1 + K_{T,p} K_{K,p} K_H} + K_A R_g \right] I_A .$$

Отже, як бачимо з виразу для $\Delta\omega_3$, спад швидкості в замкненій системі є зворотним зв'язком за напругою зменшується відносно до спаду швидкості в розімкненій системі $\Delta\omega_p = (R_n + R_g) \cdot K_g I_g / K_H$ /коли $K_H = 0/$ та більшою мірою, що за інших однакових умов більший коефіцієнт зворотного зв'язку за напругою K_H .

Коли коефіцієнт підсилення K_H зростатиме гранично, спад швидкості прямуватиме до спаду швидкості на природній характеристиці двигуна:

$$\lim_{K_H \rightarrow \infty} \Delta\omega_3 = \lim_{K_H \rightarrow \infty} \left[\frac{R_n K_A}{1 + K_{r,n} K_{k,p} K_H} + K_A R_A \right] I_A = \\ = I_A R_A K_A = \Delta\omega_p, \quad 14.37/$$

де $\Delta\omega_p$ - спад швидкості на природній характеристиці двигуна.

На рис. 4.14 зображені статичні характеристики регулятора швидкості є зворотним зв'язком за напругою. Відрізки ab , ac , ad на цьому рисунку при $I_{cr} = I_{cr1}$ відповідно дорівнюють /у певному масштабі/ статичним похибкам регулятора швидкості за навантаженням $\Delta\omega_p$ /коли $K_H = \infty/$, $\Delta\omega_3$ /коли $K_H = K_H$, $/$ і $\Delta\omega_p$ /коли $K_H = 0/$.

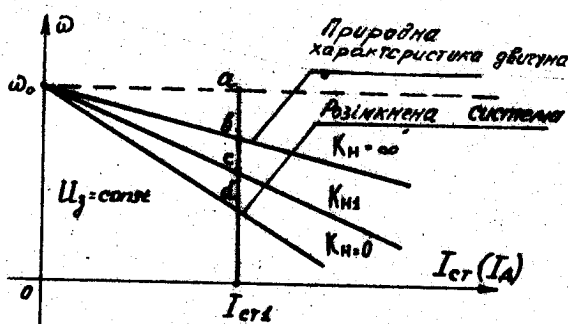


Рис. 4.14. Статичні характеристики регулятора швидкості є зворотним зв'язком за напругою

Характер перехідних процесів у регуляторі швидкості із зворотним зв"язком за напругою повністю залежить від характеру перехідних процесів двигуна, бо зворотний зв"язок впливає тільки на коефіцієнти підсилення $K_{K.P}$ і $K_{T.P}$ охоплених ним елементів.

З викладеного можна зробити висновок: зворотний зв"язок за напругою не можна використовувати для стабілізації кутової швидкості електропривода. Його звичайно застосовують у регуляторах швидкості, поєднуючи з іншими видами зворотних зв"язків.

4.5. Регулятор швидкості з від'ємним зворотним зв"язком за швидкістю й додатним за струмом

Відповідну спрощену принципову схему зображенено на рис. 4.1 /зворотного зв"язку за напругою немає/. Рівняння статичної характеристики $\omega = f(I_{cr})$ при $U_d = \text{const}$ і $R(p) = K_{K.P}$, записане у випадку дії зворотних зв"язків за швидкістю /див. рис. 4.4/ і струмом /див. рис. 4.11/, має вигляд

$$\omega = \frac{K_{K.P} K_H K_{T.P}}{1+K} U_d - \frac{1 - \left(\frac{K_T K_{T.P} \cdot K_{K.P}}{R_2} \right)}{1+K} R_2 K_H I_{cr} = \omega_0 - \Delta \omega_3, \quad 14.38/$$

де $K = K_{K.P} K_{T.P} K_H K_T$ - коефіцієнт підсилення системи;
 $\omega_0 = (K_{K.P} K_{T.P} K_H U_d) / (1+K)$ - швидкість ідеального слідового ходу;
 $\Delta \omega_3$ - спад швидкості в замкненій системі, зумовлений струмом навантаження; $I_{cr} = I_A$;

$$\Delta \omega_3 = \Delta \omega_p \frac{1 - (K_T K_{T.P} K_{K.P}) / R_2}{1+K}, \quad 14.39/$$

$\Delta \omega_p = R_2 K_H I_{cr}$ - спад швидкості в розімкненій системі.

Характеристичне рівняння розглядуваної замкненої системи з від'ємним зворотним зв"язком за швидкістю й додатним за струмом

$$\frac{T_e T_H}{1+K} p^2 + T_H \frac{1 - \frac{K_{K.P} K_{T.P} K_H}{R_2}}{1+K} p + 1 = 0. \quad 14.40/$$

З цього рівняння визначаємо відносний коефіцієнт демпфування ξ_2 і власну частоту коливань ω_{20} :

$$\xi_2 = T_m \frac{[1 - (K_{\text{ст}} K_{k,p} K_{\text{л},p}) / R_2]}{2 \sqrt{T_e T_m / (1 + k)}} ; \quad \omega_{20} = \frac{1}{\sqrt{T_e T_m / (1 + k)}} \cdot 14.41 /$$

Припустивши, що в 1/4.40/ і 1/4.38/ $K_{\text{ст}} = 0$, знайдемо раніше одержані рівняння, які описують процеси в одноконтурній системі з від"ємним зворотним зв"язком за швидкість, а коли $K_{k,p} = 0$ – рівняння одноконтурної системи з додатним зворотним зв"язком за струмом.

З наведених виразів випливає, що, змінюючи параметри K_c , $K_{\text{ст}}$ та $K_{k,p}$, можна дістати бажані якісні показники роботи регулятора швидкості з від"ємним зворотним зв"язком за швидкість й додатним за струмом /у режимі недокомпенсації/ як в усталеному, так і в перехідному режимі. Зокрема, за рахунок глибокого зворотного зв"язку за швидкість /коли велике K_c / можна досягти дуже малих статичних похибок, а належним чином вибраючи коефіцієнти підсилення $K_{\text{ст}}$ і $K_{k,p}$ – бажаної якості перехідного процесу, що його характеризують перерегулювання 6%, час регулювання t_r і час першого узагальнення $t_{n,y}$.

Розглянуту систему звичайно використовують у випадку великих діапазонів регулювання швидкості $\omega = \omega_{\max} / \omega_{\min}$, коли з одним зворотним зв"язком за швидкість з використанням конкретних перетворювачів та давачів швидкості, тобто якщо коефіцієнт підсилення K має обмежене значення, не можна забезпечити потрібної статичної точності на нижній статичній регулювальній характеристиці електропривода.

4.6. Регулятор швидкості з від"ємним зворотним зв"язком за швидкість й струмовим відгином

Під час проектування систем регулювання кутової швидкості дуже важливо обмежити на заданому рівні струму силового кола I_A чи пропорційного йому момента. Сила струму I_g залежить як від напруги, котра надходить на СІФК тиристорного перетворювача і при $R(p) = I$ дорівнює напрузі розузгодження $U_C = U_g - U_{g,0}$, так і від значення моменту статичного опору M_{op} , що його зумовлює робочий механізм. Обмежувати струм I_g надзвичайно важливо для електроприводів механізмів, котрі працюють з різко змінним навантаженням чи на упирання /екскаватори/.

Коли систему розімкнено, що має місце під час її пуску, $U_{d,d} = 0$ і напруга розузгодження U_d може в десятки і сотні разів перевищувати своє номінальне значення /оскільки $U_{d,d}$ під час роботи системи одного порядку з U_d /. Обмежувати напругу U_d важливо не тільки з погляду обмеження струму навантаження, а ще й тому, що в тиристорних електроприводах рівень вислідного сигналу керування має не перевищувати значень, за яких кут регулювання $\alpha < 0$ /для нереверсивних ТП/ або $d_{max} < d < d_{min}$ /для реверсивних ТП/.

Сформульоване завдання розв'язус система стабілізації кутової швидкості із зворотними зв'язками комбінованим за швидкістю й від'ємним за струмом /див. рис. 4.1, зворотний зв'язок за напругою від "єднано/", коли в колі зворотного зв'язку за струмом поставлено спеціальний нелінійний пристрій, який "відтінає" струм. Відтінок струму означає від "єднання" кола зворотного зв'язку за струмом при $I_g < I_{g_jag}$ і приєднання його та стабілізацію струму I_g , коли $I_g > I_{g_jag}$ пе

Ig.zag- задане, наприклад припустиме, значення струму. Найпростішу схему такого нелінійного пристроя зображенено на рис. 4.15,а, Його статичну характеристику - на рис. 4.15,б. Відтину досягнуто завдяки введенням у коло зворотного зв'язку опорної напруги $U_{0,c}$, знятоЯ з потенціометра R_{cp} і діода A /див. рис. 4.15,а/. Напруга на вихіді давача струму $\Delta C U_{fc}$, пропорційна струмові силового кола I_g /вхід ΔC приседнано до щунта, рис. 4.1/, порівнюється з напругою $U_{0,c}$ і різниця між ними $U_{z.z.c} = U_{fc} - U_{0,c}$ надходить на вхід PC_{Σ} .

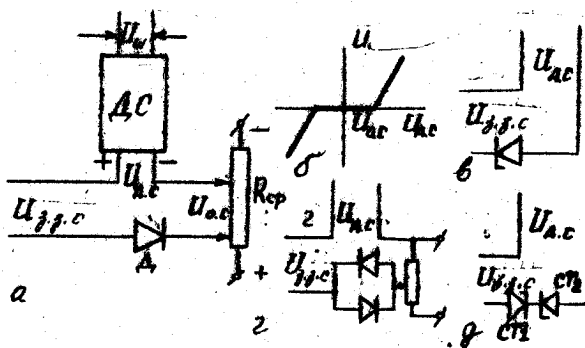


Рис. 4.15. Принципові схеми вузлів відгину струму:
а, в - нереверсивні; г, д - реверсивні;
статична характеристика вузла відгину
струму

Якщо $U_{g.c} > U_{o.c}$, то напруга $U_{3,3.c}$ надходить на вхід ППС₂; коли $U_{g.c} < U_{o.c}$, то коло зворотного зв'язку від'єднано /див. рис. 4.15,б/. Діод D забезпечує проходження струму тільки в одному напрямі. Замість діода можна використати стабілітрон СТ /див.

рис. 4.15,в/, тоді не потрібні додаткові циклеса живлення. Отрум двигуна I_g , при якому $U_{g.c} = U_{o.c}$ і, отже, починає діяти від'ємний зворотний зв'язок за струмом, називають струмом відтину I_{B10T} . Силу цього струму вибирають таку ж саму, як і $I_{g,3ag}$, тобто $I_{B10T} = I_{g,3ag}$. Струм I_{B10T} можна регулювати, змінюючи напругу $U_{o.c}$.

Напругу від'ємного зворотного зв'язку за струмом з відтином визначають так:

$$U_{3,3.c} = (U_{d.c} - U_{o.c}) = K_{cpr} (I_A - I_{B10T}) \Gamma(1),$$

де $\Gamma(1)$ - одинична функція зв'язку за струмом, яка дорівнює нулю, коли

$$I_g < I_{B10T}, \text{ і одиниці, коли } I_g > I_{B10T}.$$

Отже, розглядувана система може перебувати в двох режимах: коли від'ємний зворотний зв'язок за струмом від'єднано ($U_{g.c} < U_{o.c}$, $I_g < I_{B10T}$) і система працює тільки з від'ємним зворотним зв'язком за швидкістю, і коли зворотний зв'язок за струмом під'єднано ($U_{g.c} > U_{o.c}$, $I_g > I_{B10T}$) і система працює в від'ємним зворотним зв'язком як за швидкістю, так і за струмом. Таким чином, статичні й динамічні властивості регулятора швидкості в першому режимі повністю описують ті самі рівняння, які було одержано попереду для регулятора швидкості з від'ємним зворотним зв'язком за швидкістю /див. підрозд. 4.2/. Зокрема, статичні властивості регулятора описують рівняння /4.3/, /4.12/, /4.13/, а динамічні - передавні функції /4.17/, /4.23/ і /4.24/.

Щоб визначити статичні й динамічні властивості регулятора швидкості в другому режимі його роботи, скористаємося результатами, одержаними під час розгляду двоконтурної системи із зворотними зв'язками від'ємним за швидкістю і додатним за струмом /див. підрозд. 4.4/. Тоді, змінивши в чисельнику /4.38/-/4.41/ знак "-" на "+", бо розглядаємо від'ємний зворотний зв'язок за струмом, одержимо:

статичну електромеханічну характеристику

$$\omega_0 = \frac{\frac{K_{k.p} K_{r.p} K_A}{1+k}}{U_g - \frac{1 + \left(\frac{K_{cpr} K_{r.p} K_{k.p}}{R_2} \right)}{1+k}} R_2 k_d I_{cr}; \quad 14.42/$$

статична похибка за зборенням

$$\Delta \omega_3 = \frac{1 + \left(\frac{k_{\text{ст}р} k_{\text{т.п}} k_{\text{к.п}}}{R_x} \right)}{1 + K} R_x k_A I_{\text{ср}} ; \quad 14.43/$$

характеристичне рівняння замкненої системи

$$\left[\frac{T_e T_H}{1+K} \rho^2 + T_H \left[1 + \frac{k_{\text{ст}р} k_{\text{т.п}} k_{\text{к.п}}}{R_x} \right] \rho + 1 = 0 \right], \quad 14.44/$$

відносний коефіцієнт демпфування

$$\xi_3 = T_H \left[1 + \frac{k_{\text{ст}р} k_{\text{т.п}} k_{\text{к.п}}}{R_x} \right] / \sqrt{T_e T_H (1+K)}. \quad 14.45/$$

Із 14.42/-14.45/ випливає, що розглядуваний регулятор у другому режимі роботи - стійкий з аперіодичним характером перехідного процесу і великою статичною похибкою.

На рис. 4.16 зображені статичні механічні характеристики регулятора швидкості із зворотним зв'язком за швидкістю й струмовим відтіном, побудовані за 14.3/ та 14.42/. На цьому рисунку через $I_{g,c,r}$ позначено струм стопоріння, тобто значення струму, який проходить по силовому колі електропривода, коли його швидкість $\omega = 0$. Змінюючи значення коефіцієнтів підсилення k_c і $k_{\text{ст}р}$, можна дістати бажані твердості характеристик у першій і другій зонах.

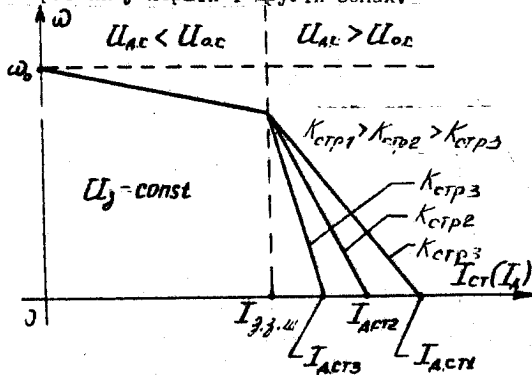


Рис. 4.16. Статичні характеристики регулятора швидкості з від'ємним зворотним зв'язком за швидкістю й струмовим відтіном

У табл. 4.І наведено основні характеристики регуляторів швидкості з різними видами зворотних зв"язків. Аналіз відповідних виразів дає змогу оцінити властивості кожного виду зворотного зв"язку і, крім того, порівняти їх.

Зарах у практиці електропривода розроблено дво- й триконтурні системи в відтинами за струмом, напругою та швидкістю за різних поєднань відтинів одноконтурних регуляторів [18].

Розділ 5. АНАЛОГОВІ СИСТЕМИ ПІДПОРЯДКОВАНОГО РЕГУЛЮВАННЯ ЕЛЕКТРОПРИВОДАМИ З ДЕЙГУНАМИ ПОСТИГНОГО СТРУМУ

5.1. Основні поняття й принципи побудови систем підпорядкованого регулювання електроприводами

Системами підпорядкованого регулювання називають багатоконтурні системи з послідовними коригувальними пристроями й твердими від'ємними зворотними зв"язками в кожному з контурів, оптимальним налагодженням кожного з них і каскадним увімкненням послідовних коригувальних пристроїв /регуляторів/.

Як типовий приклад на рис. 5.І зображено структурну схему системи підпорядкованого регулювання положенням робочого механізму. Система містить три регульованих параметри: струм головного кола тиристорний перетворювач - двигун I_g , швидкість обертання електродвигуна ω і кутове β /чи лінійне ℓ / положення робочого механізму. Відповідно до цих параметрів система має три замкнені контури: регулювання струму, швидкості й положення. У системах підпорядкованого регулювання один з параметрів, який визначає мету регулювання /алгоритм функціонування системи/, називають головним, або регульованою величиною. Решта параметрів - допоміжні, підпорядковані головному. Допоміжні параметри, крім того, підпорядковані й один одному. Розрізняють також основний /головний/ і допоміжні контури регулювання, підпорядковані основному й один одному. Наприклад, у системі на рис. 5.І головним параметром регулювання є кутове положення робочого механізму β , а допоміжними - струм головного кола I_g і швидкість обертання електродвигуна ω . Струм I_g підпорядковано швидкості обертання ω , а вона в свою чергу підпорядкована положенню β робочого механізму. Основний контур регулювання - контур положення, допоміжні /контури місцевого

Таблиця 4.1

Основні характеристики регуляторів швидкості з різними видами зворотників зв."язків

Тип регулято-ра швидкості	Швидкість ідеального слідного ходу		Статична похибка системи		Відносний коефіцієнт темпомірювання розімкненої замкненої системи	Еласна час-тота коливань резонансної і замкненої систем
	розімкненої	замкненої	розімкненої	замкненої		
I	2	3	4	5	6	7
З від'ємним зворотним зв."язком	ω_{op}	ω_{op}	$\Delta \omega_{op}$	$\Delta \omega_{op}$	$\xi_p = T_M / 2 \sqrt{\tau_p T_M}$	$\xi_{op} = 1 / \sqrt{\tau_p T_M}$
127	$\frac{K_4 K_{T,0} K_{T,0}}{K_4 K_{T,0} K_{T,0} + 1} U_3$	$K_4 R_2 I_{CT}$	$\frac{1}{1+\tau}$	$\frac{1}{1+\tau}$	$\xi_p = \frac{1}{1+\tau} \rho$	$\xi_{op} = \sqrt{1/\tau} \rho$
1 з зворотним зв."язком за струмом	$K_4 K_{T,0} K_{T,0} U_3$	$K_4 R_2 I_{CT}$	$[1 \pm \frac{K_{T,0} K_{T,0}}{R_2}] \times \Delta \omega_{op}$	$[1 \pm \frac{K_{T,0} K_{T,0}}{R_2}] \times \Delta \omega_{op}$	$\xi_p = 1 / 2 \sqrt{\tau_p T_M}$	$\xi_{op} = \xi_{op} = 1 / \sqrt{\tau_p T_M}$
5 з від'ємним зворотним зв."язком за напругою	$K_4 K_{T,0} K_{T,0} U_3$	$K_4 R_2 I_{CT}$	$\frac{R_2}{1+R_2} \frac{1}{1+K_{T,0} K_{T,0}} \Delta \omega_{op}$	$\frac{R_2}{1+R_2} \frac{1}{1+K_{T,0} K_{T,0}} \Delta \omega_{op}$	$\xi_p = \xi_{op} = \frac{1}{\sqrt{\tau_p T_M}}$	$\xi_{op} = 1 / \sqrt{\tau_p T_M}$

Задання таtabl. 4.1

I	2	3	4	5	6	7
С ВІД'ЄМНИМ ЗВОРОТНИМ ЗВЯЗКОМ 38 ШІВІКІСТОМ ПОВАГНИМ СТРУМОМ	$\kappa_1 \kappa_{1,0} \kappa_{1,0} \kappa_3$	$\frac{\kappa_2 \kappa_{1,0} \kappa_{1,0} \kappa_3}{1 + \kappa} \kappa_3$	$\kappa_4 R_2 I_{cr}$	$1 - \frac{R_2 K_{1,0}}{R_2}$	$\frac{\kappa_4 = T_m / 2 / T_e T_m}{1 + \kappa}$	$\frac{\sigma_{op} = 1 / T_e T_m}{\sigma_{obj} = 1 / T_e T_m / (1 + \kappa)}$
С ВІД'ЄМНИМ ЗВОРОТНИМ ЗВЯЗКОМ 38 ШІВІКІСТОМ ПОВАГНИМ СТРУМОМ	$\kappa_1 \kappa_{1,0} \kappa_{1,0} \kappa_3$	$\kappa = \kappa_4 \kappa_{1,0} \kappa_{1,0} \kappa_3$	$\kappa_4 R_2 I_{cr}$	$\frac{1 + \kappa}{1 + \kappa}$	$\frac{\kappa_4 = T_m [1 - (K_{1,0} K_{2,0} K_{3,0}) / R_2]}{1 + \kappa}$	$\frac{\sigma_{op} = 1 / T_e T_m / (1 + \kappa)}{\sigma_{obj} = 1 / T_e T_m / (1 + \kappa)}$
С ВІД'ЄМНИМ ЗВОРОТНИМ ЗВЯЗКОМ 38 ШІВІКІСТОМ ПОВАГНИМ СТРУМОМ	$\kappa_1 \kappa_{1,0} \kappa_{1,0} \kappa_3$	$\frac{\kappa_2 \kappa_{1,0} \kappa_{1,0} \kappa_3}{1 + \kappa} \kappa_3$	$\kappa_4 R_2 I_{cr}$	$1 + \frac{R_2 K_{1,0}}{R_2}$	$\frac{\kappa_4 = T_m / 2 / T_e T_m}{1 + \kappa}$	$\frac{\sigma_{op} = 1 / T_e T_m}{\sigma_{obj} = 1 / T_e T_m / (1 + \kappa)}$

зворотного зв'язку / - контури струму й швидкості. Внутрішній контур - контур струму - підпорядковано контурові швидкості. Останній є зовнішнім для контуру струму й внутрішнім для контуру положення, і його підпорядковано контурові положення. Основний контур регулювання - заввишки зовнішній.

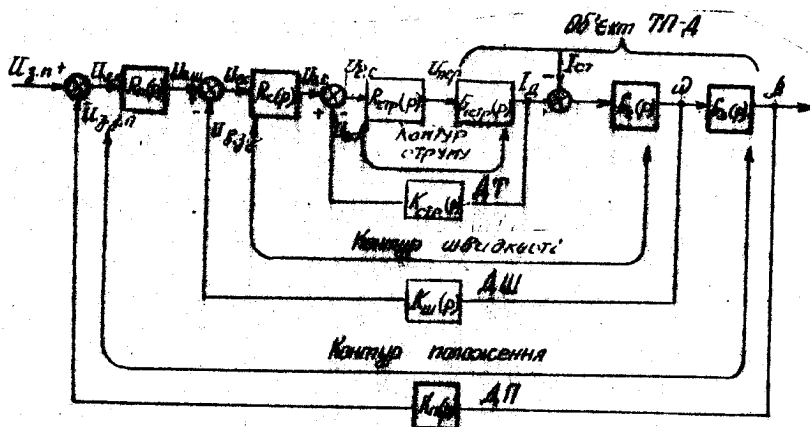


Рис. 5.1. Структурна схема триконтурної системи підпорядкованого регулювання

Будуючи системи підпорядкованого регулювання, об'єкт регулювання системи загалом з передавною функцією $\mathcal{B}(\rho)$ поділяють на низку послідовно з'єднаних динамічних ланок з передавними функціями $\mathcal{B}_i(\rho)$, $i = 1, 2, \dots, n$, кількість яких дорівнює кількості регульованих параметрів чи кількості контурів регулювання n , тобто $\mathcal{B}(\rho) =$

$= \mathcal{B}_1(\rho) \mathcal{B}_2(\rho) \dots \mathcal{B}_n(\rho)$. Скажімо, об'єкт регулювання в розглядуваному прикладі / цив. рис. 5.1/, який складається з двигуна постійного струму з незалежним збудженням і керованого тиристорного перетворювача, поділено на три динамічні ланки з передавними функціями $\mathcal{B}_1(\rho)$, $\mathcal{B}_2(\rho)$, $\mathcal{B}_3(\rho)$, тобто $\mathcal{B}(\rho) = \mathcal{B}_1(\rho) \mathcal{B}_2(\rho) \mathcal{B}_3(\rho)$, де $\mathcal{B}_1(\rho) =$
 $= I_g(\rho)/U_{kep}(\rho)$, $\mathcal{B}_2(\rho) = \omega(\rho)/I_g(\rho)$ і $\mathcal{B}_3(\rho) = \beta(\rho)/\omega(\rho)$ - передавні функції відповідно тиристорного перетворювача разом із системою імпульсно-фазового керування й якірного кола двигуна постійного струму, відповідної частини його двигуна, визначувана механічною інерційністю приводу, і відповідної частини двигуна постійного струму

та редуктора /коли такий є/, визначувана зв"язком між кутовим положенням робочого механізму й швидкістю обертання двигуна.

Кожен з контурів багатоконтурної системи пішпорядкованого регулювання будуть, використовуючи принцип регулювання за відхиленням регульованої величини, і, отже, він містить об'єкт регулювання й регулятор. Як об'єкти регулювання кожен контур містить складовими частинами цикламічні ланки з передавними функціями $\bar{G}_i(\rho)$, а регулятори кожного контуру утворено з вузлів порівняння /суматорів/, послідовних коригувальних пристроїв з передавними функціями $R_i(\rho)$, $i = 1, 2, \dots, n$ і від'ємників твердих зворотних зв"язків за допомогою відповідних давачів зворотних зв"язків з передавними функціями $K_i(\rho)$, $i = 1, 2, \dots, n$. На кожен контур, що являє собою по суті звичайну одноконтурну систему регулювання, надходить вхідна /задавальна/ дія, яку він має бажаним /оптимальним/ способом відпрацювати. Вхідним сигналом першого внутрішнього контуру є вихідний сигнал регулятора вищого контуру. Так само вхідним сигналом другого контуру є вихідна величина третього /вищого відносно нього/ контуру і т.д. Таке увімкнення регуляторів називають каскадним.

Розглянемо докладніше структуру контурів регулювання струму, швидкості й положення.

Контур струму: Вхідна величина цього контуру - напруга задавання на струм $I_{g.c}(t)$, яка надходить з виходу регулятора швидкості, а вихідна /регульований параметр/ - струм головного кола $I_g(t)$.

Об'єктом регулювання в контурі струму є керований тиристорний перетворювач і якірне коло двигуна постійного струму з передавною функцією $G_{str}(\rho)$, де індекс "стр" означає назву контуру.

Звичайно передавна функція $G_{str}(\rho)$ містить одну зперіодичну ланку з "великою" сталовим часу і кілька з малими, тобто сталими часами, суми яких не перевищує "велику". У контурі регулювання струму "великою" сталовим часом є електромагнітна стала часу T_e силового кола якір електродвигуна - тиристорний перетворювач, а до малих належать: стала часу T_f - зумовлена середньостатистичним запізнюванням тиристорного перетворювача, стала часу $T_{g.c}$ - давача струму разом з фільтром на його виході, стала часу T_ϕ системи імпульсно-фазового керування разом з фільтром на її вході. Фільтри є сталими часу $T_{g.c}$ та T_ϕ звичайно виготовляють у вигляді RC -ланцюжків. Ці фільтри призначено: з $T_{g.c}$ - для згладжування пульсацій якірного струму, з T_ϕ - для обмеження швидкості зміни якірного струму. Суму малих сталих часу

$T_f, T_{g.c}$ і T_ϕ позначають через T_{mc} і називають малою некомпенсованою

новою сталою часу конттуру струму. Таким чином, передавна функція $G_r(\rho)$ звичайно містить дві аперіодичні ланки із сталями часу T_e та $T_{g.c.}$:

$$G_r(\rho) = G_r(\rho) = \frac{K_{ob.c}}{(T_e\rho + 1)(T_{g.c.}\rho + 1)}, \quad 15.1/$$

де $K_{ob.c}$ - коефіцієнт підсилення об'єкта регулювання конттуру струму /зауважимо, що стала часу $T_{g.c.}$ як один в доданків містить сталу часу $T_{g.c.}$, яка належить до регулятора конттуру струму, а не до об'єкта регулювання/.

Регулятор конттуру струму складається з елемента порівняння, на виході якого утворюється сигнал $U_{c.c.}(t) = U_{g.c.}(t) - U_{g.g.c.}(t)$, послідовного коригувального пристроя з передавною функцією $R_{ctr}(\rho)$ і твердого від'ємного зворотного зв'язку за допомогою давача струму з передавною функцією $K_{ctr}(\rho)$.

Суть оптимізації конттуру струму полягає у виборі /синтезі/ структури й параметрів передавної функції $R_{ctr}(\rho)$ для одержання бажаних динамічних властивостей оптимізованого конттуру. Розглянемо це питання докладніше.

Передавні функції розімкненого й замкненого конттурів струму з одниничним зворотним зв'язком за струмом, тобто коли $K_{ctr}(\rho) = 1$:

$$W_r(\rho) = \frac{I_d(\rho)}{U_{g.c.}(\rho)} = R_{ctr}(\rho) G_{ctr}(\rho), \quad 15.2/$$

$$\Phi_{ctr}(\rho) = \frac{I_d(\rho)}{U_{g.c.}(\rho)} = \frac{W_{ctr}(\rho)}{1 + W_{ctr}(\rho)} = \frac{R_{ctr}(\rho) G_{ctr}(\rho)}{1 + R_{ctr}(\rho) G_{ctr}(\rho)}. \quad 15.3/$$

Звичайно структура передавної функції $R_{ctr}(\rho)$, одержувана внаслідок синтезу /див. підрозд. 5.5/, має вигляд

$$R_{ctr}(\rho) = \frac{U_{ctr}(\rho)}{U_{g.c.}(\rho)} = \frac{1 + \bar{\epsilon}_r \rho}{\bar{\epsilon}_r}, \quad 15.4/$$

де $\bar{\epsilon}_r$ і $\bar{\epsilon}_x$ - відповідно сталі часу інтегрування регулятора.

Передавну функцію /5.4/ можна реалізувати за допомогою типового пропорційно-інтегрального регулятора /ПІ-регулятора, див. підрозд. 3.3, рис. 3.18, а/, числові значення параметрів якого для оптимального налаштження вибирають так, щоб

$$\bar{\epsilon}_r = T_e, \quad 15.5/$$

компенсуючи цим "велику" сталу часу конттуру струму, а коефіцієнт кіль

силення регулятора становив

$$K_{2e} = \frac{1}{\varepsilon_0} = \frac{1}{2T_{mc} K_{ob.c}} \quad /5.6/$$

Тоді передавна функція замкненого оптимізованого контуру струму /5.3/ з урахуванням /5.1/, /5.4/-/5.6/ набере вигляду

$$\Phi_{crp}(\rho) = \frac{1}{2T_{mc}^2 \rho^2 + 2T_{mc} \rho + 1} \quad /5.7/$$

Передавна функція /5.7/ відповідає модульному критерію оптимізації, що його широко використовують для оптимізації контурів систем підпорядкованого регулювання електроприводами.

Основні властивості контурів регулювання, оптимізовані згідно з модульним критерієм, буде розглянуто далі. А тут цей критерій ми одержали без строгих доведень, щоб конкретизувати викладену основну ідею оптимізації.

Контур швидкості. Вхідна величина цього контуру - напруга застосування на швидкість $G_{g.w}(t)$, а вихідна /регульований параметр/ - швидкість обертання вала двигуна $\omega(t)$.

Об'єктами регулювання в контурі швидкості є відповідна частини двигуна постійного струму з передавною функцією $G_2(\rho)$ і оптимізований замкнений контур струму з передавною функцією $\Phi_{crp}(\rho)$. Отже, передавна функція об'єкта регулювання для контуру швидкості матиме вигляд

$$G_w(\rho) = \frac{\omega(\rho)}{G_{g.w}(\rho)} = \Phi_{crp}(\rho) G_2(\rho). \quad /5.8/$$

Звичайно передавна функція /5.8/ містить послідовне з'єднання ідеальної інтегрувальної і кількох аперіодичних ланок з малими сталими часу. До них належать ланка із сталовою часу $2T_{mc}$, яку можна дістати з /5.7/, зnehтувавши членом $2T_{mc}^2$ через його мализну [відповідно до [10] для реальних систем $T_{mc} = (0,5 - 1) \cdot 10^{-3}$ с], і ланка із сталовою часу $T_{g.w}$, зумовленою наявністю RC-фільтра на виході давача швидкості. Суму малих сталих часу $2T_{mc}$ і $T_{g.w}$ позначають через T_{mc} і називають малою /порівняно з "великою"сталою часу, якою в контурі швидкості є електромеханічна стала часу T_N / некомпенсованоюсталовою часу контуру швидкості. Таким чином,

$$\sigma_w(\rho) = \frac{K_{\text{об.ш}}}{T_p \rho (1 + T_{\mu\text{ш}} \rho)}, \quad /5.9/$$

де $K_{\text{об.ш}}$ - коефіцієнт підсилення об"єкта в контурі швидкості.

Регулятор контуру швидкості складається з вузла порівняння, на виході якого утворюється сигнал розузгодження $\psi_{ew}(t) = \psi_{g.w}(t) - \psi_{z.g.w}(t)$, послідовного коригувального пристроя в передаваною функцією $R_w(\rho)$ і від'ємного твердого зворотного зв'язку за допомогою давача швидкості з передаваною функцією $K_w(\rho)$.

Оптимізація контуру швидкості полягає в такому виборі /синтезі/ структури й параметрів передаваної функції регулятора $R_w(\rho)$, щоб дістати бажані динамічні властивості оптимізованого контуру. Практично реалізувати цю основну ідею оптимізації можна двома способами.

У першому випадку, коли бажані динамічні властивості оптимізованого контуру можна одержати за допомогою реалізації передаваної функції виду /5.7/, яка відповідає модульному критерію оптимізації, внаслідок синтезу /див. підрозд. 5.6/ структура передаваної функції $R_w(\rho)$ являє собою підсилювальну ланку /типовий пропорційний регулятор, чи П-регулятор/, коефіцієнт підсилення якої треба вибирати так:

$$K_r = \frac{T_M}{2T_{\mu\text{ш}} K_{\text{об.ш}}} \quad /5.10/$$

Справді, у випадку однічного зворотного зв'язку за швидкістю, тобто коли $K_w(\rho) = 1$, передавна функція замкненого оптимізованого контуру швидкості

$$\phi_w(\rho) = \frac{\omega(\rho)}{\psi_{g.w}(\rho)} = \frac{R_w(\rho) \sigma_w(\rho)}{1 + R_w(\rho) \sigma_w(\rho)} \quad /5.11/$$

Ураховуючи /5.9/ та /5.10/, одержуємо

$$\phi_w(\rho) = \frac{1}{2T_{\mu\text{ш}}^2 \rho^2 + 2T_{\mu\text{ш}} \rho + 1},$$

звідки випливає, що контур, оптимізований згідно з модульним критерієм за керувальному лісю, є астатичний з астатизмом першого порядку /бо чисельник і вільний член знаменника передавних функцій дорівнюють один одному/. Нід час оптимізації контуру швидкості часто постає потрібна дістати контур з астатизмом другого порядку. У цьому разі внаслідок синтезу одержують структуру, яка відповідає ПІ-регуляторові, тобто

$$R_w(\rho) = \frac{1 + \tilde{\epsilon}_R \rho}{\tilde{\epsilon}_o \rho} = K_R \frac{1 + \tilde{\epsilon}_R \rho}{\tilde{\epsilon}_R \rho},$$

де $K_R = \tilde{\epsilon}_R / \tilde{\epsilon}_o$.

Числові значення параметрів $\tilde{\epsilon}_R$ і K_R вибирають так:

$$\tilde{\epsilon}_R = 4T_{\mu w}, \quad 15.12/$$

а K_R , як і раніше, визначають з 15.10/. Тоді

$$\Phi_w(\rho) = \frac{1 + 4T_{\mu w}\rho}{8T_{\mu w}^3\rho^3 + 8T_{\mu w}^2\rho^2 + 4T_{\mu w}\rho + 1} \quad 15.13/$$

Передавна функція 15.13/ відповідає симетричному критерію оптимізації. Динамічні властивості контурів регулювання, оптимізованих згідно з 15.13/, розглянуто далі. А тут зауважимо, що спосіб оптимізації, який ґрунтуються на використанні симетричного критерію, дас змогу лістяти за керувальною цією контур з астатизмом другого порядку, бо в передавній функції $\Phi_w(\rho)$ вільний член і коефіцієнт біля ρ чисельника дорівнюють вільному членові й коефіцієнту біля ρ знаменника, а це еквівалентно наявності в передавній функції розімкненого контуру $W_w(\rho)$ двох ідеальних інтегрувальних ланок.

Контур положення. Вхідна величина цього контуру - напруга задавання на положення $U_{\beta,n}(t)$, а вихідна - кутове /чи лінійне/ положення робочого механізму $\beta(t)$.

Передавна функція об'єкта регулювання контуру положення

$$G_n(\rho) = \frac{\beta(\rho)}{U_{\beta,n}(\rho)} = \Phi_w(\rho) G_3(\rho). \quad 15.14/$$

Пристрої з передавними функціями $R_n(\rho)$ і $K_n(\rho)$ разом із суматором сигналів $U_{\beta,n}$ та $U_{\beta,z,n}$ утворюють регулятор положення /див. рис. 5.1/.

Передавні функції розімкненого й замкненого контурів положення, або, що те саме, систем регулювання положенням робочого механізму, коли $K_n(\rho) = 1$, мають вигляд:

$$W_n(\rho) = \frac{\beta(\rho)}{U_{\beta,n}(\rho)} = R_n(\rho) G_n(\rho) = R_n(\rho) \Phi_w(\rho) G_3(\rho), \quad 15.15/$$

$$\Phi_n(\rho) = \frac{\beta(\rho)}{U_{\beta,n}(\rho)} = \frac{R_n(\rho) \Phi_w(\rho) G_3(\rho)}{1 + R_n(\rho) \Phi_w(\rho) G_3(\rho)}. \quad 15.16/$$

Динамічні властивості контуру положення оптимізують, вибираючи відповідні структуру І параметри передавної функції $R_7(\rho)$.

Під час побудови системи підпорядкованого регулювання постас важливе питання - як вибрати кількість її контурів регулювання. З викладеного попереду випливає, що їх кількість дорівнює кількості регульованих параметрів, які утворюються внаслідок поділу об"єкта регулювання на низку динамічних ланок. Отже, кількість контурів регулювання системи залежить насамперед від типу об"єкта регулювання. Звичайно останній розчленовують так, щоб вихідні величини динамічних ланок були такими фізичними величинами, які, по-перше, визначали б якість роботи системи загалом і які, по-друге, можна було б досить просто виміряти за допомогою наявних датчиків, утворюючи відповідні контури регулювання. окрім того, бажано, щоб кожна динамічна ланка містила, як правило, одну "велику" сталу часу, компенсовану відповідним вибором структури І параметрів регулятора. Приміром, коли об"єкт регулювання складається з тиристорного перетворювача і двигуна постійного струму з незалежним збудженням /об"єкти типу ТІ-Д/, то регульовними параметрами звичайно є струм головного кола двигуна $I_g(t)$ і швидкість обертання двигуна $\omega(t)$. Коли замість тиристорного перетворювача використано генератор постійного струму /об"єкти типу Г-Б/ з живленням кола збудження генератора, наприклад, від вентильного перетворювача, то в цьому разі як регульовні параметри доцільно вибрати напругу генератора постійного струму $U_r(t)$, струм головного кола двигуна $I_g(t)$ і швидкість обертання двигуна $\omega(t)$. Відповідно кількість контурів регулювання для об"єкта першого типу порівняватиме двом, а другого - трьом. Іноді об"єкт регулювання може містити параметр, який характеризує певний технологічний процес /наприклад, натягу штаби на дільниці кліть-металка багатовалкового прокатного стана/. У таких системах створюють окремий контур регулювання відповідного технологічного параметра /наприклад, контур натягу штаби вальцовованого металу/.

Спосіб керування реверсивним тиристорним перетворювачем таож випливає на кількість контурів регулювання системи. Зокрема, у випадку спільногого неузгодженого керування вентильними групами регулювальна характеристика реверсивного перетворювача має, як відомо, зону нечутливості. Ця зона справляє негативний вплив на динамічні властивості контуру регулювання струму. Тому, щоб його зменшити І поліпшити статичні та динамічні характеристики системи підпорядкованого регулювання з об"єктом ТІ-Д, перетворювач охоплюють від'ємним зворотним зв'яз-

ком зе напругою, утворюючи, таким чином, ще один додатковий контур регулювання - контур напруги, який підпорядковано контурові струму.

Кількість контурів регулювання залежить також від призначення системи підпорядкованого регулювання. Коли систему з об'єктом ТП-Д призначено для роботи як регулятора швидкості, то в разі однозонного регулювання швидкості способом зміни напруги, прикладеної до кола обмотки якоря, звичайно передбачають або два контури регулювання /контури струму і швидкості/, або, коли вимоги до якості процесів регулювання високі й керування перетворювачем здійснюють без зрівняльних струмів /наприклад, спільне неузгоджене керування/, три контури - напруги, струму й швидкості. Коли система працює як регулятор положення, то в цьому разі, окрім контурів напруги, струму й швидкості, є ще контур регулювання положення.

Системи підпорядкованого регулювання поєднують у собі переваги систем з послідовними коригувальними пристроями /простота технічної реалізації, зручні методи синтезу й налагодження тощо/ з можливістю обмеження регульованих координат /параметрів/, зумовленою каскадним увімкненням регуляторів.

Розглянемо питання обмеження регульованих координат на прикладі регулятора швидкості з об'єктом ТП-Д і двома контурами регулювання: струму й швидкості /див. рис. 5.1/. Нехай треба обмежити силу струму якоря двигуна на рівні $I_{g, \text{обм}} = 2I_{g, \text{н}}$. Для обмеження струму силового кола /виходна величина контуру струму/ на заданому рівні посіть обмежити вихідну величину регулятора швидкості, або, що те саме, вхідну величину замкненого контуру струму $U_{g,c}$. Технічно реалізують цю умову, тим чи тим способом формуючи нелінійну статичну характеристику регулятора швидкості /рис. 5.2/. Нехай $K_{\text{стр}}(\rho) = K_{\text{стр}}$, де $K_{\text{стр}}$ - коефіцієнт підсилення кола зворотного зв'язку за струмом. Оптимізуємо контур струму за модульним критерієм і перетворимо структурну схему цього контуру /див.

рис. 5.1/ в схему з одиничним зворотним зв'язком /рис. 5.3/. Тоді, наприклад, якщо $I_{g, \text{н}} = 50 \text{ A}$, $I_{g, \text{обм}} = 100 \text{ A}$. Оскільки контур астатичний за керувальним дієм $I_{g, \beta}$, то, отже, в усталеному режимі $I_{g, \text{обм}} = I_{g, \beta} = 100 \text{ A}$. Нехай $K_{\text{стр}} = 0,05 \text{ В/А}$. Тоді, щоб $I_{g, \text{обм}} \leq 100 \text{ A}$, треба обмежити $U_{g,c}$ на рівні $U_{g,c} = I_{g, \text{обм}} / K_{\text{стр}} = 20 \text{ В}$. Отже, коли $U_{g,c, \text{обм}} \leq 20 \text{ В}$, усталене значен-

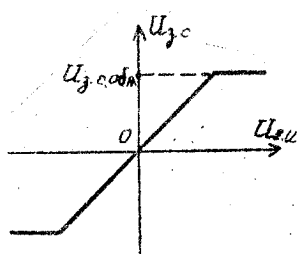


Рис. 5.2. Статична характеристика регулятора швидкості

ня струму силового кола $I_g \leq 100$ А. Спосіб формування статичної характеристики з обмеженням див. рис. 5.2/ за допомогою стабілітронів викладено в розд. 5.

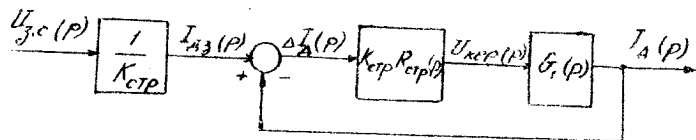


Рис. 5.3. Перетворена структурна схема контуру струму з однічним зворотним зв'язком

Так само можна обмежити й інші координати системи підпорядкованого регульовання, наприклад β , ω .

З викладеного випливає, що статика й динаміка даної регульованої координати залежать як від властивостей відповідного контуру, так і від вхідної величини, сформованої попереднім контуром. Інакше кажучи, процеси у внутрішніх контурах підпорядковано властивостям зовнішніх. Тому розглянуту структуру побудови системи керування узагалі не називати системою з підпорядкованим регульованням.

Структура побудови /каскадне увімкнення регуляторів/ систем підпорядкованого регульовання в принципі забезпечує можливість налагоджувати кожен внутрішній контур незалежно від налаштуння зовнішніх контурів, що не тільки обмежує координати, є й забезпечує інші переваги таких систем. Тому вони здобули широке практичне застосування.

Треба зауважити, що створювати й упроваджувати системи підпорядкованого регульовання зробилося можливим лише після того, як було розроблено практично безінерційні тиристорні перетворювачі з малою потужністю керування і високоякісних аналогових підсилювачів постійного струму, за допомогою яких цу же просто з високим ступенем точності реалізувати складні передавні функції $R_i(P)$ регуляторів, необхідні для послідовної корекції контурів регульовання.

3.2. Критерії оптимальності

5.2.1. Основні теоретичні положення

Для оптимізації окремих контурів системи підпорядкованого регулювання зараз переважно застосовують два критерії – модульний і симетричний, доведення яких ґрунтуються на використанні частотного критерію оптимальності. Суть цього критерію полягає в тому, що якість процесів регулювання в оптимізованому контурі з одниничним зворотним зв'язком і керувальною дією типу однічного стрибка буде оптимальна, коли амплітудно-частотна характеристика замкненого контуру $\Phi(\omega)$ /або, що те саме, модуль його передавної функції/ на досить широкій ділянці частот ω , починаючи з нульової, дорівнює одиниці. Наближення до ідеального фільтра нижніх частот /рис. 5.4/, коли

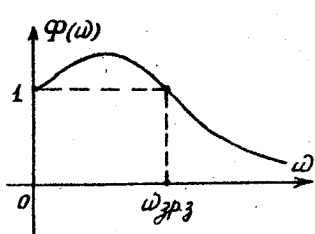


Рис. 5.4. Амплітудно-частотна характеристика замкненого контуру

$$\Phi(\omega) = \left| \Phi(p) = \frac{Y(p)}{Z(p)} \right|_{p=j\omega} =$$

$$= \begin{cases} 1 & 0 \leq \omega \leq \omega_{zр.з} \\ 0 & \omega > \omega_{zр.з} \end{cases}, \quad /5.17/$$

можна зробити, якщо виконується така умова:

$$\lim_{\omega \rightarrow 0} \frac{d^k}{d\omega^k} |\Phi(j\omega)| = 0, \quad /5.18/$$

де $k = 0, 1, 2, \dots$

У [42] формулу /5.18/ називають критерієм пристосування модуля передавної функції замкненого контуру до одиниці.

Нехай передавна функція замкненої системи має вид

$$\Phi(p) = \frac{Y(p)}{Z(p)} = \frac{\beta_0 + \sum_{n=1}^m \beta_n p^{-n}}{\alpha_0 + \sum_{n=1}^m \alpha_n p^n}. \quad /5.19/$$

Тоді, застосувавши критерій /5.18/ до виразу /5.19/, дістанемо такі співвідношення для коефіцієнтів поліномів чисельника Й знаменника [45]:

$$(\beta_1^2 - 2\beta_0\beta_2)\alpha_0^2 = \beta_0^2(\alpha_1^2 - 2\alpha_0\alpha_2);$$

$$(\beta_2^2 - 2\beta_1\beta_3 + 2\beta_0\beta_4)\alpha_0^2 = \beta_0^2(\alpha_2^2 - 2\alpha_1\alpha_3 + 2\alpha_0\alpha_4);$$

$$(\beta_3^2 - 2\beta_2\beta_4 + 2\beta_1\beta_5 - 2\beta_0\beta_6)\alpha_0^2 = \beta_0^2(\alpha_3^2 - 2\alpha_2\alpha_4 + 2\alpha_1\alpha_5 - 2\alpha_0\alpha_6);$$

$$(\beta_2^2 + 2 \sum_{e=1}^2 (-1)^e \beta_{2-e}\beta_{2+e})\alpha_0^2 = \beta_0^2(\alpha_2^2 + \sum_{e=1}^2 (-1)^e \alpha_{2-e}\alpha_{2+e}).$$

} 15.20/

Якщо ця система має 2 вільно призначуваних коефіцієнтів, то 2 рівняння можна задовільнити, і передавна функція /5.19/ за таких умов є оптимальна. Досягнений завдяки цьому оптимум називають оптимумом за модулем. Модульний оптимум уперше використав для оптимізації контурів систем підпорядкованого регулювання Кеслер і назвав *Betragsoptimum* [42].

5.2.2. Модульний критерій оптимізації

Застосуємо критерій /5.18/ і систему рівнянь /5.20/ до оптимізованого контуру /рис. 5.5/. Припустимо, що передавні функції об'єкта регулювання Й регулятора мають вигляд

$$G(p) = K_{ob} \prod_{k=1}^n (1 + \varepsilon_{ob,k} p) (1 + T_{up,k} p), \quad 15.21/$$

де $\varepsilon_{ob,k}$ - велика стала часу об'єкта регулювання; $T_{up,k}$ - мала некомпенсована стала часу ($\varepsilon_{ob,k} \gg T_{up,k}$);

$$R(p) = \prod_{i=1}^m (1 + \varepsilon_{ri,i} p) / \varepsilon_r p. \quad 15.22/$$

Отже, передавна функція заміненої системи за керувальним дією

$$\begin{aligned} \Phi(p) &= \frac{y(p)}{x(p)} \Bigg|_{F(p)=0} = \\ &= \frac{K_{ob} \prod_{k=1}^n (1 + \varepsilon_{ob,k} p)}{\varepsilon_r p \prod_{i=1}^m (1 + \varepsilon_{ri,i} p) (1 + T_{up,i} p) + K_{ob} \prod_{k=1}^n (1 + \varepsilon_{ob,k} p)} \quad 15.23/ \end{aligned}$$

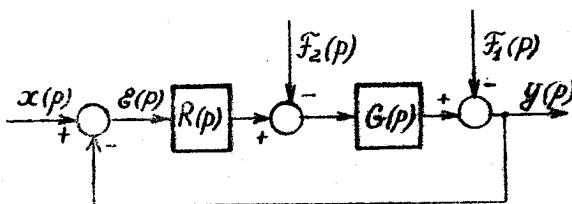


Рис. 5.5. Структурна схема оптимізованого контуру

Аналіз рівнянь /5.20/ стосовно до передавної функції /5.20/, виконаний у [42; 43], дає змогу сформулювати модульний критерій оптимізації так:

по-перше, кількість "великих" сталіх часу в поліномі числельника передавної функції регулятора має дорівнювати кількості великих сталіх часу передавної функції об'єкта регулювання, до того ж ці сталі повинні парами дорівнювати один з абсолютною величиною:

$$\varepsilon_{R_i} = \varepsilon_{G_K} \quad /5.24/ \\ (i = k);$$

по-друге, сталу часу інтегрування ε_0 потрібно вибирати з умови

$$\varepsilon_0 = 2T_{ju} \kappa_{05}. \quad /5.25/$$

Доведемо слідчість виразу /5.21/. Скоротивши відповідні поліноми в чисельнику та знаменнику з великими сталими часу в передавній функції $W(p) = R(p)G(p)$, дістанемо такий вираз передавної функції замкненої системи:

$$\Phi(p) = \frac{R(p)G(p)}{1+R(p)G(p)} = \frac{\kappa_{05}}{\varepsilon_0 p (1+T_{ju} p) + \kappa_{05}} = \\ = \frac{\varepsilon_0}{\alpha_0 + \alpha_1 p + \alpha_2 p^2} = \frac{\varepsilon_0 / \alpha_0}{1 + \frac{\alpha_1}{\alpha_0} p + \frac{\alpha_2}{\alpha_0} p^2}, \quad /5.26/$$

де $\varepsilon_0 = \alpha_0 = \kappa_{05}$; $\alpha_1 = \varepsilon_0$; $\alpha_2 = \varepsilon_0 T_{ju}$.

Застосуємо до /5.26/ умову оптимальності, визначувану першим рівнянням системи /5.20/:

$$(\beta_1^2 - 2\beta_0\beta_2)\alpha_0^2 = \beta_0^2(\alpha_1 - 2\alpha_0\alpha_2), \quad /5.27/$$

Із /5.27/ одержуємо з урахуванням того, що в /5.26/ $\theta_1 = 0$, $\theta_2 = 0$:

$$\left. \begin{aligned} \alpha_0 &= \theta_0, \\ \alpha_1^2 &= 2\alpha_0\theta_2 \end{aligned} \right\} \quad 15.28/$$

Підставивши в друге рівняння значення α_1 , α_2 , θ_0 , подані через параметри об"єкта Й регулятора, цістанемо вираз /5.25/.

Сформульований критерій слушний також і в тому випадку, коли об"єкт регулювання являє собою коливну ланку з двома великими статими часами $\tilde{\tau}_{\theta_1}$ та $\tilde{\tau}_{\theta_2}$ і аперіодичну ланку з малою некомпенсованою стадою часу $\tilde{\tau}_m$, тобто

$$G(p) = \frac{K_{ob}}{(1 + \tilde{\tau}_{\theta_1}p + \tilde{\tau}_{\theta_2}\tilde{\tau}_{\theta_2}p^2)(1 + \tilde{\tau}_m p)} \quad 15.29/$$

У цьому випадку для компенсації $\tilde{\tau}_{\theta_1}$ і $\tilde{\tau}_{\theta_2}$ треба застосувати пропорційно-інтегрально-диференціальний /ПІД/ регулятор з передавною функцією

$$R(p) = \frac{1 + 2d\tilde{\tau}_p + \tilde{\varepsilon}^2 p^2}{\tilde{\tau}_o p} \quad 15.30/$$

Порівнявши коефіцієнти біля p поліномів у чисельнику та знаменнику, згідно з /5.29/ і /5.30/ визначимо коефіцієнти $\tilde{\varepsilon}^2$ і $2d$ полінома ПІД-регулятора:

$$\tilde{\varepsilon}^2 = \tilde{\tau}_{\theta_1} \tilde{\tau}_{\theta_2}; \quad 2d = \tilde{\tau}_{\theta_1} / \sqrt{\tilde{\tau}_{\theta_1} \tilde{\tau}_{\theta_2}} \quad (d < 1),$$

а сталу інтегрування $\tilde{\tau}_o$ ПІД-регулятора, як і раніше, визначатиме вираз /5.25/, тобто $\tilde{\tau}_o = 2\tilde{\tau}_m K_{ob}$.

Модульний критерій оптимізації застосовувати не можна, якщо об"єкт регулювання містить ідеальну інтегрувальну ланку. В цьому разі потрібно користуватися наладженням контуру на симетричний оптимум.

Отже, для структур об"єкта регулювання Й регуляторів, що їх визначають вирази відповідно /5.21/, /5.29/ і /5.22/, /5.30/, передавні функції розмікненого Й замкненого оптимізованих контурів матимуть такий вигляд:

$$W(p) = R(p)\theta(p) = \frac{1}{2\tilde{\tau}_m p (1 + \tilde{\tau}_m p)} \quad 15.31/$$

$$\varphi(p) = \frac{R(p)\theta(p)}{1 + R(p)\theta(p)} = \frac{1}{2\tilde{\tau}_m^2 p^2 + 2\tilde{\tau}_m p + 1} \quad 15.32/$$

Визначимо тепер запаси стійкості за амплітудою $A_{\text{зап}}$ та фазою $\varphi_{\text{зап}}$, якість перехідного процесу $\sigma\%$, t_p , $t_{p.c}$, а також точність для детермінованих і випадкових дій контуру, оптимізованого відповідно до модульного критерію.

Щоб знайти $A_{\text{зап}}$ і $\varphi_{\text{зап}}$, скористаймося логарифмічними амплітудно-частотною й фазочастотною характеристикими розімкненого контуру:

$$L(\omega) = 20 \lg W(\omega) = 20 \lg K_0 - 20 \lg \omega - 20 \lg \sqrt{1 + T_{\mu}^2 \omega^2}, \quad 15.33/$$

$$\varphi(\omega) = -90^\circ - \arctg T_{\mu} \omega, \quad 15.34/$$

де $K_0 = 1/2T_{\mu}$ - коефіцієнт підсилення за швидкістю розімкненого контуру.

За 15.33/, 15.34/ на рис. 5.6 побудовано $L(\omega)$ і $\varphi(\omega)$. З рисунка бачимо, що $A_{\text{зап}} = \infty$, а $\varphi_{\text{зап}} = 180^\circ - |\varphi(\omega_{\text{зр}})| = 180^\circ - 90^\circ - \arctg \omega_{\text{зр}} T_{\mu} = 180^\circ - 90^\circ - \arctg 2 \approx 63^\circ$, де $\omega_{\text{зр}} = K_0 / 2T_{\mu}$ - частота зрізу розімкненої системи [ЦІ не треба змішувати з частотою зрізу замкненої системи $\omega_{\text{зр.з}}$, зображену на рис. 5.4; звичайно $\omega_{\text{зр}} = (0,5 - 0,7) \omega_{\text{зр.з}}$]. На цьому рисунку, а також цілі цифрами 0, +1, +2, ..., -1, -2, ... позначені нахили ЛАЧХ, які дорівнюють відповідно 0 дБ/дек, +20 дБ/дек, +40 дБ/дек, ..., -20 дБ/дек, -40 дБ/дек і т.д.

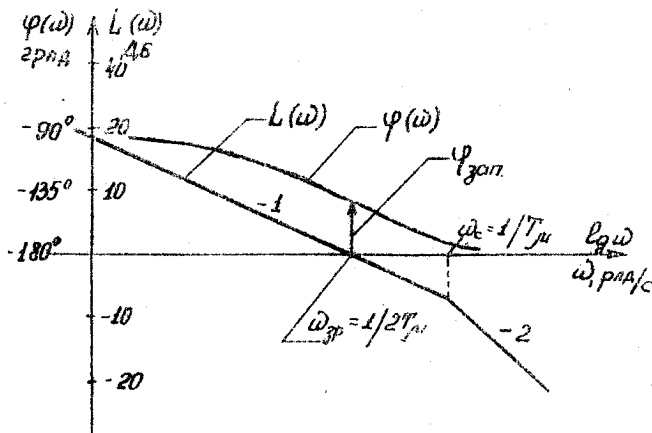


Рис. 5.6. Логарифмічні амплітудно- і фазочастотна характеристики контура, оптимізованого за модульним критерієм

Розв'язавши диференціальне рівняння

$$2T_m^2 \frac{d^2y(t)}{dt^2} + 2T_m \frac{dy(t)}{dt} + y(t) = x(t)$$

для випадку, коли на систему діє одиничний вхідний сигнал $x(t)$ [коли $x(t) = 1(t)$, $y(t) = h(t)$], дістанемо

$$h\left(\frac{t}{T_m}\right) = 1 - e^{-\frac{t}{2T_m}} \left(\cos \frac{t}{2T_m} + \sin \frac{t}{2T_m} \right). \quad 15.35/$$

З перехідної функції $h(t/T_m)$, побудованої за виразом 15.35/ і зображененої на рис. 5.7, визначаємо: $\sigma = 4,3\%$, $t_{p.c} = 4,7 T_m$; $t_p = 8,4 T_m$ [у випадку $\pm 2\%$ -го відхилення $h(t/T_m)$ від

усталеного режиму].

З виразів для передавних функцій 15.31/, 15.32/ бачимо, що оптимізований контур за керувальною цією є астатичний з астатизмом першого порядку. Отже, статична похибка $E_{st} = 0$, кінетична похибка $E_k = A/k_v = A2T_m$, де A - швидкість зміни лінійно наростального вхідного сигналу.

Як відомо, дисперсія випадкової похибки, спричинена завадою типу білого шуму, прикладеного до входу контуру,

$$\sigma^2 = S_{fo} T,$$

де S_{fo} - спектральна щільність завади / S_{fo} для білого шуму в діапазоні частот від $\omega = -\infty$ до $\omega = +\infty$ стала/, а T - інтегральна

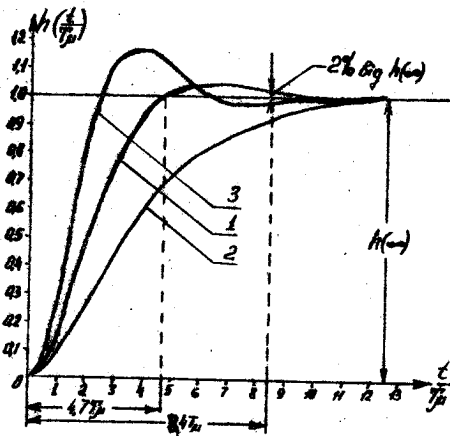


Рис. 5.7. Нормовані перехідні функції контуру, оптимізованого за модульним критерієм: 1 - коли $K_v = 1/2 T_m$ /модульний оптимум/; 2 - коли $K_v = 1/4 T_m$ /лінійний оптимум/; 3 - коли $K_v = 1/7 T_m$

квадратична оцінка. Бона, як відомо [17], становить

$$\mathcal{I} = \frac{1}{2\pi j} \int_{-j\infty}^{j\infty} \phi(\rho) \phi(-\rho) d\rho = \frac{1}{2\pi j} \int_{-j\infty}^{j\infty} \frac{\phi(\rho) \phi(-\rho)}{d(\rho) d(-\rho)} d\rho,$$

де передавна функція досліджуваної системи /контуру/

$$\phi(\rho) = \frac{C(\rho)}{d(\rho)} = \frac{c_0 + c_1 \rho + \dots + c_{n-1} \rho^{n-1}}{d_0 + d_1 \rho + \dots + d_n \rho^n}.$$

Інтеграл для \mathcal{I} табулювано й зображене у вигляді явної функції від коефіцієнтів /параметрів/ системи c_i та d_j для різних значень n від 1 до 10. Для контуру з передавною функцією /5.32/ $n = 2$, а тому

$$\mathcal{I}_2 = \frac{c_1^2 d_0 + c_0^2 d_2}{2 d_0 d_1 d_2} = \frac{1}{4T_\mu}.$$

Отже, середньоквадратична похибка

$$E_{\text{ср}} = \pm \sqrt{\mathcal{I}} = \frac{1}{2} \sqrt{\frac{S_{10}}{T_\mu}}.$$

Треба звернути увагу, що E_λ та $E_{\text{ср}}$ залежать від T_μ , до того ж що більше T_μ , то менше $E_{\text{ср}}$, і навпаки.

Розглянемо тепер, як на якісні показники контуру впливають збурювальні дії F_1 та F_2 /див. рис. 5.5/. Зauważимо, що збурення F_1 , яке діє на виходи контуру і надходить на вход замкненого контуру без запізнювання, відповідає моменту статичного опору $M_{\text{ст}}$ в системі підпорядкованого регулювання з об'єктом ТП-Д /див. рис. 5.1/.

Передавна функція за збуренням F_1

$$\phi_{F_1}(\rho) = \frac{Y(\rho)}{Z_1(\rho)} \left| \begin{array}{l} Z_1(\rho) = 0 \\ Z_2(\rho) = 0 \end{array} \right. = \frac{2T_{\mu}c\rho(1+T_{\mu}c\rho)}{1+2T_{\mu}c\rho+2T_{\mu}^2c^2\rho^2}. \quad 15.36/$$

Збурення F_1 система може поганувати тоді, коли амплітудно-частотна характеристика $\Phi_{F_1}(\omega)$ для максимально широкого діапазону частот дорівнюватиме нулю. Асимптотична ЛАЧХ $\mathcal{A}(\omega) = 20 \log \Phi_{F_1}(\omega)$, яка відповідає передавній функції /5.36/, складається з трьох відрізків прямих ліній: низькочастотного з нахилом $+1/+20 \text{ dB/дек}$, зумовленого диференціюальною ленкою; з нахилом -1 від частоти $\omega = 1/\sqrt{T_\mu}$.

/частота спряження коливної ланки/ до частоти $\omega = 1/T_{\mu c}$, зумовленого частотою спряження форсувальної ланки, і паралельного осі частот, розташованого в діапазоні частот від $\omega = 1/T_{\mu c}$ до $\omega = \infty$. Уся характеристика лежить під віссю нуль децибелів. Отже, заваду F_2 контур пригамовує повністю. Фазова характеристика $\Psi(\omega) = 90^\circ$, коли $\omega = 0$, і $\Psi(\omega) = 0^\circ$, коли $\omega = \infty$. Отже, збурення F_2 сприяє поділенню стійкості контуру.

Передавна функція за збуренням F_2

$$\Phi_{F_2}(\rho) = \frac{\Psi(\rho)}{F_2(\rho)} \quad \left| \begin{array}{l} F_2(\rho) = 0 \\ x(\rho) = 0 \end{array} \right. = \frac{2T_{\mu c}\rho(1+T_{\mu c}\rho)}{1+2T_{\mu c}\rho+2T_{\mu c}^2\rho^2} \quad /5.37/$$

Щоб оцінити вплив збурення F_2 на властивості контуру, оптимізованого як за модульним, так і за симетричним оптимумом /розглянуто далі/, виберемо як передавну функцію $G(\rho)$ механічну частину двигуна, тобто $G(\rho) = k_g R_z / T_H(\rho)$. Тоді $\Phi_{F_2}(\rho)$ перетвориться на передавну функцію коливної ланки:

$$\Phi_{F_2}(\rho) = \frac{2T_{\mu c} k_g R_z / T_H}{1+2T_{\mu c}\rho+2T_{\mu c}^2\rho^2} \quad /5.38/$$

Перехідну функцію контуру, оптимізованого за модульним критерієм за збурювальною дією F_2 у безрозмірних координатах, зображенено на рис. 5.8 /крива I/. Контур у цьому разі є статична система; заваду F_2 він ефективно пригамовує тільки в високочастотному діапазоні, де напхил ЛАЧХ після частоти $\omega_0 = 1/T_{\mu c}\sqrt{2}$ становить -40 дБ/дек.

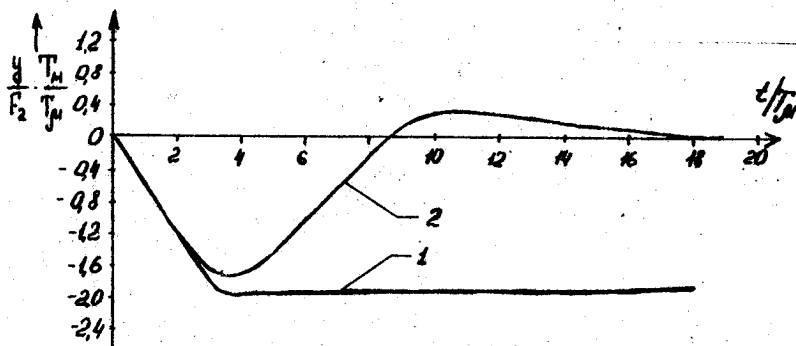


Рис. 5.8. Нормовані переходні функції за збурювальною дією F_2 : 1 – модульний оптимум; 2 – симетричний оптимум

Наладження оптимізованих контурів згідно з передавною функцією /5.32/ вважають, як уже зазначалося попереду, оптимальним. У більшості практичних випадків воно задовільняє технічні вимоги, що їх ставлять до якості процесу регульовання контуру. Завдяки цьому, а також простоті реалізації налаштування за модульним оптимумом зараз є найпоширенішим способом оптимізації контурів регульовання. Але на практиці виникають ситуації, коли треба знижувати чи підвищувати підсилення контуру порівняно з оптимальним: $k_V = 1/2 T_M$. Це можна пояснити тим, що з погляду якості переходного процесу оптимізований контур в інших випадках не повинен мати перерегульовання, яке зникає, зменшуючи підсилення контуру, а в інших повинен мати більшу швидкодію, которую підвищують, збільшуючи коефіцієнт підсилення контуру.

Якщо $k_V = 1/4 T_M$, критерій оптимальності називають лінійним. Для лінійного критерію $A_{\text{зап}} = \infty$, $\varphi_{\text{зап}} \approx 76^\circ$; $G = 0$; $t_p \approx 12,3 T_M$.

Якщо $k_V = 1/T_M$, $A_{\text{зап}} = \infty$; $\varphi_{\text{зап}} \approx 33^\circ$; $G = 16,3k$; $t_{\eta, Y} = 2,42 T_M$; $t_p = 7,1 T_M$.

Перехідні функції при $k_V = 1/4 T_M$ /крива 2/ і $k_V = 1/T_M$ /крива 3/ зображені на рис. 5.7.

5.2.3. Симетричний критерій оптимізації

Суть симетричного критерію оптимізації розглянемо стосовно до структурної схеми, зображені на рис. 5.9. На цій схемі динамічний блок з передавною функцією $W(p)$ являє собою задавач інтенсивності у вигляді інтегратора з передавною функцією

$$W(p) = \frac{1}{\varepsilon_0 p}$$

чи аперіодичної ланки з передавною функцією

$$W(p) = \frac{1}{1 + T_W p}, \quad 15.39/$$

а збуренням F_2 для об'єкта типу ТД є момент статичного опору на валі двигуна.

Надалі припустимо, що передавна функція об'єкта регульовання містить лише одну велику сталу часу T_M і що в поліномі чисельника передавної функції регулятора /5.22/ є тільки одна велика стала часу ε_p , тобто

$$G(p) = \frac{K_{05}}{T_M p (1 + T_{mu} p)}, \quad /5.40/$$

$$R(p) = \frac{1 + \bar{\varepsilon}_R p}{\varepsilon_0 p}. \quad /5.41/$$

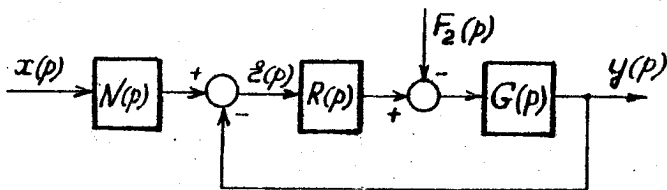


Рис. 5.9. Структурна схема оптимізованого контуру з згальмувальним пристроєм $N(p)$ на вході

Урахувавши /5.39/-/5.41/, дістанемо таку передавну функцію оптимізованого контуру за керувальною цією:

$$\phi(p) = \frac{Y(p)}{X(p)} \Big|_{\tilde{\varepsilon}(p)=0} = \frac{W(p) R(p) G(p)}{1 + R(p) G(p)} =$$

$$= \frac{K_{05} (1 + \bar{\varepsilon}_R p)}{(1 + T_w p) [\varepsilon_0 p T_M p (1 + T_{mu} p)] + K_{05} (1 + \bar{\varepsilon}_R p)} \quad /5.42/$$

Звичайно $(1 + \bar{\varepsilon}_R p) / (1 + T_w p) = 1$ або, для значного діапазону частот, $\bar{\varepsilon}_R / T_w$. Тоді

$$\phi(p) = \frac{\bar{\varepsilon}_R}{T_w} = \frac{1}{p^2 \frac{T_M}{K_{05}} \varepsilon_0 (1 + T_{mu} p) + (1 + \bar{\varepsilon}_R p)} \quad /5.43/$$

Оптимізуючи контур з передавною функцією /5.43/ за модульним критерієм, внаслідок порівняння коефіцієнтів виразу /5.43/ з коефіцієнтами перших двох рівнянь /5.20/, цістаемо такі правила налаштження:

$$\bar{\varepsilon}_R = 4 T_{mu}; \quad \varepsilon_0 / K_{05} = 2 T_{mu} \frac{\bar{\varepsilon}_R}{T_M} = \frac{8 T_{mu}^2}{T_M}. \quad /5.44/$$

Якщо передавна функція об'єкта керування /5.40/ містить ще одну аперіодичну ланку з великою сталовою часу T_r , то чисельник передавної функції регулятора /5.41/ має містити дві форсувальні ланки з великими сталими часу \tilde{T}_{R1} і \tilde{T}_{R2} . Правила наладження контуру на модульний оптимум:

$$\tilde{T}_{R1} = \tilde{T}_{R2} = 8T_{ju}; \quad \varepsilon_0/K_{05} = 2T_{ju} \tilde{T}_{R1} \tilde{T}_{R2} / (T_r T_m). \quad 15.45/$$

Розглядуваний критерій справджується й тоді, коли передавна функція $G(p)$ містить не тільки аперіодичну ланку з малою некомпенсованою сталовою часу T_{ju} , а й коливну ланку з двома великими сталими часу, наприклад двигун постійного струму із сталими часу T_m і T_e :

Для двоконтурних систем підпорядкованого регулювання з об'єктами типу III-Д передавну функцію об'єкта $G(p)$ визначає вираз /5.40/. Тому розглянемо цей випадок докладніше.

Передавні функції розімкненого й замкненого оптимізованого за симетричним критерієм контуру за керувальною дією з урахуванням параметрів наладження /5.44/ і за умови $N(p) = I$:

$$W(p) = \frac{Y(p)}{E(p)} \left| \begin{array}{l} F_2(p) = 0 \\ \end{array} \right. = R(p) G(p) =$$

$$= \frac{1+4T_{ju}p}{8T_{ju}^2 p^2 (1+T_{ju}p)} = \frac{k_a}{p^2} \cdot \frac{(1+4T_{ju}p)}{(1+T_{ju}p)}, \quad 15.46/$$

де $k_a = 1/8T_{ju}^2$ - коефіцієнт підсилення контуру за прискоренням, c^{-2} ;

$$\phi(p) = \frac{Y(p)}{Z(p)} \left| \begin{array}{l} F_2(p) = 0 \\ \end{array} \right. = \frac{R(p) G(p)}{1 + R(p) G(p)} =$$

$$= \frac{1+4T_{ju}p}{1+4T_{ju}p+8T_{ju}^2 p^2+8T_{ju}^3 p^3}. \quad 15.47/$$

Розглянемо динамічні властивості контуру регулювання з передавними функціями /5.46/, /5.47/, оптимізованими за симетричним критерієм. Розпочнемо з визначення запасів стійкості. ЛАЧХ розімкненого контуру

$$L(\omega) = 20 \lg k_a - 20 \lg \omega^2 + 20 \lg 1/(1+15T_{ju}^2 \omega^2) + 20 \lg \sqrt{1+T_{ju}^2 \omega^2} \quad 15.48/$$

і фазочастотну характеристику

$$\varphi(\omega) = -\pi + \arctg(4T_{ju}\omega) - \arctg T_{ju}(\omega) \quad 15.49/$$

зображені на рис. 5.10. Характеристики $L(\omega)$ і $\varphi(\omega)$ симетричні відносно частоти зору $\omega_{zp} = 1/2T_{ju}$ /частоти спряження $\omega_{cr} = \frac{1}{2T_{ju}}$
і $\omega_{cs} = \frac{1}{T_{ju}}$ удвічі менші й удвічі більші за частоту зору ω_{zp} /.

Завдяки цій властивості такий спосіб налаштуння контурів дістав назву симетричного оптимуму (*Symmetrisches Optimum*) [43].

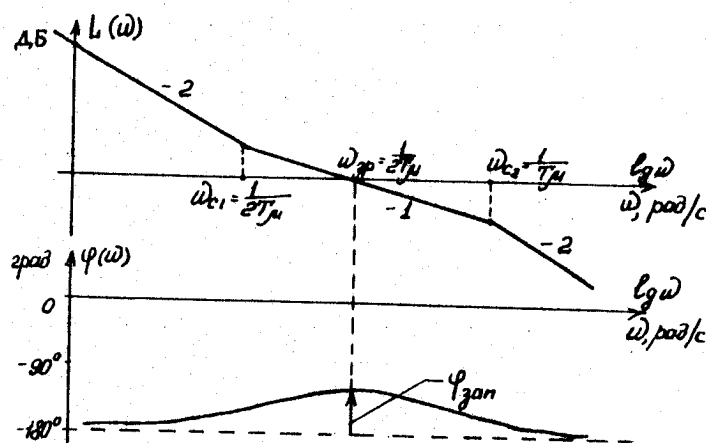


Рис. 5.10. Логарифмічні амплітудно-частотна
і фазочастотна характеристики
контуру, оптимізованого за
симетричним критерієм

Запаси стійкості за амплітудою $A_{зап} = \infty$; за фазою

$$\begin{aligned} \varphi_{зап} &= 180^\circ - \varphi(\omega_{zp}) = 180^\circ - 180^\circ + \arctg(4T_{ju}\omega_{zp}) - \\ &- \arctg T_{ju}\omega_{zp} = \arctg 2 - \arctg 0.5 \approx 37^\circ. \end{aligned}$$

Нормована перехідна функція наладженого на симетричний оптимум контуру

$$h(t/T_{\mu}) = 1 + e^{-\frac{t}{2T_{\mu}}} - 2e^{-\frac{t}{4T_{\mu}}} \cos \frac{\sqrt{3}}{4T_{\mu}} t. \quad /5.50/$$

З графіка перехідної функції $h(t/T_{\mu})$, зображеного на рис. 5.II /крива I/, визначаємо: $\delta = 43,4\%$; $t_{n,g} = 31T_{\mu}$; $t_p = 16,5T_{\mu}$.

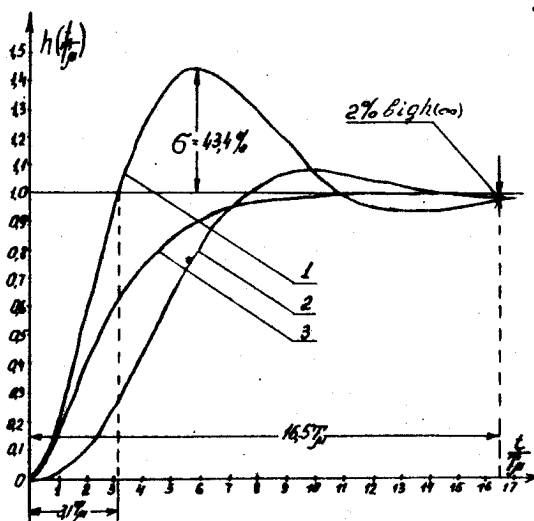


Рис. 5.II. Нормовані перехідні функції контуру, оптимізованого за симетричним критерієм, які відповідають передавним функціям: /5.47/ - крива I; /5.52/ - крива 2; /5.54/ - крива 3

Із структурної схеми /див. рис. 5.9/ і передавних функцій /5.46/, /5.47/ випливає, що контур, оптимізований за симетричним критерієм, є астатичним з астатизмом другого порядку за збуренням $F_2(t)$, оскільки між входом і точкою прикладення $F_2(t)$ є тільки одна ідеальна інтегрувальна ланка. Отже, статична ξ_{cr} і кінетична ξ_x похибки за керу-

вальною дією єорівнюють нулеві; є тільки похибки за вищими похідними керувальної дії, починаючи з похибки за прискоренням, величина якої прямо пропорційна прискоренню, що з ним змінюється керувальна дія, і обернено пропорційна коефіцієнтам підсилення контуру за прискоренням K_2 .

Методика розрахунку випадкової похибки така ж сама, як і у випадку наладження контуру на модульний оптимум. Але тут порядок системи $N = 3$. Тому інтегральна квадратична оцінка

$$\frac{J}{d} = \frac{C_2 d_0 \alpha_1 + (C_1^2 - 2C_0 C_3) d_0 \alpha_3 + C_0^2 \alpha_2 \alpha_3}{2d_0 \alpha_3 (-\alpha_0 \alpha_3 + \alpha_1 \alpha_2)} = \frac{1}{2T_\mu}$$

Оскільки J_d в 2 рази більше, ніж J_2 , то, отже, дисперсія й середньоквадратична похибка контуру, наладженого за симетричним критерієм за однакових S_{f0} , в 2 рази більша, ніж контуру, наладженого за модульним критерієм. Пояснити це можна тим, що амплітудно-частотна характеристика контуру в першому випадку має значно більший викид; тому за однакових частот зразу $\omega_{\text{зр}} = 1/2T_\mu$ "ефективна" смуга пропускання контуру із симетричним критерієм значно /в 2 рази/ ширша, ніж контуру з модульним критерієм.

Передавна функція контуру за збуренням F_2 /див. рис. 5.9/

$$\begin{aligned} F_2(\rho) &= \left. \frac{Y(\rho)}{F_2(\rho)} \right|_{x(\rho)=0} = N(\rho) \frac{1}{1+R(\rho)G(\rho)} = \\ &= \frac{8T_\mu^2 \rho^2 (1+T_\mu \rho)}{1+4T_\mu \rho + 8T_\mu^2 \rho^2 + 8T_\mu^3 \rho^3} \quad /5.5I/ \end{aligned}$$

Нормовану перехідну функцію за збуренням F_2 , яка відповідає виразу /5.5I/ при $N(\rho) = 1$, зображену на рис. 5.8 /крива 2/. Порівнявши криві I /модульний критерій/ і 2, бачимо, що збурення F_2 у випадку симетричного наладження контуру повністю пригамовується; контур у цьому разі є астатичним з астатизмом першого порядку. Такий самий висновок випливає з ДАЧХ, яка відповідає /5.5I/. Справді, в діапазоні низьких частот ДАЧХ визначає диференціальна ланка другого порядку: $L(\omega) = 20 \log 8T_\mu^2 \omega^2$; від частоти $\omega = 0$ до $\omega = T_\mu \sqrt{8}$, де $L(\omega)$ перетинає вісь нуль децибелів, ДАЧХ нахил становить +40 дБ/дек, і тому збурення F_2 контур пригамовує. Отже, порівняно з наладженням на оптимум за модулем наладження на симетричний оптимум ефективніше щодо відрізання збурювальних дій F_2 , особливо їхніх низькочастотних

складових. Тому симетричний критерій застосовують для налаштуння зовнішніх контурів регулювання, наприклад систем автоматичної стабілізації швидкості, характерним режимом яких є частий накид і скід навантаження.

Порівняльну характеристику модульного й симетричного оптимумів наведено в табл. 5.1.

Таблиця 5.1

Якісні показники модульного
Й симетричного оптимумів

№/п	Показник	Критерій	
		модульний	симетричний
1	Запас зе амплітудою $A_{\text{зап}}$	∞	∞
2	Запас зе фазою $\varphi_{\text{зап}}$, град	63	37
3	Перерегулювання, %	4,35	43,4
4	Час першого узгодження	4,7	3,1
5	Час регулювання [при 2%-му відхиленні $h(t)$ від $h(\infty)$] t_0	8,4	16,0
6	Порядок астатизму u /див. рис. 5.5 і 5.9/:		
	за керувальною дією x	I	2
	за збурювальною дією F_2	0	I
7	Дисперсія, зумовлена "білим" шумом	$S_{f_0} \frac{1}{4T_N}$	$S_{f_0} \frac{1}{2T_N}$

У випадку, коли вхідний сигнал надходить на вхід замкненого контуру без запізнювання /див. рис. 5.9, $N(p) = 1/$, симетричний критерій має ту ваду, що спричиняє занадто велике перерегулювання. Це по в'язано з тим, що в передавній функції /5.47/ є форсувальна ланка $(1+4T_N)$. У цьому зв'язку з цим розроблено кілька способів, що знижують перерегулювання за прийнятних для практики інших показників якості процесу регулювання. Розглянемо деякі з цих способів.

Перший спосіб - згланяють вхідний сигнал згідно з [42] за допомогою пасивного RC -фільтра з передавною функцією $N(p) = 1/(1+4T_N)$, увімкненого на вході замкненого оптимізованого контуру. В цьому разі передавна функція контуру разом з фільтром

$$\Phi(p) = \frac{1}{1+4T_N p + 8T_N^2 p^2 + 8T_N^3 p^3} \quad 15.52/$$

I>2

Передавній функції /3.52/ відповідає перехідна функція

$$h(t/T_{\mu}) = 1 - e^{-\frac{t}{T_{\mu}}} - \frac{2}{\sqrt{3}} e^{-\frac{t}{2T_{\mu}}} \sin \frac{\sqrt{3}}{4T_{\mu}} t. \quad 15.53/$$

Якісні показники перехідного процесу, що їх визначає перехідна функція /3.53/, такі /див. рис. 5.II, крива 2/: перерегулювання $\tilde{\sigma} = 51\%$, час першого узгоління $t_{\mu,y} = 7,6 T_{\mu}$, час регулювання $t_p = 15,3 T_{\mu}$. Запаси стійкості: $A_{\text{зап}} \sim 9$ пр; $\varphi_{\text{зап}} \sim 60^\circ$. Таким чином, зменшення перерегулювання контуру до величини $\tilde{\sigma} = 8,1\%$ досягнуто тут завдяки істотному зниженню як швидкості системи, так і запасу стійкості за амплітудою.

У [42] запропоновано другий спосіб зменшення перерегулювання, який полягає у паралельному з'єднанні вперіодичних згальмувальних ланок, увімкнених на вході оптимізованого за симетричним критерієм контуру, а також наведено схему його технічної реалізації. Доведено, що коли відповідним чином вибрати параметри схеми, то загальна передавна функція оптимізованого контуру матиме вигляд

$$\Phi(\rho) = \frac{1}{1 + 3T_{\mu\rho} + 2T_{\mu\rho}^2}. \quad 15.54/$$

З перехідної функції /рис. 5.II, крива 3/

$$h(t/T_{\mu}) = 1 + e^{-\frac{t}{T_{\mu}}} - 2e^{-\frac{t}{2T_{\mu}}}, \quad 15.55/$$

яка відповідає /3.54/, бачимо, що $\tilde{\sigma} = 0$, а $t_p = 9,2 T_{\mu}$.

3.3. Типові аналогові регулятори

Системи керування електроприводами будують на типових елементах уніфікованої блокової системи регуляторів УБСР-АІ аналогової дії в інтегральному виконанні, яка містить: джерела живлення, задавачі вхідних сигналів, давачі для вимірювання регульованих параметрів, підсилювачі, регулятори, потенціональні подільники, пристрої захисту й комутації, технологічної логіки тощо. Сукупність усіх цих елементів утворює функціонально повний набір, який дає змогу будувати системи керування будь-якої структури. Звичайно елементи УБСР-АІ виготовляють у вигляді двобічних друкованих плат з широким застосуванням напівпровідниковых та гібридних мікросхем із штепсельним рознімачем.

Номенклатуру й основні технічні дані аналогових елементів АБСР-АІ наведено в [23; 25].

Основний елемент аналогової серії АБСР-АІ - підсилювач постійного струму ПІС /операційний підсилювач ОП/. Радянську серію АБСР-АІ побудовано на основі ОП типів К55ЗУД2 і К140УД7. Ці ПІС мають коефіцієнт підсилення $1/2 \dots 3 \cdot 10^4$, напругу живлення ± 15 В, вихідну напругу ± 10 В для опору навантаження не менш як $2 \text{ k}\Omega$, вхідний опір $400 \text{ k}\Omega$, смугу пропускання в режимі з одиничним зворотним зв'язком до $0,8 \text{ мГц}$.

Схему ОП з інвертувальним входом зображенено на рис. 5.12. Для ідеального ОП, що має нескінченно великий коефіцієнт підсилення за

напругою k_u , нескінченно великий вхідний γ_e і нескінченно малий вихідний γ_o опори, передавна функція

$$R(p) = -\frac{U_{\text{вых}}(p)}{U_{\text{вх}}(p)} = \frac{\alpha_{3,3}(p)}{\alpha_{\text{вх}}(p)} / 5.56$$

Знак "-" відбиває інвертувальну дію підсилювача /коли $U_{\text{вх}} > 0$, $U_{\text{вых}} < 0$, необхідну для здійснення від'ємного зворотного зв'язку в схемах ОП.

Рис. 5.12. Принципова схема ОП з інвертувальним входом

У реальних ОП із скінченими значеннями k_u , γ_e , γ_o передавна функція /5.56/ має складніший вигляд [42]. Залежно від характеру вхідного комплексного опору $\alpha_{\text{вх}}(p)$ і комплексного опору зворотного зв'язку $\alpha_{3,3}(p)$ підсилювач являє собою пристрій /регулятор/ з різними динамічними властивостями. Розглянемо основні типи регуляторів.

Пропорційний регулятор /П-регулятор/

Коли $\alpha_{\text{вх}}(p) = R_{\text{вх}}$ і $\alpha_{3,3} = R_{3,3}$ /рис. 5.12/, передавна функція регулятора має вигляд

$$R(p) = \frac{\alpha_{3,3}(p)}{\alpha_{\text{вх}}(p)} = \frac{R_{3,3}}{R_{\text{вх}}} = k_p, \quad /5.57/$$

тобто в відношеннім двох активних опорів і, отже, безрозмірна величина. В цьому разі відбувається пропорційне підсилення з коефіцієнтом підсилення k_p . Реальна передавна функція П-регулятора

$$R(p) = \frac{1}{\frac{\Delta}{1+\Delta} \frac{1}{T_p p + 1}}, \quad /5.58/$$

де Δ - коефіцієнт похибки; T_p - стала часу фільтра на виході підсилювача.

Величини Δ і T_p залежать від реальних значень x_u , z_e , z_o і активного опору навантаження Z_h [42]:

$$\Delta = \frac{1}{x_u} \frac{z_o + Z_h}{Z_h} \left(\frac{R_{33}}{R_{Bx}} + \frac{R_{33}}{z_e} + 1 \right); \quad T_p = \frac{z_o z_h}{z_o + z_h} C_F.$$

ПР належить до регуляторів з дуже великою швидкодією. На стрибкуватий вхідний сигнал він реагує стрибкуватим вихідним сигналом, який відрізняється від вхідного в K_p разів.

Якщо вважати, що в момент подавання вхідної напруги вихідна напруга підсилювача дорівнює нульові, то лише за умови

$$|U_{Bx}| \leq \left| \frac{U_{Bx \max}}{K_p} \right|$$

П-регулятор працюватиме в керованій зоні. Коли ж вхідна напруга перевищує значення, що його визначає вираз для $|U_{Bx}|$, то вихідна напруга все не може повторювати вхідну. Регулятор у цьому випадку перебуває в режимі насищення.

Інтегральний регулятор / I-регулятор/

Якщо в коло зворотного зв'язку /рис. 5.12/ увімкнуті конденсатор з ємністю $C_{3,3}$, а у вхідне - активний опір R_{Bx} , то в цьому разі $Z_{Bx}(p) = R_{Bx}$; $Z_{3,3}(p) = 1/C_{3,3}p$ і передавна функція регулятора

$$R(p) = \frac{Z_{3,3}(p)}{Z_{Bx}(p)} = \frac{1}{z_0 p} = \frac{K_V}{p}, \quad /5.59/$$

де $z_0 = R_{Bx} C_{3,3}$ і $K_V = 1/z_0$ - відповідно стала інтегрування і коефіцієнт підсилення регулятора.

Такий регулятор має інтегрувальні властивості, тобто

$$U_{Bx}(t) = -K_V \int U_{Bx}(t) dt + U_{Bx}(0).$$

Скорочено його називають I-регулятор.

Якщо сигнал $U_{\text{вх}}(t)$ підтримувати сталим тривалий час, то регулятор може увійти в режим насищення. Це станеться тоді, коли цей час

$$t \gg \left| \frac{U_{\text{вх, max}} - U_{\text{вх}}(0)}{U_{\text{вх, ст}}} \right|.$$

Після цього регулятор перебуватиме в стані насищення доти, поки вхідний сигнал не тільки зменшиться до нуля, а й змінить знак.

Інтегрально-пропорційний регулятор /ПІ-регулятор/

Якщо $\alpha_{\text{вх}}(P) = R_{\text{вх}}$, а $\alpha_{3,3}(P) = R_{3,3} + \frac{1}{C_{3,3}P}$ /рис. 5.13,а/, то в цьому разі передавна функція регулятора має вигляд

$$R(P) = \frac{\alpha_{3,3}(P)}{\alpha_{\text{вх}}(P)} = \frac{R_{3,3} + \frac{1}{C_{3,3}P}}{R_{\text{вх}} + \frac{1}{C_{0,P}}} = K_p + \frac{1}{\zeta_0 P}, \quad 15.60/$$

де стала часу інтегрування $\zeta_0 = R_{\text{вх}} C_{3,3}$, а коефіцієнт підсилення пропорційної частини $K_p = R_{3,3}/R_{\text{вх}}$.

Регулятор, як це випливає з /15.60/, поєднує в собі властивості П- та I-регуляторів, в тому його називають ПІ-регулятором.

Звичайно передавну функцію /15.60/ записують так:

$$R(P) = \frac{1 + \zeta_R P}{\zeta_0 P} = \frac{K_R}{P} (1 + \zeta_R P), \quad 15.61/$$

$$\text{де } \zeta_R = R_{3,3} C_{3,3}; K_R = 1/\zeta_0 = 1/R_{\text{вх}} C_{3,3}.$$

Зокрема зміни вихідного сигналу, який відповідає передавній функції /15.60/ у випадку стрибкової зміни вхідного сигналу, зображені на рис. 5.14,а,б.

Логарифмічні амплітудно-частотна

$$L(\omega) = 20 \lg K_R -$$

$$- 20 \lg \sqrt{1 + \zeta_R^2 \omega^2}$$

Рис. 5.13. Принципові схеми
ПІ-регулятора /а/
і ПІД-регулятора /б/

і фазочастотна

$$\varphi(\omega) = -90^\circ + \arctg \varepsilon_R \omega$$

характеристики зображені на рис. 5.14, в.

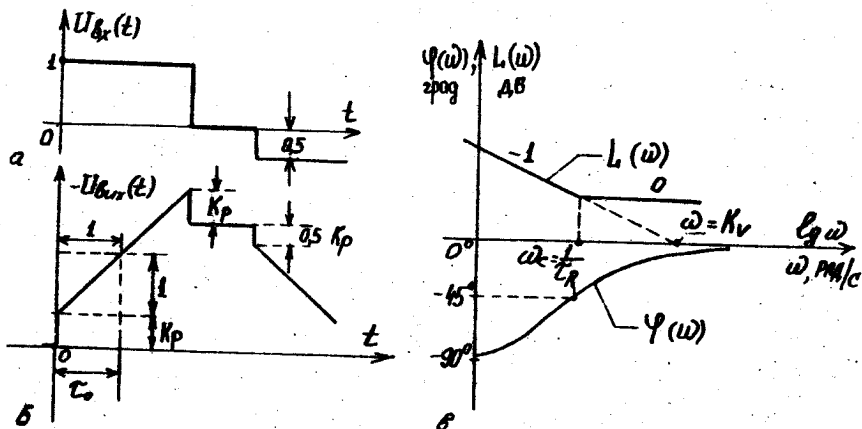


Рис. 5.14. Закон зміни вхідного /а/, вихідного /б/ сигналів і логарифмічні $L(\omega)$, $\varphi(\omega)$ характеристики ПІ-регулятора

Диференціальний регулятор /Д-регулятор/

Якщо в коло зворотного зв'язку увімкнути резистор з активним опором $R_{3,3}$, а у вході - конденсатор з ємністю C_{Bx} , то $\dot{\varphi}_{Bx}(\rho) = -1/(C_{Bx}\rho)$, $\varphi_{3,3}(\rho) = R_{3,3}$ і передавна функція регулятора

$$R(\rho) = \frac{\varphi_{3,3}(\rho)}{\dot{\varphi}_{Bx}(\rho)} = R_{3,3} C_{Bx} \rho = \varepsilon_R \rho, \quad 15.62/$$

де стала часу, яку звичайно називають часом диференціювання, $T_g = R_{3,3} C_{Bx}$.

Із /5.62/ випливає, що регулятор у цьому разі диференціює вхідний сигнал, і тому його називають диференціальним.

Треба зазначити, що передавна функція /5.62/ фізично нереалізована, бо порядок правої частини диференціального рівняння, яке відповідає /5.62/, більший, ніж лівої. У [42] доведено, що з урахуванням вхідного опору ζ_p підсилювача передавна функція реального Д-регулятора має вигляд

$$R(p) = \frac{\zeta_d p}{1 + \zeta^* p},$$

де $\zeta^* = (1 + R_{3,3}/2e) \zeta_d / K_u$.

Сталу часу ζ^* узвичаєно називати "шкідливою". Під час синтезу регуляторів систем підпорядкованого регульовання її бажано враховувати як одну із складових малої некомпенсованої сталої часу синтезуваного контуру T_m .

Треба також зauważити, що через обмеження $U_{B_{UX}}(t)$ неідеально-го підсилювача регулятор точно відпрацьовує тільки малі стрибки чи порівняно повільні зміни вхідного сигналу. За різкіших змін чи за більших амплітуд $U_{B_X}(t)$ вихідний сигнал $U_{B_{UX}}(t)$ досягає насищення. Це означає, що конденсатор у вхідному колі заряджається й далі, а $U_{B_{UX}}(t)$ уже не може зростати. У цьому полягає одна з причин рідкого застосування Д-регулятора.

Пропорційно-диференціальний регулятор /Д-регулятор/

Якщо в коло зворотного зв'язку увімкнути резистор з активним опором $R_{3,3}$, а у вхідне коло – резистор з активним опором R_{B_X} і конденсатор ємністю C_{B_X} , з'єднані паралельно, то, враховуючи рівності $\dot{U}_{B_X}(P) = R_{B_X} / (1 + R_{B_X} C_{B_X} P)$ та $\dot{U}_{3,3}(P) = R_{3,3} P$, дістаємо передавну функцію Д-регулятора:

$$R(P) = \frac{\dot{U}_{3,3}(P)}{\dot{U}_{B_X}(P)} = \frac{R_{3,3}}{R_{B_X}} \frac{(1 + R_{B_X} C_{B_X} P)}{1 + R_{B_X} C_{B_X} P} = K_P (1 + \zeta_d P), \quad /5.63/$$

де коефіцієнт пропорційного підсилення $K_P = R_{3,3} / R_{B_X}$, а стала часу диференціювання $\zeta_d = R_{B_X} C_{B_X}$.

Із /5.63/ випливає, що Д-регулятор у стаціонарному режимі працює як пропорційний, а в разі зміни напруги на його вході до вихідної напруги додається ще й напруга, пропорційна швидкості зміни

вхідного сигналу. Отже, вхідний сигнал регулятор диференціє. Порівняно з Д-регулятором "шкідлива" стала часу ПД-регулятора зростає за рахунок вхідного опору R_{BX} :

$$\varepsilon_x = \frac{1 + R_{3,3}/\tau_e + R_{3,3}/R_{\text{BX}}}{K_u} \varepsilon_a.$$

Інтегрально-пропорційний диференціальний регулятор /ПД-регулятор/

Принципову схему регулятора зображенено на рис. 5.13,б. Можна довести, що передавна функція ПД-регулятора, коли $R_1 \gg R_2$, $C_2 \gg C_1$ і $K_u \gg 1$, має вигляд [42]

$$R(p) = \frac{\varepsilon_{3,3}(p)}{\varepsilon_{\text{BX}}(p)} = \frac{(1 + \varepsilon_R p)(1 + \varepsilon_{\text{ker}} p)}{\varepsilon_R p}, \quad 15.64/$$

де сталі часу $\varepsilon_o = R_{\text{BX}} C_1$, $\varepsilon_R = (R_1 + R_2) C_1$, $\varepsilon_{\text{ker}} = R_1 R_2 C_2 / (R_1 + R_2)$.

Ураховуючи, що коефіцієнт пропорційного підсилення ПД-регулятора $K_p = (R_1 + R_2) / R_{\text{BX}}$, а стала часу $\varepsilon_o = R_{\text{BX}} C_1 = \varepsilon_R / K_p$, передавну функцію 15.64/ звичайно записують так:

$$R(p) = \frac{\varepsilon_R + \varepsilon_{\text{ker}}}{\varepsilon_o} + \frac{1}{\varepsilon_o p} + \frac{\varepsilon_R \varepsilon_{\text{ker}}}{\varepsilon_o} p.$$

Таким чином, ПД-регулятор містить: П-складову $(\varepsilon_R + \varepsilon_{\text{ker}}) / \varepsilon_o$; І-складову $1 / \varepsilon_o p$; Д-складову $p \varepsilon_R \varepsilon_{\text{ker}} / \varepsilon_o$. Оскільки ці складові підсумовують, то можна додавати й відповідні складові для вихідного сигналу. Треба зауважити, що Д-складова тут, як і в Д та ПД-регуляторах, містить "шкідливу" сталу часу.

Послідання типових регуляторів

Бажану передавну функцію регулятора можна дістати, послідовно чи паралельно увімкнувши типові регулятори. Наприклад, передавна функція ПД-регулятора виходить, коли паралельно й узгоджено увімкнути І- та ПД-регулятори:

$$R_{\text{par}}(p) = \frac{1}{\varepsilon_o p} + K_p (1 + \varepsilon_R) p = \frac{(1 + \varepsilon_R p)(1 + \varepsilon_{\text{ker}} p)}{\varepsilon_o p} = \\ = \frac{1 + (\varepsilon_R + \varepsilon_{\text{ker}}) p + \varepsilon_R \varepsilon_{\text{ker}} p^2}{\varepsilon_o p} \quad 15.65/$$

де $(\bar{E}_R + \bar{E}_{Kep}) = K_p E_0$; $\bar{E}_R \bar{E}_{Kep} = E_0 E_d K_p$ / або шляхом послідовного ввімкнення ПІ- та ПД-регуляторів.

5.4. Синтез послідовних коригувальних пристроїв /регуляторів/

5.4.1. Основні теоретичні положення

Розглянемо синтез послідовних коригувальних пристроїв стосовно до системи /контуру/, структурну схему якої зображенено на рис. 5.5, припустивши, що $\mathcal{F}_1(\rho) = \mathcal{F}_2(\rho) = 0$.

Задача синтезу полягає у визначенні такої передавної функції послідовного коригувального пристрою /регулятора/ $R(\rho)$, щоб із заданою передавною функцією об'єкта регулювання $G(\rho)$ передавна функція розімкненої скоригованої системи /контуру/ $W_K(\rho)$ мала б бажану передавну функцію $W_\delta(\rho)$, яка відповідала б модульному чи симетричному критерію оптимізації, тобто

$$W_K(\rho) = W_\delta(\rho). \quad /5.66/$$

Цю задачу можна розв'язати кількома методами. Зараз часто користуються методом логарифмічних амплітудно-частотних характеристик /метод ЛАЧХ/. Оскільки розглядуваний клас систем підпорядкованого регулювання належить до мінімально фазових систем, яким, зокрема, властива одна значна залежність між амплітудно-частотними /АЧХ/ і фазочастотними /ФЧХ/ характеристиками, то це дає право застосовувати метод ЛАЧХ.

Із структурної схеми на рис. 5.5 маємо

$$W_K(\rho) = R(\rho) G(\rho). \quad /5.67/$$

Тоді, врахувавши /5.66/, дістанемо

$$W_\delta(\rho) = R(\rho) G(\rho). \quad /5.68/$$

Припустивши, що в /5.68/ $\rho = j\omega$, знайдемо такі вирази частотних характеристик скоригованого бажаним чином розімкненого контуру: амплітудно-фазової

$$W_\delta(j\omega) = R(j\omega) G(j\omega); \quad /5.69/$$

$$W_{\delta}(\omega) = R(\omega) \delta(\omega),$$

15.70/

логарифмічної амплітудно-частотної

$$L_{\delta}(\omega) = L_R(\omega) + L_G(\omega),$$

15.71/

де $L_R(\omega) = 20 \lg R(\omega)$ - ЛАЧХ послідовного коригувального пристроя /контуру/; $L_G(\omega) = 20 \lg G(\omega)$ - ЛАЧХ об'єкта регулювання.

Із 15.71/ знаходимо

$$L_R(\omega) = L_{\delta}(\omega) - L_G(\omega).$$

15.72/

Отже, ЛАЧХ послідовного коригувального пристроя /регулятора/ дорівнює бажаній ЛАЧХ мінус ЛАЧХ об'єкта регулювання.

Знайшовши ЛАЧХ регулятора $L_R(\omega)$, можна за ньо визначити передавну функцію регулятора та його параметри, а тоді вибрати типовий регулятор і розрахувати параметри його вхідного кола й кола зворотного зв'язку.

Отже, регулятор синтезують у такій наступності.

I. Визначають передавну функцію об'єкта регулювання $G(p)$ і будують $L_G(\omega)$.

2. На підставі вираного критерію оптимальності /модульний чи симетричний/ знаходять бажану передавну функцію $W_{\delta}(p)$, що має повинен мати контур унаслідок корекції, і будують бажану ЛАЧХ $L_{\delta}(\omega)$.

3. Визначають ЛАЧХ регулятора $L_R(\omega)$, віднімаючи ординати $L_G(\omega)$ від ординат $L_{\delta}(\omega)$.

4. За ЛАЧХ $L_R(\omega)$ знаходять передавну функцію регулятора R_p та його параметри.

5. За $R(p)$ вибирають типовий регулятор і розраховують його параметри /параметри вхідного кола й кола зворотного зв'язку/.

Зauważимо, що передавну функцію регулятора можна знайти, не будуючи ЛАЧХ, з 15.67/ та 15.68/:

$$R(p) = \frac{W_{\delta}(p)}{G(p)}.$$

15.73/

5.4.2. Приклади синтезу послідовних коригувальних пристрой

Приклад 5.1. Об'єкт регулювання з багатьма малими сталими часу. Потрібно визначити передавну функцію регулятора $R(\rho)$, вибрати типовий регулятор і визначити його параметри, коли задано таку передавну функцію об'єкта регулювання:

$$G(\rho) = K_{OB} \frac{1}{1+\tau_{ju_1}\rho} \frac{1}{1+\tau_{ju_2}\rho} \dots \frac{1}{1+\tau_{ju_n}\rho} . \quad /5.74/$$

Розв'язання. Розглянемо насамперед питання про послідовне з'єднання аперіодичних ланок з малими сталими часу $\tau_{ju_1}, \tau_{ju_2}, \dots, \tau_{ju_n}$. У [42] доведено, що передавну функцію /5.74/ з достатньою для практичних розрахунків точністю можна замінити згідною передавною функцією

$$G(\rho) = \frac{1}{1+\tau_{ju}\rho} , \quad /5.75/$$

де $\tau_{ju} = \sum_{i=1}^n \tau_{ju_i}$ за умови, що послідовно з аперіодичними ланками з малими сталими часу буде ввімкнено ідеальну інтегрувальну ланку, одержану, наприклад, унаслідок синтезу, або аперіодичну ланку із ставом часу $T >> \sum_{i=1}^n \tau_{ju_i}$.

ДАЧХ об'єкта регулювання з передавною функцією /5.75/ $L_G(\omega) = 20 \lg K_{OB} - 20 \lg \sqrt{\tau_{ju}^2 \omega^2 + 1}$ побудовано на рис. 5.15.

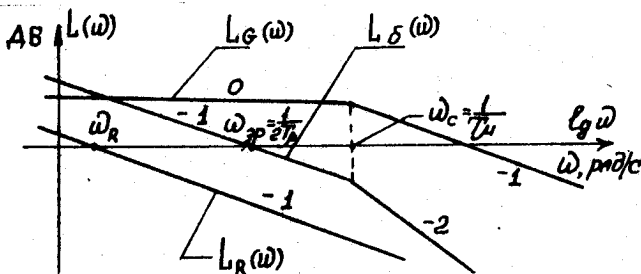


Рис. 5.15. До питання синтезу П-регулятора методом ДАЧХ

Оскільки об'єкт регулювання - це аперіодична ланка, то для оптимізації контуру найкраще використати модульний критерій. Бажану ЛАЧХ, яка відповідає модульному критерію $L_\delta(\omega) = 20 \lg K_{\delta\text{об}} - 20 \lg \sqrt{T_\mu^2 \omega^2 + 1}$, де коефіцієнт підсилення за швидкістю бажаного розмінченого контуру $K_{\delta\text{об}} = 1/2 T_\mu$, побудовано на рис. 5.15.

За видом ЛАЧХ регулятора $L_R(\omega)$, одержаної відніманням ЛАЧХ об'єкта $L_\delta(\omega)$ від бажаної ЛАЧХ $L_\delta(\omega)$, знаходимо передавну функцію регулятора

$$R(p) = \frac{K_{\delta\text{об}}}{p}, \quad /5.76/$$

де коефіцієнт підсилення за швидкістю регулятора $K_{\delta\text{об}}$ дорівнює значенню частоти ω_R , яка відповідає перетину лінією $L_R(\omega)$ осі частот /див. рис. 5.13/, тобто $K_{\delta\text{об}} = \omega_R$.

Отже, для оптимізації розглядуваної системи [як це бачимо з /5.76/] треба застосувати I-регулятор, передавну функцію якого, записану через параметри входного кола R_{Ex} і кола зворотного зв'язку C_{g_3} , визначає вираз /5.59/. Зрівнявши чисельники передавних функцій /5.76/ та /5.59/, дістанемо таке рівняння для визначення параметрів:

$$\frac{1}{R_E C_{g_3}} = \omega_R.$$

Задавши величину C_{g_3} і визначивши з ЛАЧХ величину ω_R , розраховують потім величину опору R_E .

Приклад 5.2. Об'єкт регулювання з однією великою й багатьма малими сталими часу. Потрібно визначити передавну функцію регулятора $R(p)$, вибрати типовий регулятор і розрахувати його параметри, якщо задано таку передавну функцію об'єкта регулювання:

$$G(p) = \frac{K_{\delta\text{об}}}{(1+T_p)(1+T_{\mu_1}p)(1+T_{\mu_2}p)\dots(1+T_{\mu_n}p)},$$

де $T > \sum_{i=1}^n T_{\mu_i}$.

Розв'язання. Так само, як і в попередньому прикладі, замінимо добуток аперіодичних ланок з малими сталими часу однією аперіодичною ланкою із сталовим часом $T_\mu = \sum_{i=1}^n T_{\mu_i}$. Тоді передавна функція об'єк-

та являємо собою дві аперіодичні данки із сталими часу T_i і T_{μ} . Для оптимізації розглядуваного контуру використаємо модульний критерій.

Розв'язання цієї задачі методом ЛАЧХ зображене на рис. 5.16. За видом ЛАЧХ регулятора $L_R(\omega)$, одержаної як різниця між $L_\delta(\omega)$

$$L_\delta(\omega) = 20 \lg K_{05} - 20 \lg \sqrt{T^2 \omega^2 + 1} - 20 \lg \sqrt{T_\mu^2 \omega^2 + 1},$$

визначаємо передавну функцію регулятора

$$R(\rho) = \frac{K_{05} \rho}{\rho} (1 + \varepsilon_R \rho) \approx \frac{\omega_R}{\rho} \left(1 + \frac{1}{\omega_{c2}} \rho \right). \quad 15.77/$$

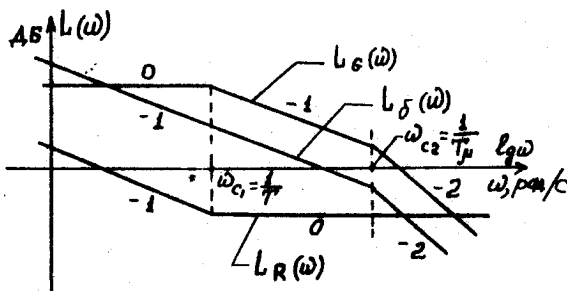


Рис. 5.16. До навчання синтезу ПІ-регулятора методом ЛАЧХ

Передавну функцію /5.77/ розв'язують за допомогою типового ПІ-регулятора, параметри якого R_{Bx} , $R_{3,3}$ і $C_{3,3}$ можна знайти з такої системи рівнянь:

$$\left. \begin{aligned} \frac{R_{3,3}}{R_{Bx}} &= \frac{\omega_R}{\omega_{c1}}, \\ \frac{1}{R_{Bx} C_{3,3}} &= \omega_R. \end{aligned} \right\}. \quad 15.78/$$

Систему /5.78/ одержано з рівнянням коефіцієнтів біля однакових степенів ρ передавної функції /5.61/, виражених через параметри R_{Bx} , $R_{3,3}$ і $C_{3,3}$, і коефіцієнтів передавної функції /5.77/, поданих через спряжувальні частоти ЛАЧХ регулятора $L_R(\omega)$.

Знайшовши числові значення ω_R і ω_C , за ЛАЧХ і задавши величину ζ_3 , розраховують за /5.78/ R_{bx} та $R_{d\cdot j}$.

5.5. Системи підпорядкованого регулювання
кутової швидкості
із зворотним зв'язком за швидкістю

5.5.1. Синтез коригувального пристроя
і розрахунок параметрів контуру струму

Контур струму в більшості систем підпорядкованого регулювання – це внутрішній контур, тому розраховувати параметри та їх остаточно вибирати під час експериментального дослідження багатоконтурної системи розпочинають саме з даного контуру. Оскільки швидкодія системи загалом багато в чому залежить від внутрішнього контуру, то, отже, правильне налаштування струмового контуру – найвідповідальніший етап проектування систем підпорядкованого регулювання.

Параметри контуру струму оптимізують з такими припущеннями. Розглянемо реверсивну схему керування електроприводом із спільним узгодженням способом керування вентильними групами, наявність безперервних зрівняльних струмів в якій повністю виключає режим переривчастих струмів навантаження перетворювача; на виході джевела струму поставлено фільтр у вигляді аперіодичної ланки, сталу часу якого

$T_g.c$ вибрано так, щоб обмежити пульсації вихідної напруги джевела до рівня, коли СІФК працює без перебоїв, а аналогові підсилювачі контуру – із сталою коефіцієнтом підсилення; на вході СІФК поставлено фільтр із сталою часу T_g , призначений й параметри якого наведено попереду; впливу протиЕРС двигуна не враховано /оцінено його джевел/; динамічні властивості ТП разом із СІФК характеризує передавна функція /3.5/.

Об'єкт регулювання контуру струму складається з якірного кола двигуна, що являє собою з погляду динаміки аперіодичну ланку з коефіцієнтом підсилення $1/R_Z$ і "великою" сталовою часу T_p тиристорного перетворювача разом із СІФК і фільтром на U вході та джевела струму разом з фільтром на його виході.

Спрощену принципову схему контуру струму в одноканальній системі регулювання швидкості зображенено на рис. 5.17. Силове коло нарисовано умовно в однолінійному вигляді. Вхідний сигнал на СІФК1 і СІФК2, які за входом з'єднано зустрічно, надходить від спільногоДІ-регулятора

струму. Контур зворотного зв'язку за струмом складається з вимірювального пристроя, виготовленого у вигляді шунта $Ш$, увімкненого в силове коло, і давача струму $ДС$. Вимірювальний пристрій вимірює регульований параметр, яким у контурі струму є струм силового кола I_g , і перетворює цей параметр у пропорційну йому напругу $U_{ш}$. Давач струму забезпечує підсилення напруги $U_{ш}$ і гальванічне розв'язування вхідних та вихідних кіл. Технічні характеристики давача струму $ДС-ЗА1$, що його містить як окремий блок в УБСР-А1, описано в розд. 4. З рис. 5.17 бачимо, що ця схема має один канал вимірювання струму й один канал регульювання, і тому її називають одноканальною.

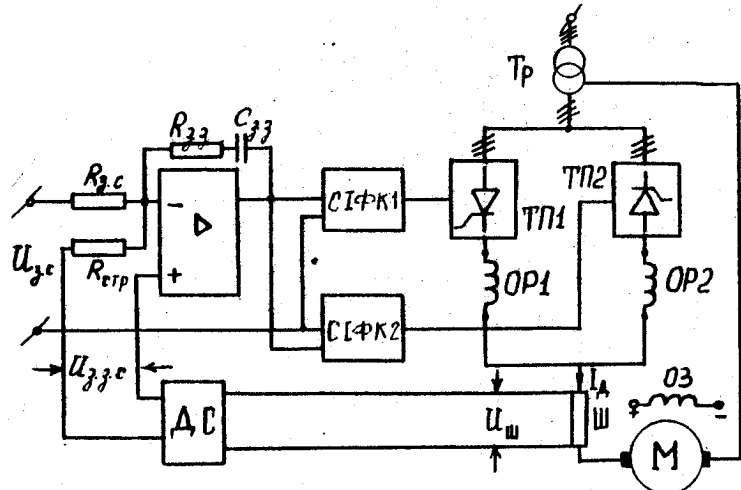


Рис. 5.17. Спрощена принципова схема контуру струму в одноканальній системі регульювання швидкості

На рис. 5.18,а зображене структурну схему контуру струму, побудовану відповідно до рис. 5.17 і з урахуванням зроблених попереду припущень. З цієї схеми випливає, що об'єкт регульювання містить опіну аперіодичну ланку з великою сталовою часу і три аперіодичні ланки з малими сталими часами, дві з яких містяться в прямому каналі контуру регульювання, а третя - в каналі зворотного зв'язку. Щоб можна було користуватися методикою синтезу послідовних коригувальних пристрояв, треба цю схему перетворити в структурну схему з одиничним зворотним зв'язком. Таке перетворення зображене на рис. 5.18,б. У цій схемі

три аперіодичні ланки з малими сталими часу T_{φ} , ε і $T_{g.c.}$ замінено однією аперіодичною ланкою з малою некомпенсованою сталовою часу контуру струму $T_{mc} = \varepsilon + T_{\varphi} + T_{g.c.}$. Зauważмо, що форсувальної ланки $(1 + T_{igr})$ у блокі, який стоїть на вході замкненого контуру струму, згідно з узвичасною методикою не враховано і тому на схемі не зображенено.

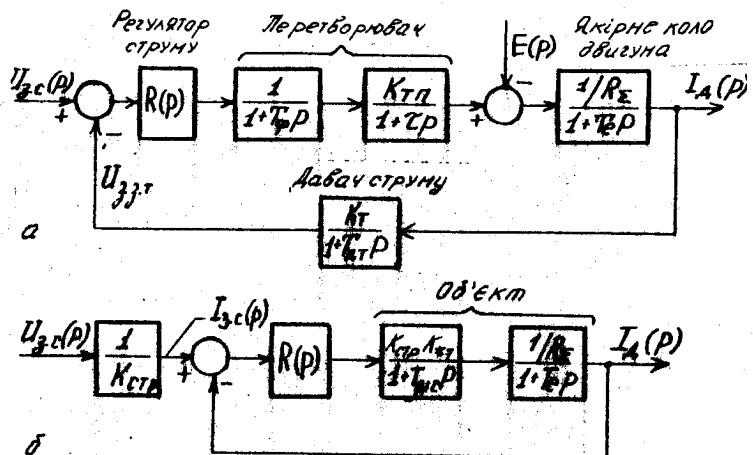


Рис. 5.18. Структурні схеми контуру струму: а - початкова; б - перетворена до схеми з одиничним зворотним зв'язком

Розраховуючи параметри регулятора струму в реальних системах регулювання, побудованих на елементах УБСР-АІ, значення T_{mc} доводиться задавати у визначеннях практикою межах 4...10 мс [10]. Нижня межа цього діапазону стосується АТП з безінерційною СІФК, а верхня - системи електроприводів з фільтрами на вихіді давача струму і на вході СІФК.

Відповідно до раніше викладеної методики синтезу послідовних коригувальних пристроїв із структурної схеми /рис. 5.18,б/ маємо

$$W_f(p) = R(p) F(p), \quad 15.79$$

де $W_\delta(\rho)$, $R(\rho)$, $G(\rho)$ - передавні функції відповідно бажана, регулятора струму та об'єкта керування.

Контур струму звичайно оптимізують на підставі використання модульного критерію. Тому

$$W_\delta(\rho) = \frac{1}{2T_{\mu c}\rho(1+T_{\mu c}\rho)} . \quad /5.80/$$

Передавна функція об'єкта керування згідно з рис. 5.18,б

$$G(\rho) = \frac{K_{ob}}{(1+T_e\rho)(1+T_{\mu c}\rho)} , \quad /5.81/$$

де $K_{ob} = K_{ctr} K_{tr} / R_x$ - коефіцієнт підсилення об'єкта керування контуру струму.

З виразу /5.79/ з урахуванням формул /5.80/, /5.81/ знаходимо

$$R(\rho) = \frac{W_\delta(\rho)}{G(\rho)} = K_{p.c} \frac{1+T_e\rho}{\rho} , \quad /5.82/$$

де $K_{p.c} = R_x / 2T_{\mu c} K_{tr} K_{ctr}$ - коефіцієнт підсилення регулятора струму. Тоді одержимо передавну функцію замкненого оптимізованого за модульним критерієм контуру струму

$$\Phi(\rho) = \frac{T_e(\rho)}{U_{g.c}(\rho)} = \frac{1/K_{ctr}}{1+2T_{\mu c}\rho + 2T_{\mu c}^2\rho^2} . \quad /5.83/$$

Передавну функцію /5.82/ можна реалізувати за допомогою типово-го ПІ-регулятора, принципову схему ввімкнення якого в одноканальну систему регулювання швидкості з реверсивним перетворювачем зображенено на рис. 5.17.

Розпочнемо тепер розраховувати параметри ПІ-регулятора і параметри кола зворотного зв'язку.

Передавна функція ПІ-регулятора струму /рис. 5.17/

$$R(\rho) = \frac{\dot{x}_{g.g}(\rho)}{\dot{x}_{\theta x}(\rho)} = \frac{1+R_{g.g} C_{g.g}\rho}{C_{g.g} R_{g.c}\rho} . \quad /5.84/$$

Порівнюючи передавні функції /5.84/ та /5.82/, знаходимо систему рівнянь:

$$R_{g.g} C_{g.g} = T_e ; \quad /5.85/$$

$$R_{g.c} C_{g.g} = 2T_{\mu c} K_{ctr} K_{tr} / R_x . \quad /5.86/$$

Коефіцієнт підсилення кола зворотного зв'язку за струмом

$$K_{C1P} = K_w K_{d.c} R_{3.c} / R_{C1P}, \quad 15.87/$$

де $K_w = U_w / I_g$ і $K_{d.c} = U_{d.c} / U_w$ - коефіцієнти підсилення відповідно шунта і джевча струму; $R_{3.c} / R_{C1P}$ - коефіцієнт зведення напруги зворотного зв'язку за струмом до кола задавального сигналу регулятора струму; $R_{3.c}$ і R_{C1P} - вхідні опори регулятора струму відповідно в каналах задавання й зворотного зв'язку за струмом.

Підставляючи в 15.86/ K_{C1P} з 15.87/, одержуємо

$$R_{C1P} = \frac{2T_{m.c} K_{d.c} K_w}{R_\Sigma C_{3.3}}. \quad 15.88/$$

З виразів 15.88/ і 15.85/ визначають параметри регулятора струму R_{C1P} , $R_{3.3}$, $C_{3.3}$. Емність $C_{3.3}$ звичайно задають, а опори R_{C1P} і $R_{3.3}$ розраховують. Більшини R_{C1P} , $R_{3.3}$ і $C_{3.3}$ мають переважати у межах $10 \text{ к}\Omega \leq R \leq 100 \text{ к}\Omega$, $0,1 \text{ мкФ} \leq C \leq 1 \text{ мкФ}$.

Опір $R_{3.c}$ вибирають з умови обмеження вихідної координати контуру струму - струму двигуна I_g , чого досягають, регламентуючи вихідну напругу $U_{d.c.max}$ регулятора попереднього контуру - контуру швидкості:

$$I_{d.mah} = \frac{1}{R_{3.c}} U_{d.c.mah}, \quad 15.89/$$

де $I_{d.mah}$ - струм максимального робочого перевантаження двигуна; $U_{d.c.mah}$ - максимальна вихідна напруга контуру швидкості /напруга обмеження/.

Із 15.87/ та 15.89/ знаходимо

$$R_{3.c} = \frac{U_{d.c.mah}}{K_w K_{d.c} I_{d.mah}} R_t. \quad 15.90/$$

Коли вихідну напругу регулятора попереднього контуру обмежувати за допомогою стабілітронів, то можна вважати, що $U_{d.c.mah}$ дорівнює напрузі стабілізації останніх. Коли ж сигнал обмежено завдяки використанню регульовного джерела опорної напруги [40], то в цьому разі зручно припустити, що $R_{3.c} = R_{C1P}$, і

$$U_{d.c.mah} = U_{d.c.mah} = K_w K_{d.c} I_{d.mah}. \quad 15.91/$$

Визначивши R_{C1P} і $R_{3.c}$, а також K_w і $K_{d.c}$, розраховують K_{C1P} за 15.87/.

Звичайно в інженерній практиці параметри контуру струму знаходять за допомогою ЛАЧХ. Розв'язання задачі методом ЛАЧХ, яке повністю відповідає розглядуваному випадку, наведено в прикладі 5.2.

Числові приклади розрахунку параметрів контуру струму наведено в [2; 12; 40].

Контур струму, якщо $T_p / 4T_{\mu c} < 1$, іноді налаштують за симетричним оптимумом. Зокрема, у випадку різних коливань напруги живильної мережі синтез регулятора струму відповідно до симетричного критерію й застосування згладжувального фільтра в каналі задавання регулятора струму дає змогу зменшувати коливання струму якоря та часу його загасання.

5.5.2. Синтез коригувального пристроя й розрахунок параметрів контуру швидкості, оптимізованого за модульним критерієм

Вимірювальним пристроєм у контурі швидкості в регуляторах швидкості із зворотним зв'язком за швидкістю звичайно є тахогенератор, вихідний сигнал якого у вигляді напруги від "ємного зворотного зв'язку" $U_{d.z.w}$ надходить на вход вузла порівняння, де порівнюється з напругою задавання на швидкість $U_d.w$. Як вузол порівняння використовують ОК, що одночасно виконує функції послідовного коригувального пристроя.

Оптимізуючи параметри контуру швидкості, припускаємо, що, по-перше, контур струму оптимізовано згідно з модульним критерієм і, отже, його характеризує передавна функція /5.83/ і, по-друге, на виході діавача швидкості поставлено фільтр у вигляді аперіодичної ланки із сталою часу $T_{d.w}$. Об'єктом регульовання в контурі швидкості є механічна частина двигуна постійного струму й оптимізований замкнений контур струму.

Структурну схему контуру швидкості зображено на рис. 5.19,а, а цю саму схему, перетворену до схеми з одиничним зворотним зв'язком, – на рис. 5.19,б.

Некомпенсона мала стала часу контуру швидкості [34]

$$T_{\mu w} = \frac{2T_{\mu c} + T_{d.w} + \sqrt{(2T_{\mu c} + T_{d.w})^2 + T_{d.w}^2}}{2} \quad /5.92/$$

або з достатньою для практики точністю відповідно до узвичаєної методики за формулой

$$T_{\mu w} = 2T_{\mu c} + T_{d.w} \quad /5.93/$$

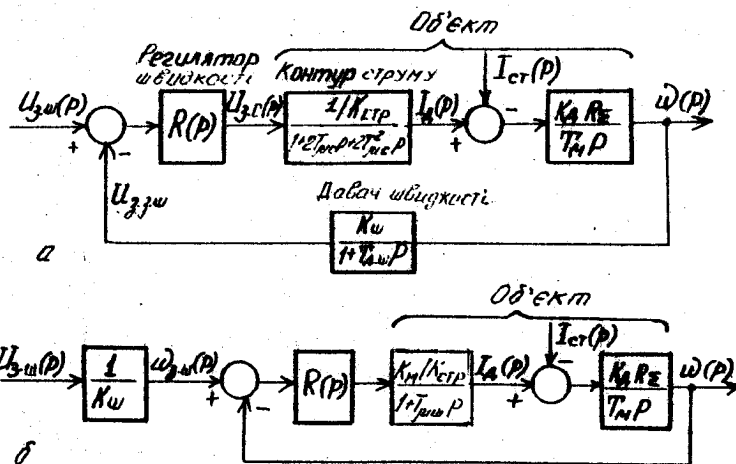


Рис. 5.19. Структурні схеми контуру швидкості: а - початкова; б - перетворена до схеми з одиничним зворотним зв'язком

Залежно від технологічних вимог, що їх ставлять до регуляторів швидкості, контур швидкості оптимізується або за модульним, або за симетричним критерієм.

Синтез послідовного коригувального пристроя /регулятора/ контуру швидкості, налаштуваного на модульний оптимум, і розрахунок його параметрів методом ЛАЧХ зображенено на рис. 5.20, на якому вжито такі позначення:

бажана ЛАЧХ

$$L_\delta(\omega) = 20 \lg \left| \frac{1}{2T_{\mu \text{ш}}(j\omega)} \cdot [1 + T_{\mu \text{ш}}(j\omega)] \right| = \\ = 20 \lg \frac{1}{2T_{\mu \text{ш}}} - 20 \lg \omega - 20 \lg \sqrt{1 + T_{\mu \text{ш}}^2 \omega^2};$$

ЛАЧХ об'єкта регулювання контуру швидкості

$$L_\delta(\omega) = 20 \lg \left| K_{ob} / (j\omega) \cdot [1 + T_{\mu \text{ш}}(j\omega)] \right| = \\ = 20 \lg (K_w K_a R_z / K_{crp} T_M) - 20 \lg \omega - 20 \lg \sqrt{T_{\mu \text{ш}}^2 \omega^2 + 1};$$

ЛАЧХ регулятора швидкості

$$L_R(\omega) = L_S(\omega) - L_E(\omega).$$

15.94/

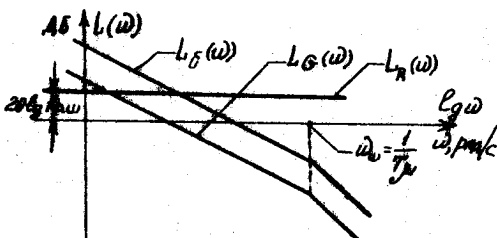


Рис. 5.20. До питання синтезу П-регулятора струму методом ЛАЧХ

За виразом для $L_R(\omega)$ записуємо передавну функцію регулятора швидкості:

$$R(p) = K_{p.w},$$

15.95/

де $K_{p.w}$ – коефіцієнт підсилення регулятора швидкості. На рис. 5.21 зображенено схему П-регулятора, яка реалізує передавну функцію /5.95/.

З цієї схеми знаходимо, дБ:

$$20 \lg K_{p.w} = A$$

15.96/

або

$$K_{p.w} = 10^{\frac{A}{20}},$$

15.97/

Із схеми П-регулятора /рис. 5.21/ з урахуванням формули /5.97/ маємо

$$\frac{R_{3,3}}{R_w} = 10^{\frac{A}{20}},$$

15.98/

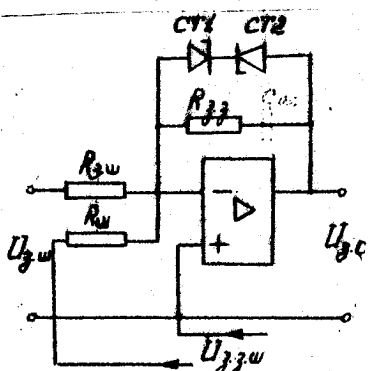


Рис. 5.21. Принципова схема П-регулятора швидкості з обмеженням вихідного сигналу

Регулятор швидкості має обмеження вихідної напруги, рівень якого відповідає гранично припустимій силі струму двигуна /"струмовому відгинові"/. У найпростішому випадку обмеження роблять двома стабілітранами /рис. 5.21/; напругу обмеження тут розраховано на реверсивну роботу операційного підсилювача. Неабияка вада цієї схеми полягає в тому, що рівень обмеження залежить від напруги стабілізації стабілітрона, і його не можна плавно регульовати залежно від режиму роботи електропривода.

Коефіцієнт підсилення кола зворотного зв'язку за швидкістю

$$K_w = K_{T,r} \frac{R_{d,w}}{R_w}, \quad /5.99/$$

де $K_{T,r} = U_{d,zw}/\omega$ - коефіцієнт підсилення тахогенератора; $R_{d,w}/R_w$ - коефіцієнт зведення напруги зворотного зв'язку за швидкістю до кола задавального сигналу регулятора; $R_{d,w} > R_w$ - входні опори регулятора в каналах відповідно задавання й зворотного зв'язку.

Відношення опорів $R_{d,w}/R_w$ знаходять з рівняння

$$U_{d,w \max} = K_w \omega_{\max} = K_{T,r} \frac{R_{d,w}}{R_w} \omega_{\max}. \quad /5.100/$$

З рівняння /5.100/ дістаємо

$$\frac{R_{d,w}}{R_w} = \frac{U_{d,w \max}}{K_{T,r} \omega_{\max}}, \quad /5.101/$$

де ω_{\max} - максимальна задана швидкість обертання двигуна; $U_{d,w \max}$ - вихідна напруга задавального елемента, яка відповідає ω_{\max} .

Звичайно задають, наприклад, $U_{d,w \max} = 24$ В, $R_{d,w} = 50 \dots 100$ кОм і з /5.98/ та /5.101/ знаходить $R_{d,w}$ і R_w .

Структурну схему контуру швидкості, оптимізованого відповідно до модульного критерію, зображенено на рис. 5.22.

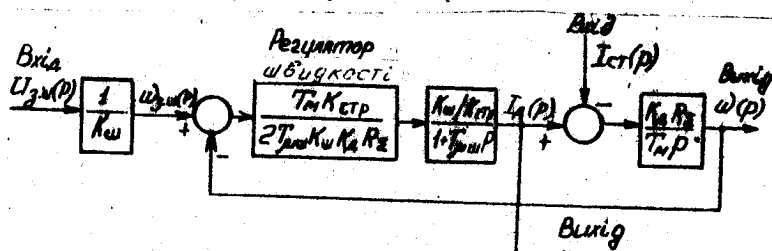


Рис. 5.22. Структурна схема регулятора швидкості з естатизмом першого порядку

5.5.3. Синтез коригувального пристроя
ї розрахунок параметрів контуру швидкості,
оптимізованого за симетричним критерієм

Коригувальний пристрій контуру швидкості, оптимізовуваного за симетричним критерієм, синтезують за умов, аналогічних попередньому випадкові.

Контур швидкості, наладжений за симетричним оптимумом /див. рис. 5.19,б/, має бажану передавну функцію

$$W_\delta(p) = \frac{1+4T_{juw}p}{8T_{juw}^2 p^2 (1+T_{juw}p)}, \quad 15.102$$

Ураховуючи, що /див. рис. 5.19,б/

$$G(p) = \frac{K_u K_d R_z}{K_{opt} T_M} \cdot \frac{1}{p(1+T_{juw}p)},$$

діставамо

$$R(p) = \frac{W_\delta(p)}{G(p)} = K_{p.w} \frac{1+4T_{juw}p}{p}, \quad 15.103$$

де $K_{p.w} = T_u K_{opt} / 8T_{juw}^2 K_d K_u R_z$ - коефіцієнт підсилення регулятора швидкості.

Передавну функцію /5.103/ реалізовано за допомогою типового ПІ-регулятора /рис. 5.23/

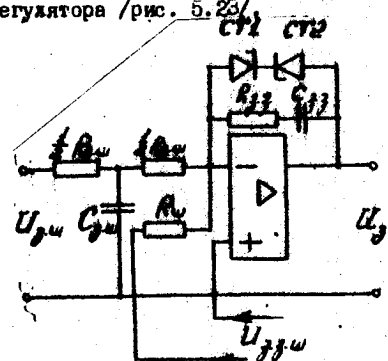


Рис. 5.23. Принципова схема ПІ-регулятора швидкості з обмеженням вихідного сигналу

Неважко довести, що пропорційна частина ПІ-регулятора швидкості /5.103/, яка дорівнює $T_u K_{opt} (8T_{juw}^2 K_d K_u R_z)$, точно збігається з виразом П-регулятора в контурі швидкості, оптимізованому за модульним критерієм. Опори $R_{d.z}$ і $R_{d.w}$ розраховують, як і ці самі опори в контурі, оптимізованому за модульним критерієм.

Стала часу зворотного зв'язку регулятора швидкос-

ті $\tilde{\sigma}_R = R_{\tilde{g}, \tilde{g}} C_{\tilde{g}, \tilde{g}}$ дорівнює $4T_{\mu\nu}$, тобто

$$C_{\beta,\beta} R_{\beta,\beta} = 4 T_{\mu\nu\omega}.$$

15.104

Рівність /5.104/ випливає з порівняння коефіцієнта коло ρ у виразі форсувального члена $(1 + 47\rho_{\text{наг}}\rho) / 5.103/$ і переважної функції ПІ-регулятора, визначененої з рис. 5.23 і записаної аналогічно /5.61/.

Структурну схему контуру швидкості, оптимізованого відповідно до симетричного критерію, зображенено на рис. 5.24.

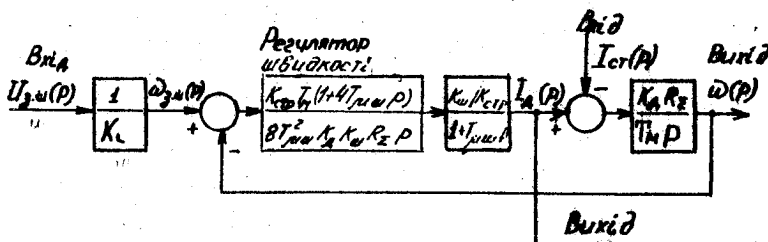


Рис. 5.24. Структурна схема регулятора швидкості з естатизмом другого порядку

5.5.4. Динамічні характеристики одноразово інтегрувальної системи регулювання швидкості

Розглянемо динамічні характеристики двоконтурної системи регулювання швидкості із зворотним зв'язком за швидкістю, в якій як контур струму, так і контур швидкості оптимізовано за модульним критерієм /рис. 5.22/. З цієї схеми знаходимо рівняння динаміки, які пов'язують вихідні сигнали c , I_g з вхідними $U_{d.w}$, I_{st} :

$$T_{\mu} \omega(p) + 2 T_{\mu\nu} k_{\mu} R_{\nu} (1 + T_{\mu\nu} p) I_{\mu}(p) = T_{\mu} k_{\mu\nu} U_{\mu\nu}(p); \quad 15.105/$$

$$T_{\mu\nu} \rho \omega(\rho) = K_g R_3 [I_g(\rho) - I_{g\gamma}(\rho)], \quad /5.106/$$

де $K_{\text{з.ш}} = 1/K_w = (1/K_{rr})(R_{\text{з.ш}}/R_w)$ - коефіцієнт підсилення земкеної системи.

Із /5.105/ та /5.106/ або відповідно перетворивши структурну схему /див. рис. 5.22/, визначаємо матрицю передавних функцій $\Phi(\rho)$ оптимізованої системи

$$\overline{\Phi(\rho)} = \begin{bmatrix} \Phi_{uu}(\rho) & \Phi_{uw}(\rho) \\ \Phi_{ui}(\rho) & \Phi_{wi}(\rho) \end{bmatrix}, \quad /5.107/$$

де

$$\Phi_{uu}(\rho) = \frac{I_A(\rho)}{U_{3,w}(\rho)} \left| \begin{array}{l} \Delta I_{cr}=0 \\ \Delta U_3=0 \end{array} \right. = \frac{T_H K_{3,w}}{K_A R_\varepsilon} \frac{\rho}{1+2T_{juw}\rho+2T_{juw}^2\rho^2}, \quad /5.108/$$

$$\Phi_{uw}(\rho) = \frac{\omega(\rho)}{U_{3,w}(\rho)} \left| \begin{array}{l} \Delta I_{cr}=0 \\ \Delta U_3=0 \end{array} \right. = \frac{K_{3,w}}{1+2T_{juw}\rho+2T_{juw}^2\rho^2}, \quad /5.109/$$

$$\Phi_{ui}(\rho) = \frac{I_A(\rho)}{I_{cr}(\rho)} \left| \begin{array}{l} \Delta U_{3,w}=0 \\ \Delta U_3=0 \end{array} \right. = \frac{1}{1+2T_{juw}\rho+2T_{juw}^2\rho^2}, \quad /5.110/$$

$$\Phi_{wi}(\rho) = \frac{\omega(\rho)}{I_{cr}(\rho)} \left| \begin{array}{l} \Delta U_{3,w}=0 \\ \Delta U_3=0 \end{array} \right. = -\frac{(2T_{juw}K_A R_\varepsilon/T_H)(1+T_{juw}\rho)}{1+2T_{juw}\rho+2T_{juw}^2\rho^2}. \quad /5.111/$$

Ці передавні функції зручно записати через відносний коефіцієнт демпфування замкненого контуру швидкості ζ_w , наприклад:

$$\Phi_{uc}(\rho) = -\frac{4\zeta_w^2 T_{juw} K_A R_\varepsilon}{T_H} \frac{1+T_{juw}\rho}{1+4\zeta_w^2 T_{juw}\rho+4\zeta_w^2 T_{juw}^2\rho^2}. \quad /5.112/$$

Наладження контуру швидкості за модульним оптимумом відповідає $\zeta_w = \sqrt{2}/2$.

Для кожної з наведених передавніх функцій можна кожним з відомих способів визначити відповідну перехідну функцію. Зокрема, передавній функції /5.109/ відповідає перехідна функція /5.35/ /див. рис. 5.7/. Цей випадок досить докладно проаналізовано в п. 5.2.2 з погляду запасів стійкості, якості перехідного процесу й точності в разі цетермінованих та випадкових дій. Передавній функції /5.112/ відповідає така перехідна функція /коли вхідна дія одинична: $L_{cr}(t) = 1/t$ / при $t > 0$:

$$\omega(t) = I_{cr} \frac{R_x K_d}{T_M} 4 \zeta_w^2 T_{jw} \left[1 + e^{-\frac{t}{T_{jw}}} \left(\frac{1 - 2 \zeta_w^2}{2 \zeta_w \sqrt{1 - \zeta_w^2}} \sin \frac{\sqrt{1 - \zeta_w^2}}{2 \zeta_w} t - \cos \frac{\sqrt{1 - \zeta_w^2}}{2 \zeta_w} t \right) \right]. \quad /5.II3/$$

Із структурної схеми /див. рис. 5.22/ і передавних характеристиках /5.II9/ та /5.II0/ випливає, що розглядувана система за вибраних припущень є за задавальною цією $K_{d,w}$ та виходом ω , а також за виходом I_g та входом I_{cr} вистатичною з вистатизмом першого порядку і статичною за збуренням I_{cr} та виходом ω .

Астатизм забезпечує механічна частина цвигуна постійного струму, що являє собою /за вибраних припущень/ ідеальну інтегрувальну ланку /рис. 5.22/. Із /5.II3/ випливає, що в усталеному режимі ($I_g = I_{cr}$) статична похибка

$$e_{cr} = I_g - \frac{K_d R_x 4 \zeta_w^2 T_{jw}}{T_M}. \quad /5.II4/$$

Аналіз /5.II4/ засвідчує, що статична похибка одноразово інтегрувальної системи керування швидкістю обертання /"просідання швидкості"/ прямо пропорційна величинам I_g , K_d , R_x , T_{jw} , ζ_w і обернено - електромеханічній сталій часу T_M . Вона менша, ніж статична похибка, притаманна приводові без регулятора ($I_g R_x K_d$), у

$4 \zeta_w^2 T_{jw} / T_M$ разів. Наявність цієї похибки - одна з основних недоліків систем регульовання швидкості з вистатизмом першого порядку.

Регулятори кутової швидкості обертання з одноразово інтегрувальним контуром швидкості застосовують тоді, коли швидкість підтримується необов'язково, а також коли електропривод працює під "відтин".

5.5.5. Динамічні характеристики двоконтурної інтегрувальної системи регульовання швидкості

Скориставшись алгоритмічною схемою /рис. 5.24/, визначимо динамічні характеристики двоконтурної системи регульовання швидкості із зворотним зв'язком за швидкістю, в якій контур струму оптимізовано за модульним, а швидкості - за симетричним критеріями. На підставі цієї схеми знаходимо такі рівняння динаміки в зображеннях за Лапласом:

$$T_M (1 + 4 T_{jw} \rho) \omega(\rho) + K_d R_x 8 T_{jw}^2 (1 + T_{jw} \rho) I_g(\rho) = \\ = T_M K_{d,w} (1 + 4 T_{jw} \rho) U_{d,w}(\rho); \quad /5.II5/$$

$$T_M \rho \omega(\rho) - K_d R_x I_g(\rho) = - K_d R_x I_{cr}(\rho). \quad /5.II6/$$

Передавні функції, які утворюють матрицю передавних функцій /5.II7/, визначені за /5.II5/ та /5.II6/ чи шляхом перетворення структурної схеми на рис. 5.24, мають вигляд:

$$\Phi_{24}(\rho) = \frac{I_4(\rho)}{U_{\delta w}(\rho)} \left| \begin{array}{l} \Delta I_{cr} = 0 \\ \Delta U_3 = 0 \end{array} \right. = K_{\delta w} \frac{T_H}{K_a R_E} \frac{\rho \cdot B(\rho)}{A(\rho)}, \quad 15.II7$$

$$\Phi_{\omega 4}(\rho) = \frac{\omega(\rho)}{U_{\delta w}(\rho)} \left| \begin{array}{l} \Delta I_{cr} = 0 \\ \Delta U_3 = 0 \end{array} \right. = K_{\delta w} \frac{B(\rho)}{A(\rho)}, \quad 15.II8$$

$$\Phi_{21}(\rho) = \frac{I_A(\rho)}{I_{cr}(\rho)} \left| \begin{array}{l} \Delta U_{\delta w} = 0 \\ \Delta U_3 = 0 \end{array} \right. = \frac{B(\rho)}{A(\rho)}, \quad 15.II9$$

$$\Phi_{\omega 1}(\rho) = \frac{\omega(\rho)}{I_{cr}(\rho)} \left| \begin{array}{l} \Delta U_{\delta w} = 0 \\ \Delta U_3 = 0 \end{array} \right. = - \frac{R_E K_a 8 T_{mu}^2 \rho (1 + T_{mu} \rho)}{T_H A(\rho)}, \quad 15.I20$$

$$\text{де } A(\rho) = 1 + 4 T_{mu} \rho + 8 T_{mu}^2 \rho^2 + 8 T_{mu}^3 \rho^3, \quad B(\rho) = 1 + 4 T_{mu} \rho.$$

Оскільки характеристичне рівняння $A(\rho) = 0$ завжди має один п'їсний від'ємний корінь і два або комплексно спряжені з від'ємними дійсними частинами, або дійсні від'ємні, то многочлени $A(\rho)$ і $B(\rho)$ зручно записувати так:

$$A(\rho) = (1 + \alpha T_{mu} \rho) [\alpha^2 T_{mu}^2 \rho^2 + (\alpha - 1) \alpha T_{mu} \rho + 1], \quad B(\rho) = 1 + \alpha T_{mu} \rho. \quad 15.I21$$

Параметр α , який з коефіцієнтом підсилення за прискоренням по-в"язує вираз $K_a = 1/\alpha^2 2 T_{mu}^2$ [34], звичайно вибирають у межах від 2 /симетричний оптимум/ до 4. Іноді постас потреба знижувати коефіцієнт підсилення за прискоренням, наприклад за високого рівня пульсацій на-пруги тахогенератора. Характер перехідного процесу оптимізованої сис-теми залежить від коренів характеристичного рівняння $A(\rho) = 0$. Якщо $\alpha = 1$, то $A(\rho) = 0$ має один від'ємний дійсний корінь $\rho_1 = -1/T_{mu}$ та два комплексно-спряжені уявні $\rho_{2,3} = \pm j 1/T_{mu}$, і система перебуває на межі стійкості. Значення $\alpha = 2$ відповідає симетричному опти-мумові. Якщо $\alpha = 3$, усі три корені дійсні від'ємні однакові, а пере-хідний процес у системі - критичний, аперіодичний. Якщо $\alpha > 3$, то корені $\rho_{1,2,3}$ від'ємні дійсні різні, а перехідний процес - аперіо-дичний.

Повну характеристику процесів у системі керування кутовою швидкістю, зовнішній контур якої оптимізовано за симетричним критерієм, можна дістати, знайшовши перехідні й частотні характеристики за /5.II7/-/5.II1/. Це дуже легко зробити на персональному комп'ютері.

Перехідні процеси, які відповідають передавним функціям /5.II8/ та /5.II20/, описують такі аналітичні вирази:

$$\omega(t) = \frac{U_{3w} K_{3w}}{\alpha - 3} \left[1 - \frac{\alpha - 1}{\alpha - 3} e^{-\frac{t}{T_{juw}}} + \frac{2}{\alpha - 3} e^{-\frac{\alpha - 1 \cdot t}{2a T_{juw}}} \cos \frac{\sqrt{3+2a-a^2}}{2a} \frac{t}{T_{juw}} \right]; \quad /5.II22/$$

$$w(t) = I_{cr} \frac{R_I K_A a^3 T_{juw}}{T_M} \left\{ \frac{\alpha(\alpha-1)}{3-\alpha} e^{-\frac{t}{T_{juw}}} + \frac{a}{3-\alpha} e^{-\frac{\alpha-1}{2a} \frac{t}{T_{juw}}} \right.$$

$$\times \left. (1-a) \cos \frac{\sqrt{3+2a-a^2}}{2a} \frac{t}{T_{juw}} + \sqrt{3+2a-a^2} \sin \frac{\sqrt{3+2a-a^2}}{2a} \frac{t}{T_{juw}} \right\}. \quad /5.II23/$$

Із структурної схеми на рис. 5.24 та виразів /5.II22/,/5.II23/ випливає, що розглядуваній регулятор швидкості – це система з астатизмом другого порядку за зафазальною дією U_{3w} і першого – за збурювальною I_{cr} . Порядок астатизму за зафазальною й збурювальною діями порівняно в одноразово інтегрувальній системі збільшено завдяки інтеграторові регулятора швидкості з передавною функцією /5.II03/. Хоча в усталеному режимі просідання швидкості обертання /статична похибка/ в дворазово інтегрувальній системі у випадку накидання навантаження й немає, однак динамічне просідання швидкості приблизно дорівнює статичному в одноразово інтегрувальній системі /див. рис. 5.8/.

Передавна /5.II8/ та перехідна /5.II22/ функції системи з астатизмом другого порядку збігаються з передавною /5.47/ та перехідною /5.50/ функціями контуру із симетричним налаштюванням. Тому запаси стійкості Δ_{zal} , Ψ_{zal} , якісні показники перехідного процесу $\sigma\%$, t_p , $t_{p,4}$, точність у випадку детермінованих та випадкових дій у системі такі ж самі, як і в контурі /див. п. 5.2.3/, і тут їх не повторюватимемо.

На закінчення зауважимо, що систему регульовання швидкості обертання з астатизмом першого чи другого порядку вибирають залежно від технологічних вимог, поставлених до електропривода. Треба враховувати також і обмеження, що U_h накладає сам електропривод: перевантажну здатність та нагрівання електродвигуна; припустима за умовами комутації на колекторі швидкість наростиання струму якоря тощо.

Якщо потрібно забезпечити нульову статичну похибку у випадку збурень на навантаженні /режим стабілізації швидкості обертання/, звичайно застосовують систему з астатизмом другого порядку. Коли основним є режим відпрацювання збурення за змінами, то, як було зазначено попереду, треба застосовувати систему з астатизмом першого порядку, бо вона простіша.

Системи з підпорядкованим регулюванням мають ту спільну ваду, що в них неможливо знизити статичний /у системах з астатизмом першого порядку/ та динамічний /у системах з астатизмом другого порядку/ спади швидкості в разі некіду навантаження. Тому їх не можна застосовувати в електроприводах, де швидкість потрібно регулювати в широкому діапазоні, особливо коли до них ставлять великі вимоги щодо підтримання швидкості обертання в усьому ціапазоні регулювання.

5.5.6. Вплив внутрішнього зворотного зв"язку за ЕРС двигуна на динаміку процесів у регуляторі швидкості

Усі розрахункові співвідношення для контуру регулювання струму, наведені попереду, було одержано без урахування внутрішнього зворотного зв"язку за ЕРС двигуна. Таке припущення дуже спрощує синтез регулятора струму, але справджується лише для загальмованого двигуна. Його було зроблено з огляду на те, що для багатьох електроприводів середньої та великої потужності з вибреним тут об'єктом регулювання характер зміни струму якоря двигуна в переходному режимі визначає, головним чином, характер зміни ЕРС тиристорного перетворювача, яка залежить від сталої інтегрування регулятора струму $\dot{E}_o = R_{g.c} \dot{I}_{g.c}$ [див. /5.84/] і мала залежить від ЕРС двигуна внаслідок значної інерційності контуру зворотного зв"язку за ЕРС завдяки великій електромеханічній сталій часу привода T_M .

Вплив зворотного зв"язку за ЕРС двигуна на динамічні властивості електропривода докладно розглянуто в [10; 34; 40]. У цих працях доведено, що, по-перше, контур струму, оптимізований за модульним критерієм, за керувальною дією є статичною системою, і його статична похибка

$$\Delta I = I_{g.c} - I_d = \frac{1}{1 + T_M / 2T_{mc}} I_{g.c};$$

по-друге, збільшується перерегулювання $I_g(t)$ під час відпрацюван-

ня стрибка задавання й зменшується запас стійкості за фазою. Проте на динаміку контуру струму, налаштованого на модульний оптимум, ці відхилення впливають не дуже, коли не враховувати впливу ЕРС двигуна. Виявлено також вплив ЕРС двигуна на динамічні процеси в контурі швидкості. Зокрема, з'ясовано, що у випадку налаштування контурів струму й швидкості за модульним критерієм зменшується перерегулювання швидкості $\omega(t)$, однак переходний процес стає тривалишим. У режимі відпрацьовування збурення за навантаженням ефект впливу ЕРС двигуна позитивний. Оскільки в разі збурення за навантаженням систему замкнено за швидкістю, то ЕРС не змінює заданої статичної точності системи. Але в переходному режимі демпфувальна ція ЕРС двигуна виявляється в зменшенні динамічного просідання й коливальності процесів відновлення швидкості обертання. Доведено, що єдине негативне явище, спричинене дією ЕРС двигуна, яке треба враховувати в реальних системах, полягає в зменшенні усталеного значення струму I_g порівняно із заданим у $T_H / (T_H + 2T_{MC})$ разів. Наслідком цього явища є відповідне зниження темпу зміни швидкості обертання привода $d\omega(t)/dt$ у порівнянні з розрахунковим. Однак треба зауважити, що таке явище виникає тільки тоді, коли прискорення приводу задають не за допомогою задавача інтенсивності, а сталим сигналом на вході регулятора струму, утвореним внаслідок обмеження вихідної напруги регулятора швидкості, тобто коли система працює в режимі регулювання струму, перебуваючи розімкненою за швидкістю.

Зовсім усунути вплив ЕРС на динамічні процеси в контурі струму можна, як неважко довести, коли застосувати регулятор струму з передавною функцією

$$R(p) = \frac{R_s (T_H T_e p^2 + T_H p + 1)}{2T_{MC} + T_H K_{PL} K_{STR} p^2} . \quad /5.124/$$

Реалізувати практично регулятор струму з астатизмом другого порядку /5.124/, що його звичайно називають Π^2 -регулятором, важко. Якщо $T_H / T_e < 4$, то чисельник /5.124/ має комплексно-спряженні корені. У цьому випадку Π^2 -регулятор реалізують за допомогою чотирьох підсилювачів: Π_1 , двох послідовно увімкнених Π_2 та Π_3 . Якщо $T_H / T_e > 4$, чисельник /5.124/ має дійсні корені, і Π^2 -регулятор можна скласти тільки з двох послідовно увімкнених Π_1 -підсилювачів. Проте в цьому разі відношення параметрів $2T_{MC} / T_H$ досить мале, і впливом ЕРС двигуна можна занехтувати.

Є й інші способи компенсації впливу ЕРС двигуна на динаміку привода [24].

5.6. Системи підпорядкованого регулювання швидкості із зворотним зв"язком за ЕРС

Системи регулювання швидкості із зворотним зв"язком за ЕРС двигуна застосовують для електроприводів з нерегульованим потоком збудження тоді, коли вимоги до швидкості й точності регулювання швидкості відносно невеликі.

Системи із зворотним зв"язком за ЕРС відрізняються від розглянутих систем підпорядкованого регулювання швидкості із зворотним зв"язком за швидкістю тим, що в них замість тахогенератора поставлено вузол вимірювання ЕРС.

Є кілька структур, де використовують зворотний зв"язок за ЕРС двигуна. На рис. 5.25 зображено принципову схему з плавачем ЕРС ДЕ, що являє собою операційний підсилювач з гальванічно відокремленими входом та виходом. ЕРС двигуна в цій схемі вимірюють, підсумовуючи на вході ДЕ два сигналі - пропорційний напрузі двигуна й пропорційний спадові напруги в активному опорові колі якоря двигуна /сигнал струмової компенсації/. Сигнал, пропорційний напрузі двигуна, знімається з подільника напруги R_{log} і подається на один із входів ДЕ через фільтр R_H , C_H , увімкнений у коло зворотного зв"язку за напругою контуру регулювання ЕРС. Цей фільтр з погляду динаміки являє собою аперіодичну ланку із сталою часу $T_a = R_H C_H / 4$. На другий вход ДЕ надходить сигнал струмової компенсації, знятий з шунта Ш, увімкненого в силове коло ТЛ-Д. Операційний підсилювач, що є основою ДЕ, має два виходи: для охоплення підсилювача зворотним зв"язком через умонтований опір $R_{g.e}$ і для зворотного зв"язку з регулятором ЕРС РЕ /гальванічно відокремлений від першого/. На вході РЕ поставлено фільтр - аперіодичну ланку із сталою часу $T_a = R_{g.e} C_{g.e} / 4$, призначенну для компенсації підвищеного перерегулювання струму в разі збурювальних дій за заданням, спричинених аперіодичною ланкою $K_H(1 + T_a P)$, розташованою в колі зворотного зв"язку контуру ЕРС /див. рис. 5.25/.

На рис. 5.26, а оптимізований за модульним критерієм контур струму зображене в згорненому вигляді - у вигляді аперіодичної ланки з коефіцієнтом підсилення $1/K_{STR}$ і сталою часу $T_{STR} = 2T_{mu}$. Його оптимізовано для випадку, коли внутрішнього зворотного зв"язку в двигуні немає. У цьому разі двигун являє собою послідовне з"єднання трьох типових динамічних ланок - аперіодичної, ідеально інтегрувальної й підсилювальної з передавними функціями відповідно $(1/R_x)$: $(1/T_{ep})$, $R_x / T_H P$ і K_{log} .

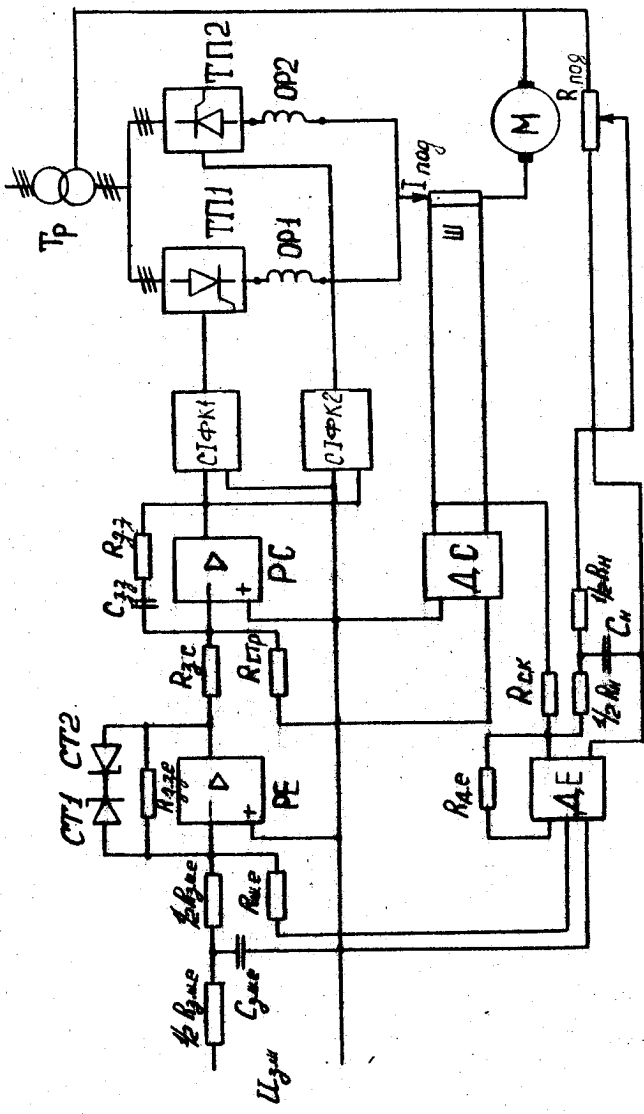


Рис. 5.25. Спрощена принципова схема системи підпорядкованого регулювання із зворотним зв'язком за ЕРС

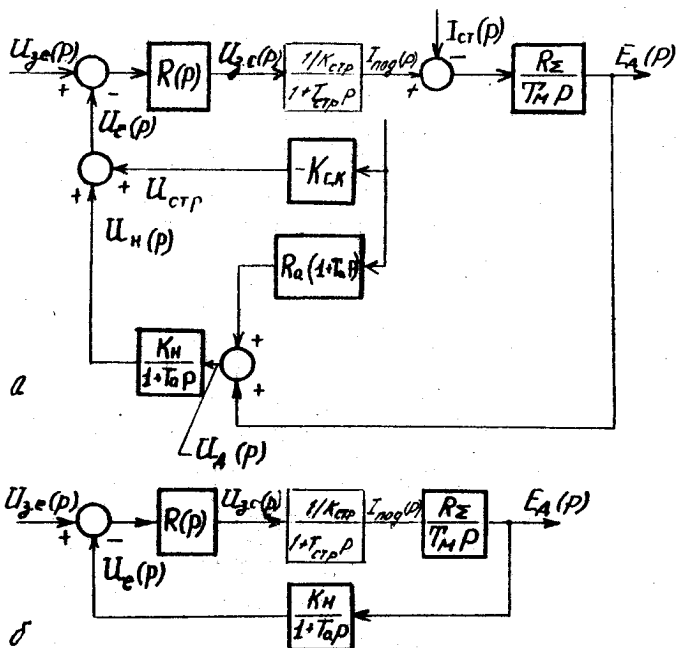


Рис. 5.26. Структурні схеми системи підпорядкованого регулювання із зворотним зв"язком за ЕРС:
а - початкова; б - перетворена

Структуру регулятора струму та його параметри, а також параметри кола зворотного зв"язку за струмом визначають як і для контуру струму системи регулювання швидкості із зворотним зв"язком за швидкістю /див. п. 5.5.1/.

Якщо коефіцієнт підсилення кола струмової компенсації

$$K_{CH} = K_H R_a, \quad 5.125/$$

де K_H - коефіцієнт підсилення кола зворотного зв"язку за напругою;
 R_a - активний опір якірного кола двигуна, то сигнал на виході вимірю-

$$U_e(t) = U_H(t) - U_{csp}(t) = \frac{K_H}{1 + T_a \cdot \rho} E_A(t). \quad 15.126/$$

Зауважимо, що на схемі рис. 5.26,а і у виразі 15.126/ знак струмової компенсації відповідає зворотному режимові. Якщо умова 15.123/ виконується, то схему на рис. 5.26,а можна перетворити в схему на рис. 5.26,б.

Звичайно контур ЕРС оптимізують за модульним критерієм. Унаслідок синтезу, виконаного аналогічно синтезові контуру швидкості в системі підпорядкованого регулювання швидкості із зворотним зв'язком за швидкістю (див. п. 5.5.2/), діствамо передавну функцію замкненого контуру у вигляді

$$\Phi(\rho) = \frac{E_A(\rho)}{E_{d,e}(\rho)} = \frac{1}{1 + 2T_{me} \rho + 2T_{me}^2 \rho^2}, \quad 15.127/$$

де $E_{d,e} = U_{d,e}/K_H$ – зація ЕРС двигуна; $T_{me} = T_a + T_{csp} = T_a + 2T_{me}$ – мала некомпенсованна стала часу контуру ЕРС.

Таким чином, система із зворотним зв'язком за ЕРС двигуна є астатичною за заціюальному цілю $U_{d,e}$ і статичною за збуренням M_{op} , прикладеним на вході інтегратора.

Вираз 15.127/ за своєю структурою повністю збігається з аналогічним виразом для передавної функції одноразово інтегрувальної системи із зворотним зв'язком за швидкістю, розглянутої попереду. Проте

T_{me} системи із зворотним зв'язком за ЕРС більше ніж величину T_a поряд з системою із зворотним зв'язком за швидкістю. Тому властивості системи із зворотним зв'язком за ЕРС за інших однакових умов гірші, ніж системи із зворотним зв'язком за швидкістю. Це виявляється в зниженні швидкодії системи, оскільки частота зрізу ЛАЧХ зменшується, а також у збільшенні статичної похибки системи $\Delta\omega = I_{pol} R_s 2T_{me} \times K_{pol} / T_a$.

Отже, динамічні й статичні властивості системи із зворотним зв'язком за ЕРС – то більше наближатимуться до властивостей системи із зворотним зв'язком за швидкістю, що менша величина T_a . З цієї причини сигнал зворотного зв'язку за напругою бажано знімати з тієї ділянки якірного кола, в якої електромагнітна стала часу T_a менша. Звичайно цей сигнал знімають із затискачів якоря, щоб усунути індуктивність обшинування та індуктивність згладжувальних проселів. У двигунах з компенсаційними обмотками сигнал зворотного зв'язку іноді до-

цільно знімати безпосередньо із затискачів якоря, проминуши обмотку додаткових полюсів і компенсаційну обмотку.

Розділ 6. СИСТЕМИ РЕГУЛЮВАННЯ ЕЛЕКТРОПРИВОДІВ З ДВИГУНАМИ ЗМІННОГО СТРУМУ

У цьому розділі розглянуто регулятори швидкості тільки з трифазними асинхронними двигунами, що їх нині найчастіше застосовують у промисловості.

6.1. Системи регулювання кутової швидкості з тиристорними регуляторами напруги

Замкнений регулятор швидкості з трифазним асинхронним двигуном /АД/, крім трифазного АД M з фазним чи короткозамкненим ротором, містить тиристорний регулятор напруги /ТРН/, систему імпульсно-фазового керування /СІФК/, підсилювач постійного струму /ПСС/, тахогенератор /ТГ/, з'язаний з валом двигуна та робочим механізмом /РМ/, і RC -фільтр на вході ТГ /рис. 6.1/. ТРН складається з тиристорів $T_1 - T_6$, увімкнених по два в коло кожної фази за зустрічно-паралельною схемою, а також тиристорів $T_7 - T_{10}$. Вихідну напругу ТРН, а отже, і напругу, підведену до фаз АД, регулюють так само, як і для ТП постійного струму на підставі природної комутації тиристорів за рахунок запізнювання їх відкривання для кожної півхвилі фазної напруги мережі. Тиристори T_1, \dots, T_6 у схемі на рис. 6.1 занумеровано відповідно до черговості їх відкривання, починаючи від фази А. Змінюючи Ухн^i кут керування, можна впливати на амплітуду напруги, підводжуваної до фаз АД, і, отже, регулювати швидкість обертання двигуна. Тиристори $T_7 - T_{10}$ призначено для зміни напряму обертання магнітного поля /наступності проходження фаз/ і, отже, для реверсу АД, СІФК, так само, як і в системах керування з двигунами постійного струму, звичайно будуть за вертикальним принципом. Вона формує керувальні імпульси, тривалістю не менш як 60° /це необхідно для нормального відкривання тиристорів у двох півперіодах/, які надходять на керувальні електроodi тиристорів. Кут керування α залежить від величини керувального сигналу U_{ker} /див. рис. 6.1/. Коли $U_{ker} = U_{ker\max}$, по фаз АД надходить повна фазна напруга мережі; коли $U_{ker} < U_{ker\max}, \alpha > 0$ і перша гармоніка фазної напруги, одержана внаслідок розвинення несисимусоїдної фазної напруги /непарної функції/ в ряд Фур'є, зменшується;

коли $U_{\text{хор}} = 0$, $\alpha = \alpha_{\max} / \approx 170^\circ$, перша гармоніка фазної напруги і швидкість двигуна дорівнюють нулеві. У СІФК є логічний пристрій, який дає змогу робити динамічне гальмування АД та його реверс. У першому випадку по обмотках статора пропускають випрямлений струм, наприклад, відкриваючи T_1 та T_4 й закриваючи решту тиристорів. У цьому разі блок логіки відокремлює режими стабілізації кутової швидкості, коли працюють T_1 - T_6 , і динамічного гальмування, коли увімкнено тільки тиристори T_1 та T_4 . Коли знак керувального сигналу змінюється, тобто коли $U_{\text{хор}} < 0$, відбувається реверс двигуна. У цьому разі блок логіки СІФК закриває тиристори T_1 , T_2 та T_3 , T_6 і відкриває тиристори T_7 , T_8 і T_9 , T_{10} . Наступність проходження фаз /фаз А та В на рис. 6.1/ перемікається, коли фазні струми дорівнюють нулю. Вимірювання фазні струми діячами нульового струму /на рис. 6.1 не зображене/.

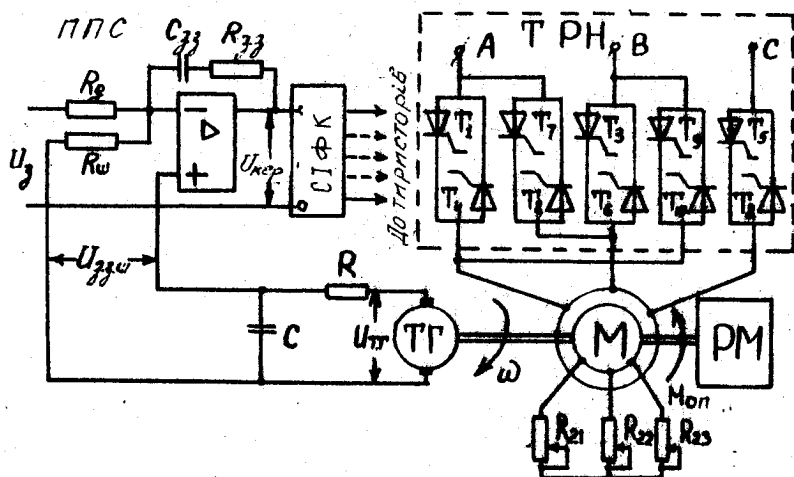


Рис. 6.1. Спрощена принципова схема регулятора швидкості з тиристорним регулятором напруги

Підсилювач постійного струму виконує функцію алгебричного підсумовування задавального сигналу U_3 та сигналу від "ємного зворотного зв'язку" $U_{3,z,u}$, знятого з тахогенератора ТГ, і функцію коригувального пристроя. На ППС, зображеному на рис. 6.1, складено інтегрально-про-

порційний регулятор з передавною функцією $R(p) = U_{\text{кер}}(p)/U_e(p) = (1 + \varepsilon_R p)/\varepsilon_0 p$, де $U_e(p) = U_3(p) - U_{3,3} \cdot \omega(p)$, $\varepsilon_R = R_3 C_3$; $\varepsilon_0 = R_3 C_3 \omega$, RC -фільтр у колі зворотного зв'язку з передавною функцією $1/(1 + T_\varphi p)$, де $T_\varphi = RC$, призначений для згладжування колекторних пульсацій ТГ постійного струму, що необхідно для нормальної роботи ПС. Структурну схему регулятора швидкості з ТРН зображенено на рис. 6.2. Під час складання цієї схеми пристрій, що містить ТРН та СІФК, зображене аперіодичною ланкою із сталою часу ε /середньостатистичне запізнення/ і коефіцієнтом підсилення $K_{T,\text{ра}}$, а двигун – передавною функцією /3.79/, одержаною в розд. 3, коли складали рівняння динаміки трифазного АД та їх лінеаризували.

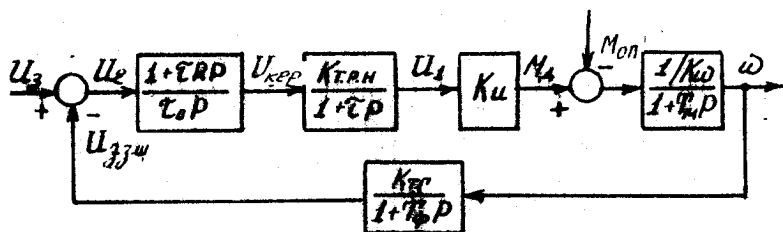


Рис. 6.2. Структурна схема лінеаризованої в точці $S = S_H$ системи регулювання швидкості трифазного АД з ТРН

Параметри регулятора швидкості синтезують так само, як і у випадку систем підпорядкованого регулювання з двигунами постійного струму. Зокрема, коли $\varepsilon_R = T_H$ і $K_{\text{пос}} = R_{3,3}/R_3 = \frac{k_\omega \varepsilon_0}{2T_H K_{T,\text{ра}} K_{T,\text{ра}} K_d}$, то

в цьому разі дістанемо замкнену систему регулювання швидкості, яка відповідає модульному критерієві оптимізації з передавною функцією

$$\phi(p) = \frac{\omega(p)}{U_3(p)} = \frac{1/K_{T,r}}{2T_{\mu}^2 p^2 + 2T_{\mu} p + 1},$$

де $K_{T,r} = U_{3,3} \cdot \omega / \omega$ – коефіцієнт підсилення тахогенератора; $T_\mu = \varepsilon + T_\varphi$.

Остаточно параметри регулятора з метою компенсації впливу електромагнітних перехідних процесів визначають, експериментально побираючи величини $K_{\text{пос}}$ та ε_R .

На рис. 6.3 зображене механічні характеристики замкненої системи регулювання швидкості з ТРН і трифазним асинхронним двигуном з фаз-

ним ротором /у фази ротора увімкнено резистори R_{21} , R_{22} , R_{23} / . На цьому рисунку пунктиром зображені механічні характеристики розімкненої системи для різних кутів керування α , а суцільними лініями – механічні характеристики замкненої системи для різних значень здавального сигналу U_3 .

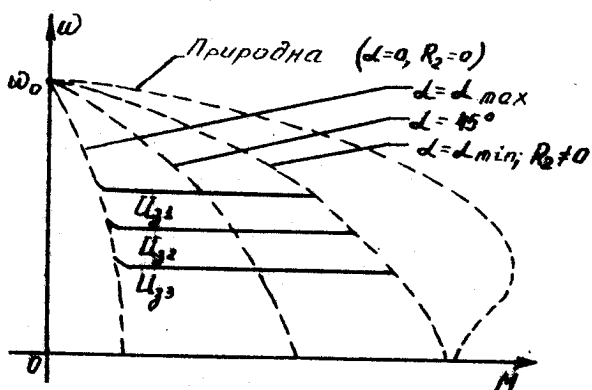


Рис. 6.3. Механічні характеристики замкненої системи регульовання швидкості трифазного АД з ТРН

Діапазон регульовання регуляторів швидкості з АД з коротковзамкненим ротором становить приблизно 10:1. Але для АД з фазним ротором його можна розширити не менш як у 2 рази завдяки штучному поєднанню механічних характеристик увімкненням у роторне коло резисторів R_2 /див. рис. 6.1/. Небагая вада регуляторів швидкості з ТРН полягає в неекономічності, поєднаній із втратами від найвищих гармонійних складових напруги U , та струму I . Тому такі регулятори промисловості випускають на невеликі потужності для, головним чином, короткочасного режиму роботи. До вад даної системи належить також і те, що у випадку перевантаження електропривода неможливо обмежити регульовані координати /момент, струм статора/. Кращі динамічні властивості мають регулятори швидкості з ТРН, побудовані за принципом підпорядкованого регульовання з кількома контурами. Як приклад розглянемо двоконтурну систему підпорядкованого регульовання швидкості з трифазним АД, яку, крім

зовнішнього контуру швидкості, виготовлено аналогічно розглянутої по-переду одноконтурної системи /див. рис. 6.1/, містить підпорядкований контур струму /рис. 6.4 і 6.5/. Регульовним параметром контуру струму є струм статорної обмотки АД I_s . Струм I_s , у фазах статора вимірює трансформатор струму /TC/, а потім випрямляє В; виготовлений за трифазовою мостовою схемою, перетворює в постійну напругу. Пульсації випрямленої напруги згладжує фільтр із сталою часу $T_{\phi_1} = R_s C_s$. Навантаженням випрямляча є резистор R_n . Спад напруги $U_{g,3..n}$ на резисторі R_n знимається й подається у вигляді від'ємного зворотного зв'язку на РС, за який використано ПІС. Коло зворотного зв'язку за струмом налаштують так: коефіцієнт трансформації ТС вибирають такий, щоб за номінального струму статора I_m по колу навантаження з опором R_n проходив струм 1 А. Добираючи відповідну величину опору R_n , одержують потрібне значення $U_{g,3..c}$. Коефіцієнт підсилення кола зворотного зв'язку за струмом $K_{STR} = U_{g,3..c} / I_m$ [В/А]. У структурній схемі пристрій ТРН разом із СІФК зображене цвома аперіодичними ланками з коефіцієнтом підсилення K_{TRN} і сталими часами: середньостатичним запізнюванням τ та електромагнітною сталаю часу асинхронного двигуна [21]

$T_p = 1 / (\omega_{0..m..n} S_k) = 1 / 2 \pi f, S_k$. Звичайно критичне ковзання S_k лежить у межах 0,05...0,5. Тому для трифазних АД $T_p = 0,06...0,006$ с. Динамічна ланка на схемі рис. 6.4 з коефіцієнтом підсилення $K_x = (\frac{\partial M}{\partial I_s})_0$ враховує передавні властивості двигуна в каналі передавання дії "струм статора двигуна I_s - момент M ". Аби обчислити коефіцієнт підсилення K_{STR} , наближено припускаємо, що приріст струму статора ΔI_s спричиняє зміну моменту АД, пропорційну активній складовій ΔI_s , тобто

$$K_x = \Delta I_s \cdot \cos \varphi_0,$$

де $\cos \varphi_0$ - коефіцієнт потужності АД у точці лінеаризації.

Параметри регуляторів струму й швидкості синтезують так само, як і системи підпорядкованого регульовання з двигунами постійного струму.

Розглянуту систему регульовання швидкості АД від перевантажень захищають, обмежуючи /наприклад, за допомогою стабілітронів/ вихідний сигнал регулятора швидкості $U_{g..c}$.

Зазначимо, що аналогічним способом контур струму можна виконати за роторним колом АД. Регульовним параметром у цьому разі буде струм ротора I_r .

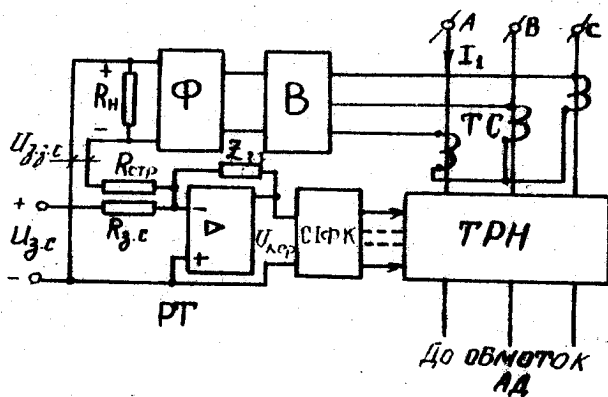


Рис. 6.4. Функціональна схема контуру струму двоконтурної системи регулювання швидкості АД з ТРН

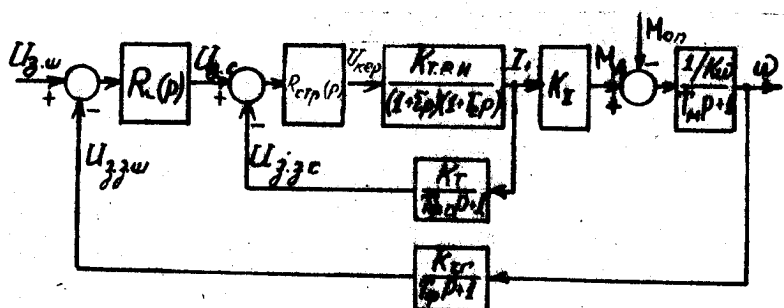


Рис. 6.5. Структурна схема двоконтурної системи підпорядкованого регулювання швидкості АД з ТРН

6.2. Регулятори швидкості
з частотним регулюванням швидкості
асинхронних двигунів з короткозамкненим ротором

Нині широко застосовують регулятори швидкості з частотним регулюванням кутової швидкості АД. Зумовили це кілька їх переваг, зокрема широкий діапазон регулювання швидкості, плавність регулювання та економічність. Принцип частотного регулювання полягає в тому, що, змінюючи частоту напруги U_1 , яка живить статор АД, можна відповідно до формули $\omega_0 = 2\pi f_1 / \rho$ змінювати його синхронну швидкість ω_0 і одержувати завдяки цьому штучні механічні характеристики. Під час регулювання частоти f_1 постає також потреба регулювати напругу U_1 . Справді, ЕРС обмотки статора АД пропорційна частоті і потоку:

$$E_1 = 4,44 f_1 W, K_{05}, \Phi = K_f f_1 \Phi, \quad 16.1/$$

де W – кількість витків однієї фази статора; K_{05} – обмотковий коефіцієнт обмотки статора; $K = 4,44 W, K_{05}$ – стала.

Нехтуючи спадом напруги на опорах обмотки статора, дістаемо

$$U_1 \approx E_1 = K_f f_1 \Phi. \quad 16.2/$$

Із 16.2/ випливає, що за незмінної напруги U_1 регулюванням частоти можна змінити магнітний потік Φ двигуна. Зокрема, зменшення f_1 спричиняє зростання потоку і як наслідок – насичення двигуна й збільшення струму намагнічування, внаслідок чого погіршується енергетичні показники двигуна, а іноді він навіть неприпустимо нагрівається.

Збільшення f_1 спричиняє зниження потоку двигуна, що за сталого момента навантаження на валі згідно з виразом $M = K \Phi I_2 \cos \psi$ призводить до зростання струму ротора, тобто до перевантаження його обмоток. З цим також пов'язане зниження максимального моменту і перевантажної здатності двигуна. Отже, для кращого використання АД й одержання високих енергетичних показників його роботи одночасно із зміною частоти f_1 напруги U_1 , яка живить статор, треба змінювати й значення цієї напруги за законом, що залежить від характеру момента навантаження. Доведено, що за сталого момента навантаження $M_0 = \text{const}$ напруга на статорі U_1 має змінюватися пропорційно U_1 частоті f_1 , тобто

$$U_1 / f_1 = \text{const}, \quad 16.3/$$

а коли момент навантаження обернено пропорційний швидкості, то потрібно, щоб

$$\frac{U_1}{\sqrt{f_1}} = \text{const} \quad /6.4/$$

На рис. 6.6 зображені теоретичні /коли $R_s = 0$ / механічні характеристики АД у випадку виконання співвідношення /6.3/. Для частот, нижчих за номінальну ($f_{1i} < f_{1N}$), критичний момент АД ставлій, що забезпечує незмінну перевантажну здатність двигуна. Пунктиром накреслено практичні /коли $R_s \neq 0$ / механічні характеристики, які за малих частот мають спадний критичний момент. За частот, вищих від номінальної ($f_{1i} > f_{1N}$), коли відповідно до технічних умов U_1 , не може перевищувати U_{1N} , критичний момент АД зменшується.

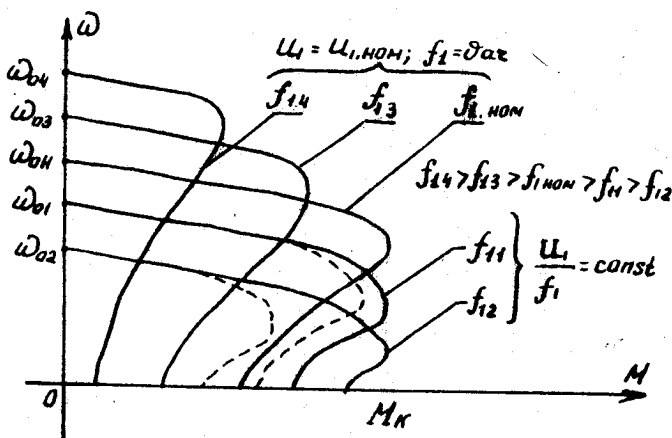


Рис. 6.6. Механічні характеристики регулятора швидкості трифазного АД у випадку частотного регулювання координат

На рис. 6.7 зображені спрощену функціональну схему регулятора швидкості з регулюванням швидкості АД, яке відповідає рівнянню /6.8/. Силова частина схеми складається з асинхронного двигуна з короткозамкненим ротором, керованого витримляча /КВ/, що електричну енергію змінного струму стандартної напруги U_1 , і частоти f_1 перетворює в напругу постійного струму U_o ; автономного інвертора напруги /АІ/, який

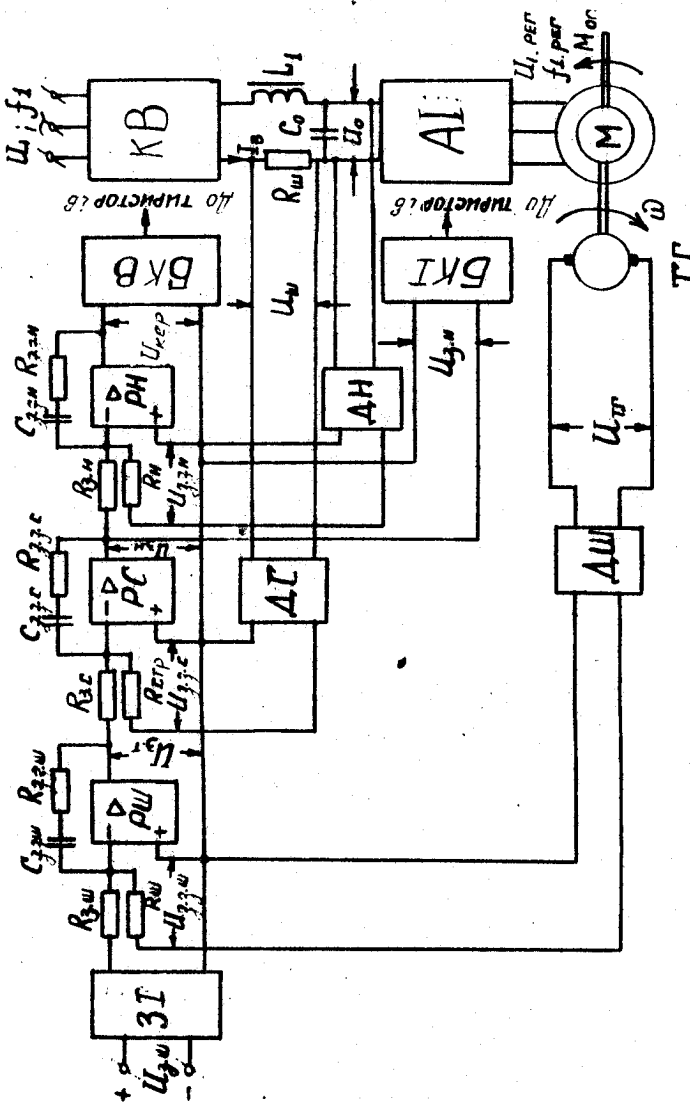


Рис. 6.7. Функціональна схема триконтурної системи регульовання швидкості і гумацьного АД у вимірюванні частотного регульовання координат

напругу U_o перетворює на енергію змінного струму з регульовною змінною напругою U_{per} , амплітуда якої пропорційна /або дорівнює/ U_o , й регульовою частотою f_{per} , і ланки постійного струму, виготовленої у вигляді фільтра L, C_o , для згладжування пульсацій напруги на виході випрямляча. Пристрій, який складається з КЕ, фільтра L, C_o , та АІ, звичайно називають тиристорним перетворювачем частоти /ТПЧ/ з ланкою постійного струму. Систему побудовано за принципом підпорядкованого регулювання, і вона містить три контури регулювання - напруги /КРН/, струму /КРС/ і швидкості /КРШ/. Блоки керування випрямлячем /БКВ/ та інвертором /БКІ/ формують керувальні імпульси для тиристорів перетворювача частоти. Аби реалізувати закон регулювання $U_o/f_s = const$, перетворювачем частоти керують так, що один і той самий керувальний сигнал /напруга $U_{3,n}$ / з виходу регулятора струму /РС/ надходить одночасно на два паралельних входи - КРН, за допомогою якого регулюють напругу U_o , та БКІ і далі на АІ, за допомогою якого на статорі АД змінюють частоту f_s й амплітуду змінної напруги U_s , пропорційної U_o . Контур КРН містить КВ, давач /ДН/ і регулятор /РН/ напруги. Завдяки тому, що контур налаштовано на високу швидкість, підтримують задане співвідношення між частотою f_{per} та напругою U_{per} на статорі АД як в усталеному, так і в переходному режимі.

Другий, внутрішній, контур КРС містить оптимізований КРН, АІ з каналами регулювання амплітуди та частоти напруги на статорі АД, ДС і РС. Цей контур допомагає захистити перетворювач частоти від перевантажень.

КРШ - це зовнішній контур з від'ємним зворотним зв'язком за швидкістю через ТГ і давач швидкості /ДШ/.

В усталеному режимі роботи регулятора швидкості потрібне значення швидкості звичайно задають за допомогою задавача інтенсивності /ЗІ/. Із зростанням моменту навантаження M_{npl} напруга $U_{3,n}$ на виході регулятора струму збільшується, бо зменшується кутова швидкість АД. З підвищенням навантаження збільшується також спад напруги U_s на шунті R_u , що спричиняє зменшення $U_{3,n}$. Однак переважний вплив на напругу $U_{3,n}$ справляє контур швидкості. У новому усталеному режимі із зрослим струмом I_d /який відповідає зрослу моментові M_{npl} / напруга $U_{3,n}$ перевищуємо те значення, котре вона мала до збільшення навантаження. Із зростанням $U_{3,n}$ пропорційно зростає амплітуда U_s та частота f_s напруги, підволожуваної до обмоток статора АД. Коли вихідна напруга РШ досягне рівня обмеження, що відповідає заданому струмовій перевантаженню КЕ, КРШ розімкнеться, й система перейде в режим

підтримування сталого значення I_3 , обмежуючи перевантаження електропривода.

У розглядуваному регуляторі швидкості в усьому цівапоні швидкостей та навантажень АД виконується співвідношення $\frac{U_3}{f_3} = \text{const}$. Тому і в режимі стабілізації кутової швидкості АД, і в режимі обмеження навантаження двигун працює із сталим потоком.

У схемі на рис. 6.7 вжито інтегрально-пропорційні РШ, РС і РН. Під час складання структурної схеми системи Й розрахунку параметрів регуляторів КВ з блоком БКВ і автономний інвертор з блоком БКІ звичайно апроксимують неперервними підсилювальними безінерційними ланками з відповідними коефіцієнтами підсилення.

Рівняння динаміки та структурну схему трифазного АД разом з ТПЧ з ланкою постійного струму одержано в [6; 21] і в цьому посібнику їх не наведено.

Широкі перспективи розвитку й удосконалення електроприводів з частотним керуванням відкриває застосування так званого частотно-струмового керування АД. Щоб Його реалізувати, в схемі ТПЧ замість автономного інвертора напруги /АІН/ використовують автономний інвертор струму /АІС/, який формує змінний струм регульованої амплітуди й частоти, підведений до фаз АД. АІС технічно реалізувати простіше, ніж АІН. Крім того, в ТПЧ з АІС можна рекуперувати енергію в мережу, а це дуже важливо в електроприводах, які працюють у повторно-коротковчасних режимах.

Функціональну схему двоконтурного регулятора швидкості з КРШ та КРС зображенено на рис. 6.8. Кожен контур містить не тільки об'єкт керування, а й відповідний джевач та регулятор. КВ разом з КРС утворюють джерело струму. Швидкість АД керують, задаючи струм статора I_1 , та частоту $f_{a.c.s}$ АІС. Задання на частоту $f_{a.c.s}$, в отже, і на величину регульованої швидкості двигуна ω надходить від задавача інтенсивності /ЗІ/ у вигляді напруги $U_{3.w}$, а на струм статора I_1 - за допомогою напруги $U_{3.o}$, знятого з функціонального перетворювача /ФП/. Струм статора I_1 , зв'язаний з навантаженням двигуна. Цей зв'язок, що Його звичайно подають через абсолютне ковзання $S_2 = f_2 / f_{m} = \alpha S_1$, де $\alpha = f_2 / f_m$, є не лінійний /див. рис. 6.8, під блоком ФП/. Блок ФП, який реалізує залежність $I_1 = F(S_2)$, потрібний для того, аби потік двигуна $\Phi = \Psi(I_1, S_2)$ у разі зміни навантаження двигуна в процесі роботи системи лишався сталим. Технічно ФП реалізують за допомогою операційних підсилювачів, апроксимуючи функцію $I_1 = F(S_2)$ відрізками прямих ліній.

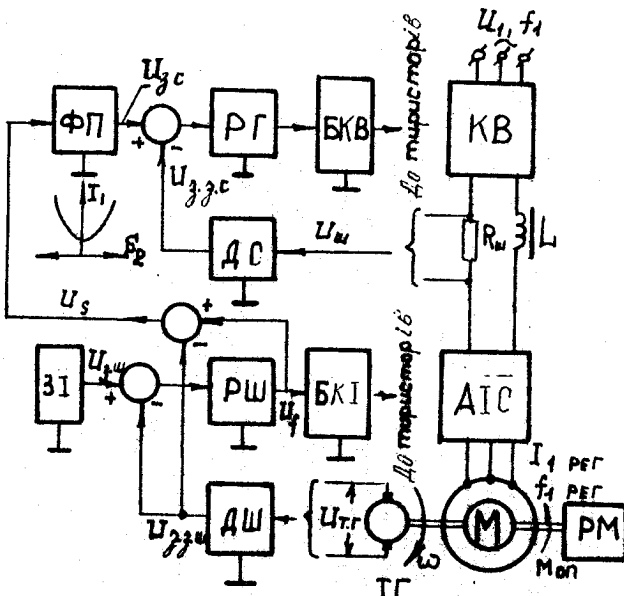


Рис. 6.8. Функціональна схема регулятора швидкості з частотно-струмовим керуванням швидкостю трифазного АД

Вихідним сигналом блока ФП є напруга $U_{3,c}$, а вхідним – напруга U_S , пропорційна абсолютному ковзанню S_2 . Справді, $U_S = U_F - U_{3,3,w}$ /див. рис. 6.8/, де U_F і $U_{3,3,w}$ – напруги, пропорційні відповідно частоті напруги статора f_1 коли АІС має лінійну регулювальну характеристику/ і частоті обертання ротора f_2 . Оскільки сигнал завдання на струм статора, а отже, і на момент, пропорційний абсолютному ковзанню S_2 , то розглянутий спосіб керування іноді називають керуванням за абсолютною ковзанням. У розглядуваному регуляторі швидкості є два взаємозв'язаних контури – струму й швидкості. Під час роботи системи контур струму підтримує сталим магнітний потік двигуна Φ , а контур швидкості забезпечує необхідну твердість механічних характеристик і, отже, необхідну /задану/ точність підтримання швидкості ω у випадку зміни навантаження двигуна.

6.3. Регулятори швидкості
з частотним регулюванням швидкості
асинхронними двигунами з фазним ротором

Необхідною вадою всіх розглянутих способів регулювання швидкості АД, коли $\omega_0 = \text{const}$, є зростання втрат у роторному колі із зниженням швидкості пропорційно ковзанню. Цю ваду в електроприводах з АД з фазним ротором можна усунути.

Асинхронно-вентильний каскад /АВК/ дає змогу регулювати кутову швидкість обертання АД і, крім того, використовувати втрати енергії ковзання для виконання корисної роботи /рис. 6.9/. У роторному колі

двигуна поставлено некерований випрямляч В, складений за трифазною мостовою схемою, залежний керований інвертор І і просель Δ_P . За допомогою В перетворють змінну напругу роторного кола в постійну, а за допомогою І в коло ротора введено додаткову ЕРС E'_r , направлену зустрічно до випрямленої ЕРС E_r . Проселем Δ_P згладжують пульсації випрямленого струму. Для узгодження напруги мереж та інвертора використано трансформатор T_P .

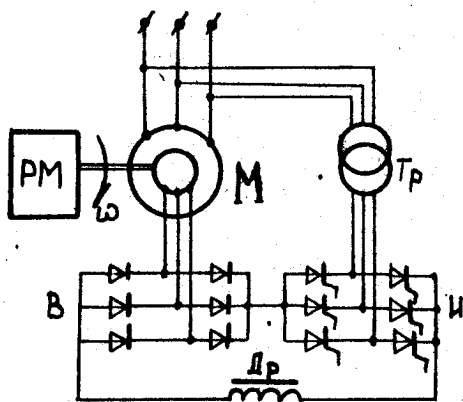


Рис. 6.9. Принципова схема асинхронно-вентильного каскаду

цийній магнітному потокові Φ і активній складовій струму ротора $I_2 \cos \varphi_2$, тобто

$$M_A = C\Phi I_2 \cos \varphi_2, \quad 16.5/$$

де C - стала.

Ураховуючи, що номінальне ковзання $S_n \ll 1$, а також зв'язок між випрямленим I_r та діючим I_2 значеннями струму ротора /для трифазної мостової схеми $I_2/I_r = 0,817/$, вираз /16.5/ перепишемо так:

$$M_d \approx C_1 \Phi I_B,$$

16.6/

де $C_1 = 0,817 \text{ c.}$

Випрямлений струм ротора без урахування спаду напруги у випрямлячі, інверторі та проселі, а також реактивного опору розсіювання АД

$$I_B = (E_B - E_i) R_\Sigma, \quad 16.7/$$

де R_Σ - сумарний активний опір кола випрямленого струму; $E_B = E_{B0} S$ - випрямлена ЕРС; E_{B0} - середнє значення випрямленої ЕРС, коли $S = 1$ і $I_B = 0$; $E_i = E_{max} \sin \alpha$ - ЕРС інвертора; α - кут керування;

E_{max} - максимальна ЕРС, яка може бути теоретично, коли $\alpha = 180^\circ$ [коли каскад працює, то α лежить у межах 90° - 150° , а тому в режимі безперервного струму ЕРС інвертора E_i від'ємна, що і відбиває формулу /6.7/].

У режимі сліпого ходу момент на валі двигуна і струм ротора дорівнюють нулеві. Тому потрібно взаємно збалансувати ЕРС E_B та E_i , тобто

$$E_{B0} \cdot S = E_{max} \sin \alpha$$

або

$$S = (E_{max} / E_{B0}) \sin \alpha = K_T \sin \alpha, \quad 16.8/$$

де K_T - коефіцієнт трансформації АД.

Із /6.8/ випливає, що, змінюючи кут керування α , коли $K_T = 1$, можна регульовати швидкість сліпого ходу двигуна майже від нуля до номінального значення. Коли двигун навантажено, а кут керування сталий,

$K_T < 1$, до того ж що більше навантаження, то менший K_T , то більша E_B порівняно з E_i і та більші струми I_B та I_2 , а це може бути тільки тоді, коли швидкість двигуна ω за нових зростаючих рівностей

M_d і M_g знижується /збільшується відносна швидкість перетинання витків обмотки якоря магнітним полем; зростає ЕРС E_2 , струм I_2 і момент M_g . Теоретично механічні характеристики АБК мають такий самий вигляд, що й для двигуна постійного струму з незалежним збудженням і керуванням за колом обмотки якоря, коли потік Φ сталий. Насправді ж механічні характеристики в розімкненій системі АБК мають вигляд, зображеній на рис. 6.10.

Таким чином, для стабілізації кутової швидкості двигуна із зміною навантаження на його валі треба змінювати кут керування α . Наприклад, коли двигун в усталеному режимі при $M_g / M_{g,n} = 0,5$, $\alpha = 120^\circ$

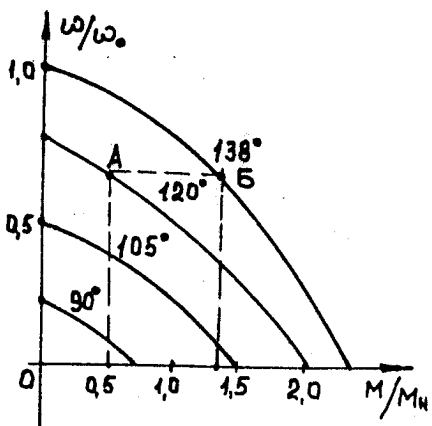


Рис. 6.10. Механічні характеристики асинхронного двигуна в розімкній системі регулювання АВК

ній системі підпорядкованого регулювання швидкості двигуна постійного струму з незалежним збудженням.

Динамічні властивості лінеаризованого АД у випадку його використання в АВК [6] досить добре узгоджуються з властивостями двигуна постійного струму, структурну схему якого зображено на рис. 3.3 /див. розд. 3/, коли в ній електромагнітну сталу часу $T_\theta = L_\Sigma / R_\Sigma$ замінити сталою часу роторного кола в точці лінеаризації /індекс "пoч"/ $T_{р.к.пoч} = L_{р.к.пoч} / R_{р.к.пoч}$,⁸ коефіцієнт підсилення k_g - коефіцієнтом підсилення асинхронного двигуна C_g у схемі АВК: $C_g = C_{g2} / \omega_N$, де $C_{g2} = K_{ox} E_{2N} S$ - ЕРС ротора, зведені до кола постійного струму; K_{ox} - коефіцієнт схеми випрямлення; $\omega_N = 2\pi f$ - кутова частота напруги статора, рад/с; f - частота напруги статора, Гц. Вхідним сигналом у структурній схемі АД на рис. 6.12 є ЕРС інвертора E_i , а вихідним - кутова швидкість ω . Зауважимо, що схема двигуна на рис. 6.12, коли $T_{р.к.пoч} = 0$, за своєю структурою аналогічна структурній схемі АД на рис. 3.13,а. Інвертор разом з БМВ на структурній схемі рис. 6.12 апроксимовано неперервном вперіодичном ланкою з коефіцієнтом підсилення k_i й сталою часу T_i .

i - $S = S_r$ /точка A на рис. 6.10/ навантажити до значення $M_g / M_{g,N} = 1,3$, то треба збільшити α до значення 138° /точка B на рис. 6.10/. У замкнених регуляторах швидкості з АВК кут керування α залежно від зміни навантаження на валі двигуна змінюється автоматично.

Спрощену функціональну схему замкненої системи регулювання швидкості АД з використанням АВК зображене на рис. 6.11, а структурну схему - на рис. 6.12. Система двоконтурна із зовнішнім контуром швидкості і внутрішнім підпорядкованим контуром струму. За своєю структурою вона зовсім аналогічна двоконтур-

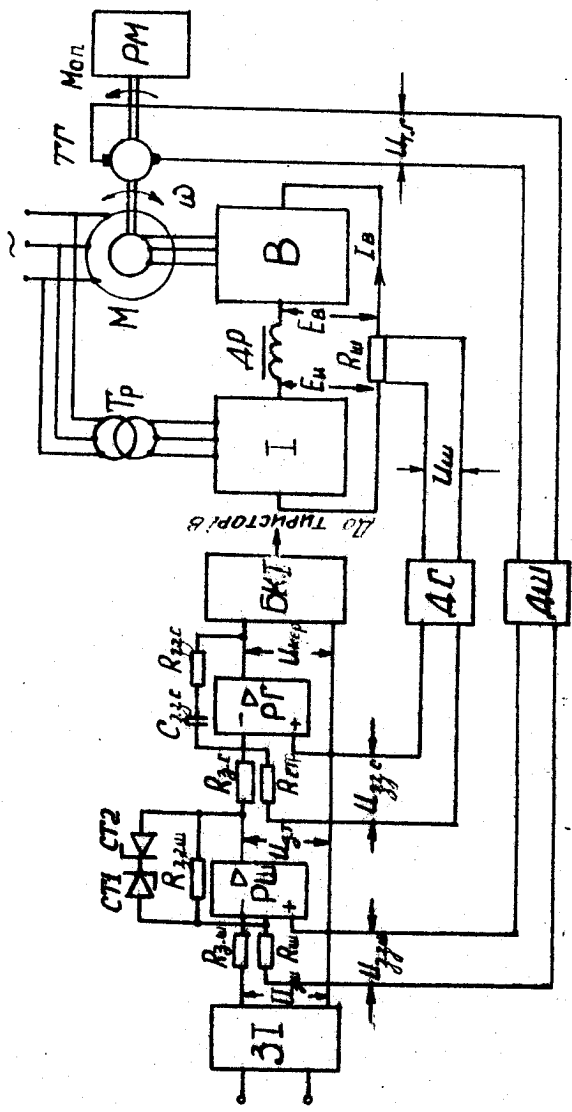


Рис. 6.11. Функціональна схема регулятора швидкості з введенням додаткової НРС у роторне коло

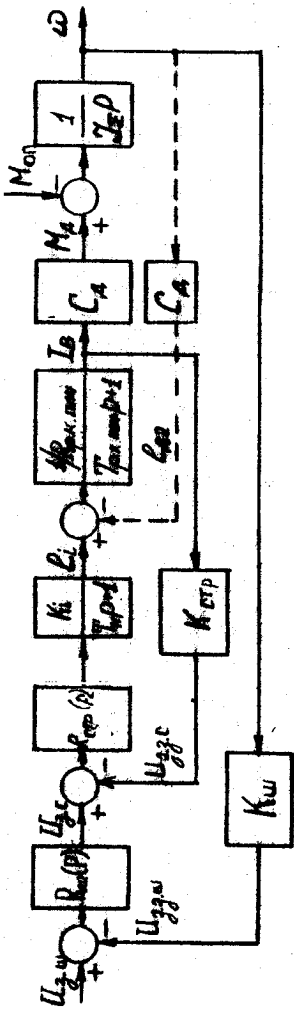


Рис. 6.12. Структурна схема регулятора швидкості з введенням по поткової ЕРС у коло ротора

Регулятори струму й швидкості синтезують так само, як і системи підпорядкованого регулювання електроприводів постійного струму. Оптимізують контури, не ураховуючи зворотного зв'язку за ЕРС двигуна /на рис. 6.12 цей зв'язок зображене пунктиром/. Контур струму звичайно оптимізують згідно з модульним критерієм. Об'єктом регулювання в контурі струму є інвертор і частина АД, що їх характеризує аперіодична ланка з коефіцієнтом підсилення $1/R_{\text{р.к.пос}}^*$ і сталою часу $T_{\text{р.к.пос}} = T_i$. Мала некомпенсувана стала часу контуру струму $T_{\text{м.ш.пос}} = 2T_{\text{р.к.пос}}$.

Контур швидкості оптимізують або за модульним, або за симетричним критеріями. У першому випадку внаслідок синтезу дістають пропорційний регулятор, а в другому - інтегрально-пропорційний. Об'єктом регулювання в контурі швидкості є оптимізований контур струму й механічна частина АД з передавною функцією $C_g / J_{\text{ср}}$. Мала некомпенсувана стала часу контуру швидкості $T_{\text{м.ш.пос}} = 2T_{\text{р.к.пос}}$.

У [6] доведено, що коли $T_{\text{р.к.пос}}$ сумірна з $T_{\text{м.ш.пос}}$ і контур налаштовано за модульним критерієм, то динамічні характеристики контуру дуже змінюються. Щоб цього уникнути, треба одночасно змінювати опори

$R_{\text{з.с.}}^*, R_{\text{ст.р.}}^*, R_{\text{д.р.}}^*$ регулятора струму пропорційно ковзанню двигуна. Роблять це, вводячи в систему кола самоналадження.

Розглянутий регулятор швидкості з АВК дає змогу регулювати кутову швидкість АД у бік зменшення порівняно з синхронною в діапазоні не більш як два. Інші схеми АВК, за допомогою яких регулюють швидкість АД у бік як зменшення синхронної, так і її збільшення, але вони складніші й дорожчі. Варто зауважити, що розглянутий спосіб регулювання швидкості АД шляхом введення додаткової ЕРС у коло ротора забезпечує можливість керування електроприводом з доволі високими енергетичними показниками. Спричинено це тим, що енергію ковзання змінного струму з частотою f_2 витримляє перетворює на енергію постійного струму, яку потім інвертор та трансформатор перетворюють на енергію змінного струму з частотою f_1 , котра і надходить у мережу. Це дуже важливо для електроприводів з великим й середньом потужностями.

Для електроприводів з малою потужністю застосовують спосіб керування АД з фазним ротором, коли енергія ковзання не перетворюється на енергію мережі, а витрачається в додатковому опорі R_g , увімкненому на виході випрямляча роторного кола. Швидкість АД у цьому разі регулюється, плавно й безконтактно змінюючи опір R_g за допомогою широтно-імпульсного модулятора. Такі системи звичайно будується з двома контурами - контуром швидкості й підпорядкованим контуром струму [6]. Структурна схема системи в цьому разі зовсім аналогічна схемі на рис. 6.12, але з іншими числовими значеннями параметрів аперіодичних ланок.

Розділ 7. ЦИФРОВІ СИСТЕМИ КЕРУВАННЯ ЕЛЕКТРОПРИВОДАМИ

7.1. Загальні відомості про цифрові системи керування

7.1.1. Принципи побудови цифрових систем автоматичного керування електроприводами

Бідповідно до алгоритму керування цифрові системи автоматичного керування електроприводами /ЦСКЕП/, так само як і безперервні /аналогові/ системи, поділяють на такі групи: розімкнені, замкнені Й комбіновані. Нині найчастіше застосовують замкнені ЦСКЕП, ція яких ґрунтується на використанні принципу керування за віпхиленням керованої величини, і комбіновані, побудовані згідно з принципами керування за відхиленням керованої величини і за збуренням. Залежно від алгоритму функціонування всі ЦСКЕП поділяють на системи автоматичної стабілізації кутової швидкості /регулятори швидкості/, систем автоматичного керування положенням /силовий слідкувальний електропривод/ і програмового керування.

Розглянуті принципи керування за віпхиленням та збуренням, означення розімкнених, замкнених та комбінованих систем, систем автоматичної стабілізації, слідкувальних систем, систем програмового керування, а також деякі інші поняття, що стосуються принципів побудови безперервних систем /див. розд. I/, слушні Й для ЦСКЕП.

7.1.2. Означення Й основні моменти цифрової системи керування

Цифровою називають таку систему керування, в замкненому контурі якої є хоча б один цифровий елемент, тобто елемент, що перетворює безперервний сигнал, поданий на Його вхід, у цифрову форму. Суть такого перетворення полягає в тому, що безперервний сигнал зображену у вигляді певних фіксованих рівнів, котрі відрізняються один від одного на величину певної одиниці дискретності ϑ , названої кроком квантування.

Зобразимо безперервний сигнал у вигляді

$$X = X^* + \sigma, \quad /7.1/$$

де X^* містить ціле число одиниць ϑ , $|X^*| < \vartheta$. Згідно з /7.1/ кожній

величині безперервного сигналу X віщовідає його дискретне значення X^* . Похибку заокруглення безперервного сигналу $\delta = X - X^*$, що виникає внаслідок цього, називають похибкою квантування. Отже, коли безперервний сигнал X може набувати всіх значень на певному інтервалі $[a, b]$, то сигнал X^* – лише дискретних. Процес зображення аналогового сигналу X дискретним X^* називають квантуванням за рівнем /амплітудним квантуванням/, а технічні пристрої, які виконують цю операцію, – аналогово-цифровими перетворювачами /АЦП/.

Статичну характеристику АЦП /рис. 7.1/ побудовано за рівнянням

$$X^* = nq \quad (nq - q/2 < X < nq + q/2), \quad 17.2/$$

де $n = 0, \pm 1, \pm 2, \dots$

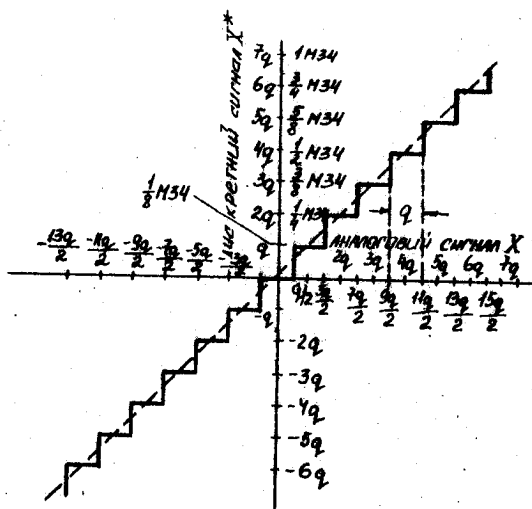


Рис. 7.1. Статична характеристика вхід – вихід трирозрядного аналогово-цифрового перетворювача

З рис. 7.1 випливає, що безперервному вхідному сигналові X , який у робочому діапазоні статичної характеристики може набирати будь-яких значень, віщовідає вісім $/2^3/$ дискретних значень вихідного сигналу X^* .

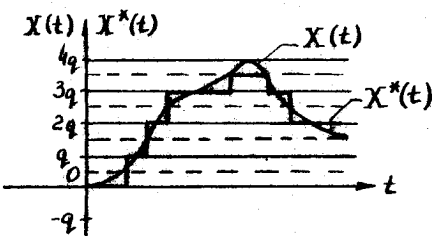


Рис. 7.2. Квантування аналогового сигналу за рівнем

На рис. 7.2 зображене квантування за рівнем аналогового сигналу $X(t)$, який змінюється в часі за певним законом. З цього рисунка можна зробити висновок про те, що за своєю суттю квантування за рівнем являє собою операцію заокруглювання до найближчого дискретного значення вихідного сигналу $X^*(t)$. АЦП безперервний

вхідний сигнал перетворює в цифровий код. Практичні схеми АЦП базуються на двійковому зображені чисел, часто з використанням двійкового коду. На рис. 7.1 зображене, а в табл. 7.1 [26] наведено співвідношення між аналоговим сигналом X та відповідними значеннями дискретного сигналу X^* , поданими в цифровому двійковому коді.

Таблиця 7.1

Співвідношення між безперервним та дискретним сигналами і двійковим цифровим кодом

Аналоговий сигнал	Двійковий цифровий сигнал			Дискретний сигнал X^*	
	Двійковий код		МБ (xq)		
	СВ ($x4q$)	($x2q$)			
$ X < 0,5q$	0	0	0		
$0,5q \leq X < 1,5q$	0	0	I	$1/8 M34 = q = MB$	
$1,5q \leq X < 2,5q$	0	I	0	$1/4 M34 = 2q$	
$2,5q \leq X < 3,5q$	0	I	I	$3/8 M34 = 3q$	
$3,5q \leq X < 4,5q$	I	0	0	$1/2 M34 = 4q$	
$4,5q \leq X < 5,5q$	I	0	I	$5/8 M34 = 5q$	
$5,5q \leq X < 6,5q$	I	I	0	$3/4 M34 = 6q$	
$6,5q \leq X < \infty$	I	I	I	$7/8 M34 - MB = 7q$	

Молодший біт /МБ/ трироздільного числа дорівнює крокові квантування ϑ . Як бачимо з табл. 7.1, МБ трироздільного двійкового числа має вагу $I/8$ максимального значення числа /МЗЧ/, другий біт - вагу $I/4$ МЗЧ = 2ϑ і старший біт /СВ/ - $I/2$ МЗЧ = 4ϑ . Звідси зрозуміло, що точно перетворити аналоговий сигнал X можна тільки тоді, коли він має значення $0,5\vartheta; 1,5\vartheta; 2,5\vartheta; \dots 6,5\vartheta$. За інших значень X у перетворенні виникне похибка. Похибка квантування залежить від кількості рівнів квантування або роздільної здатності АЦП. Варто зазначити, що робочий діапазон квантувача, зображеного на рис. 7.1, відповідає цвійковому числу III, або $7/8$ МЗЧ, а не МЗЧ. Ця обставина не позначатиметься на точності перетворення, поки аналоговий сигнал не перевищить $7/8$ МЗЧ + $\vartheta/2$; за цієї умови максимальна похибка квантування дорівнюватиме $\pm\vartheta/2$. Приміром, коли максимальна напруга вхідного аналогового сигналу дорівнює 10 В, то МЗЧ = 10 В, а $\vartheta = I/8$ МЗЧ = = 1,25 В. Отже, максимальне значення аналогового сигналу, що його можна перетворити з похибкою, яка не перевищує $\pm 0,625$ В, становитиме $7/8$ МЗЧ + $\vartheta/2 = 9,375$ В.

Точність перетворення підвищують, збільшуючи кількість розрядів у вихільному сигналі. Нині виготовляють АЦП, які мають 16 і більше цвійкових розрядів. Роздільна здатність АЦП дорівнює $I/2^{\gamma}$, де γ - кількість цвійкових розрядів. Треба зазначити, що аналогово-цифрове перетворення не забезпечує взаємно однозначної відповідності між X та X^* . Наприклад, аналоговому сигналові X , що набирає будь-яких значень в інтервалі $1,5\vartheta \leq X < 2,5\vartheta$ /див. рис. 7.1 і табл. 7.1/, відповідає єдине значення дискретного сигналу X^* , яке дорівнює $I/4$ МЗЧ з двійковим кодом 010, і навпаки, єдиному значенню X^* , наприклад $I/2$ МЗЧ з двійковим кодом 100, відповідає множина аналогових сигналів на інтервалі $3,5\vartheta \leq X < 4,5\vartheta$.

Окрім двійкового цифрового коду, який здобув широке практичне застосування завдяки простоті й тому, що його легко реалізувати в цифрових пристроях, розроблено код Грея, двійково-десятковий та інші коди.

Головне призначення АЦП полягає в перетворенні інформації, що її містить аналоговий сигнал, у цифровий, приміром цвійковий, код. Звичайно квантування аналогового сигналу за рівнем - це виконання комплексу логічних та арифметичних операцій, що потребують певного часу. Цифрові значення перетворюваного аналогового сигналу АЦП видає не безперервно, а лише в дискретні моменти часу, а в інтервалах між ними виконує операції перетворення в цвійковий код. Проміжок часу, який визначає тривалість перетворення аналогового сигналу X /див. рис. 7.3/

з інтервалу $(n - 1/2)q \leq X < (n + 1/2)q$ в одне дискретне значення $\pm nqX^*$ і цифровий код, що відповідає останньому, називають періодом квантування T , або періодом переривання. Процес дискретизації аналогового сигналу за часом називають квантуванням за часом, а пристрой, які виконують цей процес, - імпульсними модуляторами, або імпульсними елементами.

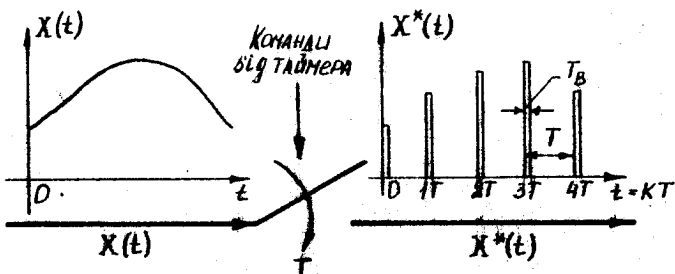


Рис. 7.3. Імпульсний модулятор

Варто зауважити, що квантування аналогового сигналу за рівнем завжди супроводить квантування цього самого сигналу за часом.

На рис. 7.3 зображено амплітудно-імпульсний модулятор у вигляді ключа з періодом замикання T . Замикають і розмикують ключ періодичні командні сигнали, які надходять від таймера в моменти часу $t = nT$, де $n = 0, 1, 2, \dots$. На вхід ключа надходить безперервний сигнал $X(t)$, а на його вихіді утворюється послідовність імпульсів з тривалістю $T_B \ll T$. Час T_B називають часом вибирання. Амплітуда вихідних імпульсів $X^*(t)$ у моменти вибирання дорівнює відповідним значенням вхідного аналогового сигналу $X(t)$. У цьому разі кажуть, що амплітуду вихідних сигналів $X^*(t)$ промодульовано вхідним сигналом $X(t)$.

Оскільки тривалість перетворювання АЦП не дірівнює нулю, то, отже, протягом цього часу аналоговий сигнал змінюватиметься і його перетворення в цифровий код потребує усклащеннення буцови АЦП. Щоб усунути це явище, квантований за часом сигнал зберігають сталим до завершення перетворення. Технічно цю операцію виконує фіксатор /рис. 7.4/, який називають також відновлювачем нульового порядку, або запам'ятовувальним пристроям нульового порядку. Фіксатор нульового порядку зберігає /запам'ятовує/ квантований за часом сигнал сталим протягом часу кван-

тування /тобто від моменту розмикання ключа і до моменту надходження наступної команди на вибирання/. Імпульсний модулятор /ключ/ і фіксатор конструктивно об'єднують в один пристрій, що його узвичаєно називати пристроєм вибирання й зберігання /ПВЗ/. Хоча ПВЗ виготовляють як єдиний блок і на функціональних схемах його зображують єдиним елементом /рис. 7.5/, аналітично розглядати процеси вибирання й зберігання зручно окремо. Функціональну схему, в якій процеси вибирання й зберігання відокремлено, зображенено на рис. 7.6. Блок часової затримки характеризує передавна функція $e^{-\beta \rho}$, де ρ - комплексна змінна; τ_3 - час затримки, який складається з двох складових - інтервалу τ_2 від моменту надходження команди на вибирання до моменту розмикання ключа і інтервалу τ_4 від моменту розмикання ключа до моменту загасання коливань до певної величини, що її визначає припустима похибка, тобто $\tau_3 = \tau_2 + \tau_4$. Час τ_4 зумовлює те, що під час розмикання ключа й переходу до режиму фіксації виникає перехідний процес через наявність реактивних елементів у схемах цифрової логіки. Зауважимо, що $\tau_2 \approx \tau_p + \tau_s$, де τ_p - апертурний час, який визначає час спрацювання перемикальної схеми всередині ПВЗ. Імпульсний елемент, зображений на рис. 7.2, називають квантувачем із скінченою тривалістю імпульсу. На практиці час затримки τ_3 малий, тому з урахуванням динаміки системи керування цим можна знехтувати. Наприклад, $\tau_p = 10$ нс, $\tau_s = 300$ нс, $\tau_4 = 10$ нс [26]. Отже, $\tau_3 = 410$ нс; зрозуміло, що цим часом можна знехтувати, позаяк навряд чи система керування може швидше відреагувати на вхідний сигнал. Тому на практиці, коли $\tau_3 \ll \tau$, ПВЗ можна зобразити функціональною схемою на рис. 7.7. У цьому разі імпульсний елемент називається ідеальним квантувачем, бо припускають, що час вибирання дорівнює нульові і ключ замикається й розмикається миттю через кожні τ секунд. Функціональну схему АЦП, який складається з ідеального ПВЗ /ідеальний імпульсний елемент і фіксатор нульового порядку/, квантувача за рівнем Q , що перетворює X в X^* , і шифратора, призначеного для перетворення X^* у цифровий код, зображенено на рис. 7.8. Зауважимо, що наступність операцій квантування аналогового сигналу за часом та рівнем можна змінити на зворотну.

Під час проектування цифрових систем керування, й зокрема АЦП, важливо вибрati період квантування τ , який дуже впливає на їхню стiйкiсть.

Запровадимо частоту квантування f_x /Гц/, або ω_x /рад/с/, що ю з періодом квантування τ пов"язує спiввiдношення

$$f_x = 1/\tau; \quad \omega_x = 2\pi f_x = 2\pi/\tau.$$

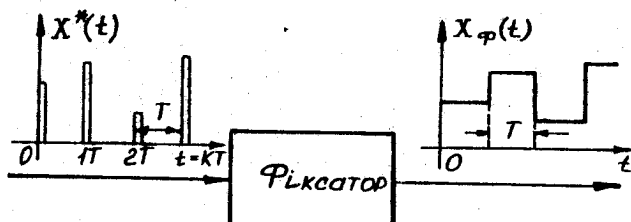


Рис. 7.4. Фіксатор нульового порядку

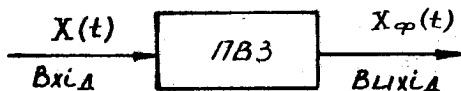


Рис. 7.5. Пристрій вибрання й зберігання

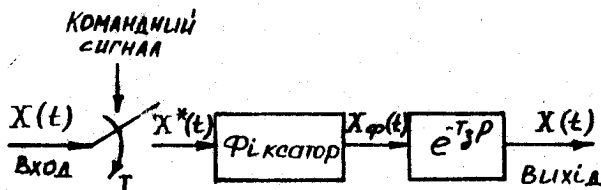


Рис. 7.6. Функціональна схема ПВЗ

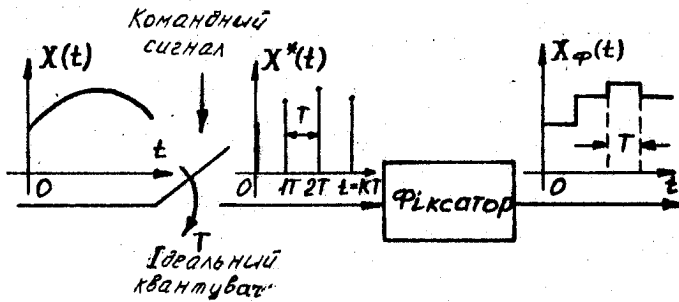


Рис. 7.7. Ідеальний ПВЗ

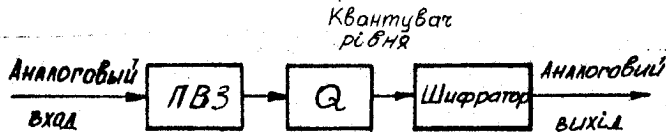


Рис. 7.8. Функціональна схема АЦП

Частота квантування залежить від багатьох факторів, пов'язаних із характеристиками /будовою/ АЦП, і з характеристиками аналогового сигналу /величиною та частотним спектром/. Теоретично верхньої межі частота квантування не має. Якщо $\omega_k = \infty$, то сигнал на виході імпульсного елемента перетворюється в безперервний. Але реально кожен квантувач повинен мати скінченне значення ω_k . Максимальну частоту квантування $\omega_{k\max}$ обмежують час перетворення АЦП і часові затримки ПВЗ. Для АЦП з рівномірною компенсацією, які являють собою типову слідкувальну систему,

$$f_k = (2^n - 1) T_p.$$

17.3/

f_k і час перетворення T_p пов'язує рівняння 17.3/.

Наприклад, припускаючи, що $T = T_p = 10^{-6} = 1 \text{ мкс}$ і $n = 10$, дістаємо максимальну частоту квантування $f_k \approx 10^9 \text{ Гц} = 1 \text{ ГГц}$. Проте на практиці максимальна частота квантування або мінімальний період квантування T залежить від швидкості й інших елементів системи керування. Зокрема, якщо в системі цифрові дані потрібно відпрацьовувати за допомогою мікропроцесора, тобто $\omega_{k\max}$ обмежується швидкістю обробки цих даних. Мікропроцесор, як відомо, – це досить повільний цифровий пристрій /звичайно $n = 4$ або $n = 8$ / . З іншого боку, в обмеження і на мінімальну частоту квантування ω_k . А тому інтуїтивно можна зрозуміти, що коли безперервний сигнал, який надходить на вхід імпульсного елемента, змінюється з великою швидкістю, то, квантуючи його із занадто малою швидкістю, тобто з великим періодом квантування T , можна втратити важливу інформацію про сигнал між моментами вибирання. Відповідно до теореми Котельникова, коли аналоговий сигнал $X(t)$ не містить у своєму спектрі частот понад ω_p /радіан на секунду/, то його повністю описують власні значення, вимірюні в дискретні моменти часу з інтервалом $T = 1/(2\pi/\omega_p)$ секунд. По-інакшому кажучи, для точно-го зображення аналогового сигналу треба мати частоту квантування ω_k , що більш як у 2 рази перевищує частоту екіпажного сигналу ω_p . Наприклад, коли для розглянутого АЦП з періодом квантування $T = 1 \text{ мкс}$ вибрati частоту квантування $\omega_k = 1 \text{ МГц}$ /теоретичний максимум при $n = 10$ /, то вхідний сигнал не має містити гармонік з частотою ω_p , яка перевищує $0,5 \text{ МГц}$.

У цифрових системах керування, крім АЦП, завжди є ще й цифровани-логовий перетворювач /ЦАП/, оскільки в їхньому основному контурі є аналогові елементи, наприклад електродвигун у системах керування електроприводом. ЦАП призначений для перетворення цифрових сигналів у без-

перервні, а також для узгодження /зменшення навантаження цифрових елементів та їх надмірного спрацьовування/ цифрових сигналів з безперервними. Порівняно з АЦП ЦАП, як звичайно, мають простішу будову та більшу швидкодію за тієї ж самої точності і пешевші. Оскільки під час аналогового перетворення цифровий сигнал трансформується в аналоговий відповідної величини, то ЦАП як систему /рис. 7.9/ можна зобразити декодувальним пристроєм, котрий цифрове слово перетворює в число-або емплітульно-модульований імпульс, і фіксатором нульового порядку, що перетворює вхідні імпульси в послідовність прямокутних імпульсів тривалістю τ . Імпульсний елемент у зображені на рис. 7.9 схемі не потрібний. Але, оскільки квантувач і фіксатор виготовлено у вигляді єдиного конструктивного блока, то замість фіксатора звичайно використовують ПВЗ. Доцільність цього можна пояснити ще й тим, що на практиці ці цей пристрій використовують для усунення коливань та пульсацій, спричинених роботою операційного підсилювача, який містить ЦАП. Декодер з погляду динаміки являє собою підсилювальну ланку з коефіцієнтом підсилення, що в ідеальному випадку дорівнює одиниці.

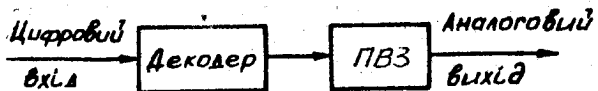


Рис. 7.9. Функціональна схема ЦАП

Цікаво порівняти функціональні схеми АЦП /див. рис. 7.8/ і ЦАП /див. рис. 7.9/. Оскільки роздільна здатність АЦП на практиці велика / $\Delta f = 16$ і більше/, то нелінійними ефектами квантування аналогового сигналу за рівнем можна знехтувати. Тоді декодер та шифратор можна зобразити підсилювальними ланками з коефіцієнтом підсилення, який дорівнює одиниці, і обидві схеми звести до ПВЗ, що справджується у випадку аналітичного дослідження цифрових систем керування.

7.1.3. Класифікація дискретних систем керування

У системах автоматичного керування сигнали в одній чи кількох точках можуть бути дискретними за часом, дискретними рівнем або дискретними за часом та рівнем.

За характером дискретного сигналу всі САК поділяють на імпульсні, релейні й цифрові.

Коли кажуть про дискретну систему керування, то звичайно мають на увазі або всі перелічені системи, або одну чи кілька з них. Наприклад, імпульсна система дискретна; релейна і цифрова системи також дискретні.

Наведена класифікація умовна. Зокрема, релейні системи /реле – найпростіший дворівневий квантизатор/ належать до класу звичайних нелінійних систем, і їх можна дослідити нелінійними методами, розвиненими в теорії безперервних систем. Зображену на рис. 7.10 розімкнену імпульсну систему, навіть коли в ПВЗ немає фіксатора, також можна дослідити звичайними методами теорії автоматичного керування. Розробляти спеціальну теорію для дослідження дискретних, і зокрема цифрових, систем керування потрібно тоді, коли дискретний сигнал утворюється всередині замкненого контуру системи керування.

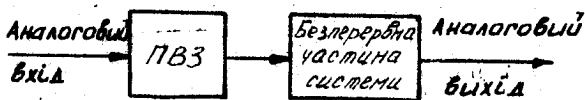


Рис. 7.10. Функціональна схема розімкненої імпульсної системи

Цифрові системи керування за типу квантувачів /модуляторів/, що квантують аналоговий сигнал за часом, поділяють на системи з амплітудно-імпульсною /АІМ/, широтно-імпульсною /ШІМ/ і частотно-імпульсною /ЧІМ/ модуляцією. Коли, наприклад, квантувач виготовлено за схемою ШІМ, то вихідний сигнал являє собою послідовність імпульсів, тривалість яких є функцією амплітуди вхідного аналогового сигналу в моменти вибирання. Є й інші закони керування роботою квантувачів. Наприклад, період квантування може бути несталим, змінюватися циклічно чи за випадковим законом. У попередньому розділі було розглянуто цифрові системи з АІМ. Було доведено, що квантування аналогового сигналу за рівнем завжди супроводжує квантування за часом і що необхідно й достатньо умовою цифрового способу керування є квантування сигналу як за часом, так і за рівнем. Надалі розглядатимемо лише цифрові САК з АІМ.

Об'єктом керування в сучасних системах керування електроприводами є найчастіше двигун постійного струму, якірне коло якого живиться від тиристорного перетворювача /ТП/. Керує ТП система імпульсно-фазового керування /СІФК/.

Цифрові системи керування тиристорним електроприводом /ТЕП/ поділяють на дві групи: цифроаналогові й прямого цифрового керування. Цифроаналогові системи керування звичайно будують за принципом підрядкованого регулювання [2] так, щоб основний /зовнішній/ контур регулювання був цифровим, а всі підрядковані – аналоговими /рис. 7.II/. Оскільки кількість розрядів сучасних перетворювачів доволі велика, то, отже, АЦП і ЦАП у цих системах можна замінити на ПВЗ. Окрім того, в схемі на рис. 7.II,а замість ЕОМ часто використовують цифровий коригувальний пристрій.

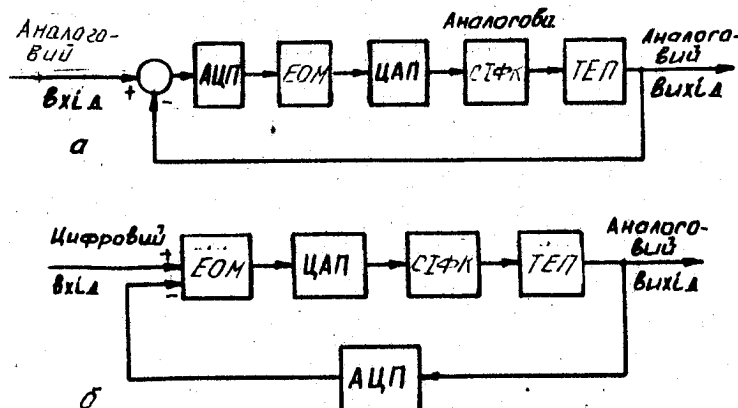


Рис. 7.II. Функціональні схеми цифроаналогових систем керування тиристорним електроприводом: а – з аналоговими СІФК і з аналоговими входом та виходом; б – з аналоговими СІФК і цифровими входом та виходом

Пряме цифрове керування ТЕП виконують за допомогою мікроЕОМ чи мікропроцесора. МікроЕОМ у цьому разі на підставі інформації, яка надходить через певні проміжки часу на YU вхід у вигляді цифрового коду, розраховує за заданим алгоритмом керування необхідні кути керування ТП

і видає інформацію про них у вигляді цифрового коду. Цифровий код на виході мікроЕОМ цифрова СІФК перетворює на керувальні сигнали, які потім надходять на керувальні електроди ТІ. МікроЕОМ не тільки розв'язує сформульовану задачу, а й має змогу завданням введення спеціальних програм реалізувати деякі інші закони керування /оптимізація процесу керування електроприводом, прогнозування тощо/. Функціональну схему цифрової системи керування, що відповідає прямому цифровому керуванню, зображенено на рис. 7.12.

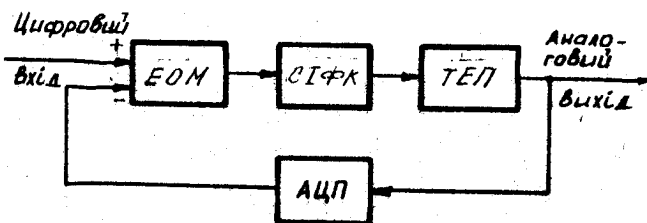


Рис. 7.12. Функціональна схема прямого цифрового керування тиристорним електроприводом

7.1.4. Приклади цифрових систем керування електроприводами [33; 39]

Цифрованалогова система стабілізації кутової швидкості електропривода /рис. 7.13/. Цю систему побудовано за принципом підпорядкованого регулювання. Вона містить три контури: один - струму і два - швидкості. Зовнішній контур швидкості - цифровий, а підпорядкований йому середній контур швидкості і внутрішній контур струму - аналогові. В аналогових регуляторах швидкості з підпорядкованим струмовим контуром, як відомо, для одержання встатизму другого порядку за керувальною дією треба мати інтегрально-пропорційний регулятор швидкості. Останній легко реалізувати на аналоговому операційному підсилювачі /для цього у вхідне коло необхідно увімкнути резистор R_{bx} , а в коло зворотного зв'язку - послідовно з "єдині" резистор $R_{j,3}$ і конденсатор $C_{j,3}$ / . Цифрова реалізація ПІ-регулятора технічно складніша через досить великий час, необхідний для формування пропорційно-інтегрального закону керування в цифровій формі. Тому, будучи швидкодійні

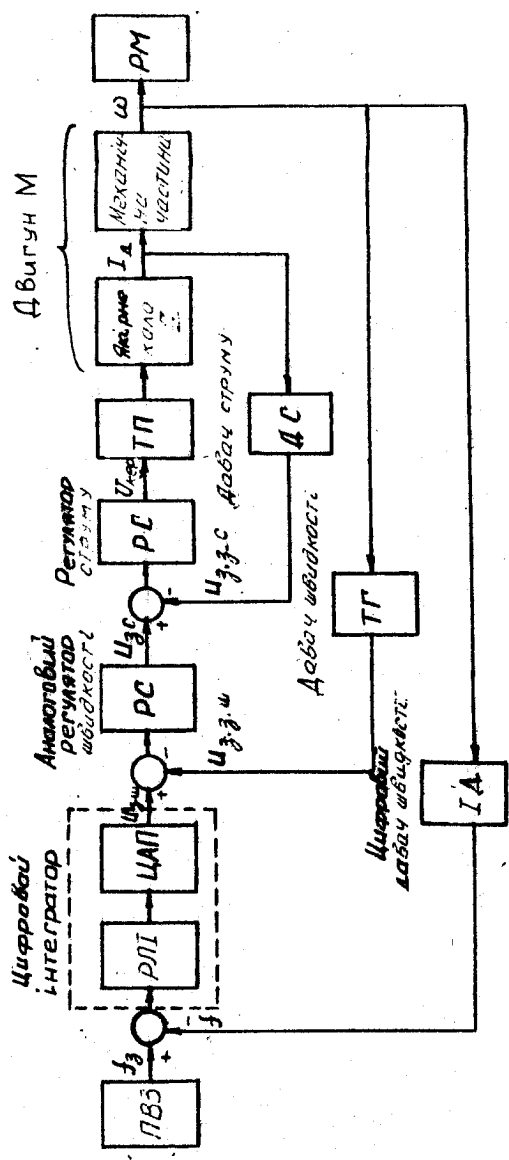


Рис. 7.15. Функціональна схема цифроаналогової системи регулювання кутової швидкості електропривода

системи керування кутовою швидкістю з великою роздільною здатністю /з малим кроком квантування за рівнем g_1 , пропорційну частину ПІ-регулятора реалізують аналоговим контуром швидкості, а інтегральну - зовнішнім цифровим контуром швидкості.

Вимірювальним пристроєм у цифровому контурі швидкості є реверсивний лічильник імпульсів /РЛІ/, на один вхід /піссумовувальний/ якого надходять імпульси з частотою проходження f_3 , пропорційному значенню кутової швидкості ω_3 , а на другий /віднімальний/ - імпульси зворотного зв'язку, частота проходження яких f пропорційна справжньому значенню швидкості обертання двигуна ω . Імпульси з частотами проходження f_3 і f формують відповідно пристрій введення завдання /ПЕЗ/ та імпульсний джеві /ІД/, поставлені на валі двигуна. Щоб імпульси на обидва входи РЛІ одночасно не надходили, використано спеціальну схему блокування, яка засував ці імпульси не період повторення. На виході РЛІ утворюється різниця між кількістю імпульсів, що надходять від ПЕЗ та ІД. Частота проходження цих імпульсів $\Delta f = f_3 - f$ являє собою сигнал розузгодження, який у вигляді різниці імпульсів надходить на вхід ЦАП і перетворюється в ньому на аналоговий сигнал.

Аналогова напруга на виході ЦАП - це захвальний сигнал $U_{\text{зах}}(t)$ для аналогового контуру швидкості.

РЛІ та ЦАП утворюють цифровий інтегратор. Справці, коли виникає різниця Δf , то її записує РЛІ, безперервно змінюючи свій зміст /або безперервно збільшуучи під час навантажування, або безперервно зменшуючи під час скидання навантаження/, а це спричиняє лінійну зміну аналогової напруги на виході ЦАП. Швидкість зміни цієї напруги залежить від крутості статичної характеристики /див. рис. 7.1/. Тільки коли $\Delta f = 0$, число, записане в лічильнику, буде стало. За цієї умови буде стала напруга на виході цифрового інтегратора, значення якої відповідатиме заданому значенню кутової швидкості обертання двигуна ω . Насправді ж в усталеному режимі роботи привода, навіть коли $\Delta f = 0$, стан РЛІ змінюється. З надходженням імпульсу на піссумовувальний вхід у лічильнику додається одиниця, а на віднімальний - віднімається. Такий процес піссумування й віднімання триває безперервно, але середнє значення числа, записаного в лічильнику, не змінюється. Отже, усталеним режимом роботи цифрового інтегратора є режим автоколивань, амплітуда яких дорівнює крокові квантування g вихіщою величини за рівнем, тобто швидкості обертання двигуна, котра відповідає одиниці, записаній у лічильнику. Оскільки звичайно g мале, то

амплітуда автоколивань незначна і її вплив виявляється тільки у вигляді високочастотного фону, накладеного на безперервний вихідний сигнал.

На структурній схемі цієї системи /рис. 7.14/ вжito такі позначення: T_e і T_M - відповідно електромагнітна й електромеханічна ставлі часу двигуна; R_Σ - сумарний активний опір силового кола ТП-Д;

K_g і $K_{\text{клор}}$ - коефіцієнти підсилення відповідно двигуна й тиристорного перетворювача; $T_{\text{нс}}$ - мала некомпенсована стала часу струмового контуру; $K_{\text{стр}}$, K_w і K_f - коефіцієнти підсилення зворотних зв'язків відповідно за струмом, швидкістю й частотою; $R_{\text{стр}}(\rho)$, $R_w(\rho)$ і $R_i(\rho)$ - передавальні функції відповідно регуляторів струму, швидкості й цифрового інтегратора.

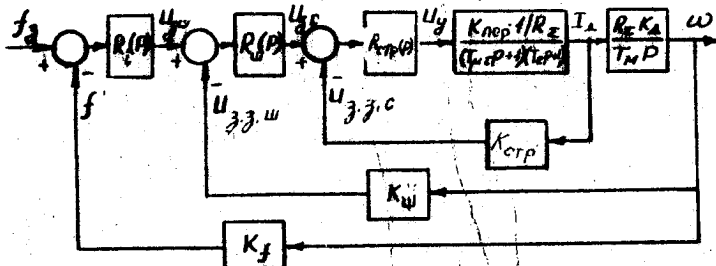


Рис. 7.14. Структурна схема цифроаналогової системи регульовання кутової швидкості електропривода

Принципи побудови, синтез коригувальних пристройів /регуляторів струму й швидкості/, розрахунок їхніх параметрів і динамічні властивості аналогових регуляторів швидкості з астатизмом першого та другого порядків розглянуто в розд. 6. Наведено рекомендації щодо вибору основних параметрів цифрового контуру швидкості.

Передавальну функцію цифрового регулятора $R_i(\rho)$ визначають за методикою синтезу аналогових регуляторів. Слушність такого способу зумовлює те, що звичайно f_3 та f великі і, отже, крок квантування за рівнем вихідної величини φ малий; пульсації напруги на вихіді цифрового інтегратора, як уже ми зазначали, невеликі. Оскільки цифровий інтегратор і інтегратор у порівнянні аналоговій системі регульовання

швидкості з астатизмом другого порядку виконують однакові функції, то для системи, налашеної за симетричним критерієм [33],

$$R_i(\rho) = \frac{K_d}{\rho}, \quad 17.4/$$

де $K_d = K_w / 18 T_{\mu s} K_f$ і $K_f = f/\omega$ - коефіцієнти підсилення відповідно цифрового інтегратора І імпульсного діавача швидкості.

Коефіцієнт підсилення цифрового інтегратора можна визначити як дискретний приріст Δ вихідної величини ЦАП у разі збільшення числа, записаного в лічильнику, на одиницю, тобто як відношення максимальної напруги на виході ЦАП U_{max} , коли лічильник заповнено повністю, до об'єму лічильника N /до кількості імпульсів на вході інтегратора, необхідних для його повного заповнення/:

$$\alpha = U_{max} / N. \quad 17.5/$$

Таким чином, налашуючи цифрованалогову систему за симетричним оптимумом, коефіцієнт підсилення цифрового інтегратора треба розраховувати за формулою

$$K_d = \alpha = \frac{K_w}{8 T_{\mu s} K_f}. \quad 17.6/$$

Об'єм лічильника цифрового інтегратора визначають на підставі умови, що має виконуватися для буць-якого режиму роботи привода:

$$N \geq A_{max}, \quad 17.7/$$

де A_{max} - найбільша сподівана кількість імпульсів на вході інтегратора за час регулювання.

У загальному випадку $A_{max} = A_{max, ker} + A_{max, zbur}$, де $A_{max, ker}$ і $A_{max, zbur}$ - максимальні кількості імпульсів у випадку дії відповідно за керуванням і збуренням. Для розглядуваної системи

$$A_{max, ker} \approx 8,56 T_{\mu s} K_f \omega_{max}, \quad 17.8/$$

$$A_{max, zbur} \approx 12 T_{\mu s} I_{ct} K_f \omega_{nom} / T_H, \quad 17.9/$$

де I_{ct} - струм навантаження, спричинений моментом статичного опору.

Цифрованалогова система керування лінійним положенням робочого механізму /рис. 7.13/. Ця систему побудовано за принципом підпорядко-

ваного регулювання. Іона звичайно містить три контури: аналогові – струму й швидкості і цифровий – положення. Структура й параметри аналогових контурів струму й швидкості найчастіше подібні до контурів розглянутого регулятора швидкості. Зовнішній цифровий контур побудовано так. Задане лінійне переміщення S_3 надходить від ПЕЗ у вигляді числа N_3 в паралельному двійковому коді на один із входів арифметично-ального пристрою /АП/ мікроЕОМ. На другий Його вхід по колу зворотного зв'язку надходить число N також у паралельному двійковому коді. Це число пропорційне справжньому лінійному положенню робочого механізму S . Безперервний вихідний сигнал $\Delta N = N_3 - N$ у вигляді імпульсів, кількість яких пропорційна похибці $\Delta S = S_3 - S$, надходить на вхід ЦАП, перетворюється в ньому в аналогову напругу, використовувану надалі для керування електроприводом.

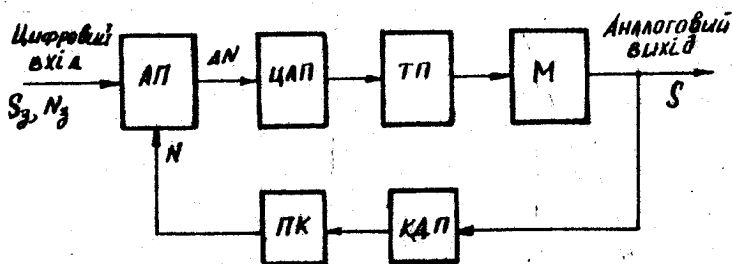


Рис. 7.15. Функціональна схема цифроаналогової системи регулювання положення робочого механізму

Як АП, який обчислює різницю $\Delta N = N_3 - N$, застосовують суматор, що виконує дії з числами N_3 і N в оберненому двійковому коді. Число завжди додатне, і, отже, Його обернений код збігається з прямим, а цифра в знаковому розряді завжди дорівнює 0. Число N , як бачимо з виразу $\Delta N = N_3 - N$, віц'ємне. Тому для того, щоб зобразити N в оберненому двійковому коді, ПК має інвертувати всі значущі розряди, а в знаковому розряді видати 1.

АП і ЦАП утворюють цифровий інтегратор. Отже, розглядувана система має астатизм першого порядку за керувальному дією S_d і є статичною за збуренням I_{ct} /або M_{ct} /.

Крок квантування системи за рівнем /ціна одиниці молодшого розряду цифрових пристрій/

$$q \leq \Delta S,$$

де $\Delta S = \Delta S_{ct \max} - \Delta S_{mech}$; $\Delta S_{ct \max}$ - максимальна припустима похибка відпрацювання переміщення; ΔS_{mech} - максимальна похибка передачі в зчленуванні НДП з РМ.

Розраховане за формулою $q \leq \Delta S$ значення q має не перевищувати дискретність задання положення об'єкта d , тобто $q \leq d$.

Числові емності ПВЗ, АП і КДП

$$N = \Delta S_{\max} / q,$$

де ΔS_{\max} - максимальний робочий хід РМ.

Мінімальне кількість двійкових розрядів цих пристрій

$$n = [\log_2(N+1)] + 1.$$

Максимальну частоту роботи цифрових пристрій визначають максимальна швидкість переміщення v_{\max} РМ і крок квантування q :

$$f_{\max} = v_{\max} / q.$$

Система прямого цифрового керування кутовою швидкістю електропривода /рис. 7.16/. Безперервна частина системи складається з реверсивного тиристорного перетворювача /П/, складеного за зустрічно-паралельною схемою, двигуна постійного струму М з незалежним збудженням і з'язаного з його валом робочого механізму /РМ/.

ПІ являє собою дискретний пристрій, вихідною /випрямленою/ напругою $U_g(t)$ якого керують, подаючи імпульси з потрібним фазовим зсувом на керувальні електроди тиристорів. Тому вхідну інформацію, яка в аналогових регуляторах швидкості /див. рис. 7.13/ надходить на СІФК у вигляді сталої напруги керування $U_{ker}(t)$ і знак останньої визначав напрям обертання двигуна, можна виробити в цифровій формі, наприклад у цифровому двійковому коді N_{ker} , перетворити цей код у керувальні імпульси і, подавши їх на керувальні електроди тиристорів, організувати пряме цифрове керування напругою $U_g(t)$, а отже, і швидкістю обертання електропривода $\omega(t)$.

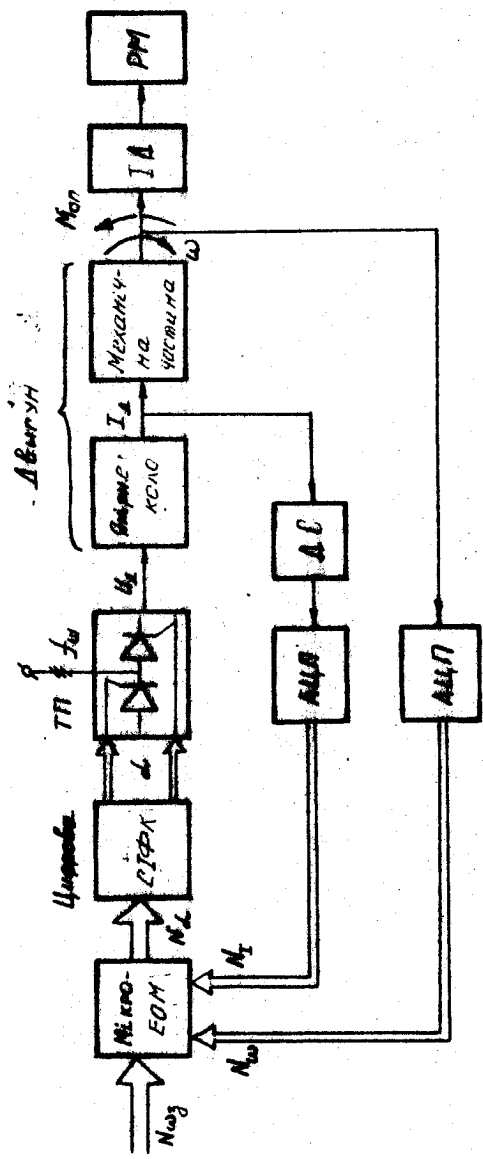


Рис. 7.16. Функціональна схема прямого шарового керування кутовим швидкістю електроприводом

Пряме цифрове керування в схемі на рис. 7.16 виконують за допомогою мікро-ЕОМ, наприклад "Електроника-60". Алгоритм для неї можна розробити на підставі алгоритму, за яким працюють аналогові двоконтурні регулятори швидкості. У таких аналогових системах керувальну напругу $U_{ker}(t)$ формував ПІ-регулятор струму, запаравальним сигналом для якого була напруга $U_{dc}(t)$, вироблена ПІ-регулятором швидкості /див. рис. 7.15/. Цей алгоритм і реалізує мікро-ЕОМ на підставі інформації, що надходить у цифровій формі каналами зворотних зв'язків за струмом та швидкістю. Зворотний зв'язок за струмом здійснено вимірюванням струму силового кола $I_g(t)$ за допомогою безперервних елементів - шунта й діавача струму ГДС/ та АЦП, який перетворює безперервний сигнал у цифровий код N_I . Коло зворотного зв'язку за швидкістю складається з імпульсного діавача /ІД/, що його запаравальний елемент /наприклад, феромагнітний диск із зубцями в індукційних діафрагмах/ зв'язаний з валом двигуна і АЦП, який перетворює частоту проходження імпульсів f , Гц /для індукційного діавача $f = \omega Z / 2\pi$, де Z - кількість зубців/ у цифровий код N_ω . Таким чином, на вхід мікро-ЕОМ надходять цифрові сигнали N_I , N_ω і цифровий сигнал завдання швидкості N_{uz} . За цими сигналами мікро-ЕОМ на підставі сформульованого алгоритму керування розраховує керувальну пів, що її відає машина в цифровій формі N_d . Із силовим блоком ТП мікро-ЕОМ спрягають за допомогою цифрової системи імпульсно-фазового керування, яка за цифровим сигналом N_d виробляє керувальні імпульси α і видає їх на тиристори. Роботу мікро-ЕОМ і цифрової СІФК синхронізовано з напругою живильної мережі.

У випадку прямого цифрового керування ТП, одну перетворювальну групу якого побудовано за трифазною мостовою схемою випрямлення, пірів'я квантування сигналу за часом T , що забезпечує максимальну швидкодію системи керування електроприводом за частоти живильної мережі $f_M = 50$ Гц, становить 3,3 мс. Така величина T , коли відомий алгоритм керування електроприводом, дає змогу сформувати вимоги до швидкодії мікро-ЕОМ. Орієнтовне значення тривалості розрахунку алгоритму прямого цифрового керування за допомогою мікро-ЕОМ "Електроника-60", яка реалізує ПІ-закони керування за струмом з обмеженням останнього на заданому рівні та швидкості, дорівнює приблизно 1,5 мс, що дає змогу використовувати цю мікро-ЕОМ у системах прямого цифрового керування електроприводом.

7.1.5. Переваги цифрових систем керування

Цифрові системи керування, побудовані на базі сучасних схем з великим ступенем інтеграції /ВІС/, мають неабиякі переваги порівняно з аналоговими. Насамперед це висока точність, завадозахищеність, можливість реалізувати дуже складні алгоритми керування, швидкодія, висока стабільність характеристик тощо.

Високу точність цифрові системи мають завдяки цифровій формі зображення сигналів керування. Точність введення задавальної ції Й виконання всіх операцій цифровими пристроями системи теоретично не має меж і залежить лише від кількості розрядів цифрового коду. Підвищена завадозахищеність забезпечує кодоімпульсне зображення сигналів і використання спеціальних завадозахищених кодів /V-код, циклічний код Грея та ін./.

Переваги цифрових систем керування в порівнянні з аналоговими особливо даються випадки, коли в основний контур ввести мікро-ЕОМ чи мікропроцесор. Мікропроцесорні системи дають змогу реалізувати різноманітні закони керування, зокрема робити оптимізацію, адекватність, прогнозування, обробляти різноманітну інформацію, що важче виконувати за допомогою аналогових систем. Застосування мікро-ЕОМ допомагає не тільки значно збільшити швидкодію системи керування, а Й , що не менш важливо, з'являється можливість швидкої функціональної перебудови системи, а це дає змогу дуже скоротити тривалість наладжувальних робіт і змінити їх характер, оскільки необхідні експерименти з визначенням характеристик та параметрів системи, а також налаштження регуляторів може виконати автоматично сама мікро-ЕОМ за наперед розробленою програмою. Легше також аналізувати аварійні режими та перехідні процеси, які без втрати інформації можна зареєструвати в пам'яті мікро-ЕОМ. Застосування мікропроцесорної техніки Й мікро-ЕОМ потребує змін у методах проектування, налаштження Й експлуатації автоматизованих систем керування електроприводами, а отже, і в підготовці фахівців у цій галузі. Фахівець має знати основні положення теорії мікропроцесорних систем та мікро-ЕОМ, вміти працювати з мікропроцесорною технікою та мікро-ЕОМ, складати алгоритми і розробляти програми Й математичні моделі.

Для створення цифрових та цифроанalogових систем керування електроприводами ВНДІ Електропривод розробив уніфіковану блокову систему регуляторів УБСР-Д і УБСР-ДІ. Як базу пристройів УБСР-ДІ взято: цифрові

інтегральні схеми серії КІ72 та КІ55 – для виконання арифметичних та логічних операцій, аналогові інтегральні схеми серій КІ24, КІ40, КІ53 та КІ90 – для виконання аналогових операцій, оптронні ключі, герконні реле для узгодження із зовнішніми колами. Будову й характеристики приладів /обчислювальних пристройів, перетворювачів кодів, ЦАП тощо/, давачів і типових вузлів /пристроїв введення завдання, цифрових інтеграторів, арифметичних пристройів, цифрових задавачів інтенсивності тощо/ серії УБСР-Д та УБСР-ДІ описано в [35]. Але треба мати на увазі, що за роки після опублікування цієї праці стався значний прогрес у розробці цифрових пристройів [32; 36; 40].

Ведою цифрових систем є те, що вони складніші й дорожчі порівняно з аналоговими.

7.2. Математичний опис процесів у цифрових системах керування електроприводами на підставі різницевих рівнянь і Z -перетворення

7.2.1. Основні відомості про лінійні різницеві рівняння

Коли крок квантування τ малий, то, як уже було зазначено попере-
дту, ЦСНЕП можна описати лінійними різницевими рівняннями із сталими коефіцієнтами виду

$$a_0 \Delta^n y(t) + a_1 \Delta^{n-1} y(t) + \dots + a_{n-1} \Delta y(t) + a_n y(t) = \\ = b_0 \Delta^m x(t) + b_1 \Delta^{m-1} x(t) + \dots + b_{m-1} \Delta x(t) + b_m x(t), \quad 17.10/$$

де $y(t)$ і $x(t)$ – відповідно вихідний /невідома функція/ і вхідний /задана функція/ сигнали елемента чи системи; $a_i, b_j, i = 0, 1, \dots, n, j = 0, 1, \dots, m$ – сталі коефіцієнти, що їх визначають параметри системи; n і m – цілі додатні числа.

Вирази

$$\Delta y(t) = y(t+h) - y(t),$$

$$\Delta x(t) = x(t+h) - x(t),$$

де h – стало число /крок/, називають першими скінченими різницями первого порядку функцій $y(t)$ і $x(t)$ у точці t .

Вирази

$$\Delta^2 y(t) = \Delta [\Delta y(t)] = [y(t+2h) - y(t+h)] - \\ - [y(t+h) - y(t)] = y(t+2h) - 2y(t+h) + y(t);$$

$$\Delta^2 x(t) = \Delta [\Delta x(t)] = x(t+2h) - 2x(t+h) + x(t)$$

називають другими скінченними рівняннями.

Оператор Δ для дискретних функцій – це своєрідний аналог диференціального оператора $D = d/dt$ для неперервних функцій. Можна довести, що k -та похідна неперервної функції $f(t)$

$$\frac{d^k f(t)}{dt^k} = \lim_{h \rightarrow 0} \frac{\Delta^k f(t)}{h^k}.$$

Ця формула можна використати для наближеної заміни лінійного диференціального рівняння лінійним різницевим рівнянням. Покажемо, як її застосовувати, на конкретному прикладі.

Приклад 7.1. Дістти різницеве рівняння з диференціального

$$2 \frac{d^2 y(t)}{dt^2} + 3 \frac{dy(t)}{dt} + 3y(t) = x(t).$$

Розв'язання. Припустивши для спрощення, що $h = 1$, одержимо

$$\frac{dy(t)}{dt} = y(t+1) - y(t),$$

$$\frac{d^2 y(t)}{dt^2} = y(t+2) - 2y(t+1) + y(t).$$

Підставляючи ці значення в задане диференціальне рівняння, після невеликих перетворень одержуємо

$$2y(t+2) - y(t+1) + 2y(t) = x(t).$$

Різницеве рівняння /7.10/ можна записати ще й так:

$$a_0 y[t+nh] + a_1 y[t+(n-1)h] + \dots + a_{n-1} y(t+h) + a_n y(t) =$$

$$= \beta_0 x[t+nh] + \beta_1 x[t+(n-1)h] + \dots + \beta_{n-1} x(t+h) + \beta_n x(t). \quad /7.11/$$

Рівняння /7.10/ – близкий аналог диференціального рівняння, але рівняння /7.11/ легше використати, і тому його частіше вживають.

Якщо $a_0 = 0$ і $a_n \neq 0$, то число n називають порядком різницевого рівняння. Якщо $a_n = 0$, то /7.II/ можна лінійною заміною незалежної змінної $t' = t + kt$ звести до рівняння нижчого порядку. Цією властивістю лінійні різницеві рівняння відрізняються від лінійних диференціальних, в яких лінійною заміною незалежної змінної не можна знайти порядок рівняння.

Різницевими рівняннями описують системи керування з ЦОМ /або мікро-ЕОМ/. ЦОМ у контурі регулювання функціонує так [28]. На її вхід надходить послідовність чисел у двійковому коді $x(0), x(T), x(2T), \dots, x(kT)$ з періодом квантування за часом T , а на виході, коли вона працює без запізнення, з'являється з тим самим періодом T послідовність чисел $y(0), y(T), y(2T), \dots, y(kT)$. Це означає, що $y(kT)$ машина видає в той самий момент часу kT , коли на її вхід надійшло значення $x(kT)$. Різницеве рівняння ЦОМ, коли програма лінійна і $T = I$ та $m = n$,

$$a_0 y(k) + a_1 y(k-1) + \dots + a_{n-1} y(k-n+1) + a_n y(k-n) = \\ = b_0 x(k) + b_1 x(k-1) + \dots + b_n x(k-n). \quad /7.I2/$$

Рівняння /7.I2/ виражає той факт, що поточне значення вихідного сигналу ЦОМ $y(k)$ машина розраховує як лінійну комбінацію поточного значення вихідного сигналу $x(k)$, n минулих його значень $x(k-n)$ і n минулих значень самого вихідного сигналу $y(k-n)$ /усі ці значення зберігають в пам'яті ЦОМ/.

З теорії відомо, що до аргументів усіх членів різницевого рівняння можна додати будь-яке ціле число. Це спричинить лише зміну початку відліку дискретного часу. Берячи τ як таке число, переїдемо від /7.I2/ до різницевого рівняння виду

$$a_0 y(k+\tau) + a_1 y(k+\tau-1) + \dots + a_{n-1} y(k+1) + \\ + a_n y(k) = b_0 x(k+\tau) + \dots + b_n x(k). \quad /7.I3/$$

Коли тепер порівняти /7.I3/ з /7.II/, то неважко помітити, що /7.I3/ можна одержати з /7.II/, припустивши, що в ньому $t = \tau t$ /або $T = I$, $t = k$ / і $\tau = I$.

Розглянуті рівняння, і зокрема /7.II/ та /7.I3/, - це лінійні різницеві рівняння із сталими коефіцієнтами. Лінійні вони тому, що всі члени лівої частини - лінійні функції ординат вихідної послідовності $y(t)$. Термін "різницеве" походить від того, що приrostи функцій $y(t)$ та $x(t)$ характеризуються скінченими різницями дискретних орди-

нат $\Delta Y(k)$, $\Delta^2 Y(k)$, ..., $\Delta^x(k)$, $\Delta^2 x(k)$. Методи розв'язання лінійних різницевих рівнянь викладено в підрозд. 7.2.7.

7.2.2. Дискретне перетворення Лапласа

Неперервну функцію часу $f(t)$ в функцію комплексної змінної $F(p)$ перетворюють за допомогою одностороннього перетворення Лапласа:

$$F(p) = \int_0^\infty f(t) e^{-pt} dt, \quad /7.14/$$

де $p = \sigma + j\omega$ - комплексна змінна.

Дискретний сигнал $f^*(t)$, одержаний квантуванням за часом неперервного сигналу $f(t)$, виконаного за допомогою ідеального квантувача /ключ/, можна подати в такому вигляді [26]:

$$f^*(t) = \sum_{k=0}^{\infty} f(kT) \delta(t - kT) = f(t) \delta_r(t), \quad /7.15/$$

де $f(t)$ - вхідний сигнал квантувача; T - період квантування сигналу $f(t)$ за часом, $k = 0, 1, 2, \dots$. Вихід ідеального квантувача являє собою послідовність імпульсів, площа яких дорівнює значенню вхідного сигналу у відповідні моменти часу $t = kT$ замикання ключа /рис. 7.17/.

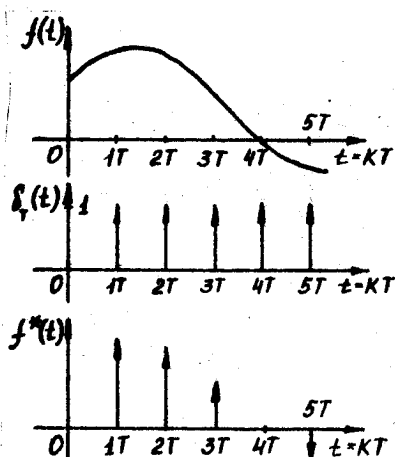


Рис. 7.17. Сигнали ідеального квантувача: а - вхідний; б - несучий; в - вихідний
 $f^*(t) = f(t) \delta_r(t)$

Оскільки, за означенням, дельта-функція $\delta_r(t)$ має нульову тривалість, нескінченну амплітуду і одиничну площину, то імпульси $\delta_r(t)$ на рис. 7.17 зображені стрілками, одинична довжина яких відповідає площі імпульсів.

Застосуємо до /7.15/ перетворення /7.14/

$$\begin{aligned} F^*(p) &= L[f^*(t)] = \\ &= \sum_{k=0}^{\infty} f(kT) e^{-kTp}, \quad /7.16/ \end{aligned}$$

де L - оператор перетворення Лапласа.

Вираз /7.16/ називають дискретним перетворенням Лапласа /ДПЛ/. Порівнявши /7.14/

з /7.15/, бачимо, що ДП рівнопітить із звичайного /неперервного/ перетворення внаслідок заміни в останньому інтеграла нескінченою сумою і неперервного часу t дискретним: $t = kT$.

Основні властивості ДП:

1. Оскільки ДП визначає зв'язок між $\mathcal{F}^*(\rho)$ і $f(t)$ у момент часу $t = kT$, то різним часовим функціям $f(t)$, які збігаються одна з одиною в момент часу $t = kT$, відповідатиме одне й те саме $\mathcal{F}^*(\rho)$. Отже, за $\mathcal{F}^*(\rho)$ не можна однозначно відновити функцію $f(t)$ для будь-якого значення її аргументу t .

2. Неважко довести, що $\mathcal{F}^*(\rho)$ є періодична функція вздовж уявної осі $j\omega$ комплексної площини ρ з періодом $\omega_x = 2\pi/T$, тобто $\mathcal{F}^*(\rho + j\omega_x) = \mathcal{F}^*(\rho)$, де $\gamma = 0, \pm 1, \pm 2, \dots$.

Періодичність ДП спричинює те, що площа ρ , зображенна на рис. 7.16, складається з нескінченної кількості періодичних смуг. Смуги між $\omega = -\omega_x/2$ і $\omega = \omega_x/2$

називають основною, а решту - додатковими. Додаткові смуги розташовані в діапазоні від $-\omega_x/2$ до $-3\omega_x/2$, від $-3\omega_x/2$ до $-5\omega_x/2$ і т.д. для від'ємних частот і від $\omega_x/2$ до $3\omega_x/2$ і т.д. для позитивних частот.

3. Функція $\mathcal{F}^*(\rho)$ ірраціональна відносно ρ , бо /7.16/ містить множник $e^{-\rho T}$. Отже, $\mathcal{F}^*(\rho)$ містить і в чисельнику, так і в знаменнику члени з множником $e^{-\rho T}$, не властиві більшості функцій безперервних систем.

7.2.3. \mathcal{Z} -перетворення

Зв'язок між комплексними змінними \mathcal{Z} і ρ вибирають так:

$$\mathcal{Z} = e^{\rho T}. \quad /7.17/$$

Розв'язуючи /7.17/ відносно ρ , знаходимо

$$\rho = \frac{1}{T} \ln \mathcal{Z},$$

/7.18/

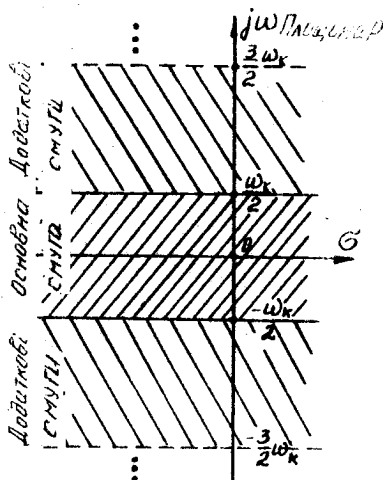


Рис. 7.18. Періодичні смуги на ρ -площині

Підставивши /7.18/ у /7.16/, дістанемо

$$\mathcal{F}^*[P = \frac{1}{T} \ln \alpha] = \mathcal{F}(\alpha) = \sum_{k=0}^{\infty} f(kT) \alpha^{-k}, \quad /7.19/$$

Вираз /7.19/ називають α -перетворенням функції $f(t)$. Згідно з /7.16/ та /7.19/ можна записати

$$\begin{aligned} \mathcal{F}(\alpha) &= [\text{перетворення Лапласа } f^*(t)]_{P = \frac{1}{T} \ln \alpha} = \\ &= [\mathcal{F}^*(\rho)]_{\rho = \frac{1}{T} \ln \alpha}. \end{aligned} \quad /7.20/$$

Рівняння /7.19/ визначає $\mathcal{F}(\alpha)$ тільки для тих α , для яких нескінчений ряд збігається. Для інших α $\mathcal{F}(\alpha)$ визначають на підставі принципу аналітичного продовження.

Основні властивості α -перетворення:

1/ для існування $\mathcal{F}(\alpha)$ необхідно, щоб функція $f(t)$ була визнана при всіх $t = kT$ / $k = 0, 1, 2, \dots$ /;

2/ вираз $\mathcal{F}(\alpha)$ збігається абсолютно, коли $|\alpha| > C$, де C - радіус збіжності;

3/ функція $\mathcal{F}(\alpha)$, як випливає з /7.19/, раціональна відносно комплексної змінної α ;

4/ для будь-якої функції $f(t)$, що має перетворення Лапласа, існує також і α -перетворення;

5/ одній і тій самій функції $\mathcal{F}(\alpha)$ відповідає незліченна множина часу функції $f(t)$, які збігаються в моменти часу $t = kT$; $\mathcal{F}(\alpha)$ не містить інформації про значення між моментами квантування. Для вивчення поведінки часової функції $f(t)$ між цими моментами розроблено низку методів, наприклад метод модифікованого α -перетворення [26; 41];

6/ перетворення $\alpha = e^{\rho t}$ відображає всю ліву півплощину комплексної площини ρ , яка складається з незліченної множини смуг, усередину круга з одиничним радіусом комплексної площини α з центром у початку координат /рис. 7.19/ [26; II];

7/ властивість лінійності полягає в тому, що

$$\mathcal{J}[f_1(t) + f_2(t)] = \mathcal{J}[f_1(t)] + \mathcal{J}[f_2(t)]; \quad /7.21/$$

8/ множення на константу

$$\mathcal{J}[\alpha f(t)] = \alpha \mathcal{J}[f(t)] = \alpha \mathcal{F}(\alpha), \quad /7.22/$$

де α - константа;

то

9/ зсув на часовій ділянці. Якщо $f(t)$ має \mathcal{Z} -перетворення $\mathcal{F}(z)$,

$$\mathcal{J}[f(t - \tau T)] = z^\tau \mathcal{F}(z), \quad /7.23/$$

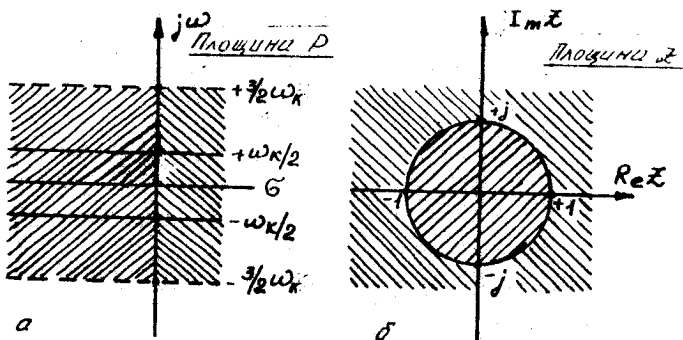


Рис. 7.19. Відображення основної й додаткових смуг площини P на площину Z за допомогою перетворення $Z = e^{j\omega}$.

У /7.23/ зроблено припущення, що $f(t)$ дорівнює нулю, коли $t < 0$;

$$\mathcal{J}[f(t + \tau T)] = z^\tau [\mathcal{F}(z) - \sum_{k=0}^{\infty} f(kT) z^{-k}], \quad /7.24/$$

де τ - ціле додатне число.

Властивості /7.23/ та /7.24/ мають важливе значення для знаходження зв'язків між різницевими рівняннями і \mathcal{Z} -передавними функціями. Звичайно теорему /7.23/ називають зсувом на часовій ділянці назад /ліворуч/, а /7.24/ - перед /праворуч/;

10/ \mathcal{Z} -перетворення не залежить від періоду квантування T . Згідно з /7.19/

$$\mathcal{J}[f(t/T)] = \sum_{k=0}^{\infty} f(k) z^{-k}. \quad /7.25/$$

Ця властивість стає в нагоді під час знаходження оберненого \mathcal{Z} -перетворення за допомогою розкладу $\mathcal{F}(z)$ на елементарні дроби, коли наявні таблиці \mathcal{Z} -перетворень складено для $T = 1$.

7.2.4. Обчислення \mathcal{Z} -перетворень

Процедура знаходження \mathcal{Z} -перетворення $\mathcal{F}(\mathcal{Z})$ неперервної функції $f(t)$ складається з таких трьох етапів: визначення $f^*(t)$ як вихідного сигналу ідеального квантувача, що його вхідним сигналом є $f(t)$, визначення функції $\mathcal{F}^*(\rho) = \mathcal{L}[f^*(t)]$ відповідно до /7.16/; визначення $\mathcal{F}(\mathcal{Z})$ заміном в $\mathcal{F}^*(\rho) e^{\rho t}$ на \mathcal{Z} .

\mathcal{Z} -Перетворення функції $f(t)$ можна визначати безпосередньо за /7.19/. Ця функція несуміжна тим, що є нескінченим рядом, а не лінійкою еквівалентною функцією, вираженою в компактній формі. Проте коли ряд збігається, то $\mathcal{F}(\mathcal{Z})$ можна виразити в комплексній формі.

Приклад 7.2. Визначити \mathcal{Z} -перетворення одиночної скідчастої функції $1(t)$, коли $t > 0$.

Розв'язання. Згідно з викладеною методикою знаходимо:

1/ функцію $f^*(t)$ на виході ідеального квантувача:

$$f^*(t) = 1 \cdot \delta_r(t) = \sum_{k=0}^{\infty} \delta(t - kT); \quad /7.26/$$

2/ функцію $\mathcal{F}^*(\rho)$ після застосування перетворення Лапласа до обох частин /7.26/

$$\mathcal{F}^*(\rho) = \sum_{k=0}^{\infty} e^{-kT\rho}. \quad /7.27/$$

Ряд /7.27/ збігається для $|e^{-T\rho}| < 1$. Щоб виразити цей нескінчений ряд у компактній формі, помножимо обидві частини /7.27/ на $e^{-T\rho}$ і віднімемо результат з /7.27/. Тоді одержимо

$$\mathcal{F}^*(\rho) = \frac{1}{1 - e^{-T\rho}} \quad \text{для } |e^{-T\rho}| < 1, \quad /7.28/$$

3/ замінивши в /7.28/ $e^{T\rho}$ на \mathcal{Z} , дістанемо

$$\mathcal{F}(\mathcal{Z}) = \mathcal{Z} [1(t)] = \frac{1}{1 - \mathcal{Z}^{-1}} = \frac{\mathcal{Z}}{\mathcal{Z} - 1}.$$

Цей вираз справжується для $|\mathcal{Z}^{-1}| < 1$ або $|\mathcal{Z}| > 1$.

Під час аналізу цифрових систем іноді знаходить $\mathcal{F}(\mathcal{Z})$ за відомим перетворенням Лапласа $\mathcal{F}(\rho)$, а не за $f(t)$. Цю задачу розв'язують на підставі використання теореми про лишки [13].

Використання цього методу дає змогу визначити $\mathcal{F}(\mathcal{Z})$ в замкненій формі, не обчислюючи суми нескінченного ряду.

В інженерній практиці чуже часто пля знаходження $\mathcal{F}(z)$ за $f(t)$ користуються таблицями \mathcal{Z} -перетворень [7; 19]. У табл. 7.2 наведено низку функцій $\mathcal{F}(z)$ і перетворення Лапласа $\mathcal{F}(p)$, що їм відповідають, для цяких, найчастіше вживаних функцій $f(t)$.

Таблиця 7.2

Перетворення Лапласа $\mathcal{F}(p)$ і \mathcal{Z} -перетворення деяких часових функцій $f(t)$

Функція $f(t)$	Перетворення Лапласа $\mathcal{F}(p)$	\mathcal{Z} -перетворення $\mathcal{F}(z)$	Ділянки збіжності
$1(t)$	$\frac{1}{p}$	$\frac{z}{z-1}$	$ z > 1$
t	$\frac{1}{p^2}$	$\frac{tz}{(z-1)^2}$	$ z > 1$
t^2	$\frac{1}{p^3}$	$\frac{t^2 z(z+1)}{2(z-1)^3}$	$ z > 1$
$e^{\alpha t}$	$\frac{1}{p+\alpha}$	$\frac{z}{z-e^{-\alpha t}}$	$ z > e^{-\alpha t}$
$1-e^{-\alpha t}$	$\frac{\alpha}{p(p+\alpha)}$	$\frac{(1-e^{-\alpha t})z}{(z-1)(z-e^{-\alpha t})}$	$ z > 1$

7.2.5. Обернене \mathcal{Z} -перетворення

Процес знаходження послідовності $f(kT)$ у моменти квантування $t=kT$ за заданою функцією $\mathcal{F}(z)$ називають оберненим \mathcal{Z} -перетворенням.

Обернене \mathcal{Z} -перетворення звичайно позначають так:

$$f(kT) = \mathcal{Z}^{-1}[\mathcal{F}(z)] \text{ - обернене перетворення } \mathcal{F}(z). \quad 17.29/$$

Треба підкреслити ще раз, що обернене \mathcal{Z} -перетворення неперервної функції $f(t)$ неоднозначне. Коректний результат оберненого пере-

творення функції $\mathcal{F}(\alpha)$ є $f(t)$, який дорівнює $f(t)$ тільки в моменти квантування $t = kT$.

Обернене перетворення можна визначити трьома методами:

I/ на підставі використання формули обернення має вигляд [13]

$$f(kT) = \frac{1}{2\pi j} \oint_{\Gamma} \phi \mathcal{F}(\alpha) \alpha^{k-1} d\alpha, \quad /7.30/$$

де Γ - замкнений контур на α -площині /який є звичайно колом/, що вміщує всі особливі точки $\mathcal{F}(\alpha) \alpha^{k-1}$. Обчислюють $f(kT)$ на підставі теореми про лишки;

2/ на підставі розвинення $\mathcal{F}(\alpha)$ у степеневий ряд.

Формулу /7.19/ можна переписати так:

$$\mathcal{F}(\alpha) = f(0) \alpha^0 + f(1) \alpha^{-1} + f(2T) \alpha^{-2} + \dots + f(kT) \alpha^{-k}. \quad /7.31/$$

Із /7.31/ випливає, що коефіцієнти цього ряду відповідають значенням $f(t)$ у моменти квантування $t = kT$.

Щоб визначити $f(kT)$, треба чисельник та знаменник $\mathcal{F}(\alpha)$ записати за зростальними степенями (α^{-1}) і поділити чисельник на знаменник. Цей метод часто застосовують в інженерній практиці;

3/ на підставі використання таблиць α -перетворень.

Цей метод ґрунтуються на розкладі $\mathcal{F}(\alpha)/\alpha$ на суму елементарних дробів і поцільшому застосуванні таблиць α -перетворень до кожного члена. Оскільки таблиці α -перетворень у чисельнику містять α , то на прості дроби зручніше розкладати функцію $\mathcal{F}(\alpha)/\alpha$. Після розкладання обидві частини виразу $\mathcal{F}(\alpha)/\alpha$ множать на α для одержання $\mathcal{F}(\alpha)$.

7.2.6. Перетворення різницевих рівнянь на алгебричні.

Імпульсна передавна функція

Різницеві рівняння, що описують процеси на часовій ділянці, можна перетворити в комплексну ділянку або, як кажуть, у ділянку α -зображення. Для цього необхідно скористатися теоремами α -перетворення /7.23/ та /7.24/ про зсув на часовій ділянці. Застосовуючи /7.23/ до кожного члена лівої й правої частин різницевого рівняння /7.12/, дістаємо:

$$[C_0 + C_1 \alpha^{-1} + C_2 \alpha^{-2} + \dots + C_n \alpha^{-n}] Y(\alpha) =$$

$$= [\beta_0 + \beta_1 \alpha^{-1} + \beta_2 \alpha^{-2} + \dots + \beta_n \alpha^{-n}] X(\alpha). \quad /7.32/$$

Рівняння /7.32/ алгебричне. За ним можна визначити імпульсну /дискретну, \hat{x} -передавну/ функцію цифрової системи як \hat{x} -перетворення вихідного сигналу $Y(\hat{x})$ до \hat{x} -перетворення вхідного сигналу $x(\hat{x})$ за нульових початкових умов, тобто

$$K(\hat{x}) = \frac{Y(\hat{x})}{x(\hat{x})} = \frac{B_0 + B_1 \hat{x}^{-1} + B_2 \hat{x}^{-2} + \dots + B_n \hat{x}^{-n}}{A_0 + A_1 \hat{x}^{-1} + A_2 \hat{x}^{-2} + \dots + A_n \hat{x}^{-n}} = \frac{B(\hat{x}^{-1})}{A(\hat{x}^{-1})} \quad /7.33/$$

Імпульсну передавну функцію $K(\hat{x})$ можна фізично реалізувати, коли нескінчений ряд $K(\hat{x}) = K(0) \hat{x}^0 + K(1) \hat{x}^{-1} + \dots$, одержаний діленням полінома чисельника $B(\hat{x}^{-1})$ на поліном знаменника $A(\hat{x}^{-1})$, не містить членів з додатними степенями \hat{x} . Наявність хоча б одного такого члена означає, що вихідний сигнал випереджує вхідний і, отже, порушується діалектичний закон причинності. Звідси знаходимо такі умови фізичної реалізовності: по-перше, коли $B_0 \neq 0$, то $A_0 \neq 0$, коли $B_0 \neq 0$, то $A_0 \neq 0$ і т.д.; по-друге, степінь π полінома $B(\hat{x}^{-1})$ має дорівнювати, як у виразі /7.33/, або не перевищувати степеня π полінома $A(\hat{x}^{-1})$, тобто $\pi \leq n$.

Так само, застосовуючи до /7.13/ формулу /7.24/ і враховуючи нульові початкові умови, дістаємо імпульсну передавну функцію як відношення поліномів $B(\hat{x})$ і $A(\hat{x})$ з додатними степенями \hat{x} , а саме

$$K(\hat{x}) = \frac{Y(\hat{x})}{x(\hat{x})} = \frac{B_n + B_{n-1} \hat{x} + \dots + B_0 \hat{x}^n}{A_n + A_{n-1} \hat{x} + \dots + A_0 \hat{x}^n} = \frac{B(\hat{x})}{A(\hat{x})} \quad /7.34/$$

Коли в /7.34/ кожен член $B(\hat{x})$ і $A(\hat{x})$ поділити на \hat{x}^n , то в цьому випадку буде одержано попередню структуру імпульсної передавної функції у вигляді /7.33/.

7.2.7. Розв'язання різницевих рівнянь за допомогою \hat{x} -перетворення

В інженерній практиці найчастіше застосовують методи розв'язання різницевих рівнянь, які ґрунтуються на використанні \hat{x} -перетворення. Алгоритм розв'язання в цьому разі такий: по-перше, за різницевим рівнянням знаходить імпульсну передавну функцію цифрової системи, наприклад у вигляді /7.33/; по-друге, знаходить \hat{x} -перетворення вхідної дії $x(\hat{x})$; по-третє, за виразом $Y(\hat{x}) = K(\hat{x}) x(\hat{x})$ з уже визначеними $K(\hat{x})$ та $x(\hat{x})$ знаходить \hat{x} -зображення вихідного сигналу $y(\hat{x})$ і за ним будь-яким з трьох основних способів, викладених у п. 7.2.5,

переходять від $y(z)$ до $y(\tau t)$. Числовий приклад визначення переходної функції цифрового регулятора швидкості наведено в підрозд. 7.4.

Інший спосіб розв'язання різницевих рівнянь полягає в знаходженні за ними дискретних рівнянь стану, а потім від цих рівнянь переходять до знаходження вихідного сигналу $y(\tau t)$. Такий спосіб розв'язання викладено в п. 7.3.2.

7.2.8. Імпульсні передавні функції розімкненої та замкненої систем і похиби

Звичайно цифрові СКЕП будується за принципом регулювання за відхиленням, і, отже, вони є системи з від'ємним зворотним зв'язком /рис. 7.20/. У зв'язку з цим доцільно визначити імпульсні передавні функції розімкненої $W(z)$, та замкненої $\Phi(z)$ систем і похиби $E(z)$.

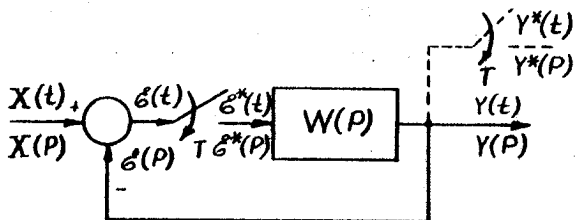


Рис. 7.20. Замкнена лінійна дискретна система керування

Можна строго довести [II], що основні зв'язки між $W(z)$, $\Phi(z)$ та $E(z)$ для систем з одиничним зворотним зв'язком /див. рис. 7.20/ такі ж самі, як і для неперервних систем, а саме:

$$W(z) = \frac{Y(z)}{E(z)} = \frac{B_0 + B_1 z^{-1} + \dots + B_m z^{-m}}{A_0 + A_1 z^{-1} + \dots + A_n z^{-n}} = \frac{B(z^{-1})}{A(z^{-1})}, \quad 17.35/$$

$$\Phi(z) = \frac{Y(z)}{z(z)} = \frac{B_0 + B_1 z^{-1} + \dots + B_m z^{-m}}{C_0 + C_1 z^{-1} + \dots + C_n z^{-n}} = \frac{B(z^{-1})}{C(z^{-1})}, \quad 17.36/$$

де $C(z^{-1}) = A(z^{-1}) + B(z^{-1})$ - характеристичний поліном замкненої системи;

$$E(z) = \frac{E(z)}{z(z)} = \frac{A_0 + A_1 z^{-1} + \dots + A_n z^{-n}}{C_0 + C_1 z^{-1} + \dots + C_n z^{-n}} = \frac{A(z^{-1})}{C(z^{-1})}. \quad 17.37/$$

Треба зазначити, що вихідний сигнал $y(t)$ у схемі на рис. 7.20 є неперервна функція, а сигнал $y^*(\rho)$, так само, як і сигнал $y(\tilde{x})$, містить інформацію тільки в дискретні моменти часу $t = kT$. Аби підкреслити дискретність вихідного сигналу, на виході системи пунктиром зображеного фіктивний ключ з періодом замикання T .

Вивчаючи принципи побудови ЦЖЕП, ми зазначали, що неперервну лінійну частину системи /об'єкт керування/ з цифровою спрягають за допомогою ЦАП /див. рис. 7.9/. Вихідним елементом ПВЗ є фіксатор нульового порядку. У зв'язку з викладеним доцільно визначити \tilde{x} -передавну функцію /ЗПФ/ послідовного з "єдинання ідеального пристроя ПВЗ /див. рис. 7.7/ і неперервної лінійної частини системи з передавною функцією $G(\rho)$.

Визначимо спочатку передавну функцію фіксатора нульового порядку, який перетворює вхідні імпульси в послідовність прямокутних імпульсів тривалістю T . Вихідний і вхідний сигнали ідеального фіксатора нульового порядку зображені на рис. 7.21. Імпульс $X_\phi(t)$ на виході /на приклад, з одніичною висотою/ можна сформувати як різницу однічних функцій $X(t)$ і $X(t-T)$, зсунутих одна відносно одної на один період квантування T , тобто

$$X_\phi(t) = X(t) - X(t-T).$$

Перетворення Лапласа сигналу $X_\phi(t)$

$$X_\phi(\rho) = \frac{1}{\rho} - \frac{1}{\rho} e^{-\rho T} = \frac{1 - e^{-\rho T}}{\rho}. \quad /7.38/$$

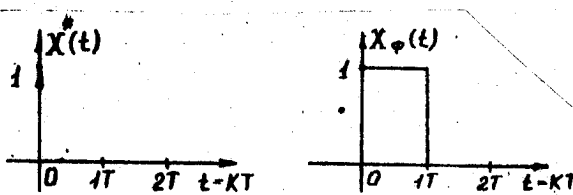


Рис. 7.21. Одиничний імпульс на вході ідеального фіксатора нульового порядку /а/ і прямокутний імпульс /реакція/ на його виході /б/

Оскільки перетворення Лапласа \mathcal{Z} -функції на вході фіксатора дорівнює одиниці, то, отже, передавну функцію фіксатора нульового порядку, як відношення перетворених за Лапласом вихідного сигналу до вхідного за нульових початкових умов, визначає /7.38/.

Тоді ЗМФ розімкненої системи

$$W(z) = \frac{Y(z)}{E(z)} = \mathcal{Z} [K_{\phi}(p) G(p)] = \mathcal{Z} \left[\frac{1-e^{-Tp}}{p} G(p) \right].$$

Відповідно до теореми про зсув на часовій ділянці /7.23/ α -перетворення чисельника передавної функції фіксатора можна винести за дужки. Отже,

$$W(z) = (1 - z^{-1}) \mathcal{Z} \left[\frac{G(p)}{p} \right]. \quad /7.39/$$

Передавні функції /7.36/ та /7.37/ записано для випадку однічного зворотного зв'язку. Якщо коло зворотного зв'язку замкненої ЦСКЕП містить динамічну ланку з передавною функцією $H(p)$, не відокремлену від ланки $G(p)$ квантувачем /рис. 7.22/, то в цьому разі

$$\phi(z) = \frac{Y(z)}{X(z)} = \frac{W(z)}{1 + WH(z)}. \quad /7.40/$$

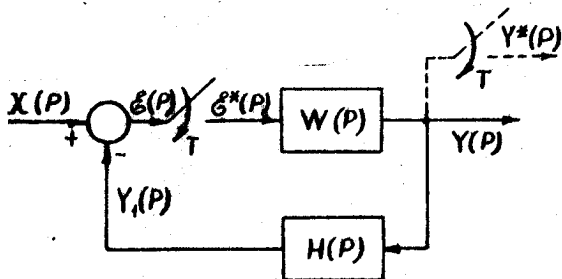


Рис. 7.22. Структурна схема замкненої цифрової системи з неодиничним зворотним зв'язком

Бираз $WH(z)$ у /7.40/ означає, що треба знайти спочатку вислідну передавну функцію $G(p)H(p)$ і потім узяти від неї α -перетворення, тобто $WH(z) \in \mathcal{Z}[G(p)H(p)]$.

7.3. Математичний опис процесів
у цифрових системах керування
електроприводами в просторі станів

7.3.1. Дискретні рівняння стану

Динамічні властивості лінійних стаціонарних ЦСКЕП з одним входом $U(t)$ і одним виходом $Y(t)$ описують, якщо $T = 1$, лінійним розмноженням рівнянням виду /7.13/. Перепишемо це рівняння, припустивши, що $a_0 = 1$:

$$y(K+n) + a_1 y(K+n-1) + \dots + a_{n-1} y(K+1) + a_n y(K) = \\ = b_0 u(K+n) + b_1 u(K+n-1) + \dots + b_{n-1} u(K+1) + b_n u(K). \quad /7.41/$$

Рівняння /7.41/ відповідає ЗПФ виду

$$\frac{Y(z)}{U(z)} = \frac{b_0 + b_1 z^{-1} + \dots + b_{n-1} z^{-(n-1)}}{a_0 + a_1 z^{-1} + \dots + a_{n-1} z^{-(n-1)}} = \frac{b_0 + b_1 z^{-1} + \dots + b_{n-1} z^{-(n-1)}}{1 + a_1 z^{-1} + \dots + a_{n-1} z^{-(n-1)}} \quad /7.42/$$

Розглянемо спочатку випадок, коли $b_0 = 0, b_1 = 0, \dots, b_{n-1} = 0$, а $b_n = 1$.

Запровадимо такі змінні стану:

$$x_1(K) = y(K); \quad /7.43/$$

$$\left. \begin{array}{l} x_2(K) = x_1(K+1) = y(K+1); \\ x_3(K) = x_2(K+1) = y(K+2); \\ \dots \dots \dots \\ x_n(K) = x_{n-1}(K+1) = y(K+n-1) \\ x_{n+1}(K) = y(K+n) \end{array} \right\} \quad /7.44/$$

Підставимо /7.44/ в /7.41/:

$$y(K+n) = x_n(K+1) = -a_1 x_n(K) - a_2 x_{n-1}(K) - \\ - a_3 x_{n-2}(K) - \dots - a_n x_1(K) + 1 \cdot u(K). \quad /7.45/$$

Рівняння /7.43/-/7.45/ можна записати у вигляді різницевих рівнянь першого порядку у векторно-матрицевій формі:

$$\begin{bmatrix} x_1(K+1) \\ x_2(K+1) \\ \vdots \\ x_n(K+1) \end{bmatrix} = \begin{bmatrix} 0 & 1 & 0 \dots 0 \\ 0 & 0 & 1 \dots 0 \\ \dots & \dots & \dots \\ 0 & 0 & 0 \dots 1 \\ -a_n & -a_{n-1} & -a_{n-2} & -a_1 \end{bmatrix} \begin{bmatrix} x_1(K) \\ x_2(K) \\ \vdots \\ x_n(K) \end{bmatrix} + \begin{bmatrix} 0 \\ 0 \\ \vdots \\ 1 \end{bmatrix} \quad /7.46/$$

і рівняння виходу

$$y(K) = [1 \ 0 \ 0 \ \dots \ 0] \begin{bmatrix} x_1(K) \\ x_2(K) \\ \vdots \\ x_n(K) \end{bmatrix} \quad /7.47/$$

або

$$\bar{x}(K+1) = A \bar{x}(K) + \beta u(K), \quad /7.48/$$

$$y(K) = C \bar{x}(K), \quad /7.49/$$

де вектор стану $\bar{x}(K)$, динамічна матриця A' , матриці входу β та виходу C

$$A = \begin{bmatrix} 0 & 1 & 0 \dots 0 \\ 0 & 0 & 1 \dots 0 \\ \dots & \dots & \dots \\ 0 & 0 & 0 \dots 1 \\ -a_n & -a_{n-1} & -a_{n-2} \dots -a_1 \end{bmatrix}; \quad \beta = \begin{bmatrix} 0 \\ 0 \\ \vdots \\ 1 \end{bmatrix};$$

$$C = [1 \ 0 \ 0 \ \dots \ 0]; \quad \bar{x}(K) = [x_1(K) \ x_2(K) \ \dots \ x_n(K)]^T.$$

Рівняння /7.48/ і /7.49/ називають дискретними /різницевими/ рівняннями стану, записаними в стандартній формі.

З виразу /7.42/ знаходимо

$$y(z) = \frac{1}{a_n + a_{n-1}z + \dots + z^n} U(z) = x_1(z). \quad /7.50/$$

За /7.43/-/7.45/ складено схему аналогового моделювання цифрових систем /рис. 7.23/. Позначення z^{-1} усередині динамічних блоків на цій

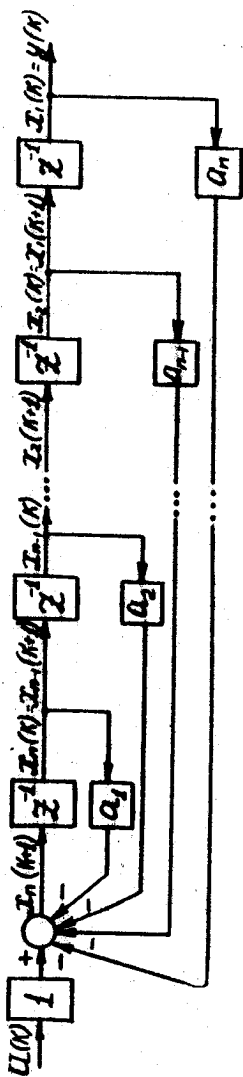
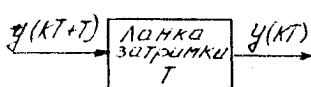


Рис. 7.23. Структурна схема моделювання цифрової системи,
яка відповідає рівнянням стану $\dot{Y}(t) = A Y(t) + B U(t)$,
 $A = \begin{bmatrix} 0 & 1 & \dots & 0 \\ 0 & 0 & \dots & 0 \\ \vdots & \vdots & \ddots & \vdots \\ 0 & 0 & \dots & 0 \end{bmatrix}$,
 $B = \begin{bmatrix} 1 \\ 0 \\ \vdots \\ 0 \end{bmatrix}$.

схемі означає зсув /затримку/ на один період квантування між вихідними та вхідними змінними. Іноді, особливо коли період квантування $T \neq 1$ [13], усередині блоків замість Δ^{-1} записують "ланка затримки T ". Ланка затримки для різницевих рівнянь у певному розумінні подібна до ідеальної інтегрувальної ланки /рис. 7.24/. Її вхідна величина



$u(kT+T)$, а вихідна $u(kT)$, тобто вхідний сигнал ланки затримки з"являється на її виході через один період, або запізнюється на T .

Приклад 7.3. Для об"єкта керування, що його описує різницеве рівняння $u(kT+2) + \alpha u(kT+1) + \beta u(kT) = u(kT)$, потрібно побудувати схему аналогового моделювання і визначити рівняння стану.

Рис. 7.24. Схема ланки затримки на період T

Розв"язання. Побудуємо спочатку схему аналогового моделювання розглядуваного об"єкта. Перший етап полягає в зображенні $u(kT+2)$ у вигляді $u(kT+2) = u(kT) - \alpha u(kT+1) - \beta u(kT)$. Члени $u(kT+1)$ і $u(kT)$ одержуємо, як зображене на рис. 7.25,а. Повну схему моделювання /рис. 7.25,б/ одержимо з умови виконення початкового різницевого рівняння. Коли початкові умови задано у вигляді $u(0)$, $u(T)$, то $u(0)$ і $u(T)$ - початкові значення вихідів відповідно першої та другої ланок затримки. Через період $u(T)$ з"явиться на виході першої ланки затримки, а через два вихід першої ланки затримки становитиме $u(2T) = u(0) - \alpha u(T) - \beta u(0)$.

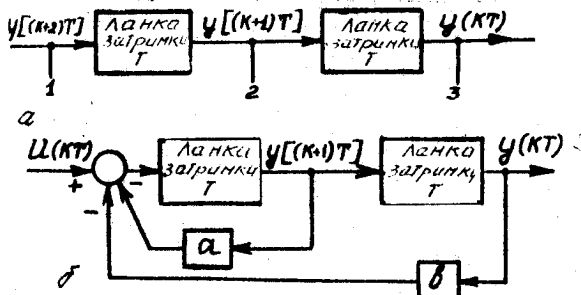


Рис. 7.25. До питання моделювання різницевого рівняння другого порядку /приклад 7.3/

З викладеного випливає, що правила побудови схем моделювання для різницевих рівнянь такі ж самі, як і для диференціальних.

Знайдемо тепер рівняння стану. Запровадимо змінні стану:

$$x_1(\kappa T) = y(\kappa T);$$

Тоді $x_2(\kappa T) = x_1[(\kappa+1)T] = y[(\kappa+1)T].$

$$\begin{bmatrix} x_1(\kappa T+T) \\ x_2(\kappa T+T) \end{bmatrix} = \begin{bmatrix} 0 & 1 \\ -\delta & -\alpha \end{bmatrix} \begin{bmatrix} x_1(\kappa T) \\ x_2(\kappa T) \end{bmatrix} + \begin{bmatrix} 0 \\ 1 \end{bmatrix} u(\kappa T)$$

$$y(\kappa T) = [1 \ 0] \begin{bmatrix} x_1(\kappa T) \\ x_2(\kappa T) \end{bmatrix}$$

або

$$\overline{x(\kappa T+T)} = A \overline{x(\kappa T)} + \delta u(\kappa T),$$

$$y(\kappa T) = C \overline{x(\kappa T)} + \alpha u(\kappa T),$$

де

$$A = \begin{bmatrix} 0 & 1 \\ -\delta & -\alpha \end{bmatrix}; \quad \delta = \begin{bmatrix} 0 \\ 1 \end{bmatrix},$$

$$C = [1 \ 0]; \quad \alpha = [0]; \quad \overline{x(\kappa T)} = [x_1(\kappa T) \ x_2(\kappa T)]^T.$$

Розпочнемо розглядати випадок, коли $\delta_n \neq 1$, $\delta \neq 0$, $\alpha \neq 0$, ..., $\delta_{n-1} \neq 0$. Тоді рівняння /7.42/ і /7.44/ з урахуванням /7.50/ набувають вигляду

$$y(x) = \delta_n x_1(x) + \delta_{n-1} x_2(x) + \dots + \delta_0 x_n(x) \quad /7.51/$$

або, перейшовши на часову ділянку,

$$y(\kappa) = \delta_n x_1(\kappa) + \delta_{n-1} x_2(\kappa+1) + \dots + \delta_0 x_n(\kappa+n). \quad /7.52/$$

На рис. 7.26 зображено схему аналогового моделювання цифрової системи, складену за /7.44/ та /7.52/. У цьому разі у векторно-матрицевій формі запису рівнянь стану /7.48/ і виходу /7.49/ матриці A'

та β не змінюються, а матриця C набирає вигляду

$$C = [\beta_n \ \beta_{n-1} \dots \beta_1]. \quad /7.53/$$

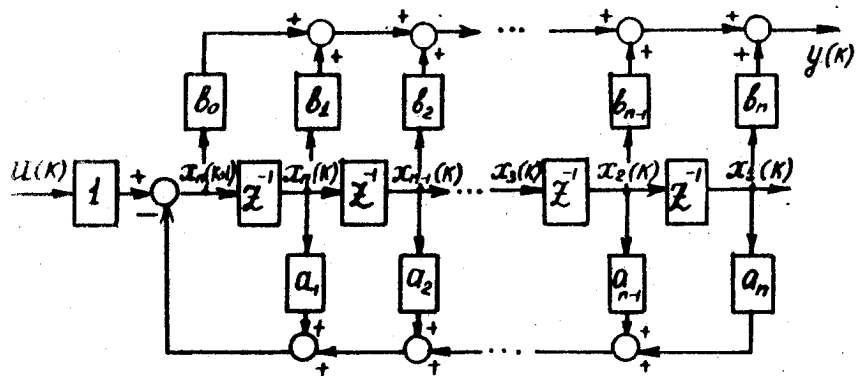


Рис. 7.26. Структурна схема моделювання цифрової системи, яка відповідає рівнянням стану /7.44/, /7.52/

Нарешті, розглянемо найзагальніший випадок, коли всі коефіцієнти $\beta_0, \beta_1, \dots, \beta_n$ у /7.41/ не дорівнюють нулеві і, крім того, є прямий зв'язок між виходом $Y(k)$ та входом $U(k)$.

Визначивши $x_{n+1}(k+1)$ з /7.45/ і підставивши його в /7.52/, дістанемо

$$\begin{aligned} Y(k) &= (\beta_n - \beta_0 a_n) x_1(k) + (\beta_{n-1} - \beta_0 a_{n-1}) x_2(k) + \dots + \\ &+ (\beta_1 - \beta_0 a_1) x_n(k) + \beta_0 U(k). \end{aligned} \quad /7.54/$$

Тоді узагальнене рівняння виходу можна записати так:

$$Y(k) = [(\beta_n - \beta_0 a_n) \dots (\beta_1 - \beta_0 a_1)] \begin{bmatrix} x_1(k) \\ \vdots \\ x_n(k) \end{bmatrix} + \beta_0 U(k)$$

або

$$Y(k) = C \bar{x}(k) + d U(k), \quad /7.55/$$

де матриця $d = \beta_0$.

За рівняннями стану /7.48/ і виходу /7.55/ на рис. 7.27 побудовано структурну схему цифрової системи з одним входом і одним виходом.

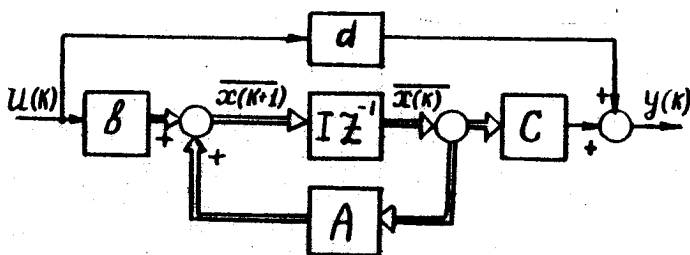


Рис. 7.27. Структурна схема цифрової системи з одним входом і одним виходом, яка відповідає рівнянням стану /7.48/ і виходу /7.55/

Приклад 7.4. Відома імпульсна передавна функція об'єкта керування електроприводом разом з коригувальним пристроєм

$$K(z) = \frac{2 + 3,6z^{-1} - 0,8z^{-2}}{1 + 0,7z^{-1} + 0,1z^{-2}} = \frac{y(z)}{U(z)}.$$

Потрібно визначити рівняння стану.

Розв'язання. З виразу для $K(z)$ знаходимо різницеве рівняння

$$0,1y(z-2) + 0,7y(z-1) + y(z) = -0,8U(z-2) + 3,6U(z-1) + 2U(z).$$

Запровадивши змінні стану $x_1(z)$ та $x_2(z)$, після відповідних перетворень різницевого рівняння одержуємо:

$$\begin{bmatrix} x_1(z+1) \\ x_2(z+1) \end{bmatrix} = \begin{bmatrix} 0 & 1 \\ -0,1 & -0,7 \end{bmatrix} \begin{bmatrix} x_1(z) \\ x_2(z) \end{bmatrix} + \begin{bmatrix} 0 \\ 1 \end{bmatrix} U(z),$$

$$y(z) = [-1 \ 2 \ 2] [x_1(z) \ x_2(z)]^T + 2U(z)$$

або

$$\overline{x(z+1)} = Ax(z) + Bu(z);$$

$$y(z) = C\overline{x(z)} + du(z),$$

де

$$A = \begin{bmatrix} 0 & 1 \\ -0,1 & -0,7 \end{bmatrix}; \quad B = \begin{bmatrix} 0 \\ 1 \end{bmatrix}; \quad C = \begin{bmatrix} -1 & 2 & 2 \end{bmatrix}; \quad d = 2.$$

7.3.2. Розв'язання рівнянь стану в дискретному часі

Наведемо деякі способи розв'язання різницевих рівнянь стану:

$$\underline{x}(k+1) = A \underline{x}(k) + B u(k); \quad 17.56/$$

$$y(k) = C \underline{x}(k) + d u(k), \quad 17.57/$$

де $U(k)$ і $y(k)$ - скалярні.

Розв'язання на часовій ділянці. Цей спосіб полягає в побудові рекурентної процедури безпосереднього розв'язання різницевих рівнянь /7.56/ та /7.57/ для заданої послідовності вхідних сигналів $U(k)$ і заданого вектора початкових умов $\underline{x}(0)$. Цю процедуру описують співвідношеннями

$$x(1) = Ax(0) + Bu(0);$$

$$x(2) = Ax(1) + Bu(1) = A^2x(0) + ABu(0) + Bu(1);$$

$$x(3) = Ax(2) + Bu(2) = A^3x(0) + A^2Bu(0) + ABu(1) + Bu(2); \quad 17.58/$$

$$\vdots$$
$$x(k) = A^kx(0) + \sum_{i=1}^k A^{i-1}Bu(k-i),$$

$$\text{де } A^k = \underbrace{A \cdot A \cdots A}_K.$$

Перший член у /7.58/ - це розв'язок однорідного різницевого рівняння стану, який характеризує вільні рухи системи, спричинені нульовими початковими умовами, а другий - частинний розв'язок /сума згортки/, що характеризує і вільні, і вимушенні рухи системи, спричинені вхідною дією $U(k)$.

Вихідний сигнал $y(k)$ обчислюють з /7.57/, ураховуючи одержаний розв'язок /7.58/ для $x(k)$.

Викладеним методом добре розв'язувати різницеві рівняння високого порядку на ЕОМ.

Розв'язання на частотній ділянці. Для цифрових систем з одним входом і одним виходом найпростіше скористатися методом ω -перетворення.

Запишемо ω -перетворення для вектора стану:

$$\mathcal{Z}\{\bar{x}(\kappa)\} = \bar{x}(\omega).$$

Відповідно до теореми про зсув на часовій ділянці праворуч

$$\mathcal{Z}[x(\kappa+1)] = \mathcal{Z}[\bar{x}(\omega) - \bar{x}(0)].$$

З іншого боку, з /7.56/ випливає, що

$$\mathcal{Z}[\bar{x}(\omega) - \bar{x}(0)] = A \bar{x}(\omega) + \delta u(\omega) \quad /7.59/$$

або

$$\bar{x}(\omega) = [\omega I - A]^{-1} \omega \bar{x}(0) + [\omega I - A]^{-1} \delta u(\omega). \quad /7.60/$$

Підставивши /7.60/ у /7.57/, дістанемо

$$y(\omega) = C[\omega I - A]^{-1} \omega \bar{x}(0) + \{C[\omega I - A]^{-1} \delta + d\} u(\omega). \quad /7.61/$$

Застосувавши до /7.61/ будь-який з методів оберненого ω -перетворення, знайдемо $y(kT)$.

Із /7.61/ за нульових початкових умов $\bar{x}(0) = [0]$ одержимо вираз для імпульсної передавної функції

$$x(\omega) = \frac{y(\omega)}{u(\omega)} = C[\omega I - A]^{-1} \delta + d = \frac{C \text{adj}[\omega I - A] \delta + d \det[\omega I - A]}{\det[\omega I - A]} \quad /7.62/$$

Знаменник одержаної передавної функції $x(\omega)$ утворює ліву частину характеристичного рівняння системи

$$\det[\omega I - A] = 0. \quad /7.63/$$

Зауважимо, що вираз /7.62/ справджується й для багатовимірних цифрових систем, коли вимірності матриць B /позначають B / та C , і скалярів $u(k)$ та $y(k)$ замінити відповідними векторами.

Приклад 7.5. Для цифрової системи, що її описують дискретні рівняння стану /7.56/ та /7.57/, в яких задано матриці A, B і C :

$$A = \begin{bmatrix} 0 & 1 \\ -6 & -5 \end{bmatrix}; \quad B = \begin{bmatrix} 0 \\ 1 \end{bmatrix}; \quad C = [1 \ 0],$$

і початкові умови $y(0), y(1)$, потрібно визначити $y(k)$.

Розв'язання. Щоб знайти $y(k)$, спочатку визначимо $y(\tilde{x})$, скориставшись для цього /7.61/. У цьому випадку

$$[\tilde{x}I - A] = \begin{bmatrix} \tilde{x} & -1 \\ 6 & \tilde{x}+5 \end{bmatrix},$$

а тому

$$[\tilde{x}I - A]^{-1} = \frac{\text{Adj}[\tilde{x}I - A]}{\det[\tilde{x}I - A]} = \frac{\begin{bmatrix} \tilde{x}+5 & 1 \\ -6 & \tilde{x} \end{bmatrix}}{(\tilde{x}+2)(\tilde{x}+3)}.$$

Еважаючи вхідну дію $U(t)$ за однічну, \tilde{x} -зображення якої дорівнює $\tilde{x}/(\tilde{x}-1)$, і підставляючи цей вираз, так само, як і отримані раніше вирази для матриць $[\tilde{x}I - A]$ та $[\tilde{x}I - A]^{-1}$, у формулу /7.61/, після нескладних перетворень діствамо:

$$y(\tilde{x}) = \frac{\tilde{x}(\tilde{x}+5)}{(\tilde{x}+2)(\tilde{x}+3)} y(0) + \frac{\tilde{x}}{(\tilde{x}+2)(\tilde{x}+3)} y(1) + \frac{\tilde{x}}{(\tilde{x}-1)(\tilde{x}+2)(\tilde{x}+3)}$$

або

$$y(\tilde{x}) = \frac{\tilde{x}/(\tilde{x}-1) + 2[\tilde{x}y(0) + y(1) + 5y(0)]}{(\tilde{x}+2)(\tilde{x}+3)}.$$

Полюси функції $y(\tilde{x})$ дорівнюють $\tilde{x} = 1$; $\tilde{x} = -2$; $\tilde{x} = -3$.

Щоб обчислити $y(k)$, скористаємося теоремою про лишки:

$y(k) = \sum$ висчепов $y(\tilde{x}) \tilde{x}^{k-1}$ в полюсах $y(\tilde{x})$;

$$R_1 = (\tilde{x}-1) y(\tilde{x}) \tilde{x}^{k-1} \Big|_{\tilde{x}=1} = 1/12,$$

$$R_2 = (\tilde{x}+2) y(\tilde{x}) \tilde{x}^{k-1} \Big|_{\tilde{x}=-2} = [-\frac{1}{3} + 3y(0) + y(1)] (-2)^k;$$

$$R_3 = (\tilde{x}+3) y(\tilde{x}) \tilde{x}^{k-1} \Big|_{\tilde{x}=-3} = [\frac{1}{4} - 2y(0) - y(1)] (-3)^k.$$

Тоді загальний розв'язок матиме вигляд

$$y(k) = [3(-2)^k - 2(-3)^k] y(0) + [(-2)^k - (-3)^k] y(1) +$$

$$+ [\frac{1}{4} (-3)^k - \frac{1}{3} (-2)^k - y(1)] (-3)^k.$$

/7.64/

Задаючи у /7.64/ значення $k = 0, 1, 2, \dots$, діствамо значення ординат вихідного сигналу $y(k)$ в моменти часу $t = k$. За нульових

початкових умов, тобто коли $y(0) = 0$, $y(1) = 0$, матимемо дискретну перехідну функцію $\psi(k)$.

Основні відомості про алгоритми числового розв'язання рівнянь стану. Точко розв'язати рівняння стану методами, розглянутими попереду, можна тільки тоді, коли матриця A має невелику вимірність /практично коли $k \leq 3/$. Якщо $k > 3$, то доцільно користуватися числовими методами розв'язання. Зараз з огляду на широке впровадження в інженерну практику ЕОМ та персональних комп'ютерів розроблено досить багато алгоритмів і програм розв'язання диференціальних рівнянь, зокрема рівнянь стану.

Наведемо короткий опис лише одного числового методу розв'язання дискретних рівнянь стану, який ґрунтуються на їх записові через дискретну перехідну матрицю стану $\psi(kT)$, яку в даному разі визначає нескінчений ряд /2.98/, тобто $\psi(kT) = e^{AT}$. Питань, пов'язаних з методами числового аналізу й теоретичним обґрунтуванням розглядуваного алгоритму, тут не розглядаємо.

Розглядуваний алгоритм можна використати для розв'язання як неперервних рівнянь стану /2.84/, /2.85/ після їх зведення до дискретної форми, так і дискретних /різницевих/ рівнянь стану.

Наведемо насамперед спосіб зведення рівняння /2.84/ до різницевого. Припустивши, що в /2.84/ $t_0 = kT$ і $t = (k+1)T$, де $k = 0, 1, 2, \dots$, одержимо:

$$\bar{x}[(k+1)T] = e^{AT} \bar{x}(kT) + e^{A(k+1)T} \int_{kT}^{(k+1)T} e^{-A\tau} B u(\tau) d\tau. \quad 17.65/$$

Треба зауважити, що хоча вираз /7.65/ і описує стан протягом одного інтервалу квантування $kT \leq t \leq (k+1)T$, він після подальших перетворень спрощується і для всього інтервалу квантування.

Коли вхідний сигнал $u(t) = 0$, з /7.65/ одержуємо алгоритм розв'язання однорідного рівняння стану $\bar{x}(t) = A \bar{x}(t)$, спричиненого ненульовими початковими умовами $\bar{x}(t_0) = \bar{x}(0)$:

$$\bar{x}[(k+1)T] = e^{AT} \bar{x}(kT), \quad 17.66/$$

де матрицю e^{AT} визначає вираз /2.98/.

Формула /7.66/ являє собою рекурентне спiввiдношення: обчислення $\bar{x}(t)$ в послiдовнi моменти часу $t = (k+1)T$ можна замiнити множенням вектора $\bar{x}(kT)$, одержаного на попередньому кроцi, на матри-

що e^{AT} . Наприклад, коли задано вектор початкових значень $\bar{x}(t_0) = \bar{x}(0)$, то

$$\text{при } \kappa = 0 \quad \bar{x}(T) = e^{AT} \bar{x}(0);$$

$$\text{при } \kappa = 1 \quad \bar{x}(2T) = e^{AT} \bar{x}(T);$$

$$\text{при } \kappa = 2 \quad \bar{x}(3T) = e^{AT} \bar{x}(2T);$$

$$\dots$$

$$\text{при } \kappa = n-1 \quad \bar{x}(nT) = e^{AT} \bar{x}[(n-1)T].$$

Точність апроксимації $\bar{x}[(\kappa+1)T]$ у точці $t = (\kappa+1)T$, як і матрицевої експоненти e^{AT} , становить $O(T^5)$.

Розглянемо інший спосіб визначення вільного руху, що його визначає алгоритм /7.66/. Коли $\kappa = 0$, $\bar{x}(T) = e^{AT} \bar{x}(0)$; коли $\kappa = 1$, $\bar{x}(2T) = e^{AT} \bar{x}(T) = e^{AT} e^{AT} \bar{x}(0) = e^{2AT} \bar{x}(0)$; коли $\kappa = n$, $\bar{x}(nT) = e^{AT} \bar{x}(0)$, або, замінивши n на κ , остаточно одержимо

$$\bar{x}(\kappa T) = e^{AT} \bar{x}(0). \quad /7.67/$$

Під час розрахунків згідно з /7.67/ матрицю e^{AT} обчислюють для значень $\kappa = 1, 2, 3$ і т.д. Одержані значення e^{AT}, e^{2AT}, \dots , потім множать на сталий заданий вектор $\bar{x}(0)$ і одержують вектор $\bar{x}(nT)$. Алгоритм /7.67/ так само, як і /7.66/, часто застосовують на практиці, замінюючи звичайно матрицеву експоненту e^{AT} кількома членами ряду /2.98/. Приміром, для двох перших членів /2.98/

$$\bar{x}(nT) = [I + AT]^n \bar{x}(0). \quad /7.68/$$

Якщо матрицеву функцію e^{AT} апроксимувати трьома першими членами ряду /2.98/, то

$$\bar{x}(nT) = [I + AT + \frac{1}{2} A^2 T^2]^n \bar{x}(0). \quad /7.69/$$

Неважко довести, що алгоритми /7.68/ та /7.69/ можна дістати, коли однорідне диференціальне рівняння стану $\dot{x}(t) = Ax(t)$, $x(t_0) = \bar{x}(0)$ наближено розв'язати, застосувавши формули відповідно прямокутників та трапецій.

У загальному випадку, коли матрицеву експоненту e^{AT} апроксимовано μ членами ряду /2.98/, алгоритм розв'язання однорідного рівняння має вигляд

$$\bar{x}(nT) = \left[I + AT + \frac{A^2 T^2}{2!} + \frac{A^3 T^3}{3!} + \dots + \frac{A^n T^n}{n!} \right] \bar{x}(0). \quad /7.70/$$

Розпочнемо тепер розв'язувати неоднорідне рівняння /7.65/. Розглянемо спочатку випадок, коли $\bar{U}(t)$ - стала /кусково-стала/ на кожному з часових інтервалів, тобто $\bar{U}(t) = \bar{U}(kT) = \text{const}$ для $kT \leq t \leq (k+1)T$, де $k = 0, 1, 2, \dots$.

Використавши властивість перехідної матриці стану /2.74/, маємо

$$\int_{kT}^{(k+1)T} e^{-A\bar{\varepsilon}} B \bar{U}(\bar{\varepsilon}) d\bar{\varepsilon} = \left[\int_{kT}^{(k+1)T} e^{-A\bar{\varepsilon}} d\bar{\varepsilon} \right] B \bar{U}(kT) =$$

$$= \left[-e^{-A\bar{\varepsilon}} \right]_{kT}^{(k+1)T} A^{-1} B \bar{U}(kT) = \left[-e^{-A(k+1)T} + e^{-AkT} \right] A^{-1} B \bar{U}(kT).$$

Після цього рівняння /7.65/ набуде такого вигляду:

$$\bar{x}[(k+1)T] = e^{AT} \bar{x}(kT) + [e^{AT} - I] A^{-1} B \bar{U}(kT), \quad /7.71/$$

що і є шуканим різницевим рівнянням. Зauważимо, що значення $\bar{U}(kT)$ треба брати в моменти часу $kT \neq 0$.

Рівняння /7.71/, що по суті є рекурентна формула, легко розв'язати на ЦОМ. Перший член його правої частини характеризує рух системи за нульового входу, а другий - рух, зумовлений вектором керування $\bar{U}(kT)$. Ураховуючи, що

$$\bar{y}[(k+1)T] = C \bar{x}[(k+1)T], \quad /7.72/$$

із /7.71/ за нульових початкових умов дістаємо формулу для обчислення перехідної функції:

$$\bar{h}[(k+1)T] = C [e^{AT} - I] A^{-1} B. \quad /7.73/$$

Для обчислення перехідної функції за /7.73/ не потрібно, щоб матриця A була неособлива. Це пов'язано з тим, що фактично обчислюємо e^{AT} підсумуванням ряду /2.98/. Отже,

$$[e^{AT} - I] A^{-1} = [(I + AT + \frac{A^2 T^2}{2!} + \dots) - I] A^{-1} = AT + \frac{A^2 T^2}{2!} + \frac{A^3 T^3}{3!} + \dots \quad /7.74/$$

У /7.74/ обчислювати A^{-1} не потрібно.

Коли в /7.71/ як грубе наближення для e^{At} взяти два члени розкладу, тобто припустити, що $e^{At} \approx I + At$, то дістанемо так звану формулу Ейлера:

$$\bar{x}[(k+1)T] = [I + AT] \bar{x}(kT) + TB \bar{U}(kT). \quad /7.75/$$

Інші алгоритми числового розв'язання рівнянь стану, і зокрема алгоритм, який ґрунтується на використанні матриці ϱ^{A^t} і виду $/2.101/, наведено в [I; 4; II].$

Низку конкретних прикладів застосування числових алгоритмів для розв'язання рівнянь стану приводиться в [II].

7.3.3. Дослідження якості процесів керування в цифровому регуляторі швидкості

Якість процесів у ЦСКП, так само як і в неперервних СКЕП, містить такі поняття, як стійкість ($A_{\text{зап}}, \varphi_{\text{зап}}$), точність у випадку петермінованих та випадкових дій /динамічні й випадкові похибки/ і якість переходного процесу ($6\%, t_p, t_{p,y}$).

Питання якості процесу керування розглянемо на прикладі цифрового регулятора швидкості /рис. 7.28/. Неперервна частина системи з передавною функцією

$$G(\rho) = K_d / \rho (T_{\mu c} \rho + 1),$$

де $K_d = k_g R_\Sigma / K_{\text{стр}} T_M$ - коефіцієнт підсилення за швидкістю, являє собою послідовне з'єднання передавної функції контуру струму /див. рис. I.I3 та I.I4/, оптимізованого за модульним критерієм /коли $2T_{\mu c}^2 = 0$, і передавної функції механічної частини двигуна постійного струму $k_g R_\Sigma / T_M \rho$. У цифровому контурі викідний сигнал давача швидкості, так само як і вхідний сигнал системи, оброблюють пристроя вибирання й зберігання. У [II] зроблено докладний висновок і одержано такі дискретні передавні функції розімкненого й замкненого регуляторів швидкості:

$$W(z) = \frac{y(z)}{e(z)} = \mathcal{Z} [W_\phi(\rho) G(\rho)] = (1-z^{-1}) \mathcal{Z} \left[\frac{K_d}{\rho^2 (T_{\mu c} \rho + 1)} \right] =$$

$$= \frac{(K_d T - K_d T_{\mu c}) z - K_d T_{\mu c}}{z(z-1)};$$

$$\phi(z) = \frac{y(z)}{x(z)} = \frac{\mathcal{Z} [W_\phi(\rho) G(\rho)]}{1 + \mathcal{Z} [W_\phi(\rho) G H(\rho)]} = \frac{W(z)}{1 + GH(z)} =$$

$$= \frac{K_d T_{\mu c} - (K_d T - K_d T_{\mu c}) z}{K_d T_{\mu c} + (K_d K_H T - K_d K_H T_{\mu c} - 1) z + z^2}, \quad 17.761$$

де K_w - коефіцієнт підсилення кола зворотного зв'язку контуру швидкості.

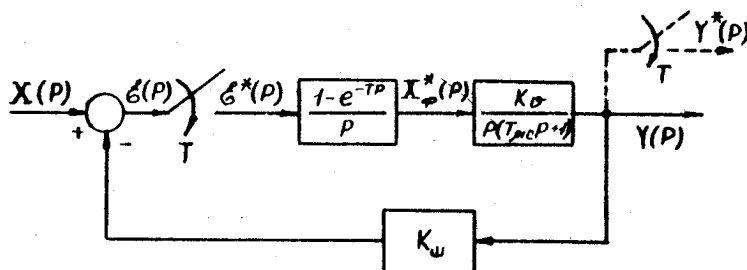


Рис. 7.28. Структурна схема цифрової системи керування кутовою швидкістю обертання електродвигуна постійного струму

Стійкість. Для стійкості замкненої стаціонарної лінійної цифрової системи необхідно й досить, щоб корені характеристичного рівняння замкненої системи лежали всередині круга з одиничним радіусом на ω - площині, маючи центр у початку координат (див. властивості \mathcal{Z} -перетворення). Коли хоча б один корінь міститься на колі, тобто $|z_i| = 1$, а решта - всередині кола, то в цьому разі система перебуває на межі стійкості. Характеристичним рівнянням є знаменник $\Phi(z)$, тобто $\omega^2 z + \alpha z + \beta = 0$, де $\alpha = K_v K_w T - K_v K_w T_{mc} - 1$; $\beta = K_v K_w T_{mc}$.

У табл. 7.3 наведено результати розрахунку коренів характеристичного рівняння замкненої системи для таких числових значень параметрів: $K_w = 1 \text{ В}\cdot\text{с}/\text{рад}$; $K_v = 5 \text{ с}^{-1}$; $T_{mc} = 1 \cdot 10^{-3} \text{ с}$. З неї випливає, що із зменшенням періоду квантування T стійкість привода поліпшується. Для вибраних значень параметрів граничне значення T_{pr} , за якого система перебуває на межі стійкості, дорівнює приблизно 0,425 с. На стійкість впливають і інші параметри (K_v , T_{mc}) системи. Щоб оцінити стійкість ЦСКЕП, застосовують алгебричні й частотні критерії стійкості [II].

Таблиця 7.3

Вплив періоду квантування T
на стійкість цифрового регулятора швидкості

$T, \text{с}$	Характеристичне рівняння $\tilde{x}^2 + \alpha \tilde{x} + \beta = 0$	Корені рівняння замкненої системи \tilde{x}_1, \tilde{x}_2
0,5	$\tilde{x}^2 + 1,495 \tilde{x} + 0,005 = 0$	$\tilde{x}_1 = -0,003352;$ $\tilde{x}_2 = -1,4916.$
0,4	$\tilde{x}^2 + 0,995 \tilde{x} + 0,005 = 0$	$\tilde{x}_1 = -0,0050508;$ $\tilde{x}_2 = -0,98996$
0,3	$\tilde{x}^2 + 0,495 \tilde{x} + 0,005 = 0$	$\tilde{x}_1 = -0,010316;$ $\tilde{x}_2 = -0,48$
0,2	$\tilde{x}^2 - 0,005 \tilde{x} + 0,005 = 0$	$\tilde{x}_{1,2} = 0,025 \pm 0,070606$

Оцінювання якості перехідного процесу. Якість перехідного процесу цифрових систем ($\sigma\%$, t_p , $t_{n,y}$), так само як і неперервних СКЕП, оцінюють за перехідною функцією $h(xT)$. щоб визначити останнє, скористаймося широко застосовуваним в інженерній практиці методом ділення многочленів чисельника та знаменника /взаєднакіль записаних за оберненими степенями $\tilde{x}^{-1}/ \tilde{x}$ -зображення перехідної функції:

$$h(\tilde{x}) = \phi(\tilde{x}) \frac{\tilde{x}}{\tilde{x} - 1},$$

де $\tilde{x}/(\tilde{x}-1)\tilde{x}$ - зображення одніичної вхідної функції.

Унаслідок такого ділення одержимо:

$$h(\tilde{x}) = a_0 \tilde{x}^0 + a_1 \tilde{x}^{-1} + a_2 \tilde{x}^{-2} + \dots + a_k \tilde{x}^{-k}. \quad (7.77)$$

З іншого боку, за означенням \tilde{x} -перетворення /7.19/, маємо:

$$h(\tilde{x}) = \sum_{k=0}^{\infty} h(kT) \tilde{x}^{-k} = h(0) \tilde{x}^0 + h(1T) \tilde{x}^{-1} + \dots + h(kT) \tilde{x}^{-k} \quad (7.78)$$

Порівнявши вирази /7.77/ та /7.78/, бачимо, що ординати перехідної функції $h(tT)$ в дискретні моменти часу $t = kT$:

$$h(0) = a_0; \quad h(1T) = a_1; \quad h(2T) = a_2, \dots, \quad h(kT) = a_k.$$

Беззначимо $h(kT)$ для цифрового регулятора, з метою спрощення й наочності припустивши, що у /7.76/ $T_{\text{ус}} = 0$; $K_u = 1$. Тоді

$$\phi(z) = \frac{y(z)}{x(z)} = \frac{K_u T}{z + (K_u T - 1)};$$

$$h(z^{-1}) = \phi(z) \frac{z}{z - 1} = \frac{K_u T z^{-1}}{(1 - K_u T) z^2 + (K_u T - 2) z^{-1} + 1}.$$

Результати розвинення в ряд функції $h(z^{-1})$ для різних числових значень параметрів $K_u T$ наведено в табл. 7.4.

Таблиця 7.4

Ординати перехідної функції $h(tT)$

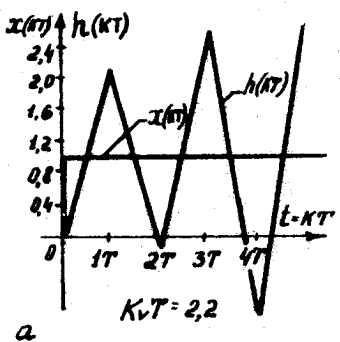
в моменти часу $t = kT$

цифрового регулятора швидкості

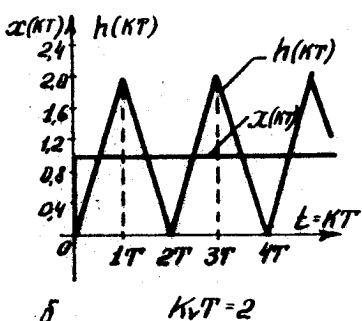
і для $K_u = 1$ і $T_{\text{ус}} = 0$

$K_u T$	$h(z^{-1}) = h_0 z^0 + h_1 (1T) z^{-1} + h_2 (2T) z^{-2} + h_3 (3T) z^{-3} + h_4 (4T) z^{-4} + h_5 (5T) z^{-5}$
0,1	$0 \cdot z^0 + 0,1 z^{-1} + 0,199 z^{-2} + 0,297 z^{-3} + 0,394 z^{-4} + 0,49 z^{-5} + \dots$
0,5	$0 \cdot z^0 + 0,5 z^{-1} + 0,75 z^{-2} + 0,875 z^{-3} + 0,9375 z^{-4} + 0,95875 z^{-5} + \dots$
1,0	$0 \cdot z^0 + 1,0 z^{-1} + 1,0 z^{-2} + 1,0 z^{-3} + 1,0 z^{-4} + 1,0 z^{-5} + \dots$
1,5	$0 \cdot z^0 + 1,5 z^{-1} + 0,75 z^{-2} + 1,125 z^{-3} + 0,9375 z^{-4} + 1,0312 z^{-5} + \dots$
2,0	$0 \cdot z^0 + 2,0 z^{-1} + 0 \cdot z^{-2} + 2,0 z^{-3} + 0 \cdot z^{-4} + 2,0 z^{-5} + \dots$
2,2	$0 \cdot z^0 + 2,2 z^{-1} - 0,44 z^{-2} + 2,728 z^{-3} - 1,074 z^{-4} + 3,49 z^{-5} + \dots$

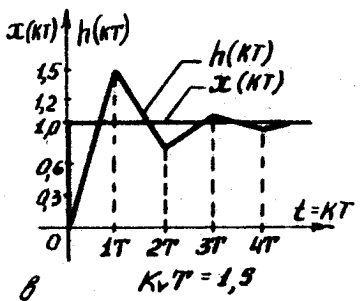
За даними табл. 7.4 на рис. 7.29 побудовано графіки перехідних функцій $h(tT)$ цифрового регулятора швидкості для різних значень параметрів $K_u T$.



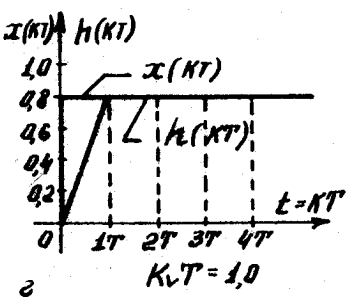
а



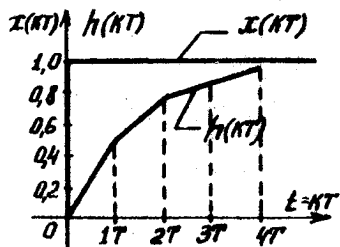
б



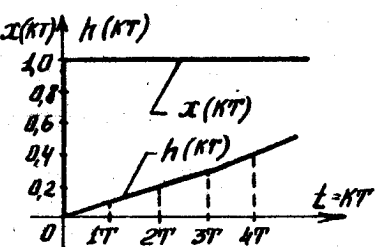
в



г



д



е

Рис. 7.29. Перехідні функції цифрової системи керування з ЗПФ $\Phi(\zeta) = K_v T [e^{\zeta T} - 1]$ для різних числових значень параметрів: а - $K_v T = 2.2$; б - $K_v T = 2$; в - $K_v T = 1.5$; г - $K_v T = 1$; д - $K_v T = 0.1$.

Коли $K_{\nu}T = 2$, система перебуває на межі стійкості, а коли $K_{\nu}T > 2$ – нестійка.

Точність. Точність ЦСНП узвичаєно оцінювати за динамічною $E_g(kt)$ і випадковою $E_{\text{вип}}(kt)$ похибками. Динамічна похибка в дискретні моменти часу $t = kt$ в усталеному режимі

$$E_g(kt) = C_0 x(kt) + C_1 \frac{dx(kt)}{dt} + \frac{C_2}{2!} \frac{d^2x(kt)}{dt^2} + \dots, \quad 17.79/$$

де $x(kt)$, $\dot{x}(kt)$, $\ddot{x}(kt), \dots$ – значення відповідно вхідного сигналу замкненої системи, його першої, другої похідної і т.д. в дискретні моменти часу $t = kt$, а C_0, C_1, C_2, \dots – коефіцієнти похибок, що їх визначають параметри цифрової системи.

Коефіцієнти похибок являють собою коефіцієнти розвинення $E(z)$ в ряд Маклорена за степенями p :

$$C_p = \left[\frac{d^n E(e^{pt})}{dp^n} \right]_{p=0}, \quad n = 0, 1, 2, \dots \quad 17.80/$$

У [26] доведено, що $E_g(kt)$ у цифровій системі з квантувачем і відновником нульового порядку /рис. 7.28/ залежить тільки від параметрів неперервної частини системи з передавними функціями $G(p)$ та $H(p)$ і не залежить від періоду квантування T . Коефіцієнти похибок C_i , виражені через коефіцієнти $B(p)$, коли $H(p) = I$, можна розрахувати за тими ж самими формулами, що і у випадку неперервних СНП.

Порядок астатизму ν визначається за структурою ЗПФ розімкненої системи:

$$W(z) = \frac{1}{(z-1)^{\nu}} W_0(z), \quad 17.81/$$

де $W_0(z)$ – ЗПФ, яка не має в точці $z = 1$ комплексної площини z полюсів та нулів. З викладеного випливає, що цифровий регулятор швидкості /рис. 7.28/, коли $K_{\omega} = 1$ і $T_{\mu c} = 0$, є астатичним з астатизмом першого порядку. Отже, статична похибка $E_{st}(kt) = 0$, а кінетична $E_k(kt) = S_2/K_{\nu}$, де S_2 – швидкість зміни вхідного сигналу.

Випадкова похибка в дискретні моменти часу, спричинена центрованою випадковою зовнішньою дією $R(kt)$,

$$E_{\text{вип}}(kt) = \sqrt{A_{ef}(kt)},$$

де дисперсія сигналу похибки

$$D_{\epsilon \epsilon} (1T) = \frac{1}{2\pi j} \int_{|z|=1} \phi | \phi(z) |^2 S_f (z) z^{-1} dz. \quad /7.82/$$

У /7.82/ $|\phi(z)|^2$ - квадрат модуля замкненої системи; $S_f (z)$ - спектральна щільність завади $\mu^*(1T)$.

Перейшовши до білінійного перетворення $W = (z-1)/(z+1)$, обчислення інтеграла в /7.82/ можна замінити обчисленням інтегральної квадратичної оцінки I_z подібно до того, як це ми робили для неперевних систем. Якщо завада є "білий шум", то $S_f (z) = S_{f_0} = \text{const}$ і інтервал /7.82/ можна обчислити також графо-аналітичним способом. У протилежному разі треба використати фільтр, на вході якого є реальний випадковий сигнал, а на виході - випадковий сигнал типу "білого шуму".

7.4. Мікропроцесорні пристрої керування електроприводами

7.4.1. Еступні зауваження

Бурхливий розвиток мікроелектронної технології спричинив створення 16- та 32-роздрядних мікропроцесорних наборів і широке їх упровадження в усій сфері людської діяльності. Зараз розроблено теоретичні засади побудови мікропроцесорних систем керування тиристорними електроприводами /МП СКТЕП/ і практичні рекомендації щодо їх реалізації. Деякі фірми вже організували серійне виробництво таких систем.

Повсюдне впровадження МПСК завдяки їхнім перевагам /див. підрозд. 7.1/ витіснило аналогові й енергетичні цифрові системи керування.

Архітектуру мікропроцесорних пристроїв, принципи побудови МП СКТЕП та їх основні властивості вивчають у курсі "Моделювання й мікропроцесорні системи керування електроприводами". Тому тут наведено опис МП СКТЕП, розробленої ЕНДІЕлектропривод і сформульовано теоретичні засади регулювання синтезу МП СКТЕП для реалізації регуляторів струму та швидкості. Крім того, наведено приклад застосування мікропроцесора для оцінки зміни швидкості в разі раптових зумовлених змін моменту опору в системі підпорядкованого регулювання швидкості.

7.4.2. Мікропроцесорна система керування електроприводом та алгоритм її функціонування

На рис. 7.30 зображене функціональну схему мікропроцесорної системи керування тиристорним електроприводом.

Технічна реалізація МПСК являє собою блоковий уставний каркас з 20 уніфікованих функціональних елементів /ФЕ/. Найчастіше використовують всувну монтажну плату з типорозміром 235x160 мм, який наближається до рекомендованого МЕК типорозміру Європа-2 /233,4x160 мм/.

Силова частина ТЕП складається з реверсивного тиристорного перетворювача ПІЯ, який живить якірне коло двигуна постійного струму M , і нереверсивного тиристорного збуджувача ПІЗ, який живить обмотку збуджувача двигуна ОЗМ. Струми якоря й збудження вимірюють за допомогою шунтів, увімкнених у відповідних колах, і давачів струму якоря ДСЯ і струму збудження ДСЗ. Напруги з виходів ДСЯ і ДСЗ надходять на аналого-цифровий перетворювач АЦШ. Кутову швидкість ω вимірюють тахогенератором ТГ та імпульсним давачем ІД.

Сигнали з епаратів захисту /реле підвищеної температури підчілків двигуна РПН, реле мінімальної напруги РМН та ін./, із сигналних контактів комутаційних апаратів /автоматичного вимикача силової напруги змінного струму A_1 , автоматичного вимикача A_2 в колі захисту від перенапруги РПН, автоматичного вимикача A_3 в силовому колі ПІЗ, контактора в якірному колі двигуна КНС, контактора динамічного гальмування КДГ/, з блокувальних епаратів /реле ЕРС РЕ, кінцевих вимикачів/ вводять за допомогою периферійної ланки $\mathcal{A}B_8$ групами по 8 сигналів.

МПСК виготовляють на базі 16- і 32-розрядних мікропроцесорних наборів /Ултрапр 80286, 8086 або радянських К1810ВМ86 та ін./.

Для реалізації обчислювальних пристроїв МПСК застосовують синфазно-синхронний принцип керування /МП працює синхронно й синфазно з мережею/, який дає змогу спростити програми, підвищити надійність і скратити час обчислень за рахунок спрощення програм. Досягають цього завдяки організації циклічної програми із сталим інтервалом повторення обчислень /ІПО/, що дає змогу обійтися без операцій множення й ділення на тривалість ІПО і спростити масштабування.

Система синхронізації ССК /див. рис. 7.30/ формує синхронізувальні імпульси в моменти, коли перша гармоніка анонічних напруг вентилів проходить через нульове значення. ССК можна виготовити як одно- або багатоканальну з фільтрами першої гармоніки. Багатоканальна система

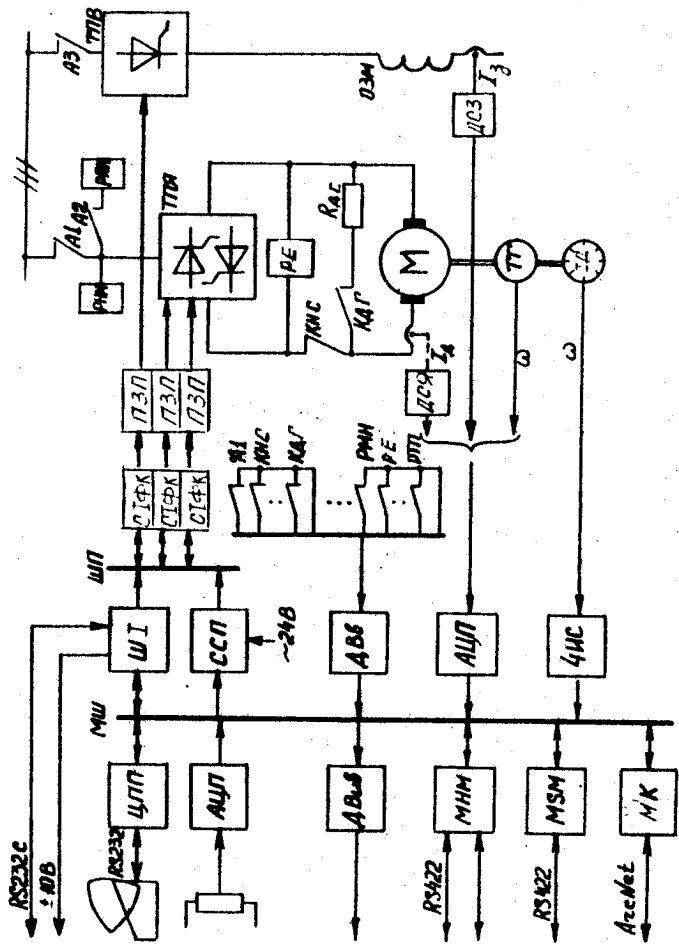


Рис. 7.30. Функціональна схема мікропроцесорної системи керування тиристорним електроприводом

за один період основної частоти виконує π разів синхронізацію обчислень, а одноканальна – один раз.

Центральний процесорний пристрій /ЦПІ/ містить 16-розрядний мікропроцесор /наприклад, *Intel 80286*/, програмований комунікаційний інтерфейс /мікросхема *Intel 8250* універсального синхронно-асинхронного приймача-передавача/, 6Ік ОЗП і 6Ік програмованого постійного запам'ятовувального пристрою /ПЗСІ/, керовані пам'яттю порти введення-виведення, програмований інтегральний таймер /*Intel 8254*/ з трьома ідентичними лічильниками, програмований контролер переривань /*Intel 8259A*/ з вісімома перериваннями за пріоритетом, а також послідовний радіальний порт *RS 232c*.

У пристрой МПСК на рис. 7.30 крім згаданого внутрішньоблокового програмованого комунікаційного інтерфейса використано місцеву шину /ШІ/, яка забезпечує передавання сигналів до інших /від інших/ функціональних елементів через рознімачі каркаса, шину розширення /РШ/, що дає змогу двом і більше ЦПІ працювати із спільною пам'яттю, а також шину перетворювача /ШІІ/.

Модуль шинного інтерфейса /ШІІ/ містить мікросхему контролера переривань /*Intel 8259*/, послідовний радіальний порт *RS 232C* і аналоговий вихід ± 10 В.

Модулі цифрової системи імпульсно-фазового керування СІФК забезпечують усі режими роботи тиристорних перетворювачів електропривода /групи вперед і назад кола якоря і нереверсивного перетворювача збудження/.

Пристрої узгодження /УПІІ/ виконують гальванічне відокремлення й узгодження вихідних кіл цифрових СІФК і кіл керування тиристорних перетворювачів.

Аналого-цифровий перетворювач /АЦД/ містить 8 входів ± 10 В /максимум ± 15 В/. Максимальний час перетворення 20 мкс.

Модуль введення дискретних сигналів *ДВ* містить до 30 гальванічно відокремлюваних входів /оптронне розв'язування/.

Модуль ЧІС зв'язку з імпульсним тахогенератором. ІД містить один канал і 12-розрядний позиційний лічильник. Працює з напругою /імпульсна/ ± 12 В і частотою до 25 кГц.

Модуль виведення дискретних сигналів *ДВив* містить 16 вхідних каналів типу відкритий колектор.

За допомогою модулів МНМ (*master highway*) і НСМ (*slave highway*) забезпечено реалізацію лінійної мережі з послідовним інтерфейсом *RS 422* і протоколи IBM *SDLC*.

За допомогою мережного контролера МК вмикають МПСК у локальну обчислювальну мережу *Arenet* або *Ethernet*, що може містити інші електроприводи, персональні комп'ютери та інші керувальні обчислювальні комплекси.

Програмове забезпечення МПСК реалізують за допомогою програмових модулів. Основною мовою програмування є *PL/M*, а для частини допоміжних модулів – *ASM86*.

Бібліотека програмових модулів може містити до 40 назв, наприклад: регуляторів струму якоря, швидкості та магнітного поля; керування реверсом електродвигуна й синфазного керування; зворотного зв'язку за струмом якоря; розрахунку кутів запалювання тиристорних перетворювачів якірного кола та обмотки збудження; масштабування параметрів; оголошення змінних, реалізації процедур спільногого з іншими модулями призначення; тестування процесора; ОЗП і ПЗП; ставлення на чергування функцій відповідно до вимог, похибок, сигналізації й друку; тестування електронних ФЕ і фонових процедур, привода; повернення електронних ФЕ в початковий стан; установлення режиму електропривода, головної програми; стикування монітора з функцією перетворення параметрів; роботи з таблицями, друкування, командного монітора, інтерпретатора команц, перетворювача кодів в *ASCII*, змінних загального призначення, головного монітора, інтерпретатора символів, передавача *RS 232*, приймача *RS 232*, режиму налаштування модулів, застосування мови асемблера тощо /рис. 7.31/.

Розглянемо головний алгоритм керування /рис. 7.32/, який реалізує основні функції МПСК ТЕП: СІФК регуляторів струму, швидкості, положення, спостерігача стану, контролю стану захисних та комутаційних апаратів і обслуговування пультового термінала, за основу якого взято алгоритм МІСКЕП, розробленої БНДІ Електропривод [38].

За сигналом синхронізації в кожен момент природного відкривання робиться початкове встановлення програми в нульовій ланці ПЗП і блок I /ПЗ/ виконує запуск у точці природного відкривання. Блок 2 перевіряє, чи складено схему якірного кола електродвигуна за ознакою ОСЯ /ознака стану якірного кола/, сформованою завдяки опитуванню стану захисних та комутаційних апаратів. Коли якірне коло не складено, то ланки, в яких на попередніх ШО нагромаджено інформацію для використання на наступних ШО, спорожнюються – блок 9. Потім виконуються програми, які забезпечують роботу пультового термінала й регулювання струму збудження двигуна – блоки 10–14. Якщо якірне коло складено, то виконання програми розпочинається з вилавання інформації в таймер для

відлічування кута керування – блок 3. Далі в блоці 4 виконуються програми введення потрібних завдань швидкості /а також, можливо, положення, натягу, товщини тощо/ і вимірюваних значень регульових параметрів струму, швидкості та інших, коли потрібно за технологією /положення, натяг тощо/. Потім виконується спеціальні алгоритми керування, до яких можуть належати регулятор положення, спостерігач стану, регулятори натягу і товщини, типові нелінійності тощо – блок 5. Після цього виконуються програми регульовання швидкості /блок 6/, регульовання струму якоря /блок 7/ і СІФК ТП якоря /блок 8/, а далі – програми регульовання струму збудження й обслуговування пультового термінала /блоки II-14/.

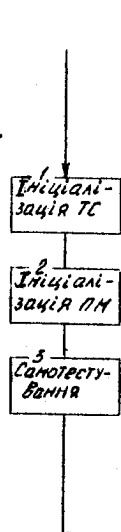


Рис. 7.31. Головний алгоритм керування, який реалізує основні функції МП СКТЕП

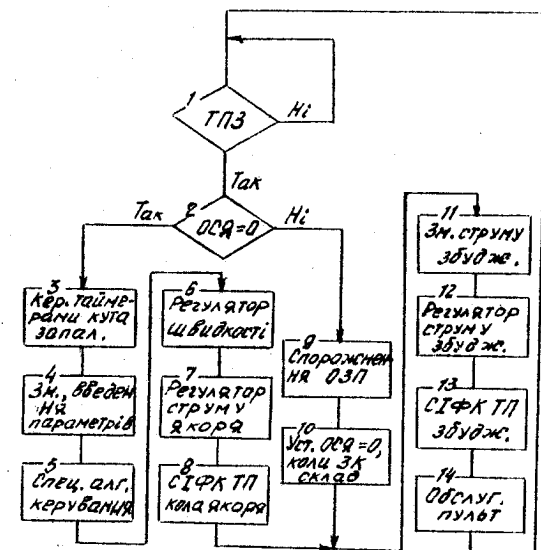


Рис. 7.32. Головний алгоритм керування

7.4.3. Синтез регуляторів струму й швидкості мікропроцесорної системи керування кутовою швидкістю

Мікропроцесорні системи керування ТЕП звичайно будують за принципом підпорядкованого регулювання, виконуючи синтез послідовно за контурами, починаючи з внутрішнього. Синтезуючи МП СК ТЕП, користуваємося дискретним перетворенням Лапласа за формулами /7.16/.

Завдання синтезу полягає в тому, щоб за заданою імпульсною передавальною функцією об'єкта керування $G^*(P)$ та її параметрами визначити імпульсну передавальну функцію регулятора /струму та швидкості/ $R^*(P)$. Знайдиши $R^*(P)$, можна потім розробити алгоритм і програму роботи мікропроцесора відповідного контуру.

Синтез регулятора струму. Структурну схему контуру струму зображенено на рис. 7.33. Як регульовний параметр вибрано середнє значення

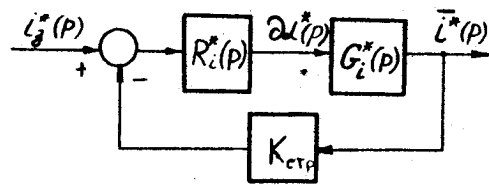
струму $\bar{i}(t)$ за k -й інтервал дискретності

$(k-1)T_i \dots kT_i$ /позначено рисочкою вгорі, не змішувати з вектором/, тобто

$$\bar{i}(t) = \int_{(k-1)T_i}^{kT_i} i(t) dt.$$

Рис. 7.33. Структурна схема контуру струму

Такий вибір регульовного параметра спрощує спряження контурів струму й швидкості U ; крім того, керування за інтегралом струму має кращу завадозахищеність порівняно з керуванням за миттєвими значеннями струму $i(t)$. Зірочка внизу відповідної змінної означає, що останню подано у відносних одиницях, а вгорі - дискретне перетворення Лапласа цієї змінної /Д-перетворення/. Таким чином, $\bar{i}^*(P)$ - Д-перетворення середнього значення струму за інтервал дискретності, подане у відносних одиницях [$\bar{i}_x(t) = I_g U_m / R_x$]; I_g - випрямлене значення струму якоря; U_m - амплітудне значення випрямленої напруги; R_x - сумарний активний опір силового кола; \bar{i}_x^* - Д-перетворення заданого у відносних одиницях струму; $\Delta\alpha_x^*(P)$ - Д-перетворення приросту кута керування у відносних одиницях; $R_i^*(P)$, $\sigma_i^*(P)$ - імпульсні передавальні функції відповідно об'єкта керування й регулятора струму в контурі струму.



Лінеаризована математична модель об'єкта керування, що її характеризує імпульсна передавна функція $\bar{G}_i^*(\rho)$, має вигляд

$$\bar{G}_i^*(\rho) = \frac{\bar{i}_n^*(\rho)}{\Delta \alpha_n(\rho)} = -C_B \frac{1 - e^{-1/T_{ex}}}{e^{-\rho} - e^{-1/T_{ex}}}, \quad 17.83/$$

де $C_B = 2 \sin \frac{\pi}{n} \sin \frac{2\pi}{m_n} \alpha_n(0)$ - коефіцієнт підвищення об'єкта керування;

$T_{ex} = T_p / T_n = L_\Sigma / R_\Sigma T_n$ - електромагнітна стала часу у відносних одиницях; $T_n = T_0 / m_n = 2\pi / \omega_0 m_n$ - інтервал повторювання обчислень ПО; T_p дорівнює проміжкам часу T між моментами природного відкривання вентилів; T_0 - період живильної напруги; m_n - фазність перетворювача.

Формулу 17.83/ одержано в [39] для режиму неперервного струму без урахування запізнювання на один інтервал дискретності, наявного в тиристорному перетворювачі, а також без урахування протиЕРС двигуна.

Щоб визначити структуру й параметри послідовного коригувального пристрою, треба задати /вибрати/ бажану передавну функцію замкненого контуру. Якщо струм на вході контуру змінюється стрибковато [$i_g^*(\rho) = I(\rho)$], а на виході потрібно дістати експоненціальний закон його зміни, тобто

$$\bar{i}_n(\lambda) = 1 - e^{-\lambda t},$$

де λ - деяка стала, то в цьому разі бажана імпульсна передавна функція замкненого контуру дорівнюватиме /коли $K_{opt} = 1/$

$$\Phi_{i\delta}^*(\rho) = \frac{\bar{i}_n^*(\rho)}{i_g^*(\rho)} = \frac{1 - e^{-\lambda t}}{e^\rho - e^{-\lambda t}}. \quad 17.84/$$

Такий вибір $\Phi_{i\delta}^*(\rho)$ дає змогу обмежити величину $\bar{i}_n(\lambda)$, а отже електричні й механічні перевантаження електропривода. Крім того, коли належним чином вибрати показник експоненти λ , то під час проектування цифрового електропривода можна не враховувати впливу протиЕРС двигуна.

Урахувавши 17.83/ і 17.84/, дістанемо

$$\begin{aligned} R_i^*(\rho) &= \frac{1}{\bar{G}_i^*(\rho)} \frac{\Phi_{i\delta}^*(\rho)}{1 - \Phi_{i\delta}^*(\rho)} = \\ &= \frac{(1 - e^{-\lambda t})(e^\rho - e^{-\lambda t})}{C_B (1 - e^{-1/T_{ex}})(e^\rho - 1)} = -K_n - K_n (e^\rho - 1). \quad 17.85/ \end{aligned}$$

Із /7.83/ випливає, що $R_i^*(p)$ являє собою цифровий аналог ПІ-регулятора з коефіцієнтами підсилення відповідно пропорційного й інтегрального регуляторів:

$$K_n = \frac{1 - e^{-T}}{C_0 (1 - e^{-1/T_{ex}})} ; \quad /7.86/$$

$$K_i = K_n (1 - e^{-1/T_{ex}}) . \quad /7.87/$$

Синтез регулятора швидкості /рис. 7.34/. Перетворимо передавну функцію $\Phi_\omega(p) = 1/T_H$, p механічної частини електродвигуна за допомогою ДПЛ:

$$\Phi_\omega^*(p) = \frac{\omega^*(p)}{[e^p(p) - \bar{e}^*(p)]} = \frac{e^p}{(e^p - 1) T_{M*}} , \quad /7.88/$$

де $T_{M*} = T_H / T_i = m_p \omega_0 R_x / 2\pi(C\phi)^2$ – електромеханічна стала часу електропривода у відносних одиницях.

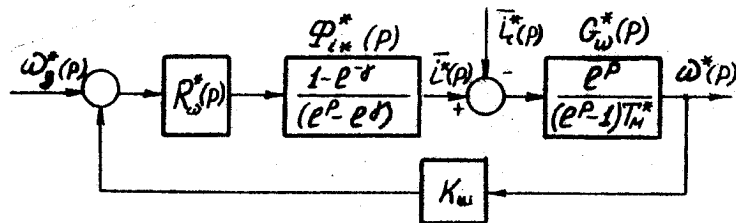


Рис. 7.34. Структурна схема регулятора швидкості

Тоді дискретна передавна функція об'єкта керування в контурі швидкості з урахуванням замкненого оптимізованого контуру струму

$$\Phi_{\omega\delta}^*(p) = \Phi_{i\delta}^*(p) \cdot \Phi_\omega^*(p) = \frac{(1 - e^{-T}) e^p}{(e^p - e^0)(e^p - 1) T_{M*}} . \quad /7.89/$$

Виберемо бажану дискретну передавну функцію замкненого контуру швидкості:

$$\Phi_{\omega\delta}^*(p) = \frac{1}{2e^p - 1} . \quad /7.90/$$

Тоді дістанемо

$$R_{\omega}^X(\rho) = K_{\omega} \frac{(e^{\rho} - e^{-\rho})}{e^{\rho}}, \quad /7.91/$$

де $K_{\omega} = T_{Mx} / (1 - e^{-\rho})$ - коефіцієнт піпсилення цифрового регулятора в контурі швидкості.

Визначимо перехідну функцію замкненої мікропроцесорної системи керування швидкістю. З цією метою переїдемо від ДЛ до \bar{z} -перетворення. Ураховуючи, що $\bar{z} = e^{\rho}$, а \bar{z} -зображення однічного сигналу дорівнює $\bar{z} / (\bar{z} - 1)$, одержуємо \bar{z} -зображення перехідної функції в такому вигляді:

$$H(z) = \frac{1}{2z-1} \cdot \frac{z}{z-1} = \frac{z}{2z^2 - 3z + 1}$$

або

$$H(z^{-1}) = \frac{0.5 z^{-1}}{1 - 1.75 z^{-1} + 0.5 z^{-2}}. \quad /7.92/$$

Поділивши поліном чисельника на поліном знаменника, знайдемо ординати перехідної функції в дискретні моменти часу: $t_x(0) = 0$; $t_x(1) = 0.5$; $t_x(2) = 0.75$; $t_x(3) = 0.875$ і т.д., що відносний час $t_x = t / T_i$. Отже, перехідний процес у розглядуваному випадку енергетичний. Практично за чотири інтервали дискретності вихід досягає свого заданого усталеного значення.

У [16] докладно описано методику синтезу оптимальних цифрових СКЕП з енергетичним перехідним процесом. Інший спосіб оптимізації ЦСКЕП з астатизмом першого й другого порядку наведено в [39], до того ж задачу розв'язано і з урахуванням запізнювання в тиристорному перетворювачі.

7.4.4. Приклад застосування мікропроцесора в системі регульовання кутової швидкості

Розглянемо приклад застосування мікропроцесора в двоконтурній системі пілпорядкового регульовання кутової швидкості, який використовують для пригемування її коливань, спричинених ударним прикладенням моменту статичного опору $N_{op}(t)$ [чи струму $I_{cr}(t)$] до вала двигуна постійного струму. Задачу розв'язують методом побудови спостерігача стану. За рівняннями стану спостерігача визначають алгоритм

функціонування мікропроцесора. Принципи побудови спостерігачів стану та їх рівняння стану розглянуто в розд. 8 цього посібника. Тому цей приклад можна розглядати або тут, або після вивчення спостерігачів стану.

Рівняння стану об'єкта. Рівняння ПІ-Д

$$\begin{aligned} \dot{\overline{x(t)}} &= \left[\begin{array}{c} \omega(t) \\ I_{cr}(t) \end{array} \right] = A \overline{x(t)} + \delta u(t); \\ \overline{y(t)} &= C \overline{x(t)}, \end{aligned} \quad \left. \right\} /7.93/$$

де

$$A = \begin{bmatrix} 0 & -\phi/\gamma_e \\ 0 & 0 \end{bmatrix}; \quad \delta = \begin{bmatrix} \phi/\gamma_e \\ 0 \end{bmatrix};$$

$$C = [1 \ 0]; \quad \overline{x(t)} = [\omega(t) \ I_{cr}(t)]^T;$$

$$u(t), \quad u(t) = I_A(t) - \text{скаляр.}$$

Оскільки розглядаємо ударне прикладення навантаження у вигляді східчастої функції, то, отже, $I_{cr}(t) = 0$. У рівнянні /7.93/ всі змінні й параметри подано у відносних одиницях. Перетворивши /7.93/ в лінійні рівнянні рівняння, дістанемо

$$\begin{aligned} \dot{\overline{x(k+1)}} &= A \overline{x(k)} + \delta I_{cr}(k); \\ \overline{y(k)} &= C \overline{x(k)}, \end{aligned} \quad \left. \right\} /7.94/$$

де

$$\overline{x(k)} = \begin{bmatrix} \omega(k) \\ I_{cr}(k) \end{bmatrix}; \quad A = \begin{bmatrix} 1 & -T_H/T_H \\ 0 & 1 \end{bmatrix}; \quad \delta = \begin{bmatrix} T_H/T_H \\ 0 \end{bmatrix}; \quad C = [1 \ 0].$$

Для /7.94/ одержуємо оцінки стану й змінних за допомогою спостеріга- ча стану [див. підрозд. 8.5 і, зокрема, /8.45/, /8.46/]:

$$\begin{aligned} \hat{\overline{x(k+1)}} &= A \overline{\hat{x}(k)} + \delta \hat{I}_A(k) + \delta (\hat{y}(k) - \hat{y}(k)); \\ \hat{y}(k+1) &= C \overline{\hat{x}(k+1)}, \end{aligned} \quad \left. \right\} /7.95/$$

де δ - вектор підсилення для корекції оцінки вектора стану $\delta = \begin{bmatrix} K_1 \\ K_2 \end{bmatrix}$.

За /7.95/ на рис. 7.35 побудовано цифровий спостерігач стану.

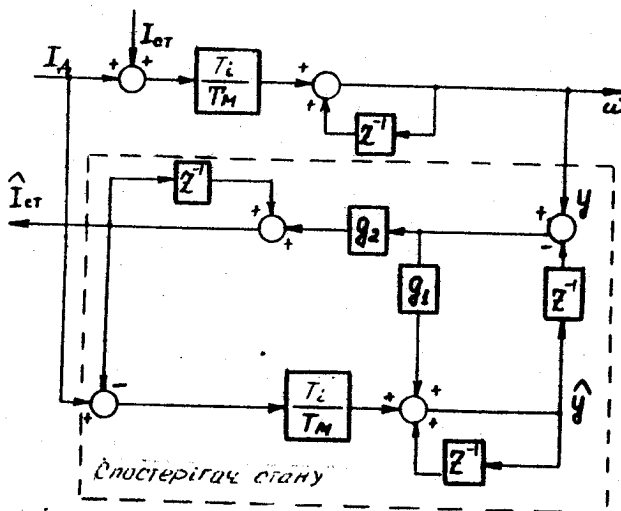


Рис. 7.35. Схема цифрового спостерігача стану

Із /7.94/ та /7.95/ знаходимо

$$\frac{\cdot}{x(k+1)} - \frac{1}{x(k+1)} = [A - GC] \left(\frac{1}{x(k)} - \frac{1}{x(k)} \right), \quad /7.96/$$

$$G = A \begin{bmatrix} CA \\ C \end{bmatrix}^{-1} \cdot \begin{bmatrix} 1 \\ 0 \end{bmatrix}. \quad /7.97/$$

Звідси бачимо, що оцінка вектора стану $\frac{1}{x(k)}$ у такому спостерігачі стану наближається до істинного вектора стану $x(k)$ за один період ПО.

Проте, як відомо, вимірювана вихідна змінна $y(k)$, і керування $I_g(k)$ містять затримку за часом, спричинену роботою вимірювальних перетворювачів і системи керування. Коли не вжити спеціальних заходів, то через ці затримки характеристики спостерігача стану можуть набагато погіршитися.

Для зменшення затримки під час вимірювання середнього струму якоря в [46] пропонують відмовитися від фільтрації в колі давача

струму, а середнє значення струму обчислювати за допомогою одного вимірювання в момент, коли істинне значення струму збігається із середнім, забезпечуючи, природна річ, синфазність вимірювання з перемиканням тиристорів.

Бимірюючи швидкість за допомогою імпульсного давача, її визначають вимірюванням тривалості часу між двома сусідніми імпульсами або знаходженням кількості імпульсів за певний проміжок часу. В обох випадках вимірювання швидкості є середня за певний проміжок часу. Оскільки точність вимірювання пропорційна тривалості останнього, запізнювання вимірювання може бути істотним, і його потрібно враховувати під час синтезу СКТЕП.

Еквівалентна затримка τ_{SD} вимірювання швидкості - це сума затримки квантування й запам'ятовувального пристроя.

У [46] запропоновано спеціальний алгоритм у поєднанні з відокремленим регулюванням періоду квантування й тривалості часу вимірювання швидкості, які забезпечують мінімальну затримку з високою точністю вимірювання.

На рис. 7.36 зображене діаграма, яка ілюструє принцип вимірювання швидкості. Тут τ_l , як і раніше, період квантування, тривалість часу вимірювання τ_D становить $1/2$ періодів квантування. Тоді час затримки вимірювання швидкості

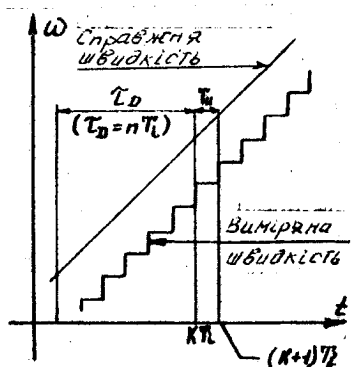


Рис. 7.36. Діаграма, яка ілюструє принцип вимірювання швидкості

$$\text{де } n = 2, 3, 4, 5.$$

Коли припустити, що $n = 5$, то передавна функція давача швидкості в цифровій СК (рис. 7.37)

$$G_{\omega}(\omega) =$$

$$= \frac{(1/\tau \omega^{-1} + \tau \omega^{-2} + \tau \omega^{-3} + \tau \omega^{-4})}{5}, /7.99/$$

Еквівалентну затримку часу вимірювання тут зменшено на 60% порівняно з випадком, коли період квантування дорівнює тривалості часу вимі-

рівняння швидкості $\dot{\omega}_D$ з тією самою точністю вимірювання швидкості.

Отже, можна побудувати спостерігач стану з урахуванням затримки вимірювання параметрів. Цей спостерігач стану міститиме змінну

$\omega_0(k)$ яка є істинною швидкістю обертання, а також гадані змінні $\omega_1(k), \dots, \omega_5(k)$, що їх спричинила затримка часу вимірювання, згідно з /7.99/ і рис. 7.37. Ці змінні пов'язані одна з одною такими співвідношеннями:

$$\left. \begin{array}{l} \dot{\omega}_1(k+1) = \omega_0(k); \\ \dot{\omega}_2(k+1) = \omega_1(k); \\ \dot{\omega}_3(k+1) = \omega_2(k); \\ \dot{\omega}_4(k+1) = \omega_3(k). \end{array} \right\} \quad /7.100/$$

Перетворивши /7.94/ з урахуванням /7.100/, дістанемо рівницеві рівняння:

$$\begin{aligned} \overline{x(k+1)} &= A \overline{x(k)} + B I_{cr}(k); \\ \overline{y(k)} &= C \overline{x(k)}, \end{aligned} \quad /7.101/$$

де

$$\overline{x(k)} = \begin{bmatrix} \omega_0(k) \\ \omega_1(k) \\ \omega_2(k) \\ \omega_3(k) \\ \omega_4(k) \\ I_{cr}(k) \end{bmatrix}; \quad A = \begin{bmatrix} 10000 & -\frac{T_m}{T_m} \\ 10000 & 0 \\ 01000 & 0 \\ 00100 & 0 \\ 00010 & 0 \\ 00000 & 1 \end{bmatrix}; \quad B = \begin{bmatrix} T_m/T_m \\ 0 \\ 0 \\ 0 \\ 0 \\ 0 \end{bmatrix}; \quad C = \begin{bmatrix} 1/5 \\ 1/5 \\ 1/5 \\ 1/5 \\ 1/5 \\ 0 \end{bmatrix}^T.$$

На рис. 7.38 зображено структурну схему СК ТЕП, яка реалізує описаний спостерігач стану для оцінки коливань моменту навантаження й компенсації ударного спаду швидкості.

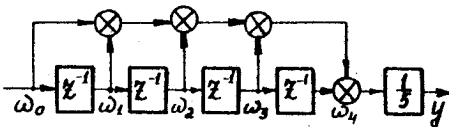


Рис. 7.37. Структурна схема давача швидкості

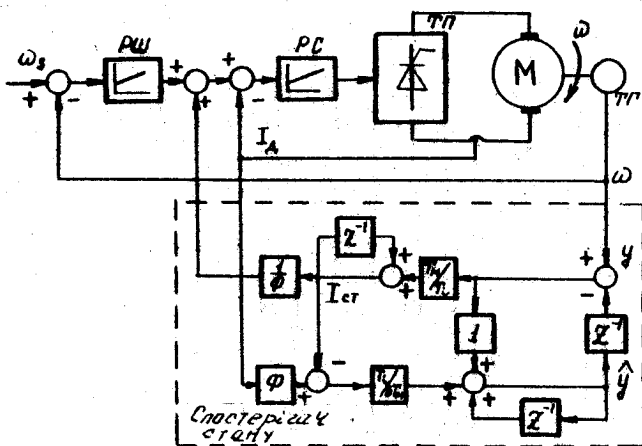


Рис. 7.38. Структурна схема СК ТЕП

Експериментальні дані засвідчили, що в такій МП СК ТЕП, яка використовує 16-бітовий мікропроцесор, можна приблизно на порядок зменшити добуток ударного спаду швидкості на час відновлення швидкості порівняно з МП СК без спостерігача стану або з аналоговою СК ТЕП, котра також реалізує спостерігач стану.

7.5. Системи технічної діагностики електроприводів /СТДЕП/

Технічна діагностика складається з теорії, методів і засобів виявлення й пошуку дефектів технічної природи, за які вважають кожну невідповідність заданим, потрібним чи сподіваним властивостям об'єкта [47].

Основне призначення технічної діагностики полягає в підвищенні надійності об'єктів на етапі експлуатації, котре досягають поліпшенням таких показників, як коефіцієнт готовості й технічного використання, час відновлення роботоздатного стану, ресурс чи термін служби і непрацювання до відмови.

Технічна діагностика розв'язує три типи задач визначення стану об'єктів: діагностування – визначення технічного стану, в якому перебуває об'єкт; прогнозування – передбачення технічного стану, що в нього потрапить об'єкт у певний майбутній момент часу; генез – визначення технічного стану, в якому перебував об'єкт у певний момент часу в минулому.

У технічній діагностиці вирізняють два класи об'єктів – дискретні й аналогові. Для дискретних об'єктів одним з основних завдань є побудова тестів. Поява ЄІС і НЕІС, мікропроцесорних наборів та інших виробів з високим рівнем інтеграції спричинила збільшення вимірності задач і необхідність функціонального зображення дискретних об'єктів на мікрорівні, розгляду функціональних розладів замість константних, широкого застосування імовірісного підходу до побудови тестів.

Питання технічної діагностики в цьому курсі розглянуто з таких причин:

одні й ті самі математичні моделі об'єкта керування й діагностування можна використовувати як у СК, так і в СТД /наприклад, визначення статичного струму, середньоквадратичного струму тощо/;

реалізуючи програмове забезпечення МП СК ТЕП, треба мати на увазі, що без залучення окремих програмових модулів чи блоків, які розв'язують функції технічної діагностики, не можна побудувати роботоздатну систему керування;

у МП СК ТЕП деякі функції діагностування електропривода реалізують у тому самому обчислювальному пристрої, що й система керування;

деякі розробки СТД, що реалізують, наприклад, так званий електронний осцилограф, можна використовувати не лише для діагностики, а й для дослідження динаміки електропривода.

Наприклад, розроблений у Київському інституті автоматики "автоматичний реєстратор передаварійного стану технологічного устаткування" /АРІС ТУ/ видає обслуговувальному персоналу графічну й текстову діагностичну інформацію про аварійні /передаварійні/ ситуації, що виникають у технологічному устаткуванні різного призначення, з метою подальшого її аналізу й визначення причин несправностей. Переважна галузь застосування АРІС ТУ – електроприводи клітей прокатних станів.

АРІС ТУ забезпечує безперервний контроль основних технологічних та фізичних параметрів устаткування, запис значень цих параметрів в оперативну пам'ять системи, автоматичне припинення запису в разі виникнення аварійної /передаварійної/ ситуації й видавання графічної інформації на пристрій друкування про передаварійний стан діагностованого устаткування.

До складу АРПС ТУ входять мікропроцесорний обчислювальний комплекс /МОК/ КТС ЛИУС-2 /одна шафа/, пристрій друкування звукосинтезувальний А521/4, пульт керування й індикації. АРПС ТУ може функціонувати як автономно, так і в складі системи контролю й технічного діагностування технологічного устаткування /дворівнева відміна/. В останньому випадку поряд з графічною інформацією на пристрій друкування видається також і текстова інформація /протоколи діагностики повідомлень про аварійний і поточний стани діагностованого устаткування/.

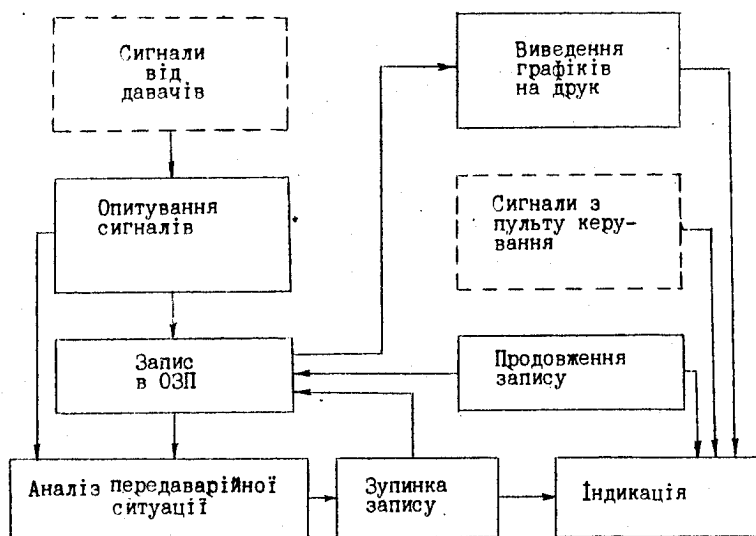


Рис. 7.39. Функціональна схема "електронного осцилографа"

АРПС ТУ функціонує в двох режимах: запису в оперативну пам'ять системи діагностичної інформації і видавання графічної інформації /осцилограми/ на пристрій друкування. Реєстратор у першому режимі функціонує автоматично, а в другому ініціюється з пульта керування.

Графічний документ /осцилограма/ має такий формат:
повідомлення "початок осцилограми";
цата Й час видаання осцилограми;
дата, час і місце виникнення аварійної /перецеварійної/ ситуа-
ції в діагностованому устаткуванні;
назва параметрів і масштаби видовжувеної графічної інформації;
графічна інформація /до шести графіків/;
повідомлення "кінець осцилограми".

Технічна характеристика

Кількість контролюваних параметрів	42
Діапазон зміни сигналів від діавочів, В	-10,24...+10,24
Мінімальний період опитування діавочів, мс	20
Максимальна кількість:	
точок у графіку	1200
графіків в осцилограмі	6
Максимальна тривалість роздруковування осцилограми, хв	3

З огляду на викладене попереду, а також на брак підручників та посібників з технічної діагностики електроприводів автори вважають за потрібне вмістити основні положення з останньої в даному курсі. Діагностика електроприводів має забезпечувати визначення роботоздатності устаткування, видаання оперативної інформації про відмкнення режимних параметрів, а також інформації для оперативного пошуку несправностей, спрацьовування блокувань та захисту в разі досягнення параметрами граничних відхилень.

Конструктивно і/або функціонально СТД електроприводів можна поділити на такі підсистеми /ПСТД/: електричних машин та прилеглого технологічного устаткування; систем керування тиристорних перетворювачів; тиристорних перетворювачів.

Для вирішення завдань технічної діагностики електрических машин вимірюють такі параметри: температуру додаткових полюсів, компенсаційної обмотки, обмотки збудження, охолоджувального повітря на вході й виході, води повіtroохолоджувача, підчіпків, обмотки якоря; струми якоря і збудження; напругу якоря; момент навантаження; кутову швидкість обертання; витрату охолоджувального повітря й мастила в

підчіпках; вібрації якоря, підчіпків і статора; опір ізоляції обмоток; умови комутації.

Більшість параметрів вимірювати неважко, але в деяких випадках зробити це з достатньою точністю й надійністю неможливо, наприклад, коли вимірювати температуру обмотки якоря міцними термометрами опору або струмозняття за допомогою контактних кілець. Тому зарез працюють коло створення вимірювачів температури обмотки якоря з безконтактним каналом передавання інформації [44]. Певні труднощі становить також вимірювання низькочастотних вібрацій тихохідних машин. А щодо умов комутації, то прийнятні для практики способів їх визначення ще не знайдено.

Деякі параметри визначають способом обчислень, скажімо статичний та середньоквадратичний струми. Як визначати статичний струм, було описано в попередньому розділі. Під час синтезу спостерігача стану середньоквадратичний струм обчислюють на інтервалі 5...30 хв залежно від потужності електричної машини та умов її роботи за відомими залежностями.

Оскільки, як бачимо, для технічної діагностики електричних машин треба вимірювати дуже багато параметрів /до 50/ і робити важку статичну їх обробку й обчислення, зберігти великі масиви інформації й надавати її оперативному персоналові, то зарез провадять роботи щодо створення спеціалізованих мікропроцесорних контролерів, аби можна було обладнати ними машини з середньою та великою потужністю.

Система технічної діагностики тиристорних перетворювачів має використовувати інформацію про стан захисту:

від виходу з ладу тиристорів під дією надструмів в аварійних режимах /зовнішні та внутрішні короткі замикання, відкривання тиристорів у непрацючій групі інверторів, перекидання й проривання інверторів/;

від перевантажень тиристорного выпрямляча й двигуна і у випадку стояння під струмом;

у випадку зникнення напруги силових кіл і зникнення чи неприпустимого зниження напруги власних потреб;

від зникнення й перевищення струму в колі збудження електродвигуна;

від перенапруги обмотки збудження;

від зовнішніх та внутрішніх напруг на тиристорах;

від перевищення напруги на якорі електродвигуна;

силового трансформатора чи мережного реактора;

від виходу з ладу двох чи більше паралелей в одному плечі випрямляча;

у випадку аварійного вимкнення примусового охолодження;

від коротких замикань та перевантажень у колі власних потреб і живлення двигунів вентиляторів;

від перевищення припустимої швидкості обертання електродвигуна;

від замикань на землю силових кіл;

у випадку перегрівання групових охолоджувачів, охолоджуваних водою;

від розладу системи мастилозмаузування;

у випадку зникнення чи неприпустимого зниження струму збудження тахогенератора;

від неприпустимого перевищення температури силового трансформатора;

СТД має забезпечувати врахування стану блокувань від увімкнення, коли є аварійні попереджувальні сигнали;

від увімкнення на обертовий електродвигун;

у випадку неправильно складеної схеми електропривода;

від увімкнення вимикача чи контактора в якірному колі двигуна, коли на вхід випрямляча надійшло завдання;

від увімкнення електроприволе, коли надійшов зовнішній аварійний сигнал від давачів контролю охолодження двигуна;

СТД має здійснювати контроль ізоляції силових кіл;

перегоряння запобіжників системи захисту від перенапруг;

перегоряння запобіжників у силовому колі випрямляча.

Таким чином, щоб електропривод працював надійно, в СКТЕП і/або СТД треба подати багато логічних сигналів, обсяг інформації яких може становити 500 біт. Тому здебільшого роблять комбіноване введення і обробку захисної та сигнальної інформації, аналіз з метою визначення відхилень від норми виконуючи апаратно, а аналіз інформації після виявлення такого відхилення – програмово. Сумарний час затримки виконавчого сигналу відносно одержаного вхідного в цьому разі дорівнює близько 100 мкс.

Система технічної діагностики СКТЕП виявляє пошкодження окремих функціональних елементів. Під час проектування системи керування багато зусиль витрачають на розробку програми тестів. Так, для МП СКТЕП /див. рис. 7.30/ функціональні елементи перевіряють у такій наступності: ЦПП, ШІ, АЦП, ЦІФК групи "В" і групи "Н", ЦІФК ОЗД, ДРв, ДВв. Наступність тестування може змінити оператор. Биконання

всієї програми самотестування триває приблизно 20 с. Результати тестування друкуються на підімкненому до МІ СК ТЕП чи на вмонтованому принтері. Відмови попереду згаданих ФЕ діагностувати легко, і в розп'ркувці зазначається принаймні один спосіб усунення відмови. Рекомендації щодо лагощення ФЕ не видаються, бо це завдання вирішують у ремонтній лабораторії за допомогою її СТД.

Окрім підсистеми технічної діагностики можна об'єднувати за допомогою локальної обчислювальної мережі в систему технічної діагностики групи приводів або машинного залу.

Розділ 8. МОДАЛЬНЕ КЕРУВАННЯ ЕЛЕКТРОПРИВОДАМИ

8.1. Основні означення й поняття

Модальним керуванням вважають один з методів синтезу аналогових та цифрових регуляторів, за допомогою якого на комплексній площині можна розташувати власні значення λ_i замкненої системи, що складається з об'єкта керування й зворотних зв'язків за змінними стану, бажаним /заданим/ чином. Термін "модальне керування" походить від того, що власним значенням λ_i віповідають складові перехідного процесу $\lambda_i t^i$, названі модами.

Як бажане /оптимальне/ розташування власних значень замкненої системи λ_i /коренів характеристичного рівняння замкненої системи/ звичайно використовують розподіл Баттерворта, коли корені системи лежать на колі в лівій половині комплексної площини й перебувають на однаковій кутовій відстані один від одного; стандартний і біномний розподіли тому [27].

Коли всі змінні стану відомі, приміром виміряні відповідними датчиками, то сформульовану задачу для лінійної системи розв'язати неважко. Регулятор, який складається із зворотних зв'язків за змінними стану й синтезованих коефіцієнтів підсилення в кожному з них, у цьому випадку називають регулятором стану. Коли ж деякі змінні стану з тих чи інших причин виміряти неможливо, то будуть так званий спостерігачем стану, котрий відновлює змінні стану, що їх вимірюти не можна. Спостерігач, вихідними координатами якого є всі змінні стану /і відновлені, і виміряні/ об'єкта керування разом з регулятором стану утворюють модальний регулятор.

Ідеї модального керування часто використовують під час синтезу стохастичних систем, і зокрема коли бувають оптимальні спостерігачі у вигляді фільтрів Калмана - Б'єсі.

Синтез модальних регуляторів ґрунтуються на математичному описові системи в просторі станів. Розв'язуючи завдання керування методами простору станів, ураховують деякі фундаментальні властивості динамічних систем, які не трапляються в класичній теорії керування, що оперує тільки з вхідними та вихідними сигналами. Це, зокрема, керованість і спостережність, суть яких і розглянемо.

8.2. Керованість і спостережність стаціонарних лінійних систем керування

Поняття керованості системи означає здатність входу $u(t)$ діяти на всі змінні стану $x_i(t)$, а спостережності – можливість визначення всіх змінних стану $x_i(t)$ за результатами спостереження /вимірювання/ виходу $y(t)$.

8.2.1. Керованість

Розглянемо лінійну багатовимірну з m входами і n виходами стаціонарну неперервну систему з такими рівняннями стану:

$$\dot{\bar{x}(t)} = A \bar{x}(t) + B \bar{u}(t), \quad 18.1/$$

де A і B – сталі матриці вимірностей відповідно $n \times n$ і $n \times m$;
 $\bar{x}(t) = [x_1(t) \ x_2(t) \dots x_n(t)]^T$ – вектор стану системи.

Лінійна стаціонарна система 18.1/ є повністю керованою за станом, коли з початкового стану $\bar{x}(t_0)$, що відповідає будь-якому t_0 , її можна перевести в будь-який кінцевий стан \bar{x}_N за скінчений час $t_N - t_0$, обмежений кусково-неперервним вхідним сигналом $u(t)$ з нормою $\|u(t)\| < \infty$. Отже, є таке t_N , $t_0 < t_N < \infty$, що $\bar{x}(t_N) = \bar{x}_N$. У цьому означенні повної керованості зроблено припущення, що до системи прикладено вхід $u(t)$ на скінченному інтервалі часу $[t_0, t_N]$, до того ж моменту t_N апріорі не визначено.

Оскільки керованість системи залежить від будови матриць A і B , то поняття керованості стосується також і цих матриць. Тоді кажуть, що пара /або система/ A, B повністю керована, коли система 18.1/ повністю керована.

Так само формулюють повну керованість для лінійної стаціонарної цифрової системи, що її описують рівняння стану виду

$$\bar{x}(k+1) = A \bar{x}(k) + B \bar{u}(k), \quad 18.2/$$

коли в наведеному формулуванні замінити t_0 на k_0, t_N на k_N ,
 $x(t_0)$ на $x(k_0)$ і $U(t)$ на послідовність вхідних цій $U(k)$.

С низка критеріїв, які дають змогу за матрицями A і B визначити керованість неперервної /8.1/ І цифрової /8.2/ систем. Один з них можна сформулювати так: лінійна неперервна /8.1/ або дискретна /8.2/ система повністю керовна тоді і тільки тоді, коли матриця керованості

$$Q_{ker} = [B \mid AB \mid A^2B \mid \dots \mid A^{n-1}B] \quad /8.3/$$

вимірністю $n \times n \times m$ має ранг, який дорівнює вимірності простору станів n , тобто

$$\text{Ранг } Q_{ker} = n \quad /8.4/$$

або, інакше кажучи, тоді, коли в матриці керованості Q_{ker} є n лінійно незалежних векторів-стовпців.

Коли ж є тільки одне керування $U(t)$ і, отже, B -матриця-стовпець вимірністю $n \times 1$, тобто $B = \bar{B} = [\bar{B}_1, \bar{B}_2, \dots, \bar{B}_n]^T$, то матриця керованості Q_{ker} робиться квадратною з вимірністю $n \times n$.

Керованість не пов"язана із стійкістю об'єкта керування. Нестійкий об'єкт може бути керовним. Наприклад, пара (A, B) , де $A =$

$$= \begin{bmatrix} 0 & 1 \\ 2 & 1 \end{bmatrix}, \quad B = \begin{bmatrix} 0 \\ 1 \end{bmatrix}, \text{ керовна, оскільки } \det[BAB] = 1, \text{ тобто не дорівнює нульові. Але власні значення динамічної матриці } A \text{ становлять:}$$

$\lambda_1 = -1, \quad \lambda_2 = +2$, що випливає з виразу для характеристичного рівняння $[\lambda I - A] = \lambda^2 - \lambda - 2 = (\lambda+1)(\lambda-2) = 0$. Отже, ця система нестійка; додатному кореневі $\lambda_2 = +2$ відповідає початна мода e^{2t} .

Крім керованості за станом запропоновано також поняття керованості за виходом. Лінійна стаціонарна неперервна або дискретна система, яку описують рівняння стану /8.1/ і /8.2/ та рівняння виходу:

$$\bar{y}(t) = C \bar{x}(t), \quad /8.5/$$

або для цифрової системи

$$\bar{y}(k) = C \bar{x}(k), \quad /8.6/$$

повністю керовна за виходом тоді і тільки тоді, коли $\bar{x} \in \mathbb{R}^n$ – матриця керованості за виходом,

$$Q_{x,e} = [CB \mid CAB \mid CA^2B \mid \dots \mid CA^{(n-1)}B] \quad /8.7/$$

має ранг, що дорівнює кількості виходів системи /кількості рядків матриці $\mathcal{Q}_{k,b}$, тобто

$$\text{Ранг } \mathcal{Q}_{k,b} = 2.$$

/8.8/

Відповідно до критерію /8.8/ одна й та сама система може бути керованою за виходом та некерованою за станом, і навпаки [5].

8.2.2. Спостережність

Для керування треба мати інформацію про поточний стан системи, тобто про значення змінних стану в кожен момент часу про неперервну систему або ж у моменти квантування в системі з дискретним часом. Проте деякі із змінних стану є абстрактні, не мають фізичного аналога в реальній системі, а тому виміряти їх неможливо. Вимірюими є спостережними в системі є фізичні вихідні змінні $y_i(t)$, $i \leq n$, через які можна однозначно виразити всі складові $x_i(t)$ вектора стану $\underline{x}(t)$. Бачимо, що коли керованість за станом визначаються з /8.1/ або з /8.2/ для цифрових систем з керувальною дією $U(t)$ або $U(k)$, то того ж рівняння виходу не використано, то спостережність – з рівняння стану, яке визначає вільні рухи системи:

$$\dot{\underline{x}}(t) = A\underline{x}(t) \quad \text{або} \quad \underline{x}(t+1) = A\underline{x}(t), \quad /8.9/$$

і рівняння виходу /8.3/ або /8.6/, тобто системи, яка не містить забуровального члена $U(t)$ або $U(k)$.

Систему $\dot{\underline{x}}(t) = A\underline{x}(t)$, $y(t) = C\underline{x}(t)$ називають повністю спостережною, коли є таке $t_k > t_0$, що початковий стан $\underline{x}(t_0) = \bar{x}_0$ вільної системи /8.9/ можна визначити за відомим на скінченному інтервалі $[t_k - t_0]$ виходом $y(t)$. У цьому означенні зроблено припущення, що t_k – будь-який не заданий момент часу, который підлягає умові $t_k > t_0$, тобто майбутній момент часу.

Нехай A і C – матриці з вимірюностями відповідно $n \times n$ і $2 \times n$. То ці пару A і C називають повністю спостережною, коли система $\dot{\underline{x}}(t) = A\underline{x}(t)$, $y(t) = C\underline{x}(t)$ є повністю спостережною.

Наведене формулювання спостережності слідчне й для цифрових систем.

Критерій спостережності: щоб лінійна стаціонарна неперервна чи дискретна система була повністю спостережна, необхідно й досить, щоб матриця спостережності

$$Q_n = [C^T \mid A^T C^T \mid (A^T)^2 C^T \mid \dots \mid (A^T)^{(n-1)} C^T]$$

вимірності 2×2 мала ранг n , тобто

$$\text{Ранг } Q_n = n.$$

/8.I0/

Приклад 8.1. Визначити керовність і спостережність системи

$$\begin{bmatrix} \dot{x}_1(t) \\ \dot{x}_2(t) \end{bmatrix} = \begin{bmatrix} 1 & 4 \\ 2 & 3 \end{bmatrix} \begin{bmatrix} x_1(t) \\ x_2(t) \end{bmatrix} + \begin{bmatrix} 0 \\ 1 \end{bmatrix} u(t); \quad /8.IIa/$$

$$y(t) = \begin{bmatrix} 1 & 2 \end{bmatrix} \begin{bmatrix} x_1(t) \\ x_2(t) \end{bmatrix}. \quad /8.IIb/$$

Розв'язання. Згідно з /8.4/ і /8.10/ маємо

$$Q_{\text{кер}} = \begin{bmatrix} 0 & 4 \\ 1 & 3 \end{bmatrix}; \quad Q_c = \begin{bmatrix} -1 & -5 \\ -2 & -10 \end{bmatrix}.$$

Оскільки ранг $Q_{\text{кер}} = 2$, а ранг $Q_c = 1 < 2$, то ця система повністю керовна й спостережна. Останнє означає, що за вимірюними значеннями виходу $y(t)$ не можна визначити початкові значення x_{10}, x_{20} змінних стану $x_1(t), x_2(t)$. Дослідимо докладніше причини неспостережності. З цією метою знайдемо розв'язок вільного руху системи /8.II/: $\dot{x}(t) = e^{At} \bar{x}_0$, де e^{At} — перехідна матриця стану. Для даної системи

$$e^{At} = \begin{bmatrix} \frac{2}{3} e^t + \frac{1}{3} e^{-5t} & -\frac{2}{3} e^t + \frac{2}{3} e^{-5t} \\ \frac{1}{3} (e^{-5t} - e^t) & \frac{1}{3} e^t + \frac{2}{3} e^{-5t} \end{bmatrix}. \quad /8.I2/$$

Тоді

$$\bar{x}(t) = e^{At} \begin{bmatrix} x_{10} & x_{20} \end{bmatrix}^T. \quad /8.I3/$$

Знайшовши з рівності матриць правої й лівої частин /8.I3/ $x_1(t)$ та $x_2(t)$ і підставивши їх у рівняння виходу, остаточно дістанемо

$$y(t) = -x_1(t) - 2x_2(t) = -e^{-5t} (x_{10} + 2x_{20}). \quad /8.I4/$$

Щоб визначити x_{10} і x_{20} з /8.I4/, треба двічі виміряти вихідний сигнал $y(t)$ у моменти часу $t = t_1$, та $t = t_2$ і скласти

систему з двох рівнянь $y_1(t) = -e^{-5t_1}(x_{10} + 2x_{20})$ і $y_2(t) = -e^{-5t_2}(x_{10} + 2x_{20})$. Проте ця система лінійно незалежна і з неї не можна визначити окремо x_{10} і x_{20} , в чому і виявляється спостережність змінних стану $x_1(t)$ і $x_2(t)$. Коли б система була повністю спостережна, тобто коли б у правій частині рівняння /8.14/ були члени від обох власних значень /членів з e^{At} і e^{-5t_1} /, то, зробивши две відліки $y_1(t_1)$ і $y_2(t_2)$, можна було б розв'язати отриману лінійно незалежну систему відносно x_{10} і x_{20} . Знаючи останні, а також e^{At} , можна потім визначити $x_1(t)$ і $x_2(t)$.

Приклад 8.2. Дослідимо керовність і спостережність слідкувального привода, рівняння стану й перехідну матрицю стану якого було визначено в прикладі 2.3 /див. розд. 2/. Схему аналогового моделювання цього привода зображенено на рис. 2.13.

Матриці A , B і C дорівнюють:

$$A = \begin{bmatrix} 0 & 1 \\ 0 & -2 \end{bmatrix}; \quad B = \begin{bmatrix} 0 \\ 1 \end{bmatrix}; \quad C = [1 \ 0]. \quad /8.15/$$

Розв'язання. Бизначимо матриці керовності за станом $Q_{\text{кер}}$ та виходом $Q_{x,B}$, а також матрицю спостережності Q_C :

$$Q_{\text{кер}} = [B \ A^T] = \begin{bmatrix} 0 & 1 \\ 1 & -2 \end{bmatrix}.$$

Оскільки $\det Q_{\text{кер}} = -1$, тобто не дорівнює нулю, то слідкувальний привод повністю керовний. Це означає, що за допомогою вхідного сигналу $U(t)$ можна впливати на обидві змінні стану: $x_1(t) = \beta(t)$ і $x_2(t) = \omega(t)$:

$$Q_{x,B} = [CB \ CA^T] = [0 \ 1].$$

Ранг матриці $Q_{x,B}$ дорівнює 1, тобто кількості виходів привода. Отже, система повністю спостережна за виходом. Це означає, що сигналом $U(t)$ можна керувати виходом $x_1(t) = \beta(t)$:

$$Q_C = [C^T A^T C^T] = \begin{bmatrix} 1 & 0 \\ 0 & 1 \end{bmatrix}; \quad \det Q_C = 1.$$

Оскільки ранг Q_C дорівнює 2, то, отже, привод повністю спостережний. Це означає, що за вимірюваними значеннями виходу $\beta(t)$ можна обчислити /відновити/ початкові значення $x_{10} = \beta_{10}$ і $x_{20} = \omega_{10}$.

Змінимо тепер структуру матриці C , вважаючи, що $C = [0 \ 1]$. У цьому разі виходом привода буде не кут $\beta(t)$, а кутова швидкість $\omega(t)$.

Тоді дістанемо

$$Q_{k,\delta} = [CB \quad CA\delta] = [0 \quad -2]; \quad \text{Ранг } Q_{k,\delta} = 1.$$

$$Q_c = [C^T \quad A^T C^T] = \begin{bmatrix} 0 & 0 \\ 1 & -2 \end{bmatrix}; \quad \text{Ранг } Q_c = 1.$$

Отже, в розглядуваному випадку привод повністю керовний за станом /матриця $Q_{кер}$ не змінилася/ та виходом і спостережний, бо в формуванні виходу /див. рис. 2.13/ бере участь тільки одна змінна стану $x_2(t)$, яку і можна відновити за вимірюваннями виходу $u(t)$. У цьому разі кажуть, що привод є не повністю спостережним.

Нехай тепер $\delta = [10]^T$, а матриці A і C ті ж самі, що й у початковій системі. Цей випадок відповідає тому, що вхід $u(t)$ діє тільки на другий інтегратор, тобто впливає тільки на $x_2(t)$ /див. рис. 2.13/. Тоді

$$Q_{ker} = [\delta \quad A\delta] = \begin{bmatrix} 1 & 0 \\ 0 & 0 \end{bmatrix}; \quad \det Q_{ker} = 0$$

/матриця Q_{ker} є вироджена/:

$$Q_{k,\delta} = [CB \quad CA\delta] = [1 \quad 0]; \quad \text{Ранг } Q_{k,\delta} = 1.$$

$$Q_c = [C^T \quad A^T C^T] = \begin{bmatrix} 1 & 0 \\ 0 & 1 \end{bmatrix}; \quad \text{Ранг } Q_c = 2.$$

Отже, в цьому випадку привод не повністю керовний за станом, повністю керовний за виходом і повністю спостережний.

За результатами цього прикладу можна зробити такі загальні висновки. Керовність за виходом не залежить від того, які і скільки змінних стану беруть участь у формуванні виходу, тобто не залежить від структури матриці C . Коли задано матрицю A , то керовність залежить від структури матриці B , а спостережність - від структури матриці C .

8.2.3. Зв'язок керовності й спостережності з передавною функцією

Лінійна стаціонарна неперервна /або цифрова/ система /об'єкт/ повністю керовна і спостережна тільки тоді, коли передавна функція

$$G(p) = C [pI - A]^{-1} B, \quad 8.16/$$

яка пов'язує вихідні сигнали з вхідними, є невироджена, тобто коли неможливо скоротити поляси передавної функції з її нулями.

Коли передавна функція вироджена, то система або повністю керована і не повністю спостережна, або повністю спостережна і не повністю керована, або повністю некерована і повністю неспостережна.

Приклад 8.3. Потрібно визначити передавні функції слідкувального електропривода, керованість і спостережність якого розглянуто в попередньому прикладі.

Розв'язання. Згідно з /8.16/ визначимо $\mathcal{G}(\rho)$ для різної структури матриць \mathcal{B} і C та матриці A з незмінною структурою, яку визначає /8.15/.

1. $\mathcal{B} = [0 \ 1]^T$; $C = [1 \ 0]$. Цей випадок відповідає повній керованості за станом та виходом і повній спостережності привода. Матрицю $[\rho I - A]^{-1}$ було визначено в прикладі 2.7:

$$[\rho I - A]^{-1} = \begin{bmatrix} \frac{1}{\rho} & \frac{1}{\rho(\rho+2)} \\ 0 & \frac{1}{(\rho+2)} \end{bmatrix}.$$

Тоді

$$\mathcal{G}(\rho) = \frac{\beta(\rho)}{\mathcal{U}(\rho)} = C [\rho I - A]^{-1} \mathcal{B} = \frac{1}{\rho(\rho+2)}.$$

Тут матриця $\mathcal{G}(\rho)$ невироджена. На рис. 8.1,а зображено структурну схему привода, яка відповідає одержаній передавній функції $\mathcal{G}(\rho)$. Безпосередньо із схеми аналогового моделювання /див. рис. 2.13/ випливає, що привод у цьому разі являє собою послідовне з'єднання двох ланок, а саме:

$$\mathcal{G}(\rho) = \frac{\beta(\rho)}{\mathcal{U}(\rho)} = \frac{\beta(\rho)}{\omega(\rho)} \cdot \frac{\omega(\rho)}{\mathcal{U}(\rho)} = \frac{1}{\rho} \cdot \frac{1}{\rho+2} = \frac{1}{\rho(\rho+2)}.$$

2. $\mathcal{B} = [0 \ 1]^T$; $C = [0 \ 1]$ - цей випадок відповідає приводу, повністю керованому за станом та виходом і неповністю спостережному. Передавна функція в цьому разі вироджена. Справді,

$$\mathcal{G}(\rho) = C [\rho I - A]^{-1} \mathcal{B} = \frac{1}{\rho+2}.$$

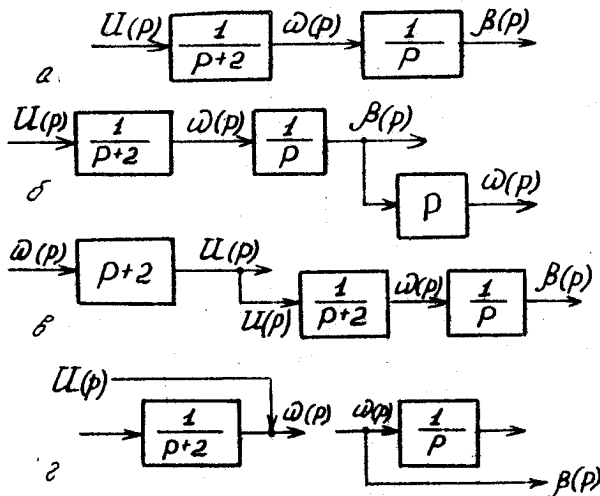


Рис. 8.1. Структурні схеми розімкненого слідкувального електропривода:
а - повністю керовного й повністю спостережного; б - повністю керовного й не повністю спостережного; в - не повністю керовного й повністю спостережного; г - повністю некерованого й повністю неспостережного

Пояснити виродженість $\mathcal{G}(p)$ можна так. Коли $C = \begin{bmatrix} 0 & 1 \end{bmatrix}$, то з виразу для вихідного сигналу $y(t) = Cx(t) = \begin{bmatrix} 0 & 1 \end{bmatrix} \begin{bmatrix} \beta(t) \\ \omega(t) \end{bmatrix}$ випливає,

що виходом привода є кутова швидкість $\omega(t)$. Отже, $\mathcal{G}(p) = \omega(p)/U(p)$. На рис. 8.1,б зображене перетворення початкової структурної схеми рис. 8.1,а, з якої випливає, що $\mathcal{G}(p)$ дорівнює добутку трьох цинамічних ланок:

$$\mathcal{G}(p) = \frac{\omega(p)}{U(p)} = \frac{\beta(p)}{\omega(p)} \cdot \frac{\omega(p)}{\beta(p)} \cdot \frac{1}{P+2} = \frac{1}{P+2} \cdot \frac{1}{P} = \frac{1}{P+2} \cdot \frac{\omega(p)}{U(p)}.$$

Таким чином, виродженість $\mathcal{G}(p)$ спричинює появу в її структурі нуля $p = 0$, який компенсує полюс $p = 0$.

3. $\delta = [1 \ 0]^T$; $C = [1 \ 0]$. Цей випадок відповідає приводу з неповною керованістю за станом, повною спостережністю й повною керованістю за виходом.

З виразу /8.16/ знаходимо

$$g(\rho) = C[\rho I - A]^{-1} \delta = \frac{1}{\rho}.$$

Виродженість $g(\rho)$ пояснює структурна схема, зображенна на рис. 8.1,в, з якого дістасмо

$$g(\rho) = \frac{U(\rho)}{\omega(\rho)} \frac{\omega(\rho)}{U(\rho)} \frac{\beta(\rho)}{\omega(\rho)} = (\rho + 2) \cdot \frac{1}{\rho + 2} \cdot \frac{1}{\rho} = \frac{\beta(\rho)}{\omega(\rho)}.$$

4. $\delta = [1 \ 0]^T$; $C = [0 \ 1]$. Цей випадок відповідає повністю некерованому й повністю неспостережному приводові. Передавна функція

$$g(\rho) = C[\rho I - A]^{-1} \delta = 0$$

є повністю вироджена. Фізично це означає розрив між динамічними ланками /рис. 8.1,г/.

З наведеного прикладу випливає, що зміну властивостей керованості й спостережності залежно від вибору змінних стану можна пояснити тим, що в передавній функції слідкувального привода відбувається компенсація полюса та нуля. Керованість за виходом не залежить від вибору змінних стану.

У класичних методах аналізу й синтезу систем керування для опису їх динамічних властивостей звичайно використовують передавні функції, які відповідають повністю керованій і повністю спостережній системі. Коли з тих чи тих причин у передавній функції не скорочено однакові нулі й полюси, то результат дослідження за такою передавною функцією буде невірний. У цьому полягає вада класичного методу дослідження систем керування, якої не має метод простору станів.

Ситуація із скороченням нуля й полюса наявна в разі оптимізації за модульним критерієм контурів струму та швидкості системи підпорядкованого регулювання [див. /5.24/]. Проте надалі, після скорочення нуля й полюса, для аналізу використовують передавні функції розімкненого /5.31/ і замкненого /5.32/ контурів, які є повністю керованими й повністю спостережними.

8.2.4. Інваріантність понять керовності Й спостережності

Інколи аналіз і синтез систем керування методом простору станів можна спростити, якщо рівняння стану перетворити з одного базису в інший за допомогою так званого перетворення подібності. Прикладом такого перетворення є метод діагоналізації /запис рівнянь стану в нормальній формі/, про який уже йшлося в п. 2.2.4, коли розглядалися методи знаходження переходної матриці стану. Інший приклад перетворення подібності - перетворення рівнянь стану до канонічної форми фазової змінної - розглянуто в наступному пункті цього розділу. Тут лише зауважимо, що поняття керовності Й спостережності - це внутрішні властивості системи, які характеризує динамічна матриця A , і вони не залежать від перетворення подібності цієї матриці Й рівнянь стану, котрі їй відповідають.

8.2.5. Дуальний зв"язок між спостережністю Й керовністю

Такий зв"язок між умовами керовності Й спостережності наявний і для цифрових, і для неперервних систем.

Лінійна стаціонарна система /система Σ_1 , рівняння стану якої задано у вигляді

$$\dot{\bar{x}}(t) = A \bar{x}(t) + B \bar{u}(t),$$

$$\bar{y}(t) = C \bar{x}(t),$$

спостережна тоді Й тільки тоді, коли спряжена система /система Σ_2 /

$$\dot{\bar{x}}(t) = A^T \bar{x}(t) + C^T \bar{u}(t),$$

$$\bar{y}(t) = B^T \bar{x}(t)$$

є керовна за станом. Тут матриці A , B і C мають вимірність відповідно $n \times n$, $n \times m$ і $z \times n$. Вектор $\bar{u}(t)$ у системі Σ_1 має вимірність $m \times 1$, а в системі Σ_2 вектор $\bar{u}(t)$ має вимірність $z \times 1$. Властивість дуальності справедлива Й тоді, коли системи Σ_1 і Σ_2 поміняти місцями.

Дуальність керовності Й спостережності дає змогу скористатися результатами, одержаними під час розв"язування задач керування за допомогою зворотного зв"язку в стаціонарній системі, для розв"язування задач побудови спостерігачів стану цієї системи /див. підрозд. 8.4/.

8.3. Синтез аналогових і цифрових регуляторів стану з повною інформацією про об'єкт керування

8.3.1. Синтез регуляторів за рівняннями стану, заданими в канонічній формі фазовою змінною

Зображення об'єкта керування в канонічній формі фазовою змінною

Розглянемо лінійний стаціонарний, повністю керований об'єкт /систему/ з одним входом, рівняння стану якого мають вигляд

$$\dot{\underline{x}}(t) = A \underline{x}(t) + \mathcal{B} \underline{U}(t), \quad /8.17/$$

або для цифрової системи

$$\underline{x}(k+1) = A \underline{x}(k) + \mathcal{B} \underline{U}(k), \quad /8.18/$$

де A і \mathcal{B} - числові матриці вимірностю відповідно $n \times n$, $n \times 1$; $\underline{U}(t)$, $\underline{U}(k)$ - скалярні входні змінні; $\underline{x}(t)$, $\underline{x}(k)$ - n -вимірні вектори стану.

Нехай

$$\Psi_A(\lambda) = \lambda^n + a_{n-1} \lambda^{n-1} + \dots + a_1 \lambda + a_0 \quad /8.19/$$

є характеристичний поліном матриці A . Тоді пару матриць

$$A^* = \begin{bmatrix} 0 & 1 & 0 & \dots & 0 \\ 0 & 0 & 1 & \dots & 0 \\ \dots & \dots & \dots & \dots & \dots \\ 0 & 0 & 0 & \dots & 1 \\ -a_0 & -a_1 & -a_2 & \dots & -a_{n-1} \end{bmatrix}, \quad \mathcal{B}^* = \begin{bmatrix} 0 \\ 0 \\ \vdots \\ 1 \end{bmatrix} \quad /8.20/$$

називають канонічною формою фазовою змінної об'єкта /8.17/ або /8.18/ з одним входом. Якщо пара матриць A , \mathcal{B} є некеровна, тоді не існує зображення цієї пари в канонічній формі фазовою змінною. Наприклад, коли вектор $\mathcal{B} = 0$, то він дорівнюватиме нулю і в будь-якому іншому базисі і, отже, для нього не існуватиме канонічної форми зображення.

Коли порівняти матриці A^* , β^* з A, β для об'єкта, рівняння стану якого записано в стандартній формі [див. п. 2.2.3, формулу /2.46/], то неважко помітити, що матриці A і A^* повністю збігаються, а вектори β і β^* відрізняються тільки елементом останнього рядка; у векторі β^* він завжди дорівнює 1.

Доведемо, що система, зображенна в канонічній формі фазовою змінною, має цеякі специфічні властивості, які полегшують проектування регуляторів стану.

Перетворення до канонічної форми фазової змінної

Можна строго довести, що коли пара матриць A, β є повністю керована, то завжди можна знайти таку неособливу матрицю P , за допомогою якої цю пару можна перетворити до канонічної форми фазової змінної A^*, β^* [4; 26].

Розглянемо один з алгоритмів такого перетворення. Нехай рівняння стану лінійної стаціонарної системи зображене у вигляді /8.17/ або /8.18/. Тоді існує навироджене перетворення подібності

$$\overline{x^*(t)} = P \overline{x(t)}; \quad \overline{x^*(k)} = P \overline{x(k)} \quad /8.21/$$

або

$$\overline{x(t)} = P^{-1} \overline{x^*(t)}; \quad \overline{x(k)} = P^{-1} \overline{x^*(k)}, \quad /8.22/$$

яке перетворює рівняння /8.17/ і /8.18/ до канонічної форми фазової змінної

$$\dot{\overline{x^*(t)}} = A^* \overline{x^*(t)} + \beta^* u(t) \quad /8.23/$$

або

$$\overline{x^*(k+1)} = A^* \overline{x^*(k)} + \beta^* u(k), \quad /8.24/$$

де

$$A^* = PAP^{-1} = \begin{bmatrix} 0 & 1 & 0 & \dots & 0 \\ 0 & 0 & 1 & \dots & 0 \\ \dots & \dots & \dots & \dots & \dots \\ 0 & 0 & 0 & \dots & 1 \\ -\alpha_0 & -\alpha_1 & -\alpha_2 & \dots & -\alpha_{n-1} \end{bmatrix}; \quad \beta^* = P\beta = \begin{bmatrix} 0 \\ 0 \\ 0 \\ \vdots \\ 1 \end{bmatrix}. \quad /8.25/$$

Неособлива матриця

$$P = \begin{bmatrix} P_1 \\ P_2 \\ \vdots \\ P_n \end{bmatrix} \quad (n \times n), \quad /8.26/$$

де

$$P_i = [0 \ 0 \dots 1] [\delta \ A\delta \dots A^{n-1}\delta]^{-1} = [0 \ 0 \dots 1] Q^T. \quad /8.27/$$

Наведемо без доведення ще два практичних способи перетворення матриць A, δ до канонічної форми фазової змінної A^*, δ^* .

I. Коли пару матриць A, δ повністю керовного об'єкта /системи/ задано, то, щоб обчислити їх канонічне зображення A^*, δ^* , досить обчислити коефіцієнти характеристичного многочлена матриці A :

$$\varphi_A(\lambda) = [\lambda I - A] = \lambda^n + a_{n-1}\lambda^{n-1} + \dots + a_1\lambda + a_0 \quad /8.28/$$

і відразу записати матриці A^*, δ^* у вигляді /8.20/.

2. Коли опис об'єкта з одним входом задано за допомогою передавної функції виду

$$K(p) = \frac{d_{n-1}p^{n-1} + d_{n-2}p^{n-2} + \dots + d_0}{p^n + a_{n-1}p^{n-1} + \dots + a_0},$$

то тоді, оскільки об'єкт повністю керований, канонічне зображення матриць A^*, δ^* має вигляд /8.20/, а матриця C , яка пов'язує вихідний сигнал з входним, становить $C = [d_0 \ d_1 \ \dots \ d_{n-1}]$.

Тут варто зауважити, що матриці A й A^* в початковій і перетвореній системах мають одні й ті самі власні значення.

Приклад 8.4. Задано матриці A і δ такими виразами:

$$A = \begin{bmatrix} 1 & -1 \\ 0 & 1 \end{bmatrix}; \quad \delta = \begin{bmatrix} 1 \\ 1 \end{bmatrix}.$$

Цю пару матриць потрібно перетворити до канонічної форми фазової змінної.

Розв'язання.

$$\text{Ранг } Q_{\text{кер}} = \text{Ранг } [\delta \ A\delta] = \text{Ранг } \begin{bmatrix} 1 & 0 \\ 1 & 1 \end{bmatrix} = 2.$$

Отже, пара A, δ повністю керовна.

Матриця ρ -перетворення в канонічній формі

$$\rho = \begin{bmatrix} P \\ P_A \end{bmatrix} = \begin{bmatrix} -1 & 1 \\ -1 & 2 \end{bmatrix},$$

де

$$P = [0 \ 1] \quad Q_{\text{кеп}}^{-1} = [-1 \ 1]; \quad P_A = [-1 \ 2].$$

Тоді

$$\overline{x^*(t)} = A^* \overline{x^*(t)} + \delta^* u(t),$$

де

$$A^* = P A P^{-1} = \begin{bmatrix} 0 & 1 \\ -1 & 2 \end{bmatrix}; \quad \delta^* = P \delta = \begin{bmatrix} 0 \\ 1 \end{bmatrix}.$$

Обчислимо характеристичний поліном матриці A :

$$\varphi_A(\lambda) = \det[\lambda I - A] = \lambda^2 - 2\lambda + 1.$$

За коефіцієнтами цього полінома, знаючи структуру матриць A^* , δ^* , яку визначають вирази /8.20/, можна було б відразу записати і ці матриці, і рівняння стану в канонічній формі, а не виконувати трудомісткі обчислення матриці перетворення P і матриць $A^* = P A P^{-1}$, $\delta^* = P \delta$. Але далі буде доведено, що матрицю P необхідно визначати для розрахунку коефіцієнтів регулятора стану, хоча матриці A^* і δ^* можна й не обчислювати, а записати за коефіцієнтами полінома $\varphi_A(\lambda)$.

Зворотний зв"язок за станом

Побудова замкнених систем керування електроприводами ґрунтуються на використанні зворотного зв"язку. Під час проектування систем керування із зворотним зв"язком дуже важливо забезпечити їх стійкість в усіх режимах роботи. Окрім того, зворотний зв"язок дає змогу забезпечити потрібну якість переходного процесу системи та її точність.

Розглянемо лінійну стаціонарну, повністю керовану систему /об'єкт/ з одним входом, яку описують рівняння стану /8.17/. Заважимо, що наведені далі міркування слідні І для цифрових систем. Припускаємо, що всі змінні стану $x_i(t)$, $i = 1, 2, \dots, n$, можна вимірюти за допомогою відповідних давачів і використати надалі для побудови регулятора стану. Систему в цьому разі називають системою з повною інформацією про стан. Утворимо тепер лінійний закон керування за допомогою

зворотного зв"язку за всіма змінними стану виду

$$U(t) = -\mathcal{L} \bar{x}(t), \quad /8.29/$$

де \mathcal{L} – матриця коефіцієнтів підсилення зворотного зв"язку вимірюється $1 \times n_x$. Якщо цей закон керування використати в системі /8.17/, то замкнену систему керування можна описати такими рівняннями стану:

$$\dot{\bar{x}}(t) = [A - \mathcal{B}\mathcal{L}] \bar{x}(t). \quad /8.30/$$

Структурну схему об"єкта керування з регулятором стану, складену за рівняннями /8.30/, зображенено на рис. 8.2.

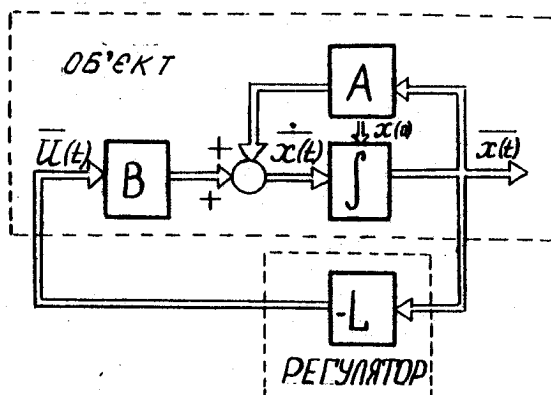


Рис. 8.2. Структурна схема об"єкта керування з регулятором стану /випадок кількох керувальних сигналів/

Проектування регулятора стану полягає в такому виборі матриці коефіцієнтів підсилення \mathcal{L} , щоб можна було дістати бажані /задані/ динамічні властивості замкненої системи. Один з методів синтезу регулятора стану полягає в баженому розташуванні коефіцієнтів характеристичного рівняння системи /8.30/, тобто власних значень матриці замкненої системи $[A - \mathcal{B}\mathcal{L}]$, на комплексній площині коренів. Розв"язуючи цю задачу синтезу, припускаємо, що матриці A, \mathcal{B} системи /8.17/ подано в канонічній формі фазової змінної і їх визначають вира-

зи /8.20/. Перевага подання матриць A, δ в канонічній формі A^*, δ^* полягає, по-перше, в простішому способі аналогового моделювання рівнянь стану $\dot{x}^*(t) = A^*x^*(t) + \delta^*U(t)$, бо вони містять мінімальну кількість ненульових елементів /порівняйте схеми аналогового моделювання на рис. 2.10 і 2.12/, і, по-друге, а це важливіше, в тому, що в цьому випадку можна найпростіше сформулювати алгоритм синтезу регулятора стану, який допомагає бажаним чином розташувати власні значення матриці $[A^* - \delta^* L^*]$ у лівій півплощині комплексної площини коренів. Цей алгоритм дає змогу сформулювати така теорема.

Нехай лінійна стаціонарна система з одним входом $\dot{x}^*(t) = A^*x^*(t) + \delta^*U(t)$ повністю керовна і нехай $\varPhi_{\text{хер}}(\lambda) = \lambda^n + \gamma_{n-1}\lambda^{n-1} + \dots + \gamma_1\lambda + \gamma_0$ - заданий /бажаний/ нормований $1/\gamma_i = 1/\lambda$ поліном n -го порядку з дійсними коефіцієнтами. Тоді є та-кий вектор зворотного зв'язку L^* , що замкнена за допомогою зворотного зв'язку $U(t) = -L^*x^*(t)$ система $\dot{x}^*(t) = [A^* - \delta^* L^*]x^*(t)$ має $\varPhi_{\text{хер}}(\lambda)$ своїм характеристичним поліномом. Доведемо цю теорему.

Нехай характеристичний поліном матриці A^* $\varPhi_{A^*}(\lambda) = \lambda^n + a_{n-1}\lambda^{n-1} + \dots + a_1\lambda + a_0$.

Виберемо тепер компоненти вектора зворотного зв'язку за формулами

$$\ell_{n-i+1}^* = \gamma_i - a_i, \quad i = 0, 1, 2, \dots, n-1. \quad /8.31/$$

Підставивши вектор зворотного зв'язку $L^* = [\ell_0^* \ell_1^* \dots \ell_{n-1}^*]$ у вираз для матриці замкненої системи $[A^* - \delta^* L^*]$, з урахуванням /8.31/ одержимо

$$[A^* - \delta^* L^*] = \begin{bmatrix} 0 & 1 & 0 & \dots & 0 \\ 0 & 0 & 1 & \dots & 0 \\ \dots & \dots & \dots & \dots & \dots \\ 0 & 0 & 0 & \dots & 1 \\ -a_0 & -a_1 & -a_2 & \dots & -a_{n-1} \end{bmatrix} - \begin{bmatrix} 0 \\ 0 \\ 0 \\ \vdots \\ 1 \end{bmatrix} [\ell_0^* \ell_1^* \dots \ell_{n-1}^*] =$$

$$= \begin{bmatrix} 0 & 1 & 0 & \dots & 0 \\ 0 & 0 & 1 & \dots & 0 \\ \dots & \dots & \dots & \dots & \dots \\ 0 & 0 & 0 & \dots & 1 \\ -\gamma_0 & -\gamma_1 & -\gamma_2 & \dots & -\gamma_{n-1} \end{bmatrix}. \quad /8.32/$$

Із /8.32/ випливає, що характеристичний поліном матриці замкненої системи $[A^* - \beta^* L^*]$ дорівнює бажаному характеристичному поліному, тобто $\varphi_{[A^* - \beta^* L^*]}(\lambda) = \lambda^n + j_{n-1} \lambda^{n-1} + \dots + j_1 \lambda + j_0 =$

$= \varphi_{\text{кер}}(\lambda)$. Отже, за допомогою зворотного зв"язку за станом можна потрібним способом змінювати динаміку замкненої системи, вибираючи її власні значення на свій розсуд. Проте на вільний вибір власних значень накладено таке обмеження. З умов фізичної реалізованості коефіцієнти полінома $\varphi_{\text{кер}}(\lambda)$ мають бути дійсні. Тому кожне комплексне число, що його містить набір власних значень полінома $\varphi_{\text{кер}}(\lambda)$, має бути разом зі своїм спряженним.

Визначивши коефіцієнти $\rho_0^*, \rho_1^*, \dots, \rho_{n-1}^*$ матриці зворотного зв"язку L^* , треба перетворити їх з канонічного базису, в якому вони визначені, в природний, тобто в базис, що в ньому записано початкові рівняння стану. Таке перетворення роблять за формулou

$$L = L^* \rho, \quad /8.33/$$

де ρ – неособлива матриця, за допомогою якої виконували перетворення з природного базису в канонічний.

На підставі викладеного можна сформулювати такий алгоритм синтезу лінійних стаціонарних неперервних та цифрових систем керування з одним входом.

I. За відомими початковими цінами /структурна схема, передавна функція тощо/ складають рівняння стану:

$$\dot{x}(t) = A \overline{x(t)} + \beta U(t).$$

2. Обчислюють матрицю керовності:

$$Q_{\text{кер}} = [\beta \quad A\beta \quad A^2\beta \dots A^{n-1}\beta] \quad /8.34/$$

і перевіряють, чи збігається її ранг з вимірюваннями системи.

3. Обчислюють характеристичний многочлен матриці A :

$$\varphi_A(\lambda) = [I \lambda - A] = \lambda^n + a_{n-1} \lambda^{n-1} + \dots + a_1 \lambda + a_0. \quad /8.35/$$

4. За коефіцієнтами $\varphi_A(\lambda)$ записують пару матриць A, β в канонічній формі фазової змінної A^*, β^* .

5. Задають бажаний характеристичний поліном замкненої системи:

$$\varphi_{\text{кер}}(\lambda) = \lambda^n + j_{n-1} \lambda^{n-1} + \dots + j_1 \lambda + j_0. \quad /8.36/$$

6. За формулами $\ell_{n-i+1}^* = j_i - \alpha_i$, $i = 0, 1, 2, \dots$, обчислюють компоненти $\ell_0^*, \ell_1^*, \dots, \ell_{n-1}^*$ вектора зворотного зв'язку ℓ^* , записаного в канонічній формі фазової змінної.

7. Обчислюють матрицю перетворення P до канонічної форми фазової змінної і розраховують коефіцієнти матриці $L = P \ell^*$ у початковому базисі.

Приклад 8.5. Для об'єкта керування, що складається з безінерційного $I / \dot{\epsilon} = 0$ тиристорного перетворювача і двигуна постійного струму з незалежним збудженням, з'єднаного з робочим механізмом через знижувальний редуктор, треба скласти рівняння стану й побудувати регулятор стану.

Розв'язання. За змінні стану виберемо кутову швидкість двигуна $\omega(t)$ і струм $I_A(t)$ силового кола ТД-Д, виміряні відносно тахогенератором і давачем струму. Коли змінні стану задано, то для складання рівняння стану потрібно скористатися насамперед з поелементної /скалярної/ форми їх зображення, суть якої розглянуто в розд. 3. У цьому випадку, припустивши, що $M_{оп}(t) = 0$, а це зробити можна, бо між двигуном та робочим механізмом поставлено знижувальний редуктор, і $\phi(t) = \phi_0 = const$, з рівнянь /3.33/, /3.34/ і передавної функції /3.5/ /див. розд. 3/:

$$\frac{d\omega(t)}{dt} = \frac{R_\Sigma K_A}{T_M} I_A(t);$$

$$\frac{dI_A(t)}{dt} = -\frac{1}{K_A R_\Sigma T_e} \omega(t) - \frac{1}{T_e} I_A(t) + \frac{K_{T,n}}{R_\Sigma T_e} U_{rep}(t),$$

або

$$\dot{x}(t) = A x(t) + B u(t),$$

де

$$A = \begin{bmatrix} 0 & \frac{R_\Sigma K_A}{T_M} \\ -\frac{1}{K_A R_\Sigma T_e} & -\frac{1}{T_e} \end{bmatrix}; \quad B = \begin{bmatrix} 0 \\ \frac{K_{T,n}}{R_\Sigma T_e} \end{bmatrix};$$

$$\overline{x(t)} = [\omega(t) \quad I_A(t)]^T, \quad u(t) = U_y(t).$$

Визначаємо матрицю керовності:

$$Q_{\text{кер}} = \begin{bmatrix} 0 & A\beta \\ -\frac{K_{T_e} K_A}{T_e T_M} & \frac{K_{T_e} K_A}{T_e^2 T_M} \end{bmatrix}$$

Оскільки $\det Q_{\text{кер}} \neq 0$, то, отже, розглядуваній об'єкт повністю керовний.

Визначаємо характеристичний поліном матриці A :

$$\varphi_A(\lambda) = [I\lambda - A] = \lambda^2 + \frac{1}{T_e} \lambda + \frac{1}{T_e T_M}$$

Отже, коефіцієнти полінома: $a_0 = 1/T_e T_M$; $a_1 = 1/T_e$. Власне значення матриці A :

$$\lambda_{1,2} = (-T_M \pm \sqrt{T_M^2 - 4/T_e T_M})/2T_e T_M$$

Бідносний коефіцієнт демпфування ξ і власна частота коливань об'єкта керування ω_o як динамічної ланки другого порядку

$$\xi = T_M/2\sqrt{T_e T_M}; \quad \omega_o = 1/\sqrt{T_e T_M}$$

Наприклад, коли $T_e = 0,1$ с, а $T_M = 0,5$ с, то

$$\lambda_1 = -2,77 \text{ c}^{-1}; \quad \lambda_2 = -7,23 \text{ c}^{-1}; \quad \xi = 1,095; \\ \omega_o = 4,5 \text{ рад/с.}$$

За коефіцієнтами полінома $\varphi_A(\lambda)$ записуємо пару матриць A, β в канонічній формі фазової змінної:

$$A^* = \begin{bmatrix} 0 & 1 \\ -\frac{1}{T_e T_M} & -\frac{1}{T_e} \end{bmatrix}; \quad \beta^* = \begin{bmatrix} 0 \\ 1 \end{bmatrix}$$

Задаємо бажаний поліном замкненого за допомогою зворотного зв'язку за станом об'єкта керування у вигляді такого полінома. Баттерворт другого порядку:

$$\varphi_{\text{бж}}(\lambda) = \lambda^2 + 1,4\omega_0 + \omega_0^2 = \lambda^2 + \gamma_1 \lambda + \gamma_0,$$

де $\gamma_1 = 1,4\omega_0$; $\gamma_0 = \omega_0^2$; ω_0 – радіус півколо, на якому лежать корені λ_1, λ_2 полінома $\varphi_{\text{кер}}(\lambda)$.

Тут варто зауважити, що характеристичний поліном замкненого контуру струму чи швидкості, оптимізованого за модульним критерієм системи підпорядкованого регулювання швидкості, - це окремий випадок полінома Баттервортса другого порядку, а характеристичний поліном контуру швидкості, оптимізованого за симетричним критерієм - окремий випадок полінома Баттервортса третього порядку. Справді, порівнявши характеристичний поліном замкненого контуру швидкості, який становить

$2T_{\mu\text{ш}}\rho^2 + 2T_{\mu\text{ш}}\rho + 1$, із зведенім поліномом Баттервортса другого порядку, бачимо, що відносні коефіцієнти демпфування ζ в обох системах практично однакові і дорівнюють 0,7, а власні частоти будуть однакові, коли зрівняти коефіцієнти біля ρ^2 , тобто коли в поліномі Баттервортса $\omega_0 = 1/(T_{\mu\text{ш}}\sqrt{2}) = 1/(2T_{\mu\text{ш}}\sqrt{2})$. Це означає, що за допомогою зворотного зв'язку за станом, вибравши в поліномі Баттервортса $\omega_0 = \Omega_0 = 1/2T_{\mu\text{ш}}\sqrt{2}$, можна побудувати систему, теоретично адекватну системі підпорядкованого регулювання, оптимізованій за модульним критерієм. Коли, пряміром, припустити, що мала некомпенсована стала часу контуру струму $T_{\mu\text{ш}} = 10 \cdot 10^{-3}$ с [10], то $\omega_0 = 1/2 \cdot 10^{-2}\sqrt{2} = 35,5$ рад/с. Отже, $\gamma_0 = \omega_0^2 = 1260$ рад/с², $\gamma_1 = 1,4\omega_0 = 49,7$ рад/с.

Знаходимо коефіцієнти підсилення ℓ_0^*, ℓ_1^* матриці зворотного зв'язку $L^* = [\ell_0^* \ell_1^*]$:

$$\ell_0^* = \gamma_0 - \alpha_0 = \gamma_0 - 1/T_e T_H ;$$

$$\ell_1^* = \gamma_1 - \alpha_1 = \gamma_1 - 1/T_e .$$

Визначаємо матрицю перетворення P :

$$P = \begin{bmatrix} P_1 \\ P_1 A \end{bmatrix} = \begin{bmatrix} \frac{T_H T_e}{K_{T,H} K_A} & 0 \\ 0 & \frac{R_2 T_e}{K_{T,H}} \end{bmatrix} ,$$

де

$$P_1 = [0 \ 1] \quad Q_{Kep}^{-1} = [0 \ 1] \begin{bmatrix} \frac{T_H}{K_{T,H} K_A} & \frac{R_2 T_e}{K_{T,H}} \\ \frac{T_H T_e}{K_{T,H} K_A} & 0 \end{bmatrix} = \begin{bmatrix} \frac{T_H T_e}{K_{T,H} K_A} & 0 \end{bmatrix} ;$$

$$P_1 A = \begin{bmatrix} \frac{T_H T_e}{K_{T,H} K_A} & 0 \end{bmatrix} A = \begin{bmatrix} 0 & \frac{R_2 T_e}{K_{T,H}} \end{bmatrix} .$$

Неважко перевірити, що

$$A^* = PAP^{-1} = \begin{bmatrix} 0 & 1 \\ -\frac{1}{T_e T_M} & -\frac{1}{T_e} \end{bmatrix}; \quad B^* = PB = \begin{bmatrix} 0 \\ 1 \end{bmatrix}.$$

Визначасмо матрицю коефіцієнтів підсилення зворотного зв"язку L для початкової системи:

$$L = \begin{bmatrix} \frac{T_M T_e}{K_{r,n} K_A} & 0 \\ 0 & \frac{R_\Sigma T_e}{K_{r,n}} \end{bmatrix} [l_0^* \quad l_1^*] = [l_0 \quad l_1],$$

де

$$l_0 = \frac{1}{K_{r,n} K_A} (J_0 T_e T_M - 1),$$

$$l_1 = \frac{R_\Sigma}{K_{r,n}} (J_1 T_e - 1).$$

Коли взяти попередні значення $T_e = 1 \text{ с}$, $T_M = 0,1 \text{ с}$, $\omega_0 = 10 \text{ рад/с}$, $R_\Sigma = 1 \Omega$, $K_{r,n} = 10$, $K_A = 1 \text{ рад/В}\cdot\text{с}$, то

$$L = [l_0 \quad l_1] = [6,3 \quad 0,397].$$

Рівняння стану регулятора /8.30/ з урахуванням одержаних виразів для матриці зворотного зв"язку L :

$$\begin{bmatrix} \dot{x}_1(t) \\ \dot{x}_2(t) \end{bmatrix} = \begin{bmatrix} 0 & \frac{R_\Sigma K_A}{T_M} \\ -\frac{T_M}{R_\Sigma K_A} J_0 & -J_1 \end{bmatrix} \begin{bmatrix} x_1(t) \\ x_2(t) \end{bmatrix}.$$

За цими рівняннями на рис. 8.3,а побудовано структурну схему регулятора стану, яку можна використати для аналогового моделювання пе-реходних процесів у регуляторі, зумовлених ненульовими початковими умовами $x_1(0)$, $x_2(0)$. На рис. 8.3,б зображенено принципову схему підімкнення регулятора стану до об"єкта ТЛ-Д. Коефіцієнти підсилення

$l_0 = R_{3,3}/R_\omega$ і $l_1 = R_{3,3}/R_{CIP}$ реалізовано на одному операційному

підсилювачі. Треба мати на увазі, що за одних і тих самих давачів струму та швидкості система із зворотними зв'язками за станом хоча й матиме на один операційний підсилювач менше, ніж система підпорядкованого регулювання, однак матиме й дуже великі вади, пов'язані головним чином з відсутністю обмеження регульованих координат.

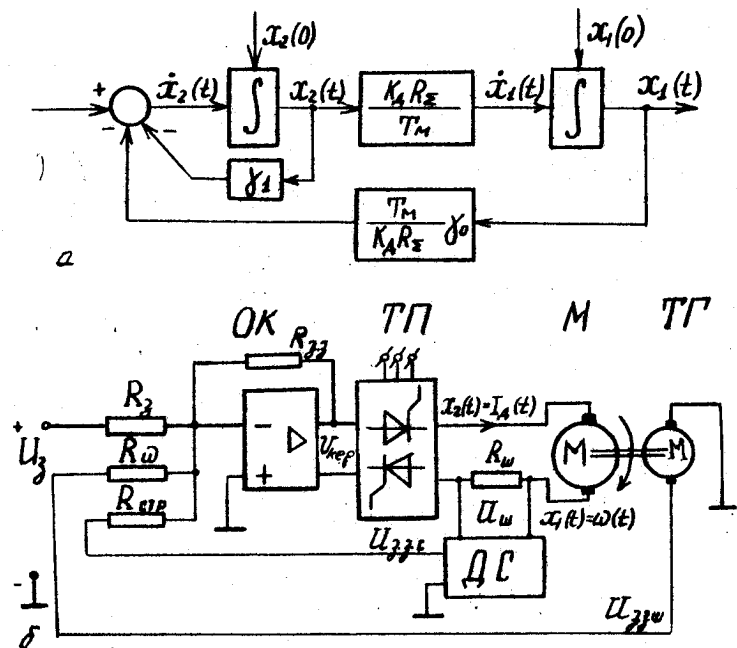


Рис. 8.3. Структурна схема аналогового моделювання регулятора швидкості /а/ і принципова схема його підімкнення до об'єкта ПЛ-Д /б/

Для вибраних значень параметрів T_c , T_M і ω_0 у табл. 8.1 наведено порівняння параметрів розімкненої системи /об'єкта ПЛ-Д/ і замкненої з регулятором стану, адекватної за своїми властивостями, принаймні в принципі, двоконтурній системі підпорядкованого регулювання швидкості.

Таблиця 8.1

Параметри розімкненої й замкненої
систем регулювання швидкості

Система	Параметри	
	Власні значення λ_1, λ_2 , рад/с	Більшний коефіцієнт демпфування ζ і власна частота Ω_o
Розімкнена	$\lambda_1 = -7,23;$ $\lambda_2 = -2,77$	$\zeta = 1,095;$ $\Omega_o = 4,5$ рад/с
Замкнена	$\lambda_{1,2} = -24,81 \pm j24,7$	$\zeta = 0,7;$ $\Omega_o = 35,5$ рад/с

З розглянутого прикладу випливає, що хоча теоретично корені замкненої системи можна довільно розташувати в лівій частині комплексної площини, тобто забезпечити буль-яку швидкодію системи, однак це неминуче призводить до збільшення амплітуди керувальної дії й налімірного форсування переходного процесу в системі. У кожній практичній задачі амплітуду керувальної дії обмежено, внаслідок чого обмежене й розташування полісів. Тому викладений метод побудови зворотних зв'язків за станом звичайно використовують у задачі аналітичного конструювання регуляторів, під час розв'язування якої синтезують такий закон керування системою, котрий мінімізує інтегральну квадратичну похибку із заданим інтегральним квадратичним обмеженням на вектор керувальної дії $U(t)$.

Приклад 8.6. Задано рівняння стану цифрової СКЕП у вигляді

$$\underline{x(k+1)} = A \underline{x(k)} + \theta U(k),$$

де

$$A = \begin{bmatrix} 1 & -1 \\ 0 & 1 \end{bmatrix}; \quad \theta = \begin{bmatrix} 1 \\ 1 \end{bmatrix}.$$

Потрібно визначити таку матрицю коефіцієнтів підсилення зворотного зв'язку L , необхідну для організації зворотного зв'язку за станом $U(k) = -L \underline{x(k)}$, щоб власні значення замкненої системи дорівнювали $\lambda_1 = 0,3$ і $\lambda_2 = 0,7$.

Розв'язання. Бизначаємо матрицю керовності:

$$Q_{\text{кер}} = [\delta \ A\delta] = \begin{bmatrix} 1 & 0 \\ 1 & 1 \end{bmatrix}.$$

Оскільки ранг $Q_{\text{кер}} = 2$, то, отже, задана система повністю керовна.

Бизначимо характеристичний поліном матриці A :

$$\chi_A(\lambda) = [I\lambda - A] = \lambda^2 - 2\lambda + 1$$

або

$$\chi_A(\lambda) = [I\lambda - A] = \lambda^2 - 2\lambda + 1 = (\lambda - 1)(\lambda - 1).$$

З рівняння $\chi_A(\lambda) = 0$ знаходимо власні значення матриці A : $\lambda_1 = 1; \lambda_2 = 1$. Отже, задана система перебуває на межі стійкості.

Проте, оскільки вона повністю керовна, та за допомогою зворотного зв'язку за станом її можна зробити не лише асимптотично стійкою, а й з потрібною якістю процесу керування.

Бизначаємо бажаний характеристичний поліном замкненої системи, враховуючи задані в умові задачі власні значення:

$$\chi_{\text{кер}}(\lambda) = (\lambda - 0,3)(\lambda - 0,7) = \lambda^2 - \lambda + 0,21.$$

За поліномом $\chi_{\text{кер}}(\lambda)$ записуємо пару матриць A, δ у канонічній формі фазової змінної:

$$A^* = \begin{bmatrix} 0 & 1 \\ 1 & -2 \end{bmatrix}; \quad \delta^* = \begin{bmatrix} 0 \\ 1 \end{bmatrix}.$$

Розраховуємо коефіцієнти ℓ_0^*, ℓ_1^* матриці L^* у канонічному базисі фазової змінної:

$$\ell_0^* = \gamma_0 - \alpha_0 = 0,21 - 1 = -0,79 c^{-2};$$

$$\ell_1^* = \gamma_1 - \alpha_1 = -1 + 2 = 1 c^{-1}.$$

$$\text{Тоді } L^* = [\ell_0^* \ \ell_1^*] = [-0,79 \ 1].$$

Бизначаємо матрицю коефіцієнтів підсилення зворотного зв'язку L початкової системи з урахуванням одержаного в прикладі 8.4 значення для матриці P :

$$L = L^* P = [-0,79 \ 1] \begin{bmatrix} -1 & 1 \\ -1 & 2 \end{bmatrix} = [-0,21 \ 1,21].$$

Неважко перевірити, що власні значення замкненої системи, визначені з цієї характеристичного рівняння,

$$[\lambda I - A + \delta L] = \lambda^2 - \lambda + 0,21 = (\lambda - 0,3)(\lambda - 0,7) = 0$$

дорівнюють заданим, а саме: $\lambda_1 = 0,3$ і $\lambda_2 = 0,7$. Оскільки λ_1 і λ_2 лежать на λ -площині всередині круга з одиничним радіусом, то система стійка.

Таким чином, керування з використанням зворотного зв'язку за станом, яке забезпечує задані власні значення замкненої системи, має такий вигляд:

$$U(\lambda) = [-0,21 \quad 1,21] \bar{x}(\lambda).$$

8.3.2. Синтез регуляторів за рівняннями стану, заданими в довільній формі

Зараз розроблено низку алгоритмів синтезу аналогових та цифрових регуляторів стану, які дають змогу розв'язати задачу, не перетворюючи початкових рівнянь стану в канонічну форму фазової змінної. Наведемо один з таких алгоритмів, коли рівняння стану системи /об'єкта/ з одним входом /8.17/ або /8.18/ здано в довільній формі [26]. У цьому разі коефіцієнти l_0, l_1, \dots, l_{n-1} матриці зворотного зв'язку за всіма змінними стану:

$$L = [(MQ_{\text{кер}}^T)^{-1}(\bar{\theta} - \bar{a})]^T, \quad 8.37/$$

де

$$M = \begin{bmatrix} a_n & 0 & 0 \dots 0 \\ a_{n-1} & a_n & 0 \dots 0 \\ a_{n-2} & a_{n-1} & a_n \dots 0 \\ \vdots & \vdots & \vdots \\ a_1 & a_2 & a_3 \dots a_n \end{bmatrix};$$

$$Q_{\text{кер}} = [\theta \quad A\theta \quad A^2\theta \dots A^{n-1}\theta]$$

$$\bar{a} = [a_{n-1} \quad a_{n-2} \dots \quad a_1];$$

$$\bar{\theta} = [\theta_{n-1} \quad \theta_{n-2} \dots \quad \theta_1].$$

Коефіцієнти матриць $M, \bar{a}, \bar{\theta}$ визначають з характеристичних поліномів розімкненої системи

$$\Psi_A(\lambda) = [I\lambda - A] = \lambda^n + a_{n-1}\lambda^{n-1} + \dots + a_1\lambda + a_0$$

і замкненої системи

$$\mathcal{L}_{\text{kep}}(\lambda) = [I_2 - A + \delta L] = \lambda^2 + \beta_{n-1} \lambda^{n-1} + \dots + \beta_1 \lambda + \beta_0,$$

а для аналогової системи – за характеристичними поліномами /8.35/ і /8.36/.

Оскільки матриця M трикутна з одиницями на головній діагоналі [поліном $\mathcal{L}_k(\lambda)$ нормовано], то вона завжди є невироджена. Тому, щоб існував розв'язок задачі, який визначає формула /8.37/, необхідно й досить, аби пара матриць A, δ була повністю керовна.

Перші три пункти алгоритму синтезу в розглядуваному випадку такі ж самі, як і в алгоритмі, сформульованому в попередньому підрозділі; четвертий пункт потрібно пропустити; потім за /8.37/ визначають матрицю зворотного зв'язку L , заздалегідь знайшовши матриці $M, Q_{\text{kep}}, \bar{\beta}, \bar{\alpha}$ і $[M Q_{\text{kep}}^T]^{-1}$.

Неважко переконатися, що для привода, докладно розглянутого в прикладі 8.5, матриці L , розраховані за формулами /8.37/ і /8.38/, повністю збігаються.

Матрицю зворотного зв'язку L у виразі /8.37/ зображену як функцію коефіцієнтів бажаного характеристичного полінома замкненої системи $\beta_i, i = 0, 1, 2, \dots, n-1$. Інший алгоритм для визначення матриці L , вираженої через бажані власні значення замкненої системи, наведено в [26].

8.4. Синтез аналогових і цифрових регуляторів стану з неповною інформацією про об'єкт керування

Під час побудови регуляторів стану з повною інформацією про об'єкт керування всі змінні стану $x_i(t), i = 1, 2, \dots, n$, вектора стану $\underline{x}(t)$ вимірювали й використовували для організації зворотних зв'язків. Рівняння виходу $y(t) = Cx(t)$ при цьому не використовували. Припускали, що будь-яку із складових $y_i(t), i = 1, 2, \dots, n$, вектора виходу $\underline{y}(t)$ або їх комбінацію, залежно від структури матриці C , можна використати як вихідний сигнал.

Однак на практиці не завжди можливо або доцільно використовувати всі змінні стану для побудови регуляторів стану, бо, по-перше, не можна виміряти деякі змінні стану через їх абстрактний характер і, по-друге, важко технічно виготовити деякі вимірювачі /давачі/ через дорожнечу та інші причини. Тому постало завдання побудови регулято-

рів за неповною інформацією про об'єкт керування, тобто коли для цього використовувати не всі змінні $x_i(t)$, $i = 1, 2, \dots, n$, вектора стану $\underline{x}(t)$, а тільки їх частину. Прикладом такого способу є розглядуване далі питання, пов'язане з проектуванням аналогових та цифрових регуляторів стану з неповним зворотним зв'язком за виходом.

Розглянемо таку систему /об'єкт/ з одним входом $U(t)$ і ρ виходами, що їх потім буде використано як зворотні зв'язки для побудови регулятора стану:

$$\dot{\underline{x}}(t) = A \underline{x}(t) + \mathcal{B} U(t); \quad /8.38/$$

$$\underline{y}(t) = C \underline{x}(t), \quad /8.39/$$

де вектори $\underline{x}(t)$ і $\underline{y}(t)$ мають розмірність відповідно $n \times 1$ і $\rho \times 1$ ($\rho \leq n$). Розмірність матриць A , \mathcal{B} і C дорівнює відповідно $n \times n$, $n \times 1$ і $\rho \times n$.

Зворотний зв'язок за виходом

$$U(t) = -L \underline{y}(t), \quad /8.40/$$

де L – матриця зворотного зв'язку за виходом вимірюємо $\rho \times \rho$.

Задача синтезу регулятора стану полягає в такому виборі матриці L , коли внаслідок синтезу буде одержано задані /бажані/ власні значення замкненої системи. Але, оскільки кількість виходів ρ менша від кількості змінних стану n , то не всі n власних значень можна задавати довільно. Доведемо, що кількість власних значень замкненої системи, які можна задавати довільно, для систем з одним входом залежить від рангу матриці C .

Синтезувати регулятори стану із зворотним зв'язком за виходом можна тим самим методом, що й у випадку зворотного зв'язку за станом. Підставивши /8.40/ у /8.39/, а тоді в /8.38/, дістанемо

$$\dot{\underline{x}}(t) = [A - \mathcal{B} L C] \underline{x}(t). \quad /8.41/$$

Рівняння /8.41/ еквівалентне рівнянню замкненої системи із зворотним зв'язком за станом, в якому матриця зворотного зв'язку являє собою добуток матриць $L C$. Отже, коли пара матриць A, \mathcal{B} повністю керовна, то розв'язок для $L C$ можна відразу одержати, використавши /8.37/:

$$L C = [(M Q_y^T)^{-1} (\bar{J} - \bar{A})]^T. \quad /8.42/$$

Коли вхідна ція єдина, добуток матриць \mathcal{LC} завжди являє собою матрицю-рядок вимірністю 1×1 . Матриця C містить ρ елементів, але тільки S з них відповідають незалежним параметрам, які можна використати для побудови регулятора стану /тут S - ранг матриці C , $S \leq \rho$ /.

Наприклад, якщо

$$C = \begin{bmatrix} 1 & 0 & 0 \\ 0 & 1 & 2 \\ 0 & 0 & 0 \end{bmatrix},$$

то ранг цієї матриці дорівнює 2. Якщо до того ж $L = [\ell_0 \ \ell_1 \ \ell_2]$, то $\mathcal{LC} = [\ell_0 \ \ell_1 \ 2\ell_2]$, тобто матриця \mathcal{LC} має тільки два незалежних параметри. Це означає, що за допомогою зворотного зв"язку за виходом довільно задавати можна тільки два з трьох власних значень замкненої системи. Коли ж ранг матриці C дорівнює порядковій системи, тобто

$S = \rho$, то, як випливає з /8.39/, з урахуванням того, що $\rho = n$, $y_i(t) = x_i(t)$, $i = 0, 1, 2, \dots, n-1$.

Отже, зворотний зв"язок за виходом дає той самий наслідок, що й повний зворотний зв"язок за станом, а саме: коли пара матриць A, B повністю керовна, то всі власні значення замкненої системи можна задавати довільно. Це можна підтвердити попереднім прикладом, вважаючи матрицю C за одиничну, її ранг у цьому разі дорівнює 3. Тоді, коли $L = [\ell_0 \ \ell_1 \ \ell_2]$, $\mathcal{LC} = [\ell_0 \ \ell_1 \ \ell_2]$, а $U(t) = -\mathcal{LC}x(t) = -[\ell_0 x_1(t) + \ell_1 x_2(t) + \ell_2 x_3(t)]$. Треба зауважити, що коли $S = \rho$, то знову маємо випадок побудови регулятора стану з повною інформацією, але тепер уже за вектором вихідних змінних $y_i(t) = x_i(t)$. У цьому разі також необхідно вимірювати всі змінні стану $x_i(t) = y_i(t)$.

Таким чином, коли пара матриць A, B повністю керовна, то кількість власних значень матриці замкненої системи $[A - \mathcal{B}\mathcal{C}]$, що їх можна довільно розташувати в лівій півплощині комплексної площини коренів, дорівнює рангові матриці C .

Викладений попереду метод синтезу слушний і для проектування цифрових регуляторів.

Зараз під час проектування й побудови слідкувальних приводів застосовують методи синтезу регуляторів стану, які поєднують і зворотний зв"язок за змінними стану, і неповний зворотний зв"язок за виходом з допомогою динамічного регулятора [26; 27]. Зокрема, динамічний регулятор може виконувати операцію інтегрування в аналоговій чи цифровій формі.

8.5. Синтез аналогових і цифрових регуляторів з використанням спостерігачів повного порядку

8.5.1. Постановка задачі синтезу

Під час побудови регуляторів стану, методику синтезу яких для випадку повної інформації про об'єкт керування викладено попереду, треба було вимірювати всі змінні стану $x_i(t)$, $i = 1, 2, \dots, n$, вектора стану $\bar{x}(t)$ за допомогою спеціальних датчиків, розташованих безпосередньо на об'єкті керування /датчики швидкості, положення, струму, напруги, моменту опору тощо в системах керування електроприводами/. Таке вимірювання координат об'єкта не завжди можна зробити, а в багатьох випадках і недоцільно. Тому зараз замість сукупності датчиків застосовують електронні пристрої, які дістали назву спостерігачів стану. Вхідними сигналами для них є вимірюні безпосередньо на фізичному

- ✓ об'єкті вхідний $U(t)$ і вихідний $Y(t)$ сигнали об'єкта /в регуляторі струму це найчастіше напруга $U_{ker}(t)$, яка надходить на вход СІФК, і кутова швидкість обертання двигуна ω_1 , а вихідними - відновлені /вироблені спостерігачем/ змінні стану $x_i(t)$. Побудувати спостерігач, який би точно виробляв змінні стану, неможливо, оскільки вимірювальне коло містить інерційні елементи. На практиці спостерігач стану розв'язує цю задачу, наблизено, тобто замість вектора стану $\bar{x}(t)$ виробляє його оцінки $\hat{x}(t)$, які надалі позначатимемо тими самими літерами, але із значком „ \wedge ” над ними. Вироблені спостерігачем оцінки потрібні не самі із себе, а для подальшого їх використання; вони потім надходять на вход регулятора стану з матрицею зворотного зв'язку за станом \bar{x} /рис. 8.4/ і далі у вигляді сигналу зворотного зв'язку $U(t) = -L\bar{x}(t)$ на вход об'єкта. Регулятор стану разом із спостерігачем утворюють регулятор, який надалі називатимемо модальним регулятором стану.

Математичне формулювання задачі синтезу параметрів спостерігача таке. Задано математичну модель об'єкта /системи/ керування у вигляді рівнянь стану й рівняння виходу в такому вигляді:

$$\dot{\bar{x}}(t) = A\bar{x}(t) + \beta U(t); \quad 8.43/$$

$$Y(t) = C\bar{x}(t). \quad 8.44/$$

Відомі, крім матриць A , β і C , також вимірюні безпосередньо на об'єкті керування вхідний $U(t)$ та вихідний $Y(t)$ сигнали. Потрібно

побудувати спостерігач, який замість $\hat{x}(t)$ видавав би оцінку $\hat{x}(t)$.
З уважимо, що безпосередньо видобути $\hat{x}(t)$ з математичної моделі /8.43/ не можна.

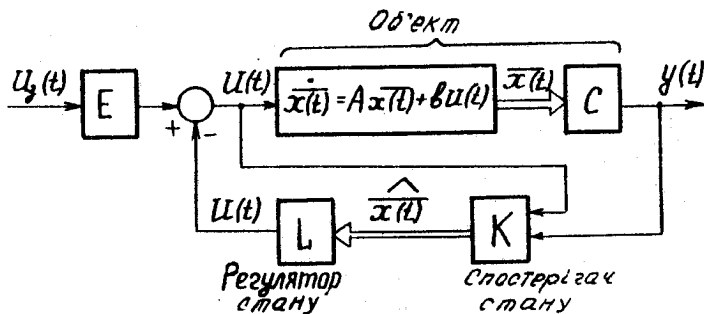


Рис. 8.4. Структурна схема модального регулятора стану

Якщо спостерігач відновлює /оцінює/ весь вектор стану $x(t)$, то його називають спостерігачем повного порядку, в коли тільки частину, наприклад $n-1$, - спостерігачем зниженого порядку, або редуктованим спостерігачем.

8.5.2: Принципи побудови спостерігачів стану

Структурну схему найпростішого спостерігача стану для системи /об'екта/ з одним входом і одним виходом зображенено на рис. 8.5. Горішня частина цього рисунка являє собою математичну модель об'екта за /8.43/-/8.44/. Це абстрактна модель, що з тією чи тією точністю /прийнятні якісно/ відображує процеси, які реально відбуваються в об'екті. Нижня частина рисунка, позначена пунктирною лінією, - це спостерігач стану /фізичний пристрій/, який виробляє оцінку $\hat{x}(t)$ вектора стану $x(t)$. На вхід моделі й спостерігача надходить реально вимірюаний на об'екті вхідний сигнал $u(t)$.

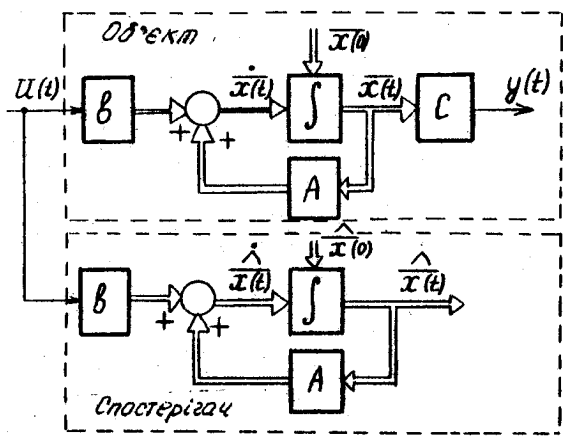
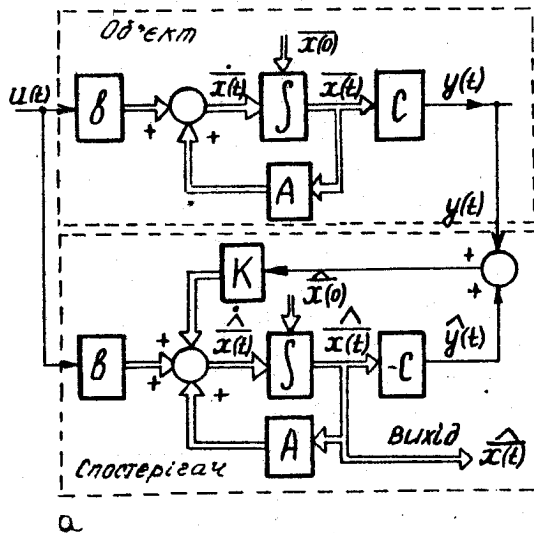


Рис. 8.5. Структурна схема найпростішого спостерігача стану

З наведених міркувань випливає, що коли початкові умови моделі й спостерігача, які характеризують вектори відповідно $\bar{x}(0)$ і $\hat{x}(0)$, однакові, то процеси в об'єкті й спостерігачі перебігають однаково, тобто $\bar{x}(t) = \hat{x}(t)$. Проте такий найпростіший спостерігач на практиці не застосовують через дві вади. По-перше, необхідно визначати початкові умови об'єкта $\bar{x}(0)$ за допомогою спеціального пристроя і передавати їх на інтегратори спостерігача щоразу, коли він розпочинає вимірювати вектор $x(t)$. Зауважимо, що визначити початкові умови $\bar{x}(0)$ за вимірами виходу об'єкта $y(t)$ принципово можливо, коли пара матриць A, C останнього повністю спостережна /див. приклад 8.1/. По-друге, найпростіший спостерігач працює за розімкненим циклом. Тому навіть дуже мале відхилення $\bar{x}(0)$ від $x(t)$ у момент початку вимірювання, яке можуть спричинити неточні дані про матриці A, C та вхідний сигнал $U(t)$, з часом, унаслідок дії на спостерігач різних завад, може істотно відрізнятися від істинного. Цих вад не має асимптотичний спостерігач стану, в якому використано вимірюваний вихідний сигнал об'єкта $y(t)$ /рис. 8.6, а/.

У схемі передбачено автоматичну мінімізацію відхилення $\frac{1}{x(t)}$ від $\hat{x}(t)$ за рахунок того, що спостерігач побудовано як замкнену сис-

тему із від'ємним зворотним зв'язком. Вихід $y(t) = \overline{Cx(t)}$ порівнюється з виходом спостерігача $\hat{y}(t) = \overline{Cx(t)}$ і їх різниця, яка є сигналом розузгодження, через матрицю коефіцієнтів підсилення зворотного зв'язку спостерігача K подається на вхід його інтеграторів. Ще краще було б побудувати спостерігач, який працює безпосередньо за похибкою $x(t) - \hat{x}(t)$, але цього зробити не можна, бо вектор $x(t)$ об'єкта не вимірюється. Проектування спостерігача полягає в такому виборі структури й параметрів матриці K , щоб похибка $\hat{y}(t) = y(t) - \hat{y}(t)$, а отже, й похибка $\Delta \hat{x}(t) = x(t) - \hat{x}(t)$ за мінімально короткий проміжок часу прямувала до нуля. Спостерігач, в якого $\Delta \hat{x}(t) = \hat{x}(t) - x(t) \rightarrow 0$, коли $t \rightarrow \infty$, називають асимптотичним.



a

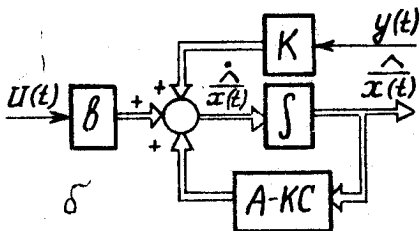


Рис. 8.6. Структурна схема об'єкта з асимптотичним спостерігачем стану /a/ і власне спостерігачем /b/

Вимірність спостерігача, зображеного на рис. 8.6, а, порівнює вимірності системи π . Рівняння стану цього π -вимірного спостерігача має вигляд

$$\dot{\overline{x}}(t) = A \overline{x}(t) + K [y(t) - C \overline{x}(t)] + \delta u(t) \quad /8.45/$$

або

$$\dot{\overline{x}}(t) = [A - KC] \overline{x}(t) + Ky(t) + \delta u(t). \quad /8.46/$$

За рівняннями /8.46/ на рис. 8.6, б побудовано структурну схему спостерігача як замкненої системи з двома виходами. З рівнянь /8.46/ випливає, що коли б можна було довільно бажаним чином задавати власні значення матриці замкненого спостерігача $[A - KC]$, то це означало б можливість бажаним чином мінімізувати похибку $A \overline{x}(t) = \overline{x}(t) - x(t)$.

8.5.3. Модальний регулятор стану

Одержані раніше рівняння стану спостерігача /8.45/, /8.46/ відповідають випадкові, коли зворотного зв'язку $U(t)$ /див. рис. 8.4/ не має, тобто це рівняння окремо взятого спостерігача /рис. 8.6, б/. Для загального випадку, коли регулятор стану Й спостерігач увімкнено в замкнений контур, як зображено на рис. 8.4, рівняння стану замкненої системи електропривода з регулятором стану Й спостерігачем у колі зворотного зв'язку такі:

$$\dot{\overline{x}}(t) = A \overline{x}(t) - \delta L \frac{1}{\overline{x}(t)} + \delta E U_3(t); \quad /8.47/$$

$$\dot{\overline{x}}(t) = [A - KC - \delta L] \overline{x}(t) + KC \overline{x}(t) + \delta E U_3(t). \quad /8.48/$$

Рівняння /8.47/ являєть собою рівняння стану замкненого регулятора стану, а /8.48/ - рівняння стану замкненого спостерігача. Їх одержано відповідно з рівняння стану /8.17/ і /8.46/ з урахуванням того, що в замкненій системі електропривода /див. рис. 8.4/ $y = C \overline{x}(t)$, а $U(t) = EU_3(t) - L \dot{\overline{x}}(t)$. Вектори $\overline{x}(t)$ і $\dot{\overline{x}}(t)$ у рівняннях /8.47/ і /8.48/ взаємопов'язані, тому для дослідження процесів у замкненій системі електропривода треба використати відповідно рівняння /8.47/ і /8.48/.

З'ясуємо характер вільних рухів замкненої системи, спричинених ненульовими початковими умовами, припустивши, що в /8.47/ і /8.48/

задавальна дія $\tilde{U}_g(t)$ дорівнює нулю, а також вплив цих двох систем одна на одну.

Запровадивши нові змінні в /8.47/, /8.48/ за формулами $\tilde{x}(t) = \tilde{x}(t) - \tilde{x}^*(t)$, дістанемо

$$\dot{\tilde{x}}(t) = [A - \delta L] \tilde{x}(t) - \delta L \tilde{x}^*(t); \quad /8.49/$$

$$\dot{\tilde{x}}^*(t) = [A - \kappa C] \tilde{x}^*(t), \quad /8.50/$$

або

$$\begin{bmatrix} \dot{\tilde{x}}(t) \\ \dot{\tilde{x}}^*(t) \end{bmatrix} = \begin{bmatrix} A - \delta L & -\delta L \\ 0 & A - \kappa C \end{bmatrix} \cdot \quad /8.51/$$

Рівняння /8.50/ одержано відніманням /8.47/ від /8.48/. Ектор $\tilde{x}(t)$ характеризує точність /похибку/ оцінки спостерігачем вектора стану $x(t)$, коли в замкненому контурі є регулятор стану. З цього рівняння випливає, що похибка $\tilde{x}(t)$ оцінки вектора стану $x(t)$ не залежить від параметрів /коєфіцієнтів $\ell_0, \ell_1, \dots, \ell_{n-1}$ вектора L / регулятора стану.

Власні рухи системи /8.51/ визначає характеристичне рівняння

$$\det[\lambda I - \tilde{A}] = \det[\lambda I - A + \delta L] \det[\lambda I - A + \kappa C] = 0. \quad /8.52/$$

Отже, повний набір власних значень системи керування з регулятором стану Й спостерігачем складається з власних значень системи керування без спостерігача і власних значень останнього. Таким чином, оскільки власні значення регулятора стану Й спостерігача не впливають одне на одне, то це означає, що синтез параметрів регулятора стану Й спостерігача можна робити незалежно один від одного, тобто спочатку синтезувати регулятор, припустивши, що всі змінні стану об'єкта вимірюються, а потім – спостерігач як незалежну замкнену систему.

З рівнянь стану /8.52/ бачимо, що порядок характеристичного рівняння замкненої системи дорівнює добутку порядків регулятора стану Й спостерігача. Якщо матриця A об'єкта керування має вимірність n , то контур керування із спостерігачем повного порядку Й регулятором стану мають порядок $2n$. Спостерігач має власну динаміку Й тому робить додаткові затримки в замкненій системі керування. Тому замкнена система з одним регулятором стану матиме більшу швидкотю, ніж система з регулятором та спостерігачем. Коли власні значення спостерігача вибрано так, що їх дійсні частини від'ємні, то не має значення, який почат-

ковий стан $\dot{x}(t)$ має спостерігач, бо його вихід $\dot{x}(t)$ прямуватиме до $x(t)$ асимптотично. До того ж що більші модулі від'ємних власних значень спостерігача, то швидше оцінка $\dot{x}(t)$ прямує до дійсних значень $x(t)$, то чутливіший спостерігач до шумів, які діють у каналі вимірювання стану системи. Під час практичного проектування спостерігачів стану у випадку, коли, наприклад, бажані поліноми $\varphi_{\text{сп}}(\lambda)$ і $\varphi_c(\lambda)$ є поліномами Баттервортса, то ω_0 спостерігача вибирають трохи більшу, ніж ω_0 регулятора стану.

8.5.4. Алгоритм побудови аналогових і цифрових асимптотичних спостерігачів n -го порядку

Порівнявши рівняння стану /8.30/ і /8.46/, бачимо, що структури матриц спостерігача $[A - KC]$ й регулятора стану $[A - \delta C]$ однакові. У зв'язку з цим постає питання, чи не можна скористатися методикою, розвиненою для проектування регулятора стану, яка дає змогу розташовувати власні значення матриці $[A - \delta C]$ у лівій частині комплексної площини коренів бажаним чином для проектування спостерігача. Відповідь на це запитання подано в доведенні такої теореми: коли лінійна стаціонарна система з одним входом і одним виходом повністю спостережна, то тоді можна побудувати асимптотичний спостерігач n -го порядку з довільним бажаним набором власних чисел $\lambda_0, \lambda_1, \dots, \lambda_{n-1}$, комплексні числа входять у цей набір із своїми спряженими/ матриці

$[A - KC]$, до того ж $\operatorname{Re}(\lambda_i) < 0$, $i = 0, 1, 2, \dots, n-1$. Доведемо цю теорему. Оскільки пара матриц A, C неспостережна, то спряжена пара матриц A^T, C^T з огляду на теорему про дуальність (див. п. 8.2.5) є повністю керовна Й, отже, існує базис у просторі станів X , в якому цю пару можна зобразити в канонічній формі фазової змінної:

$$(A^T)^* = \begin{bmatrix} 0 & 1 & \dots & 0 \\ 0 & 0 & \dots & 0 \\ \vdots & \ddots & \ddots & \vdots \\ 0 & 0 & \dots & 1 \\ -a_0 & -a_1 & \dots & -a_{n-1} \end{bmatrix}; (C^T)^* = \begin{bmatrix} 0 \\ 0 \\ \vdots \\ 1 \end{bmatrix}, \quad /8.53/$$

де a_i , $i = 0, 1, 2, \dots, n-1$ - коефіцієнти характеристичного полінома матриці A :

$$\varphi_A(\lambda) = \lambda^n + a_{n-1} \lambda^{n-1} + \dots + a_1 \lambda + a_0.$$

У цьому базисі пара матриць об'єкта A, C матиме такий вигляд:

$$A_x = \begin{bmatrix} 0 & 0 & \dots & 0 & -a_0 \\ 1 & 0 & \dots & 0 & -a_1 \\ \dots & \dots & \dots & \dots & \dots \\ 0 & 0 & \dots & 1 & -a_{n-1} \end{bmatrix}; \quad C_x = [0 \ 0 \ \dots \ 1]. \quad 18.54/$$

Це зображення пари матриць A_x, C_x називають спряженою канонічною формою фазової змінної. Така назва походить від того, що матриці A_x, C_x пов'язані з матрицями $(A^T)^*, (C^T)^*$ операцією транспонування. Системи з транспонованими матрицями /див. п. 8.2.5/ називають спряженими.

Нехай тепер задано довільний бажаний нормований поліном спостерігача з дійсними коефіцієнтами:

$$\varphi_c(\lambda) = \lambda^n + \beta_{n-1} \lambda^{n-1} + \dots + \beta_1 \lambda + \beta_0. \quad 18.55/$$

Виберемо як компоненти вектора x_n вимірністю $n \times 1$ числа $\beta_i - a_i$ / $i = 0, 1, 2, \dots, n-1$, тобто

$$K_x = [\beta_0 - a_0 \ \beta_1 - a_1 \ \dots \ \beta_{n-1} - a_{n-1}].$$

Якщо тепер у матрицю $[A_x \ K_x \ C_x]$ підставити вирази A_x і K_x , а потім обчислити характеристичний поліном цієї матриці, то дістанемо

$$[\lambda I - A_x + K_x C_x] = \lambda^n + \beta_{n-1} \lambda^{n-1} + \dots + \beta_1 \lambda + \beta_0,$$

тобто характеристичний поліном спостерігача, в якому матриці A, K і C записано в спряженій канонічній формі фазової змінної, яка збігається із заданим /бажаним/ поліномом $\varphi_c(\lambda)$.

Неважко переконатися /наприклад, прямими обчисленнями для системи другого порядку/ в тому, що матриця перетворення P_C рівнянь стану об'єкта /пари матриць A, C / до рівнянь стану, записаних у спряженій канонічній формі фазової змінної /до пари матриць A_x, C_x /<, має вигляд

$$P_c = \begin{bmatrix} a_1 & a_2 \dots a_{n-1} & 1 \\ a_2 & a_3 \dots 1 & 0 \\ a_3 & a_4 \dots 0 & 0 \\ \vdots & \vdots & \vdots \\ a_{n-1} & 1 & 0 \\ 1 & 0 \dots 0 & 0 \end{bmatrix} \begin{bmatrix} c \\ ca \\ ca^2 \\ \vdots \\ ca^{n-1} \end{bmatrix}. \quad /8.56/$$

Тоді

$$A_n = P_c A P_c^{-1}; \quad /8.57/$$

$$\theta_n = P_c \theta; \quad /8.58/$$

$$C_n = CP_c^{-1}; \quad /8.59/$$

$$K = P_c^{-1} K_n = [k_0 \ k_1 \dots k_{n-1}]^T. \quad /8.60/$$

Рівняння стану спостерігача /8.46/ у спряженій канонічній формі фазової змінної, урахувавши /8.57/-/8.60/, запишемо так:

$$\frac{\dot{x}_n(t)}{x_n(t)} = A_n \frac{\dot{x}_n(t)}{x_n(t)} + K [y(t) - C_n \frac{\dot{x}_n(t)}{x_n(t)}] + \theta_n u(t). \quad /8.61/$$

Сформулюємо тепер алгоритм синтезу параметрів асимптотичного спостерігача n -го порядку:

- 1/ складають рівняння стану об'єкта керування;
- 2/ обчислюють матрицю спостережності Q_c ;
- 3/ знаходять характеристичний поліном $\chi_A(\lambda)$ матриці A ;
- 4/ за /8.54/ записують пару матриць A, C у спряженій канонічній формі фазової змінної A_n, C_n ;
- 5/ задають бажаний характеристичний поліном замкненої спостерігача $\chi_c(\lambda)$.

Зауваження щодо вибору полінома $\chi_c(\lambda)$ для неперервних систем, наведені попереду, слідні й для цифрових систем. Однак, проектуючи цифрові спостерігачі, треба враховувати ось що. У теорії цифрових систем доведено, що коли характеристичне рівняння замкненої системи $Z\rho = 0$, де ρ - ціле додатне число, яке звичайно дорівнює порядковій системи, тобто всі корені нульові, то переходний процес у системі аперіодичний, а сигнал похиби наближатиметься до нуля за скінченну кількість періодів квантування;

6/ за формулами $\beta_i = Q_i$, $i = 0, 1, 2, \dots, n-1$, розраховують коефіцієнти підсилення матриці K_x , записаної в спряженій канонічній формі фазової змінної;

7/ обчислюють матрицю R перетворення початкових рівнянь стану /пари матриць A, C / до рівнянь стану, записаних у спряженій канонічній формі фазової змінної /до пари матриць A_x, C_x /;

8/ обчислюють коефіцієнти K_0, K_1, \dots, K_{n-1} матриці зворотного зв'язку спостерігача K за /8.60/.

Приклад 8.7. Для об"єкта керування ТП-Д, матриці A і B якого визначено в прикладі 8.5:

$$A = \begin{bmatrix} 0 & \frac{R_z K_d}{T_m} \\ -\frac{1}{R_z K_d T_e} & -\frac{1}{T_e} \end{bmatrix}; \quad B = \begin{bmatrix} 0 \\ \frac{K_{D,D}}{R_z T_e} \end{bmatrix},$$

потрібно спроектувати асимптотичний спостерігач другого порядку.

Розв'язання. I. Обчислюмо матрицю спостережності Q_c , взявши до уваги, що $C = [1 \ 0]$:

$$Q_c = [C^T A^T C^T] = \begin{bmatrix} 1 & 0 \\ 0 & \frac{R_z K_d}{T_m} \end{bmatrix}.$$

Оскільки ранг Q_c дорівнює 2, то даний об"єкт повністю спостережний.

2. Характеристичний поліном матриці A обчислено в прикладі 8.5:

$$\varphi_A(\lambda) = \lambda^2 + a_1 \lambda + a_0,$$

$$\text{де } a_1 = \frac{1}{T_e}, \quad a_0 = \frac{1}{T_e T_m}.$$

3. За /8.54/ записуємо пару матриць об"єкта A, C у спряженій канонічній формі фазової змінної:

$$A_x = \begin{bmatrix} 0 & -a_0 \\ 1 & -a_1 \end{bmatrix} = \begin{bmatrix} 0 & -\frac{1}{T_e T_m} \\ 1 & -\frac{1}{T_e} \end{bmatrix}; \quad C_x = [0 \ 1].$$

4. Як бажаний характеристичний поліном спостерігача виберемо поліном Баттервортса другого порядку, тобто $\varphi_c = \lambda^2 + 1,4\omega_0 \lambda + \omega_0^2 = \lambda^2 + \beta, \lambda + \beta_0$, де $\beta_1 = 1,4\omega_0$; $\beta_0 = \omega_0^2$.

5. Знайдемо коефіцієнти матриці K_x :

$$K_x = \begin{bmatrix} K_{x0} \\ K_{x1} \end{bmatrix} = \begin{bmatrix} \beta_0 - \alpha_0 \\ \beta_1 - \alpha_1 \end{bmatrix} = \begin{bmatrix} \omega_0^2 - 1/T_e T_M \\ 1,4\omega_0 - 1/T_e \end{bmatrix}.$$

6. Обчислюємо матрицю P_c перетворення рівнянь стану об'єкта до рівнянь, записаних у спряженій канонічній формі фазової змінної:

$$P_c = \begin{bmatrix} \alpha_{n-1} & 1 \\ 1 & 0 \end{bmatrix} \begin{bmatrix} 1 & 0 \\ 0 & \frac{R_z K_d}{T_M} \end{bmatrix} = \begin{bmatrix} 1/T_e & \frac{R_z K_d}{T_M} \\ 1 & 0 \end{bmatrix}.$$

Неважко перевірити, чи правильно [за структурою матриць /8.54/] записано матриці A_x і C_x , обчисливши їх за /8.57/, /8.59/, коли врахувати, що

$$P_c^{-1} = \begin{bmatrix} 0 & 1 \\ \frac{T_M}{R_z K_d} & -\frac{1}{T_e} \end{bmatrix},$$

Обчислюємо матрицю зворотного зв'язку спостерігача в початковому базисі:

$$K = P_c^{-1} K_x = P_c^{-1} = \begin{bmatrix} K_{x0} \\ K_{x1} \end{bmatrix} = P_c^{-1} \begin{bmatrix} \beta_0 - \alpha_0 \\ \beta_1 - \alpha_1 \end{bmatrix} = \begin{bmatrix} K_0 \\ K_1 \end{bmatrix},$$

де

$$K_0 = \beta_0 - 1/T_e;$$

$$K_1 = \frac{T_M}{R_z K_d} \left[(\beta_0 - 1/T_e T_M) - \frac{1}{T_e} \left(\beta_1 - \frac{1}{T_e} \right) \right].$$

Коли, наприклад, припустити, що числові значення параметрів об'єкта й спостерігача: $\omega_0 = 40$ рад/с /замість 35,5 рад/с у випадку проектування регулятора стану/, $T_M = 1$ рад/(с.В), $K_{T,n} = 10$, $R_z = 1 \Omega$, $T_e = 0,1$ с, $T_d = 0,5$ с, то тоді рівняння стану спостерігача /8.46/ з урахуванням одержаних попереду значень коефіцієнтів K_0 , K_1 матриці зворотного зв'язку спостерігача K :

$$\begin{bmatrix} \dot{x}_1(t) \\ \dot{x}_2(t) \end{bmatrix} = \begin{bmatrix} -K_0 & \frac{R_z K_d}{T_M} \\ -(K_1 + \frac{1}{R_z K_d T_e}) - \frac{1}{T_e} & \end{bmatrix} \begin{bmatrix} x_1(t) \\ x_2(t) \end{bmatrix} + \begin{bmatrix} K_0 \\ K_1 \end{bmatrix} y(t) + \begin{bmatrix} 0 \\ \frac{K_{T,n}}{R_z T_e} \end{bmatrix} u(t).$$

На рис. 8.7 зображене структурну схему побудови /технічної реалізації/ асимптотичного спостерігача другого порядку для об'єкта ТП-Д.

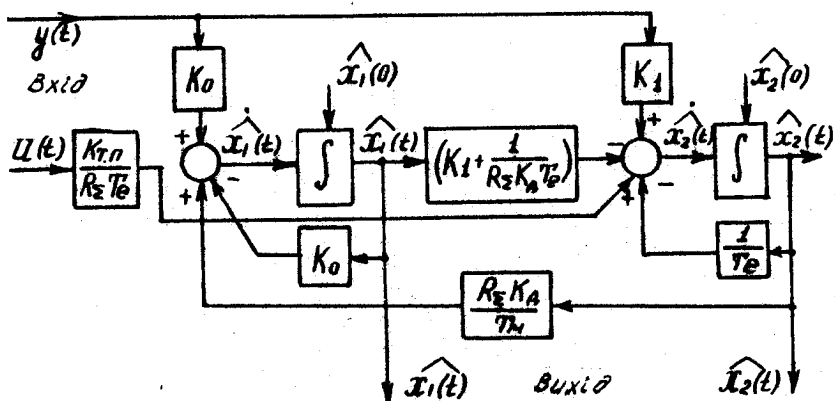


Рис. 8.7. Структурна схема побудови асимптотичного спостерігача другого порядку для оцінювання параметрів об'єкта ТП-Д

Головна мета розглянутого тут прикладу – проілюструвати методику синтезу спостерігача стану \mathcal{A} -го порядку. Тому числові значення параметрів об'єкта ТП-Д вибрано з огляду на простість розрахунків. Окрім того, треба мати на увазі, що спостерігач стану повного порядку особливо ефективний, коли кількість оцінюваних параметрів більша, ніж два, наприклад, коли в об'єкті ТП-Д ураховано пружні цеформації механічної передачі.

8.5.5. Синтез аналогових і цифрових асимптотичних спостерігачів зниженого порядку

У попередньому пункті викладено методику синтезу спостерігача стану, порядок якого дорівнював порядкові системи /об'єкта/. З рівнянь стану /8.43/, /8.44/, в яких матриці A і C відповідно до /8.54/ зписано в спрямленій канонічній формі фазової змінної A_x , C_x , випли-

вас, що вихідний сигнал $y(t)$ має одину ненульову компоненту, яка дорівнює $x_n(t)$. У зв'язку з цим постає питання, чи не можна побудувати спостерігач, який оцінював би лише змінні стану $x_{n-1}(t)$, $x_{n-2}(t)$, ..., $x_1(t)$, взявши за оцінку змінної стану $x_n(t)$ результат вимірювання безпосередньо на виході об'єкта, тобто припустивши, що $\hat{x}_n(t) = y(t) = x_n(t)$. Виявляється, що такий $(n-1)$ -вимірний спостерігач стану можна побудувати, до того ж власні значення цього спостерігача, як і раніше, можна вибирати довільно.

Принцип побудови модального регулятора із спостерігачем $(n-1)$ -го порядку для об'єкта з одним входом $U(t)$ і одним виходом $y(t)$ проілюструвано на рис. 8.8. Компоненти n -вимірного вектора стану $\hat{x}(t)$, утворено з $n-1$ відновлених змінних стану у вигляді вектора $x_0(t)$ і вимірюваного вихідного сигналу об'єкта $y(t)$.

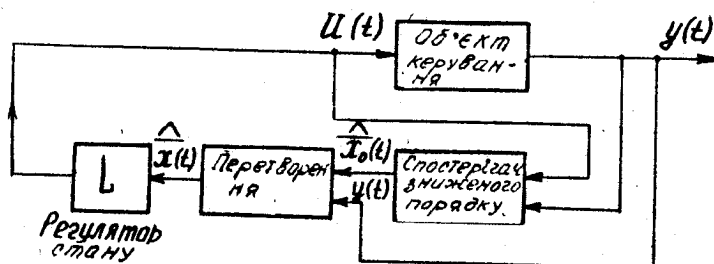


Рис. 8.8. Схема побудови асимптотичного спостерігача стану $n-1$ -го порядку

Викладена далі методика проектування $(n-1)$ -вимірного спостерігача ґрунтується на використанні принципу перетворення рівнянь стану до канонічної форми фазової змінної. Розглянемо повністю керовану і спостережну систему n -го порядку з одним входом і одним виходом:

$$\dot{x}(t) = A \bar{x}(t) + B U(t); \quad /8.62/$$

$$y(t) = C \bar{x}(t). \quad /8.63/$$

Характеристичне рівняння матриці A , як і раніше, має вигляд

$$\varphi_q(\lambda) = \lambda^n + a_{n-1} \lambda^{n-1} + \dots + a_1 \lambda + a_0 = 0. \quad /8.64/$$

Щоб можна було вихідний сигнал об'єкта $y(t)$ використати як оцінку $\hat{x}_n(t)$ змінної стану $x_n(t)$, перетворимо рівняння стану /8.62/ до спряженої канонічної форми за допомогою неособливої матриці P_c , яку визначає /8.56/:

$$\frac{\dot{x}}{x_n(t)} = A_n \frac{\dot{x}}{x(t)} + \delta_n U(t), \quad /8.65/$$

де матриці $A_n = P_c A P_c^{-1}$ і $\delta_n = P_c \delta$ визначають вирази відповідно /8.54/ і /8.58/.

Спостерігач повного порядку для системи, зображеної в спряженій канонічній формі фазової змінної /8.65/, як було доведено попереду [див. /8.61/], описує рівняння стану

$$\frac{\dot{x}}{x_n(t)} = [A_n - K C_n] \frac{\dot{x}}{x(t)} + k_y(t) + \delta_n U(t), \quad /8.66/$$

де $K = (n \times 1)$ -вимірна матриця зворотного зв'язку спостерігача, і рівняння виходу

$$y(t) = C_n \frac{\dot{x}}{x(t)}, \quad /8.67/$$

де $C_n = C P_c^{-1} = [0 \ 0 \ \dots \ 1] \ (1 \times n)$.

Оскільки $y(t) = x_n(t)$, що випливає з /8.67/, то відновлювати $x_n(t)$ не потрібно. Щоб побудувати спостерігач $(n-1)$ -го порядку, який відновлював би решту $n-1$ змінних стану $x_{n-1}(t), \dots, x_1(t)$, і мав змогу довільно задавати власні значення цього спостерігача, котрі характеризує нормований характеристичний многочлен

$$\psi_{n-1}(\lambda) = \lambda^{n-1} + \beta_{n-2} \lambda^{n-2} + \dots + \beta_1 \lambda + \beta_0, \quad /8.68/$$

перетворимо матриці A_n , δ_n за допомогою неособливої матриці

$$Q = \left[\begin{array}{cccc|c} 1 & 0 & \dots & 0 & -\beta_0 \\ 0 & 1 & \dots & 0 & -\beta_1 \\ \dots & \dots & \dots & \dots & \dots \\ 0 & 0 & \dots & 1 & -\beta_{n-2} \\ \hline 0 & 0 & \dots & 0 & 1 \end{array} \right] \quad (n \times n) \quad /8.69/$$

до виду $A_1 = Q A_n Q^{-1}$ і $\delta_1 = Q \delta_n$.

Ураховуючи, що

$$Q^{-1} = \begin{bmatrix} 1 & 0 & \dots & 0 & \beta_0 \\ 0 & 1 & \dots & 0 & \beta_1 \\ \dots & \dots & \dots & \dots & \dots \\ 0 & 0 & \dots & 1 & \beta_{n-2} \\ 0 & 0 & \dots & 0 & 1 \end{bmatrix}, \quad /8.70/$$

$$\text{дістаемо } A_1 = QA_x Q^{-1} =$$

$$= \begin{bmatrix} 0 & 0 & \dots & 0 & -\beta_0 & -\beta_{n-2}\beta_0 - a_0 + a_{n-1}\beta_0 \\ 1 & 0 & \dots & 0 & -\beta_1 & \beta_0 - \beta_{n-2}\beta_1 - a_1 + a_{n-1}\beta_1 \\ 0 & 1 & \dots & 0 & -\beta_2 & \beta_1 - \beta_{n-2}\beta_2 - a_2 + a_{n-1}\beta_2 \\ \dots & \dots & \dots & \dots & \dots & \dots \\ 0 & 0 & \dots & 1 & -\beta_{n-2} & \beta_{n-2}^2 - a_{n-2} + a_{n-1}\beta_{n-2} \\ 0 & 0 & \dots & 0 & 1 & -a_{n-1} + \beta_{n-2} \end{bmatrix}, \quad /8.71/$$

$$\delta_1 = Q\delta_x = QP_c\delta, \quad /8.72/$$

Матриці A_1 і δ_1 мають вимірність відповідно $n \times n$ і $n \times 1$. Зроблені перетворення дають змогу записати рівняння спостерігання ($n-1$)-го порядку в такому вигляді:

$$\dot{\hat{x}}_0(t) = A_0 \hat{x}_0(t) + E_0 y(t) + \delta_0 U(t), \quad /8.73/$$

де

$$A_0 = \begin{bmatrix} 0 & 0 & \dots & 0 & -\beta_0 \\ 1 & 0 & \dots & 0 & -\beta_1 \\ 0 & 1 & \dots & 0 & -\beta_2 \\ \dots & \dots & \dots & \dots & \dots \\ 0 & 0 & \dots & 1 & -\beta_{n-2} \end{bmatrix}, \quad /8.74/$$

$$E_0 = \begin{bmatrix} -\beta_{n-2}\beta_0 - a_0 + a_{n-1}\beta_0 \\ \beta_0 - \beta_{n-2}\beta_1 - a_1 + a_{n-1}\beta_1 \\ \dots & \dots & \dots \\ -\beta_{n-2}^2 - a_{n-2} + a_{n-1}\beta_{n-1} \end{bmatrix} \quad (n-1) \times 1, \quad /8.75/$$

$$\boldsymbol{\delta}_o = [\delta_{10} \ \delta_{20} \ \delta_{30} \dots \ \delta_{(n-1)0}]^T \quad (n-1) \times 1. \quad /8.76/$$

Матриця A_o вимірністю $(n-1) \times (n-1)$ являє собою матрицю, розташовану в горішньому лівому кутку матриці A_1 , а E_o - останній стовпець матриці A_1 без нижньої компоненти. Матрицю $\boldsymbol{\delta}_o$ одержано відкиданням нижньої компоненти вектора β_1 .

Можна строго довести, що власні значення $(n-1)$ -вимірного спостерігача /8.73/ збігаються з власними значеннями матриці A_o , які визначає вираз $[I\lambda - A_o]$. Оскільки матрицю A_o зображену в спряженій канонічній формі фазової змінної, то її останній стовпець складається з коефіцієнтів заданого характеристичного полінома $\varphi_{n-1}(z)$, тобто

$$[I\lambda - A_o] = \lambda^{n-1} + \beta_{n-1} \lambda^{n-2} + \dots + \beta_1 \lambda + \beta_0. \quad /8.77/$$

Вираз /8.77/ свідчить про те, що власні значення спостерігача $(n-1)$ -го порядку /8.73/ можна задавати бажаним чином, і зокрема так, щоб мінімізувати похибку оцінки параметрів об'єкта керування.

Визначивши відновленій вектор стану зниженого порядку $\hat{x}_o(t)$, треба перетворити вектор $[x_o(t) \ y(t)]^T$ вимірністю $n \times 1$ до вектора $\hat{x}(t)$, який є оцінкою вектора змінних стану $x(t)$ початкових рівнянь стану об'єкта /8.62/. Спочатку потрібно перетворити вектор $[x_o(t) \ y(t)]^T$ до вектора $\hat{x}_*(t)$, а потім - вектор $\hat{x}_*(t)$ до вектора $\hat{x}(t)$. Одержано

$$\hat{x}(t) = [Q P_o]^{-1} [\hat{x}_o(t) \ y(t)]^T. \quad /8.78/$$

На рис. 8.8 перетворення /8.78/ зображене у вигляді реально неіснуючого блока "перетворювач".

Структурну схему асимптотичного спостерігача стану $(n-1)$ -го порядку, побудовану за /8.73/, /8.77/, зображену на рис. 8.9.

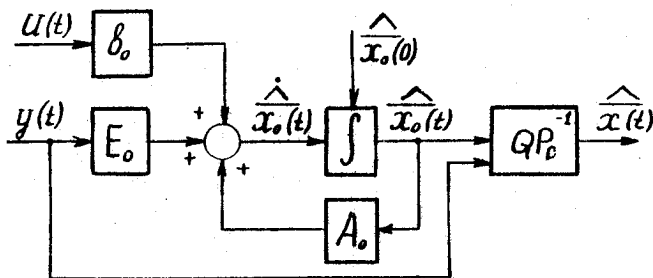


Рис. 8.9. Структурна схема асимптотичного спостерігача стану $(n-1)$ -го порядку стану

Алгоритм побудови асимптотичного спостерігача стану $(n-1)$ -го порядку

Початкові частини цього алгоритму й алгоритму побудови асимптотичного спостерігача n -го порядку збігаються. А подальший порядок синтезу такий:

- 1/ задають бажаний характеристичний поліном спостерігача $\varphi_{n-1}(\lambda)$ згідно з /8.76/;
- 2/ за /8.74/, /8.75/, /8.72/, /8.76/ визначають матриці A_o, E_o, B_o, β_o і відповідно до /8.73/ записують рівняння стану спостерігача стану $(n-1)$ -го порядку;
- 3/ обчислюють матрицю Q за /8.69/ і згідно з /8.78/ перетворюють вектор $[x_o(t) \; y(t)]^T$ до вектора $x(t)$;
- 4/ будуєть структурну схему спостерігача.

Приклад 8.8. Треба спроектувати асимптотичний спостерігач $(n-1)$ -го порядку для об'єкта ПЛ-Д. Рівняння стану цього об'єкта одержано в прикладі 8.5, а синтез спостерігача n -го порядку наведено в прикладі 8.7.

Розв'язання. Задамо бажаний характеристичний поліном спостерігача у вигляді полінома Баттервортса першого порядку:

$$\varphi_{(n-1)}(\lambda) = \lambda + \omega_0 = \lambda + \beta_0, \quad \beta_0 = \omega_0.$$

Визначаємо матриці A_0 , E_0 , Q , B_1 , B_0 за формулами /8.74/, /8.69/, /8.75/, /8.72/, /8.76/:

$$A_0 = -\beta_0 \quad ;$$

$$E_0 = -\beta_0^2 - \alpha_0 + \alpha_1 \beta_0 = -\beta_0^2 + \frac{1}{T_e} \beta_0 - \frac{1}{T_e T_M} + \frac{1}{T_e};$$

$$Q = \begin{bmatrix} 1 & -\beta_0 \\ 0 & 1 \end{bmatrix};$$

$$B_1 = Q P_C B = \begin{bmatrix} 1 & -\beta_0 \\ 0 & 1 \end{bmatrix} \begin{bmatrix} \frac{1}{T_e} & -\frac{R_e K_A}{T_M} \\ 1 & 0 \end{bmatrix} \begin{bmatrix} 0 \\ \frac{1}{R_e T_0} \end{bmatrix} = \begin{bmatrix} \frac{K_A}{T_e T_M} \\ 0 \end{bmatrix};$$

$$\beta_0 = \beta_{10} = \frac{K_A}{T_e T_M}.$$

Тоді рівняння стану спостерігача першого порядку

$$\frac{d\hat{x}_0(t)}{dt} = -\beta_0 \hat{x}_0(t) + \left[\frac{1}{T_e} \beta_0 - \beta_0^2 - \frac{1}{T_e T_M} + \frac{1}{T_e} \right] y(t) + \frac{K_A}{T_e T_M} u(t). \quad /8.79/$$

Визначаємо вектор $\hat{x}(t)$, який є оцінкою змінних стану $x_0(t)$ і $x_1(t) = y(t)$, за формуловою /8.78/:

$$\hat{x}(t) = [Q P_C]^{-1} \begin{bmatrix} \hat{x}_0(t) \\ y(t) \end{bmatrix}$$

або

$$\hat{x}_1(t) = y(t); \quad \left. \right\} \quad /8.80/$$

$$\hat{x}_2(t) = h_1 \hat{x}_0(t) + h_2 y(t), \quad \left. \right\}$$

$$h_1 = \frac{T_M}{R_e K_A};$$

$$h_2 = \frac{T_M}{T_e R_e K_A} (T_e \beta_0 - 1).$$

З рівнянь (8.80) випливає, що в розглядуваній системі $\dot{x}_1(t)$ збігається з $y(t) = \omega(t)$, а єдиною змінною стану, яку відновлює спостерігач першого порядку, є $\hat{x}_2(t)$. Змінна стану $\hat{x}_2(t)$ - це оцінка змінної стану $x_2(t) = I_g(t)$ об'єкта керування ПД.

На рис. 8.10 зображено структурну схему спостерігача стану першого порядку для попередніх /див. приклад 8.7/ числових значень параметрів об'єкта ТП-Д.

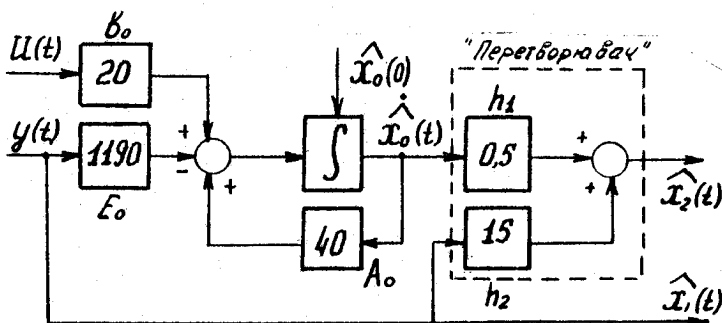


Рис. 8.10. Структурна схема спостерігача стану першого порядку

Розділ 9. ОПТИМАЛЬНЕ КЕРУВАННЯ ЕЛЕКТРОПРИВОДАМИ

9.1. Оптимізація в частотній зоні

Розглянуті в розд. В методи модального керування дають змогу реалізувати будь-яке розташування власних значень λ , замкненої системи введенням твердих зворотних зв'язків за змінними стану. Однак питання вибору такого розташування її досі не вирішено. Коректно вирішити це питання допомагають методи оптимізації, які ґрунтуються найчастіше на квадратичному критерії якості. Їх можна поділити на дві групи. Перша група методів, в яких використано ідеї теорії оптимальної фільтрації Колмогорова - Бінера, пов'язана з розв'язанням рівнянь Бінера - Хопфа в частотній зоні. Друга група методів, що використовує математичний апарат диференціальних рівнянь Ріккаті, розв'язує поставлену задачу в просторі станів у часової зоні.

Рівняння Вінера - Хопфа в частотній зоні було розв'язано раніше, ніж у часовій, у зв'язку з операціями сепарації й факторизації відповідних матриць спектральних щільностей, коли треба було розв'язувати систему алгебричних рівнянь. Методи розв'язання рівнянь Вінера - Хопфа в часовій зоні дають змогу розв'язувати задачі оптимізації як для стаціонарних, так і для нестаціонарних систем керування й пов'язані з розв'язанням системи нелінійних диференціальних рівнянь Ріккаті або системи лінійних диференціальних рівнянь подвосного розміру. Знаходження усталеного розв'язку рівняння Ріккаті для стаціонарних систем полягає в розв'язанні нелінійної системи алгебричних рівнянь Лур'є. Таким чином, розв'язання задачі оптимізації, причайні для стаціонарних систем керування, і в частотній, і в часовій зоні - це схожі алгебричні проблеми, хоча їх розв'язують їх різними математичними методами.

Спочатку розглянемо синтез оптимальної системи керування електроприводами в частотній зоні. Система керування складається з цякої незмінної частини /об'єкта керування/ $\gamma_0(\omega)$ і власне регулятора $\gamma(\omega)$, структуру й параметри якого до певної міри можна вибрати довільно /рис. 9.1/.

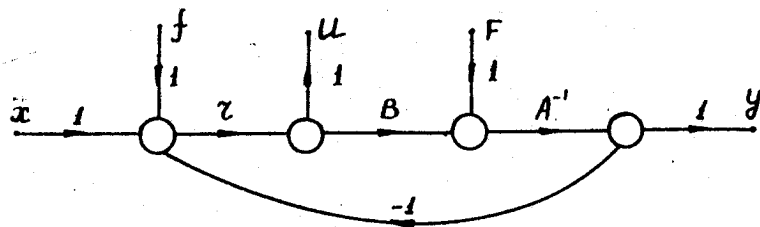


Рис. 9.1. Граф синтезованої системи

Потрібно визначити оптимальний оператор $\gamma(\omega)$, який перетворює сигнал похибки i -го каналу $\varepsilon(t) = x(t) - y(t)$, вимірюваній з випадковою завадою $f(t)$, в керувальну дію

$$u(t) = \gamma(\omega)(\varepsilon(t) + f(t)) \quad (9.1)$$

таким чином, щоб критерій якості $J_i = M^2 \{R^2 \varepsilon^2 + u^2\}$ набував мінімального значення.

Зобразимо оператор об'єкта $\Sigma_o(\omega)$ у вигляді відношення поліномів $B_i(\omega)$ і $A_i(\omega)$:

$$\Sigma_o(\omega) = -B(\omega)/A(\omega). \quad 19.2/$$

Тоді дістанемо

$$A(\omega)C(t) = \varphi(t) + B(\omega)U(t),$$

де $\varphi(t) = A(\omega)X(t)$.

Спектральні щільності потужності корисного сигналу $S_x(\omega)$ і завади вимірювання $S_f(\omega)$ відомі. Отже, можна визначити спектральну щільність потужності $S_\varphi(\omega)$ еквівалентного сигналу $\varphi(t)$ у вигляді відношення поліномів:

$$S_\varphi(\omega) = \frac{a_{4p}\omega^{4p} + a_{4p-1}\omega^{4p-2} + \dots + a_{40}}{b_{4q}\omega^{4q} + b_{4q-1}\omega^{4q-2} + \dots + b_{40}}. \quad 19.3/$$

Роблять також припущення, що спектральну щільність S_f завади вимірювання $f(t)$ можна зобразити у вигляді відношення поліномів:

$$S_f(\omega) = \frac{a_{f2}\omega^{2z} + a_{f2-1}\omega^{2z-2} + \dots + a_{f0}}{b_{fs}\omega^{2s} + b_{fs-1}\omega^{2s-2} + \dots + b_{f0}}. \quad 19.4/$$

Тоді оптимальний оператор

$$\Sigma(\omega) = \frac{A(\omega)\Phi(\omega) - \alpha(\omega)}{B(\omega)\Phi(\omega) - \beta(\omega)}, \quad 19.5/$$

де допоміжна функція

$$\Phi(\omega) = -\frac{A(\omega)}{G(\omega)\omega(\omega)}(K_o(\omega) + L_o(\omega) + K(\omega) + L^+(\omega)), \quad 19.6/$$

$K_o(\omega)$ і $L_o(\omega)$ - цілі поліноми; $K^+(\omega)$ і $L^+(\omega)$ - правильні дроби з полюсами в лівій півплощині, а $K^-(\omega)$ і $L^-(\omega)$ - правильні дроби з полюсами в правій півплощині, одержані внаслідок сепарації виразу

$$\frac{R^2\delta(-\omega)A(\omega) - G(\omega)G(-\omega)\alpha(\omega)}{\delta(-\omega)G(\omega)A(\omega)}\omega(\omega) = K_o(\omega) + K^+(\omega) + K^-(\omega); \quad 19.7/$$

$$L_o(\omega) + L^+(\omega) + K(\omega) = -\frac{R^2S_f(\omega)A(-\omega)B(-\omega)}{\delta(-\omega)\omega(-\omega)}; \quad 19.8/$$

поліноми $E(\omega)$, $E(-\omega)$ і $A(\omega)$, $A(-\omega)$ одержано внаслідок факторизації функцій

$$A(\omega)A(-\omega) + R^2 B(\omega)B(-\omega) = E(\omega)E(-\omega); \quad 19.9/$$

$$S_\phi(\omega) + A(\omega)A(-\omega)S_f(\omega) = \phi(\omega)\phi(-\omega), \quad 19.10/$$

а в поліномі $Q(\omega) = A(\omega)\beta(\omega) + B(\omega)\alpha(\omega)$ поліноми $\alpha(\omega)$ і $\beta(\omega)$ дібрано так, щоб поліном $Q(\omega)$ був гурвіцевим.

Приклад 9.1. Розглянемо синтез оптимального оператора для електромеханічної слідкувальної системи вимірювання координат рухомих об'єктів з виконавчим двигуном постійного струму. Припускаємо, що контур струму наладжено за принципом підпорядкованого регулювання на модульний оптимум з компенсацією електромагнітної сталої часу якірного кола. В цьому випадку кут повороту $\theta(t)$ робочого механізму пов'язує із струмом якірного кола $I(t)$ привода/ без урахування малої не-компенсованої сталої часу $T_{\mu c}$ замкненого контуру струму/ таке рівняння:

$$\frac{d^2\theta(t)}{dt^2} = K I(t).$$

Будемо як керувальну цію привода струм якірного кола. Тоді операторні поліноми об'єкта керування

$$B(\omega) = 1, \quad A(\omega) = \omega^2,$$

в яких коефіцієнт пропорційності K не враховано.

Оператори формованих фільтрів випадкових вхідних сигналів для задач додавання мають такий вигляд:

$$V_x(\omega) = \frac{V_x}{\omega(T_\omega + 1)}, \quad V_{f_x}(\omega) = V_{f_x}.$$

Щоб спростити подальші розрахунки, запровадимо досить малі числа E_1 , E_2 , E_3 і зобразимо поліном $A(\omega)$ та формувальний фільтр $V_x(\omega)$ у вигляді

$$A(\omega) = (E_1 + \omega)(E_2 + \omega),$$

$$V_x(\omega) = \frac{V_x}{(E_3 + \omega)(T_\omega + 1)}.$$

Тоді спектральна щільність потужності еквівалентна сигналу першого каналу

$$S_{\psi_1}(s) = \frac{V_x^2(E_1^2 - s^2)(E_2^2 - s^2)}{(E_3^2 - s^2)(1 - T^2 s^2)}.$$

Бважатимемо, що $\alpha(\omega) = 0$ і $\beta(\omega) = 1$, а отже,

$$\Omega(\omega) = A(\omega) = (E_1 + \omega)(E_2 + \omega).$$

Факторизуємо функцію

$$\Omega(\omega) \Omega(-\omega) = \frac{V_x^2(E_1^2 - \omega^2)(E_2^2 - \omega^2)}{(E_3^2 - \omega^2)(1 - T^2 \omega^2)} + (E_1^2 - \omega^2)(E_2^2 - \omega^2)V_f^2.$$

Одержано

$$\omega(\omega) = (E_1 + \omega)(E_2 + \omega) \frac{(A\omega^2 + B\omega + C)}{(E_3 + \omega)(1 + T\omega)},$$

де

$$A = V_f T, \quad B = \sqrt{(1 + E_3^2 T^2)V_f^2 + 2AS},$$

$$C = \sqrt{V_f^2 E_3^2 + V_x^2}.$$

Факторизуваючи функцію $G(\omega)G(-\omega) = (E_1^2 - \omega^2)(E_2^2 - \omega^2) + M_1^2$, дістанемо $G(\omega) = \omega^2 + N\omega + K$, де

$$N = \sqrt{E_1^2 + E_2^2 + 2K}, \quad K = \sqrt{E_1^2 E_2^2 + M_1^2}.$$

Виконаємо першу операцію:

$$K_0(\omega) + K + (\omega) + K - (\omega) = \frac{M_1^2(E_1 + \omega)(E_2 + \omega)}{(S^2 - N\omega + K)(E_1 + \omega)(E_2 + \omega)} \rightarrow$$

$$\rightarrow \frac{(E_1 + \omega)(E_2 + \omega)(A\omega^2 + B\omega + C)}{(E_1 + \omega)(E_2 + \omega)(E_3 + \omega)(1 + T\omega)} = \frac{V_f \omega + N_0}{\omega^2 + N\omega + K} + \frac{T_0 \omega + T_0}{(E_3 + \omega)(1 + T\omega)}.$$

Коефіцієнти V_f , N_0 , T_0 і M_1 знайдемо, розв'язавши систему рівнянь, записану в матрицевій формі:

$$\begin{vmatrix} V_f & U_2 & 0 & 1 & 0 \\ V_0 & U_1 & U_2 & -N & 1 \\ T_0 & U_0 & U_1 & K & -N \\ 0 & 0 & U_0 & 0 & K \end{vmatrix} \cdot \begin{vmatrix} 0 \\ M_1^2 A \\ M_1^2 B \\ M_1^2 C \end{vmatrix},$$

де $U_0 = E_3$, $U_1 = (1 + TE_3)$, $U_2 = T$.

Тоді

$$K_{r0} = 0, \quad K_{rs} = \frac{J_1 \omega + J_0}{(E_3 + \omega)(1 + T_0 \omega)},$$

$$K_{rs} = \frac{J_1 \omega + V_0}{\omega^2 - N\omega + K}.$$

Виконавши другу операцію:

$$L_{10} + L_{1s} + L_{rs} = \frac{M^2 V_{f1}^2 (E_1 - \omega)(E_2 - \omega)(E_3 - \omega)(1 + T_0 \omega)}{(\omega^2 - N\omega + K)(E_1 + \omega)(E_2 + \omega)(A\omega^2 - B\omega + C)},$$

звідки одержимо

$$L_{10} = 0, \quad L_{1s}, \quad L_s = \frac{M^2 V_{f1}^2 (E_3 - \omega)(1 + T_0 \omega)}{(\omega^2 - N\omega + K)(A\omega^2 - B\omega + C)}.$$

Тоді допоміжна функція

$$\Phi_1(\omega) = - \frac{(S + E_1)(S + E_2)(E_3 + S)(1 + TS)(J_1 S + J_0)}{(\omega^2 + N\omega + K)(A\omega^2 + B\omega + C)(E_1 + \omega)(E_2 + \omega)(E_3 + \omega)(1 + T_0 \omega)},$$

а оптимальний оператор першого каналу має такий вигляд:

$$Z(\omega) = - \frac{(\omega + E_1)(\omega + E)(\lambda \omega + J_1)}{(\omega^2 + N\omega + K)(A\omega^2 + B\omega + C) - (J_1 \omega + J_0)}.$$

Розглянемо технічну реалізацію оптимального оператора методами модального керування. У цьому разі звичайно розглядають реалізацію стандартної форми, що не містить нулів, тоді як оптимальний оператор у замкненому вигляді

$$W(\omega) = \frac{B_1 \omega + B_0}{\omega^4 + C_3 \omega^3 + C_2 \omega^2 + C_1 \omega + C_0} \quad 19.II/$$

має нулі.

Реалізуючи оптимальний оператор, модель виконавчого двигуна від входу системи імпульсно-фазового керування тиристорного перетворювача за виходом кута повороту платформи без урахування досить малої сталої часу, яку визначає середньостатистичний час запізнювання тиристорного перетворювача, виберемо у вигляді оператора третього порядку, а власне регулятор - у вигляді інтегрувального підсилювача /рис. 9.2/. Щоб розташувати чотири корені характеристичного рівняння в заданих точках комплексної площини згідно з принципами модального керування, на вхід системи треба подати чотири змінні стану з деякими коефіцієнтами

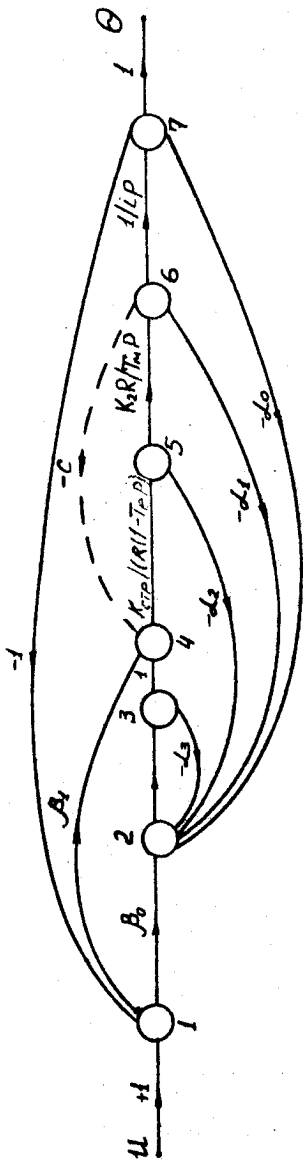


Рис. 9.2. Граф оптимальной системы

підсилення. Технічно в системі найпростіше змінити кут повороту платформи θ , швидкість обертання двигуна ω , струм якірного кола I , а також вихідну напругу операційного підсилювача V , які і вважатимемо змінними стану $x\{\theta, \omega, I, V\}^T$.

У системі потрібно розташувати в заданих точках чотири полюси й один нуль. щоб уникнути диференціювання сигналу похибки системи, украй небажаного, коли є завади вимірювання, використаємо одну із схем моделювання систем, які містять похідні від вхідного сигналу. Подамо сигнал похибки системи на вхід тиристорного перетворювача з деяким коефіцієнтом підсилення β , промінувши інтегрувальний підсилювач регулятора. Тоді на підставі алгоритмічної схеми (див. рис. 9.2) запишемо рівняння системи в змінних стану:

$$\ddot{x} = Ax + Bu, \quad 19.12/$$

$$y = Cx, \quad 19.13/$$

де

$$A = \begin{vmatrix} \frac{K_g R}{T_m} & -\frac{1}{T_e} & \frac{K_T}{T_e R} \\ -\frac{\beta K T}{T_e R} & -\frac{1}{T_e} & \frac{K T}{T_e R} \\ -(\beta_0 + d_0), -d_1, -d_2, -d_3 \end{vmatrix}; \quad B = \begin{vmatrix} \frac{\beta K T}{T_e R} \\ \beta_0 \end{vmatrix}, \quad 19.14/$$

Зрівнявши відповідні коефіцієнти бажаного й реалізовуваного оптимального оператора, дістанемо шукану систему рівнянь, розв'язок якої подано у вигляді рекурентних співвідношень:

$$\begin{cases} \beta_1 = \beta_0 T_m T_e / (K_g K_{opt}) \\ d_3 = (\beta_3 T_e - 1) / T_e \\ d_2 = (\beta_2 R T_e) - d_3 R / K_{opt} \\ d_1 = (\beta_1 T_m T_e - \beta_0 K_g K_{opt}) / (i K_g K_{opt}) \\ \beta_0 = (\beta_0 T_m T_e - \beta_1, d_3 K_g K_{opt}) / (K_g K_{opt}) \\ d_0 = (\beta_0 T_m T_e - \beta_0 K_g K_{opt} - \beta_1, d_3 K_g K_{opt}) / (K_g K_{opt}). \end{cases} \quad 19.15/$$

Треба мати на увазі, що фактично в системі є підсилювач радіотракту, а також що вимірювальні пристрої кута швидкості й струму мають

відповідні коефіцієнти передавання, тому фактично в регуляторі потрібно реалізувати коефіцієнти підсилення

$$\beta_0^* = \beta_0 / K_p, \quad \beta_1^* = \beta_1 / K_p, \quad \alpha_0^* = \alpha_0 / K_0,$$

$$\alpha_1^* = \alpha_1 / K_M, \quad \alpha_2^* = \alpha_2 / K_g.$$

Приклад 9.2. Розрахуємо коефіцієнти підсилення регулятора для таких параметрів:

$$K_{tr} = 10; \quad R = K_g = K_B = 1; \quad T_e = T_M = 0.2; \quad i = 10^3; \quad K_p = 10^4; \quad K = 10^5.$$

Тоді одержимо

$$\beta_0^* = -3.5; \quad \beta_1^* = 0.12; \quad \alpha_0^* = 6.9; \quad \alpha_1^* = 0; \quad \alpha_2^* = 1; \quad \alpha_3 = 9.$$

Розраховані коефіцієнти підсилення можна легко реалізувати за допомогою розв'язувальних кіл операційних підсилювачів уніфікованих блокових систем регульовання, які є в системі комплектних тиристорних перетворювачів.

Треба зауважити, що практично нульове значення коефіцієнта підсилення $\alpha_1 = 0$ було одержано тому, що в системі потрібно реалізувати за керувальною дією встатизм другого порядку, бо в першому $C_0 \approx \delta_0$, $C_1 \approx \delta_1$.

Коли в системі треба враховувати вплив протиЕРС двигуна, подаваний з коефіцієнтом передавання $-C$ для спрощення розрахункових формул на вхід тиристорного перетворювача (зображеного пунктиром на рис. 9.2), то зміняться лише коефіцієнти

$$\alpha_1 = (C_1 T_M T_e i - \beta_1 K_{tr} K_g - C_0 \alpha_3 K_{tr} K_B i) / K_{tr} K_B i; \quad 19.16/$$

$$\alpha_2 = (C_2 T_M T_e R - \alpha_3 T_M R - C K_{tr} K_B R) / K_{tr} T_M.$$

У цьому разі, коли $C = 0.08$, то величини коефіцієнтів підсилення регуляторів $\alpha_1^* = 0.72$ і $\alpha_2^* = 0.6$, тобто для компенсації дії протиЕРС двигуна треба подати на вхід системи напругу, пропорційну швидкості обертання двигуна ω .

9.2. Оптимізація в часовій зоні

Зараз частіше застосовують методи оптимального синтезу систем автоматичного керування в часовій зоні. Розглянемо оптимізацію систем керування електропривоців цими методами.

Припустимо, що об'єкт керування в просторі стану $\vec{x}(t)$ можна описати системою

$$\begin{cases} \dot{x}(t) = A(t)\vec{x}(t) + B_o(t)u_o(t), \\ y_o(t) = C_o(t)\vec{x}_o(t), \end{cases} \quad /9.17/ \quad /9.18/$$

а задавальну дію $\theta(t)$ можна зобразити у вигляді вихідної змінної лінійної системи /формувального фільтра $\Phi\Phi$:

$$\vec{x}_g(t) = A_g(t)\vec{x}_g(t) + \vec{W}_g(t); \quad /9.19/$$

$$\theta(t) = C_g(t)\vec{x}_g(t), \quad /9.20/$$

збуджуваної "білим шумом" $\vec{W}_g(t)$ з матрицею дисперсії $V_g(t)$.

Запровадимо вектор $\vec{X}(t) = \{\vec{x}_o(t), \vec{x}_g(t)\}^T$ розширеного простору стану системи, в якому початкову систему можна описати рівнянням

$$\dot{\vec{X}}(t) = A(t)\vec{X}(t) + \theta(t)U(t) + \vec{W}_r(t), \quad /9.21/$$

де

$$A(t) = \begin{vmatrix} A_o(t) \\ A_g(t) \end{vmatrix}; \quad \theta(t) = \begin{vmatrix} B_o(t) \\ - \dots \end{vmatrix}; \quad \vec{W}_r(t) = \begin{vmatrix} \vec{W}_o(t) \\ \vec{W}_g(t) \end{vmatrix}, \quad /9.22/$$

а матриця дисперсії $V_r(t)$ сигналу $\vec{W}_r(t)$ має правий нижній блок, який дорівнює $V_{gg}(t)$.

Похибку привода $E(t) = Q(t) - y(t)$ можна визначити так:

$$E(t) = C(t)\vec{x}_k(t),$$

де згідно з /9.17/-/9.21/

$$C(t) = \begin{vmatrix} -C_o(t) & C_g(t) \end{vmatrix}.$$

Тоді оптимальний синтез можна звести до мінімізації критерію

$$J = M \left\{ \int_{t_0}^t [\vec{x}^T(t) R_g(t) \vec{x}(t) + R_e(t) u_k^2(t)] dt \right\}, \quad /9.23/$$

де компоненти вектора $\vec{x}(t) = \omega(t)\vec{X}(t)$ є похибка $E(t)$ привода і деякі компоненти $x_j(t)$ вектора стану $\vec{x}_k(t)$, що їх необхідно обме-

жувати під час синтезу; $R_3(t)$ - вагова невід'ємно визначена матриця;

$R_2(t)$ - додатний ваговий множник.

Мінімуму критерієві /9.23/ надає лінійний регулятор

$$U(t) = -F(t)\tilde{X}(t), \quad /9.24/$$

де

$$F(t) = R_2^{-1}(t)B(t)P(t). \quad /9.25/$$

Тут $P(t)$ - розв'язок рівняння Ріккаті

$$-P(t) = D^T(t)R_3(t)D(t) - P(t)\tilde{B}(t)R_2(t)P(t) + \tilde{A}(t)P(t) + P(t)\tilde{A}^T(t) \quad /9.26/$$

з нульовою кінцевою умовою.

Для реалізації оптимального регулятора /9.24/ потрібні змінні стану $\tilde{X}(t)$ розширеної системи, що їх можна відновити за сигналами $\varepsilon^*(t) = \varepsilon(t) + f(t)$ вимірювача похибки $f(t)$, виміряної з адитивною завадою $\varepsilon(t)$ типу "бліого шуму" інтенсивністю $V_e(t)$ за допомогою оптимального спостерігача типу фільтра Калмана - Б'єсі

$$\hat{X}(t) = \tilde{A}(t)\hat{X}(t) + \tilde{B}(t)U(t) + K(t)[\varepsilon^*(t) - \tilde{C}(t)\hat{X}_k(t)], \quad /9.27/$$

де

$$K(t) = Q(t)C(t)V_2^{-1}(t).$$

Матриця дисперсії є розв'язком рівняння Ріккаті

$$Q(t) = V_e(t) - Q(t)\tilde{C}^T(t)V_2^{-1}(t)Q_k(t)\tilde{C}(t) + \\ + A(t)Q(t) + Q(t)A^T(t) \quad /9.28/$$

з нульовою початковою умовою.

Приклад 9.3. Розглянемо оптимальний синтез електромеханічної слідкувальної системи з прикладу 9.1.

У цьому випадку

$$A_0 = \begin{vmatrix} 0 & 1 \\ 0 & 0 \end{vmatrix}, \quad A_3 = \begin{vmatrix} 0 & 1 \\ 0 & -0,1 \end{vmatrix},$$

$$B = \begin{vmatrix} 0 \\ 1 \end{vmatrix}; \quad C_0 = C_3 = \begin{vmatrix} 1 & 0 \end{vmatrix}$$

$$V_e = 5 \cdot 10^{-2}, \quad V_2 = 10^{-6}.$$

Для виконавчого двигуна МИ-42 усталене значення регулятора \tilde{A} і спостерігача \tilde{F}

$$F = \begin{bmatrix} 5,05 & 3,1 & 5,05 & 3,1 \end{bmatrix}; \quad K = \begin{bmatrix} 1 & 6,5 & 21 \end{bmatrix}.$$

Дисперсія похибки одноканальної системи становить $21 \cdot 10^{-6}$ рад². Зауважимо, що дисперсія похибки одноканальної системи має мінімально можливе значення $\tilde{\sigma}_{\epsilon_x}^2 = 6,5 \cdot 10^{-6}$. Дисперсія відновлення змінної стану за допомогою оптимального фільтра Калмана - В'юсі, але це потребує неабиякого збільшення потужності керування U .

На рис. 9.3,а зображене граф алгоритмічної схеми оптимального першого каналу з повним спостерігачем і моделлю збурювальної дії. Оскільки в об'єкті керування змінні стану /кут повороту та швидкість повороту платформи/ можна досить точно вимірюти й використати для формування керувальної ції, то схему можна спростити завдяки використанню тільки спостерігача збурювальної дії /рис. 9.3,б/.

9.3. Оптимізація цифрових систем у частотній зоні

Розглянемо методи синтезу в частотній зоні оптимальних цифрових систем керування, рух яких описують лінійні рівняння із сталими коефіцієнтами. Переїшовши в частотну зону, використовують дискретний аналог перетворення Лапласа і \tilde{Z} -перетворення. Вхідні сигнали - задавальні й збурювальні дії, а також заведи вимірювання - є стаціонарні випадкові дискретні послідовності з нульовими математичними сподіваннями й відомими кореляційними коефіцієнтами.

Розглянемо дискретний аналог неперервної багатоканальної системи /див. рис. 9.1/.

Електропривод складається з деякої незмінної частини об'єкта керування, заданого дискретною передавною функцією $A^{-1}(z) B(z)$, і власне регулятора $Z(z)$, структуру й параметри якого до певної міри можна вибирати довільно. Зарах цифровий регулятор, як звичайно, реалізують на мікропроцесорній елементній базі за допомогою керувальної ЕОМ.

Оптимальний оператор $Z(z)$ треба вибирати так, щоб мінімізувати критерій

$$\mathcal{J} = M \left\{ R \epsilon^2(t) + U^2(t) \right\}. \quad 19.29/$$

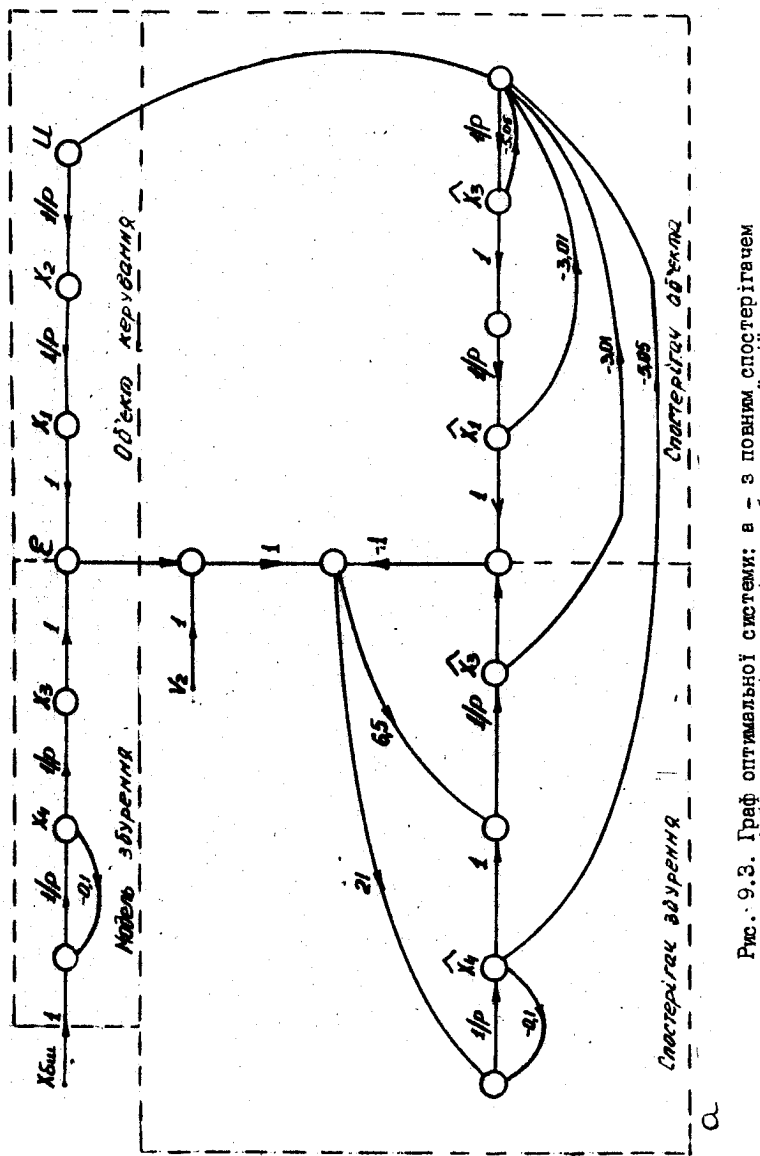
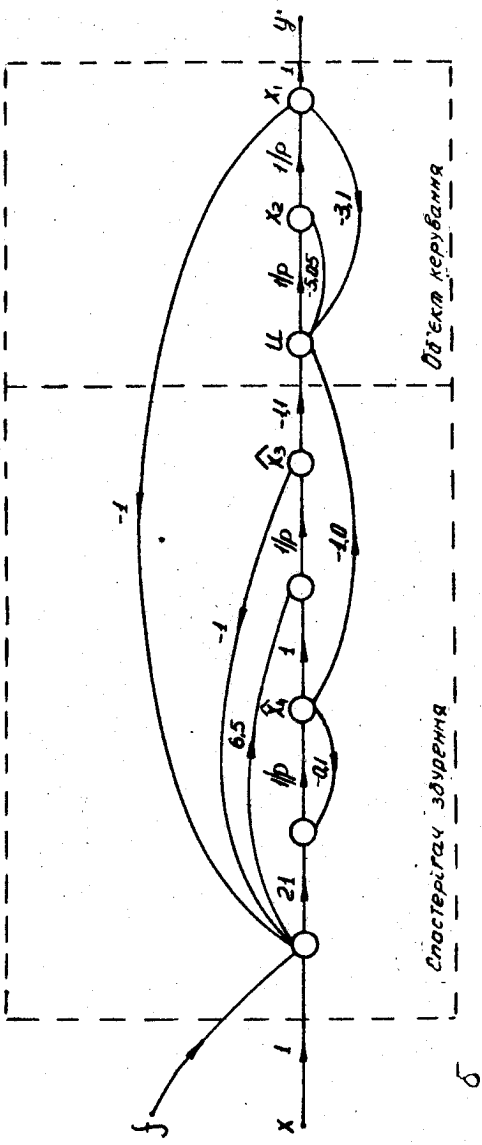


Рис. 9.3. Граф оптимальної системи: в - з повним спостережачем
і 6 - спостережачем тільки збурень



Що задачу можна звести до синтезу оптимального регулятора \hat{x}_k одно-канальної системи стабілізації

$$A(z) \varepsilon(i) = \varphi(i) + \delta(z) u(i), \quad /9.30/$$

$$u(i) = \gamma(z) (\varepsilon(i) + f(i)), \quad /9.31/$$

де еквівалентна збурювальна дія

$$\varphi(i) = A(z) x(i), \quad /9.32/$$

мінімум функціоналу розглянемо на множині лінійних матрицевих функцій $\gamma(z)$ [z - комплексна змінна дискретного перетворення Лапласа], які забезпечують стійкість замкненої системи "об'єкт + регулятор". Для стійкості дискретної системи необхідно й досить, щоб усі нулі відповідного характеристичного рівняння замкненої системи лежали всередині круга $|z|=1$. Згідно з ідеєю Вінера - Колмогорова, яка базується на спеціальному виборі матриці варійованої функції в рівнянні Вінера - Копфа, але не пов"язана із замкненою системою із зворотним зв'язком еквівалентною розімкненою системою, виберемо матрицю варійованих функцій у вигляді

$$\phi(z) = (\alpha(z) + \beta(z) z(z)) (A(z) + \delta(z) z(z))^{-1}, \quad /9.33/$$

де на поліноми $\alpha(z)$ і $\beta(z)$ накладено єдине обмеження забезпечення аналітичності поза одиничним кругом матриці

$$z = \begin{vmatrix} 1 & -\beta \\ \alpha & \beta \end{vmatrix} \quad /9.34/$$

разом з оберненою.

Тоді відповідно до методики розв'язання рівняння Вінера - Хопфа варіація функції ϕ , яка перетворює на нуль першу варіацію функціоналу і аналітична поза одиничним кругом $|z|=1$:

$$\phi = - \frac{Q}{G\bar{\phi}} [x_0 + \alpha_0 + \beta_0 + \alpha_f], \quad /9.35/$$

де нулі полінома мають лежати всередині одиничного круга, що забезпечують, належним чином вибираючи поліноми $\alpha(z)$ та $\beta(z)$.

Функції $\alpha(z)$ і $\beta(z)$, які мають нулі й полюси тільки всередині одиничного круга, визначає факторизація

$$\alpha\bar{\alpha} = S_y + A\bar{A} S_f, \quad /9.36/$$

$$\beta\bar{\beta} = A\bar{A} + M\bar{B}\bar{B}, \quad /9.37/$$

де κ_0 і α_0 - поліноми від \bar{z} , κ і α - правильні дроби, які мають полюси тільки поза одиничним кругом, κ_+ і α_+ - правильні дроби, які мають полюси тільки всередині одиничного круга, що їх визначає розклад /сепарація/

$$\frac{M\bar{\theta}Q - G\bar{\theta}\alpha}{GQA} \bar{\theta} = \kappa_0 + \kappa_+ + \kappa; \quad /9.38/$$

$$-\frac{MS_f \bar{A} \bar{B}}{\bar{\theta} \bar{\theta}} = \alpha_0 + \alpha_+ + \alpha_-. \quad /9.39/$$

Оптимальна передавна функція регулятора Z

$$Z = \frac{A\phi - \alpha}{\beta - \phi B}. \quad /9.40/$$

Вибираючи поліноми $\alpha(\bar{z})$ і $\beta(\bar{z})$, які забезпечують розташування нулів полінома $\det Q = \beta(\bar{z})A(\bar{z}) + \alpha(\bar{z})B(\bar{z})$ усередині одиничного круга, треба прагнути до якомога простішого вигляду полінома $Q(\bar{z})$ оскільки це полегшить обчислення оптимального оператора. Щокрема, коли об'єкт керування стійкий, та це звичайно саме так і є, то поліном $A(\bar{z})$ аналітичний поза одиничним кругом, і, отже, найпростіший вигляд $Q(\bar{z})$ матиме, коли $\alpha = 0$ і $\beta = 1$.

Приклад 9.4. Синтезувати оптимальну дискретну систему, в якій рух об'єкта керування описується рівняння

$$E(i) = \beta E(i-1) + u(i-1) + \psi(i),$$

а критерій якості має вигляд $J = M\{u^2\}$. Тут $\psi(i)$ - стаціонарна випадкова некорельована послідовність з одиничною дисперсією $K_{\psi}(s) = 1$.

Така постановка задачі має сенс, коли в діапазоні частот смуги пропускання електропривода спектральна щільність потужності вхідного сигналу практично не змінюється і, отже, вхідний сигнал можна вважати дискретним "білим шумом". Окрім того, критерій якості містить лише компоненту керування, що можна вправдати в разі синтезу досить вузькосмугового інерційного привода з дуже обмеженими енергетичними можливостями.

Згідно з вибраними позначеннями

$$A(\bar{z}) = 1 - \theta \bar{z}; \quad B(\bar{z}) = \bar{z}.$$

Найпростіший вид полінома $Q(\bar{z})$, коли $\alpha(\bar{z}) = \theta$ і $\beta(\bar{z}) = 1$,

$$\det \bar{z} = A(\bar{z})\beta(\bar{z}) + B(\bar{z})\alpha(\bar{z}) = 1.$$

Виконуючи всі необхідні операції факторизації й сепарації відповідних виразів

$$G(z) = \alpha - \beta, \quad \beta + (z) = \frac{\beta^2 - 1}{1 - \beta z},$$

цистаемо статичний регулятор

$$z(z) = (1 - \beta^2) / \beta,$$

який має найпростішу технічну реалізацію.

9.4. Оптимізація цифрових систем у часовій зоні

Розглянемо оптимізацію цифрової системи керування електроприводом у часовій зоні. Припустимо, що об'єкт керування електропривода в просторі стану $\bar{X}(t)$ можна описати лінійною дискретною системою

$$\bar{X}(i+1) = A(i) \bar{X}(i) + B_o(i) U_o(i), \quad 19.41$$

$$y_o(i) = C_o(i) \bar{X}_o(i), \quad 19.42$$

а задавальну дію $Q(i)$ можна зобразити у вигляді вихідної змінної лінійної дискретної системи формувального фільтра ФФ:

$$\bar{X}_g(i+1) = A_g(i) \bar{X}_g(i) + W_g(i), \quad 19.43$$

$$Q(i) = C_g(i) \bar{X}_g(i), \quad 19.44$$

збуджуваної дискретним "білим шумом" $\bar{W}_g(i)$ з матрицею дисперсії $V_g(i)$.

Запровадимо вектор розширеного простору стану

$$\bar{X}(i) = \left\{ \bar{X}_o^T(i), \quad \bar{X}_g^T(i) \right\}^T,$$

в якому розширену систему описує рівняння

$$\bar{X}(i+1) = A(i) \bar{X}(i) + B(i) U(i) + \bar{W}_r(i), \quad 19.45$$

де

$$A_r(i) = \begin{vmatrix} A_o(i) & \\ - & A_g(i) \end{vmatrix}; \quad B_r(i) = \begin{vmatrix} B_o(i) \\ - \end{vmatrix}; \quad \bar{W}_r(i) = \begin{vmatrix} - \\ \bar{W}_g(i) \end{vmatrix}, \quad 19.46$$

а матриця дисперсії $V_r(i)$ "білого шуму" $\tilde{W}_r(i)$

$$V_r(i) = \left\| - \begin{pmatrix} 1 & 1 \\ 1 & R_3(i) \end{pmatrix} \right\|. \quad /9.47/$$

Похибку системи $E(i) = Q(i) - Y(i)$ можна визначити так:

$$E(i) = C(i) \tilde{X}(i), \quad /9.48/$$

де

$$C(i) = \left\| - C_0(i) \begin{pmatrix} 1 & C_3(i) \end{pmatrix} \right\|. \quad /9.49/$$

Тоді оптимальний синтез можна звести до мінімізації критерію

$$J = M \left\{ \sum_{i=i_0}^{i-1} [\tilde{x}^T(i+1) R_3(i+1) \tilde{x}(i+1) + R_2(i) U^2(i)] \right\}, \quad /9.50/$$

де компонентами вектора $\tilde{x}(i) = \mathcal{D}(i) X(i)$ є похибка $E(i)$ системи і деякі змінні $X(i)$ стану $\tilde{X}_0(i)$, які треба під час синтезу обмежувати; $R_3(i)$ - вагова невід'ємна визначена матриця; $R_2(i)$ - додатний ваговий множник.

Мінімуму критерію /9.50/ надає лінійний регулятор

$$U_k(i) = - F_k(i) X_k(i), \quad /9.51/$$

де

$$F(i) = \left\{ R_2(i) + B^T(i) [R_1(i+1) + P(i+1)] \times \right. \\ \left. \times B(i) \right\} \cdot B^T(i) [R_1(i+1) + P(i+1)] A(i) \quad /9.52/$$

послідовність матриць $Q(i)$ є розв'язком матрицевого рівняння

$$P(i) = A^T(i) [R_1(i+1) + P(i+1)] [A(i) - B(i) F(i)] \quad /9.53/$$

з нульовою кінцевою умовою, а $R_1(i) = \mathcal{D}^T(i) R_3(i) \mathcal{D}(i)$.

Для реалізації оптимального регулятора /9.51/ потрібний вектор стану $\tilde{X}(t)$, який можна відновити за сигналами $E^*(i) = E(i) + f(i)$, вимірювача похибки $E^*(i)$ системи з адитивною завадою $f(i)$ типу чис скретного "білого шуму" інтенсивністю $V_2(i)$ за допомогою оптимального спостерігача типу фільтра Калмана - Бюсі

$$\hat{X}(i+1) = A(i) \hat{X}(i) + B(i) U(i) + K(i) [E^*(i) - \hat{C}(i) \hat{X}(i)], \quad /9.54/$$

де

$$K(i) = [A(i)Q(i)C^T(i) + V_{12}(i)] [V_2(i) + C(i)Q(i)C^T(i)]^{-1}, /9.55/$$

матриця $Q(i)$ є розв'язком дисперсійного рівняння

$$\begin{aligned} Q_k(i+1) &= [\hat{A}_k(i) - K_k(i)\hat{C}_k^T(i)] Q_k(i) \hat{A}_k^T(i) + \\ &+ V_{1kk}(i) - K_k(i)V_{12k}^T(i) \end{aligned} /9.56/$$

за нульової початкової умови $Q_k(i_0)$.

Приклад 9.5. Розглянемо дискретну відміну електромеханічної слідувальної системи /див. приклад 9.1/ з періодом дискретності 20 мс.

Тоді

$$A_0 = \begin{bmatrix} 1 & 0,02 \\ 0 & 1 \end{bmatrix}; \quad A_3 = \begin{bmatrix} 1 & 0,02 \\ 0 & 0,998 \end{bmatrix};$$

$$C_0 = C_3 = \begin{bmatrix} 1 & 0 \end{bmatrix};$$

$$V^2 = 5 \cdot 10^{-2}; \quad V_2 = 10^{-6}.$$

Усталені значення матриць оптимальних регулятора й спостерігача:

$$\begin{aligned} P &= \begin{bmatrix} 4,06 & 0,44 & 4,06 & 0,44 \end{bmatrix}, \\ K^T &= \begin{bmatrix} 0 & 1 & 0 & 1 & 0,89 & 13,7 \end{bmatrix}. \end{aligned}$$

Оптимальна дискретна система має алгоритмічну схему, аналогічну неперервній системі, але роль інтеграторів у ній відіграють ліній затримки не один такт. Дискретну систему реалізують звичайно на цифровій мікропроцесорній елементній базі безпосередньо за алгоритмом керування. Коли ж спрощення технічної реалізації потребує виконання системи на логічних елементах, то схему можна відновити за її аналоговим варіантом.

Зауважимо, що застосування мікропроцесорного керування дає змогу не тільки реалізувати оптимальні регулятори й спостерігачі, а й виконати інші функції, наприклад діагностики роботоздатності устаткування, підготовки системи до роботи, перемикання технологічних режимів системи, зміни коефіцієнтів підсилення та інших параметрів з метою адаптації тощо.

СПИСОК ЛІТЕРАТУРИ

1. Абакумов В.И., Голубь А.П., Дубецкий В.Г., Осмоловский П.Ф. Оптимальные по быстродействию системы автоматического управления электроприводами. - Харьков, 1981. - 102 с.
2. Абакумов В.И., Голубь А.П., Осмоловский П.Ф. Системы подчиненного регулирования электроприводами. - Харьков, 1985. - 101 с.
3. Автоматизированное проектирование систем управления / Под ред. М.Джемшиди, Ч.Дж.Хергета. - М.: Машиностроение, 1989. - 342 с.
4. Андреев Ю.Н. Управление конечномерными линейными объектами. - М.: Наука, 1976. - 423 с.
5. Атанас М., Фалб П. Оптимальное управление. - М.: Машиностроение, 1968. - 763 с.
6. Башарин А.Б., Новиков Б.А., Соколовский Г.Г. Управление электроприводами. - Л.: Энергоиздат, 1982. - 391 с.
7. Бесекерский В.А. Цифровые автоматические системы. - М.: Наука, 1976. - 375 с.
8. Борцов Ю.А., Соколовский Г.Г. Тиристорные системы электропривода с упругими связями. - Л.: Энергия, 1979. - 159 с.
9. Борцов Ю.А., Поляхов Н.Д., Путов В.В. Электромеханические системы с адаптивным и модальным управлением. - Л.: Энергоатомиздат, 1984. - 214 с.
10. Гернов В.К. и др. Унифицированные системы авторегулирования электроприводом в металлургии. - М.: Металлургия, 1977. - 190 с.
11. Голубь А.П., Соляник В.П. Цифровые системы управления электроприводами. - К.: УМК ЕО, 1988. - 116 с.
12. Голубь А.П., Осмоловский П.Ф. Системы подчиненного регулирования электроприводов. - Харьков, 1979.
13. Деруссо Л., Рой Р., Клоуз Ч. Пространство состояний в теории управления. - М.: Наука, 1970.
14. Директор С., Рорер Р. Введение в теорию систем. - М.: Мир, 1974. - 463 с.
15. Донской Н.В. и др. Управляемый выпрямитель в системах автоматического управления. - М.: Энергоатомиздат, 1984. - 351 с.
16. Егоров В.Н., Корженевский-Яковлев О.В. Цифровое моделирование систем электропривода. - М.: Энергоатомиздат, 1986. - 164 с.
17. Зайцев И.Ф. Теория автоматического управления и регулирования. - К.: Выща шк., 1975. - 424 с.
18. Зимин Е.Н., Яковлев В.И. Автоматическое управление электроприводами. - М.: Выш. шк., 1979. - 317 с.

19. Изерман Р. Цифровые системы управления. - М.: Мир, 1984. - 541 с.
20. Квакернак Х., Сиван Р. Линейные оптимальные системы управления. - М.: Мир, 1977. - 650 с.
21. Ключев Б.И. Теория электропривода. - М.: Энергоатомиздат, 1983. - 332 с.
22. Козьмерковский М., Буйцек А. Схемы управления и измерения в промышленной электронике. - М.: Энергоатомиздат, 1983. - 223 с.
23. Комплектные тиристорные электроприводы. Справочник / Под ред. Е.М.Перельмутера. - М.: Энергоатомиздат, 1988. - 318 с.
24. Коцегуб П.Х. Способ компенсации ЭДС двигателя в системе вентильного привода // Известия вузов: Электромеханика. - 1980. - № 1.
25. Кончаргин Б.Б. Следящие системы с двигателями постоянного тока. - Л.: Энергоатомиздат, 1988. - 165 с.
26. Куо Б. Теория и проектирование цифровых систем управления. - М.: Машиностроение, 1986. - 447 с.
27. Кузовков Н.Т. Модальное управление и наблюдющие устройства. - М.: Машиностроение, 1976. - 184 с.
28. Кузовков Г.Т., Карабанов С.Б., Салычев О.С. Непрерывные и дискретные системы управления и методы идентификации. - М.: Машиностроение, 1978. - 219 с.
29. Кунцевич Б.М., Чеховой Ю.А. Нелинейные импульсные системы с частотно- и широтно-импульсной модуляцией. - К.: Техника, 1975.
30. Медич Дж. Статистически оптимальные линейные оценки и управление. - М.: Энергия, 1973. - 440 с.
31. Михайлов О.П. Динамика электромеханического привода металло режущих станков. - М.: Машиностроение, 1989. - 223 с.
32. Перельмутер В.М., Сидоренко В.А. Системы управления тиристорными электроприводами постоянного тока. - М.: Энергоатомиздат, 1988. - 302 с.
33. Попович Н.П., Ковалчук А.В., Красовский Е.П. Автоматизация производственных процессов и установок. - К.: Быща шк., 1986. - 310 с.
34. Решмин Б.И., Ямпольский Д.С. Проектирование и наладка систем подчиненного регулирования электроприводов. - М.: Энергия, 1975. - 185 с.
35. Слежановский О.В., Бирюков А.В., Хуторецкий В.М. Устройства унифицированной блочной системы регулирования дискретного типа /УБСР-Д/. - М.: Энергия, 1975. - 265 с.
36. Справочник по автоматизированному электроприводу / Под ред. В.А.Елисеева и А.В.Шинянского. - М.: Энергоатомиздат, 1983. - 613 с.

37. Стрейц В. Метод пространства состояний в теории дискретных линейных систем управления. - М.: Наука, 1986. - 293 с.
38. Терехов В.М. Элементы автоматизированного электропривода. - М.: Энергоатомиздат, 1987. - 221 с.
39. Файнштейн В.Г., Файнштейн Э.Г. Микропроцессорные системы управления тиристорными электроприводами. - М.: Энергоатомиздат, 1986. - 237 с.
40. Фишбейн В.П. Расчет систем подчиненного регулирования вентильного электропривода постоянного тока. - М.: Энергия, 1972. - 134 с.
41. Ту Ю.Т. Цифровые и импульсные системы управления. - М.: Машиностроение, 1964. - 701 с.
42. Фрер Ф., Ортенбургер Ф. Введение в электронную технику регулирования. - М.: Энергия, 1973. - 187 с.
43. Шенфельд Р., Хобигер Э. Автоматизированные электроприводы. - Л.: Энергоатомиздат, 1985. - 463 с.
44. Богаенко И.Н. Контроль температуры электрических машин. - К.: Техника, 1975. - 175 с.
45. Опрышко И.А., Олефир Ф.Ф. Определение оптимальных передаточных функций систем автоматического регулирования скорости электроприводов чистовых клетей тонколистовых станов горячей прокатки // Известия вузов: Электромеханика. - 1968. - № 12.
46. Satoru Ozaki, Masak Obara, Koichi Ishida. A microprocessor based DC motor drive with a state observer for impact drop suppression /Fujic Electric Co, a/cd. - 1985. - P. 771-775.
47. Клюев В.Е., Пархоменко П.П. и др. Технические средства диагностирования. - М.: Машиностроение, 1989. - 672 с.

ЗМІСТ

Передмова	3
Розділ 1. Основи побудови систем керування електроприводами	4
1.1. Основні поняття й означення	4
1.2. Алгоритм функціонування, класифікація СКЕП за призначенням	6
1.3. Алгоритм керування й принципи побудови СКЕП	7
1.4. Якість процесу керування	20
Розділ 2. Математичний опис систем керування електроприводами	25
2.1. Еступні зауваження	25
2.2. Математичний опис систем керування електроприводами в змінних вхід-вихід	26
2.3. Математичний опис систем керування електроприводами в змінних стану	38
Розділ 3. Математичні моделі об'єктів керування систем керування електроприводами	68
3.1. Математична модель тиристорного перетворювача	68
3.2. Математична модель двигуна постійного струму з незалежним збудженням	71
3.3. Рівняння стану двигуна постійного струму з незалежним збудженням. Матрицева передавна функція	81
3.4. Математична модель двигуна постійного струму з урахуванням пружних деформацій механічної передачі	88
3.5. Математична модель трифазного асинхронного двигуна	97
Розділ 4. Системи регульовання кутової швидкості	102
4.1. Призначення й функціональна схема систем регульовання кутової швидкості	102
4.2. Регулятор швидкості з від'ємним зворотним зв'язком за швидкістю	105
4.3. Регулятор швидкості із зворотними зв'язками за струмом	II3

4.4. Регулятор швидкості з від"ємним зворотним зв"язком за напругою	118
4.5. Регулятор швидкості з від"ємним зворотним зв"язком за швидкістю й додатним за струмом	121
4.6. Регулятор швидкості з від"ємним зворотним зв"язком за швидкістю й струмовим відтином	122
Розділ 5. Analogovі системи підпорядкованого регулювання електроприводами з двигунами постійного струму	126
5.1. Основні поняття й принципи побудови систем підпорядкованого регулювання електроприводами ..	126
5.2. Критерії оптимальності	138
5.3. Типові аналогові регулятори	153
5.4. Синтез послідовних коригувальних пристроїв /регуляторів/	160
5.5. Системи підпорядкованого регулювання кутової швидкості із зворотним зв"язком за швидкістю	165
5.6. Системи підпорядкованого регулювання швидкості із зворотним зв"язком за ЕРС	182
Розділ 6. Системи регулювання електроприводів з двигунами змінного струму	186
6.1. Системи регулювання кутової швидкості з тиристорними регуляторами напруги	186
6.2. Регулятори швидкості з частотним регулюванням швидкості асинхронних двигунів з короткозамкненим ротором	192
6.3. Регулятори швидкості з частотним регулюванням швидкості асинхронних двигунів з фазним ротором	198
Розділ 7. Цифрові системи керування електроприводами	204
7.1. Загальні відомості про цифрові системи керування	204
7.2. Математичний опис процесів у цифрових системах керування електроприводами на підставі різницевих рівнянь та Δ -перетворення	225
7.3. Математичний опис процесів у цифрових системах керування електроприводами в просторі станів	239

7.4. Мікропроцесорні пристрой керування	258
електроприводами	
7.5. Системи технічної діагностики	272
електроприводів	
Розділ 8. Модальне керування електроприводами	278
8.1. Основні означення й поняття	278
8.2. Керовність і спостережність стаціонарних	
лінійних систем керування	279
8.3. Синтез аналогових і цифрових регуляторів	
стану з повною інформацією про об'єкт	
керування	289
8.4. Синтез аналогових і цифрових регуляторів	
стану з неповною інформацією про об'єкт	
керування	304
8.5. Синтез аналогових і цифрових регуляторів	
з використанням спостерігачів повного	
порядку	307
Розділ 9. Оптимальне керування електроприводами	325
9.1. Оптимізація в частотній зоні	325
9.2. Оптимізація в часовій зоні	333
9.3. Оптимізація цифрових систем	
у частотній зоні	336
9.4. Оптимізація цифрових систем	
у часовій зоні	341
Список літератури	344

Навчальне видання

Голуб А.П., Кузнєцов Б.І.,
Опришко І.О., Соляник В.П.

Системи керування електроприводами

За ред. В.П.Соляника

Навчальний посібник